

International Nonproprietary Names for Pharmaceutical Substances (INN)

Notice is hereby given that, in accordance with article 3 of the Procedure for the Selection of Recommended International Nonproprietary Names for Pharmaceutical Substances, the names given in the list on the following pages are under consideration by the World Health Organization as Proposed International Nonproprietary Names. The inclusion of a name in the lists of Proposed International Nonproprietary Names does not imply any recommendation of the use of the substance in medicine or pharmacy.

Lists of Proposed (1–117) and Recommended (1–78) International Nonproprietary Names can be found in *Cumulative List No. 17, 2017* (available in CD-ROM only). The statements indicating action and use are based largely on information supplied by the manufacturer. **This information is merely meant to provide an indication of the potential use of new substances at the time they are accorded Proposed International Nonproprietary Names.** WHO is not in a position either to uphold these statements or to comment on the efficacy of the action claimed. Because of their provisional nature, these descriptors will neither be revised **nor included in the Cumulative Lists of INNs.**

Dénominations communes internationales des Substances pharmaceutiques (DCI)

Il est notifié que, conformément aux dispositions de l'article 3 de la Procédure à suivre en vue du choix de Dénominations communes internationales recommandées pour les Substances pharmaceutiques les dénominations ci-dessous sont mises à l'étude par l'Organisation mondiale de la Santé en tant que dénominations communes internationales proposées. L'inclusion d'une dénomination dans les listes de DCI proposées n'implique aucune recommandation en vue de l'utilisation de la substance correspondante en médecine ou en pharmacie.

On trouvera d'autres listes de Dénominations communes internationales proposées (1–117) et recommandées (1–78) dans la *Liste récapitulative No. 17, 2017* (disponible sur CD-ROM seulement). Les mentions indiquant les propriétés et les indications des substances sont fondées sur les renseignements communiqués par le fabricant. **Elles ne visent qu'à donner une idée de l'utilisation potentielle des nouvelles substances au moment où elles sont l'objet de propositions de DCI.** L'OMS n'est pas en mesure de confirmer ces déclarations ni de faire de commentaires sur l'efficacité du mode d'action ainsi décrit. En raison de leur caractère provisoire, ces informations **ne figureront pas dans les listes récapitulatives de DCI.**

Denominaciones Comunes Internacionales para las Sustancias Farmacéuticas (DCI)

De conformidad con lo que dispone el párrafo 3 del "Procedimiento de Selección de Denominaciones Comunes Internacionales Recomendadas para las Sustancias Farmacéuticas", se comunica por el presente anuncio que las denominaciones detalladas en las páginas siguientes están sometidas a estudio por la Organización Mundial de La Salud como Denominaciones Comunes Internacionales Propuestas. La inclusión de una denominación en las listas de las DCI

Propuestas no supone recomendación alguna en favor del empleo de la sustancia respectiva en medicina o en farmacia.

Las listas de Denominaciones Comunes Internacionales Propuestas (1–117) y Recomendadas (1–78) se encuentran reunidas en *Cumulative List No. 17, 2017* (disponible sólo en CD-ROM). Las indicaciones sobre acción y uso que aparecen se basan principalmente en la información facilitada por los fabricantes. **Esta información tiene por objeto dar una idea únicamente de las posibilidades de aplicación de las nuevas sustancias a las que se asigna una DCI Propuesta.** La OMS no está facultada para respaldar esas indicaciones ni para formular comentarios sobre la eficacia de la acción que se atribuye al producto. Debido a su carácter provisional, esos datos descriptivos **no deben incluirse en las listas recapitulativas de DCI.**

Proposed International Nonproprietary Names: List 129

Comments on, or formal objections to, the proposed names may be forwarded by any person to the INN Programme of the World Health Organization within four months of the date of their publication in *WHO Drug Information*, i.e., for **List 129 of Proposed INN not later than 3 December 2023. Publication date:** 04.08.2023

Dénominations communes internationales proposées: Liste 129

Des observations ou des objections formelles à l'égard des dénominations proposées peuvent être adressées par toute personne au Programme des Dénominations communes internationales de l'Organisation mondiale de la Santé dans un délai de quatre mois à compter de la date de leur publication dans *WHO Drug Information*, c'est à dire pour la **Liste 129 de DCI Proposées le 3 décembre 2023 au plus tard. Date de publication :** 04.08.2023

Denominaciones Comunes Internacionales Propuestas: Lista 129

Cualquier persona puede dirigir observaciones u objeciones respecto de las denominaciones propuestas, al Programa de Comunes Internacionales de la Organización Mundial de la Salud, en un plazo de cuatro meses, contados desde la fecha de su publicación en *WHO Drug Information*, es decir, para **la Lista 129 de DCI Propuestas el 3 de Diciembre de 2023 a más tardar.**

Fecha de publicación: 04.08.2023

<i>Proposed INN</i> (Latin, English, French, Spanish)	<i>Chemical name or description: Action and use: Molecular formula</i> <i>Chemical Abstracts Service (CAS) registry number:</i> <i>Graphic formula</i>
<i>DCI Proposée</i>	<i>Nom chimique ou description: Propriétés et indications: Formule brute</i> <i>Numéro dans le registre du CAS: Formule développée</i>
<i>DCI Propuesta</i>	<i>Nombre químico o descripción: Acción y uso: Fórmula molecular</i> <i>Número de registro del CAS: Fórmula desarrollada</i>

abefolastatum tesaroxetanum
abefolastat tesaroxetan

(3S,3'S,7S,7'S,23R,23'R,26R,26'R)-32,32'-[(3,6,10,13,16,19-hexaazabicyclo[6.6.6]icosane-1,8-diyl)bis(azanediy)]bis(23,26-dibenzyl-5,13,22,25,28,32-hexaoxo-4,6,12,21,24,27-hexaazadotriacontane-1,3,7-tricarboxylic) acid
diagnostic agent, antineoplastic

abéfolastat tésaroxétán

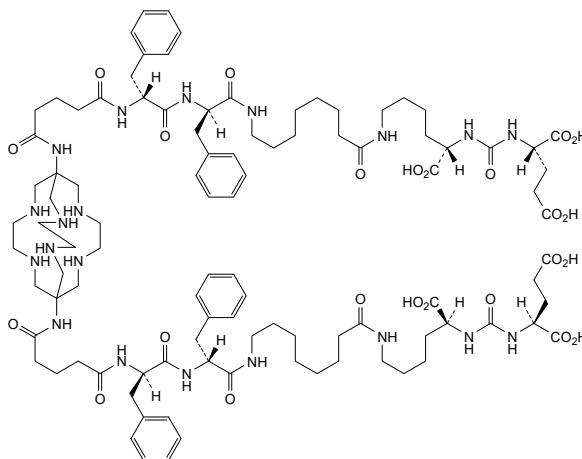
acide (3*S*,3'*S*,7*S*,7'*S*,23*R*,23'*R*,26*R*,26'*R*)-32,32'-
 [(3,6,10,13,16,19-hexaazabicyclo[6.6.6]icosane-1,8-
 diyl)bis(azanediyl)]bis(23,26-dibenzyl-5,13,22,25,28,32-
 hexaoxo-4,6,12,21,24,27-hexaazadotriacontane-1,3,7-
 tricarboxylique)
agent diagnostique, antinéoplasique

abefolastat tesaroxetán

ácido (3*S*,3'*S*,7*S*,7'*S*,23*R*,23'*R*,26*R*,26'*R*)-32,32'-
 [(3,6,10,13,16,19-hexaazabicyclo[6.6.6]icosano-1,8-
 diil)bis(azanodii)]bis(23,26-dibencil-5,13,22,25,28,32-
 hexaoxo-4,6,12,21,24,27-hexaazadotriacontano-1,3,7-
 tricarboxílico)
agente de diagnóstico, antineoplásico

C₁₀₀H₁₅₀N₂₀O₂₄

2254661-83-9



abiprubartum #
 abiprubart

immunoglobulin G4-kappa, anti-[*Homo sapiens* CD40
 (TNFRSF5, tumor necrosis factor receptor (TNFR)
 superfamily member 5, p50)], humanized monoclonal
 antibody;
 gamma4 heavy chain humanized (1-441) [VH (*Homo sapiens*
 IGHV1-3*01 (83.7%) -(IGHD) -IGHJ4*01 (92.9%), CDR-
 IMGT [8.8.7] (26-33,51-58,97-103)) (1-114)-*Homo sapiens*
 IGHG4*01, nG4m(a) CH2 L92, G4v5 h P10 (CH1 (115-212),
 hinge 1-12 S10>P (222) (213-224), CH2 L92 (303) (225-
 334), CH3 (335-439), CHS (440-441)) (115-441)], (128-213)-
 disulfide with kappa light chain humanized (1'-213') [V-
 KAPPA (*Homo sapiens* IGKV3-11*01 (82.1%) -IGKJ4*01
 (91.7%), CDR-IMGT [5.3.9] (27'-31'.49'-51'.88'-96')) (1'-106')
 -*Homo sapiens* IGKC*01 (100%), Km3 A45.1 (152'), V101
 (190') (107'-213')]; dimer (220-220":223-223")-bisdisulfide,
 produced in Chinese hamster ovary (CHO) cells, derived
 from the cell line CHO-DG44, glycoform alfa
immunosuppressant

abiprubart

immunoglobuline G4-kappa, anti-[*Homo sapiens* CD40
 (TNFRSF5, membre 5 de la superfamille des récepteurs des
 facteurs de nécrose tumorale (TNFR), p50)], anticorps
 monoclonal humanisé;

chaîne lourde gamma4 humanisée (1-441) [VH (*Homo sapiens* IGHV1-3*01 (83.7%) -(IGHD) -IGHJ4*01 (92.9%), CDR-IMGT [8.8.7] (26-33.51-58.97-103)) (1-114)-*Homo sapiens* IGHG4*01, nG4m(a) CH2 L92, G4v5 h P10 (CH1 (115-212), charnière 1-12 S10>P (222) (213-224), CH2 L92 (303) (225-334), CH3 (335-439), CHS (440-441)) (115-441)], (128-213')-disulfure avec la chaîne légère kappa humanisée (1'-213') [V-KAPPA (*Homo sapiens* IGKV3-11*01 (82.1%) -IGKJ4*01 (91.7%), CDR-IMGT [5.3.9] (27'-31'.49'-51'.88'-96')) (1'-106') -*Homo sapiens* IGKC*01 (100%), Km3 A45.1 (152'), V101 (190') (107'-213')]; dimère (220-220":223-223")-bisdisulfure, produit dans des cellules ovariennes de hamster chinois (CHO), dérivant de la lignée cellulaire CHO-DG44, glycoforme alfa
immunosupprimeur

abiprubart

inmunoglobulina G4-kappa, anti-[*Homo sapiens* CD40 (TNFRSF5, miembro 5 de la superfamilia de los receptores de los factores de necrosis tumoral (TNFR), p50), anticuerpo monoclonal humanizado; cadena pesada gamma4 humanizada (1-441) [VH (*Homo sapiens* IGHV1-3*01 (83.7%) -(IGHD) -IGHJ4*01 (92.9%), CDR-IMGT [8.8.7] (26-33.51-58.97-103)) (1-114)-*Homo sapiens* IGHG4*01, nG4m(a) CH2 L92, G4v5 h P10 (CH1 (115-212), bisagra 1-12 S10>P (222) (213-224), CH2 L92 (303) (225-334), CH3 (335-439), CHS (440-441)) (115-441)], (128-213')-disulfuro con la cadena ligera kappa humanizada (1'-213') [V-KAPPA (*Homo sapiens* IGKV3-11*01 (82.1%) -IGKJ4*01 (91.7%), CDR-IMGT [5.3.9] (27'-31'.49'-51'.88'-96')) (1'-106') -*Homo sapiens* IGKC*01 (100%), Km3 A45.1 (152'), V101 (190') (107'-213')]; dímero (220-220":223-223")-bisdisulfuro, producido en las células ováricas de hámster chino (CHO), línea celular derivada de CHO-DG44, forma glicosilada alfa
immunosupresor

2765071-95-0

Heavy chain / Chaîne lourde / Cadena pesada

QVQLVQSGAE VVKPGASVKV SCKASGYTFT NYWMHWVRQA PGQRLEWIGY	50
INPSNDYTKY NQKFKDRATL TADKSANTAY MELSSLRSED TAVYYCARQG	100
FPIYWGQGLTLV TVSSASTKGP SVFPLAPCSR STSESTAALG CLVKDYFPEP	150
VTVSWNSGAL TSGVHTFFPAV LQSSGLYSLV SVVTVPSSSL GTKTYTCNVD	200
HKPSNTKVDK RVESKYGPPC PPCPAPEFLG GPSVFLFPFK PKDTLMSRST	250
PEVTCVVVDV SQEDPEVQFN WYVDGVEVHN AKTKPREEQF NSTYRVVSVL	300
TVLHQDWLNG KEYKCKVSNK GLPSSIEKTI SKAKGQPREP QVYTLPPSQE	350
EMTKNQVSLT CLVKGFPYPSD IAVEWESNGQ PENNYKTTTP VLDSDGSEFFL	400
YSRLTVDKSR WQEGNVFSCS VMHEALHNHY TQKSLSLSPG K	441

Light chain / Chaîne légère / Cadena ligera

EIVLTQSPAT LSLSPGERAT LSCSASSSVS YMHWYQQKPG QAPRRWIYDT	50
SKLASGVPAR FSGSGSSTDY TLTISSELEPE DFAVYCHQL SSDPFTFGGG	100
TKVEIKRTVA APSVFIFPPS DEQLKSGTAS VVCLLNNFYP REAKVQWKVD	150
NALQSGNSQE SVTEQDSKDS TYLSLSTLTL SKADYEKHKV YACEVTHQGL	200
SSPVTKSFNR GEC	213

Post-translational modifications

Disulfide bridges location / Position des ponts disulfure / Posiciones de los puentes disulfuro

Intra-H (C23-C104)	22-96	141-197	255-315	361-419
	22"-96"	141"-197"	255"-315"	361"-419"
Intra-L (C23-C104)	23'-87'	133'-193'		
	23'''-87'''	133'''-193'''		

Inter-H-L (CH1 10-CL 126) 128-213' 128"-213"

Inter-H-H (h 8, h 11) 220-220" 223-223"

N-terminal glutaminyl cyclization / Cyclisation du glutaminyle N-terminal /

Ciclación del glutaminilo N-terminal

Q > pyroglutamyl (pE, 5-oxopropyl) / pyroglutamyle (pE, 5-oxopropyle) /

piroglutamilo (pE, 5-oxoprolilo)

H VH Q1: 1, 1"

N-glycosylation sites / Sites de N-glycosylation / Posiciones de N-glicosilación

H CH2 N84.4: 291, 291"

Fucosylated complex bi-antennary CHO-type glycans / glycanes de type CHO bi-antennaires complexes fucosylés / glicanos de tipo CHO biantennarios complejos fucosilados.

C-terminal lysine clipping / Coupeure de la lysine C-terminale / Recorte de lisina C-terminal

H CHS K2: 441, 441"

alexatatumum #

alexatatum

immunoglobulin G1-lambda7, anti-[*Homo sapiens* tumor-restricted extracellular ribonucleoprotein (RNP) complex containing PABPC1 (polyadenylate-binding protein cytoplasmic 1, PABP1) bound to poly(A)RNA], *Homo sapiens* monoclonal antibody; gamma1 heavy chain *Homo sapiens* (1-469) [VH (*Homo sapiens*IGHV3-15*02 (95.0%) -(IGHD) -IGHJ6*04 (85.0%), CDR-IMGT [8.10.31] (26-33.51-60.99-129)) (1-140) -*Homo sapiens*IGHG1*03 (100%), G1m3, nG1m1 CH1 R120, CH3 E12, M14 (CH1 R120 (237) (141-238), hinge 1-15 (239-253), CH2 (254-363), CH3 E12 (379), M14 (381) (364-468), CHS K2>del (469)) (141-469)], (243-215')- disulfide with lambda7 light chain *Homo sapiens* (1'-216') [V-LAMBDA (*Homo sapiens* IGLV1-47*01 (93.8%) -IGLJ2*01 (100%), CDR-IMGT [8.3.11] (26'-33'.51'-53'.90'-100')) (1'-110') - *Homo sapiens* IGLC7*01 (100%) (111'-216')]; dimer (249-249":252-252")-bisdisulfide, produced in Chinese hamster ovary (CHO) cells, cell line CHO-K1, glycoform alfa
antineoplastica

alexatatum

immunoglobuline G1-lambda7, anti-[*Homo sapiens* complexe ribonucléoprotéique (RNP) extracellulaire et restreint à la tumeur contenant PABPC1 (protéine cytoplasmique 1 fixant le polyadénylate, PABP1) liée à l'ARNpoly(A)], anticorps monoclonal *Homo sapiens*;
chaîne lourde gamma1 *Homo sapiens* (1-469) [VH (*Homo sapiens*IGHV3-15*02 (95.0%) -(IGHD) -IGHJ6*04 (85.0%), CDR-IMGT [8.10.31] (26-33.51-60.99-129)) (1-140) -*Homo sapiens*IGHG1*03 (100%), G1m3, nG1m1 CH1 R120, CH3 E12, M14 (CH1 R120 (237) (141-238), charnière 1-15 (239-253), CH2 (254-363), CH3 E12 (379), M14 (381) (364-468), CHS K2>del (469)) (141-469)], (243-215')- disulfure avec la chaîne légère lambda7 *Homo sapiens* (1'-216') [V-LAMBDA (*Homo sapiens* IGLV1-47*01 (93.8%) -IGLJ2*01 (100%), CDR-IMGT [8.3.11] (26'-33'.51'-53'.90'-100')) (1'-110') -*Homo sapiens* IGLC7*01 (100%) (111'-216')]; dimère (249-249":252-252")-bisdisulfure, produit dans des cellules ovariennes de hamster chinois (CHO), lignée cellulaire CHO-K1, glycoforme alfa
antineoplasique

alexatatum

inmunoglobulina G1-lambda7, anti-[*Homo sapiens* complejo ribonucleoproteico (RNP) extracelular y restringido al tumor que contiene PABPC1 (proteína citoplasmática 1 que fija el poliadenilato, PABP1) de unión al ARNpoli(A)], anticuerpo monoclonal *Homo sapiens*;
cadena pesada gamma1 *Homo sapiens* (1-469) [VH (*Homo sapiens*IGHV3-15*02 (95.0%) -(IGHD) -IGHJ6*04 (85.0%), CDR-IMGT [8.10.31] (26-33.51-60.99-129)) (1-140) -*Homo sapiens*IGHG1*03 (100%), G1m3, nG1m1 CH1 R120, CH3 E12, M14 (CH1 R120 (237) (141-238), bisagra 1-15 (239-253), CH2 (254-363), CH3 E12 (379), M14 (381) (364-468), CHS K2>del (469)) (141-469)], (243-215')- disulfuro con la cadena ligera lambda7 *Homo sapiens* (1'-216') [V-LAMBDA (*Homo sapiens* IGLV1-47*01 (93.8%) -IGLJ2*01 (100%), CDR-IMGT [8.3.11] (26'-33'.51'-53'.90'-100')) (1'-110') -*Homo sapiens* IGLC7*01 (100%) (111'-216')]; dímero (249-249":252-252")-bisdisulfuro, producido en las células ováricas de hámster chino (CHO), línea celular CHO-K1, forma glicosilada alfa
antineoplásico

2768264-93-1

Heavy chain / Chaîne lourde / Cadena pesada

EVQLVESGGG LVKPGGSLRL SCAASGFTFS KAWMSWVRQA PGKGLEWVGR 50
 IKSVTDGETT DYAAPVKGRF TISRDDSKST LYLQMNLSKT EDTAVYYCTS 100
 SFCCRRGGSCP SHDTSYCGGQ YKSYYYMDVW GKTTTIVVSS ASTKGPSVFP 150
 LAPSSKSTSG GTAALGCLVK DYFFPEPVTVS WNSGALTSKV HTFPAVLQSS 200
 GLYSLSSVVT VPSSSLGTQT YICNVNHNKPS NTRVDRKRVEP KSCDKRHTCTP 250
 PCPAPELLGG PSVFLFPPPK KDTLMISRTP EVTCVVVDVS HEDPEVKFNW 300
 YVDGVEVHNA KTKPREEQYN STYRVVSVLT VLVHQQDLNKG EYKCKVSNKA 350
 LPAPIEKTIK KAKGQPREPQ VYTLPPSREE MTKNQVSLTC LVKGFYPSDI 400
 AVEWESNGQP ENNYKTTTPV LDSDGSEFFLY SKLTVDKSRW QQGNVFCSSV 450
 MHEALHNHYT QKSLSLSPG 469

Light chain / Chaîne légère / Cadena ligera

QSVLTQPPSA SGTPEGQRTI SCSGSSSNIG SSSVSWYQQQL PGTAPKLLIY 50
 KNNQRPSGVP DRFSGSKSGT SASLAISGLR SEDEADYYCS TWDDSLSVRV 100
 FGGGTKLTVL GQPKAAPSVT LFPSSSEELQ ANKATLVCLV SDFYPGAVTV 150
 AWKADGSPVK VGVETTKPSK QSNKNYAASS YLSLTPEQWK SHRSYSCRVT 200
 HEGSTVEKTV APAECS 216

Post-translational modifications

Disulfide bridges location / Position des ponts disulfure / Posiciones de los puentes disulfuro

Intra-H (C23-C104) 22"-98" 167"-223" 284"-344" 390"-448"
 22"-98" 167"-223" 284"-344" 390"-448"

Intra-H CDR3-IMGT* 103"-117" 104"-109"
 103"-117" 104"-109"

Intra-L (C23-C104) 22"-89" 138"-197"
 22"-89" 138"-197"

Inter-H-L (h 5-CL 126) 243"-215" 243"-215"

Inter-H-H (h 11, h 14) 249"-249" 252"-252"

* Additional disulfide bridges CDR3-IMGT numbering: 109-112.7, 110-111.4

N-terminal glutaminyl cyclization / Cyclisation du glutaminyle N-terminal / Ciclación del glutaminilo N-terminal

Q > pyroglutamyl (pE, 5-oxopropyl) / pyroglutamyle (pE, 5-oxopropyle) / piroglutamilo (pE, 5-oxoprolilo)

L VL V-LAMBDA Q1: 1, 1"

N-glycosylation sites / Sites de N-glycosylation / Posiciones de N-glicosilación

H CH2 N84.4: 320, 320"

Fucosylated complex bi-antennary CHO-type glycans / glycanes de type CHO bi-antennaires complexes fucosylés / glicanos de tipo CHO biantennarios complejos fucosilados

alisvetcelum

alisvetcel

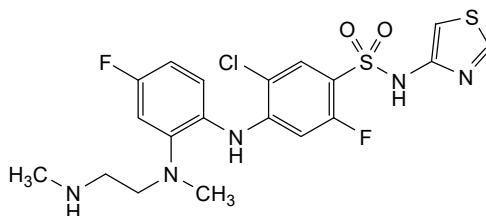
equine allogeneic chondrogenic-induced mesenchymal stromal/stem cells (MSCs), isolated from peripheral blood mononuclear cells (PBMCs) collected from donor horses. The MSCs are selected for by growing the PBMCs in media containing fetal bovine serum (FBS) and dexamethasone. The cells are then expanded in media containing FBS, and prior to differentiation towards chondrocytes by growth in media containing FBS, transforming growth factor beta-3 (TGF- β 3) and insulin-like growth factor I (IGF-I).

The final cells have a cobblestone morphology, express cellular surface markers CD90 (\geq 95%) and CD40 (\geq 85%) and are negative for MHC class II expression (\leq 2%). The cells secrete prostaglandin E2 (PGE2) and upregulate the cartilage oligomeric matrix protein (COMP) gene (>2.6 fold). The homogenous adhesion of the cells to cartilage lesions is measured using *ex vivo* cartilage explants cell therapy (veterinary use)

alisvetcel

cellules souches/stromales mésenchymateuses (CSM) allogènes équinées induites par chondrogenèse, isolées à partir de cellules mononucléaires de sang périphérique (PBMC) prélevées sur des chevaux donneurs. Les CSM sont sélectionnées en cultivant les PBMC dans un milieu contenant du sérum bovin fœtal (FBS) et de la dexaméthasone. Les cellules sont ensuite amplifiées dans un milieu contenant du FBS, et avant la différenciation en chondrocytes par croissance dans un milieu contenant du FBS,

	<p>du facteur de croissance transformant bêta-3 (TGF-β3) et du facteur de croissance analogue à l'insuline I (IGF-I). Les cellules finales ont une morphologie en forme de pavé, expriment les marqueurs de surface cellulaire CD90 (≥95%) et CD40 (≥85%) et sont négatives pour l'expression du CMH de classe II (≤2%). Les cellules sécrètent de la prostaglandine E2 (PGE2) et régulent à la hausse le gène de la protéine de la matrice oligomérique du cartilage (COMP) (>2.6 fois). L'adhésion homogène des cellules aux lésions cartilagineuses est mesurée en utilisant des explants de cartilage <i>ex vivo</i></p> <p><i>thérapie cellulaire (usage vétérinaire)</i></p>
alisvetcel	<p>células madre/estromales mesenquimales (MSC) equinas, alogénicas, inducidas a condrogenia, aisladas de células mononucleares de sangre periférica (PBMCs) recogida de caballos donantes. Las MSCs se seleccionan mediante crecimiento de las PBMCs en medio que contiene suero bovino fetal (FBS) y dexametasona. Las células se expanden después en medio que contiene FBS, y antes de la diferenciación hacia condrocitos mediante crecimiento en medio que contiene FBS, factor de crecimiento transformante beta-3 (TGF-β3) y factor de crecimiento similar a insulina I (IGF-I). Las células finales tienen una morfología de empedrado, expresan los marcadores de superficie CD90 (≥95%) y CD40 (≥85%) y son negativas para MHC de clase II (≤2%). Las células secretan prostaglandina E2 (PGE2) y sobre regulan el gen de la proteína de matriz oligomérica del cartílago (COMP) (>2.6 veces). La adhesión homogénea de las células a lesiones de cartílago se mide usando explantes de cartílago <i>ex vivo</i></p> <p><i>terapia celular (uso veterinario)</i></p>
aneratriginum	
aneratrigrine	<p>5-chloro-2-fluoro-4-(4-fluoro-2-{methyl[2-(methylamino)ethyl]amino}anilino)-N-(1,3-thiazol-4-yl)benzene-1-sulfonamide</p> <p><i>sodium channel protein type 9 subunit alpha blocker</i></p>
anéatrigrine	<p>5-chloro-2-fluoro-4-(4-fluoro-2-{méthyl[2-(méthylamino)éthyl]amino}anilino)-N-(1,3-thiazol-4-yl)benzène-1-sulfonamide</p> <p><i>bloqueur de la sous-unité alpha des canaux sodiques de type 9</i></p>
aneratrigrina	<p>5-cloro-2-fluoro-4-(4-fluoro-2-{metil[2-(metilamino)etil]amino}anilino)-N-(1,3-tiazol-4-il)benceno-1-sulfonamida</p> <p><i>bloqueante del subunidad alfa de los canales del sodio de tipo 9</i></p>
	<p>C₁₉H₂₀ClF₂N₅O₂S₂ 2097163-74-9</p>



arbemnifosbuvirum

arbemnifosbuvir

propan-2-yl *N*-[(*P*^{5*R*},2'*R*)]-2-amino-2'-deoxy-2'-fluoro-*N*⁶,2'-dimethyl-*O*^{*P*}-phenyl-5'-adenylyl]-*L*-alaninate
antiviral

arbemnifosbuvir

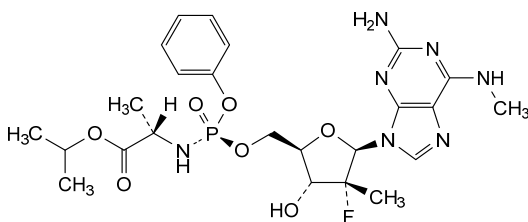
N-[(*P*^{5*R*},2'*R*)]-2-amino-2'-désoxy-2'-fluoro-*N*⁶,2'-diméthyl-*O*^{*P*}-phényl-5'-adénylyl]-*L*-alaninate de propan-2-yle
antiviral

arbemnifosbuvir

N-[(*P*^{5*R*},2'*R*)]-2-amino-2'-desoxi-*O*^{*P*}-fenil-2'-fluoro-*N*⁶,2'-dimetil- 5'-adenilil]-*L*-alaninato de propan-2-ilo
antiviral

C₂₄H₃₃FN₇O₇P

1998705-63-7

**avenciguatum**

avenciguat

1⁵-ethoxy-3³,6⁵-dimethyl-4-oxa-6(6,2)-isoquinolina-2(2,6)-pyridina-1(1)-pyrazola-7(4)-oxana-3(1,2)-benzenaheptaphane-1⁴-carboxylic acid
guanylate cyclase activator

avenciguat

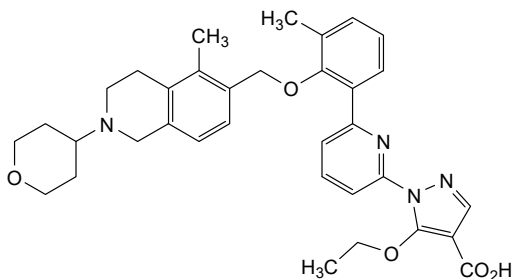
acide 1⁵-éthoxy-3³,6⁵-diméthyl-4-oxa-6(6,2)-isoquinoléina-2(2,6)-pyridina-1(1)-pyrazola-7(4)-oxana-3(1,2)-benzénaheptaphane-1⁴-carboxylique
activateur de la guanylate cyclase

avenciguat

ácido 1⁵-etoxi-3³,6⁵-dimetil-4-oxa-6(6,2)-isoquinoleína-2(2,6)-piridina-1(1)-pirazola-7(4)-oxana-3(1,2)-bencenaheptafano-1⁴-carboxílico
activador de la guanilato ciclasa

C₃₄H₃₈N₄O₅

1579514-06-9



bavtavinum

bavtavirine

4-[(4-amino-8-{4-[(1*E*)-2-cyanoethen-1-yl]-2,6-dimethylphenyl}quinazolin-2-yl)amino]benzotrile
antiviral

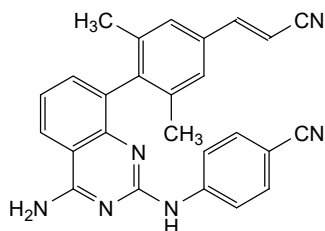
bavtavirine

4-[(4-amino-8-{4-[(1*E*)-2-cyanoéthén-1-yl]-2,6-diméthylphényl}quinazolin-2-yl)amino]benzotrile
antiviral

bavtavirina

4-[(4-amino-8-{4-[(*E*)-2-cianoeten-1-il]-2,6-dimetilfenil}quinazolin-2-il)amino]benzotrile
*antiviral*C₂₆H₂₀N₆

1956373-71-9

**bemfivastatinum**

bemfivastatin

(3*R*,5*R*)-7-[2-(4-fluorophenyl)-4-{[4-(hydroxymethyl)phenyl]carbamoil}-3-phenyl-5-(propan-2-yl)-1*H*-pyrrol-1-yl]-3,5-dihydroxyheptanoic acid
antihyperlipidaemic

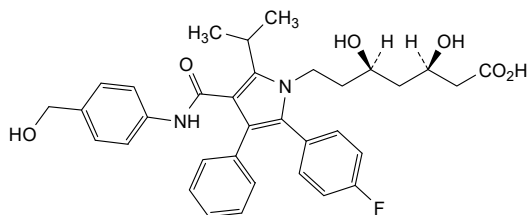
bemfivastatine

acide (3*R*,5*R*)-7-[2-(4-fluorophényl)-4-{[4-(hydroxyméthyl)phényl]carbamoil}-3-phényl-5-(propan-2-yl)-1*H*-pyrrol-1-yl]-3,5-dihydroxyheptanoïque
antihyperlipidémiant

bemfivastatina

ácido (3*R*,5*R*)-7-[3-fenil-2-(4-fluorofenil)-4-{[4-(hidroximetil)fenil]carbamoil}-5-(propan-2-il)-1*H*-pirrol-1-il]-3,5-dihidroxiheptanoico
*antihiperlipémico*C₃₄H₃₇FN₂O₆

805241-79-6

**bemiltenasum alfa #**

bemiltenase alfa

Daboia siamensis metalloproteinase (human coagulation factor X-activating enzyme, RVV-X, russellysin, snake venom metalloproteinase (SVMP), EC 3.4.24.58), natural variant) covalent heterotrimer with alpha heavy chain

(GenBank ID: AUF41652.1; 1-431, containing a metalloproteinase domain, a disintegrin (platelet aggregation inhibitor) domain and a cysteine-rich region) disulfide-bridged to beta light chain (GenBank ID: AUF41655; 1-135, C-type lectin-like domain) disulfide-bridged to gamma light chain (GenBank ID: AAB22478.1; 1-123, C-type lectin-like domain), purified from the venom of *Daboia siamensis*, glycoform alfa
haemostatic

bémilténase alfa

métalloprotéinase de *Daboia siamensis* (enzyme activant le facteur humain de coagulation X, RVV-X, russellysine, métalloprotéinase du venin de serpent (SVMP), EC 3.4.24.58), variant naturel, hétérotrimère covalent avec chaîne lourde alpha (GenBank ID: AUF41652.1; 1-431, contenant un domaine métalloprotéinase, un domaine désintégrine (inhibiteur de l'agrégation plaquettaire) et une région riche en cystéine) réuni par un pont disulfure à la chaîne légère bêta (GenBank ID: AUF41655; 1-135, domaine de type lectine) réuni par un pont disulfure à la chaîne légère gamma (GenBank ID: AAB22478.1; 1-123, domaine similaire à la lectine de type C), purifié à partir du venin de *Daboia siamensis*, glycoforme alfa
hémostatique

bemiltenasa alfa

Daboia siamensis metaloproteinasa (factor X de coagulación humano-activador de la enzima, RVV-X, russellisina, metaloproteinasa de veneno de serpiente (SVMP), EC 3.4.24.58), variante natural, heterotrímtero covalente con cadena pesada alfa (GenBank ID: AUF41652.1; 1-431, que contiene un dominio de metaloproteinasa, un dominio de desintegrina (inhibidor de la agregación plaquetaria) y una región rica en cisteína) unido a través de un puente disulfuro a la cadena ligera beta (GenBank ID: AUF41655; 1-135, dominio de tipo C similar a la lectina) unido a través de un puente disulfuro a la cadena ligera gamma (GenBank ID: AAB22478.1; 1-123, dominio de tipo C similar a la lectina), purificado del veneno de *Daboia siamensis*, forma glicosilada alfa
hemostático

2766038-73-5

Sequence / Séquence / Secuencia

alpha heavy chain (H)

LVATSAQFNK	AFIELIIIVD	HSMAKKCNST	ATNTKIYEIV	NSANEIFNPL	50
NIHVTLIGVE	FWCDRLINV	TSSADETLDS	FGEWRAEDLM	TRKSHDNALL	100
FTDMRFDLNT	LGITFLAGMC	QAYRSVGIQV	VQGNRRFKTA	VIMAHELSHN	150
LGMVYHDGKNC	ICNDSSCVMS	FVLSDQPSKL	FSNCSIHDYQ	RYLTRYKPKC	200
ILYFPLRKDI	VSPFVCGNEI	WEEGEECDGC	SPADQCNPC	DAATCKLKPQ	250
AECGNGLCCY	QCKIKTAGTV	RRARNECDV	PEHCTGQSAE	CPRDQLQQNG	300
QPCQNNRGCY	YNGDCPIMRN	QCISLFGSRA	NVAKDSCFQE	NLKGSIYGYC	350
RKENGRRKIPC	APQDVKCGRL	FCLNNSPGNK	NPCNMHYSKM	DQHKGMVDPG	400
TKCEDGKVCN	NKRQCVDVNT	AYQSTTGFSSQ	I		431

beta light chain (L')

GLDCPPDSSL	YRYFCYRVFK	EHKTWEAAER	FCMEHPNNGH	LVSVESMEEA	50
EFVAKLLSNI	TEKFITHFWI	GLMIKDKEQE	CSSEWSDGSS	VSYDNLDKRE	100
FRKCFVLEKE	SGYRMWFNRR	CEERYLFVCK	VPPEC		135

gamma light chain (L'')

VLDPCSGWLS	YEQHCYKGFN	DLKNWTDAAK	FCTEQKKGSH	LVSLHSREEE	50
EFVNNLISEN	LEYPATWIGL	GNNWKKDCRME	WSDRGNVVKYK	ALAEESYCLI	100
MITHEKEWKS	MTCNFIAFVV	CKF			123

Post-translational modifications

Disulfide bridges location / Position des ponts disulfure / Posiciones de los puentes disulfuro

Intra-alpha H chain: 120-200, 160-184, 162-167, 322-372, 337-383, 350-360, 403-415

Intra-beta L chain: 4'-15', 32'-129', 104'-121'

Intra-gamma L chain: 4"-15", 32"-121", 98"-113"

Inter-alpha H chain - beta L chain: 389-135'

Inter-beta L chain - gamma L chain: 81'-77"

N-glycosylation sites / Sites de N-glycosylation / Posiciones de N-glicosilación

alpha H chain: N28, N69, N163, N183

beta L chain: N59'

gamma L chain: N24"

bevemipretidum

bevemipretide

D-arginyl-*N*^ε-[(1*S*)-5-amino-1-(3-benzyl-1,2,4-oxadiazol-5-yl)pentyl]-2,6-dimethyl-L-tyrosinamide
antioxydant

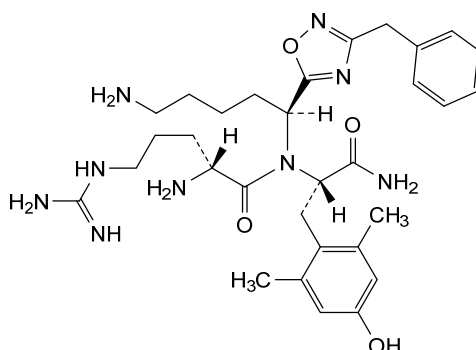
bévémiprétide

D-arginyl-*N*^ε-[(1*S*)-5-amino-1-(3-benzyl-1,2,4-oxadiazol-5-yl)pentyl]-2,6-diméthyl-L-tyrosinamide
antioxydant

bevemipretida

D-arginil-*N*^ε-[(1*S*)-5-amino-1-(3-bencil-1,2,4-oxadiazol-5-il)pentil]-2,6-dimetil-L-tirosinamida
*antioxydante*C₃₁H₄₅N₉O₄

2356106-71-1

**bexicaserinum**

bexicaserin

(7*R*)-*N*-(2,2-difluoroethyl)-7-methyl-1,2,3,4,6,7-hexahydro[1,4]diazepino[6,7,1-*h*]indole-8-carboxamide
serotonin 5-HT2C receptor agonist

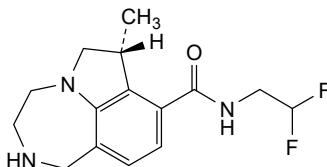
bexicasérine

(7*R*)-*N*-(2,2-difluoroéthyl)-7-méthyl-1,2,3,4,6,7-hexahydro[1,4]diazépino[6,7,1-*h*]indole-8-carboxamide
agoniste du récepteur 5-HT2C de la sérotonine

bexicaserina

(7*R*)-*N*-(2,2-difluoroetil)-7-metil-1,2,3,4,6,7-hexahidro[1,4]diazepino[6,7,1-*h*]indol-8-carboxamida
*agonista del receptor 5-HT2C de la serotonina*C₁₅H₁₉F₂N₃O

2035818-24-5



bezetabartum #

bezetabart

immunoglobulin G1-kappa, anti-[*Homo sapiens* CD74 (major histocompatibility complex class II invariant chain)], monoclonal antibody, modified at two specific positions with reactive 4-(azidomethyl)-L-phenylalanine residues; gamma1 heavy chain (1-454) [VH (*Homo sapiens* IGHV3-30-5*03 (95.9%) -(IGHD) -IGHJ6*01 (93.8%), CDR-IMGT [8.8.16] (27-34.52-59.98-113)) (1-124) -*Homo sapiens* IGHG1*03v, G1m3>G1m17, nG1m1 CH1 K120, CH3 E12, M14 (CH1 R120>K (221) (125-222), hinge 1-15 (223-237), CH2 (238-347), CH3 E12 (363), M14 (365), F85.2>F (pAMF) (411) (348-452), CHS (453-454)) (125-454)], (227-215')-disulfide with kappa light chain (1'-215') [V-KAPPA (*Homo sapiens* IGKV1-12*01 (92.6%) -IGKJ4*01 (100%), CDR-IMGT [6.3.9] (28'-33'.51'-53'.90'-98')) (1'-108') -*Homo sapiens* IGKC*01 (100%), Km3, A45.1 (154'), V101 (192') (109'-215')]; dimer (233-233":236-236")-bisdisulfide, produced by a cell-free protein expression system based on *Escherichia coli* lysate, non-glycosylated, substituted at C-4 of the two L-phenylalanyl residues 411 and 411" with azidomethyl (*tazide*) groups
antineoplastic

bézétabart

immunoglobuline G1-kappa, anti-[*Homo sapiens* CD74 (chaîne invariante du complexe majeur d'histocompatibilité de classe II)], anticorps monoclonal, modifié sur deux positions spécifiques avec des résidus 4-(azidométhyl)-L-phénylalanine réactifs; chaîne lourde gamma1 (1-454) [VH (*Homo sapiens* IGHV3-30-5*03 (95.9%) -(IGHD) -IGHJ6*01 (93.8%), CDR-IMGT [8.8.16] (27-34.52-59.98-113)) (1-124) -*Homo sapiens* IGHG1*03v, G1m3>G1m17, nG1m1 CH1 K120, CH3 E12, M14 (CH1 R120>K (221) (125-222), charnière 1-15 (223-237), CH2 (238-347), CH3 E12 (363), M14 (365), F85.2>F (pAMF) (411) (348-452), CHS (453-454)) (125-454)], (227-215')-disulfure avec la chaîne légère kappa (1'-215') [V-KAPPA (*Homo sapiens* IGKV1-12*01 (92.6%) -IGKJ4*01 (100%), CDR-IMGT [6.3.9] (28'-33'.51'-53'.90'-98')) (1'-108') -*Homo sapiens* IGKC*01 (100%), Km3, A45.1 (154'), V101 (192') (109'-215')]; dimère (233-233":236-236")-bisdisulfure, produit par un système acellulaire de l'expression des protéines à base de lysat d'*Escherichia coli*, non-glycosylé; substitué en C-4 des deux résidus L-phénylalanyle 411 et 411" avec des groupes azidométhyle (*tazide*)
antineoplasique

bezetabart

inmunoglobulina G1-kappa, anti-[*Homo sapiens* CD74 (cadena invariante del complejo mayor de histocompatibilidad de clase II)], anticuerpo monoclonal, modificado en dos posiciones específicas con residuos 4-(azidometil)-L-fenilalanina reactivos; cadena pesada gamma1 (1-454) [VH (*Homo sapiens* IGHV3-30-5*03 (95.9%) -(IGHD) -IGHJ6*01 (93.8%), CDR-IMGT [8.8.16] (27-34.52-59.98-113)) (1-124) -*Homo sapiens* IGHG1*03v, G1m3>G1m17, nG1m1 CH1 K120, CH3 E12, M14 (CH1 R120>K (221) (125-222), bisagra1-15 (223-237), CH2 (238-347), CH3 E12 (363), M14 (365), F85.2>F (pAMF) (411) (348-452), CHS (453-454)) (125-454)], (227-215')-disulfuro con la cadena ligera kappa (1'-215') [V-KAPPA (*Homo sapiens* IGKV1-12*01 (92.6%) -IGKJ4*01 (100%), CDR-IMGT [6.3.9] (28'-33'.51'-53'.90'-98')) (1'-108') -*Homo sapiens* IGKC*01 (100%), Km3, A45.1 (154'), V101 (192') (109'-215')]; dímero (233-233":236-236")-bisdisulfuro, producido por un sistema de expresión de proteínas sin células basado en lisado de *Escherichia coli*, no glicosilado; substituida en C-4 de los dos residuos de L-fenilalanilo 411' y 411" con grupos azidometilo (*tazida*)
antineoplásico

2763746-69-4

Heavy chain / Chaîne lourde / Cadena pesada

MQVQLVESGG	GVVQPGRLR	LSCAASGFNF	SDYGMHWVRQ	APGKGLEWYA	50
VIWYDGSISY	YADSVKGRFT	ISRDNASKNTL	YMQMNSLRAE	DTAVIYCARG	100
GTVEHGAVYG	TDVWGGQTTV	TVSSASTKGP	SVFPLAPSSK	STSGGTAALG	150
CLVKDYFPEP	VTVSWNSGAL	TSGVHTFPAV	LQSSGLYSL	SVVTVPSSSL	200
GTQTYICNVN	HKPSNTKVDK	KVEPKSCDKT	HTCPPCPAPE	LLGGPSVFLF	250
PPKPKDTLMI	SRTPEVTCVV	VDVSHEDPEV	KFNWYVDGVE	VHNAKTKPRE	300
EQYNSTYRVV	SVLTVLHQDW	LNGEKYCKV	SNKALPAPIE	KTISKAKGQP	350
REPQVYTLPP	SREEMTKNQV	SLTCLVKGFY	PSDIAVEWES	NGQPENNYKT	400
TPPVLDSDGS	FLYSLKLTVD	KSRWQQGNVF	SCSVMEALH	NHYTQKLSL	450
SPGK					454

⚡ non-natural amino acid *p*-azidomethyl-L-phenylalanine (pAMF) /
acide aminé non naturel *p*-azidométhyl-L-phénylalanine (pAMF) /
aminoácido no natural *p*-azidometil-L-fenilalanina (pAMF)

Light chain / Chaîne légère / Cadena ligera

MDIQMTQSPS	SVSASVGDV	TITCRASQGI	GSWLAWYQQK	PGKAPKLLIY	50
AADRLQSGVP	SFSGSGSGST	DFTLTISLQI	PEDFATYYCQ	QYHTYPLTFG	100
GGTKVEIKRT	VAAPSVFIFP	PSDEQLKSGT	ASVVCLLNPF	YPREAKVQWK	150
VDNALQSGNS	QESVTEQDSK	DSTYLSSTL	TLSKADYERK	KVYACEVTHQ	200
GLSSPVTKSF	NRGEC				215

Post-translational modifications

Disulfide bridges location / Position des ponts disulfure / Posiciones de los puentes disulfuro

Intra-H (C23-C104) 23-97 151-207 268-328 374-432
23^o-97^o 151^o-207^o 268^o-328^o 374^o-432^o

Intra-L (C23-C104) 24^o-89^o 135^o-195^o
24^o-89^o 135^o-195^o

Inter-H-L (h 5-CL 126) 227-215^o 227^o-215^o

Inter-H-H (h 11, h 14) 233-233^o 236-236^o

N-terminal methionine / Méthionine N-terminale / Metionina N-terminal

H VH M1.1: 1, 1^o

L V-KAPPA M1.1: 1^o, 1^o

No N-terminal methionine clipping (expressed in a cell-free expression system) / Pas de coupe de la méthionine N-terminale (exprimé dans un système d'expression acellulaire / Sin recorte de metionina N-terminal (expresado en un sistema de expresión libre de células)

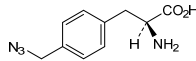
N-glycosylation sites / Sites de N-glycosylation / Posiciones de N-glicosilación

H CH2 N84.4: 304, 304^o

Aglycosylated (expressed in a cell-free expression system) / aglicosylé (exprimé dans un système d'expression acellulaire / aglicosilado (expresado en un sistema de expresión libre de células)

Modified residues / Résidus modifiés / Restos modificados

H CH3 F85.2>⚡ (pAMF): 411, 411^o



bezetabartum debotansinum #
bezetabart debotansine

immunoglobulin G1-kappa, anti-[*Homo sapiens* CD74 (major histocompatibility complex class II invariant chain)], monoclonal antibody, conjugated at C-4 of two specific phenylalanine residues with *N*^ε-deacetylmaytansine via a non cleavable linker;

gamma1 heavy chain (1-454) [VH (*Homo sapiens* IGHV3-30-5*03 (95.9%) -(IGHD) -IGHJ6*01 (93.8%), CDR-IMGT [8.8.16] (27-34.52-59.98-113)) (1-124) -*Homo sapiens* IGHG1*03v, G1m3>G1m17, nG1m1 CH1 K120, CH3 E12, M14 (CH1 R120>K (221) (125-222), hinge 1-15 (223-237), CH2 (238-347), CH3 E12 (363), M14 (365), F85.2>F (pAMF) (411) (348-452), CHS (453-454)) (125-454)], (227-215^o)-disulfide with kappa light chain (1'-215') [V-KAPPA (*Homo sapiens* IGKV1-12*01 (92.6%) -IGKJ4*01 (100%), CDR-IMGT [6.3.9] (28'-33'.51'-53'.90'-98')) (1'-108') -*Homo sapiens* IGKC*01 (100%), Km3, A45.1 (154), V101 (192') (109'-215')]; dimer (233-233^o:236-236^o)-bisdisulfide; produced by a cell-free protein expression system based on *Escherichia coli* lysate, non-glycosylated; substituted at C-4 of the L-phenylalanine residues 411 and 411^o with {8-[(2S)-1-(((1⁴S,1⁶S,2R,3²S,3³S,4S,10E,12E,14R)-8⁶-chloro-1⁴-hydroxy-

- 8⁵,14-dimethoxy-2,3³,7,10-tetramethyl-1²,6-dioxo-7-aza-1(6,4)-[1,3]oxazinana-3(2,3)-oxirana-8(1,3)-benzenacyclotetradecaphane-10,12-dien-4-yl]oxy]-2,3,9-trimethyl-1,4,8,24-tetraoxo-12,15,18,21-tetraoxa-3,9,25-triazaoctacosan-28-oyl]-8,9-dihydro-1H(or 3H)-dibenzo[b, f][1,2,3]triazolo[4,5-d]azocin-1(or 3)-yl]methyl
(*debotansine*) groups
antineoplastic
- bézétabart débotansine immunoglobuline G1-kappa, anti-[*Homo sapiens* CD74 (chaîne invariante du complexe majeur d'histocompatibilité de classe II)], anticorps monoclonal; conjugué en C-4 de deux résidus phénylalanine spécifiques avec N⁶-désacétylmaitansine via un linker non-clivable;
chaîne lourde gamma1 (1-454) [VH (*Homo sapiens*IGHV3-30-5*03 (95.9%) -(IGHD) -IGHJ6*01 (93.8%), CDR-IMGT [8.8.16] (27-34.52-59.98-113)) (1-124) -*Homo sapiens*IGHG1*03v, G1m3>G1m17, nG1m1 CH1 K120, CH3 E12, M14 (CH1 R120>K (221) (125-222), charnière 1-15 (223-237), CH2 (238-347), CH3 E12 (363), M14 (365), F85.2>F (pAMF) (411) (348-452), CHS (453-454)) (125-454)], (227-215')-disulfure avec la chaîne légère kappa (1'-215') [V-KAPPA (*Homo sapiens*IGKV1-12*01 (92.6%) -IGKJ4*01 (100%), CDR-IMGT [6.3.9] (28'-33'.51'-53'.90'-98')) (1'-108') -*Homo sapiens*IGKC*01 (100%), Km3, A45.1 (154'), V101 (192') (109'-215')]; dimère (233-233'':236-236'')-bisdisulfure, produit par un système acellulaire de l'expression des protéines à base de lysat d'*Escherichia coli*, non-glycosylé; substitué en C-4 des résidus L-phénylalanyle 411 et 411" par des groupes {8-[(2S)-1-[[[(1⁴S,1⁶S,2R,3²S,3³S,4S,10E,12E,14R)-8⁶-chloro-1⁴-hydroxy-8⁵,14-diméthoxy-2,3³,7,10-tétraméthyl-1²,6-dioxo-7-aza-1(6,4)-[1,3]oxazinana-3(2,3)-oxirana-8(1,3)-benzénacyclotétradecaphane-10,12-dién-4-yl]oxy]-2,3,9-triméthyl-1,4,8,24-tétraoxo-12,15,18,21-tétraoxa-3,9,25-triazaoctacosan-28-oyl]-8,9-dihydro-1H(ou 3H)-dibenzo[b, f][1,2,3]triazolo[4,5-d]azocin-1(ou 3)-yl]méthyle
(*débotansine*)
antineoplasique
- bezetabart debotansina inmunoglobulina G1-kappa, anti-[*Homo sapiens* CD74 (cadena invariante del complejo mayor de histocompatibilidad de clase II)], anticuerpo monoclonal; conjugado en C-4 de dos residuos de fenilalanina específicos con N⁶-desacetilmaitansina a través de un enlace no escindible;
cadena pesada gamma1 (1-454) [VH (*Homo sapiens*IGHV3-30-5*03 (95.9%) -(IGHD) -IGHJ6*01 (93.8%), CDR-IMGT [8.8.16] (27-34.52-59.98-113)) (1-124) -*Homo sapiens*IGHG1*03v, G1m3>G1m17, nG1m1 CH1 K120, CH3 E12, M14 (CH1 R120>K (221) (125-222), bisagra 1-15 (223-237), CH2 (238-347), CH3 E12 (363), M14 (365), F85.2>F (pAMF) (411) (348-452), CHS (453-454)) (125-454)], (227-215')-disulfuro con la cadena ligera kappa (1'-215') [V-KAPPA (*Homo sapiens*IGKV1-12*01 (92.6%) -IGKJ4*01 (100%), CDR-IMGT [6.3.9] (28'-33'.51'-53'.90'-98')) (1'-108') -*Homo sapiens*IGKC*01 (100%), Km3, A45.1 (154'), V101 (192') (109'-215')]; dímero (233-233'':236-236'')-bisdisulfuro, producido por un sistema de expresión de proteínas sin células basado en lisado de *Escherichia coli*, no glicosilado; substituido en C-4 de los residuos L-fenilalanilo 411 and 411" por los grupos {8-[(2S)-1-[[[(1⁴S,1⁶S,2R,3²S,3³S,4S,10E,12E,14R)-8⁶-cloro-1⁴-hidroxi-2,3³,7,10-tetrametil-8⁵,14-dimetoxi-1²,6-dioxo-7-aza-1(6,4)-[1,3]oxazinana-3(2,3)-oxirana-8(1,3)-bencenacyclotetradecafano-10,12-dien-4-il]oxi]-2,3,9-trimetil-1,4,8,24-tetraoxo-12,15,18,21-tetraoxa-3,9,25-triazaoctacosan-28-oil]-8,9-dihidro-1H(o 3H)-dibenzo[b, f][1,2,3]triazolo[4,5-d]azocin-1(u 3)-il]metilo (*debotansina*)
antineoplásico

Heavy chain / Chaîne lourde / Cadena pesada

MQVQLVESGG	GVVQPGRSRLR	LSCAASGFNF	SDYGMHWVRQ	APFGKLEWVA	50
VWYDGSISY	YADSVKGRFT	ISRDNKNTL	YMQMNSLRAE	DTAVYYCARG	100
CLVEHGAVYG	TDVWQGTTV	TVSSASTKGP	SVFPLAPSSK	STSGGTAALG	150
CLVKDYFPEP	VTVSWNSGAL	TSGVHTFPAV	LQSSGLYSLS	SVVTVPSSSL	200
GTQTYICNVN	HKPSNTKVDK	KVEPKSCDKT	HTCPPCPAPE	LLGGPSVFLF	250
PPKPKDTLMI	SRTPEVTCVV	VDVSHEDPEV	KFNWYVDGVE	VHNAKTKPRE	300
EQYNSYTRVV	SVLTVLHQDW	LNGKEYKCKV	SNKALPAPIE	KTISKAKGQP	350
REPQVYTLFP	SREEMTKNQV	SLTCLVKGFY	PSDIAVEWES	NGQPENNYKT	400
TEPFLDSDGS	FLYSKLTVD	KSRNQQGNVF	SCSVMEALH	NHYTQKLSLS	450
SPGK					454

E 4-debotansine-L-phenylalanine (pAMF) /
 4-débotansine-L-phénylalanine (pAMF) /
 4-debotansina-L-fenilalanina (pAMF)

Light chain / Chaîne légère / Cadena ligera

MIQMTQSPS	SVASVGDVR	TITCRASQGI	GSWLAWYQQK	PGKAPKLLIY	50
AADRLQSGVP	SRFSGSGSGT	DFTLTISLQ	PEDFATYYCQ	QYHTYPLTFG	100
GGTKVEIKRT	VAAPSVFIFP	PSDEQLKSGT	ASVVCLLNFF	YPREAKVQWK	150
VDNALQSGNS	QESVTEQDSK	DSTYLSLSTL	TLSKADYEKH	KVYACEVTHQ	200
GLSSPVTKSF	NRGEC				215

Post-translational modifications

Disulfide bridges location / Position des ponts disulfure / Posiciones de los puentes disulfuro
 Intra-H (C23-C104) 23-97 151-207 268-328 374-432
 23"-97" 151"-207" 268"-328" 374"-432"
 Intra-L (C23-C104) 24'-89' 135'-195'
 24"'-89"' 135"'-195"
 Inter-H-L (h 5-CL 126) 227-215' 227"-215"
 Inter-H-H (h 11, h 14) 233-233" 236-236"

N-terminal methionine / Méthionine N-terminale / Metionina N-terminal

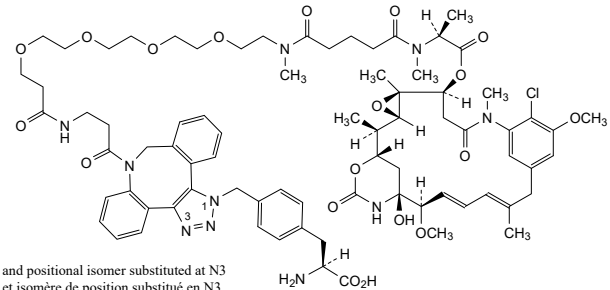
H VH M1.1: 1, 1"
 L V-KAPPA M1.1: 1', 1"
 No N-terminal methionine clipping (expressed in a cell-free expression system) /
 Pas de coupure de la méthionine N-terminale (exprimé dans un système d'expression acellulaire /
 Sin recorte de metionina N-terminal (expresado en un sistema de expresión libre de células)

N-glycosylation sites / Sites de N-glycosylation / Posiciones de N-glicosilación

H CH2 N84.4: 304, 304"
 Aglycosylated (expressed in a cell-free expression system) / aglycosylé (exprimé dans un système
 d'expression acellulaire / aglicosilado (expresado en un sistema de expresión libre de células)

Modified residues / Résidus modifiés / Restos modificados

H CH3 F85.2>E (pAMF): 411, 411"



bezisterim

bezisterim

17 α -pregn-5-en-20-yne-3 β ,7 β ,17-triol
anti-inflammatory, immunomodulator

bézistérim

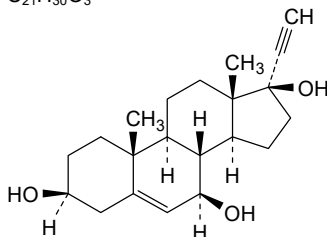
17 α -prégn-5-én-20-yne-3 β ,7 β ,17-triol
anti-inflammatoire, immunomodulateur

bezisterim

17 α -pregn-5-en-20-ino-3 β ,7 β ,17-triol
antiinflamatorio, inmunomodulador

C₂₁H₃₀O₃

1001100-69-1

**bimatoprostum grenodum**

bimatoprost grenod

(1*E*,3*S*)-1-((1*R*,2*R*,3*S*,5*R*)-2-[(2*Z*)-7-(éthylamino)-7-oxohept-2-en-1-yl]-3,5-dihydroxycyclopentyl)-5-phénylpent-1-en-3-yl 6-(nitrooxy)hexanoate
antiglaucoma

bimatoprost grénod

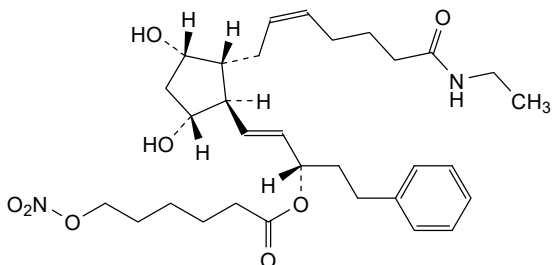
6-(nitrooxy)hexanoate de (1*E*,3*S*)-1-((1*R*,2*R*,3*S*,5*R*)-2-[(2*Z*)-7-(éthylamino)-7-oxohept-2-én-1-yl]-3,5-dihydroxycyclopentyl)-5-phénylpent-1-én-3-yle
antiglaucomateux

bimatoprost grenod

6-(nitrooxi)hexanoato de (1*E*,3*S*)-1-((1*R*,2*R*,3*S*,5*R*)-2-[(2*Z*)-7-(etilamino)-7-oxohept-2-en-1-yl]-3,5-dihidroxiciclopentil)-5-fenilpent-1-en-3-ilo
antiglaucoma

C₃₁H₄₆N₂O₈

1194396-71-8

**bivamelagonum**

bivamelagon

N-((3*S*,5*S*)-1-((3*S*,4*R*)-1-*tert*-butyl-4-(4-chlorophényl)pyrrolidine-3-carbonyl)-5-(morpholine-4-carbonyl)pyrrolidin-3-yl)-2-méthyl-*N*-[(1*s*,4*s*)-4-méthylcyclohexyl]propanamide
melanocortin receptor agonist

bivamélagon

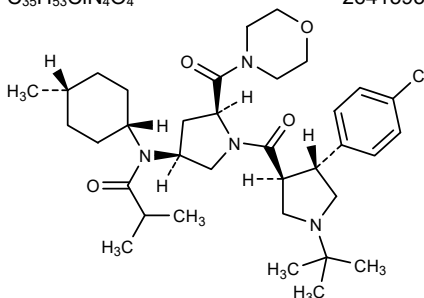
N-((3*S*,5*S*)-1-((3*S*,4*R*)-1-*tert*-butyl-4-(4-chlorophényl)pyrrolidine-3-carbonyl)-5-(morpholine-4-carbonyl)pyrrolidin-3-yl)-2-méthyl-*N*-[(1*s*,4*s*)-4-méthylcyclohexyl]propanamide
agoniste du récepteur de la mélanocortine

bivamelagón

N-{(3*S*,5*S*)-1-[(3*S*,4*R*)-1-*tert*-butil-4-(4-clorofenil)pirrolidina-3-carbonil]-5-(morfolina-4-carbonil)pirrolidina-3-il]-2-metil-*N*-[(1*s*,4*s*)-4-metilciclohexil]propanamida
agonista del receptor de melanocortina

C₃₅H₅₃ClN₄O₄

2641595-54-0

**bleximenibum**

bleximenib

N-ethyl-5-fluoro-2-[[5-(2-[(3*R*)-6-[(2-methoxyethyl)(methyl)amino]-2-methylhexan-3-yl]-2,6-diazaspiro[3.4]octan-6-yl)-1,2,4-triazin-6-yl]oxy]-*N*-(propan-2-yl)benzamide
antineoplástico

bleximénib

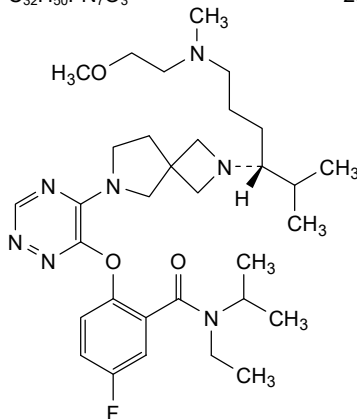
N-éthyl-5-fluoro-2-[[5-(2-[(3*R*)-6-[(2-méthoxyéthyl)(méthyl)amino]-2-méthylhexan-3-yl]-2,6-diazaspiro[3.4]octan-6-yl)-1,2,4-triazin-6-yl]oxy]-*N*-(propan-2-yl)benzamide
antineoplasique

bleximenib

N-etil-5-fluoro-2-[[5-(2-[(3*R*)-6-[metil(2-metoxietil)amino]-2-metilhexan-3-il]-2,6-diazaspiro[3.4]octan-6-il)-1,2,4-triazin-6-il]oxi]-*N*-(propan-2-il)benzamida
antineoplásico

C₃₂H₅₀FN₇O₃

2654081-35-1



bocodepsinum

bocodepsin

S-((3E)-4-[(6S,9S)-12,12-dimethyl-4,8,11,14-tetraoxo-9-(propan-2-yl)-7-oxa-3,10,13-triaza-1(2,4)-[1,3]thiazolacyclotetradecaphan-6-yl]but-3-en-1-yl)(2S)-2-amino-3-methylbutanethioate
antineoplastica

bocodepsine

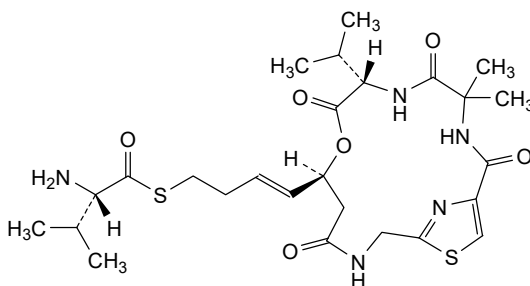
(2S)-2-amino-3-méthylbutanethioate de S-((3E)-4-[(6S,9S)-12,12-diméthyl-4,8,11,14-tétraoxo-9-(propan-2-yl)-7-oxa-3,10,13-triaza-1(2,4)-[1,3]thiazolacyclotétradécapan-6-yl]but-3-én-1-yle)
antineoplasique

bocodepsina

(2S)-2-amino-3-metilbutanotioato de S-((3E)-4-[(6S,9S)-12,12-dimetil-4,8,11,14-tetraoxo-9-(propan-2-il)-7-oxa-3,10,13-triaza-1(2,4)-[1,3]thiazolaciclötetradecafan-6-il]but-3-en-1-ilo)
antineoplásico

C₂₆H₃₉N₅O₆S₂

1834513-65-3

**brinretigenum vesgedparvovecum #**

brinretigenum vesgedparvovec

recombinant, non-replicating adeno-associated virus serotype 5 (rAAV5) vector encoding (1) codon-optimized *Staphylococcus aureus* clustered regularly interspaced short palindromic repeats (CRISPR)-associated protein 9 (Cas9) flanked by simian virus 40 (SV40) nuclear localisation signal peptide sequences and (2) two guide RNAs (gRNA-323 and gRNA-64) targeting intron 26 of the human centrosomal protein 290 (CEP290, nephrocystin-6) gene. Expression of the CRISPR Cas9 gene is under control of the human G protein-coupled receptor kinase 1 (GRK1, rhodopsin kinase) promoter along with an SV40 splice donor/splice acceptor site, a Kozak sequence and a small synthetic polyadenylation signal. Expression of the two gRNAs is each under control of a human small nuclear RNA U6 polymerase III promoter. The vector genome is flanked by adeno-associated virus 2 (AAV2) inverted terminal repeats (ITRs). Expression of the gene editing components is intended to remove or invert the mutation-containing intronic region of the CEP290 gene (IVS26), and to restore functional CEP290 protein levels
gene therapy (Leber congenital amaurosis)

brinrétigène vesgedparvovec

vecteur recombinant non répliquant du virus adéno-associé de sérotype 5 (rAAV5) codant (1) la protéine 9 (Cas9) aux codons optimisés associée à des répétitions palindromiques courtes régulièrement espacées et groupées (CRISPR) de *Staphylococcus aureus* et flanquée de séquences de signal de localisation nucléaire du virus simien 40 (SV40) et (2) deux ARN guides (ARNg-323 et ARNg-64) ciblant l'intron 26 du gène de la protéine centrosomale 290 humaine (CEP290, néphrocystine-6). L'expression du gène CRISPR Cas9 est contrôlée par le promoteur du récepteur humain couplé à la protéine G kinase 1 (GRK1, rhodopsine kinase) ainsi que par un site donneur/accepteur d'épissage SV40, une séquence Kozak et un petit signal de polyadénylation synthétique. L'expression des deux ARNg est contrôlée par le promoteur du petit ARN nucléaire humain U6 polymérase III. Le génome du vecteur est flanqué de répétitions terminales inversées (ITR) du virus adéno-associé 2 (AAV2). L'expression des composants d'édition de gènes vise à supprimer ou à inverser la région intronique du gène CEP290 contenant la mutation (IVS26) et à restaurer les niveaux fonctionnels de la protéine CEP290
thérapie génique (amaurose congénitale de Leber)

brinretigén vesgedparvovec

vector de virus adenoasociado del serotipo 5 recombinante (rAAV5), no replicativo, que codifica para (1) la proteína Cas 9 (Cas 9) asociada a repeticiones palindrómicas cortas agrupadas y espaciadas regularmente (CRISPR) de *Staphylococcus aureus*, con codones optimizados, flanqueado por secuencias del péptido señal de localización nuclear del virus del simio 40 (SV40) y (2) dos ARNs guía (ARNg-323 y ARNg-64) dirigidos al intrón 26 del gen de la proteína 290 del centrosoma humana (CEP290, nefrocistina-6). La expresión del gen CRISPR Cas9 está bajo el control del promotor del receptor de quinasa 1 acoplado a la proteína G humano (GRK1, rodopsina quinasa) junto a un sitio donante/aceptor de procesamiento (splicing) de SV40, una secuencia Kozak y una pequeña señal sintética de poliadenilación. La expresión de cada uno de los dos ARNg está bajo el control de un promotor de polimerasa III del ARN nuclear pequeño U6. El genoma del vector está flanqueado por las repeticiones terminales invertidas (ITRs) del virus adenoasociado 2 (AAV2). La expresión de los componentes editores pretende eliminar o invertir la región intrónica que contiene la mutación del gen CEP290 (IVS26) y restaurar los niveles funcionales de la proteína CDP290
terapia génica (amaurosis congénita de Leber)

2768756-11-0

budoprutugum #

budoprutug

immunoglobulin G1-kappa, anti-[*Homo sapiens* CD19 (B lymphocyte surface antigen B4, Leu-12)], monoclonal antibody; gamma1 heavy chain (1-450) [VH Musmus/Homsap (*Mus musculus* IGHV1-69*02(85.7%) -(IGHD) -IGHJ4*01 (100%)/*Homo sapiens* IGHV1-46*01 (67.3%) -(IGHD) -IGHJ4*01 (92.3%) L123>S (115), CDR-IMGT [8.8.13] (26-33.51-58.97-109)) (1-120) -*Homo sapiens* IGHG1*03 (100%), G1m3, nG1m1 CH1 R120, E12, M14 (CH1 R120 (217) (121-218), hinge 1-15 (219-233), CH2 (234-343), CH3 E12 (359), M14 (361) (344-448), CHS (449-450)) (121-450)], (223-211')-disulfide with kappa light chain (1'-211') [V-KAPPA Musmus/Homsap (*Mus musculus* IGKV4-70*01 (90.3%) -IGKJ1*01 (100%)/*Homo sapiens* IGKV3D-11*01 (63.8%) -IGKJ4*01 (90.9%) V124>L (101'), CDR-IMGT [5.3.7] (27'-31'.49'-51'.88'-94')) (1'-104') -*Homo sapiens* IGKC*01 (100%), Km3, A45.1 (150'), V101 (188') (105'-211')]; dimer (229-229":232-232")-bisdisulfide, produced in YB2/0 cell line, glycoform alfa
immunosuppressant

budoprutug

immunoglobuline G1-kappa, anti-[*Homo sapiens* CD19 (antigène de surface B4 des lymphocytes B, Leu-12)], anticorps monoclonal;
chaîne lourde gamma1 (1-450) [VH Musmus/Homsap (*Mus musculus* IGHV1-69*02 (85.7%) -(IGHD) -IGHJ4*01 (100%)/*Homo sapiens* IGHV1-46*01 (67.3%) -(IGHD) -IGHJ4*01 (92.3%) L123>S (115), CDR-IMGT [8.8.13] (26-33.51-58.97-109)) (1-120) -*Homo sapiens* IGHG1*03 (100%), G1m3, nG1m1 CH1 R120, E12, M14 (CH1 R120 (217) (121-218), charnière 1-15 (219-233), CH2 (234-343), CH3 E12 (359), M14 (361) (344-448), CHS (449-450)) (121-450)], (223-211')-disulfure avec la chaîne légère kappa (1'-211') [V-KAPPA Musmus/Homsap (*Mus musculus* IGKV4-70*01 (90.3%) -IGKJ1*01 (100%)/*Homo sapiens* IGKV3D-11*01 (63.8%) -IGKJ4*01 (90.9%) V124>L (101'), CDR-IMGT [5.3.7] (27'-31'.49'-51'.88'-94')) (1'-104') -*Homo sapiens* IGKC*01 (100%), Km3, A45.1 (150'), V101 (188') (105'-211')]; dimère (229-229":232-232")-bisdisulfure, produit dans la lignée cellulaire YB2/0, glycoforme alfa
immunosuppresseur

budoprutug

immunoglobulina G1-kappa, anti-[*Homo sapiens* CD19 (antígeno de superficie B4 de los linfocitos B, Leu-12)], anticuerpo monoclonal;
cadena pesada gamma1 (1-450) [VH Musmus/Homsap (*Mus musculus* IGHV1-69*02 (85.7%) -(IGHD) -IGHJ4*01 (100%)/*Homo sapiens* IGHV1-46*01 (67.3%) -(IGHD) -IGHJ4*01 (92.3%) L123>S (115), CDR-IMGT [8.8.13] (26-33.51-58.97-109)) (1-120) -*Homo sapiens* IGHG1*03 (100%), G1m3, nG1m1 CH1 R120, E12, M14 (CH1 R120 (217) (121-218), pesada 1-15 (219-233), CH2 (234-343), CH3 E12 (359), M14 (361) (344-448), CHS (449-450)) (121-450)], (223-211')-disulfuro con la cadena ligera kappa (1'-211') [V-KAPPA Musmus/Homsap (*Mus musculus* IGKV4-70*01 (90.3%) -IGKJ1*01 (100%)/*Homo sapiens* IGKV3D-11*01 (63.8%) -IGKJ4*01 (90.9%) V124>L (101'), CDR-IMGT [5.3.7] (27'-31'.49'-51'.88'-94')) (1'-104') -*Homo sapiens* IGKC*01 (100%), Km3, A45.1 (150'), V101 (188') (105'-211')]; dímero (229-229":232-232")-bisdisulfuro, producido en la línea celular YB2/0, forma glicosilada alfa
immunosupresor

2720478-38-4

Heavy chain / Chaîne lourde / Cadena pesada
 QVQLQEQGAE VVKPGASVKV SCKTSGYFTF SNWMHWVKQT PGKGLEWIGE 50
 IDPDSYTNV NQKFDGKAKL TVDKSSSTAY MEVSDLTAED SATYYCARGS 100
 NPYYYAMDYW GQGTSVTVSS ASTKGPVFPF LAPSSKSTSG GTAALGCLVK 150
 DYFPEPVTVS WNSGALTSKV HTFPAVLQSS GLYSLSSVVT VPSSSLGTQT 200
 YICNVNHPKS NTKVDRKVEP KSCDKTHTCP PCPAPPELLGG PSVFLPPPKP 250
 KDTLMISRTP EIVTCVVVDVH HEDPEVKFNW YVDGVEVHNA KTKPREEQYN 300
 STYRVVSVLT VLVHQQDLNKGK EYKCKVSNKA LPAPIEKTIS KAKGQPREPQ 350
 VYTLPPSRRE MTKNQVSLTCL LVKGFYPSDI AVEWESNGQP ENNYKTTTPPV 400
 LDSGDSFFLY SKLTVDKSRW QQGNVFPSCSV MHEALHNHYT QKSLSLSPGK 450

Light chain / Chaîne légère / Cadena ligera
 QIVLTQSPAT LSASPGKAT MTCASSSGVN YMHWYQQKPG TSPKRWIYDT 50
 DKTAGVTPAR FSGSGSGTSY SLTISSMEEA DAATYYCHQR GSYTFGGGTK 100
 LEIKRTVAAP SVFIFFPDSDE QLKSGTASVV CLLNMFYFRE AKVQWKVDNA 150
 LQSGNSQESV TEQDSKDSY SLSSLTLSK ADYKHKVYA CEVTHQGLSS 200
 PVTKSFNRGE C 211

Post-translational modifications
 Disulfide bridges location / Position des ponts disulfure / Posiciones de los puentes disulfuro
 Intra-H (C23-C104) 22-96 147-203 264-324 370-428
 22"-96" 147"-203" 264"-324" 370"-428"
 Intra-L (C23-C104) 23"-87" 131"-191"
 23"-87" 131"-191"
 Inter-H-L (h 5-CL 126) 223-211' 223"-211"
 Inter-H-H (h 11, h 14) 229-229" 232-232"

N-terminal glutaminyl cyclization / Cyclisation du glutaminyle N-terminal /
 Ciclación del glutamínilo N-terminal
 Q > pyroglutamyl (pE, 5-oxoprolyl) / pyroglutamyle (pE, 5-oxoprolyle) /
 piroglutamilo (pE, 5-oxoproliolo)
 H VH Q1: 1, 1"
 L VL Q1: 1, 1"

N-glycosylation sites / Sites de N-glycosylation / Posiciones de N-glicosilación
 H CH2 N84.4: 300, 300"
 Fucosylated complex bi-antennary CHO-type glycans / glycanes de type CHO bi-antennaires
 complexes fucosylés / glicanos de tipo CHO biantenaríos complejos fucosilados
 C-terminal lysine clipping / Coupure de la lysine C-terminale / Recorte de lisina C-terminal
 H CHS K2: 450, 450"

cabotamigum #
 cabotamig

immunoglobulin VH-G1CH1h-G4CH2CH3-scFv_L-kappa dimer, anti-
 [*Homo sapiens* CDH17 (cadherin 17)], anti-*[Homo sapiens* CD3E (CD3
 epsilon, Leu-4)], monoclonal antibody humanized, bispecific;
 VH-G1CH1h-G4CH2CH3-scFv fused heavy chain humanized (1-697) [VH-
 G1CH1h-G4CH2CH3 heavy chain anti-CDH17 humanized (1-446) [(VH
 (*Homo sapiens*IGHV3-23*04 (89.7%) -(IGHD) -IGHJ4*01 (91.7%) S128>A
 (116), CDR-IMGT [8.8.9] (26-33.51-58.97-105)) (1-116)-*Homo sapiens*
 IGHG1*03 (100%) G1m3 CH1-h, CH1 R120 (CH1 R120 (213) (117-214),
 hinge 1-15 (215-229)) (117-229)-*Homo sapiens* IGHG4*01 CH2-CH3,
 nG4m(a) CH2 L92, G4v1 CH2 L1.3 (CH2 F1.3>L (233), L92 (308) (230-
 339), CH3 (340-444), CHS (445-446)) (230-446) -7-mer (prolyl-alanyl-
 tetraglycyl-seryl) linker (447-453) -scFv heavy-kappa anti-CD3E humanized
 (454-697) [VH (*Homo sapiens*IGHV3-66*01 (76.8%) -(IGHD) -IGHJ4*01
 (93.3%), CDR-IMGT [8.8.15] (479-486.504-511.550-564)) (454-575) -15-
 mer tris(tetraglycyl-seryl) linker (576-590) -V-KAPPA (*Homo sapiens*
 IGKV1-NL1*01 (88.4%) -IGKJ1*01 (100%), CDR-IMGT [6.3.9] (617-
 622.640-642.679-687)) (591-697)]], (219-214')-disulfide with kappa light
 chain anti-CDH17 humanized (1'-214') [V-KAPPA (*Homo sapiens*IGKV1-
 16*01 (83.2%) -IGKJ4*01 (91.7%), CDR-IMGT [6.3.9] (27'-32'.50'-52'.89'-
 97')) (1'-107') -*Homo sapiens*IGKC*01 (100%), Km3, A45.1(153'), V101
 (191') (108'-214')]; dimer (225-225":228-228")-bisdisulfide, produced in
 Chinese hamster ovary (CHO) cells, cell line CHO-K1, glycoform alpha
 antineoplastic

cabotamig

immunoglobuline VH-G1CH1h-G4CH2CH3-scFv_L-kappa dimer, anti-
 [*Homo sapiens* CDH17 (cadherine 17)], anti-*[Homo sapiens* CD3E (CD3
 epsilon, Leu-4)], anticorps monoclonal humanisé, bispécifique;

chaîne lourde fusionnée VH-G1CH1h-G4CH2CH3-scFv humanisée (1-697) [VH-G1CH1h-G4CH2CH3 chaîne lourde anti-CDH17 humanisée (1-446) [VH (*Homo sapiens*IGHV3-23*04 (89.7%) -(IGHD) -IGHJ4*01 (91.7%) S128>A (116), CDR-IMGT [8.8.9] (26-33.51-58.97-105)) (1-116) -*Homo sapiens* IGHG1*03 (100%), G1m3 CH1-h, CH1R120 (CH1 R120 (213) (117-214), charnière 1-15 (215-229)) (117-229) -*Homo sapiens* IGHG4*01 CH2-CH3, nG4m(a) CH2 L92, G4v1 CH2 L1.3 (CH2 F1.3>L (233), L92 (308) (230-339), CH3 (340-444), CHS (445-446)) (230-446))] -7-mer (prolyl-alanyl-tétraglycyl-séryl) linker (447-453) -scFv heavy-kappa anti-CD3E humanisé (454-697) [VH (*Homo sapiens*IGHV3-66*01 (76.8%) -(IGHD) -IGHJ4*01 (93.3%), CDR-IMGT [8.8.15] (479-486.504-511.550-564)) (454-575) -15-mer tris(tétraglycyl-séryl) linker (576-590) -V-KAPPA (*Homo sapiens*IGKV1-NL1*01 (88.4%) -IGKJ1*01 (100%), CDR-IMGT [6.3.9] (617-622.640-642.679-687)) (591-697)]], (219-214')-disulfure avec la chaîne légère kappa anti-CDH17 humanisée (1'-214') [V-KAPPA (*Homo sapiens*IGKV1-16*01 (83.2%) -IGKJ4*01 (91.7%), CDR-IMGT [6.3.9] (27'-32'.50'-52'.89'-97')) (1'-107') -*Homo sapiens*IGKC*01 (100%), Km3, A45.1 (153'), V101 (191') (108'-214')]; dimère (225-225":228-228")-bisdisulfure, produit dans des cellules ovariennes de hamster chinois (CHO), lignée cellulaire CHO-K1, glycoforme alfa
antineoplasique

cabotamig

inmunoglobulina VH-G1CH1h-G4CH2CH3-scFv_L-kappa dímero, anti-[*Homo sapiens* CDH17 (cadherina 17)], anti-[*Homo sapiens* CD3E (CD3 épsilon, Leu-4)], anticuerpo monoclonal humanizado, biespecífico;
cadena pesada fusionada VH-G1CH1h-G4CH2CH3-scFv humanizada (1-697) [VH-G1CH1h-G4CH2CH3 cadena pesada anti-CDH17 humanizada (1-446) [VH (*Homo sapiens*IGHV3-23*04 (89.7%) -(IGHD) -IGHJ4*01 (91.7%) S128>A (116), CDR-IMGT [8.8.9] (26-33.51-58.97-105)) (1-116) -*Homo sapiens* IGHG1*03 (100%), G1m3 CH1-h, CH1R120 (CH1 R120 (213) (117-214), bisagra 1-15 (215-229)) (117-229) -*Homo sapiens* IGHG4*01 CH2-CH3, nG4m(a) CH2 L92, G4v1 CH2 L1.3 (CH2 F1.3>L (233), L92 (308) (230-339), CH3 (340-444), CHS (445-446)) (230-446))] -7-mer (proliil-alanil-tetraglicil-seril) enlace (447-453) -scFv pesado-kappa anti-CD3E humanizado (454-697) [VH (*Homo sapiens*IGHV3-66*01 (76.8%) -(IGHD) -IGHJ4*01 (93.3%), CDR-IMGT [8.8.15] (479-486.504-511.550-564)) (454-575) -15-mer tris(tetraglicil-seril) enlace (576-590) -V-KAPPA (*Homo sapiens*IGKV1-NL1*01 (88.4%) -IGKJ1*01 (100%), CDR-IMGT [6.3.9] (617-622.640-642.679-687)) (591-697)]], (219-214')-disulfuro con la cadena ligera kappa anti-CDH17 humanizada (1'-214') [V-KAPPA (*Homo sapiens*IGKV1-16*01 (83.2%) -IGKJ4*01 (91.7%), CDR-IMGT [6.3.9] (27'-32'.50'-52'.89'-97')) (1'-107') -*Homo sapiens*IGKC*01 (100%), Km3, A45.1 (153'), V101 (191') (108'-214')]; dímero (225-225":228-228")-bisdisulfuro, producido en las células ováricas de hámster chino (CHO), línea celular CHO-K1, forma glicosilada alfa
antineoplásico

2755301-09-6

Heavy chain / Chaîne lourde / Cadena pesada: anti-CDH17 G1-4 -anti-CD3 scFv
 EVQLVESGGG LVQPGGSLRL SCAASGFTFS SYAMSWVRQT PGKGLEWVAV 50
 IDSNQGGSTYY PDTVKDRFTI SRDNSKNTLY LQMNSLRAED TAVYYCSSYT 100
 NLGAYWGQGT LVTVSAASTK GPSVFPPLAPS SKSTSGGTAA LGCLVKDYFPP 150
 EPVTVSWNSG ALTSQGVHTFP AVLQSSGLYS LSSVVTVPSS SLGQTQYICN 200
 VNHKPSNTKV DKRVEPKSCD KTHTCPPCAPELLGGPSVF LFPPKPKDTL 250
 MISRTPEVTC VVVDVDSQDEP EVQFNWYVDG VEVHNAKTKP REEQFNSTYR 300
 VVSVLTVLHQ DWLNGKEYKC KVSNGKLPSS IEKTIISKAKG QPREPQVYTL 350
 PPSQEMTKN QVSLTCLVKG FYPSDIAVEW ESNQGPENNY KTFPPVLDSD 400
 GSFFLYSRLT VDKSRWQEGN VFSCSVMHEA LHNHYTQKSL SLSLGPAGG 450
 GGSEVQLVES GGGVLQFPGS LRLSCAASGY SFTGYTMNWV RQAPGKGLEW 500
 VALINPYKGV STYNQKFKDR FTLSVDKSKN TAYLQMNLSL AEDTAVYYCA 550
 RSGYYGDSDW YFDVWGQGTL VTVSSGGGGS GGGGSGGGGS DIQMTQSPSS 600
 LSASVGRDVT ITCRASQDIR NYLNNWYQQKPK GKAPKLLIYIY TSRLESQVPS 650
 RFSAGSGGTD YTLTISLQFP EDFATYYCQQ GNTLPWTFGQ GTKVEIK 697

Light chain / Chaîne légère / Cadena ligera: anti-CDH17
 DIQMTQSPSS LSASVGRDVT ITCRASQDIS GYLNWLQKPK GGAIKRLIYT 50
 TSTLDSGVPK RFSGSGGTD FTLTISLQGS EDFATYYCLQ YASSPFTFGG 100
 GTKVEIKRTV AAPSVFIFPP SDEQLKSGTA SVVCLLNNFY PREAKVQMKV 150
 DNALQSGNSQ ESVTEQDSKD STYSLSSLT LSKADYEKHK VYACEVTHQG 200
 LSSPVTKSFN RGECC 214

Post-translational modifications

Disulfide bridges location / Position des ponts disulfure / Posiciones de los puentes disulfuro

Intra-H (C23-C104) 22-96 143-199 260-320 366-424
 22"-96" 143"-199" 260"-320" 366"-424"
 475-549 613-678
 475"-549" 613"-678"

Intra-L (C23-C104) 23'-88" 134'-194"
 23"-88"" 134""-194""

Inter-H-L (h 5-CL 126) 219-214" 219"-214"
 Inter-H-H (h 11, h 14) 225-225" 228-228"

N-glycosylation sites / Sites de N-glycosylation / Posiciones de N-glicosilación
 H CH2 N84.4: 296, 296"

Fucosylated complex bi-antennary CHO-type glycans / glycanes de type CHO bi-antennaires complexes fucosylés / glicanos de tipo CHO biantennarios complejos fucosilados

canlitinibum

canlitinib

6-{{[3²,9⁴-difluoro-1⁶-methoxy-5,7-dioxo-2-oxa-4,8-diaza-1(4)-quinolina-3(1,4),9(1)-dibenzena-6(1,1)-cyclopropanonaphan-1⁷-yl]oxy}hexanoic acid
tyrosine kinase inhibitor, antineoplastic

canlitinib

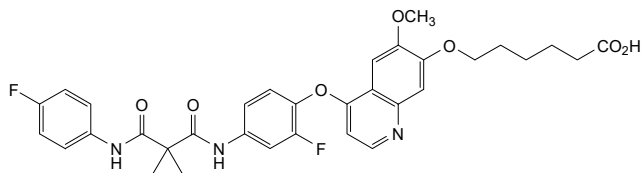
acide 6-{{[3²,9⁴-difluoro-1⁶-méthoxy-5,7-dioxo-2-oxa-4,8-diaza-1(4)-quinoléina-3(1,4),9(1)-dibenzéna-6(1,1)-cyclopropanonaphan-1⁷-yl]oxy}hexanoïque
inhibiteur de tyrosine kinase, antinéoplasique

canlitinib

ácido 6-{{[3²,9⁴-difluoro-1⁶-metoxi-5,7-dioxo-2-oxa-4,8-diaza-1(4)-quinoleína-3(1,4),9(1)-dibencena-6(1,1)-ciclopropanonafan-1⁷-il]oxi}hexanoico
inhibidor de la tirosina kinasa, antineoplásico

C₃₃H₃₁F₂N₃O₇

2222730-78-9



cemacabtagenum ansegedleucelum #

cemacabtagene ansegedleucel

allogeneic T lymphocytes obtained from peripheral blood mononuclear cells by leukapheresis of healthy volunteer donors, transduced with a self-inactivating, non-replicating lentiviral vector encoding a chimeric antigen receptor (CAR) targeting human CD19. The cells are also genetically modified using transcription activator-like (TAL) effector nucleases that are transiently delivered into the cell as mRNAs via electroporation and code for two pairs: one pair is designed for disruption of the T-cell receptor alpha constant (TRAC) and the other for disruption of the CD52 locus.

The expressed transgene comprises a mouse kappa light chain leader sequence, an anti-CD19 single chain variable fragment (scFv) derived from clone 4G7, a CD8 α hinge and transmembrane domain, and a 4-1BB (CD137) and CD3 ζ (TCR ζ) intracellular costimulatory domains, under control of the human elongation factor 1 alpha (EF1 α) short (EFS) promoter. The construct is flanked by 5' and 3' long terminal repeats (LTRs) and contains a ψ packaging signal, a truncated *gag*, a Rev response element (RRE), a central polypurine tract (cPPT) sequence and a mutated woodchuck post-transcriptional regulatory element (WPRE). The vector is pseudotyped with vesicular stomatitis virus (VSV) glycoprotein G.

The leukapheresis material is activated by CD3 and CD28 agonists to stimulate T lymphocyte growth in media containing serum and interleukin 2 (IL-2), transduced with the lentiviral vector, genetically modified, and then culture expanded. At the end of expansion, TCR- cells are enriched by positive selection and residual TCR+ cells are depleted using magnetic bead purification. The T lymphocytes ($\geq 90\%$) are positive for the transgene ($\geq 30\%$ CAR positive) and are $\geq 50\%$ CD52 $^-$ and $\leq 3\%$ TCR $\alpha\beta^+$. The cells respond to CD19 expressing target cells by releasing IFN gamma, and demonstrate cytotoxicity against cells expressing CD19 *cell-based gene therapy (antineoplastic)*

cémacabtagène anségedleucel

lymphocytes T allogéniques obtenus par leucaphérèse à partir de cellules mononucléaires de sang périphérique de donneurs volontaires sains, transduits avec un vecteur lentiviral auto-inactif et non répliquant codant un récepteur antigénique chimérique (CAR) ciblant le CD19 humain. Les cellules sont également modifiées génétiquement à l'aide de nucléases effectrices de type activateur de transcription (TAL) qui sont délivrées transitoirement dans la cellule sous forme d'ARNm par électroporation et qui codent deux paires: une paire est conçue pour la perturbation du récepteur des cellules T alpha constant (TRAC) et l'autre pour la perturbation du locus CD52.

Le transgène exprimé comprend une séquence de tête de chaîne légère kappa de souris, un fragment variable à chaîne unique (scFv) anti-CD19 dérivé du clone 4G7, une charnière et un domaine transmembranaire CD8 α , ainsi que des domaines co-stimulateurs intracellulaires 4-1BB (CD137) et CD3 ζ (TCR ζ), sous le contrôle du promoteur court (EFS) du facteur d'élongation 1 alpha (EF1 α) humain. La construction est flanquée de répétitions terminales longues (LTR) en 5' et 3' et contient un signal d'encapsulation ψ , un *gag* tronqué, un élément de réponse Rev (RRE), une séquence du tractus polypurine central

(cPPT) et un élément de régulation post-transcriptionnelle de la marmotte (WPRE) muté. Le vecteur est pseudotypé avec la glycoprotéine G du virus de la stomatite vésiculaire (VSV).

Le matériel de leucaphérèse est activé par des agonistes CD3 et CD28 pour stimuler la croissance des lymphocytes T dans un milieu contenant du sérum et de l'interleukine 2 (IL-2), transduites avec le vecteur lentiviral, génétiquement modifiées, puis amplifiées dans un milieu de culture. À la fin de l'expansion, les cellules TCR- sont enrichies par sélection positive et épuisement des cellules TCR+ résiduelles à l'aide d'une technologie de purification magnétique. Les lymphocytes T ($\geq 90\%$) sont positifs au transgène ($\geq 30\%$ CAR positif), et sont $\geq 50\%$ CD52- et $\leq 3\%$ TCR $\alpha\beta$ +. Les cellules répondent aux cellules cibles exprimant le CD19 en libérant de l'IFN gamma, et démontrent une cytotoxicité contre les cellules exprimant le CD19

thérapie génique à base de cellules (antineoplasique)

cemacabtagén ansegedleucel

linfocitos T alogénicos obtenidos de células mononucleares de sangre periférica mediante leucoaféresis de donantes voluntarios sanos, transducidos con un vector lentiviral auto inactivante, no replicativo, que codifica para un receptor de antígenos quimérico (CAR) dirigido al CD19 humano. Las células son también modificadas genéticamente usando nucleasas efectoras similares a un activador de la transcripción (TAL) que se administran de forma transitoria en la célula como ARNm por electroporación y que codifican para dos pares: un par está diseñado para romper el locus de la cadena constante α del receptor del linfocito T (TRAC) y el otro para romper el locus de CD52.

El transgén expresado contiene una secuencia líder de la cadena ligera kappa de ratón, un fragmento variable de cadena sencilla (scFv) anti-CD19 derivado del clon 4G7, un dominio bisagra y transmembrana de CD8 α y unos dominios co-estimuladores intracelulares de 4-1BB (CD137) y CD3z (TCR ζ), bajo el control del promotor corto del factor de elongación 1 alfa (EF1 α) humano. El constructo está flanqueado por repeticiones terminales largas (LTRs) en 5' y 3' y contiene una señal de empaquetamiento ψ , un *gag* truncado, un elemento de respuesta Rev (RRE), una secuencia de tracto de polipurina central (cPPT), y un elemento regulador post-transcripcional mutado de la marmota (WPRE). El vector está pseudotipado con la glicoproteína G del virus de la estomatitis vesicular (VSV). El material de leucoaféresis se activa mediante agonistas de CD3 y CD28 para estimular el crecimiento de linfocitos T en medio que contiene suero e interleuquina 2 (IL-2), se transduce con el vector lentiviral, se modifica genéticamente y después se expande en cultivo con medio. Al final de la expansión, las células TCR- se enriquecen mediante selección positiva y depleción de células TCR+ residuales usando tecnología de purificación magnética. Los linfocitos T ($\geq 90\%$) son positivos para el transgén ($\geq 30\%$ CAR positivos) y son $\geq 50\%$ CD52- y $\leq 3\%$ TCR $\alpha\beta$ +. Las células responden a células diana que expresan CD19 liberando IFN gamma y demuestran citotoxicidad contra células que expresan CD19

terapia génica basada en células (antineoplásico)

cepeprubartum #

cepeprubart

immunoglobulin G2-kappa, anti-[*Homo sapiens* SELPLG (selectin P ligand, PSGL-1, P-selectin glycoprotein ligand 1, CD162)], monoclonal antibody;
 gamma2 heavy chain (1-439) [VH (*Homo sapiens*IGHV3-30*03 (91.8%) -(IGHD) -IGHJ5*02 (100%) , CDR-IMGT [8.8.6] (26-33.51-58.97-102)) (1-113) -*Homo sapiens*IGHG2*02, G2m23 CH2 M45.1, A105 (CH1 (114-211), hinge 1-12 (212-223), CH2 M45.1 (274), K105>A (314) (224-332), CH3 (333-437), CHS (438-439)) (114-439)], (127-219)-disulfide with kappa light chain (1'-219') [V-KAPPA Musmus/Homsap (*Mus musculus*IGKV1-110*01 (90.0%) -IGKJ2*03 (81.8%), S120>Q (105'), K123>R (108')/*Homo sapiens*IGKV2D-29*02 (86.0%) -IGKJ5*01 (91.7%) CDR-IMGT [11.3.9] (27'-37'.55'-57'.94'-102')) (1'-112') -*Homo sapiens*IGKC*01 (100%), Km3, A45.1 (158'), V101 (196') (113'-219')]; dimer (215-215":216-216":219-219":222-222")-tetrakisdisulfide, produced in Chinese hamster ovary (CHO) cells, cell line CHO-S, glycoform alfa
immunosuppressant

cépéprubart

immunoglobuline G2-kappa, anti-[*Homo sapiens* SELPLG (ligand de la sélectine P, PSGL-1, ligand 1 de la glycoprotéine P-sélectine, CD162)], anticorps monoclonal;
 chaîne lourde gamma2 (1-439) [VH (*Homo sapiens*IGHV3-30*03 (91.8%) -(IGHD) -IGHJ5*02 (100%) , CDR-IMGT [8.8.6] (26-33.51-58.97-102)) (1-113) -*Homo sapiens*IGHG2*02, G2m23 CH2 M45.1, A105 (CH1 (114-211), charnière 1-12 (212-223), CH2 M45.1 (274), K105>A (314) (224-332), CH3 (333-437), CHS (438-439)) (114-439)], (127-219)-disulfure avec la chaîne légère kappa (1'-219') [V-KAPPA Musmus/Homsap (*Mus musculus*IGKV1-110*01 (90.0%) -IGKJ2*03 (81.8%), S120>Q (105'), K123>R (108')/*Homo sapiens*IGKV2D-29*02 (86.0%) -IGKJ5*01 (91.7%) CDR-IMGT [11.3.9] (27'-37'.55'-57'.94'-102')) (1'-112') -*Homo sapiens*IGKC*01 (100%), Km3, A45.1 (158'), V101 (196') (113'-219')]; dimère (215-215":216-216":219-219":222-222")- tétrakisdisulfure, produit dans des cellules ovariennes de hamster chinois (CHO), lignée cellulaire CHO-S, glycoforme alfa
immunosuppresseur

cepeprubart

inmunoglobulina G2-kappa, anti-[*Homo sapiens* SELPLG (ligando de la selectina P, PSGL-1, ligando 1 de la glicoproteína P-selectina, CD162)], anticuerpo monoclonal;
 cadena pesada gamma2 (1-439) [VH (*Homo sapiens*IGHV3-30*03 (91.8%) -(IGHD) -IGHJ5*02 (100%) , CDR-IMGT [8.8.6] (26-33.51-58.97-102)) (1-113) -*Homo sapiens*IGHG2*02, G2m23 CH2 M45.1, A105 (CH1 (114-211), bisagra 1-12 (212-223), CH2 M45.1 (274), K105>A (314) (224-332), CH3 (333-437), CHS (438-439)) (114-439)], (127-219)-disulfuro con la cadena ligera kappa (1'-219') [V-KAPPA Musmus/Homsap (*Mus musculus*IGKV1-110*01 (90.0%) -IGKJ2*03 (81.8%), S120>Q (105'), K123>R (108')/*Homo sapiens*IGKV2D-29*02 (86.0%) -IGKJ5*01 (91.7%) CDR-IMGT [11.3.9] (27'-37'.55'-57'.94'-102')) (1'-112') -*Homo sapiens*IGKC*01 (100%), Km3, A45.1 (158'), V101 (196') (113'-219')]; dímero (215-215":216-216":219-219":222-222")- tetrakisdisulfuro, producido en las células ováricas de hámster chino (CHO), línea celular CHO-S, forma glicosilada alfa
inmunosupresor

2769758-59-8

Heavy chain / Chaîne lourde / Cadena pesada
 QVQLVESGGG VVQPGRSLRL SCAASGFTFS SFGMHWVRQA PGKLEWVAY 50
 ISSASSTIYY ADTVKGRFTI SRDNSKNTLY LQMNSLRAED TAVYYCASSY 100
 GYWGQGTLLVTVSSASTKGPS VFPLAPCSRS TSESTAALGC LVKDYFFPEPV 150
 TVSWNSGALT SGVHTFPAVL QSSGLYSLSS VVTVTSSNFG TQTYTCNVDH 200
 KPSNTKVDKT VERKCCVECP FCPAPPVAGP SVFLFPPKPK DTLMISRTP 250
 VTCVVVDVSH EDPEQVFNWY VDGMEVHNAK TKFREEQFNS TFRVVSVLTV 300
 VHQDNLNGKE YKCAVSNKGL PAPIEKTISK TKGQPREPQV YTLPPSREEM 350
 KTKQVSLTCL VKGFYPSDIA VEWESNGQPE NNYKTTTPEML DSDGFFFLYS 400
 KLTVDKSRWQ QGNVFSCSVM HEALHNHYTQ KSLSLSPGK 439

Light chain / Chaîne légère / Cadena ligera
 DIVMTQTPLS LPVTPGEPAS ISCRSSRSLV HSNNTYLHW YLQKPGQSPQ 50
 LLIIYKVSNRFSGVPRDFSGS GSGTDFTLKI SRVEAEDVGV YYCSQTTTHVP 100
 LTFQGTTRLE IKRTVAAPSV FIFPPSDEQL KSGTASVCL LNNFYPREAK 150
 VQWVKVDNALQ SGNSQESVTE QDSKDYSTYSL SSTLTLSKAD YEKHKVYACE 200
 VTHQGLSSPV TKSFNRGEC 219

Post-translational modifications

Disulfide bridges location / Position des ponts disulfure / Posiciones de los puentes disulfuro

Intra-H (C23-C104) 22-96 140-196 253-313 359-417
 22"-96" 140"-196" 253"-313" 359"-417"
 Intra-L (C23-C104) 23-93' 139'-199'
 23'''-93''' 139'''-199'''

Inter-H-L (CH1 10-CL 126) 127-219" 127"-219"

Inter-H-H (h 4, h 5, h 8, h11) 215-215" 216-216" 219-219" 222-222"

N-terminal glutaminyl cyclization / Cyclisation du glutaminyle N-terminal /

Ciclación del glutaminilo N-terminal

Q > pyroglutamyl (pE, 5-oxoprolyl) / pyroglutamyle (pE, 5-oxoprolyle) /

piroglutamilo (pE, 5-oxoprolylo)

H VH Q1: 1, I"

N-glycosylation sites / Sites de N-glycosylation / Posiciones de N-glicosilación

H CH2 N84.4: 289, 289"

Fucosylated complex bi-antennary CHO-type glycans / glycanes de type CHO bi-antennaires complexes fucosylés / glicanos de tipo CHO biantennarios complejos fucosilados

C-terminal lysine clipping / Coupure de la lysine C-terminale / Recorte de lisina C-terminal

H CHS K2: 439, 439"

ciboterceptum #

cibotercept

human activin receptor type 2-B (activin receptor type IIB, ACTR-IIB) extracellular domain (ECD) fragment (2-116, 1-115 in the current sequence), engineered variant (S¹>del, I¹¹>L, L²⁷>V, Q³⁴>K, ⁵⁰T⁵¹>SL, I⁵³>I, ⁶⁹QE⁷⁰>DT, E⁷⁵>K, F⁸⁹>M) fused via the peptide linker ¹¹⁶GGG¹¹⁸ to a human immunoglobulin G1 Fc fragment (h-CH2-CH3-CHS domains [Homo sapiens IGHG1*01 (hinge (119-128), CH2 (129-238), CH3 (239-343), CHS K³⁴⁵>del (344-344))] (119-344), disulfide bridged homodimer, produced in Chinese hamster ovary (CHO) cells, glycoform alfa
activin receptor type-2B ligand trap

cibotercept

fragment du domaine extracellulaire (ECD) du récepteur humain de l'activine de type 2-B (récepteur de l'activine de type IIB, ACTR-IIB) (2-116, 1-115 dans la séquence actuelle), variant modifié (S¹>del, I¹¹>L, L²⁷>V, Q³⁴>K, ⁵⁰T⁵¹>SL, I⁵³>I, ⁶⁹QE⁷⁰>DT, E⁷⁵>K, F⁸⁹>M), fusionné via la liaison peptidique ¹¹⁶GGG¹¹⁸ au fragment Fc de l'immunoglobuline G1 humaine (domaines h-CH2-CH3-CHS [Homo sapiens IGHG1*01 (charnière (119-128), CH2 (129-238), CH3 (239-343), CHS K³⁴⁵>del (344-344))] (119-344), homodimère à ponts disulfure, produit dans des cellules ovariennes de hamster chinois (CHO), glycoforme alfa
piège à ligand du récepteur d'activine de type 2B

-2'-désoxy-*P*-thioadénylyl-(3'→5')-2'-désoxy-*P*-thiocytidylyl-(3'→5')-*P*-thiothymidylyl-(3'→5')-2'-désoxythymidine
réducteur de la synthèse du facteur de croissance de type 1 apparenté à l'insuline (IGF-1), antinéoplasique

cibrigirsén

todo-P-ambo-P-tiotimidilil-(3'→5')-2'-desoxi-P-tiocitidilil-(3'→5')-2'-desoxi-P-tiocitidilil-(3'→5')-P-titimidilil-(3'→5')-2'-desoxi-P-tiocitidilil-(3'→5')-2'-desoxi-P-tiocitidilil-(3'→5')-2'-desoxi-P-tioguanilil-(3'→5')-2'-desoxi-P-tioguanilil-(3'→5')-2'-desoxi-P-tioadenilil-(3'→5')-2'-desoxi-P-tioguanilil-(3'→5')-2'-desoxi-P-tiocitidilil-(3'→5')-2'-desoxi-P-tioadenilil-(3'→5')-2'-desoxi-P-tioguanilil-(3'→5')-2'-desoxi-P-tioadenilil-(3'→5')-2'-desoxi-P-tiocitidilil-(3'→5')-P-tiotimidilil-(3'→5')-2'-desoxitimidina
reductor de la síntesis del factor de crecimiento 1 similar a la insulina (IGF-1), antineoplásico

160614-28-8

(3'-5')d(*P*-thio)(T-C-C-T-C-C-G-G-A-G-C-C-A-G-A-C-T-T)**cinsebrutinibum**

cinsebrutinib

2-fluoro-1-[(3*S*)-1-(prop-2-enoyl)piperidin-3-yl]-5,6,7,8,9,10-hexahydrocyclohepta[*b*]indole-4-carboxamide
Bruton's tyrosine kinase inhibitor, antineoplastic

cinsébrutinib

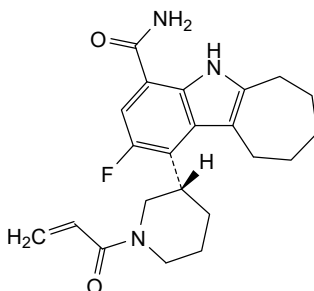
2-fluoro-1-[(3*S*)-1-(prop-2-énoyl)pipéridin-3-yl]-5,6,7,8,9,10-hexahydrocyclohepta[*b*]indole-4-carboxamide
inhibiteur de la tyrosine kinase de Bruton, antinéoplasique

cinsebrutinib

2-fluoro-1-[(3*S*)-1-(prop-2-enoil)piperidin-3-il]-5,6,7,8,9,10-hexahidrocioclohepta[*b*]indol-4-carboxamida
inhibidor de la tirosina kinasa de Bruton, antineoplásico

C₂₂H₂₆FN₃O₂

2724962-58-5

**civorebrutinibum**

civorebrutinib

5-amino-3-{4-[(5-chloropyridin-2-yl)oxy]phenyl}-1-[(6*R*)-4-cyano-4-azaspiro[2.5]octan-6-yl]-1*H*-pyrazole-4-carboxamide
Bruton's tyrosine kinase inhibitor, antineoplastic

civorébrutinib

5-amino-3-{4-[(5-chloropyridin-2-yl)oxy]phényl}-1-[(6*R*)-4-cyano-4-azaspiro[2.5]octan-6-yl]-1*H*-pyrazole-4-carboxamide
inhibiteur de la tyrosine kinase de Bruton, antinéoplasique

Proposed INN: List 129

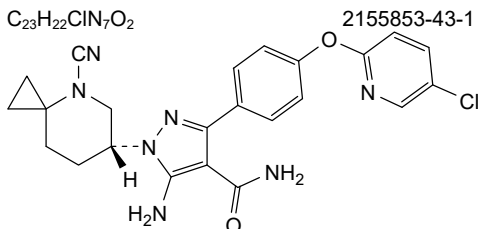
civorebrutinib

WHO Drug Information, Vol. 37, No. 2, 2023

5-amino-3-{4-[(5-chloropiridin-2-il)oxil]fenil}-1-[(6R)-4-ciano-4-azaspiro[2.5]octan-6-il]-1H-pirazolo-4-carboxamida

inhibidor de la tirosina kinasa de Bruton, antineoplásico

$C_{23}H_{22}ClN_7O_2$



clמידסוגענום לאנפארבעקום #

clמידסוגענע לאנפארבעק

recombinant, non-replicating adeno-associated virus serotype 9 (rAAV9) vector encoding human iduronate 2-sulfatase (IDS, α -L-iduronate sulfate sulfatase) under control of a human cytomegalovirus (CMV) immediate-early enhancer/chicken β -actin (CBA) promoter, with a chicken β -actin intron, terminated with the rabbit β -globin polyadenylation signal, and flanked by adeno-associated virus 2 (AAV2) inverted terminal repeats (ITRs)

gene therapy (mucopolysaccharidosis type 2)

כלמידסוגענע לאנפארבעק

vecteur recombinant non répliquant du virus adéno-associé de sérotype 9 (rAAV9) codant pour l'iduronate 2-sulfatase humaine (IDS, α -L-iduronate sulfate sulfatase) sous le contrôle d'un amplificateur immédiat et précoce du cytomégalo­virus (CMV) humain/promoteur de la β -actine de poulet (CBA), avec un intron de β -actine de poulet, terminé par le signal de polyadénylation de la β -globine de lapin, et encadré par des répétitions terminales inversées (ITR) du virus adéno-associé 2 (AAV2)

thérapie génique (mucopolysaccharidose de type 2)

clמידסוגען לאנפארבעק

vector de virus adenoasociado del serotipo 9 recombinante (rAAV9), no replicativo, que codifica para la iduronato 2 sulfatasa (IDS, α -L-iduronato sulfato sulfatasa) bajo el control de un potenciador inmediato-temprano de citomegalovirus (CMV) humano /promotor de la β -actina de pollo (CBA), con un intrón de la β -actina de pollo, terminado con una señal de poliadenilación de la β -globina de conejo y flanqueado por repeticiones terminales invertidas (ITRs) del virus adenoasociado 2 (AAV2)

terapia génica (mucopolisacaridosis tipo 2)

2766142-50-9

clofutribenem

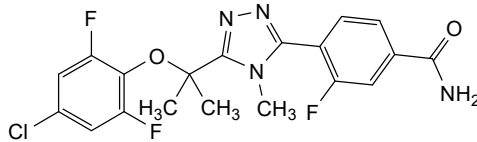
clofutriben

4-[5-[2-(4-chloro-2,6-difluorophenoxy)propan-2-yl]-4-methyl-4H-1,2,4-triazol-3-yl]-3-fluorobenzamide
11-beta-hydroxysteroid dehydrogenase 1 inhibitor

- clofutribène 4-[5-[2-(4-chloro-2,6-difluorophénoxy)propan-2-yl]-4-méthyl-4*H*-1,2,4-triazol-3-yl]-3-fluorobenzamide
inhibiteur de la 11-bêta-hydroxystéroïde déshydrogénase 1
- clofutribén 4-[5-[2-(4-cloro-2,6-difluorofenoxi)propan-2-il]-4-metil-4*H*-1,2,4-triazol-3-il]-3-fluorobenzamida
inhibidor de la 11-beta-hidroxiesteroide deshidrogenasa 1

C₁₉H₁₆ClF₃N₄O₂

1204178-50-6



coramitugum #
coramitug

immunoglobulin G1-kappa, anti-[*Homo sapiens* TTR (transthyretin) misfolded], monoclonal antibody; gamma1 heavy chain (1-454) [VH (*Mus musculus* IGHV5-12-2*01 (92.9%) -(IGHD) -IGHJ4*01 (84.6%) S123>L (119), CDR-IMGT [8.8.17] (26-33.51-58.97-113)) (1-124) -*Homo sapiens* IGHG1*03 (100%), G1m3, nG1m1CH1 R120, E12, M14 (CH1 R120 (221) (125-222), hinge 1-15 (223-237), CH2 (238-347), CH3 E12 (363), M14 (365) (348-452), CHS (453-454)) (125-454)], (227-219')-disulfide with kappa light chain (1'-219') [V-KAPPA (*Mus musculus* IGKV2-137*01 (89.0%) -IGKJ2*03 (90.9%) S120>Q (105'), CDR-IMGT [11.3.9] (27'-37'.55'-57'.94'-102')) (1'-112') -*Homo sapiens* IGKC*01 (100%), Km3, A45.1 (158'), V101 (196') (113'-219')]; dimer (233-233":236-236")-bisdisulfide, produced in Chinese hamster ovary (CHO) cells, cell line CHO-DG44, glycoform alfa
clearance of transthyretin aggregates

coramitug

immunoglobuline G1-kappa, anti-[*Homo sapiens* TTR (transthyréline) mal repliée], anticorps monoclonal; chaîne lourde gamma1 (1-454) [VH (*Mus musculus* IGHV5-12-2*01 (92.9%) -(IGHD) -IGHJ4*01 (84.6%) S123>L (119), CDR-IMGT [8.8.17] (26-33.51-58.97-113)) (1-124) -*Homo sapiens* IGHG1*03 (100%), G1m3, nG1m1CH1 R120, E12, M14 (CH1 R120 (221) (125-222), charnière 1-15 (223-237), CH2 (238-347), CH3 E12 (363), M14 (365) (348-452), CHS (453-454)) (125-454)], (227-219')-disulfure avec la chaîne légère kappa (1'-219') [V-KAPPA (*Mus musculus* IGKV2-137*01 (89.0%) -IGKJ2*03 (90.9%) S120>Q (105'), CDR-IMGT [11.3.9] (27'-37'.55'-57'.94'-102')) (1'-112') -*Homo sapiens* IGKC*01 (100%), Km3, A45.1 (158'), V101 (196') (113'-219')]; dimère (233-233":236-236")-bisdisulfure, produit dans des cellules ovariennes de hamster chinois (CHO), lignée cellulaire CHO-DG44, glycoforme alfa
élimination des agrégats de transthyréline

coramitug

inmunoglobulina G1-kappa, anti-[*Homo sapiens* TTR (transtiretina) mal plegada], anticuerpo monoclonal; cadena pesada gamma1 (1-454) [VH (*Mus musculus* IGHV5-12-2*01 (92.9%) -(IGHD) -IGHJ4*01 (84.6%) S123>L (119), CDR-IMGT [8.8.17] (26-33.51-58.97-113)) (1-124) -*Homo sapiens* IGHG1*03 (100%), G1m3, nG1m1CH1 R120, E12, M14 (CH1 R120 (221) (125-222), bisagra 1-15 (223-237), CH2 (238-347), CH3 E12 (363), M14 (365) (348-452), CHS (453-454)) (125-454)], (227-219')-disulfuro con la cadena ligera kappa (1'-219') [V-KAPPA (*Mus musculus* IGKV2-137*01 (89.0%) -IGKJ2*03 (90.9%) S120>Q (105'), CDR-IMGT [11.3.9] (27'-37'.55'-57'.94'-102'')] (1'-112') -*Homo sapiens* IGKC*01 (100%), Km3, A45.1 (158'), V101 (196') (113'-219')]; dímero (233-233":236-236")-bisdisulfuro, producido en las células ováricas de hámster chino (CHO), línea celular CHO-DG44, forma glicosilada alfa
eliminación de los agregados de transtiretina

2626841-92-5

Heavy chain / Chaîne lourde / Cadena pesada

EVQLVESGGG	LVQPGGSLKL	SCAASGFTFS	SYTMSWRQT	PEKRLLEVAE	50
INNSGDDTTY	PDTVKGRFTI	SRDNAKNTLY	LQMSLSKSD	TAMYICARHY	100
YVGGYGGWF	FDVWGQTLV	TVSSASTKGP	SVFPLAPSSK	TSGGTAAALG	150
CLVGDYFPEP	VTVSNNSGAL	TSGVHTFFAV	LQSSGLYSLS	SVVTVPSSSL	200
GTQYICNVN	HKPSNTKVDK	RVEPKSCDKT	HTCPPCPAPE	LLGGPSVFLF	250
PPKPKDTLMI	SRTPEVTCVV	VDSHEDPEV	KFNWYVDGVE	VHNAKTKPRE	300
EQYNSTRVIV	SVLTVLHQDV	LNGKEYKCKV	SNKALPAPIE	KTISKAKGQP	350
REPQVYTLPP	SREEMTKNQV	SLTCLVKGFY	PSDIAVEWES	NGQPENNYKT	400
TPPVLDSDGS	FFLYSKLTVD	KSRWQQGNVF	SCSVMHEALH	NHYTQKLSLSL	450
SPGK					454

Light chain / Chaîne légère / Cadena ligera

DIVMTQSPLS	LPVTPGEPAS	ISCRSSKSL	HSNGNTLYLW	FLQKPGQSPQ	50
LLIYRVSNLA	SGVPSRFSGS	GSGETDFTLKI	SRVEAEDVGV	YYCMQHLEYP	100
LTFGGQTKLE	IKRTVAAPSV	FIFPPSDEQL	KSGTASVVCL	LNNFYPREAK	150
VQWIKVDNALQ	SGNSQESVTE	QDSKDYSTSL	SSTLTLSKAD	YERHKVYACE	200
VTHQGLSSPV	TKSFNRGEC				219

Post-translational modifications

Disulfide bridges location / Position des ponts disulfure / Posiciones de los puentes disulfuro

Intra-H (C23-C104)	22 [°] -96 [°]	151 [°] -207 [°]	268 [°] -328 [°]	374 [°] -432 [°]
Intra-L (C23-C104)	23 [°] -93 [°]	139 [°] -199 [°]	23 [°] -93 [°]	139 [°] -199 [°]
Inter-H-L (h 5-CL 126)	227 [°] -219 [°]	227 [°] -219 [°]		
Inter-H-H (h 11, h 14)	233 [°] -233 [°]	236 [°] -236 [°]		

N-glycosylation sites / Sites de N-glycosylation / Posiciones de N-glicosilación

H CH2 N84.4: 304, 304^a

Fucosylated complex bi-antennary CHO-type glycans / glycanes de type CHO bi-antennaires complexes fucosylés / glicanos de tipo CHO biantenaricos complejos fucosilados

C-terminal lysine clipping / Coupure de la lysine C-terminale / Recorte de lisina C-terminal

H CHS K2: 454, 454^a

dasminapantum

dasminapant

(5S,5'S,8S,8'S,10aR,10'aR)-3,3'-[1,3-phenylenebis(sulfonyl)]bis{N-(diphenylmethyl)-5-[(2S)-2-(methylamino)propanamido]-6-oxodecahydropyrrolo[1,2-a][1,5]diazocine-8-carboxamide}
inhibitor of apoptosis protein (IAP) antagonist

dasminapant

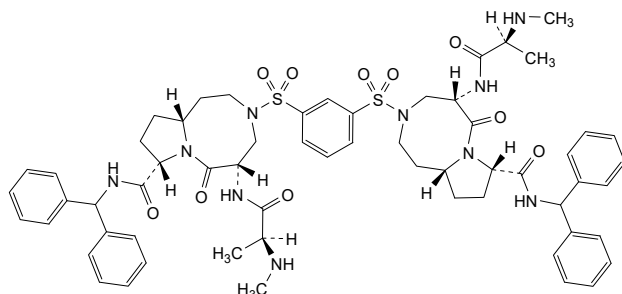
(5S,5'S,8S,8'S,10aR,10'aR)-3,3'-[1,3-phénylènebis(sulfonyl)]bis{N-(diphénylméthyl)-5-[(2S)-2-(méthylamino)propanamido]-6-oxodécahydropyrrolo[1,2-a][1,5]diazocine-8-carboxamide}
antagoniste de la protéine inhibitrice de l'apoptose (PIA)

dasminapant

(5*S*,5'*S*,8*S*,8'*S*,10*aR*,10'*aR*)-3,3'-[1,3-phenylenebis(sulfonyl)]bis(*N*-(difenilmetil)-5-[(2*S*)-2-(metilamino)propanamido]-6-oxodecahidropirrollo[1,2-*a*][1,5]diazocina-8-carboxamida)
antagonista de la proteína inhibidora de la apoptosis (PIA)

C₆₀H₇₂N₁₀O₁₀S₂

1570231-89-8

**davelizomibum**

davelizomib

{{(4*S*)-2-[(1*R*)-1-{2-[(2*S*)-1-(2,4-difluorophenyl)azetidina-2-carboxamido]acetamido}-3-metilbutil]-5-oxo-1,3,2-dioxaborolan-4-yl}acetic acid
proteasome inhibitor, antineoplástico

davélizomib

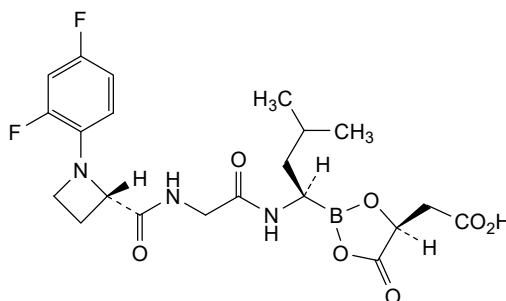
acide {(4*S*)-2-[(1*R*)-1-{2-[(2*S*)-1-(2,4-difluorophényl)azétidine-2-carboxamido]acétamido}-3-méthylbutyl]-5-oxo-1,3,2-dioxaborolan-4-yl}acétique
inhibiteur du protéasome, antinéoplasique

davelizomib

ácido {(4*S*)-2-[(1*R*)-1-{2-[(2*S*)-1-(2,4-difluorofenil)azetidina-2-carboxamido]acetamido}-3-metilbutil]-5-oxo-1,3,2-dioxaborolan-4-il}acético
inhibidor de proteasoma, antineoplásico

C₂₁H₂₆BF₂N₃O₇

2409841-51-4

**dazagamglogenum autogedtemcelum #**

dazagamglogene autogedtemcel

autologous CD34+ hematopoietic stem and progenitor cells (HSPCs) collected by leukapheresis and genetically modified *ex vivo* by a pair of zinc finger nucleases (ZFN) directed against the genomic sequence of the erythroid-specific enhancer (ESE) located in the second intron of the

B-cell lymphoma/leukemia 11A (*BCL11A*) gene on chromosome 2. The ZFN editing components comprise two messenger RNAs (mRNAs) with one mRNA encoding the left optimized ZFN (mRENH1), and the other mRNA encoding the right optimized ZFN (mRENH2). The two mRNAs are introduced *ex vivo* into the target cell population via electroporation. Subsequent endogenous non-homologous end joining DNA repair results in an insertion or deletion (indel) event thus permanently disrupting the *BCL11A* erythroid enhancer region.

The cell suspension is enriched for CD34+ cells using magnetic bead separation and cultured in media containing Fms-related tyrosine kinase 3 ligand (Flt3L), stem cell factor (SCF), and thrombopoietin (TPO), prior to electroporation. The substance consists of cells with ≥80% CD34+ purity and detectable on-target editing
cell-based gene therapy (hemoglobinopathy)

dazagamlogène autogedtemcel

cellules souches et progénitrices hématopoïétiques CD34+ autologues (HSPC) prélevées par leucaphérèse et génétiquement modifiées *ex vivo* par une paire de nucléases à doigts de zinc (ZFN) dirigées contre la séquence génomique de l'amplificateur spécifique de l'érythroïde (ESE) situé dans le deuxième intron du gène du lymphome/de la leucémie des cellules B 11A (*BCL11A*) présent sur le chromosome 2. Les composants d'édition ZFN comprennent deux ARN messagers (ARNm) dont l'un codant la ZFN optimisée à gauche (mRENH1) et l'autre la ZFN optimisée à droite (mRENH2). Les deux ARNm sont introduits *ex vivo* dans la population cellulaire cible par électroporation. La réparation endogène subséquente de l'ADN par jonction non homologue aboutit à un événement d'insertion ou de délétion (indel) qui perturbe de manière permanente la région de l'amplificateur érythroïde de *BCL11A*.

La suspension cellulaire est enrichie en cellules CD34+ par séparation avec billes magnétiques et cultivée dans un milieu contenant du ligand de la tyrosine kinase 3 de type FMS (Flt3L), du facteur de cellules souches (SCF) et de la thrombopoïétine (TPO), avant l'électroporation. La substance est constituée de cellules d'une pureté en CD34+ ≥80% et d'une édition sur cible détectable
thérapie génique à base de cellules (hémoglobinopathie)

dazagamlogén autogedtemcel

células madre y progenitoras hematopoyéticas (HSPCs) CD34+ autólogas, obtenidas mediante leucoaféresis y modificadas genéticamente *ex vivo* mediante un par de nucleasas con dedos de zinc (ZFN) dirigidas contra la secuencia genómica del potenciador específico eritroide (ESE) localizado en el segundo intrón del gen de linfoma/leucemia de linfocitos B 11A (*BCL11A*) en el cromosoma 2. Los componentes editores de ZFN contienen dos ARN mensajeros (ARNm), con un ARm que codifica para la ZFN izquierda optimizada (mRENH1) y otro ARNm que codifica para la ZFN derecha optimizada (mRENH2). Los dos ARNm se introducen *ex vivo* en la población celular diana mediante electroporación. La reparación endógena subsiguiente de los extremos de unión no homólogos del ADN resulta en un evento de inserción o delección (indel)

que interrumpe permanentemente la región potenciadora eritroide del *BCL11A*. La suspensión celular se enriquece en células CD34+ usando separación por bolas magnéticas y se cultivan en medio que contiene el ligando de tirosina quinasa 3 tipo FMS (Flt3L), factor de células madre (SCF) y trombopoyetina (TPO) antes de la electroporación. La sustancia consiste en células con una pureza de $\geq 80\%$ CD34+ y edición detectable en el sitio deseado (*on-target*) *terapia génica basada en células (hemoglobinopatía)*

demannosum

demannose

D-mannopyranose
congenital glycosylation disorders

démannose

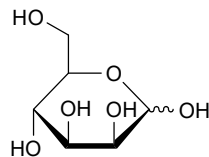
D-mannopyranose
anomalies congénitales de la glycosylation

demanosa

D-manopiranososa
defectos congénitos de la glicosilación

 $C_6H_{12}O_6$

530-26-7

**deupsilocinum**

deupsilocin

3-[2-{di[(2H_3)methyl]amino}(2H_4)ethyl]-1*H*-indol-4-ol
psychodysleptic

deupsilocine

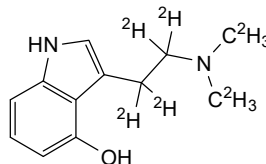
3-[2-{di[(2H_3)méthyl]amino}(2H_4)éthyl]-1*H*-indol-4-ol
psychodysleptique

deupsilocina

3-[2-{di[(2H_3)metil]amino}(2H_4)etil]-1*H*-indol-4-ol
psicodisléptico

 $C_{12}H_6^2H_{10}N_2O$

1435934-64-7

**digadoglucitolum**

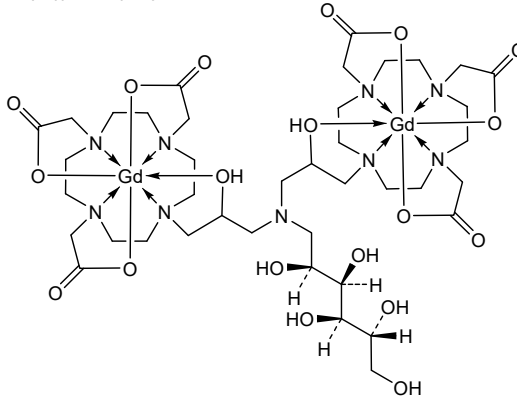
digadoglucitol

μ -[2,2',2'',2''',2''''-({{[(2*S*,3*R*,4*R*,5*R*)-2,3,4,5,6-pentahydroxyhexyl]azanediy}}bis[[2-(hydroxy- κ O)propane-3,1-diy]]-1,4,7,10-tetraazacyclododecane-10,1,4,7-tetrayl- $\kappa^4N^1,N^4,N^7,N^{10}$))hexa(acetato- κ O)]digadolium
diagnostic agent

- digadogluclitol μ -[2,2',2'',2''',2''''-(2,2''''-(((2S,3R,4R,5R)-2,3,4,5,6-pentahydroxyhexyl)azanediyl)bis[[2-(hydroxy- κ O)propane-3,1-diyl]-1,4,7,10-tetraazacyclododecane-10,1,4,7-tétrayl- $\kappa^4N^1,N^4,N^7,N^{10}$)]hexa(acétato- κ O)]digadolinium
agent diagnostique
- digadogluclitol μ -[2,2',2'',2''',2''''-(2,2''''-(((2S,3R,4R,5R)-2,3,4,5,6-pentahydroxihexil)azanodiiil)bis[[2-(hidroxi- κ O)propano-3,1-diiil]-1,4,7,10-tetraazaciclododecano-10,1,4,7-tétrail- $\kappa^4N^1,N^4,N^7,N^{10}$)]hexa(acetato- κ O)]digadolino
agente de diagnóstico

C₄₀H₆₉Gd₂N₉O₁₉

2098944-37-5



donzakimigum #
donzakimig

immunoglobulin G1(VH-CH1-h)-scFv_L-kappa-scFv, anti-[*Homo sapiens* IL22 (interleukin 22, IL-22, ILTIF, IL-TIF)], anti-[*Homo sapiens* IL13 (interleukin 13, IL-13)] and anti-[*Homo sapiens* ALB (albumin, human serum albumin, HAS)], humanized, trispecific, trivalent; fused G1(VH-CH1-h)-scFv heavy-kappa heavy chain humanized (1-486) [G1(VH-CH1-h) anti-IL22 humanized (1-222) [VH (*Homo sapiens*IGHV3-23*04 (83.7%) -(IGHD) -IGHJ5*02 (100%), CDR-IMGT [8.7.13] (26-33.51-57.96-108))] (1-119) -*Homo sapiens*IGHG1*01 CH1-h, G1m17 (CH1 K120 (216) (120-217), hinge 1-5 (218-222)) (120-222)] -11-mer seryl-bis(tetraglycyl-seryl) linker (223-233) -scFv heavy-kappa anti-ALB humanized, scFv-v1 C49 (VH)-C120 (VL) (234-486) [VH (*Homo sapiens*IGHV3-23*01 (78.6%) -(IGHD) -IGHJ2*01 (93.3%) C49 (277), R120>Q (346) (CDR-IMGT [8.7.15] (259-266.284-290.329-343)) (234-354) -20-mer tetrakis(tetraglycyl-seryl) linker (355-374) -V-KAPPA (*Homo sapiens*IGKV1-12*01 (86.5%) -IGKJ1*01 (90.9%) C120 (477), CDR-IMGT [7.3.11] (401-407.425-427.464-474)) (375-486)]]; fused L-kappa-scFv heavy-kappa light chain humanized (1'-474') [L-KAPPA anti-IL22 humanized (1'-219') [V-KAPPA (*Homo sapiens*IGKV1-9*03 (89.8%) -IGKJ4*01 (100%), CDR-IMGT [6.3.14] (27'-32'.50'-52'.89'-102')] (1'-112') -*Homo sapiens*IGKC*01 (100%), Km3, A45.1 (158'), V101 (196') (113'-219')] -11-mer seryl-bis(tetraglycyl-seryl) linker (220'-230') -scFv heavy-kappa anti-IL13 humanized, scFv-1 C49 (VH)-C120 (VL) (231'-474') [VH (*Homo sapiens*IGHV1-69*08 (81.6%) -(IGHD) -IGHJ1*01 (100%), C49 (274), CDR-IMGT [8.8.9] (256'-263'.281'-288'.327'-335')) (231'-346')] -20-mer tetrakis(tetraglycyl-seryl) linker (347'-366') -V-KAPPA (*Homo sapiens*IGKV1-NL1*01 (83.9%) -IGKJ2*01 (91.7%) C120 (465'), CDR-IMGT [6.3.8] (393'-398'.416'-418'.455'-462')) (367'-474')]]; produced in Chinese hamster ovary (CHO) cells, cell line CHO-DG44, non-glycosylated anti-inflammatory

- donzakimig immunoglobuline G1(VH-CH1-h)-scFv_L-kappa-scFv, anti-[*Homo sapiens* IL22 (interleukine 22, IL-22, ILTIF, IL-TIF)], anti-[*Homo sapiens* IL13 (interleukine 13, IL-13)] et anti-[*Homo sapiens* ALB (albumine, sérum albumine humaine, SAH)], anticorps monoclonal humanisé, trispécifique, trivalent; chaîne lourde gamma1 fusionnée G1(VH-CH1-h)-scFv lourd-kappa humanisée (1-486) [G1(VH-CH1-h) anti-IL22 humanisée (1-222) [VH (*Homo sapiens*IGHV3-23*04 (83.7%) -(IGHD) -IGHJ5*02 (100%), CDR-IMGT [8.7.13] (26-33.51-57.96-108)) (1-119) -*Homo sapiens* IGHG1*01 CH1-h, G1m17 (CH1 K120 (216) (120-217), charnière 1-5 (218-222)) (120-222))] -11-mer séril-bis(tétraglycyl-séril) linker (223-233) -scFv lourd-kappa anti-ALB humanisé, scFv-v1 C49 (VH)-C120 (VL) (234-486) [VH (*Homo sapiens* IGHV3-23*01 (78.6%) -(IGHD) -IGHJ2*01 (93.3%), C49 (277), R120>Q (346), CDR-IMGT [8.7.15] (259-266.284-290.329-343)) (234-354) -20-mer tétrakis(tétraglycyl-séril) linker (355-374) -V-KAPPA (*Homo sapiens* IGKV1-12*01 (86.5%) -IGKJ1*01 (90.9%) C120 (477), CDR-IMGT [7.3.11] (401-407.425-427.464-474)) (375-486)]; chaîne légère kappa fusionnée L-kappa-scFv humanisée (1'-474') [L-KAPPA anti-IL22 humanisée (1'-219') [V-KAPPA (*Homo sapiens* IGKV1-9*03 (89.8%) -IGKJ4*01 (100%), CDR-IMGT [6.3.14] (27'-32'.50'-52'.89'-102')) (1'-112') -*Homo sapiens* IGKC*01 (100%), Km3, A45.1 (158'), V101 (196') (113'-219')] -11-mer séril-bis(tétraglycyl-séril) linker (220'-230') -scFv lourd-kappa anti-IL13 humanisé, scFv-1 C49 (VH)-C120 (VL) (231'-474') [VH (*Homo sapiens* IGHV1-69*08 (81.6%) -(IGHD) -IGHJ1*01 (100%), C49 (274'), CDR-IMGT [8.8.9] (256'-263'.281'-288'.327'-335')) (231'-346') -20-mer tétrakis(tétraglycyl-séril) linker (347'-366') -V-KAPPA (*Homo sapiens* IGKV1-NL1*01 (83.9%) -IGKJ2*01 (91.7%) C120 (465')), CDR-IMGT [6.3.8] (393'-398'.416'-418'.455'-462')) (367'-474')]; produit dans des cellules ovariennes de hamster chinois (CHO), lignée cellulaire CHO-DG44, non-glycosylé *anti-inflammatoire*
- donzakimig immunoglobulina G1(VH-CH1-h)-scFv_L-kappa-scFv, anti-[*Homo sapiens* IL22 (interleukina 22, IL-22, ILTIF, IL-TIF)], anti-[*Homo sapiens* IL13 (interleukina 13, IL-13)] y anti-[*Homo sapiens* ALB (albúmina, albúmina sérica humana, SAH)], anticuerpo monoclonal humanizado, trispécífico, trivalente; cadena pesada gamma1 fusionada G1(VH-CH1-h)-scFv pesada-kappa humanizada (1-486) [G1(VH-CH1-h) anti-IL22 humanizada (1-222) [VH (*Homo sapiens* IGHV3-23*04 (83.7%) -(IGHD) -IGHJ5*02 (100%), CDR-IMGT [8.7.13] (26-33.51-57.96-108)) (1-119) -*Homo sapiens* IGHG1*01 CH1-h, G1m17 (CH1 K120 (216) (120-217), bisagra 1-5 (218-222)) (120-222))] -11-mer seril-bis(tetraglicil-seril) enlace (223-233) -scFv pesado-kappa anti-ALB humanizado, scFv-v1 C49 (VH)-C120 (VL) (234-486) [VH (*Homo sapiens* IGHV3-23*01 (78.6%) -(IGHD) -IGHJ2*01 (93.3%), C49 (277), R120>Q (346), CDR-IMGT [8.7.15] (259-266.284-290.329-343)) (234-354) -20-mer tetraakis(tetraglicil-seril) enlace (355-374) -V-KAPPA (*Homo sapiens* IGKV1-12*01 (86.5%) -IGKJ1*01 (90.9%) C120 (477), CDR-IMGT [7.3.11] (401-407.425-427.464-474)) (375-486)]; cadena ligera kappa fusionada L-kappa-scFv humanizada (1'-474') [L-KAPPA anti-IL22 humanizada (1'-219') [V-KAPPA (*Homo sapiens* IGKV1-9*03 (89.8%) -IGKJ4*01 (100%), CDR-IMGT [6.3.14] (27'-32'.50'-52'.89'-102')) (1'-112') -*Homo sapiens* IGKC*01 (100%), Km3, A45.1 (158'), V101 (196') (113'-219')] -11-mer seril-bis(tetraglicil-seril) enlace (220'-230') -scFv pesado-kappa anti-IL13 humanizado, scFv-1 C49 (VH)-C120 (VL) (231'-474') [VH (*Homo sapiens* IGHV1-69*08 (81.6%) -(IGHD) -IGHJ1*01 (100%), C49 (274'), CDR-IMGT [8.8.9] (256'-263'.281'-288'.327'-335')) (231'-346') -20-mer tetraakis(tetraglicil-seril) enlace (347'-366') -V-KAPPA (*Homo sapiens* IGKV1-NL1*01 (83.9%) -IGKJ2*01 (91.7%) C120 (465')), CDR-IMGT [6.3.8] (393'-398'.416'-418'.455'-462')) (367'-474')]; producido en las células ováricas de hamster chino (CHO), línea celular CHO-DG44, no glicosilado *antiinflamatorio*

Heavy chain / Chaîne lourde / Cadena pesada: anti-IL22 G1(VH-CH1-h) - anti-ALB scFv

EVQLVESGGG LVPGGSSLRL SCAVSGFSL S YAMIWVRQA PGKGLEWIGI 50
 IDEEGSTYYA SWAKGRFTIS RDNSKNTVYL QMNSLRAEDT AVYYCARDRF 100
 VGVDFIDFPWG QGTLVTVSSA STKGPSVFPFL APSSKSTSGG TAALGCLVKD 150
 YFPEPVTVSW NSGALTSGVH TFPAVLQSSG LYSLSVVTVV PSSLGLTQTY 200
 ICNVNHHKPSN TKVDKKVEPK SCSGGGGSGG GGSEVQLLES GGGLVQPGGS 250
 LRLSCAVSGI DLSNYAINNW RQAPGKCLEW IGIIWASGTT FYATWAKGRF 300
 TISRDNKNT VYLMNSLRA EDTAVYYCAR TVPGYSTAPY FDLWGQGLTV 350
 TVSSGGGGSG GGGSGGGSGG GGGSDIQMTQ SPSSVSA SVG DRVTITCQSS 400
 PSVWSNFLSW YQQKPGKAPK LLIYEASKLT SGVPSRFSGS GSGTDFTLTI 450
 SSLQPEDFAT YYCGGYSI SDTTFGCGTK VEIKRT 486

Light chain / Chaîne légère / Cadena ligera: anti-IL22 L-kappa - anti-IL13 scFv

AVQLTQSPSS LSASVGDRTV ITCQASEDIY TNLAWYQQKP GKAPKLLIYW 50
 ASTLASGVPV RFGSGSGGTD FTLTISSLQF EDFATYYCQA SVYGNAAADR 100
 YTFGGGTKVE IKRTVAAPSV FIFPPSDEQL KSGTASVCL LNNFYPREAK 150
 VQWKVDNALQ SGNSQESVTE QDSKDYSTSL SSTLTLSKAD YEKHKVYACE 200
 VTHQGLSSPV TKSFNRGECG GGGSGGGGGS EVQLVQSGAE VKKPGSSVKV 250
 SCKASGYSTF SYIHWVRQA PGQCLEWMGR IGPQSGDINV NEKFKGRATF 300
 TVDKSTSTAY MELSSLRSED TAVYYCARFH YDGADWGGQT LVTVSSGGGG 350
 SGGGGSGGGG SGGGGSDIQM TQSPSSLSAS VGDRVTITCK ASQININENLD 400
 WYQQKPGKAP KLLIYYTDIL QTGIPSRFSG SGGSDTYTLT ISSLQPEDFA 450
 TYYCYQYYSG YTFGCGTKLE IKRT 474

Post-translational modifications

Disulfide bridges location / Position des ponts disulfure / Posiciones de los puentes disulfuro

Intra-H (C23-C104) 22-95 146-202 255-328 397-463

Intra-H scFv C49 (VH)-C120 (VL)* 277-477

Intra-L (C23-C104) 23'-88' 139'-199' 252'-326' 389'-454'

Intra-L scFv C49 (VH)-C120 (VL)* 274'-465'

Inter-H-L (h 5-CL 126) 222-219'

*Engineered additional disulfide bond to stabilize the scFv.

No N-glycosylation sites / pas de sites de N-glycosylation / ninguna posición de N-glicosilación

dorocubicelum

dorocubicel

allogeneic human umbilical cord blood derived CD34+ hematopoietic stem and progenitor cells (HSPCs). The CD34+ HSPC fraction is selected from cord blood and expanded *ex vivo* in serum-free growth medium in the presence of UM171 (*trans-N*¹-[2-benzyl-7-(2-methyl-2H-tetrazol-5-yl)-9H-pyrimido[4,5-*b*]indol-4-yl]cyclohexane-1,4-diamine) dihydrobromide dihydrate and recombinant cytokines such as stem cell factor (SCF), FMS-related tyrosine kinase 3 ligand (Flt3L), thrombopoietin (TPO) and interleukin-6 (IL-6). The expanded fraction predominantly consists of HSPCs (CD34+ CD45RA-cells), with varying levels of dendritic cell progenitors (CD34+ CD86+ cells), mast cell progenitors (Fc epsilon receptor 1a (FCER1A)+ CD117+ cells), and other cell types
cell therapy (stem cell transplantation)

dorocubicel

cellules souches et progénitrices hématopoïétiques CD34+, allogéniques, dérivées du sang de cordon ombilical humain (HSPC). La fraction CD34+ des HSPC est sélectionnée à partir de sang de cordon ombilical et amplifiée *ex vivo* dans un milieu de croissance sans sérum en présence du dihydrate de bromhydrate de UM171 (*trans-N*¹-[2-benzyl-7-(2-méthyl-2H-tétrazol-5-yl)-9H-pyrimido[4, 5-*b*]indol-4-yl]cyclohexane-1,4-diamine) et des cytokines recombinantes telles que le facteur de cellules souches (SCF), le ligand de la tyrosine kinase 3 de type FMS (Flt3L), la thrombopoïétine (TPO) et l'interleukine-6 (IL-6).
 La fraction amplifiée se compose principalement de cellules souches et progénitrices hématopoïétiques (HSPC) (cellules CD34+ CD45RA-), avec des niveaux variables de progéniteurs de cellules dendritiques (cellules

CD34+ CD86+), de progéniteurs de mastocytes (células CD117+ de la sous-unité alpha du récepteur Fc de l'IgE (FCER1A)), et d'autres types cellulaires
thérapie cellulaire (transplantation de cellules souches)

dorocubiceL

células madre y progenitoras hematopoyéticas (HSPCs) CD34+, alogénicas, humanas, derivadas de sangre de cordón umbilical. La fracción de HSPC CD34+ se selecciona de sangre de cordón y se expande *ex vivo* en medio de crecimiento sin suero en presencia de dihidrato de dihidrobromida de UM171 (*trans-N*¹-[2-bencil-7-(2-metil-2*H*-tetrazol-5-il)-9*H*-pirimido [4,5-*b*]indol-4-il]ciclohexano-1,4-diamina) y citoquinas recombinantes tales como factor de células madre (SCF), ligando de tirosina quinasa 3 tipo FMS (Flt3L), trombopoyetina (TPO) e interleuquina 6 (IL-6).

La fracción expandida consiste predominantemente en células madre y progenitoras hematopoyéticas (HSPCs) (células CD34+ CD45RA-), con niveles variables de progenitores de células dendríticas (células CD34+ CD86+), progenitores de mastocitos (células FCER1A (subunidad alfa del receptor Fc de IgE)+ CD117+) y otros tipos celulares
terapia celular (trasplante de células madre)

edelinontrinum

edelinontrine

6-{{(3*S*,4*S*)-4-methyl-1-[(pyrimidin-2-yl)methyl]pyrrolidin-3-yl)-1-(oxan-4-yl)-1,5-dihydro-4*H*-pyrazolo[3,4-*d*]pyrimidin-4-one phosphodiesterase 9 (PDE9) inhibitor

édélinontrine

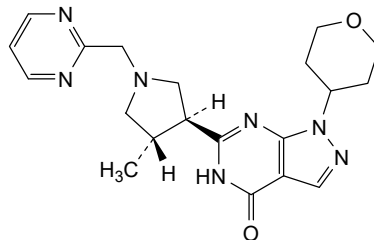
6-{{(3*S*,4*S*)-4-méthyl-1-[(pyrimidin-2-yl)méthyl]pyrrolidin-3-yl)-1-(oxan-4-yl)-1,5-dihydro-4*H*-pyrazolo[3,4-*d*]pyrimidin-4-one inhibiteur de la phosphodiesterase 9 (PDE9)

edelinontrina

6-{{(3*S*,4*S*)-4-metil-1-[(pirimidin-2-il)metil]pirrolidin-3-il)-1-(oxan-4-il)-1,5-dihidro-4*H*-pirazolo[3,4-*d*]pirimidin-4-ona inhibidor de la fosfodiesterasa 9 (PDE9)

C₂₀H₂₅N₇O₂

1082744-20-4

**efercoleukinum alfa #**

efercoleukin alfa

human immunoglobulin G1 Fc fragment (h-CH2-CH3-CHS domains [*Homo sapiens* IGHG1*01 (hinge (1-10), CH2 N⁷⁷>A (11-120), CH3 Y¹²⁹>C, T¹⁴⁶>S, L¹⁴⁸>A, Y¹⁸⁷>V (121-225), CHS K²²⁷>del (226-226))) (1-226), fused via the peptide linker ²²⁷GPPSGSSPMPYDLYHPSGGG²⁴⁶ to interleukin 2 receptor subunit beta (IL2RB, high affinity IL-2 receptor subunit β, CD122) fragment (27-239, 247-459 in the current sequence), variant (C¹²²>S³⁶⁵, C¹⁶⁸>S⁴¹⁴), disulfide bridged to human immunoglobulin G1 Fc

- fragment (h-CH2-CH3-CHS domains [*Homo sapiens* IGHG1*01 (hinge (1'-10'), CH2 N⁷⁷>A (11'-120'), CH3 S¹³⁴>C, T¹⁴⁶>W (121'-225'), CHS K²²⁷>del (226'-226'))]), fused via peptide linker ²²⁷GGSSPPGGGSSGGSGP²⁴³ to human interleukin 2 (IL2) (21-153, 244-376 in the current sequence), variant (R⁵⁸>A²⁸¹, F⁶²>A²⁸⁵, Y⁶⁵>A²⁸⁸, E⁸²>A³⁰⁵, C¹⁴⁵>A³⁶⁸), heterodimer, produced in Chinese hamster ovary (CHO) K1 cells, glycoform alfa
interleukin-2 analogue, antineoplastic
- efercoleukine alfa
- fragment Fc de l'immunoglobuline G1 humaine (domaines h-CH2-CH3-CHS [*Homo sapiens* IGHG1*01 (charnière (1-10), CH2 N⁷⁷>A (11-120), CH3 Y¹²⁹>C, T¹⁴⁶>S, L¹⁴⁸>A, Y¹⁸⁷>V (121-225), CHS K²²⁷>del (226-226))] (1-226), fusionné via le peptide liant ²²⁷GPPSGSSPMPYDLYHPSGGG²⁴⁶ au fragment (27-239, 247-459 dans la séquence actuelle) de la sous-unité bêta du récepteur de l'interleukine 2 (IL2RB, sous-unité β du récepteur de l'IL-2 à haute affinité, CD122), variant (C¹²²>S³⁶⁸, C¹⁶⁸>S⁴¹⁴), réuni par des ponts disulfure au fragment Fc de l'immunoglobuline G1 humaine (domaines h-CH2-CH3-CHS [*Homo sapiens* IGHG1*01 (charnière (1'-10'), CH2 N⁷⁷>A (11'-120'), CH3 S¹³⁴>C, T¹⁴⁶>W (121'-225'), CHS K²²⁷>del (226'-226'))]), fusionné via la liaison peptidique ²²⁷GGSSPPGGGSSGGSGP²⁴³ à l'interleukine 2 humaine (IL2) (21-153, 244-376 dans la séquence actuelle), variant (R⁵⁸>A²⁸¹, F⁶²>A²⁸⁵, Y⁶⁵>A²⁸⁸, E⁸²>A³⁰⁵, C¹⁴⁵>A³⁶⁸), hétérodimère, produit dans des cellules ovariennes de hamster chinois (CHO) K1, glycoforme alfa
analogue de l'interleukine 2, antinéoplasique
- efercoleukina alfa
- fragmento Fc de la inmunoglobulina humana (dominio h-CH2-CH3-CHS [*Homo sapiens* IGHG1*01 (bisagra (1-10), CH2 N⁷⁷>A (11-120), CH3 Y¹²⁹>C, T¹⁴⁶>S, L¹⁴⁸>A, Y¹⁸⁷>V (121-225), CHS K²²⁷>del (226-226))] (1-226), fusionado a través del enlace peptídico ²²⁷GPPSGSSPMPYDLYHPSGGG²⁴⁶ a la subunidad beta del receptor de la interleukina 2 (IL2RB, subunidad β del receptor de la IL-2 de alta afinidad, CD122) fragmento (27-239, 247-459 en la secuencia actual), variante (C¹²²>S³⁶⁸, C¹⁶⁸>S⁴¹⁴), unido a puentes disulfuro al fragmento Fc de la inmunoglobulina humana G1 (dominios h-CH2-CH3-CHS [*Homo sapiens* IGHG1*01 (bisagra (1'-10'), CH2 N⁷⁷>A (11'-120'), CH3 S¹³⁴>C, T¹⁴⁶>W (121'-225'), CHS K²²⁷>del (226'-226'))]), fusionado a través del enlace peptídico ²²⁷GGSSPPGGGSSGGSGP²⁴³ a la interleukina 2 humana (IL2) (21-153, 244-376 en la secuencia actual), variante (R⁵⁸>A²⁸¹, F⁶²>A²⁸⁵, Y⁶⁵>A²⁸⁸, E⁸²>A³⁰⁵, C¹⁴⁵>A³⁶⁸), heterodímero, producido en células ováricas de hámster Chino (CHO) K1, forma glicosilada alfa
análogo de la interleukina 2, antineoplásico

2760549-52-6

Sequence / Séquence / Secuencia

Fc-IL2RB

DKTHTCPPCP APELLGGPSV FLFPPKPKDT LMISRTPEVT CVVVDVSHED 50
 PEVKFNWYVD GVEVHNAKTK PREEQYASTY RVVSVLTVLH QDWLNGKEYK 100
 CKVSNKALPA PIEKTIKAK GQPREPQVCT LPPSRDELTK NQVSLSCAVK 150
 GFYPSDIAVE WESNGQPENN YKTTTPVLDL DGSFFLVSKL TVDKSRWQQG 200
 NVFSCSVMHE ALHNHYTQKS LSLSPGGPFS GSSPMFYDLY HPSGGGAVNG 250
 TSQFTCFYNS RANISCVWSQ DGALQDTSCQ VHAWPDRRRR NQTCELLPVS 300
 QASWACNLIL GAPDSQKLT VDIVTLRVLC REGVRWRVMA IQDFKPFENL 350
 RLMAPISLQV VHVETHRSNI SWEISQASHY FERHLEFEAR TLPSPGTWEE 400
 APLLTLKQKQ EWISLETLTP DTQYEFQVRV KPLQGEFTTW SPWSQPLAFR 450
 TKPAALGKD 459

Fc-IL2

DKTHTCPPCP APELLGGPSV FLFPPKPKDT LMISRTPEVT CVVVDVSHED 50
 PEVKFNWYVD GVEVHNAKTK PREEQYASTY RVVSVLTVLH QDWLNGKEYK 100
 CKVSNKALPA PIEKTIKAK GQPREPQVYT LPPCRDELTK NQVSLWCLVK 150
 GFYPSDIAVE WESNGQPENN YKTTTPVLDL DGSFFLVSKL TVDKSRWQQG 200
 NVFSCSVMHE ALHNHYTQKS LSLSPGGSS PPGGSSGGG SGPAPTSST 250
 KKTQLQLEHL LLDLQMI LNG INNYKNPKLT AMLTAKFAMP KKATELKHQ 300
 CLEEAALPKLE EVLNLAQSKN FHLRPRDLIS NINIVIVLELK GSETTFMCEY 350
 ADETATIVEF LNRWITFAQS IISTLT 376

Mutations / Mutation / Mutación

Fc-IL2RB chain: N⁷⁷>A, Y¹²⁹>C, T¹⁴⁶>S, L¹⁴⁸>A, Y¹⁸⁷>V, K²²⁷>del, C¹²²>S³⁶⁸, C¹⁶⁸>S⁴¹⁴
 Fc-IL2 chain: N⁷⁷>A, S¹³⁴>C, T¹⁴⁶>W, K²²⁷>del, R⁵⁸>A²⁸¹, F⁶²>A²⁸⁵, Y⁶⁵>A²⁸⁸,
 E⁸²>A³⁰⁵, C¹⁴⁵>A³⁶⁸

Peptide linker / Peptide liant / Péptido de unión

Fc-IL2RB chain: ²²⁷GPPSGSSPMFYDLYHPSGGG²⁴⁶Fc-IL2 chain: ²²⁷GGSSPPGGSSGGSSG²⁴³

Post-translational modifications

Disulfide bridges location / Position des ponts disulfure / Posiciones de los puentes disulfuro

Intra Fc-IL2RB: 41-101, 147-205, 256-266, 279-330, 294-306

Intra Fc-IL2: 41'-101', 147'-205', 301'-348'

Inter Fc-IL2RB chain- Fc-IL2 chain: 6-6', 9-9', 129-134'

N-glycosylation sites / Sites de N-glycosylation / Posiciones de N-glicosilación

Fc-IL2RB: N249, N263, N291, N369

O-glycosylation sites / Sites de O-glycosylation / Posiciones de O-glicosilación

O-glycosylation is experimentally confirmed in the 220-261 peptide of the Fc-IL2RB chain and in the 220-251 peptide of the Fc-IL2 chain with uncertainty on precise Ser and Thr glycosylated residues

efpegerglucagonum #

efpegerglucagon

human immunoglobulin G4 Fc fragment (h-CH2-CH3-CHS domains [Homo sapiens IGHG4*01 (hinge (1-4), CH2 (5-114), CH3 (115-219), CHS (220-221))] (1-221), disulfide bridged dimer, produced in *Escherichia coli*, with one Fc chain conjugated (P¹→C³⁰) via a bifunctional maleimide-polyethylene glycol-aldehyde linker to a synthetic glucagon peptide analogue (1"-30") (E¹⁶→K²⁰ linked by a lactam ring)
glucagon analogue

efpégerglucagon

fragment Fc de l'immunoglobuline G4 humaine (domaines h-CH2-CH3-CHS [Homo sapiens IGHG4*01 (charnière (1-4), CH2 (5-114), CH3 (115-219), CHS (220-221))] (1-221), dimère à ponts disulfure, produit chez *Escherichia coli*, avec une chaîne Fc conjuguée (P¹→C³⁰) via une liaison bifonctionnelle maléimide-polyéthylène glycol-aldéhyde à un analogue synthétique du peptide du glucagon (1"-30") (E¹⁶→K²⁰ liés par un anneau lactame)
analogue du glucagon

efpegglucagón

fragmento Fc de la inmunoglobulina G4 humana (dominios h-CH2-CH3-CHS [*Homo sapiens* IGHG4*01 (bisagra (1-4), CH2 (5-114), CH3 (115-219), CHS (220-221))]) (1-221), dímero unido a través de puentes disulfuro, producido en *Escherichia coli*, con una cadena Fc conjugada (P¹→ C^{30''}), a través de un enlace bifuncional maleimido-poli-etileno glicol-aldehído a un análogo peptídico del glucagón sintético (1''-30'') (E^{16''}→ K^{20''} unido a través de un anillo lactámico)

2766774-81-4

Sequence / Séquence / Secuencia

IgG4 Fc

```
PSCPAPFELG GPSVFLFPPK PKDTLMISRT PEVTCVVVDV SQEDPEVQFN 50
WYVDGVEVHN AKTKPREEQF NSTYRVVSVL TVLHQDWLNG KEYKCKVSNK 100
GLPSSIEKTI SKAKGQPREP QVYTLPPSQE EMTKNQVSLT CLVKGFPSPD 150
IAVEWESNGQ PENNYKTPP VLDSGGSFFL YSRLTVDKSR WQEGNVFSCS 200
VMHEALHNHY TQKSLSLSLG K 221
```

glucagon

YXQGTFTSDY SKYLDERRRK EEFVQWLMTC 30

Mutation / Mutation / Mutación

glucagon: H1>Y'', S2>Aib (X''), S16>E'', Q20>K'', D21>E'', C30'' added

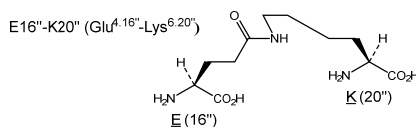
Post-translational modifications

Disulfide bridges location / Position des ponts disulfure / Posiciones de los puentes disulfuro

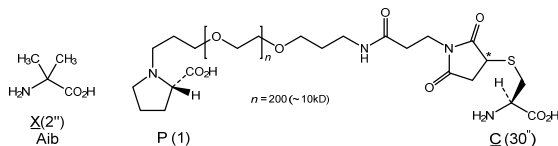
Intra-chain: 35-95, 141-199, 35'-95', 141'-199'

Inter-chain: 3-3'

Amide bridge location / Position du pont amide / Posición del puente amido



Modified residues / Résidus modifiés / Restos modificados

**elfucosum**

elfucose

L-fucopyranose (6-deoxy-L-galactopyranose)
congenital glycosylation disorders

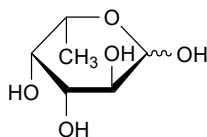
elfucose

L-fucopyranose (6-désoxy-L-galactopyranose)
anomalies congénitales de la glycosylation

elfucosa

L-fucopiranososa (6-desoxi-L-galactopiranososa)
*defectos congénitos de la glicosilación*C₆H₁₂O₅

87-96-7



eltrekibartum #

eltrekibart

immunoglobulin G4-kappa, anti-[*Homo sapiens* CXCL1, CXCL2, CXCL3, CXCL5, CXCL6, CXCL7 and CXCL8 (C-X-C chemokines with the Glu-Leu-Arg (ELR) motif)], humanized monoclonal antibody;

gamma4 heavy chain humanized (1-452) [VH (*Homo sapiens*IGHV1-46*01 (86.7%) -(IGHD) -IGHJ4*01 (92.3%), CDR-IMGT [8.8.19] (26-33.51-58.97-115)) (1-126)-*Homo sapiens*IGHG4*01, nG4m(a) CH2 L92, G4v5 h P10 (CH1 (127-224), hinge 1-12 S10>P (234) (225-236), CH2 L92 (315) (237-346), CH3 (347-451), CHS K2>del (452)) (127-452)], (140-214')-disulfide with kappa light chain humanized (1'-214') [V-KAPPA (*Homo sapiens*IGKV3-11*01 (85.3%) -IGKJ4*01 (100%), CDR-IMGT [6.3.9] (27'-32'.50'-52'.89'-97')) (1'-107') -*Homo sapiens*IGKC*01 (100%), Km3 A45.1 (153'), V101 (191') (108'-214')]; dimer (232-232":235-235")-bisdisulfide, produced in a Chinese hamster ovary (CHO)-derived cell line transfected with the glutamine synthetase (GS) gene, glycoform alfa

anti-inflammatory

eltrekibart

immunoglobuline G4-kappa, anti-[*Homo sapiens* CXCL1, CXCL2, CXCL3, CXCL5, CXCL6, CXCL7 et CXCL8 (chémokines C-X-C avec le motif Glu-Leu-Arg (ELR))], anticorps monoclonal humanisé; chaîne lourde gamma4 humanisée (1-452) [VH (*Homo sapiens*IGHV1-46*01 (86.7%) -(IGHD) -IGHJ4*01 (92.3%), CDR-IMGT [8.8.19] (26-33.51-58.97-115)) (1-126)-*Homo sapiens*IGHG4*01, nG4m(a) CH2 L92, G4v5 h P10 (CH1 (127-224), charnière 1-12 S10>P (234) (225-236), CH2 L92 (315) (237-346), CH3 (347-451), CHS K2>del (452)) (127-452)], (140-214')-disulfure avec la chaîne légère kappa humanisée (1'-214') [V-KAPPA (*Homo sapiens*IGKV3-11*01 (85.3%) -IGKJ4*01 (100%), CDR-IMGT [6.3.9] (27'-32'.50'-52'.89'-97')) (1'-107') -*Homo sapiens*IGKC*01 (100%), Km3 A45.1 (153'), V101 (191') (108'-214')]; dimère (232-232":235-235")-bisdisulfure, produite dans une lignée cellulaire dérivée des cellules ovariennes de hamster chinois (CHO) transfectée avec le gène de la glutamine synthétase (GS), glycoforme alfa

anti-inflammatoire

eltrekibart

immunoglobulina G4-kappa, anti-[*Homo sapiens* CXCL1, CXCL2, CXCL3, CXCL5, CXCL6, CXCL7 y CXCL8 (quimiocinas C-X-C con el motivo Glu-Leu-Arg (ELR))], anticuerpo monoclonal humanizado; cadena pesada gamma4 humanizada (1-452) [VH (*Homo sapiens*IGHV1-46*01 (86.7%) -(IGHD) -IGHJ4*01 (92.3%), CDR-IMGT [8.8.19] (26-33.51-58.97-115)) (1-126)-*Homo sapiens*IGHG4*01, nG4m(a) CH2 L92, G4v5 h P10 (CH1 (127-224), bisagra 1-12 S10>P (234) (225-236), CH2 L92 (315) (237-346), CH3 (347-451), CHS K2>del (452)) (127-452)], (140-214')-disulfuro con la cadena ligera kappa humanizada (1'-214') [V-KAPPA (*Homo sapiens*IGKV3-11*01 (85.3%) -IGKJ4*01 (100%), CDR-IMGT [6.3.9] (27'-32'.50'-52'.89'-97')) (1'-107') -*Homo sapiens*IGKC*01 (100%), Km3 A45.1 (153'), V101 (191') (108'-214')]; dímero (232-232":235-235")-bisdisulfuro, producido en una línea celular derivada de las células ováricas de hámster chino (CHO) transfectada con el gen de la glutamina sintetasa (GS), forma glicosilada alfa

antiinflamatorio

2484883-56-7

Heavy chain / Chaîne lourde / Cadena pesada

QVQLVQSGAE VKKPGASVKV SCKASGYEFT SYWIHWVRQA PGQGLEWMGN 50
 ISPNSSGSANY NEKFKSRVTM TRDTSTSTVY MELSSLRSED TAVYVCAREG 100
 PYSYSPRESY YGSDLWGQGT LVTVSSASTK GPSVFLPAC SRSTSESTAA 150
 LGCLVKDYFP EPVTVSWNSG ALTSQVHTFP AVLQSSGLYS LSSVTVPS 200
 SLGKTITTCN VDHKPSNTKV DKRVESKYGP PCPPCPAPEF LGGSPVFLFP 250
 FKPKDTLMIS RTPEVTCVVV DVSQEDPEVQ FNWYVDGVEV HNARTKPRE 300
 QFNSTYRVVS VLTVLHQDWL NGKEYKCKVS NKGLPSSIEK TISKAKGQPR 350
 EPQVYTLPPS QEEMTKNQVS LTCLVKGFYP SDIAVEWESN GQPENNYKTT 400
 PVPVLDSDGSF FLYSRLTVDK SRWQEGNVFS CSMHEALHN HYTQKLSLS 450
 LG 452

Light chain / Chaîne légère / Cadena ligera

EIVLTQSPAT LSLSPGERAT LSCRASQSSIS NNLHWYQKP QAPRLLIYY 50
 TSSRSVGIPI RFGSGSGTD FTLTISLLEP EDFAVYCYGQ NNEWPEVFGG 100
 GTKVEIKRTV AAPSVFIFPP SDEQLKSGTA SVVCLLNNFY PREAKVQWKV 150
 DNALQSGNSQ ESVTEQDSKD STYLSLSTLT LSKADYEKHK VYACEVTHQG 200
 LSSPVTKSFN RGEC 214

Post-translational modifications

Disulfide bridges location / Position des ponts disulfure / Posiciones de los puentes disulfuro

Intra-H (C23-C104) 22-96 153-209 267-327 373-431

22"-96" 153"-209" 267"-327" 373"-431"

Intra-L (C23-C104) 23'-88' 134'-194'

23"-88" 134"-194"

Inter-H-L (CH1 10-CL 126) 140-214' 140"-214"

Inter-H-H (h 8, h 11) 232-232" 235-235"

N-terminal glutaminyl cyclization / Cyclisation du glutaminyle N-terminal /

Ciclación del glutaminilo N-terminal

Q > pyroglutamyl (pE, 5-oxopropyl) / pyroglutamyle (pE, 5-oxopropyle) /

piroglutamilo (pE, 5-oxopropilo)

H VH Q1: 1, 1"

N-glycosylation sites / Sites de N-glycosylation / Posiciones de N-glicosilación

H CH2 N84.4: 303, 303"

Fucosylated complex bi-antennary CHO-type glycans / glycanes de type CHO bi-antennaires complexes fucosylés / glicanos de tipo CHO biantennarios complejos fucosilados.

emidurdarum

emidurdar

N-[3,5-bis(trifluoromethyl)phenyl]-N'-[4-bromo-2-(1H-tetrazol-5-yl)phenyl]urea

ATP-binding cassette transporter subfamily G member 2 (ABCG2) efflux pump inhibitor

émidurdar

N-[3,5-bis(trifluorométhyl)phényl]-N'-[4-bromo-2-(1H-tétrazol-5-yl)phényl]urée

inhibiteur de la pompe à efflux du membre 2 de la sous-famille G des transporteurs à cassette liant l'ATP (ABCG2)

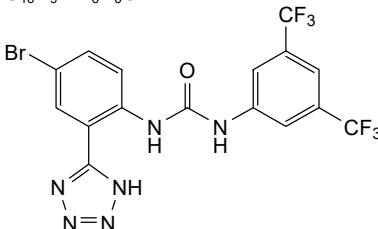
emidurdar

N-[3,5-bis(trifluorometil)fenil]-N'-[4-bromo-2-(1H-tetrazol-5-il)fenil]urea

inhibidor de la bomba de eflujo del miembro 2 de la subfamilia G del transportador del casete de unión al ATP (ABCG2)

C₁₆H₉BrF₆N₆O

265646-85-3



emilumenibum

emilumenib

(5^{1R},5^{3S},5^{4R})-1⁵,1⁶-dimethoxy-6-methyl-7⁶-(2,2,2-trifluoroethyl)-4,6-diaza-7(4)-thieno[2,3-*d*]pyrimidina-1(3)-pyridazina-2(1,4)-benzena-5(1,3)-cyclopentanaheptaphan-5⁴-ol
antineoplastic

émiluménib

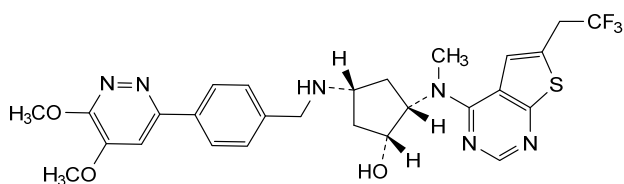
(5^{1R},5^{3S},5^{4R})-1⁵,1⁶-diméthoxy-6-méthyl-7⁶-(2,2,2-trifluoroéthyl)-4,6-diaza-7(4)-thiéno[2,3-*d*]pyrimidina-1(3)-pyridazina-2(1,4)-benzéna-5(1,3)-cyclopentanaheptaphan-5⁴-ol
antineoplasique

emilumenib

(5^{1R},5^{3S},5^{4R})- 6-metil-1⁵,1⁶-dimetoxi-7⁶-(2,2,2-trifluoroetil)-4,6-diaza-7(4)-tieno[2,3-*d*]pirimidina-1(3)-piridazina-2(1,4)-bencena-5(1,3)-ciclopentanaheptafan-5⁴-ol
antineoplásico

C₂₇H₂₉F₃N₆O₃S

2440018-29-9

**emzadiribum**

emzadirib

propan-2-yl [3-(*tert*-butylsulfamoyl)-4-{2-[*trans*-4-(((propan-2-yl)oxy)carbonyl)amino)cyclohexyl]-1,3-thiazol-5-yl}phenyl]carbamate
DNA repair protein RAD51 inhibitor, antineoplastic

emzadirib

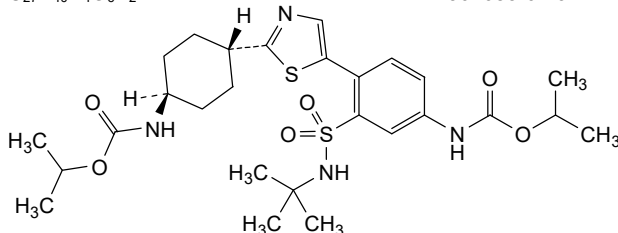
[3-(*tert*-butylsulfamoyl)-4-{2-[*trans*-4-(((propan-2-yl)oxy)carbonyl)amino)cyclohexyl]-1,3-thiazol-5-yl}phényl]carbamate de propan-2-yle
inhibiteur de la protéine de réparation de l'ADN RAD51, antinéoplasique

emzadirib

[3-(*tert*-butilsulfamoil)-4-{2-[*trans*-4-(((propan-2-il)oxi]carbonil)amino)ciclohexil]-1,3-tiazol-5-il}fenil]carbamato de propan-2-ilo
inhibidor de la proteína de reparación del ADN RAD51, antineoplásico

C₂₇H₄₀N₄O₆S₂

2301085-04-9



enavermotidum
enavermotide

L-lysyl-L-seryl-L-valyl-L-tryptophyl-L-seryl-L-lysyl-L-leucyl-L-glutaminy-L-seryl-L-isoleucylglycyl-L-isoleucyl-L-arginyl-L-glutaminy-L-histidine
immunological agent for active immunization (antineoplastic)

énavermotide

L-lysyl-L-séryl-L-valyl-L-tryptophyl-L-séryl-L-lysyl-L-leucyl-L-glutaminy-L-séryl-L-isoleucylglycyl-L-isoleucyl-L-arginyl-L-glutaminy-L-histidine
agent immunologique d'immunisation active (antinéoplasique)

enavermotida

L-lisil-L-seril-L-valil-L-triptofil-L-seril-L-lisil-L-leucil-L-glutamini-L-seril-L-isoleucilglicil-L-isoleucil-L-arginil-L-glutamini-L-histidina
agente inmunológico para inmunización activa (antineoplásico)

$C_{79}H_{131}N_{25}O_{21}$

524060-93-3

Lys — Ser — Val — Trp — Ser — Lys — Leu — Gln — Ser — Ile — Gly — Ile — Arg — Gln — His

enristomigum #
enristomig

immunoglobulin VH-VH'-G1(h-CH2-CH3) heavy chain dimer, anti-[*Homo sapiens* CD274 (programmed cell death 1 ligand 1, PDL1, PD-L1, B7 homolog 1, B7H1, B7-H1, PDCD1LG1)] and anti-[*Homo sapiens* TNFRSF9 (TNF receptor superfamily member 9, 4-1BB, T-cell antigen ILA, CD137)], monoclonal antibody humanized, bispecific, tetravalent;
IG VH-VH'-G1(h-CH2-CH3) heavy chain humanized (1-466) [VH anti-CD274 humanized (*Homo sapiens*IGHV3-23*01 (78.1%) -(IGHD) -IGHJ4*01 (81.8%) S127>K (110), S128>P (111), CDR-IMGT [8.7.5] (26-33.51-57.96-100)) (1-111) -6-mer bis(diglycyl-seryl) linker (112-117) -VH' anti-TNFRSF9 humanized (*Homo sapiens* IGHV3-23*01 (80.2%) -(IGHD) -IGHJ4*01 (81.8%) S127>K (237), S128>P (238), CDR-IMGT [8.7.15] (143-150.168-174.213-227)) (118-238) -4-mer tetraglycyl linker (239-242) -*Homo sapiens* IGHG1*01 h-CH2-CH3 (100%), G1m1CH3 D12, L14G1v71 CH2 ELL1-4-1.2>del (hinge 6-15 (243-252), CH2 ELL1.4-1.2>del (254^255) (253-359), CH3 D12 (375), L14 (377) (360-464), CHS (465-466)) (243-466)]; dimer (248-248":251-251")-bisdisulfide, produced in Chinese hamster ovary (CHO) cells, glycoform alfa
immunostimulant, antineoplastic

enristomig

immunoglobuline VH-VH'-G1(h-CH2-CH3) chaîne lourde dimère, anti-[*Homo sapiens* CD274 (ligand 1 de mort programmée 1, PDL1, PD-L1, B7 homologue 1, B7H1, B7-H1, PDCD1LG1)] and anti-[*Homo sapiens* TNFRSF9 (membre 9 de la superfamille des récepteurs du TNF, 4-1BB, antigène ILA des cellules T, CD137)], anticorps monoclonal humanisé, bispécifique, tétravalent;

IG VH-VH'-G1(h-CH2-CH3) chaîne lourde humanisée (1-466) [VH anti-CD274 humanisé (*Homo sapiens* IGHV3-23*01 (78.1%) -(IGHD) -IGHJ4*01 (81.8%) S127>K (110), S128>P (111), CDR-IMGT [8.7.5] (26-33.51-57.96-100)) (1-111) -6-mer bis(diglycyl-séryl) linker (112-117) -VH' anti-TNFRSF9 humanisé (*Homo sapiens* IGHV3-23*01 (80.2%) -(IGHD) -IGHJ4*01 (81.8%) S127>K (237), S128>P (238), CDR-IMGT [8.7.15] (143-150.168-174.213-227)) (118-238) -4-mer tétraglycyl linker (239-242) -*Homo sapiens* IGHG1*01 h-CH2-CH3 (100%), G1m1CH3 D12, L14,G1v71 CH2 ELL1.4-1.2>del (charnière 6-15 (243-252), CH2 ELL1.4-1.2>del (254^255) (253-359), CH3 D12 (375), L14 (377) (360-464), CHS (465-466)) (243-466)]; dimère (248-248":251-251")-bisdisulfure, produit dans des cellules ovariennes de hamster chinois (CHO), glycoforme alfa
immunostimulant, antinéoplasique

enristomig

immunoglobulina VH-VH'-G1(h-CH2-CH3) cadena pesada dímero, anti-[*Homo sapiens* CD274 (ligando 1 de muerte programada 1, PDL1, PD-L1, B7 homólogo 1, B7H1, B7-H1, PDCD1LG1)] y anti-[*Homo sapiens* TNFRSF9 (miembro 9 de la superfamilia de los receptores del TNF, 4-1BB, antígeno ILA de las células T, CD137)], anticuerpo monoclonal humanizado, biespecífico, tetravalente;
IG VH-VH'-G1(h-CH2-CH3) cadena pesada humanizada (1-466) [VH anti-CD274 humanizado (*Homo sapiens* IGHV3-23*01 (78.1%) -(IGHD) -IGHJ4*01 (81.8%) S127>K (110), S128>P (111), CDR-IMGT [8.7.5] (26-33.51-57.96-100)) (1-111) -6-mer bis(diglicil-seril) enlace (112-117) -VH' anti-TNFRSF9 humanizado (*Homo sapiens* IGHV3-23*01 (80.2%) -(IGHD) -IGHJ4*01 (81.8%) S127>K (237), S128>P (238), CDR-IMGT [8.7.15] (143-150.168-174.213-227)) (118-238) -4-mer tetraglicil enlace (239-242) -*Homo sapiens* IGHG1*01 h-CH2-CH3 (100%), G1m1CH3 D12, L14,G1v71 CH2 ELL1.4-1.2>del (bisagra 6-15 (243-252), CH2 ELL1.4-1.2>del (254^255) (253-359), CH3 D12 (375), L14 (377) (360-464), CHS (465-466)) (243-466)]; dímero (248-248":251-251")-bisdisulfuro, producido en las células ováricas de hámster chino (CHO), forma glicosilada alfa
immunoestimulante, antineoplásico

2539845-73-1

Heavy chain / Chaîne lourde / Cadena pesada

```
EVQLLESGGG EVQPGGSLRL SCAASGGIFA IKPISWYRQA PGKQREWVST 50
TTSSGATNYA ESVKGRFTIS RDNANKNTLYL QMSSLRAEDT AVYYCNVFEY 100
WGQGTLLTVK PGGSGGSEVQ LLESGGGEVQ PGGSLRLSCA ASGFSFSINA 150
MGWYRQAPGK RREFVAAIES GRNTVYAESV KGRFTISRDN AKNTVYLQMS 200
SLRAEDTAVY YCGLLKGNRV VSPSVAYWGQ GTLVTVKPKG GGDKTHTCPP 250
CPAPGGPSVF LFPPKPKDTL MISRTPEVTC VVVDVSHEDP EVKFNWYVDG 300
VEVHNAKTKP REEQYNSTYR VVSVLTVLHQ DWLNGKEYKC KVSNKALPAP 350
IEKTIISKAG QPREPQVYTL PPSRDELTKN QVSLTCLVKG FYPSDIAVEW 400
ESNGQPENNY KTTTPVLDSD GSFFLYSKLT VDKSRWQQGN VFSCSVMHEA 450
LHNHYTQKSL SLSPGK 466
```

Post-translational modifications

Disulfide bridges location / Position des ponts disulfure / Posiciones de los puentes disulfuro

Intra-H (C23-C104) 22-95 139-212 280-340 386-444
22'-95' 139'-212' 280'-340' 386'-444'

Inter-H-H (h 11, h 14) 248-248' 251-251'

N-glycosylation sites / Sites de N-glycosylation / Posiciones de N-glicosilación

H CH2 N84.4: 316, 316'

Fucosylated complex bi-antennary CHO-type glycans / glycanes de type CHO bi-antennaires complexes fucosylés / glicanos de tipo CHO biantennarios complejos fucosilados.

C-terminal lysine clipping / Coupure de la lysine C-terminale / Recorte de lisina C-terminal

H CHS K2: 466, 466'

envuretcelum
envuretcel

allogeneic retinal pigment epithelial (RPE) cells derived from human embryonic stem cells (hESC). The hESC are expanded in a defined, serum-free, xeno-free culture medium on plates containing mitomycin C (MitC)-inactivated human dermal fibroblast (HDF) feeder cells, seeded initially on laminin/E-cadherin and finally on a reconstituted basement membrane matrix to generate a master cell bank (MCB). The manufacturing of the human embryonic stem cell-derived retinal pigment epithelial (hESC-RPE) cells consists of 4 phases. First, expansion of the MCB-derived hESCs on plates containing MitC-inactivated HDF feeder cells, coated with laminin/E-cadherin. Second, the hESCs are induced to differentiate into RPE cells in embryoid body differentiation medium (EBDM) over a time frame of 80-140 days. Third, the resulting pigmented clusters are dissociated and expanded on gelatin-coated plates, in media containing a serum replacement additive, fetal bovine serum, basic human fibroblast growth factor (bhFGF) and 2-mercaptoethanol, with the cells monitored for medium pigmentation and typical cobblestone epithelial morphology. Finally, the cells are tested for expression of RPE-specific markers (bestrophin-1 [BEST1] and/or paired box 6 [PAX6]), before cell harvest (step 4). The final cell population is characterized by the upregulation of RPE-specific cell marker (BEST1, PAX6, microphthalmia-associated transcription factor [MITF] and RPE-65), downregulation of embryonic stem cell genes (NANOG, octamer-binding transcription factor 4 [OCT4] and SOX-2) and the capability to phagocytose fluorescence particles ($\geq 40\%$)
cell therapy (macular degeneration)

envuretcel

cellules allogènes de l'épithélium pigmentaire rétinien (EPR) dérivées de cellules souches embryonnaires humaines (CSEh). Les CSEh sont amplifiées dans un milieu de culture défini, sans sérum et non-xéno, sur des plaques contenant des cellules nourricières de fibroblastes dermiques humains (HDF) inactivés par la mitomycine C (MitC),ensemencées initialement sur de la laminine/E-cadhérine et finalement sur une matrice de membrane basale reconstituée pour générer une banque cellulaire primaire (MCB). La fabrication des cellules de l'épithélium pigmentaire rétinien dérivées de cellules souches embryonnaires humaines (CSEh-EPR) comprend 4 phases. Premièrement, l'amplification des CSEh dérivées de la MCB sur des plaques contenant des cellules nourricières HDF inactivées par MitC, recouvertes de laminine/E-cadhérine. Deuxièmement, les CSEh sont induites à se différencier en cellules de l'EPR dans un milieu de différenciation de corps embryoïde (EBDM) sur une période de 80 à 140 jours. Troisièmement, les amas pigmentés qui en résultent sont dissociés et étendus sur des plaques recouvertes de gélatine, dans un milieu contenant un additif de remplacement du sérum, du sérum bovin fœtal, du facteur de croissance de base des fibroblastes humains (bhFGF) et du 2-mercaptoéthanol, les cellules étant contrôlées pour une pigmentation moyenne et une morphologie épithéliale typique en pavé. Enfin, les cellules sont testées pour l'expression des marqueurs spécifiques de l'EPR (bestrophine-1 [BEST1] et/ou boîte à paire 6 [PAX6]), avant prélèvement des cellules (étape 4). La population cellulaire finale est caractérisée par la régulation positive des marqueurs cellulaires spécifiques de l'EPR (BEST1, PAX6, facteur de transcription associé à la microphthalmie [MITF] et RPE-65) et la régulation négative des gènes des cellules souches embryonnaires (NANOG, facteur de transcription de liaison à l'octamère 4 [OCT4] et SOX-2) et la capacité de phagocyter des particules fluorescentes ($\geq 40\%$)
thérapie cellulaire (dégénérescence maculaire)

envurectel

células del epitelio pigmentario de retina (RPE), alogénicas, derivadas de células madre embrionarias humanas (hESC). Las hESC se expanden en un medio de cultivo definido, sin suero ni componentes xenogénicos, en placas que contienen fibroblastos dérmicos humanos (HDF) inactivados con mitomicina C (MitC) como células alimentadoras, tras sembrarse inicialmente en laminina/E-caderina y finalmente en una matriz de membrana basal reconstituida para generar un banco de células maestro (MCB). La fabricación de las células del epitelio pigmentario de retina derivadas de células madre embrionarias humanas (hESC-RPE) consiste en 4 fases. Primero, expansión de las células hESCs derivadas del MCB en placas que contienen células alimentadoras HDF inactivadas con MitC, forradas con laminina/E-caderina. Segundo, las hESCs se inducen a diferenciarse a células RPE en medio de diferenciación de cuerpos embrioides (EBDM) durante un rango de tiempo de 80-140 días. Tercero, los agrupamientos pigmentados resultantes se disocian y expanden en placas forradas de gelatina, en medio que contiene como aditivo un sustituto de suero, suero bovino fetal, factor de crecimiento básico de fibroblastos humanos (bFGF) y 2-mercaptoetanol, con las células siendo monitorizadas para pigmentación del medio y morfología típica de empedrado epitelial. Finalmente, las células se evalúan para la expresión de marcadores específicos de RPE (bestrofina-1 [BEST1] y/o caja apareada 6 [PAX6]), antes de ser cosechadas (paso 4). La población celular final se caracteriza por la sobre expresión de marcadores específicos de células RPE (BEST1, PAX6, factor de transcripción asociado a microftalmia (MITF) y REP-65) y la baja expresión de genes de células madre embrionarias (NANOG, factor de transcripción de unión a octámero 4 [OCT4] y SOX-2) y la capacidad de fagocitar partículas fluorescentes (≥40%)
terapia celular (degeneración macular)

evalstotugum #

evalstotug

immunoglobulin G1-kappa, anti-[*Homo sapiens* CTLA4 (cytotoxic T-lymphocyte associated protein 4, CTLA-4, CD152)], monoclonal antibody;
gamma1 heavy chain (1-447) [VH (*Homo sapiens* IGHV3-30*02 (91.8%) -(IGHD) -IGHJ4*01 (100%), CDR-IMGT [8.8.11] (26-33.51-58.97-107)) (1-118) -*Homo sapiens* IGHG1*01 (100%), G1m17,1 CH1 K120, CH3 D12, L14 (CH1 R120 (215) (119-216), hinge 1-15 (217-231), CH2 (232-341), CH3 E12 (357), M14 (359) (342-446), CHS K2>del (447)) (119-447)], (221-215')-disulfide with kappa light chain (1'-215') [V-KAPPA (*Homo sapiens* IGKV1-9*03 (78.1%) -IGKJ1*01 (100%), CDR-IMGT [7.3.9] (27'-33'.51'-53'.90'-98'') (1'-108') -*Homo sapiens* IGKC*01 (100%), Km3, A45.1 (154'), V101 (192') (109'-215'')]; dimer (227-227''::230-230'')-bisdisulfide, produced in Chinese hamster ovary (CHO) cells, cell line CHO-DG44, glycoform alfa
immunostimulant, antineoplastic

évalstotug

immunoglobuline G1-kappa, anti-[*Homo sapiens* CTLA4 (protéine 4 associée aux lymphocytes T cytotoxiques, CTLA-4, CD152)], anticorps monoclonal;

chaîne lourde gamma1 (1-447) [VH (*Homo sapiens* IGHV3-30*02 (91.8%) -(IGHD) -IGHJ4*01 (100%), CDR-IMGT [8.8.11] (26-33.51-58.97-107)) (1-118) -*Homo sapiens* IGHG1*01 (100%), G1m17,1 CH1 K120, CH3 D12, L14 (CH1 R120 (215) (119-216), charnière 1-15 (217-231), CH2 (232-341), CH3 E12 (357), M14 (359) (342-446), CHS K2>del (447)) (119-447)], (221-215')-disulfure avec la chaîne légère kappa (1'-215') [V-KAPPA (*Homo sapiens* IGKV1-9*03 (78.1%) -IGKJ1*01 (100%), CDR-IMGT [7.3.9] (27'-33'.51'-53'.90'-98')) (1'-108') - *Homo sapiens* IGKC*01 (100%), Km3, A45.1 (154'), V101 (192') (109'-215')]; dimère (227-227":230-230")-bisdisulfure, produit dans des cellules ovariennes de hamster chinois (CHO), lignée cellulaire CHO-DG44, glycoforme alfa
immunostimulant, antinéoplasique

evalstotug

inmunoglobulina G1-kappa, anti-[*Homo sapiens* CTLA4 (proteína 4 asociada a los linfocitos T citotóxicos, CTLA-4, CD152)], anticuerpo monoclonal;
cadena pesada gamma1 (1-447) [VH (*Homo sapiens* IGHV3-30*02 (91.8%) -(IGHD) -IGHJ4*01 (100%), CDR-IMGT [8.8.11] (26-33.51-58.97-107)) (1-118) -*Homo sapiens* IGHG1*01 (100%), G1m17,1 CH1 K120, CH3 D12, L14 (CH1 R120 (215) (119-216), bisagra 1-15 (217-231), CH2 (232-341), CH3 E12 (357), M14 (359) (342-446), CHS K2>del (447)) (119-447)], (221-215')-disulfuro con la cadena ligera kappa (1'-215') [V-KAPPA (*Homo sapiens* IGKV1-9*03 (78.1%) -IGKJ1*01 (100%), CDR-IMGT [7.3.9] (27'-33'.51'-53'.90'-98')) (1'-108') - *Homo sapiens* IGKC*01 (100%), Km3, A45.1 (154'), V101 (192') (109'-215')]; dímero (227-227":230-230")-bisdisulfuro, producido en las células ováricas de hámster chino (CHO), línea celular CHO-DG44, forma glicosilada alfa
inmunostimulante, antineoplásico

2460399-39-5

Heavy chain / Chaîne lourde / Cadena pesada

```
EVQLVESGGG LVQPGGSLRL SCAASGFTFS HYTMHWVRQA PGKGLEWVSF 50
ISYDGNKYY ADSVKGRFTI SRDNSKNTLY LQMNLSRAED TAVYYCARTG 100
WLGPFYWGQ GTLVTVSSAS TRGSPVFPLA PSSKSTSGGT AALGCLVKDY 150
FPEPVTVSWN SGALTSGVHT FPAVLQSSGL YLSSSVVTVP SSSLGTQTYI 200
CNVNHKPSNT KVDKKEPKS CDKHTCPCP PAPELLGGPS VLFPPKPKD 250
TLMISRTPEV TCVVVDVSH EDPVKFNWYV DGVEVHNAKT KPREEQYNST 300
YRVVSVLTVL HQDWLNGKEY KCKVSNKALP APIEKTISKA KGQPREPQVY 350
TLPSPRDELT KNQVSLTCLV KGFYPSDIAV EWESNGQPEN NYKTTTPVLD 400
SDGSFFLYSK LTVDKSRWQQ GNVFSCSVMH EALHNHYTQK SLSLSPG 447
```

Light chain / Chaîne légère / Cadena ligera

```
AIQLTQSPSS LSASVGDRTV ITCRASQYVG SSYLAWYLQK PGQSPQLLIY 50
GAFSRATGIP ARFSGSGSGT EFTLTISLQ SEDFAVYYCQ QDGSPPWTFG 100
QGTKVEIKRT VAAPSVFI FPSDEQLKSGT ASVVCLLNPF YPREAKVQWK 150
VDNALQSGNS QESVTEQDSK DSTYLSLSTL TSKADYERK KYACEVTHQ 200
GLSSPVTKSF NRGEC 215
```

Post-translational modifications

Disulfide bridges location / Position des ponts disulfure / Posiciones de los puentes disulfuro

Intra-H (C23-C104) 22-96 145-201 262-322 368-426
22"-96" 145"-201" 262"-322" 368"-426"

Intra-L (C23-C104) 23'-89' 135'-195'
23"-89" 135"-195"

Inter-H-L (h 5-CL 126) 221-215' 221"-215"

Inter-H-H (h 11, h 14) 227-227" 230-230"

N-glycosylation sites / Sites de N-glycosylation / Posiciones de N-glicosilación

HCH2N84.4:298, 298"

Fucosylated complex bi-antennary CHO-type glycans / glycanes de type CHO bi-antennaires complexes fucosylés / glicanos de tipo CHO biantennarios complejos fucosilados

evruleucelum

evruleucel

allogeneic cytotoxic T lymphocytes (CTLs) specific for Epstein-Barr virus (EBV) latency proteins, including latent membrane protein 1 (LMP1), LMP2, and EBV nuclear antigen 1 (EBNA1). Peripheral blood mononuclear cells (PBMCs) isolated by apheresis from healthy EBV-seropositive donors are stored according to human leukocyte antigen (HLA) typing. The PBMCs are then co-cultured in media containing interleukin 2 (IL-2) together with irradiated antigen-presenting cells, created by incubation of PBMCs from the same donor with a replication-deficient adenovirus encoding a transgene that expresses a truncated EBNA1 protein fused to a polypeptide containing multiple epitopes from LMP1 and LMP2. The final cell population consists of >70% CD3+ T lymphocytes (mix of CD4+/CD8+ T lymphocytes), with the remaining cells made up of natural killer (NK) cells, B lymphocytes, and monocytes (typically <1%). The cells are specific for EBV protein antigens (LMP1, LMP2 and EBNA1) and lyse cells presenting epitopes from these EBV antigens in complex with a matching HLA
cell therapy (immunomodulator)

évruleucel

lymphocytes T cytotoxiques allogéniques (CTLs) spécifiques des protéines de latence du virus d'Epstein-Barr (EBV), notamment la protéine de membrane latente 1 (LMP1), la LMP2 et l'antigène nucléaire 1 de l'EBV (EBNA1). Les cellules mononucléaires de sang périphérique (PBMC) isolées par aphérese à partir de donneurs sains séropositifs pour l'EBV sont stockées en fonction du typage de l'antigène leucocytaire humain (HLA). Les PBMC sont ensuite co-cultivées dans un milieu contenant de l'interleukine 2 (IL-2) avec des cellules présentatrices d'antigènes irradiées, créées par incubation de PBMC provenant du même donneur avec un adénovirus déficient en réplication codant un transgène qui exprime une protéine EBNA1 tronquée fusionnée à un polypeptide contenant de multiples épitopes de LMP1 et LMP2.
La population cellulaire finale est composée à plus de 70% de lymphocytes T CD3+ (mélange de lymphocytes T CD4+/CD8+), le reste étant constitué de cellules tueuses naturelles (NK), de lymphocytes B et de monocytes (typiquement <1%). Les cellules sont spécifiques des antigènes protéiques de l'EBV (LMP1, LMP2 et EBNA1) et lysent les cellules présentant des épitopes de ces antigènes EBV en complexe avec un HLA correspondant
thérapie cellulaire (immunomodulateur)

evruleucel

linfocitos T citotóxicos (CTLs) alogénicos específicos de proteínas de latencia del virus de Epstein-Barr (EBV), incluyendo la proteína latente de membrana 1 (LMP1), LMP2 y el antígeno nuclear 1 de EBV (EBNA1). Las células mononucleares de sangre periférica (PBMCs) aisladas mediante aféresis de donantes sanos seropositivos para EBV se almacenan según su tipaje de antígeno común leucocitario (HLA). Las PBMCs a continuación se co-cultivan en medio que contiene interleuquina 2 (IL-2) junto con células presentadora de antígeno irradiadas creadas mediante incubación de PBMCs del mismo donante con un adenovirus deficiente para replicación que codifica un transgén que expresa una proteína EBNA1 truncada fusionada a un polipéptido que contiene múltiples epítomos de LMP1 y LMP2.
La población celular final consiste en >70% linfocitos T CD3+ (mezcla de linfocitos T CD4+/CD8+), con el resto de células compuesto por células NK, linfocitos B y monocitos (típicamente <1%). Las células son específicas frente a los antígenos proteicos de EBV (LMP1, LMP2 y EBNA1) y lisan células que presentan epítomos de estos antígenos de EBV en complejo con un HLA concordante
terapia celular (inmunomodulador)

fanastomigum #
fanastomig

immunoglobulin L-kappa-H-gamma1_G1(VH-CH1-h)_L-kappa dimer, anti-[*Homo sapiens* LAG3 (lymphocyte activating 3, lymphocyte-activation 3, CD223)] and anti-[*Homo sapiens* PDCD1 (programmed cell death 1, PD-1, PD1, CD279)], monoclonal antibody, bispecific;
[L-kappa-H-gamma1 heavy chain anti-LAG3 and anti-PDCD1 (1-665) [L-kappa anti-LAG3 (1-214) [V-KAPPA Musmus/Homsap (*Mus musculus* IGKV9-124*01 (88.4%) -IGKJ5*01 (91.7%) A120>Q (100)/*Homo sapiens* IGKV1-16*01 (84.2%) -IGKJ2*01 (90.9%) I126>L (106), CDR-IMGT [6.3.9] (27-32.50-52.89-97)] (1-107) -*Homo sapiens* IGKC*01 (100%), Km3 A45.1 (153), V101 (191) (108-214)] -H-gamma1 heavy chain anti-PDCD1 (215-665) [VH (*Homo sapiens* IGHV3-48*02 (91.8%) -(IGHD) -IGHJ6*01 (92.9%), CDR-IMGT [8.8.14] (240-247.265-272.311-324)] (215-335)-*Homo sapiens* IGHG1*03v, G1m3>G1m17, nG1m1, CH1 K120, CH3 E12, M14, IGHG1v14 CH2 A1.3, A1.2 (CH1 R120>K (432) (336-433), hinge 1-15 (434-448), CH2 L1.3>A (452), L1.2>A (453)(449-558), CH3 E12 (574), M14 (576) (559-663), CHS (664-665)) (336-665)]; (214-216')-disulfide with G1(VH-CH1-h) light chain anti-LAG3 (1'-216') [VH Musmus/Homsap (*Mus musculus* IGHV14-4*01 (86.6%) -IGHD -IGHJ4*01 (92.3%) S123>T (108')/*Homo sapiens* IGHV1-69-2*01 (72.9%) -IGHD -IGHJ6*01 (87.5%), CDR-IMGT [8.8.6] (26'-33'.51'-58'.97'-102') (1'-113') -*Homo sapiens* IGHG1*03v, G1m3>G1m17, nG1m1, CH1 K120 (CH1 R120>K (210') (114'-211'), hinge 1-5 (212'-216')) (114'-216')]; (438-214''')-disulfide with L-kappa light chain *Homo sapiens* anti-PDCD1 (1'''-214''') [V-KAPPA (*Homo sapiens* IGKV1-33*01 (86.3%) -IGKJ4*01 (100%), CDR-IMGT [6.3.9] (27'''-32'''-51'''-53'''-89'''-97''')) (1'''-107''') -*Homo sapiens* IGKC*01 (100%), Km3, A45.1 (153'''), V101 (191''') (108'''-214''')]; dimer (444-444":447-447''')-bisdisulfide, produced in Chinese hamster ovary (CHO) cells, cell line CHO-K1, glycoform alfa
immunostimulant, antineoplastic

fanastomig

immunoglobuline L-kappa-H-gamma1_G1(VH-CH1-h)_L-kappa dimère, anti-[*Homo sapiens* LAG3 (activateur 3 des lymphocytes, lymphocyte-activation 3, CD223)] et anti-[*Homo sapiens* PDCD1 (protéine 1 de mort cellulaire programmée, PD-1, PD1, CD279)], anticorps monoclonal, bispécifique;
[L-kappa-H-gamma1 chaîne lourde anti-LAG3 et anti-PDCD1 (1-665) [L-kappa anti-LAG3 (1-214) [V-KAPPA Musmus/Homsap (*Mus musculus* IGKV9-124*01 (88.4%) -IGKJ5*01 (91.7%) A120>Q (100)/*Homo sapiens* IGKV1-16*01 (84.2%) -IGKJ2*01 (90.9%) I126>L (106), CDR-IMGT [6.3.9] (27-32.50-52.89-97)] (1-107) -*Homo sapiens* IGKC*01 (100%), Km3 A45.1 (153), V101 (191) (108-214)] -chaîne lourde H-gamma1 anti-PDCD1 (215-665) [VH (*Homo sapiens* IGHV3-48*02 (91.8%) -(IGHD) -IGHJ6*01 (92.9%), CDR-IMGT [8.8.14] (240-247.265-272.311-324)] (215-335)-*Homo sapiens* IGHG1*03v, G1m3>G1m17, nG1m1, CH1 K120, CH3 E12, M14, IGHG1v14 CH2 A1.3, A1.2 (CH1 R120>K (432) (336-433), charnière 1-15 (434-448), CH2 L1.3>A (452), L1.2>A (453) (449-558), CH3 E12 (574), M14 (576) (559-663), CHS (664-665)) (336-665)]; (214-216')-disulfure avec la chaîne légère G1(VH-CH1-h) anti-LAG3 (1'-216') [VH Musmus/Homsap (*Mus musculus* IGHV14-4*01 (86.6%) -IGHD -IGHJ4*01 (92.3%) S123>T (108')/*Homo sapiens*

	<p>IGHV1-69-2*01 (72.9%) -IGHD -IGHJ6*01 (87.5%), CDR-IMGT [8.8.6] (26'-33'.51'-58'.97'-102')) (1'-113') -<i>Homo sapiens</i> IGHG1*03v, G1m3>G1m17, nG1m1, CH1 K120 (CH1 R120>K (210') (114'-211')), charnière 1-5 (212'-216') (114'-216')); (438-214''')-disulfure avec la chaîne légère L-kappa anti-PDCD1 (1'''-214''') [V-KAPPA (<i>Homo sapiens</i> IGKV1-33*01 (86.3%) -IGKJ4*01 (100%), CDR-IMGT [6.3.9] (27'''-32''' .51'''-53''' .89'''-97''')) (1'''-107''') -<i>Homo sapiens</i> IGKC*01 (100%), Km3, A45.1 (153'''), V101 (191''') (108'''-214''')); dimère (444-444'' :447-447''')-bisulfure, produit dans des cellules ovariennes de hamster chinois (CHO), lignée cellulaire CHO-K1, glycoforme alfa <i>immunostimulant, antinéoplasique</i></p>
fanastomig	<p>immunoglobulina L-kappa-H-gamma1_G1(VH-CH1-h)_L-kappa dímero, anti-[<i>Homo sapiens</i> LAG3 (activador 3 de los linfocitos, activación del linfocito 3, CD223)] y anti-[<i>Homo sapiens</i> PDCD1 (proteína 1 de muerte celular programada, PD-1, PD1, CD279)], anticuerpo monoclonal, biespecífico; [L-kappa-H-gamma1 cadena pesada anti-LAG3 y anti-PDCD1 (1-665) [L-kappa anti-LAG3 (1-214) [V-KAPPA <i>Mus musculus</i> IGKV9-124*01 (88.4%) -IGKJ5*01 (91.7%) A120>Q (100)]/<i>Homo sapiens</i> IGKV1-16*01 (84.2%) -IGKJ2*01 (90.9%) I126>L (106), CDR-IMGT [6.3.9] (27-32.50-52.89-97)) (1-107) -<i>Homo sapiens</i> IGKC*01 (100%), Km3 A45.1 (153), V101 (191) (108-214)] -cadena pesada H-gamma1 anti-PDCD1 (215-665) [VH (<i>Homo sapiens</i> IGHV3-48*02 (91.8%) -(IGHD) -IGHJ6*01 (92.9%), CDR-IMGT [8.8.14] (240-247.265-272.311-324)) (215-335)-<i>Homo sapiens</i> IGHG1*03v, G1m3>G1m17, nG1m1, CH1 K120, CH3 E12, M14, IGHG1v14 CH2 A1.3, A1.2 (CH1 R120>K (432) (336-433), bisagra 1-15 (434-448), CH2 L1.3>A (452), L1.2>A (453) (449-558), CH3 E12 (574), M14 (576) (559-663), CHS (664-665)) (336-665)]]; (214-216')-disulfuro con la cadena ligera G1(VH-CH1-h) anti-LAG3 (1'-216') [VH <i>Mus musculus</i> IGHV14-4*01 (86.6%) -IGHD -IGHJ4*01 (92.3%) S123>T (108')/<i>Homo sapiens</i> IGHV1-69-2*01 (72.9%) -IGHD -IGHJ6*01 (87.5%), CDR-IMGT [8.8.6] (26'-33'.51'-58'.97'-102')) (1'-113') -<i>Homo sapiens</i> IGHG1*03v, G1m3>G1m17, nG1m1, CH1 K120 (CH1 R120>K (210') (114'-211')), bisagra 1-5 (212'-216') (114'-216')); (438-214''')-disulfuro con la cadena ligera L-kappa anti-PDCD1 (1'''-214''') [V-KAPPA (<i>Homo sapiens</i> IGKV1-33*01 (86.3%) -IGKJ4*01 (100%), CDR-IMGT [6.3.9] (27'''-32''' .51'''-53''' .89'''-97''')) (1'''-107''') -<i>Homo sapiens</i> IGKC*01 (100%), Km3, A45.1 (153'''), V101 (191''') (108'''-214''')); dímero (444-444'' :447-447''')-bisulfuro, producido en las células ováricas de hámster chino (CHO), línea celular CHO-K1, forma glicosilada alfa <i>inmunostimulante, antineoplásico</i></p>

2761795-00-8

Heavy chain / Chaîne lourde / Cadena pesada : anti-LAG3 and anti-PDCD1 (H, H^m)
 DIQMTQSPSS LSASVGDRTV TCRASQEIS GYLSWLQKPK GGAIRKLIYA 50
 ASALDLSGVFS RFGSGRSRSGD YTLTISSLPQ EDFADYYCLQ YASYPLTFGQ 100
 GTKLELRKRV AAPSVFIAPP SDEQLKSGTA SVVCLLNMFY PRAKRVQWV 150
 DNALQSGNSQ RFEVQDSGSD STYSLSSLT LSKADYKHK VYACEVTHQG 200
 LSPVTKSFN RGECEVQLVE SGGGLVQFQG SRLSCASAG FTSYDYGMHW 250
 VRQAPGKGLE WVSYISSGSY TIYADTVKG RPTISRDNAK NSLYLQMNLSL 300
 RDEDVAVYIC AKRGGSSHVN VMDYWGQGT VTVSSASTKG PSVFPLAPSS 350
 KSTSGGTAAL GCLVKDYFPE FVTVSNWSGA LTVSGVHTFPA VLQSSGLYSL 400
 SSVVTVFSSS LGTQTYICNV NHPKPSNTKVD KKVPEKSCDK THTCPCPCAP 450
 EAAGGFSVFL FPKPKDTLM ISRTPEVTCV VVDVSHEDPE VKFNWYVDGV 500
 EVHNATKFR EEQYNSTYRV VSVLTVLHQD WLNKKEYKCK VSNKALPAPI 550
 EKTISKAKGQ PREPQVYTLF PSREEMTKNQ VSLTCLVKGK YPSDIAVEWE 600
 SNGQPFENYK TTPFVLDSDG SFFLYSKLTV DKSRWQGGNV FSCSVMEHAL 650
 HNHYTQKSL SLPGRK 665

Light chain / Chaîne légère / Cadena ligera : anti-LAG3 G1(VH-CH1-h) (L, L^m)
 EVQLVQSGAE VKKPGATVKL SCTASGFNIK DDMHWVVKQR PEQGLDWIGW 50
 IVPENANTVY ASKFGQKATI TADTSTNTAY LELSLRSLED TAVVYCTVYG 100
 DWYGGQTTVT VSSASTKGPS VFPLAPSSKS TSGGTAALG LVKDYFPEPV 150
 TVSNWSGALT SGVHTFPAVL QSSGLYSLSS VTVFSSSLG TQTYICNVNH 200
 KPSNTRKVDK VEPKSC 216

Light chain / Chaîne légère / Cadena ligera : anti-PDCD1 L-kappa (L^m, L^m)
 DIQMTQSPSS LSASVGDRTV TCRASDHIN NWLAWYQKPK GKAPKLLIYG 50
 AITSLTEVFS RFGSGSGTDF STYSLSSLT EDIATYICQQ WSPVTFGG 100
 ATKVEIKRIV AAPSVFIAPP SDEQLKSGTA SVVCLLNMFY PRAKRVQWV 150
 DNALQSGNSQ ESVEQDSGSD STYSLSSLT LSKADYKHK VYACEVTHQG 200
 LSPVTKSFN RGECE 214

Post-translational modifications
 Disulfide bridges location / Position des ponts disulfure / Posiciones de los puentes disulfuro
 Intra-H (C23-C104) 23-88 134-194 236-310 362-418 479-539 585-643
 23^m-88^m 134^m-194^m 236^m-310^m 362^m-418^m 479^m-539^m 585^m-643^m
 Intra-L (C23-C104) 22^m-96^m 140^m-196^m
 22^m-96^m 140^m-196^m
 23^m-88^m 134^m-194^m
 23^m-88^m 134^m-194^m
 Inter-H-L (CL 126-h 5)* 214-216^m 214^m-216^m
 Inter-H-L (h 5-CL 126) 438-214^m 438^m-214^m
 Inter-H-H (h 11, h 14) 444-444^m 447-447^m
 *crosslink between the H chain (L-kappa-H-gamma-1) and the L chain (G1(VH-CH1-h)).

N-glycosylation sites / Sites de N-glycosylation / Posiciones de N-glicosilación
 H CH2 N84.4: 515, 515^m
 Fucosylated complex bi-antennary CHO-type glycans / glycanes de type CHO bi-antennaires
 complexes fucosylés / glicanos de tipo CHO biantennarios complejos fucosilados

C-terminal lysine clipping / Coupure de la lysine C-terminale / Recorte de lisina C-terminal
 H CHS K2: 675, 675^m

fencabtagenm autoleucelum #

fencabtagene autoleucel

autologous CD4/CD8 enriched T lymphocytes obtained from peripheral blood by leukapheresis, transduced with a self-inactivating, non-replicating lentiviral vector encoding a chimeric antigen receptor targeting human receptor tyrosine-protein kinase erbB-2 (also known as epidermal growth factor receptor 2 (HER2)). The expressed transgene comprises a human immunoglobulin G (IgG) leader sequence, an extracellular HER2-binding domain provided by a designed ankyrin repeat protein, a human c-Myc tag sequence, an anti-T cell receptor (TCR)/CD3 ϵ binding domain provided by the humanized UCHT1 single-chain antibody fragment (scFv), and a CD4 co-receptor membrane anchoring and intracellular domain, under the control of the murine stem cell virus (MSCV) promoter.

The construct is flanked by 5' and 3' long terminal repeats (LTRs) and also contains a ψ packaging signal, a truncated *gag*, a Rev response element (RRE), a central polypurine tract (cPPT) sequence, a Woodchuck hepatitis virus posttranscriptional regulatory element (WPRE) and a synthetic ID tag sequence. The vector is pseudotyped by vesicular stomatitis virus (VSV) glycoprotein G.

The leukapheresis material is enriched for CD4+ and CD8+ T lymphocytes by positive immunoselection. The cells are then activated by CD3 and CD28 agonists and transduced with the lentiviral vector. The cells are further culture expanded in growth media with serum replacement containing interleukin 2 (IL-2) and 7 (IL-7). The cell suspension consists of T lymphocytes (>96% CD3+) with greater than 10% (average 45%) of the T lymphocytes expressing the transgene

cell-based gene therapy (antineoplastic)

- fencabtagène autoleuclél lymphocytes T autologues enrichis en CD4/CD8 obtenus par leucaphérèse à partir de sang périphérique, transduits avec un vecteur lentiviral auto-inactivant et non répliquant codant un récepteur antigénique chimérique ciblant le récepteur de la tyrosine-protéine kinase humaine erbB-2 (également connu sous le nom de récepteur 2 du facteur de croissance épidermique (HER2)). Le transgène exprimé comprend une séquence de tête de l'immunoglobuline G (IgG) humaine, un domaine extracellulaire de liaison à HER2 fourni par une protéine conçue avec des répétitions d'ankyrine, une séquence de marquage c-Myc humaine, un domaine de liaison au récepteur des cellules T (TCR)/CD3 ϵ fourni par le fragment d'anticorps humanisé à chaîne unique UCHT1 (scFv), et un domaine intracellulaire et d'ancrage à la membrane du co-récepteur CD4, sous le contrôle du promoteur du virus des cellules souches murines (MSCV). La construction est flanquée de longues répétitions terminales (LTR) en 5' et 3' et contient également un signal d'encapsulation ψ , un *gag* tronqué, un élément de réponse Rev (RRE), une séquence du tractus polypurine central (cPPT), un élément régulateur post-transcriptionnel du virus de l'hépatite de Woodchuck (WPRE) et une séquence synthétique avec étiquette d'identification. Le vecteur est pseudotypé par la glycoprotéine G du virus de la stomatite vésiculaire (VSV). Le matériel de leucaphérèse est enrichi en lymphocytes T CD4+ et CD8+ par immunosélection positive. Les cellules sont ensuite activées par des agonistes CD3 et CD28 et transduites avec le vecteur lentiviral. Les cellules en culture sont ensuite amplifiées dans un milieu de croissance avec un remplacement du sérum contenant de l'interleukine 2 (IL-2) et 7 (IL-7). La suspension cellulaire est constituée de lymphocytes T (>96% CD3+) avec plus de 10% (moyenne 45%) des lymphocytes T exprimant le transgène *thérapie génique à base de cellules (antineoplasique)*
- fencabtagén autoleuclél linfocitos T autólogos enriquecidos en CD4/CD8 obtenidos de sangre periférica mediante leucoaféresis, transducidos con un vector lentiviral auto inactivante, no replicativo, que codifica para un receptor de antígenos quimérico dirigido al receptor tirosina-proteína quinasa erbB-2 humano (también conocido como receptor del factor de crecimiento epidérmico 2 (HER2)). El transgén expresado contiene una secuencia líder de la inmunoglobulina G (IgG) humana, un dominio extracelular de unión a HER2 proporcionado por una proteína con repeticiones de anquirina diseñada para ello, una secuencia etiqueta c-Myc humana, un dominio de unión anti-receptor del linfocito T (TCR)/CD3 ϵ proporcionado por el fragmento de cadena sencilla (scFv) del anticuerpo UCHT1 humanizado y un dominio de anclaje a la membrana e intracelular del co-receptor CD4, bajo el control de un promotor del virus de células madre murino (MSCV). El constructo está flanqueado por repeticiones terminales largas y también contiene una señal de empaquetamiento ψ , un *gag* truncado, un elemento de respuesta Rev (RRE), una secuencia de tracto de polipurina central (cPPT), un elemento regulador post-transcripcional del virus de la hepatitis de la marmota (WPRE) y una secuencia etiqueta ID sintética. El vector está pseudotipado con la glicoproteína G del virus de la estomatitis vesicular (VSV). El material de leucoaféresis se enriquece para linfocitos T CD4+ y CD8+ mediante inmunoselección positiva. Las células se activan después mediante agonistas de CD3 y CD28, y se transducen con el vector lentiviral. Las células se expanden más en cultivo en medio de crecimiento con sustituto de suero que contiene interleuquinas 2 (IL-2) y 7 (IL-7). La suspensión celular consiste en linfocitos T (>96% CD3+), con más del 10% (media 45%) de los linfocitos T que expresan el transgén. *terapia génica basada en células (antineoplásico)*

fexagratinibum

fexagratinib

N-{5-[2-(3,5-dimethoxyphenyl)ethyl]-1*H*-pyrazol-3-yl]-4-[(3*R*,5*S*)-3,5-diméthylpiperazin-1-yl]}benzamide
fibroblast growth factor receptor tyrosine kinase inhibitor, antineoplastic

fexagratinib

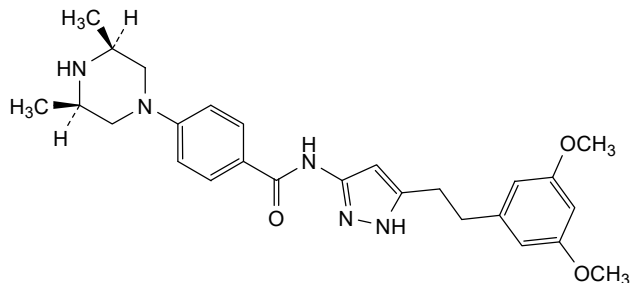
N-{5-[2-(3,5-diméthoxyphényl)éthyl]-1*H*-pyrazol-3-yl]-4-[(3*R*,5*S*)-3,5-diméthylpiperazin-1-yl]}benzamide
inhibiteur de la tyrosine kinase du récepteur du facteur de croissance des fibroblastes, antinéoplasique

fexagratinib

4-[(3*R*,5*S*)-3,5-diméthylpiperazin-1-yl]-*N*-{5-[2-(3,5-diméthoxyphenyl)éthyl]-1*H*-pyrazol-3-yl]}benzamide
inhibidor de la tirosina kinasa del receptor del factor de crecimiento de fibroblastos, antineoplásico

C₂₆H₃₃N₅O₃

1035270-39-3

**firicabtagenum autoleucelum #**

firicabtagene autoleucel

autologous T lymphocytes obtained from peripheral blood by leukapheresis, transduced with a self-inactivating, non-replicating lentiviral vector encoding a chimeric antigen receptor (CAR) targeting human CD22. The expressed transgene comprises the granulocyte-macrophage colony-stimulating factor receptor subunit alpha (GMCSFR-alpha) signal sequence, an anti-CD22 single chain variable fragment (scFv), a CD8α hinge and transmembrane domain, a 4-1BB costimulatory domain and CD3ζ primary stimulatory domain, under control of the human elongation factor 1 alpha (EF-1α) promoter. The construct is flanked by 5' and 3' long terminal repeats (LTRs) and also contains a ψ packaging signal, a truncated *gag*, a Rev response element (RRE), a central polypurine tract (cPPT) sequence 5' to the transgene, and a partial *neff*/polypurine tract (PPT) sequence 3' to the transgene. The vector is pseudotyped with vesicular stomatitis virus (VSV) glycoprotein G. The leukapheresis material is enriched for CD4/CD8 T lymphocytes by positive immunoselection, activated by CD3 and CD28 agonists and transduced with the lentiviral vector. The cells are then expanded in media containing human AB serum, interleukin 7 (IL-7) and 15 (IL-15). The T lymphocytes (≥70 % CD3+) are positive for the transgene (≥10% CAR positive), demonstrate cytotoxicity against CD22 expressing cells, and secrete interferon gamma in response to CD22 expressing tumour cell lines
cell-based gene therapy (antineoplastic)

firicabtagène autoleucel

lymphocytes T autologues obtenus par leucaphérèse à partir de sang périphérique, transduits avec un vecteur lentiviral auto-inactivant et non répliquant codant un récepteur antigénique chimérique (CAR) ciblant le CD22 humain. Le transgène exprimé comprend la séquence signal du récepteur de la sous-unité alpha du facteur de stimulation des colonies de granulocytes et de macrophages (GMCSFR-alpha), un fragment variable à chaîne unique (scFv) anti-CD22, une charnière et un domaine transmembranaire CD8 α , un domaine co-stimulateur 4-1BB et un domaine stimulateur primaire CD3 ζ , sous le contrôle du promoteur du facteur d'élongation humain 1 alpha (EF-1 α). La construction est flanquée de longues répétitions terminales (LTR) en 5' et 3' et contient également un signal d'encapsulation ψ , un *gag* tronqué, un élément de réponse Rev (RRE) et une séquence du tractus polypurine central (cPPT) en 5' du transgène, ainsi qu'une séquence partielle du tractus *nef*/polypurine (PPT) en 3' du transgène. Le vecteur est pseudotypé avec la glycoprotéine G du virus de la stomatite vésiculaire (VSV).

Le matériel de leucaphérèse est enrichi en lymphocytes T CD4/CD8 par immunosélection positive, activé par des agonistes CD3 et CD28 et transduit avec le vecteur lentiviral. Les cellules sont ensuite amplifiées dans un milieu contenant du sérum AB humain, de l'interleukine 7 (IL-7) et 15 (IL-15). Les lymphocytes T ($\geq 70\%$ CD3+) sont positifs pour le transgène ($\geq 10\%$ CAR positif), démontrent une cytotoxicité contre les cellules exprimant CD22 et sécrètent de l'interféron gamma en réponse à des lignées de cellules tumorales exprimant CD22

thérapie génique à base de cellules (antineoplasique)

firicabtagén autoleucel

linfocitos T autólogos obtenidos de sangre periférica mediante leucoaféresis, transducidos con un vector lentiviral auto inactivante, no replicativo, que codifica para un receptor de antígenos quimérico (CAR) dirigido al CD22 humano. El transgén expresado contiene la secuencia señal de la subunidad alfa del receptor del factor estimulador de colonias de monocitos-macrófagos (GMCSFR-alfa), un fragmento variable de cadena sencilla (scFv) anti-CD22, un dominio bisagra y transmembrana de CD8 α , un dominio co-estimulador de 4-1BB y un dominio estimulador primario de CD3 ζ , bajo el control del promotor del factor de elongación 1 alfa (EF1 α) humano. El constructo está flanqueado por repeticiones terminales largas (LTRs) en 5' y 3' y también contiene una señal de empaquetamiento ψ , un *gag* truncado, un elemento de respuesta Rev (RRE), una secuencia de tracto de polipurina central (cPPT) en posición 5' con respecto al transgén, y una secuencia de tracto de polipurina/*nef* parcial (PPT) en posición 3' con respecto al transgén. El vector está pseudotipado con la glicoproteína G del virus de la estomatitis vesicular (VSV). El material de leucoaféresis se enriquece para linfocitos T CD4/CD8 mediante inmunoselección positiva, se activa mediante agonistas de CD3 y CD28 y se transduce con el vector lentiviral. Las células se expanden después en medio que contiene suero AB e interleuquinas 7 (IL-7) y 15 (IL-15). Los linfocitos T ($\geq 70\%$ CD3+) son positivos para el transgén ($\geq 10\%$ CAR positivos), demuestran citotoxicidad contra células que expresan CD22 y secretan interferón gamma en respuesta a líneas de células tumorales que expresan CD22

terapia génica basada en células (antineoplásico)

firmonertinibum

firmonertinib

N-[2-[[2-(dimethylamino)ethyl](methyl)amino]-5-[[4-(1-methyl-1*H*-indol-3-yl)pyrimidin-2-yl]amino]-6-(2,2,2-trifluoroethoxy)pyridin-3-yl]prop-2-enamide
tyrosine kinase inhibitor, antineoplastic

firmonertinib

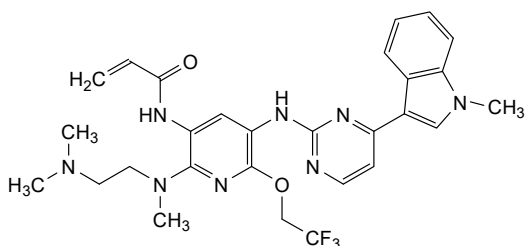
N-[2-[[2-(diméthylamino)éthyl](méthyl)amino]-5-[[4-(1-méthyl-1*H*-indol-3-yl)pyrimidin-2-yl]amino]-6-(2,2,2-trifluoroéthoxy)pyridin-3-yl]prop-2-énamide
inhibiteur de tyrosine kinase, antinéoplasique

firmonertinib

N-[2-[[2-(dimetilamino)etil](metil)amino]-5-[[4-(1-metil-1*H*-indol-3-il)pirimidin-2-il]amino]-6-(2,2,2-trifluoroetoxi)piridin-3-il]prop-2-enamida
inhibidor de la tirosina kinasa, antineoplásico

C₂₈H₃₁F₃N₈O₂

1869057-83-9

**florbenguanum (¹⁸F)**florbenguane (¹⁸F)

N-[[3-(¹⁸F)fluorophenyl]methyl]guanidine
diagnostic agent

florbenguane (¹⁸F)

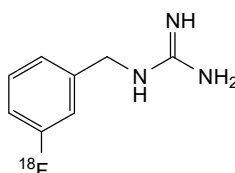
N-[[3-(¹⁸F)fluorophényl]méthyl]guanidine
agent diagnostique

florbenguano (¹⁸F)

N-[[3-(¹⁸F)fluorofenil]metil]guanidina
agente de diagnóstico

C₈H₁₀¹⁸FN₃

156021-12-4

**fosigotifatorum**

fosigotifator

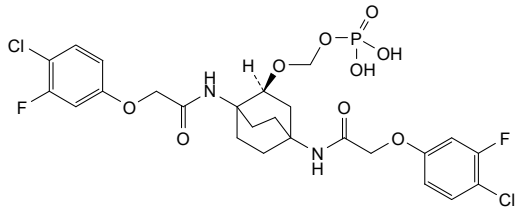
{{(2*S*)-1,4-bis[2-(4-chloro-3-fluorophenoxy)acetamido]bicyclo[2.2.2]octan-2-yl}oxy)methyl dihydrogen phosphate
eukaryotic translation initiation factor 2B (eIF2B) activator

fosigotifator
 dihydrogénophosphate de ((2*S*)-1,4-bis[2-(4-chloro-3-fluorophénoxy)acétamido]bicyclo[2.2.2]octan-2-yl)oxy)méthyle
activateur du facteur d'initiation de la traduction eucaryote 2B (eIF2B)

fosigotifator
 dihidrogenofosfato de (((2*S*)-1,4-bis[2-(4-cloro-3-fluorofenoxi)acetamido]bicyclo[2.2.2]octan-2-il)oxi)metilo
activador del factor de iniciación de la traducción eucariota 2B (eIF2B)

 $C_{25}H_{27}Cl_2F_2N_2O_9P$

2415715-84-1



friluglanstatum
 friluglanstat

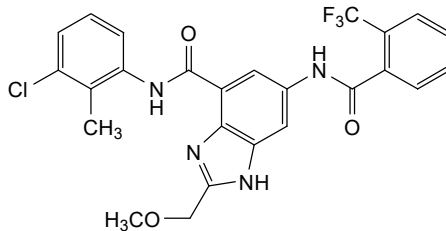
N-(3-chloro-2-methylphenyl)-2-(methoxymethyl)-6-[2-(trifluoromethyl)benzamido]-1*H*-1,3-benzimidazole-4-carboxamide
prostaglandin E synthase inhibitor

friluglanstat
N-(3-chloro-2-méthylphényl)-2-(méthoxyméthyl)-6-[2-(trifluorométhyl)benzamido]-1*H*-1,3-benzimidazole-4-carboxamide
inhibiteur de la prostaglandine E synthase

friluglanstat
N-(3-cloro-2-metilfenil)-2-(metoximetil)-6-[2-(trifluorometil)benzamido]-1*H*-1,3-benzimidazol-4-carboxamida
inhibidor de la prostaglandina E sintasa

 $C_{25}H_{20}ClF_3N_4O_3$

1422203-86-8



frunexianum
 frunexian

(2*S*,3*R*)-3-[(2-aminopyridin-4-yl)methyl]-1-[[1*R*]-1-cyclohexylethyl]carbamoil]-4-oxoazetidina-2-carboxylic acid
blood coagulation factor XIa inhibitor

frunéxián

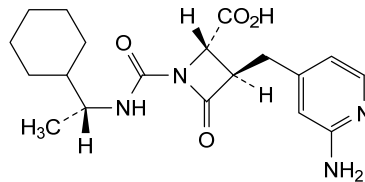
acide (2*S*,3*R*)-3-[(2-aminopyridin-4-yl)méthyl]-1-[[*(1R)*-1-cyclohexyléthyl]carbamoïl]-4-oxoazétidine-2-carboxylique
inhibiteur du facteur Xla de coagulation

frunexián

ácido (2*S*,3*R*)-3-[(2-aminopiridin-4-il)metil]-1-[[*(1R)*-1-ciclohexiletíl]carbamoil]-4-oxoazetidina-2-carboxílico
inhibidor del factor Xla de coagulación

C₁₉H₂₆N₄O₄

1803270-60-1



galvokimigum #
galvokimig

immunoglobulin G1(VH-CH1-h)-scFv_L-kappa-scFv, anti-[*Homo sapiens* IL17A (interleukin 17A, IL-17A) and IL17F (interleukin 17F, IL-17F)], anti-[*Homo sapiens* IL13 (interleukin 13, IL-13)], anti-[*Homo sapiens* ALB (albumin, human serum albumin, HSA)], humanized monoclonal antibody, trispecific, trivalent;
fused G1(VH-CH1-h)-scFv heavy-kappa heavy chain humanized (1-492) [VH-IGHG1 CH1-h anti-IL-17A/F humanized (1-228) [VH (*Homo sapiens*IGHV3-7*01 (88.7%) -(IGHD) -IGHJ6*01 (90.9%) T123>L (120), CDR-IMGT [8.8.18] (26-33.51-58.97-114))] (1-125)-*Homo sapiens*IGHG1*01, G1m17 CH1 K120 (CH1 K120 (222) (126-223), hinge 1-5 (224-228) (126-228))] -11-mer (seryl-tetraglycyl-threonyl-tetraglycyl-seryl) linker (229-239) -scFv heavy-kappa anti-ALB humanized, scFv-v1 C49 (VH)-C120 (VL) (240-492) [VH (*Homo sapiens*IGHV3-23*01 (78.6%) -(IGHD) -IGHJ2*01 (93.3%), C49 (283), CDR-IMGT [8.7.15] (265-272.290-296.335-349)) (240-360) -20-mer tetrakis(tetraglycyl-seryl) linker (361-380) -V-KAPPA (*Homo sapiens*IGKV1-12*01 (86.5%) -(IGHD) -IGKJ1*01 (90.9%) C120 (483), CDR-IMGT [7.3.11] (407-413.431-433.470-480)) (381-492)], (228-214')-disulfide with the fused L-kappa-scFv heavy-kappa light chain humanized (1'-469') [L-kappa anti-IL-17A/F humanized (1'-215') [V-KAPPA (*Homo sapiens*IGKV1-13*02 (80.0%) -IGKJ1*01 (100%), CDR-IMGT [6.3.9] (27'-32'.50'-52'.89'-97')) (1'-107') -*Homo sapiens*IGKC*01 (100%), Km3, A45.1 (153), V101 (191) (108'-214')] -11-mer seryl-bis(tetraglycyl-seryl) linker (215'-225') -scFv heavy-kappa anti-IL13 humanized, scFv-v1 C49 (VH)-C120 (VL) (226'-469')] [VH (*Homo sapiens*IGHV1-69*08 (81.6%) -(IGHD) -IGHJ1*01 (100%), C49 (269'), CDR-IMGT [8.8.9] (251'-258'.276'-283'.322'-330')) (226'-341')] -20-mer tetrakis(tetraglycyl-seryl) linker (342'-361') -V-KAPPA (*Homo sapiens*IGKV1-NL1*01 (83.9%) -(IGHD) -IGKJ2*01 (91.7%), C120 (460'), CDR-IMGT [6.3.8] (388'-393'.411'-413'.450'-457')) (362'-469')], produced in Chinese hamster ovary (CHO) cells, cell line CHO-DG44, non-glycosylated
immunosuppressant, anti-inflammatory

galvokimig immunoglobuline G1(VH-CH1-h)-scFv_L-kappa-scFv, anti-[*Homo sapiens* IL17A (interleukine 17A, IL-17A) et IL17F (interleukine 17F, IL-17F)], anti-[*Homo sapiens* IL13 (interleukine 13, IL-13)], anti-[*Homo sapiens* ALB (albumine, sérum albumine humaine, SAH)], anticorps monoclonal humanisé, trispécifique, trivalent; chaîne lourde fusionnée G1(VH-CH1-h)-scFv heavy-kappa humanisée (1-492) [VH-IGHG1 CH1-h anti-IL-17A/F humanisée (1-228) [VH (*Homo sapiens* IGHV3-7*01 (88.7%) -(IGHD) -IGHJ6*01 (90.9%) T123>L (120), CDR-IMGT [8.8.18] (26-33.51-58.97-114))] (1-125)-*Homo sapiens* IGHG1*01, G1m17 CH1 K120 (CH1 K120 (222) (126-223), charnière 1-5 (224-228) (126-228))] -11-mer (séryl-tétraglycyl-thréonyl-tétraglycyl-séryl) linker (229-239) -scFv heavy-kappa anti-ALB humanisé, scFv-v1 C49 (VH)-C120 (VL) (240-492) [VH (*Homo sapiens* IGHV3-23*01 (78.6%) -(IGHD) -IGHJ2*01 (93.3%), C49 (283), R120>Q (352), CDR-IMGT [8.7.15] (265-272.290-296.335-349)) (240-360) -20-mer tétrakis(tétraglycyl-séryl) linker (361-380) -V-KAPPA (*Homo sapiens* IGKV1-12*01 (86.5%) -(IGHD) -IGKJ1*01 (90.9%), C120 (483), CDR-IMGT [7.3.11] (407-413.431-433.470-480)) (381-492)], (228-214')-disulfure avec la chaîne légère fusionnée L-kappa-scFv heavy-kappa humanisée (1'-469') [L-kappa anti-IL-17A/F humanisée (1'-215') [V-KAPPA (*Homo sapiens* IGKV1-13*02 (80.0%) -IGKJ1*01 (100%), CDR-IMGT [6.3.9] (27'-32'.50'-52'.89'-97'')) (1'-107') -*Homo sapiens* IGKC*01 (100%), Km3, A45.1 (153'), V101 (191') (108'-214')] -11-mer séryl-bis(tétraglycyl-séryl) linker (215'-225') -scFv heavy-kappa anti-IL13 humanized, scFv-v1 C49 (VH)-C120 (VL) (226'-341') [VH (*Homo sapiens* IGHV1-69*08 (81.6%) -(IGHD) -IGHJ1*01 (100%), C49 (269'), CDR-IMGT [8.8.9] (251'-258'.276'-283'.322'-330'')) (226'-341') -20-mer tétrakis(tétraglycyl-séryl) linker (342'-361') -V-KAPPA (*Homo sapiens* IGKV1-NL1*01 (83.9%) -(IGHD) -IGKJ2*01 (91.7%), C120 (460'), CDR-IMGT [6.3.8] (388'-393'.411'-413'.450'-457'')) (362'-469')]], produit dans des cellules ovariennes de hamster chinois (CHO), lignée cellulaire CHO-DG44, non-glycosylé
immunomodulateur, anti-inflammatoire

galvokimig inmunoglobulina G1(VH-CH1-h)-scFv_L-kappa-scFv, anti-[*Homo sapiens* IL17A (interleukina 17A, IL-17A) e IL17F (interleukina 17F, IL-17F)], anti-[*Homo sapiens* IL13 (interleukina 13, IL-13)], anti-[*Homo sapiens* ALB (albúmina, sero albúmina humana, SAH)], anticuerpo monoclonal humanizado, trispécífico, trivalente; cadena pesada fusionada G1(VH-CH1-h)-scFv pesada-kappa humanizada (1-492) [VH-IGHG1 CH1-h anti-IL-17A/F humanizada (1-228) [VH (*Homo sapiens* IGHV3-7*01 (88.7%) -(IGHD) -IGHJ6*01 (90.9%) T123>L (120), CDR-IMGT [8.8.18] (26-33.51-58.97-114))] (1-125)-*Homo sapiens* IGHG1*01, G1m17 CH1 K120 (CH1 K120 (222) (126-223), bisagra 1-5 (224-228) (126-228))] -11-mer (seril-tetraglicil-treonil-tetraglicil-seril) enlace (229-239) -scFv pesada-kappa anti-ALB humanizada, scFv-v1 C49 (VH)-C120 (VL) (240-492) [VH (*Homo sapiens* IGHV3-23*01 (78.6%) -(IGHD) -IGHJ2*01 (93.3%), C49 (283), R120>Q (352), CDR-IMGT [8.7.15] (265-272.290-296.335-349)) (240-360) -20-mer tetraakis(tetraglicil-seril) enlace (361-380) -V-KAPPA (*Homo sapiens* IGKV1-12*01 (86.5%) -(IGHD) -IGKJ1*01 (90.9%), C120 (483), CDR-IMGT [7.3.11] (407-413.431-433.470-480)) (381-492)], (228-214')-disulfuro con la cadena ligera fusionada L-kappa-scFv pesada-kappa humanizada (1'-469') [L-kappa anti-IL-17A/F humanizada (1'-215') [V-KAPPA (*Homo sapiens* IGKV1-13*02 (80.0%) -IGKJ1*01 (100%), CDR-IMGT [6.3.9] (27'-32'.50'-52'.89'-97'')) (1'-107') -*Homo sapiens* IGKC*01 (100%), Km3, A45.1 (153'), V101 (191') (108'-214')] -11-mer seril-bis(tetraglicil-seril) enlace (215'-225') -scFv pesada-kappa anti-IL13 humanizada, scFv-v1 C49 (VH)-C120 (VL) (226'-341') [VH (*Homo sapiens* IGHV1-69*08 (81.6%) -(IGHD) -IGHJ1*01 (100%), C49 (269'), CDR-IMGT [8.8.9] (251'-258'.276'-283'.322'-330'')) (226'-341') -20-mer tetraakis(tetraglicil-seril) enlace (342'-361') -V-KAPPA (*Homo sapiens* IGKV1-NL1*01 (83.9%) -(IGHD) -IGKJ2*01 (91.7%), C120 (460'), CDR-IMGT [6.3.8] (388'-393'.411'-413'.450'-457'')) (362'-469')]], producido en las células ováricas de hámster chino (CHO), línea celular CHO-DG44, no glicosilado
immunomodulador, antiinflamatorio

2648456-30-6

Heavy chain / Chaîne lourde / Cadena pesada: anti-IL-17A/F G1(VH-CH1-h) -anti-ALB scFv

EVQLVESGGG LVQPGGSLRL SCAASGFTFS DYNMAWVRQA PGKGLEWVAT 50
 ITYEGRNTYY RDSVKGRFTI SRDNAKNSLY LQMNSLRAED TAVYVCASPP 100
 QYYEGSIYRL WFAHWGQGLT VTVSASTKG PSVFPLAPSS KSTSGGTAAL 150
 GCLVKDYFPE PVTVSWNSGA LTSGVHTFPA VLQSSGLYSL SSVVTVPSSS 200
 LGTQTYICNV NHKPSNTKVD KKVEPKSCSG GGGTGGGSE VQLLESGGGL 250
 VQPGGSLRLS CAVSGIDLNS YAINWVRQAP GKCLEWIGII WASGTFYAT 300
 WAKGRFTISR DNSKNTVYLQ MNSLRAEDTA VYYCARTVPG YSTAPYFDLW 350
 GQGLTLVTVSS GGGSGGGGGS GGGSGGGGGS DIQMTQSPSS VSASVGDVRT 400
 ITCQSSPSVM SNFLSWYQQK PGKAPKLLIY EASKLTSQVSP SRFSGSGSGT 450
 DFTLTISLQ PEDFATYCYG GGYSSISDIT FCGTKVEIK RT 492

Light chain / Chaîne légère / Cadena ligera: anti-IL-17A/F L-kappa -anti-IL13 scFv

AIQLTQSPSS LSASVGDVRT ITCRAESVR TLMHWYQQKPK GKAPKLLIYL 50
 VNSNEIGVDP RFSGSGSGTD FRLTISLQEP EDFATYCYQQ TWSDPHTFGQ 100
 GTKVEIKRTV AAPSVFIFPP SDEQLKSGTA SVVCLLNNFY PREAKVQWVKV 150
 DNALQSGNSQ ESVTEQDSKD STYLSSTLT LSKADYERHK VYACEVTHQG 200
 LSSPVTKSFN RGECSGGGGS GGGSGEVQLV QSGAEVKKPG SSVKVSCKAS 250
 GYSFTSYIYH WVRQAPGQCL EWMGRIGPGS GDINYNKFKF GRATFTVDKS 300
 TSTAYMELSS LRSEDTAVYI CARFHYDGDG WGGQTLVTVSS SGGGSGGGG 350
 SGGGSGGGG SDIQMTQSPS SLSASVGDVRT TITCKASQNI NENLDWYQQK 400
 PGKAPKLLIY YTDILTQGP SRFSGSGSGT DFTLTISLQ PEDFATYCY 450
 QYYSGYTFGC GTKLEIKRT 469

Post-translational modifications

Disulfide bridges location / Position des ponts disulfure / Posiciones de los puentes disulfuro

Intra-H (C23-C104)	22-96	152-208	261-334	403-469
Intra-H scFv C49 (VH)-C120 (VL)*	283-483			
Intra-L (C23-C104)	23'-88'	134'-194'	247'-321'	384'-449'
Intra-L scFv C49 (VH)-C120 (VL)*	269'-460'			
Inter-H-L (h 5-CL 126)	228-214'			

* Engineered additional disulfide bond to stabilize the scFv.

No N-glycosylation sites / pas de site de N-glycosylation / ninguna posición de N-glicosilación

gamcemetinibum

gamcemetinib

(10*R*)-3-[[2-chloro-5-(ethoxymethyl)pyrimidin-4-yl]oxy]-10-methyl-9,10,11,12-tetrahydro-8*H*-[1,4]diazepino[5',6':4,5]thieno[3,2-*f*]quinolin-8-one
MAP kinase-activated protein kinase 2 (MK2) inhibitor, anti-inflammatory

gamcémétinib

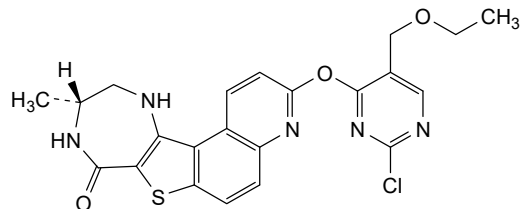
(10*R*)-3-[[2-chloro-5-(éthoxyméthyl)pyrimidin-4-yl]oxy]-10-méthyl-9,10,11,12-tétrahydro-8*H*-[1,4]diazépino[5',6':4,5]thiéno[3,2-*f*]quinoléin-8-one
inhibiteur de la protéine kinase 2 activée par la MAP kinase (MK2), anti-inflammatoire

gamcemetinib

(10*R*)-3-[[2-cloro-5-(etoximetil)pirimidin-4-il]oxi]-10-metil-9,10,11,12-tetrahidro-8*H*-[1,4]diazepino[5',6':4,5]tieno[3,2-*f*]quinolein-8-ona
inhibidor de la proteína kinasa 2 activada por MAP kinasa (MK2), antiinflamatorio

C₂₂H₂₀ClN₅O₃S

1887069-10-4



ganipatidum

ganipatide

N^1 -acetyl- $N^{6,24}$ -((1*r*,4*r*)-4-[(19-carboxynonadecanamido)methyl]cyclohexane-1-carbonyl)-L- γ -glutamyl-L- γ -glutamyl-L- γ -glutamyl[D-Tyr¹,Aib²,Ahx¹⁴,Arg¹⁸,Lys²⁴,Pro³¹]human gastric inhibitory polypeptide (GIP)-(52-82)-peptide-31-amide
gastric inhibitory polypeptide (GIP) receptor agonist

ganipatide

N^1 -acétyl- $N^{6,24}$ -((1*r*,4*r*)-4-[(19-carboxynonadécanamido)méthyl]cyclohexane-1-carbonyl)-L- γ -glutamyl-L- γ -glutamyl-L- γ -glutamyl[D-Tyr¹,Aib²,Ahx¹⁴,Arg¹⁸,Lys²⁴,Pro³¹]polypeptide inhibiteur gastrique humaine (GIP)-(52-82)-peptide-31-amide
agoniste du récepteur du polypeptidique insulinothéropé dépendant du glucose (GIP)

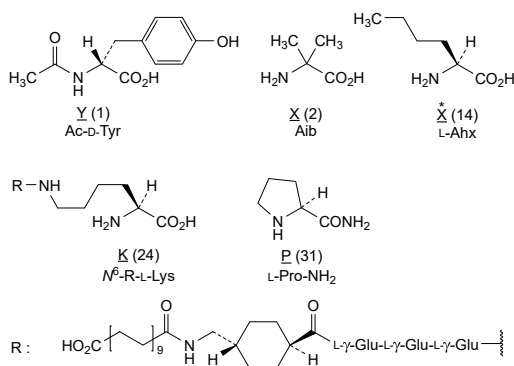
ganipatida

N^1 -acetyl- $N^{6,24}$ -((1*r*,4*r*)-4-[(19-carboxynonadecanamido)metil]ciclohexane-1-carbonil)-L- γ -glutamyl-L- γ -glutamyl-L- γ -glutamyl[D-Tyr¹,Aib²,Ahx¹⁴,Arg¹⁸,Lys²⁴,Pro³¹]polipéptido inhibidor gástrico humano (GIP)-(52-82)-péptido-31-amida
agonista del receptor del polipéptido insulinotrópico dependiente de la glucosa (GIP)

2758595-29-6

YXEGTFISDY SIA^{*}XDKIRQQ DFKWLLAQK P 31

Modified residues / Résidus modifiés / Restos modificados

**gengleucelum**

gengleucel

allogeneic memory-like natural killer (NK) cells derived after cytokine induction from peripheral blood mononuclear cells (PBMCs) of HLA-haploidentical donors. The PBMCs are depleted of CD3+ cells and cultured in media containing interleukin 15 and 21 (IL-15, IL-21), hydrocortisone and fetal bovine serum (FBS) to induce trans-differentiation.

The final cell population consists of NK cells (CD3-CD56+ >80%), expressing CD122 (>80%) and does not contain CD3+ cells (<5%). The cells can produce perforin 1 and granzyme and demonstrate cytotoxicity against myelogenous leukemia cells *in vitro* (≥50%)
cell therapy (immunomodulator, antineoplastic)

- gengleucel cellules tueuses naturelles (NK) allogéniques présentant une fonction mémoire dérivées de cellules mononucléaires de sang périphérique (PBMC) de donneurs HLA-haploidentiques après une induction par cytokines. Les PBMC sont débarrassées des cellules CD3+ et cultivées dans un milieu contenant des interleukines 15 et 21 (IL-15, IL-21), de l'hydrocortisone et du sérum bovin foetal (FBS) pour induire la transdifférenciation.
La population cellulaire finale se compose de cellules NK (CD3-CD56+ >80%), exprimant CD122 (>80%) et ne contenant pas de cellules CD3+ (<5%). Les cellules peuvent produire de la perforine 1 et de la granzyme, et démontrent une cytotoxicité contre les cellules de leucémie myéloïde K562 (≥50%)
thérapie cellulaire (immunomodulateur, antinéoplasique)
- gengleucel células NK similares a memoria alogénicas, derivadas, tras inducción por citoquinas, de células mononucleares de sangre periférica (PBMCs) de donantes haploidenticos para HLA. Las PBMCs se deplecionan de células CD3+ y se cultivan en medio que contiene interleuquinas 15 y 21 (IL-15, IL-21), hidrocortisona y suero bovino fetal (FBS) para inducir transdiferenciación.
La población celular final consiste en células NK (CD3-CD56+ >80%) que expresan CD122 (>80%) y no contiene células CD3+ (<5%). Las células pueden producir perforina 1 y granzima y demuestran citotoxicidad (≥50%) frente a las células de leucemia mielógena K562
terapia celular (immunomodulador, antineoplásico)
- givastomigum #**
givastomig immunoglobulin G1-scFv_L-kappa, anti-[*Homo sapiens* CLDN18 (claudin 18, claudin-18, SFTPJ, surfactant associated protein J) isoform 2, extracellular domain 1 (EC1)], anti-[*Homo sapiens* TNFRSF9 (TNF receptor superfamily member 9, 4-1BB, T cell antigen ILA, CD137)], humanized monoclonal antibody, bispecific, agonist;
fused G1-scFv lambda-heavy chain humanized (1-716) [gamma1 heavy chain anti-CLDN18 humanized (1-450) [VH (*Homo sapiens* IGHV1-3*01 (85.7%) -(IGHD) -IGHJ4*01 (100%), CDR-IMGT [8.8.13] (26-33.51-58.97-109))] (1-120)-*Homo sapiens* IGHG1*03v, G1m3>G1m17, nG1m1, CH1 K120, CH3 E12, M14, IGHG1v29 CH2 A84.4 (CH1 R120>K (217) (121-218), hinge 1-15 (219-233), CH2 N84.4>A (300) (234-343), CH3 E12 (359), M14 (361) (344-448), CHS (449-450)) (121-450)] -15-mer tris(tetraglycyl-seryl) linker (451-465) -scFv lambda-heavy anti-TNFRSF9 humanized, scFv-v2 C120 (VL)-C49 (VH) (466-716) [V-LAMBDA (*Homo sapiens* IGLV1-47*02 (91.8%) -IGLJ2*01 (90.9%), C120 (568), CDR-IMGT [8.3.11] (491-498.516-518.555-565)) (466-575) -20-mer tetrakis(tetraglycyl-seryl) linker (576-595) -VH (*Homo sapiens* IGHV3-23*01 (93.9%) -(IGHD) -IGHJ4*01 (100%), C49 (639), CDR-IMGT [8.8.14] (621-628.646-653.692-705)) (596-716)]; (223-220')-disulfide with kappa light chain anti-CLDN18 humanized (1'-220') [V-KAPPA (*Homo sapiens* IGKV4-1*01 (88.1%) -IGKJ2*01 (91.7%) Q120>G (106'), CDR-IMGT [12.3.9] (27'-38'.56'-58'.95'-103'')) (1'-113') -*Homo sapiens* IGKC*01 (100%), Km3, A45.1 (159'), V101 (197') (114'-220')]; dimer (229-229":232-232")-bisdisulfide, produced in Chinese hamster ovary (CHO) cells, cell line CHO-K1, non-glycosylated
immunostimulant, antineoplastic

- givastomig immunoglobuline G1-scFv, anti-[*Homo sapiens* CLDN18 (claudine 18, claudine-18, SFTPJ, protéine J associée au surfactant) isoforme 2, domaine extracellulaire 1 (EC1)], anti-[*Homo sapiens* TNFRSF9 (membre 9 de la superfamille des récepteurs du TNF, 4-1BB, antigène ILA des cellules T, CD137)], anticorps monoclonal humanisé, bispécifique, agoniste;
chaîne lourde fusionnée G1-scFv lambda-lourde humanisée (1-716) [chaîne lourde gamma1 anti-CLDN18 humanisée (1-450) [VH (*Homo sapiens*IGHV1-3*01 (85.7%) -(IGHD) -IGHJ4*01 (100%), CDR-IMGT [8.8.13] (26-33.51-58.97-109)) (1-120)-*Homo sapiens*IGHG1*03v, G1m3>G1m17, nG1m1, CH1 K120, CH3 E12, M14, IGHG1v29 CH2 A84.4 (CH1 R120>K (217) (121-218), charnière 1-15 (219-233), CH2 N84.4>A (300) (234-343), CH3 E12 (359), M14 (361) (344-448), CHS (449-450)) (121-450)] -15-mer tris(tétraglycyl-séryl) linker (451-465) -scFv lambda-lourd anti-TNFRSF9 humanisé, scFv-v2 C120 (VL)-C49 (VH) (466-575) [V-LAMBDA (*Homo sapiens* IGLV1-47*02 (91.8%) - IGLJ2*01 (90.9%), C120 (568), CDR-IMGT [8.3.11] (491-498.516-518.555-565)) (466-575) -20-mer tétrakis(tétraglycyl-séryl) linker (576-595) -VH (*Homo sapiens* IGHV3-23*01 (93.9%) -(IGHD) -IGHJ4*01 (100%), C49 (639), CDR-IMGT [8.8.14] (621-628.646-653.692-705)) (596-716)]; (223-220')-disulfure avec la chaîne légère kappa anti-CLDN18 humanisée 1'-220') [V-KAPPA (*Homo sapiens* IGKV4-1*01 (88.1%) -IGKJ2*01 (91.7%) Q120>G (106'), CDR-IMGT [12.3.9] (27'-38'.56'-58'.95'-103'') (1'-113') -*Homo sapiens* IGKC*01 (100%), Km3, A45.1 (159'), V101 (197') (114'-220'')]; dimère (229-229'':232-232'')-bisdisulfure, produit dans des cellules ovariennes de hamster chinois (CHO), lignée cellulaire CHO-K1, non-glycosylé
immunostimulant, antinéoplasique
- givastomig immunoglobulina G1-scFv, anti-[*Homo sapiens* CLDN18 (claudina 18, claudina-18, SFTPJ, proteína J asociada con surfactante) isoforma 2, dominio extracelular 1 (EC1)], anti-[*Homo sapiens* TNFRSF9 (miembro 9 de la superfamilia de los receptores del TNF, 4-1BB, antígeno ILA de las células T, CD137)], anticuerpo monoclonal humanizado, biespecífico, agonista;
cadena pesada fusionada G1-scFv lambda-pesada humanizada (1-716) [cadena pesada gamma1 anti-CLDN18 humanizada (1-450) [VH (*Homo sapiens*IGHV1-3*01 (85.7%) -(IGHD) -IGHJ4*01 (100%), CDR-IMGT [8.8.13] (26-33.51-58.97-109)) (1-120)-*Homo sapiens*IGHG1*03v, G1m3>G1m17, nG1m1, CH1 K120, CH3 E12, M14, IGHG1v29 CH2 A84.4 (CH1 R120>K (217) (121-218), bisagra 1-15 (219-233), CH2 N84.4>A (300) (234-343), CH3 E12 (359), M14 (361) (344-448), CHS (449-450)) (121-450)] -15-mer tris(tetraglicil-seril) enlace (451-465) -scFv lambda-pesado anti-TNFRSF9 humanizado, scFv-v2 C120 (VL)-C49 (VH) (466-575) [V-LAMBDA (*Homo sapiens* IGLV1-47*02 (91.8%) - IGLJ2*01 (90.9%), C120 (568), CDR-IMGT [8.3.11] (491-498.516-518.555-565)) (466-575) -20-mer tetraakis(tetraglicil-seril) enlace (576-595) -VH (*Homo sapiens* IGHV3-23*01 (93.9%) -(IGHD) -IGHJ4*01 (100%), C49 (639), CDR-IMGT [8.8.14] (621-628.646-653.692-705)) (596-716)]; (223-220')-disulfuro con la cadena ligera kappa anti-CLDN18 humanizada 1'-220') [V-KAPPA (*Homo sapiens* IGKV4-1*01 (88.1%) -IGKJ2*01 (91.7%) Q120>G (106'), CDR-IMGT [12.3.9] (27'-38'.56'-58'.95'-103'') (1'-113') -*Homo sapiens* IGKC*01 (100%), Km3, A45.1 (159'), V101 (197') (114'-220'')]; dímero (229-229'':232-232'')-bisdisulfuro, producido en las células ováricas de hámster chino (CHO), línea celular CHO-K1, no glicosilado
inmunoestimulante, antineoplásico

2762499-30-7

Heavy chain / Chaîne lourde / Cadena pesada: anti-CLDN18 G1 -anti-TNFRSF9 scFv	
QVQLVQSGAE VKKPGASVKV SCKASGYFT TYPIEWRQA PGQRLEWMGN	50
FHPYNDTKY NEKFKGRVTI TRDTSASTAY MELSSLRSLED TAVYYCARRA	100
YGYFYANDYW QGGTLVTVSS ASTKGPSVFP LAFSSKSTSG GTAALGCLVK	150
DYFPEPVTVS WNSGALTSKV HTFPAVLQSS GLYSLSVVV VPSSSLGTQT	200
YICNVNHHKPS NTKVDDKVEP KSCDKTHTCP PCPAPELLGG PSVFLPPPKP	250
KDTLMSRTP EVTCCVVVDVS HEDPEVKFNW YVDGVEVHNA KTKPREEQYA	300
STYRVVSVLT VLHQDWLNGK EYKCKVSNKA LPAPIEKTIS KARGQPREPQ	350
VYTLPPSREE MTRKQVSLTC LVKGFYPSDI AVEWESNGQP ENNYKTTPPV	400
LDSGSGFFLY SKLTVDKSRW QQGNVFSVCSV MHEALHNHYT QKSLSLSPGK	450
GGGSGGGGGS GGGGSQSVLT QPPSASGTPG QRVTTISCSGS SSNIGNNYVT	500
WYQQLPGTAP KLLIYADSHR PSGVDFRFSK SKSGTSASLA ISGLRSEDEA	550
DYYCATWDYS LSGYVFGCGT KLTVLGGGGS GGGSGGGGGS GGGGSEVQLL	600
ESGGGLVQPG GSLRLSAAAS GFTFSSYDMS WVRQAPGKCL EWVSWISYSG	650
GSIIYADSVK GRFTISRDNK KNTLYLQMNS LRAEDTAVYY CARDARNSM	700
REEDYWGQGT LVTVSS	716
Light chain / Chaîne légère / Cadena ligera : anti-CLDN18 L-kappa	
DIYMTQSPDS LAVSLGERAT INCKSSQSLN NAGNQKNYLT WYQQKPGQPP	50
KLLIYRASSR ESGVDFRFSK SGGSDFTFTL ISSLQAEDVA VYYCQNDYIY	100
PYTFGGGTKL EIKRITVAAPS VFIPPSDEQ LKSGTASVVC LLNFFYPREA	150
KVQWKVDNAL QSGNSQESVLT EQDSKSTYS LSSTLTLSKA DYEKHKVYAC	200
EVTHQGLSSP VTKSFNRGEC	220

Post-translational modifications

Disulfide bridges location / Position des ponts disulfure / Posiciones de los puentes disulfuro

Intra-H (C23-C104) 22-96 147-203 264-324 370-428 487-554 617-691
22"-96" 147"-203" 264"-324" 370"-428" 487"-554" 617"-691"Intra-H scFv VL120-VH49* 568"-639"
568"-639"Intra-L (C23-C104) 23"-94" 140"-200"
23"-94" 140"-200"

Inter-H-L (h 5-CL 126) 223-220" 223"-220"

Inter-H-H (h 11, h 14) 229-229" 232-232"

*Engineered additional disulfide bond to stabilize the scFv.

N-terminal glutaminyl cyclization / Cyclisation du glutaminyle N-terminal / Ciclación del glutamínilo N-terminal

Q > pyroglutamyl (pE, 5-oxoprolyl) / pyroglutamyle (pE, 5-oxoprolyle) / piroglutamilo (pE, 5-oxoprofilo)
H VH Q1: 1, 1"No N-glycosylation sites / pas de sites de N-glycosylation / ninguna posición de N-glicosilación
H CH2 N84.4>A (G1v29): 300, 300"**glecirasibum**

glecirasib

(1*M*)-7-(2-amino-3,4,5,6-tetrafluorophenyl)-6-chloro-1-[4-methyl-2-(propan-2-yl)pyridin-3-yl]-2-oxo-4-[4-(prop-2-enoyl)piperazin-1-yl]-1,2-dihydro-1,8-naphthyridine-3-carbonitrile
Kirsten rat sarcoma (KRAS) viral oncogene homolog inhibitor, antineoplastic

glécirasib

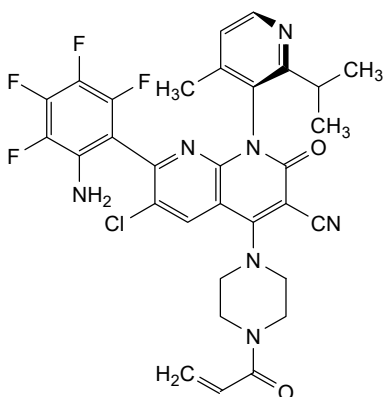
(1*M*)-7-(2-amino-3,4,5,6-tétrafluorophényl)-6-chloro-1-[4-méthyl-2-(propan-2-yl)pyridin-3-yl]-2-oxo-4-[4-(prop-2-énoyl)pipérazin-1-yl]-1,2-dihydro-1,8-naphthyridine-3-carbonitrile
inhibiteur de l'homologue de l'oncogène viral du sarcome du rat de Kirsten (KRAS), antinéoplasique

glecirasib

(1*M*)-7-(2-amino-3,4,5,6-tetrafluorofenil)-6-cloro-1-[4-metil-2-(propan-2-il)piridin-3-il]-2-oxo-4-[4-(prop-2-enoil)piperazin-1-il]-1,2-dihidro-1,8-naftiridina-3-carbonitrilo
inhibidor homólogo del oncogén viral del sarcoma de rata de Kirsten (KRAS), antineoplásico

$C_{31}H_{26}ClF_4N_7O_2$

2657613-87-9



golmestrocelum
golmestrocel

allogeneic mesenchymal stromal cells (MSC) derived from synovial donor tissue. The primary culture is performed in serum-free media containing lipids and cytokines (e.g. epidermal growth factor (EGF), fibroblast growth factor (FGF)), followed by expansion and high density culture in media containing additional growth factors (e.g. L-ascorbic acid 2-phosphate, transforming growth factor- β (TGF- β)) to form *ex vivo* a three-dimensional tissue. The final cells express mesenchymal progenitor cell markers CD13, CD44, CD73, and CD90 (>95% each) and are CD11b, CD34 and CD45 negative. The MSCs are capable of differentiating into chondrocytes and produce glycosaminoglycan
cell therapy (tissue regeneration)

golmestrocel

cellules stromales mésenchymateuses (MSC) allogènes dérivées du tissu synovial du donneur. La culture primaire est effectuée dans un milieu sans sérum contenant des lipides et des cytokines (par exemple, facteur de croissance épidermique (EGF), facteur de croissance des fibroblastes (FGF)), suivie d'une expansion et de cultures à haute densité dans un milieu contenant des facteurs de croissance supplémentaires (par exemple, acide L-ascorbique 2-phosphate, facteur de croissance transformant- β (TGF- β)) pour former un tissu tridimensionnel *ex vivo*. Les cellules finales expriment les marqueurs de cellules progénitrices mésenchymateuses CD13, CD44, CD73 et CD90 (>95% chacun) et sont négatives pour CD11b, CD34 et CD45. Les MSCs sont capables de se différencier en chondrocytes et de produire du glycosaminoglycane
thérapie cellulaire (régénération tissulaire)

golmestrocel

células mesenquimales estromales (MSC) alogénicas, derivadas de tejido sinovial donante. El cultivo primario se realiza en medio libre de suero que contiene lípidos y citoquinas (por ejemplo factor de crecimiento

epidérmico (EGF), factor de crecimiento de fibroblastos (EGF)), seguido de expansión y cultivos en alta densidad en medio que contiene factores de crecimiento adicionales (por ejemplo ácido L-ascórbico 2-fosfato, factor de crecimiento transformante β (TGF- β)) para formar un tejido tridimensional *ex vivo*. Las células finales expresan los marcadores de célula mesenquimal progenitora CD13, CD44, CD73 y CD90 (>95% cada uno) y son negativas para CD11b, CD34 y CD45. Las MSCs son capaces de diferenciarse en condrocitos y producen glicosaminoglicano
terapia celular (regeneración tisular)

gruticibartum #
gruticibart

immunoglobulin G4-kappa, anti-[*Homo sapiens* F11 (coagulation factor XI, FXI, plasma thromboplastin antecedent, PTA)], monoclonal antibody; gamma4 heavy chain (1-443) [VH Musmus/Homsap (*Mus musculus* IGHV2-6-7*01 (83.5%) -(IGHD) -IGHJ2*01 (92.3%) L124>V (112)/*Homo sapiens* IGHV4-38-2*02 (76.5%) -(IGHD) -IGHJ4*01 (92.3%) L123>T (111), CDR-IMGT [8.7.10] (26-33.51-57.96-105)) (1-116) -*Homo sapiens* IGHG4*01, nG4m(a) CH2 L92, G4v5 h P10 (CH1 (117-214), hinge 1-12 S10>P (224) (215-226), CH2 L92 (305) (227-336), CH3 (337-441), CHS (442-443)) (117-443)], (130-214')-disulfide with kappa light chain (1'-214') [V-KAPPA Musmus/Homsap (*Mus musculus* IGKV6-17*01 (82.1%) -IGKJ2*01 (83.3%) L124>V (104')/*Homo sapiens* IGKV1-33*01 (82.1%) -IGKJ4*01 (90.9%)), CDR-IMGT [6.3.9] (27'-32'.50'-52'.89'-97'') (1'-107') -*Homo sapiens* IGKC*01 (100%), Km3 A45.1 (153'), V101 (191') (108'-214')]; dimer (222-222'':225-225'')-bisdisulfide, produced in Chinese hamster ovary (CHO)/dhFr- cell line lacking the enzyme dihydrofolate reductase (DHFR), glycoform alfa
anticoagulant

gruticibart

immunoglobuline G4-kappa, anti-[*Homo sapiens* F11 (facteur de coagulation XI, FXI, antécédent de la thromboplastine plasmatique, PTA)], anticorps monoclonal; chaîne lourde gamma1 (1-443) [VH Musmus/Homsap (*Mus musculus* IGHV2-6-7*01 (83.5%) -(IGHD) -IGHJ2*01 (92.3%) L124>V (112)/*Homo sapiens* IGHV4-38-2*02 (76.5%) -(IGHD) -IGHJ4*01 (92.3%) L123>T (111), CDR-IMGT [8.7.10] (26-33.51-57.96-105)) (1-116) - *Homo sapiens* IGHG4*01, nG4m(a) CH2 L92, G4v5 h P10 (CH1 (117-214), charnière 1-12 S10>P (224) (215-226), CH2 L92 (305) (227-336), CH3 (337-441), CHS (442-443)) (117-443)], (130-214')-disulfure avec la chaîne légère kappa (1'-214') [V-KAPPA Musmus/Homsap (*Mus musculus* IGKV6-17*01 (82.1%) -IGKJ2*01 (83.3%) L124>V (104')/*Homo sapiens* IGKV1-33*01 (82.1%) -IGKJ4*01 (90.9%)), CDR-IMGT [6.3.9] (27'-32'.50'-52'.89'-97'') (1'-107') -*Homo sapiens* IGKC*01 (100%), Km3 A45.1 (153'), V101 (191') (108'-214')]; dimère (222-222'':225-225'')-bisdisulfure, produit dans des cellules ovariennes de hamster chinois (CHO) lignée cellulaire CHO/dhFr- ne présentant pas l'enzyme dihydrofolate réductase (DHFR), glycoforme alfa
anticoagulant

gruticibart

inmunoglobulina G4-kappa, anti-[*Homo sapiens* F11 (factor de coagulación XI, FXI, antecedente de la tromboplastina plasmática, PTA)], anticuerpo monoclonal;

cadena pesada gamma1 (1-443) [VH Musmus/Homsap (*Mus musculus* IGHV2-6-7*01 (83.5%) -(IGHD) -IGHJ2*01 (92.3%) L124>V (112)/*Homo sapiens* IGHV4-38-2*02 (76.5%) -(IGHD) -IGHJ4*01 (92.3%) L123>T (111), CDR-IMGT [8.7.10] (26-33.51-57.96-105)) (1-116) - *Homo sapiens* IGHG4*01, nG4m(a) CH2 L92, G4v5 h P10 (CH1 (117-214), bisagra 1-12 S10>P (224) (215-226), CH2 L92 (305) (227-336), CH3 (337-441), CHS (442-443)) (117-443)], (130-214')-disulfuro con la cadena ligera kappa (1'-214') [V-KAPPA Musmus/Homsap (*Mus musculus* IGKV6-17*01 (82.1%) -IGKJ2*01 (83.3%) L124>V (104')/*Homo sapiens* IGKV1-33*01 (82.1%) -IGKJ4*01 (90.9%)), CDR-IMGT [6.3.9] (27'-32'.50'-52'.89'-97'') (1'-107'') - *Homo sapiens* IGKC*01 (100%), Km3 A45.1 (153'), V101 (191') (108'-214'')]; dímero (222-222''-225-225'')-bisulfuro, producido en las células ováricas de hámster chino (CHO) línea celular CHO/dhFr- en ausencia de la enzima dihidrofolato reductasa (DHFR), forma glicosilada alfa *anticoagulante*

2704554-77-6

Heavy chain / Chaîne lourde / Cadena pesada

QVQLQESGPG	LVKPSETLSI	TCTVSGFSLT	GYGIYWRQRP	PGKGLEWLGM	50
IWGDGRITDYN	SALKSRVTIS	KDNSKQVSL	KLSSVTAADT	ARYYCARDYY	100
GSKDYWGQGT	TVTVSSASTK	GPSVFPLAPC	SRSTSESTAA	LGCLVKDYFP	150
EPVTVSWNSG	ALTSQVHTFP	AVLQSSGLYS	LSSVVTVPSS	SLGTRKTYTCN	200
VDHKPSNTKV	DKRVEISKYGP	PCPPCPAPEF	LGGPSVFLFP	PKPKDTLMIS	250
RTPEVTCVVV	DVSQEDPEVQ	FNWYVDGVEV	HNAKTKPREE	QFNSTYRVVS	300
VLTVLHQDWL	NGKEYKCKVS	NKGLPSSIEK	TISKAKGQPR	EPQVYTLPPS	350
QEEMTKNQVS	LTCLVKGFPY	SDIAVEWESN	GQPENNYKTT	PPVLDSGDSF	400
FLYSRLTVDK	SRWQEGNVFS	CSVMHEALHN	HYTQKSLSL	LGK	443

Light chain / Chaîne légère / Cadena ligera

DIQMTQSPSS	LSASVGDRTV	ITCKASQDVS	TAVAWYQQK	GKAPKLLIYL	50
TSYRNTGVPD	RFSGSGSGTD	FTFTISSLQP	EDIAVYYCQQ	HYKTPYSEFGG	100
GTKVEIKRTV	AAPSVFIFPP	SDEQLKSGTA	SVVCLLNFFY	PREAKVQWKV	150
DNALQSGNSQ	ESVTEQDSKD	STYSLSTLT	LSKADYKHKH	VYACEVTHQG	200
LSSPVTKSFN	RGEC				214

Post-translational modifications

Disulfide bridges location / Position des ponts disulfure / Posiciones de los puentes disulfuro

Intra-H (C23-C104)	22-95	143-199	257-317	363-421
	22"-95"	143"-199"	257"-317"	363"-421"

Intra-L (C23-C104)	23'-88'	134'-194'
	23'''-88'''	134'''-194'''

Inter-H-L (CH1 10-CL 126)	130-214'	130"-214"
Inter-H-H (h 8, h 11)	222-222"	225-225"

N-terminal glutaminyl cyclization / Cyclisation du glutaminyle N-terminal /

Ciclación del glutaminilo N-terminal

Q > pyroglutamyl (pE, 5-oxopropyl) / pyroglutamyle (pE, 5-oxopropyle) /

piroglutamilo (pE, 5-oxoprolilo)

H VH Q1: 1, 1"

N-glycosylation sites / Sites de N-glycosylation / Posiciones de N-glicosilación

H CH2 N84.4: 293, 293"

Fucosylated complex bi-antennary CHO-type glycans / glycanes de type CHO bi-antennaires

complexes fucosylés / glicanos de tipo CHO biantenarios complejos fucosilados

C-terminal lysine clipping / Coupure de la lysine C-terminale / Recorte de lisina C-terminal

H CHS K2: 443, 443"

ibentatugum #
ibentatug

immunoglobulin G1-kappa, anti-[*Homo sapiens* CSP1 (cell surface plectin 1)], monoclonal antibody;
gamma1 heavy chain (1-451) [VH Musmus/Homsap (*Mus musculus* IGHV5-9-3*01 (87.8%) -(IGHD) -IGHJ3*01 (91.7%) A128>S (122)/*Homo sapiens* IGHV3-23*04 (86.7%) -(IGHD) -IGHJ4*01 (92.9%), CDR-IMGT [8.8.15] (26-33.51-58.97-111)) (1-122) -*Homo sapiens* IGHG1*01 (100%), G1m17,1 CH1 K120, CH3 D12, L14 (CH1 K120 (219) (123-220), hinge 1-15 (221-235), CH2 (236-345), CH3 D12 (361), L14 (363) (346-450), CHS K2>del (451)) (123-451)], (225-219')-disulfide with kappa light chain (1'-219') [V-KAPPA Musmus/Homsap (*Mus musculus* IGKV2-109*01 (94.0%) -IGKJ2*03 (90.9%) S120>Q (105')/*Homo sapiens* IGKV2-28*01 (83.0.5%) -IGKJ2*01 (100%), CDR-IMGT [11.3.9] (27'-32'.55'-57'.94'-102')) (1'-112') -*Homo sapiens* IGKC*01 (100%), Km3, A45.1 (158'), V101 (196') (113'-219')]; dimer (231-231":234-234")-bisdisulfide, produced in Chinese hamster ovary (CHO) cells, glycoform alfa
antineoplastica

ibentatug

immunoglobuline G1-kappa, anti-[*Homo sapiens* CSP1 (plectine 1 de surface cellulaire)], anticorps monoclonal;
chaîne lourde gamma1 (1-451) [VH Musmus/Homsap (*Mus musculus* IGHV5-9-3*01 (87.8%) -(IGHD) -IGHJ3*01 (91.7%) A128>S (122)/*Homo sapiens* IGHV3-23*04 (86.7%) -(IGHD) -IGHJ4*01 (92.9%), CDR-IMGT [8.8.15] (26-33.51-58.97-111)) (1-122) -*Homo sapiens* IGHG1*01 (100%), G1m17,1 CH1 K120, CH3 D12, L14 (CH1 K120 (219) (123-220), charnière 1-15 (221-235), CH2 (236-345), CH3 D12 (361), L14 (363) (346-450), CHS K2>del (451)) (123-451)], (225-219')-disulfure avec la chaîne légère kappa (1'-219') [V-KAPPA Musmus/Homsap (*Mus musculus* IGKV2-109*01 (94.0%) -IGKJ2*03 (90.9%) S120>Q (105')/*Homo sapiens* IGKV2-28*01 (83.0.5%) -IGKJ2*01 (100%), CDR-IMGT [11.3.9] (27'-32'.55'-57'.94'-102')) (1'-112') -*Homo sapiens* IGKC*01 (100%), Km3, A45.1 (158'), V101 (196') (113'-219')]; dimère (231-231":234-234")-bisdisulfure, produit dans des cellules ovariennes de hamster chinois (CHO), glycoforme alfa
antineoplasique

ibentatug

immunoglobulina G1-kappa, anti-[*Homo sapiens* CSP1 (plectina 1 de superficie celular)], anticuerpo monoclonal;
cadena pesada gamma1 (1-451) [VH Musmus/Homsap (*Mus musculus* IGHV5-9-3*01 (87.8%) -(IGHD) -IGHJ3*01 (91.7%) A128>S (122)/*Homo sapiens* IGHV3-23*04 (86.7%) -(IGHD) -IGHJ4*01 (92.9%), CDR-IMGT [8.8.15] (26-33.51-58.97-111)) (1-122) -*Homo sapiens* IGHG1*01 (100%), G1m17,1 CH1 K120, CH3 D12, L14 (CH1 K120 (219) (123-220), bisagra 1-15 (221-235), CH2 (236-345), CH3 D12 (361), L14 (363) (346-450), CHS K2>del (451)) (123-451)], (225-219')-disulfuro con la cadena ligera kappa (1'-219') [V-KAPPA Musmus/Homsap (*Mus musculus* IGKV2-109*01 (94.0%) -IGKJ2*03 (90.9%) S120>Q (105')/*Homo sapiens* IGKV2-28*01 (83.0.5%) -IGKJ2*01 (100%), CDR-IMGT [11.3.9] (27'-32'.55'-57'.94'-102')) (1'-112') -*Homo sapiens* IGKC*01 (100%), Km3, A45.1 (158'), V101 (196') (113'-219')]; dímero (231-231":234-234")-bisdisulfuro, producido en las células ováricas de hámster chino (CHO), forma glicosilada alfa
antineoplásico

2767983-94-6

Heavy chain / Chaîne lourde / Cadena pesada

EVQLVESGGG LVQPGGSLRL SCAASGFTFS RYGMWSVRQA PGKRLWVAT 50
 ISIGGTYTY PDSMKGRFTI SRDNSKNTLY LQMNSLRAED TAMYYCARRG 100
 YGQYSYGLD YWQGQTLVTV SASTATKGPSV FPLAPSSKST SGGTAALGCL 150
 VKDYFFPEPVT VSWNSGALTS GVHTFFPAVLQ SSGLYSLSSV VTFPSSSLGT 200
 QTYICNVNHK PSNTKVDKVK EPKSCDKTHT CPPCPAPELL GGPSVFLFPP 300
 KPKDITLISR TPEVTCVVVD VSHEDPEVKF NWYVDGVEVH NAKTKPREEQ 250
 YNSTYRVVSV LTVLHQDWLNL GKEVKCKVSN KALPAPIEKT ISKAKGQPRE 350
 PQVYTLPPSR DELTKNQVSL TCLVKGFYPS DIAVEVESNG QPENNYKTFP 400
 FVLDSDGSPF LYSKLTVDKSL RWQKQGNVFC SVMHEALHNN YTQKSLSLSP 450
 G 451

Light chain / Chaîne légère / Cadena ligera

DIVMTQSAIS NPVTLGQSAI ISCRSSKSLI HSQGITYLYW YLQKPGQSPQ 50
 LLIYQMSNRA SGVPDRFSSS GSGTDFTLKI SRVEAEDVGV YYCAQNLLEP 100
 LTFGQGTKLE IKRTVAAPSV FIFPPSDEQL KSGTASVVCV LNNFYPREAK 150
 VQWVKVDNALQ SGNSQESVTE QDSKIDSTYSL SSTLTLSKAD YEKHKVYACE 200
 VTHQGLSSPV TKSFNREGC 219

Post-translational modifications

Disulfide bridges location / Position des ponts disulfure / Posiciones de los puentes disulfuro

Intra-H (C23-C104) 22-96 149-205 266-326 372-430
 22"-96" 149"-205" 266"-326" 372"-430"

Intra-L (C23-C104) 23-93" 139"-199"
 23"-93" 139"-199"

Inter-H-L (h 5-CL 126) 225-219" 225"-219"

Inter-H-H (h 11, h 14) 231-231" 234-234"

N-glycosylation sites / Sites de N-glycosylation / Posiciones de N-glicosilación

H CH2 N84.4: 302, 302"

Fucosylated complex bi-antennary CHO-type glycans / glycanes de type CHO bi-antennaires complexes fucosylés / glicanos de tipo CHO biantenaricos complejos fucosilados

icalcaprantum

icalcaprant

4-(4-(((2*S*)-2-(3-methoxy-1-methyl-1*H*-pyrazol-4-yl)pyrrolidin-1-yl)methyl)phenoxy)benzamide
kappa-opioid receptor antagonist

icalcaprant

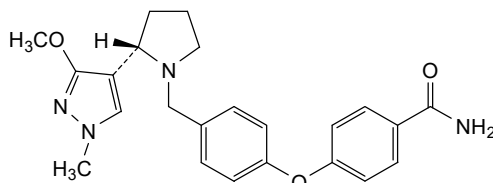
4-(4-(((2*S*)-2-(3-méthoxy-1-méthyl-1*H*-pyrazol-4-yl)pyrrolidin-1-yl)méthyl)phénoxy)benzamide
antagoniste du récepteur opioïde kappa

icalcaprant

4-(4-(((2*S*)-2-(1-metil-3-metoxi-1*H*-pirazol-4-il)pirrolidin-1-il)metil)fenoxi)benzamidina
antagonista del receptor opioide kappa

C₂₃H₂₆N₄O₃

2227384-17-8

**igermetostatam**

igermetostat

N-[(4,6-dimethyl-2-oxo-1,2-dihydropyridin-3-yl)methyl]-3-[ethyl(oxan-4-yl)amino]-2-methyl-5-[(1*r*,3*r*)-3-(piperidin-1-yl)cyclobutyl]oxy)benzamide
antineoplastica

igermétostat

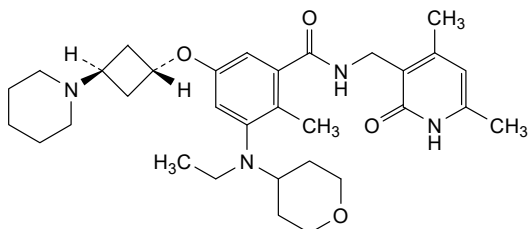
N-[(4,6-diméthyl-2-oxo-1,2-dihydropyridin-3-yl)méthyl]-3-[éthyl(oxan-4-yl)amino]-2-méthyl-5-[(1*r*,3*r*)-3-(pipéridin-1-yl)cyclobutyl]oxy)benzamide
antineoplastique

igermetostat

N-[[4,6-dimetil-2-oxo-1,2-dihidropiridin-3-il)metil]-3-[etil(oxan-4-il)amino]-2-metil-5-[[1*r*,3*r*]-3-(piperidin-1-il)ciclobutil]oxi]benzamida
antineoplásico

C₃₂H₄₆N₄O₄

2409538-60-7



imdatifanum

imdatifan

3-fluoro-5-[[2*aR*,4*S*)-1,1,2,2,4-pentafluoro-2a-hidroxi-2,2a,3,4-tetrahydro-1*H*-ciclopenta[*cd*]inden-5-yl]oxi]benzonitrilo
hypoxia-inducible factor (HIF) inhibitor, antineoplastic

imdatifan

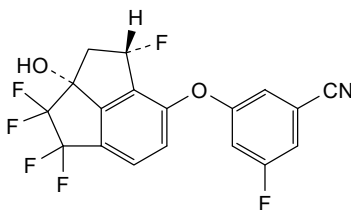
3-fluoro-5-[[2*aR*,4*S*)-1,1,2,2,4-pentafluoro-2a-hidroxi-2,2a,3,4-tétrahidro-1*H*-ciclopenta[*cd*]indén-5-yl]oxi]benzonitrilo
inhibiteur de facteur induit par l'hypoxie (HIF), antinéoplasique

imdatifán

3-fluoro-5-[[2*aR*,4*S*)-1,1,2,2,4-pentafluoro-2a-hidroxi-2,2a,3,4-tetrahydro-1*H*-ciclopenta[*cd*]inden-5-il]oxi]benzonitrilo
inhibidor de factor inducible por hipoxia (HIF), antineoplásico

C₁₈H₉F₆NO₂

2511247-29-1



invopressinum

invopressin

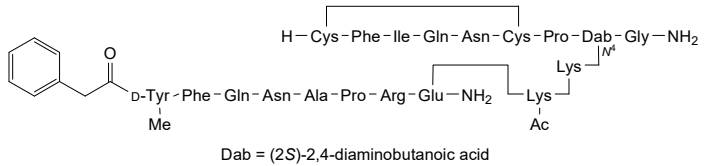
S^{A1},S^{A6}-cyclo[L-cisteinyl-L-phenylalanyl-L-isoleucyl-L-glutaminy-L-asparaginy-L-cisteinyl-L-prolyl-(2*S*)-2-amino-4-({*N*⁶-[*O*-methyl-*N*-(2-phenylacetyl)-*D*-tyrosyl-L-phenylalanyl-L-glutaminy-L-asparaginy-L-alanyl-L-prolyl-L-arginyl-L-isoglutaminy-L-*N*⁶-acetyl-L-lysyl]-L-lysyl)amino]butanoyl]glycinamide
vasopressin V1A receptor partial agonist

invopressine S^{A1}, S^{A6} -cyclo[L-cystéinyl-L-phénylalanil-L-isoleucyl-L-glutaminyll-asparaginyll-cystéinyl-L-prolyl-(2S)-2-amino-4-({N⁶-[O-méthyl-N-(2-phénylacétyl)-D-tyrosyl-L-phénylalanil-L-glutaminyll-asparaginyll-alanyl-L-prolyl-L-arginyl-L-isoglutaminyll-N⁶-acétyl-L-lysyl]-L-lysyl)amino)butanoyl]glycinamide
agoniste partiel du récepteur de la vasopressine V1A

invopresina S^{A1}, S^{A6} -ciclo[L-cisteinil-L-fenilalanil-L-isoleucil-L-glutaminiil-L-asparaginiil-L-cisteinil-L-proliil-(2S)-2-amino-4-({N⁶-[O-metil-N-(2-fenilacetil)-D-tirosil-L-fenilalanil-L-glutaminiil-L-asparaginiil-L-alanyl-L-proliil-L-arginil-L-isoglutaminiil-N⁶-acetil-L-lisil]-L-lisil)amino)butanoil]glicinamida
agonista parcial del receptor de vasopresina V1A

$C_{110}H_{161}N_{31}O_{27}S_2$

1488411-60-4



irpagratinibum

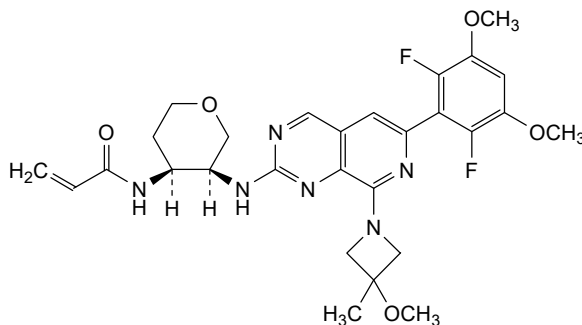
irpagratinib *N*-[(3S,4S)-3-{{6-(2,6-difluoro-3,5-diméthoxyphényl)-8-(3-méthoxy-3-méthylazétidin-1-yl)pyrido[3,4-*d*]pyrimidin-2-yl}amino}oxan-4-yl]prop-2-énamide
fibroblast growth factor receptor tyrosine kinase inhibitor, antineoplastique

irpagratinib *N*-[(3S,4S)-3-{{6-(2,6-difluoro-3,5-diméthoxyphényl)-8-(3-méthoxy-3-méthylazétidin-1-yl)pyrido[3,4-*d*]pyrimidin-2-yl}amino}oxan-4-yl]prop-2-énamide
inhibiteur de la tyrosine kinase du récepteur du facteur de croissance des fibroblastes, antinéoplasique

irpagratinib *N*-[(3S,4S)-3-{{6-(2,6-difluoro-3,5-dimétoxifenil)-8-(3-metil-3-metoxiazetidin-1-il)pirido[3,4-*d*]pirimidin-2-il}amino}oxan-4-il]prop-2-enamida
inhibidor de la tirosina kinasa del receptor del factor de crecimiento de fibroblastos, antineoplásico

$C_{28}H_{32}F_2N_6O_5$

2230974-62-4



irucalantidum

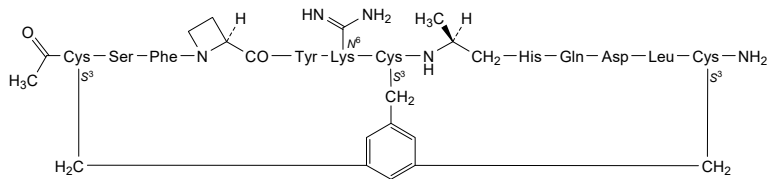
irucalantide $C^{3,3,1}, S^7: C^{5,3,1}, S^{13}$ -dicyclo[*N*-acetyl-*S*-[(3,5-dimethylphenyl)methyl]-*L*-cysteinyl-*L*-seryl-*L*-phenylalanyl-(2*S*)-azetidine-2-carbonyl-*L*-tyrosyl-*N*⁶-carbamidoyl-*L*-lysyl-*L*-cysteinyl-*L*-alanyl-ψ(CH₂-NH)-*L*-histidyl-*L*-glutaminyll-*L*-α-aspartyl-*L*-leucyl-*L*-cysteinamide}
kallikrein inhibitor

irucalantide $C^{3,3,1}, S^7: C^{5,3,1}, S^{13}$ -dicyclo[*N*-acétyl-*S*-[(3,5-diméthylphényl)méthyl]-*L*-cystéinyl-*L*-séryl-*L*-phénylalanyl-(2*S*)-azétidine-2-carbonyl-*L*-tyrosyl-*N*⁶-carbamidoyl-*L*-lysyl-*L*-cystéinyl-*L*-alanyl-ψ(CH₂-NH)-*L*-histidyl-*L*-glutaminyll-*L*-α-aspartyl-*L*-leucyl-*L*-cystéinamide}
inhibiteur de la kallibréine

irucalantida $C^{3,3,1}, S^7: C^{5,3,1}, S^{13}$ -díciclo[*N*-acetil-*S*-[(3,5-dimetilfenil)metil]-*L*-cisteinil-*L*-seril-*L*-fenilalanil-(2*S*)-azetidina-2-carbonil-*L*-tirozil-*N*⁶-carbamidoil-*L*-lilil-*L*-cisteinil-*L*-alanil-ψ(CH₂-NH)-*L*-histidil-*L*-glutaminil-*L*-α-aspartil-*L*-leucil-*L*-cisteinamida}
inhibidor de la calicreína

C₇₆H₁₀₆N₂₀O₁₈S₃

1631160-47-8

**izalontamabum brengitecanum #**

izalontamab brengitecan

immunoglobulin G1-scFv_L-kappa dimer, anti-[*Homo sapiens* EGFR (epidermal growth factor receptor, receptor tyrosine-protein kinase erbB-1, ERBB1, HER1, HER-1, ERBB)] and anti-[*Homo sapiens* ERBB3 (receptor tyrosine protein kinase erbB-3, HER3)], chimeric and *Homo sapiens* monoclonal antibody, tetravalent, bispecific, conjugated to a camptothecin derivative;

fused G1-scFv heavy-lambda heavy chain chimeric and *Homo sapiens* (1-702) [gamma1 heavy chain anti-EGFR chimeric (1-448) [VH (*Mus musculus* IGHV2-2*03 (93.8%) -(IGHD) -IGHJ3*01 (92.9%) A128>S (119), CDR-IMGT [8.7.13] (26-33.51-57.96-108)) (1-119) -*Homo sapiens* IGHG1*08p (100%), G1m3,1 (CH1 I103 (201), R120 (216) (120-217), hinge 1-15 (218-232), CH2 (233-342), CH3 D12 (358), L14 (360) (343-447), CHS K2>del (448)) (120-448)] -10-mer bis(tetraglycyl-seryl) linker (449-458) -scFv heavy-lambda anti-ERBB3 *Homo sapiens* (459-702) [VH (*Homo sapiens* IGHV3-7*01 (91.8%) -(IGHD) -IGHJ2*01 (100%), CDR-IMGT [8.8.11] (484-491.509-516.555-565)) (459-576) -15-mer tris(tetraglycyl-seryl) linker (577-591) -V-LAMBDA (*Homo sapiens* IGLV2-14*03 (93.9%) -IGLJ2*01 (83.3%) L124>V (699), CDR-IMGT [9.3.11] (617-625.643-645.682-692)) (592-702)], (222-214')-disulfide with kappa light chain anti-EGFR chimeric (1'-214') [V-KAPPA (*Mus musculus* IGKV5-48*01 (95.8%) -IGKJ5*01 (100%), CDR-IMGT [6.3.9] (27'-32'.50'-52'.89'-97'')] (1'-107') -*Homo sapiens* IGKC*01 (100%), Km3 A45.1 (153'), V101 (191') (108'-214')]; dimer (228-228'':231-231'')-bisdisulfide, produced in Chinese hamster ovary (CHO) cells, glycoform alfa; substituted at the sulfur atoms of the L-cysteine residues 214', 214'', 222, 222'', 228, 228'', 231, 231'' with (3*RS*)-1-[[4*S*,13*S*,21*S*]-13-benzyl-1-carboxy-22-[[[(1*S*,9*S*)-9-ethyl-5-fluoro-9-hydroxy-4-methyl-10,13-dioxo-2,3,9,10,13,15-hexahydro-1*H*,12*H*-benzo[*de*]pyrano[3',4':6,7]indolizino[1,2-*b*]quinolin-1-yl]amino]-21-methyl-5,8,11,14,17,22-hexaaxo-20-oxa-2,6,9,12,15,18-hexaazadocosan-4-yl]-2,5-dioxopyrrolidin-3-yl] (*brengitecan*) groups
antineoplastic

- izalontamab brengitécan immunoglobuline G1-scFv_L-kappa dimère, anti-[*Homo sapiens* EGFR (récepteur du facteur de croissance épidermique, récepteur tyrosine-protéine kinase erbB-1, ERBB1, HER1, HER-1, ERBB)] et anti-[*Homo sapiens* ERBB3 (récepteur à activité tyrosine kinase erbB-3, HER3)], anticorps monoclonal chimérique et *Homo sapiens*, tétravalent, bispécifique, conjugué à un dérivé de la camptothécine; chaîne lourde fusionnée G1-scFv lourd-lambda chimérique et *Homo sapiens* (1-702) [gamma1 anti-EGFR chimérique (1-448) [VH (*Mus musculus* IGHV2-2*03 (93.8%) -(IGHD) -IGHJ3*01 (92.9%) A128>S (119), CDR-IMGT [8.7.13] (26-33.51-57.96-108)) (1-119) -*Homo sapiens* IGHG1*08p (100%), G1m3,1 (CH1 I103 (201), R120 (216) (120-217), charnière 1-15 (218-232), CH2 (233-342), CH3 D12 (358), L14 (360) (343-447), CHS K2>del (448)) (120-448)] -10-mer bis(tétraglycyl-séryl) linker (449-458) -scFv lourd-lambda anti-ERBB3 *Homo sapiens* (459-702) [VH (*Homo sapiens* IGHV3-7*01 (91.8%) -(IGHD) -IGHJ2*01 (100%), CDR-IMGT [8.8.11] (484-491.509-516.555-565)) (459-576) -15-mer tris(tétraglycyl-séryl) linker (577-591) -V-LAMBDA (*Homo sapiens* IGLV2-14*03 (93.9%) -IGLJ2*01 (83.3%) L124>V (699), CDR-IMGT [9.3.11] (617-625.643-645.682-692)) (592-702)]], (222-214')-disulfure avec la chaîne légère kappa anti-EGFR chimérique (1'-214') [V-KAPPA (*Mus musculus* IGKV5-48*01 (95.8%) -IGKJ5*01 (100%), CDR-IMGT [6.3.9] (27'-32'.50'-52'.89'-97')) (1'-107') -*Homo sapiens* IGKC*01 (100%), Km3 A45.1 (153'), V101 (191') (108'-214')]; dimère (228-228":231-231")-bisdisulfure, produit dans des cellules ovariennes de hamster chinois (CHO), glycoforme alfa, substitué sur les atomes de soufre des résidus L-cystéinyl 214', 214"', 222, 222", 228, 228", 231, 231" avec des groupes 3RS)-1-[(4S,13S,21S)-13-benzyl-1-carboxy-22-[[[(1S,9S)-9-éthyl-5-fluoro-9-hydroxy-4-méthyl-10,13-dioxo-2,3,9,10,13,15-hexahydro-1H,12H-benzo[de]pyrano[3',4':6,7]indolizino[1,2-b]quinoléin-1-yl]amino)-21-méthyl-5,8,11,14,17,22-hexaoxo-20-oxa-2,6,9,12,15,18-hexaazadocosan-4-yl]-2,5-dioxopyrrolidin-3-yle (*brengitécan*)
antineoplasique
- izalontamab brengitecán inmunoglobulina G1-scFv_L-kappa dímero, anti-[*Homo sapiens* EGFR (receptor del factor de crecimiento epidérmico, receptor tirosina-proteína kinasa erbB-1, ERBB1, HER1, HER-1, ERBB)] y anti-[*Homo sapiens* ERBB3 (receptor con actividad tirosina kinasa erbB-3, HER3)], anticuerpo monoclonal quimérico y *Homo sapiens*, tetravalente, biespecifico, conjugado con un derivado de la camptotecina; cadena pesada fusionada G1-scFv pesada-lambda quimérica y *Homo sapiens* (1-702) [gamma1 anti-EGFR quimérico (1-448) [VH (*Mus musculus* IGHV2-2*03 (93.8%) -(IGHD) -IGHJ3*01 (92.9%) A128>S (119), CDR-IMGT [8.7.13] (26-33.51-57.96-108)) (1-119) -*Homo sapiens* IGHG1*08p (100%), G1m3,1 (CH1 I103 (201), R120 (216) (120-217), bisagra 1-15 (218-232), CH2 (233-342), CH3 D12 (358), L14 (360) (343-447), CHS K2>del (448)) (120-448)] -10-mer bis(tetraglicil-seril) enlace (449-458) -scFv pesada-lambda anti-ERBB3 *Homo sapiens* (459-702) [VH (*Homo sapiens* IGHV3-7*01 (91.8%) -(IGHD) -IGHJ2*01 (100%), CDR-IMGT [8.8.11] (484-491.509-516.555-565)) (459-576) -15-mer tris(tetraglicil-seril) enlace (577-591) -V-LAMBDA (*Homo sapiens* IGLV2-14*03 (93.9%) -IGLJ2*01 (83.3%) L124>V (699), CDR-IMGT [9.3.11] (617-625.643-645.682-692)) (592-702)]], (222-214')-disulfuro con la

cadena ligera kappa anti-EGFR quimérica (1'-214') [V-KAPPA (*Mus musculus* IGKV5-48*01 (95.8%) -IGKJ5*01 (100%), CDR-IMGT [6.3.9] (27'-32'.50'-52'.89'-97')) (1'-107') -*Homo sapiens* IGKC*01 (100%), Km3 A45.1 (153'), V101 (191') (108'-214')]; dímero (228-228":231-231")-bisdisulfuro, producido en las células ováricas de hámster chino (CHO), forma glicosilada alfa, substituido en los átomos de azufre de los residuos de L-cisteinil 214', 214"', 222, 222"', 228, 228"', 231, 231"' con grupos (3*R*S)-1-[[[4*S*,13*S*,21*S*)-13-bencil-1-carboxi-22-[[[(1*S*,9*S*)-9-etil-5-fluoro-9-hidroxi-4-metil-10,13-dioxo-2,3,9,10,13,15-hexahidro-1*H*,12*H*-benzo[*de*]pirano[3',4':6,7]indolizino[1,2-*b*]quinolein-1-il]amino]-21-metil-5,8,11,14,17,22-hexaoxo-20-oxa-2,6,9,12,15,18-hexaazadocosan-4-il]-2,5-dioxopirrolidin-3-ilo (*bregitecán*)
antineoplásico

2760528-47-8

Heavy chain / Chaîne lourde / Cadena pesada: anti-EGFR G1 -anti-ERBB3 scFv

QVQLKQSGPG LVQPQSLSI TCTVSGFSLT NYGVHWRQS PGKGLEWLGV 50
 IWSGGNTDYN TPTFSRLSIN KDNKSKQVFL KMNSLQSNLT AIYYCARALT 100
 YYDFEYFAYWG QGTLTVTVSSA STKGPSVFFL APSSKSTSGG TAALGCLVKD 150
 YFPEPVTVSW NSGALTSQVH TFPVAVLQSSG LYSLSVTVV PSSSLGQTQY 200
 ICNVNHKPSN TKVDRKVEPK SCDKTHCTPP CPAPELLGGP SVFLFPPPKP 250
 DTLMISRTPE VTCVVDVSH EDPEVKENWY VDGVEVHNAK TKPREEQYNS 300
 TYRVSVTLV LHQDNLNGKE YKCKVSNKAL PAPIEKTISK AKGQPREPQV 350
 YTLFPPSRDEL TKNQVSLTCL VKGFYPSDIA VEWESNGQPE NNYKTPPEVL 400
 DSDGFFFLYS KLTVDKSRWQ QGNVFCSCVM HEALHNHYTQ KSLSLSPGGG 450
 GSGGGGGSQV QLQESGGGLV KPGGSLRLSC AASGFTFSSY WMSWVRQAPG 500
 KGLEWVANIN RDGSASYVD SVKGRFTISR DDAKNSLYLQ MNSLRAEDTA 550
 VYYCARDRGV GYFDLWGRGT LVTVSSGGGG SGGGGSGGGG SQAALTQPAS 600
 VSGSPGQIT ISCTGTSDDV GGYNFVSWYQ QHPGKAPKM IYDVSDRPSG 650
 VSDRFSGSKS GNTASLIISG LQADDEADYY CSSYGSSTH VIFGGGTKVT 700
 VL 702

Light chain / Chaîne légère / Cadena ligera: anti-EGFR L-kappa

DILLTQSPVI LSVSPGERVY FSCRASQSIG TNIHWYQRT NGSPLLIIKY 50
 ASESISGIPS RFGSGSGTD FTLINSVSE EDIADYQCQ NNNWPTTFFA 100
 GTKLELKRVT AAPSVFIFPP SDEQLKSGTA SVVCLLNIFY PREAKVQKVK 150
 DNALQSGNSQ ESVTEQDSKD STYLSLSTLT LSKADYEKHK VIACEVTHQG 200
 LSSPVTKSPN RGEK 214

Post-translational modifications

Disulfide bridges location / Position des ponts disulfure / Posiciones de los puentes disulfuro

Intra-H (C23-C104) 22-95 146-202 263-323 369-427 480-554 613-681
 22"-95" 146"-202" 263"-323" 369"-427" 480"-554" 613"-681"

Intra-L (C23-C104) 23'-88" 134'-194"
 23"-88" 134"-194"

Inter-H-L* (h 5-CL 126) 222'-214' 222"-214"

Inter-H-H* (h 11, h 14) 228-228" 231-231"

*The four inter-chain disulfide bridges are not present, an average of 8 cysteinyl being conjugated each via a thioether bond to a drug linker.

*Les quatre ponts disulfures inter-chaînes ne sont pas présents, 8 cystéinyl en moyenne étant chacun conjugué via une liaison thioéther à un linker-principe actif.

*Faltan los cuatro puentes disulfuro inter-catenarios, una media de 8 cisteinil está conjugada a conectores de principio activo.

N-terminal glutaminyl cyclization / Cyclisation du glutaminyle N-terminal /

Ciclación del glutamínilo N-terminal

Q > pyroglutamyl (pE, 5-oxopropyl) / pyroglutamyle (pE, 5-oxopropyle) /

piroglutamilo (pE, 5-oxoprolilo)

H V H Q I: 1, 1"

N-glycosylation sites / Sites de N-glycosylation / Posiciones de N-glicosilación

H V H N97: 88, 88"

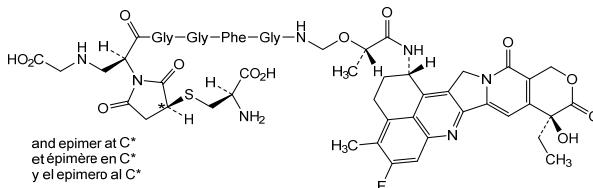
H CH2 N84.4: 299, 299"

Fucosylated complex bi-antennary CHO-type glycans / glycanes de type CHO bi-antennaries

complexes fucosylés / glicanos de tipo CHO biantennarios complejos fucosilados

Modified residues / Résidus modifiés / Restos modificados

C(214', 214"', 222, 222"', 228, 228"', 231, 231")



izastobartum #
izastobart

immunoglobulin G1-lambda, anti-[*Homo sapiens* C5AR1 (complement C5a receptor 1, C5R1, CD88)], *Homo sapiens* monoclonal antibody;
 gamma1 heavy chain *Homo sapiens* (1-449) [VH (*Homo sapiens* IGHV3-15*07 (92.9%) -(IGHD) -IGHJ3*01 (92.9%) M123>L (114), CDR-IMGT [8.10.10] (26-33.51-60.99-108)) (1-119) -*Homo sapiens* IGHG1*03, G1m3, nG1m1 CH1 R120, CH3 E12, M14, G1v43 CH2 A1.3, E1.2, A1, G1v60 S115, S116 (CH1 R120 (216) (120-217), hinge 1-15 (218-232), CH2 L1.3>A (236), L1.2>E (237), G1>A (239), A115>S (332), P116>S (333) (233-342), CH3 E12 (358), M14 (360) (343-447), CHS (448-449)) (120-449)], (222-214')-disulfide with lambda light chain *Homo sapiens* (1'-215') [V-LAMBDA (*Homo sapiens* IGLV1-44*04 (89.5%) -IGLJ2*01 (100%), CDR-IMGT [8.3.10] (26'-33'.51'-53'.90'-99')) (1'-109') -*Homo sapiens* IGLC2*01 (100%) (110'-215')]; dimer (228-228":231-231")-bisdisulfide, produced in Chinese hamster ovary (CHO) cells, cell line CHO-DG44, glycoform alfa
immunostimulant, antineoplastic

izastobart

immunoglobuline G1-lambda, anti-[*Homo sapiens* C5AR1 (récepteur 1 du complément C5a, C5R1, CD88)], anticorps monoclonal *Homo sapiens*;
 chaîne lourde gamma1 *Homo sapiens* (1-449) [VH (*Homo sapiens* IGHV3-15*07 (92.9%) -(IGHD) -IGHJ3*01 (92.9%) M123>L (114), CDR-IMGT [8.10.10] (26-33.51-60.99-108)) (1-119) -*Homo sapiens* IGHG1*03, G1m3, nG1m1 CH1 R120, CH3 E12, M14, G1v43 CH2 A1.3, E1.2, A1, G1v60 S115, S116 (CH1 R120 (216) (120-217), charnière 1-15 (218-232), CH2 L1.3>A (236), L1.2>E (237), G1>A (239), A115>S (332), P116>S (333) (233-342), CH3 E12 (358), M14 (360) (343-447), CHS (448-449)) (120-449)], (222-214')-disulfure avec la chaîne légère lambda *Homo sapiens* (1'-215') [V-LAMBDA (*Homo sapiens* IGLV1-44*04 (89.5%) -IGLJ2*01 (100%), CDR-IMGT [8.3.10] (26'-33'.51'-53'.90'-99')) (1'-109') -*Homo sapiens* IGLC2*01 (100%) (110'-215')]; dimère (228-228":231-231")-bisdisulfure, produit dans des cellules ovariennes de hamster chinois (CHO), lignée cellulaire CHO-DG44, glycoforme alfa
immunostimulant, antinéoplasique

izastobart

immunoglobulina G1-lambda, anti-[*Homo sapiens* C5AR1 (receptor 1 del complemento C5a, C5R1, CD88)], anticuerpo monoclonal *Homo sapiens*;
 cadena pesada gamma1 *Homo sapiens* (1-449) [VH (*Homo sapiens* IGHV3-15*07 (92.9%) -(IGHD) -IGHJ3*01 (92.9%) M123>L (114), CDR-IMGT [8.10.10] (26-33.51-60.99-108)) (1-119) -*Homo sapiens* IGHG1*03, G1m3, nG1m1 CH1 R120, CH3 E12, M14, G1v43 CH2 A1.3, E1.2, A1, G1v60 S115, S116 (CH1 R120 (216) (120-217), bisagra 1-15 (218-232), CH2 L1.3>A (236), L1.2>E (237), G1>A (239), A115>S (332), P116>S (333) (233-342), CH3 E12 (358), M14 (360) (343-447), CHS (448-449)) (120-449)], (222-214')-disulfuro con la cadena ligera lambda *Homo sapiens* (1'-215') [V-LAMBDA (*Homo sapiens* IGLV1-44*04 (89.5%) -IGLJ2*01 (100%), CDR-IMGT [8.3.10] (26'-33'.51'-53'.90'-99')) (1'-109') -*Homo sapiens* IGLC2*01 (100%) (110'-215')]; dímero (228-228":231-231")-bisdisulfuro, producido en las células ováricas de hámster chino (CHO), línea celular CHO-DG44, forma glicosilada alfa
immunomodulador, antineoplásico

2769937-42-8

Heavy chain / Chaîne lourde / Cadena pesada

EVQLVESGGG	LVPKGGSLRL	SCAASGFTFS	SYAMHWVRQA	FGKGLEWVGR	50
IKSKAQGGTT	DYAAHYKGRF	TISRDDSKNT	LYLQMNLSKT	EDTAVYYCAR	100
VSFSTFDVWG	QGTLLTVSSA	STKGFVSFPL	APSKSSTSGG	TALGLGLVKD	150
YFPEPVTVSW	NSGALTSGVH	TFFAVLQSSG	LYSLSSVTV	PSSSLGTQTY	200
ICNVNHKPSN	TKVDRKVEPK	SCDKTHTCPP	CPAPEAEGAP	SVFLFPPKPK	250
DTLMISRTP	VTCVVDVSH	EDPEVKFNWY	VDGVEVHNAK	TKPREQYNS	300
TYRIVSVLTV	LHQDNLNGKE	YKCKVSNKAL	PSSIEKTIISK	AKGQPREPQV	350
YTLPPSREEM	TKNQVSLTCL	VKGFYPSDIA	VEWESNGQPE	NNYKTPPVFL	400
DSDGSEFPLYS	KLTVDKSRWQ	QGNVFESCVM	HEALHNHYTQ	KSLSLSPGK	449

Light chain / Chaîne légère / Cadena ligera

QSVLTQPPFSV	SGAPGQRVTI	SCSGSSSNI	SYYSWYQQL	PGTAPKVLII	50
RNNQRPSGVF	DRFSGSKSGT	SASLAITGLQ	AEDEADYYCD	SWDHSMMNVF	100
GGGKTLTVLG	QPKAAPSVTL	FPPSSEELQA	NKATLVCLIS	DFYPGAVTVA	150
WKADSSPDKA	GVETTTPSKQ	SNNRYAASSY	LSLTPEQWKS	HRYSYSCQVTH	200
EGSTVEKTV	PTECS				215

Post-translational modifications

Disulfide bridges location / Position des ponts disulfure / Posiciones de los puentes disulfuro

Intra-H (C23-C104) 22"-98" 146"-202" 263"-323" 369"-427"
 22"-98" 146"-202" 263"-323" 369"-427"

Intra-L (C23-C104) 22"-89" 137"-196"
 22"-89" 137"-196"

Inter-H-L (h 5-CL 126) 222"-214" 222"-214"

Inter-H-H (h 11, h 14) 228"-228" 231"-231"

N-glycosylation sites / Sites de N-glycosylation / Posiciones de N-glicosilación

H CH2 N84.4: 299, 299"

Fucosylated complex bi-antennary CHO-type glycans / glycanes de type CHO bi-antennaires complexes fucosylés / glicanos de tipo CHO biantennarios complejos fucosilados.

C-terminal lysine clipping / Coupure de la lysine C-terminale / Recorte de lisina C-terminal
H CHS K2: 449, 449"**labuxtinibum**

labuxtinib

N-(5-{5-[(1*R*,2*S*)-2-fluorocyclopropyl]-1,2,4-oxadiazol-3-yl}-2-methylphenyl)imidazo[1,2-*a*]pyridine-3-carboxamide

tyrosine kinase inhibitor

labuxtinib

N-(5-{5-[(1*R*,2*S*)-2-fluorocyclopropyl]-1,2,4-oxadiazol-3-yl}-2-méthylphényl)imidazo[1,2-*a*]pyridine-3-carboxamide

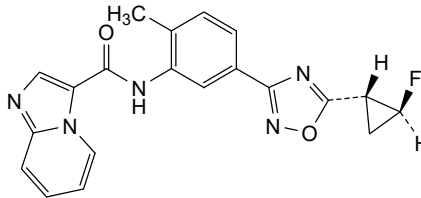
inhibiteur de tyrosine kinase

labuxtinib

N-(5-{5-[(1*R*,2*S*)-2-fluorociclopropil]-1,2,4-oxadiazol-3-il}-2-metilfenil)imidazo[1,2-*a*]piridina-3-carboxamida

*inhibidor de la tirosina kinasa*C₂₀H₁₆FN₅O₂

1426449-01-5

**lacutocloxum**

lacutoclox

4-{4-[(4'-chloro-5,5-dimethyl-3,4,5,6-tetrahydro-[1,1'-biphenyl]-2-yl)methyl]piperazin-1-yl}-2-[(3*R*)-3-methyl-2,3-dihydropyrrolo[3',2':5,6]pyrido[2,3-*b*][1,4]oxazin-1(6*H*)-yl]-*N*-(3-nitro-4-[(oxan-4-yl)methyl]amino)benzene-1-sulfonyl)benzamide

antineoplastic

lacutoclox

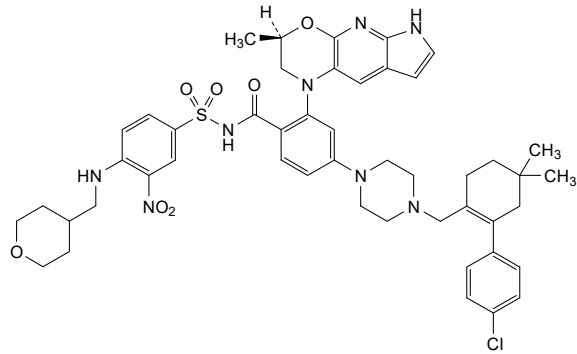
4-{4-[(4'-chloro-5,5-diméthyl-3,4,5,6-tétrahydro-[1,1'-biphényl]-2-yl)méthyl]pipérazin-1-yl}-2-[(3R)-3-méthyl-2,3-dihydropyrrolo[3',2':5,6]pyrido[2,3-b][1,4]oxazin-1(6H)-yl]-N-(3-nitro-4-[(oxan-4-yl)méthyl]amino)benzène-1-sulfonyl)benzamide
antinéoplasique

lacutoclox

4-{4-[(4'-cloro-5,5-dimetil-3,4,5,6-tetrahidro-[1,1'-bifenil]-2-il)metil]piperazin-1-il}-2-[(3R)-3-metil-2,3-dihidropirrolo[3',2':5,6]pirido[2,3-b][1,4]oxazin-1(6H)-yl]-N-(3-nitro-4-[(oxan-4-il)metil]amino)bencono-1-sulfonyl)benzamida
antineoplásico

C₄₈H₅₅ClN₈O₇S

2291166-56-6



lancastotugum #
lancastotug

immunoglobulin G1-kappa, anti-[*Homo sapiens* TIGIT (T cell immunoreceptor with Ig domain and ITIM, V-set Ig member 9, VSIG9, V-set and transmembrane member 3, VSTM3)], humanized monoclonal antibody;
gamma1 heavy chain humanized (1-451) [VH (*Homo sapiens* IGHV4-30-4*01 (90.8%) -(IGHD) -IGHJ4*01 (92.3%) L123>S (116), CDR-IMGT [9.7.14] (26-34.52-58.97-110)) (1-121) -*Homo sapiens* IGHG1*03v, G1m3>G1m17, nG1m1, CH1 K120, CH3 E12, M14 (CH1 R120>K (218) (122-219), hinge 1-15 (220-234), CH2 (235-344), CH3 E12 (360), M14 (362) (345-449), CHS (450-451)) (122-451)], (224-214')-disulfide with kappa light chain humanized (1'-214') [V-KAPPA (*Homo sapiens* IGKV1-9*03 (85.4%) -IGKJ4*01 (90.9%) V124>L (104), CDR-IMGT [6.3.9] (27-32.50-52.89-97)) (1'-107') -*Homo sapiens* IGKC*01 (100%), Km3, A45.1 (153), V101 (191) (108'-214')]; dimer (230-230":233-233")-bisdisulfide, produced in Chinese hamster ovary (CHO) cells, glycoform alpha
immunostimulant, antineoplastic

lancastotug

immunoglobuline G1-kappa, anti-[*Homo sapiens* TIGIT (immunorécepteur des cellules T avec domaine Ig et ITIM, membre 9 de l'Ig V-set, VSIG9, membre 3 de l'Ig V-set et région transmembranaire, VSTM3)], anticorps monoclonal humanisé;

chaîne lourde gamma1 humanisée (1-451) [VH (*Homo sapiens* IGHV4-30-4*01 (90.8%) -(IGHD) - IGHJ4*01 (92.3%) L123>S (116), CDR-IMGT [9.7.14] (26-34.52-58.97-110)) (1-121) -*Homo sapiens* IGHG1*03v, G1m3>G1m17, nG1m1, CH1 K120, CH3 E12, M14 (CH1 R120>K (218) (122-219), charnière 1-15 (220-234), CH2 (235-344), CH3 E12 (360), M14 (362) (345-449), CHS (450-451)) (122-451)], (224-214')-disulfure avec la chaîne légère kappa humanisée (1'-214') [V-KAPPA (*Homo sapiens* IGKV1-9*03 (85.4%) -IGKJ4*01 (90.9%) V124>L (104), CDR-IMGT [6.3.9] (27-32.50-52.89-97)) (1'-107') -*Homo sapiens* IGKC*01(100%), Km3, A45.1 (153), V101 (191) (108'-214')]; dimère (230-230":233-233")-bisdisulfure, produit dans des cellules ovariennes de hamster chinois (CHO), glycoforme alfa
immunostimulant, antinéoplasique

lancastrug

inmunoglobulina G1-kappa, anti-[*Homo sapiens* TIGIT (immunoreceptor de las células T con dominio Ig e ITIM, miembro 9 de la Ig V-set, VSIG9, miembro 3 de la Ig V-set y región transmembranaria, VSTM3)], anticuerpo monoclonal humanizado;
cadena pesada gamma1 humanizada (1-451) [VH (*Homo sapiens* IGHV4-30-4*01 (90.8%) -(IGHD) - IGHJ4*01 (92.3%) L123>S (116), CDR-IMGT [9.7.14] (26-34.52-58.97-110)) (1-121) -*Homo sapiens* IGHG1*03v, G1m3>G1m17, nG1m1, CH1 K120, CH3 E12, M14 (CH1 R120>K (218) (122-219), bisagra 1-15 (220-234), CH2 (235-344), CH3 E12 (360), M14 (362) (345-449), CHS (450-451)) (122-451)], (224-214')-disulfuro con la cadena ligera kappa humanizada (1'-214') [V-KAPPA (*Homo sapiens* IGKV1-9*03 (85.4%) -IGKJ4*01 (90.9%) V124>L (104), CDR-IMGT [6.3.9] (27-32.50-52.89-97)) (1'-107') -*Homo sapiens* IGKC*01(100%), Km3, A45.1 (153), V101 (191) (108'-214')]; dímero (230-230":233-233")-bisdisulfuro, producido en las células ováricas de hámster chino (CHO), forma glicosilada alfa
inmunoestimulante, antineoplásico

2768355-20-8

Heavy chain / Chaîne lourde / Cadena pesada

DVQLQESGPG	LVKPSQTL	SL	TCTVSGHS	SFT	SDYAWSWIRQ	PPGKGLEWIG	50
YISYSDSTNY	NPSLRSRVTI	SRDTSKNQFS	LKLSSTVTAAD	TAVVYCARLD			100
YGNVGGAMDY	WQQTSTVTVS	SASTKGPSVF	PLAPSSKSTS	GGTAALGCLV			150
KDYFPEPFTV	SWNSGALTS	G	VHTFPAPLQS	SGLYSLSSV	TVPSSSLGTQ		200
TYICNVNHRK	SNTKVDKKVE	PKSCDKTHTC	PPCPAPPELLG	GPSVFLFPPK			250
PKDTLMISRT	PEVTCVVVDV	SHEDPEVKFN	WYVDGVEVHN	AKTKPREEQY			300
NSYRUVSVL	TVLHQDWLNG	KEYKCKVSNK	ALPAPIEKTI	SKAKGQPREP			350
QVYTLPPSRE	EMTKNQVSLT	CLVKGFPYPSD	IAVEWESNGQ	PENNYKTTTP			400
VLDSDGSSFFL	YSKLTVDKSR	WQQGNVFCSS	VMHEALHNHY	TQKLSLSLSPG			450
K							451

Light chain / Chaîne légère / Cadena ligera

DIQMTQSPSS	LSASVGRDVT	ITCRSSQHS	TALAWYQQKP	GKSPKLLIYS	50
ASSRYSGVDP	RFGSGSGTD	FTFTISSLQP	EDFATYYCQQ	HYITPWFVFG	100
GTKLEIKRVT	AAPSVFIFPP	SDEQLKSGTA	SVVCLLNNFY	FREAKVQWKV	150
DNALQSGNSQ	ESVTEQDSK	STYLSLSTLT	LSKADYERKH	VYACEVTHQG	200
LSSFVTKSFN	RGEC				214

Post-translational modifications

Disulfide bridges location / Position des ponts disulfure / Posiciones de los puentes disulfuro

Intra-H (C23-C104)	22-96	148-204	265-325	371-429
	22"-96"	148"-204"	265"-325"	371"-429"

Intra-L (C23-C104)	23'-88"	134'-194"
	23"-88"	134"-194"

Inter-H-L (h 5-CL 126) 224-214' 224"-214"

Inter-H-H (h 11, h 14) 230-230" 233-233"

N-glycosylation sites / Sites de N-glycosylation / Posiciones de N-glicosilación

H CH2 N84.4: 301, 301"

Fucosylated complex bi-antennary CHO-type glycans / glycanes de type CHO bi-antennaires complexes fucosylés / glicanos de tipo CHO biantenarijos complejos fucosilados

C-terminal lysine clipping / Coupure de la lysine C-terminale / Recorte de lisina C-terminal

H CHS K2: 451, 451"

latovetcelum
latovetcel

equine allogeneic mesenchymal stem/stromal cells (MSCs) isolated from peripheral blood mononuclear cells (PBMCs) collected from donor horses. The MSCs are selected for by growing the PBMCs in media containing fetal bovine serum (FBS) and dexamethasone and then further expanded in media containing FBS.

The final cells are characterized by their stretched spindle shaped morphology, and by expression of the cellular surface markers CD90 ($\geq 95\%$) and CD40 ($\geq 85\%$) and absence of MHC class II expression ($\leq 2\%$). The cells secrete prostaglandin E2 (PGE2) and interleukin 6 (IL-6) and can decrease proliferation ($> 85\%$) in a mixed lymphocyte reaction assay with concanavalin A (ConA)-stimulated canine PBMCs *cell therapy (veterinary use)*

latovetcel

cellules souches/stromales mésenchymateuses (CSM) allogènes équinées isolées à partir de cellules mononucléaires de sang périphérique (PBMC) prélevées sur des chevaux donneurs. Les CSM sont sélectionnées en cultivant les PBMC dans un milieu contenant du sérum bovin foetal (FBS) et de la dexaméthasone, puis en les développant dans un milieu contenant du FBS.

Les cellules finales sont caractérisées par leur morphologie fusiforme étirée et par l'expression des marqueurs de surface cellulaire CD90 ($\geq 95\%$) et CD40 ($\geq 85\%$) et l'absence d'expression du CMH de classe II ($\leq 2\%$). Les cellules sécrètent de la prostaglandine E2 (PGE2) et de l'interleukine 6 (IL-6) et peuvent diminuer la prolifération ($> 85\%$) dans un test de réaction lymphocytaire mixte avec des PMBC canins stimulés par la concanavaline A (ConA) *thérapie cellulaire (usage vétérinaire)*

latovetcel

células madre/estromales mesenquimales (MSC) equinas, alogénicas, aisladas de células mononucleares de sangre periférica (PBMCs) recogida de caballos donantes. Las MSCs se seleccionan mediante crecimiento de las PBMCs en medio que contiene suero bovino fetal (FBS) y dexametasona, y después se expanden en medio que contiene FBS.

Las células finales se caracterizan por su morfología en forma de huso estirado y por la expresión de los marcadores de superficie CD90 ($\geq 95\%$) y CD40 ($\geq 85\%$) y ausencia de expresión de MHC de clase II ($\leq 2\%$). Las células secretan prostaglandina E2 (PGE2) e interleuquina 6 (IL-6) y pueden disminuir la proliferación ($> 85\%$) en un ensayo de reacción cruzada de linfocitos con PBMCs caninos estimulados con concanavalina A (Con-A) *terapia celular (uso veterinario)*

lepzacitinibum

lepzacitinib

ethyl 4-[[*(3R)*-1-(cyanoacetyl)piperidin-3-yl]amino]-1*H*-pyrrolo[2,3-*b*]pyridine-5-carboxylate
Janus kinase inhibitor, anti-inflammatory

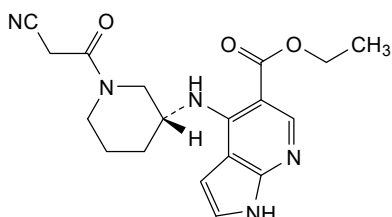
lepzacitinib

4-[[*(3R)*-1-(cyanoacétyle)pipéridin-3-yl]amino]-1*H*-pyrrolo[2,3-*b*]pyridine-5-carboxylate d'éthyle
inhibiteur de la kinase de Janus, anti-inflammatoire

lepzacitinib

4-[[*(3R)*-1-(cianoacetil)piperidin-3-il]amino]-1*H*-pirrolo[2,3-*b*]piridina-5-carboxilato de etilo
*inhibidor de la kinasa de Janus, antiinflamatorio*C₁₈H₂₁N₅O₃

2321488-47-3

**leramistatum**

leramistat

4'-chloro-2'-cyano-*N*-[(1*r*,4*r*)-4-hydroxy-4-methylcyclohexyl][1,1'-biphenyl]-4-sulfonamide
mitochondrial complex 1 inhibitor

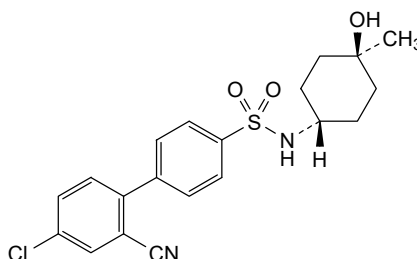
léramistat

4'-chloro-2'-cyano-*N*-[(1*r*,4*r*)-4-hydroxy-4-méthylcyclohexyl][1,1'-biphényl]-4-sulfonamide
inhibiteur du complexe mitochondrial 1

leramistat

2'-ciano-4'-cloro-*N*-[(1*r*,4*r*)-4-hidroxi-4-metilciclohexil][1,1'-bifenil]-4-sulfonamida
*inhibidor del complejo mitocondrial 1*C₂₀H₂₁ClN₂O₃S

1642602-54-7

**lerzeparibum**

lerzeparib

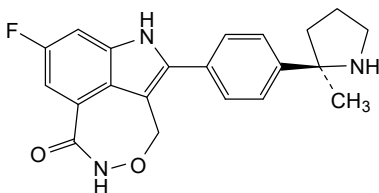
8-fluoro-2-{4-[(2*R*)-2-methylpyrrolidin-2-yl]phenyl}-1,3-dihydro[1,2]oxazepino[6,5,4-*cd*]indol-6(5*H*)-one
poly (ADP-ribose) polymerase (PARP) inhibitor, antineoplastic

lerzéparib
8-fluoro-5-{4-[(2*R*)-2-méthylpyrrolidin-2-yl]phényl}-1,3-dihydro[1,2]oxazépine[6,5,4-*cd*]indol-6(5*H*)-one
inhibiteur de poly (ADP-ribose) polymérase (PARP), antinéoplasique

lerzeperab
8-fluoro-5-{4-[(2*R*)-2-metilpirrolidin-2-il]fenil}-1,3-dihidro[1,2]oxazepino[6,5,4-*cd*]indol-6(5*H*)-ona
inhibidor de poli (ADP-ribosa) polimerasa (PARP), antineoplásico

C₂₁H₂₀FN₃O₂

2459693-01-5

**limantrafinum**

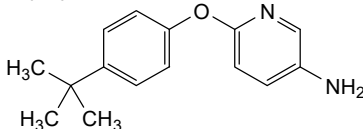
limantrafin
6-(4-*tert*-butylphenoxy)pyridin-3-amine
antineoplastic

limantrafine
6-(4-*tert*-butylphénoxy)pyridin-3-amine
antineoplasique

limantrafina
6-(4-*terc*-butilfenoxi)piridin-3-amina
antineoplásico

C₁₅H₁₈N₂O

218457-67-1

**limaresiquimodum**

limaresiquimod
acetyl and 1-[[2-(ethoxymethyl)-1-(2-hydroxy-2-methylpropyl)-1*H*-imidazo[4,5-*c*]quinolin-4-yl]amino]-1,4,14-trioxo-6,9,12-trioxa-3,15-diazaoctadecan-18-oyl groups linked to 11 and 8 percent of amino end groups, respectively, of the dendritic block polymer [(2,2-bis[[ω-(ω-octaamino-*dendro*^{G3}-(azanediyl)[(2*S*)-1-oxohexane-1,2,6-triyl]]poly(oxyethylene)-α-yl)methyl]propane-1,3-diyl)bis(oxy)]bis[ω-(ω-octaamino-*dendro*^{G3}-(azanediyl)[(2*S*)-1-oxohexane-1,2,6-triyl]]poly(oxyethylene)-α-yl] which itself is crosslinked through 81 percent of amino end groups with a bivalent linker produced by amidation with α-(5-carboxypentanoyl)-ω-[(5-carboxypentanoyl)oxy]poly(oxyethylene)
immunomodulator, antineoplastic

limarésiquimod

groupes acétyle et 1-[[2-(éthoxyméthyl)-1-(2-hydroxy-2-méthylpropyl)-1*H*-imidazo[4,5-*c*]quinolin-4-yl]amino]-1,4,14-trioxo-6,9,12-trioxa-3,15-diazaoctadécan-18-oyl liés à, respectivement, 11 et 8 % de groupes amine terminaux du polymère dendritique en bloc [(2,2-bis[[ω-(ω-octaamino-*dendro*^{G3}-{azanediyl}[(2*S*)-1-oxohexane-1,2,6-triyl]])poly(oxyéthylène)-α-yl]méthyl]propane-1,3-diyl)bis(oxy)]bis[ω-(ω-octaamino-*dendro*^{G3}-{azanediyl}[(2*S*)-1-oxohexane-1,2,6-triyl]])poly(oxyéthylène)-α-yle] qui est lui-même réticulé sur 81 % des groupes amine terminaux avec un espaceur bivalent produit par amidification avec α-(5-carboxypentanoyle)-ω-[(5-carboxypentanoyle)oxy]poly(oxyéthylène)

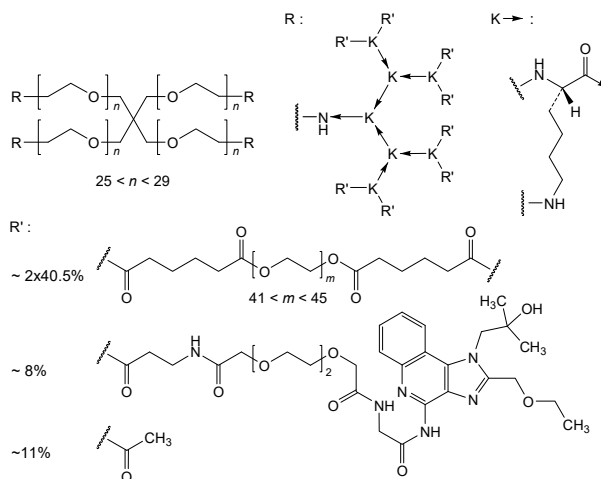
immunomodulateur, antinéoplasique

limaresiquimod

grupos acetilo y 1-[[2-(etoximetil)-1-(2-hidroxi-2-metilpropil)-1*H*-imidazo[4,5-*c*]quinolin-4-il]amino]-1,4,14-trioxo-6,9,12-trioxa-3,15-diazaoctadecan-18-oilo unidos a, respectivamente, 11 y 8 % de grupos amina terminal del polímero dendrítico en bloque [(2,2-bis[[ω-(ω-octaamino-*dendro*^{G3}-{azanodiil}[(2*S*)-1-oxohexano-1,2,6-triil]])poli(oxietileno)-α-il]metil]propano-1,3-diil)bis(oxi)]bis[ω-(ω-octaamino-*dendro*^{G3}-{azanodiil}[(2*S*)-1-oxohexano-1,2,6-triil]])poli(oxietileno)-α-ilo] que él mismo está reticulado sobre el 81 % de los grupos amina terminal con un enlace bivalente producido por amidación con α-(5-carboxipentanoil)-ω-[(5-carboxipentanoil)oxi]poli(oxietileno)

immunomodulador, antineoplásico

2762923-39-5



lingdolinuradum

lingdolinurad

3-bromo-5-(2-ethylimidazo[1,2-*a*]pyridine-3-carbonyl)-2-hydroxybenzonitrile

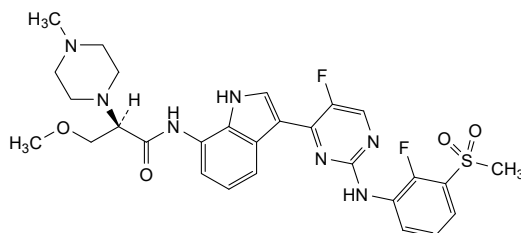
urate transporter inhibitor

londamocitinib

(2*R*)-*N*-(3-{5-fluoro-2-[2-fluoro-3-(metanosulfonyl)anilino]pirimidin-4-il}-1*H*-indol-7-il)-2-(4-metilpiperazin-1-il)-3-metoxipropanamida
inhibidor de la kinasa de Janus

C₂₈H₃₁F₂N₇O₄S

2241039-81-4



lotiglipronum

lotiglipron

(2²*S*,7²*S*)-1⁵-chloro-2²-methyl-5(2,1)-[1,3]benzimidazola-1(2)-pyridina-3(4,1)-piperidina-2(2,4)-[1,3]benzodioxola-7(2)-oxetanaheptaphane-5⁶-carboxylic acid
glucagon-like peptide 1 (GLP-1) receptor agonist

lotiglipron

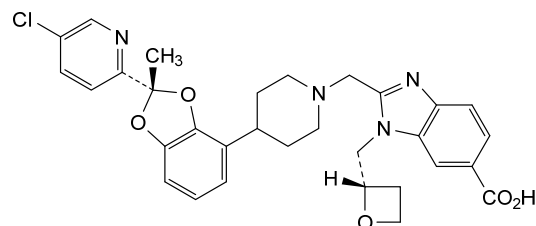
acide (2²*S*,7²*S*)-1⁵-chloro-2²-méthyl-5(2,1)-[1,3]benzimidazola-1(2)-pyridina-3(4,1)-pipéridina-2(2,4)-[1,3]benzodioxola-7(2)-oxétanaheptaphane-5⁶-carboxylique
agoniste du récepteur au peptide-1 d'action type glucagon (GLP-1)

lotigliprón

ácido (2²*S*,7²*S*)-1⁵-cloro-2²-metil-5(2,1)-[1,3]bencimidazola-1(2)-piridina-3(4,1)-piperidina-2(2,4)-[1,3]benzodioxola-7(2)-oxetanaheptafano-5⁶-carboxílico
agonista del receptor del péptido 1 similar al glucagón (GLP-1)

C₃₁H₃₁ClN₄O₅

2401892-75-7



lucicebtidum

lucicebtide

D-valyl-D-alanyl-D-α-glutamyl-D-alanyl-D-arginyl-D-α-glutamyl-D-α-glutamyl-D-leucyl-D-α-glutamyl-D-arginyl-D-leucyl-D-α-glutamyl-D-alanyl-D-arginyl-D-leucylglycyl-D-glutamyl-D-glutamyl-D-alanyl-D-arginylglycyl-D-α-glutamyl-D-leucyl-D-lysyl-D-lysyl-D-tryptophyl-D-lysyl-D-methionyl-D-arginyl-D-arginyl-D-asparaginy-D-glutamyl-D-phenylalanyl-D-tryptophyl-D-leucyl-D-lysyl-D-leucyl-D-glutamyl-D-arginine
antineoplastic

lucicebtide	D-valyl-D-alanyl-D- α -glutamyl-D-alanyl-D-arginyl-D- α -glutamyl-D- α -glutamyl-D-leucyl-D- α -glutamyl-D-arginyl-D-leucyl-D- α -glutamyl-D-alanyl-D-arginyl-D-leucylglycyl-D-glutamyl-D-alanyl-D-arginylglycyl-D- α -glutamyl-D-leucyl-D-lysyl-D-lysyl-D-tryptophyl-D-lysyl-D-méthionyl-D-arginyl-D-arginyl-D-asparagyl-D-glutamyl-D-phénylalanyl-D-tryptophyl-D-leucyl-D-lysyl-D-leucyl-D-glutamyl-D-arginine <i>antineoplásique</i>
lucicebtida	D-valil-D-alanil-D- α -glutamil-D-alanil-D-arginil-D- α -glutamil-D- α -glutamil-D-leucil-D- α -glutamil-D-arginil-D-leucil-D- α -glutamil-D-alanil-D-arginil-D-leucilglycil-D-glutamyl-D-alanil-D-arginilglycil-D- α -glutamyl-D-leucil-D-lisil-D-lisil-D-triptopfil-D-lisil-D-metionil-D-arginil-D-arginil-D-asparagil-D-glutamyl-D-fenilalanil-D-triptofil-D-leucil-D-lisil-D-leucil-D-glutamyl-D-arginina <i>antineoplásico</i>

C₂₀₈H₃₄₅N₆₉O₅₅S

2407100-74-5

VAEAREEELER LEARLGQARG ELKKWKMRRN QFWLKLQR 38

Configuration / Configuración / Configuración

All-D / Tout-D / Todo-D $\begin{matrix} \times & (1-38) \\ \text{D-} & \text{Xaa} \end{matrix}$ **lumrotatugum #**
lumrotatug

immunoglobulin G1-kappa, anti-[*Homo sapiens* CD38 (ADP-ribosyl cyclase 1, cyclic ADP-ribose hydrolase 1, cADPr hydrolase 1, cADPR1)], humanized monoclonal antibody; gamma1 heavy chain humanized (1-449) [VH (*Homo sapiens*IGHV4-4*08 (83.5%) -(IGHD) -IGHJ4*01 (100%), CDR-IMGT [8.8.13] (26-33.51-57.96-108)) (1-119) -*Homo sapiens*IGHG1*03, G1m3, nG1m1 CH1 R120, CH3 E12, M14 (CH1 R120 (216) (120-217), hinge 1-15 (218-232), CH2 (233-342), CH3 E12 (358), M14 (360) (343-447), CHS (448-449)) (120-449)], (222-214')-disulfide with kappa light chain humanized (1'-214') [V- KAPPA (*Homo sapiens*IGKV3D-7*01 (77.1%) -IGKJ2*01 (91.7%), CDR-IMGT [6.3.9] (27'-32'.50'-52'.89'-97')) (1'-107') -*Homo sapiens*IGKC*01 (100%), Km3, A45.1 (153'), V101 (191') (108'-214')]; dimer (228-228":231-231")-bisulfide, produced in a Chinese hamster ovary (CHO)-derived cell line lacking the glutamine synthetase (GS-KO) gene, glycoform alfa
antineoplásico

lumrotatug

immunoglobuline G1-kappa, anti-[*Homo sapiens* CD38 (ADP-ribosyl cyclase 1, ADP cyclique-ribose hydrolase 1, cADPr hydrolase 1, cADPR1)], anticorps monoclonal humanisé; chaîne lourde gamma1 humanisée (1-449) [VH (*Homo sapiens*IGHV4-4*08 (83.5%) -(IGHD) -IGHJ4*01 (100%), CDR-IMGT [8.8.13] (26-33.51-57.96-108)) (1-119) -*Homo sapiens*IGHG1*03, G1m3, nG1m1 CH1 R120, CH3 E12, M14 (CH1 R120 (216) (120-217), charnière 1-15 (218-232), CH2 (233-342), CH3 E12 (358), M14 (360) (343-447), CHS (448-449)) (120-449)], (222-214')-disulfure avec la chaîne légère

lumrotatug

kappa humanisée (1'-214') [V-KAPPA (*Homo sapiens* IGKV3D-7*01 (77.1%) -IGKJ2*01 (91.7%), CDR-IMGT [6.3.9] (27'-32'.50'-52'.89'-97')) (1'-107') -*Homo sapiens* IGKC*01 (100%), Km3, A45.1 (153'), V101 (191') (108'-214')]; dimère (228-228":231-231")-bisdisulfure, produite dans une lignée cellulaire dérivée des cellules ovariennes de hamster chinois (CHO) ne présentant pas le gène de la glutamine synthétase (GS-KO), glycoforme alfa
antineoplasique

immunoglobulina G1-kappa, anti-[*Homo sapiens* CD38 (ADP-ribosil ciclasa 1, ADP cíclica-ribosa hidrolasa 1, cADPr hidrolasa 1, cADPR1)], anticuerpo monoclonal humanizado; cadena pesada gamma1 humanizada (1-449) [VH (*Homo sapiens* IGHV4-4*08 (83.5%) -(IGHD) - IGHJ4*01 (100%), CDR-IMGT [8.8.13] (26-33.51-57.96-108)) (1-119) -*Homo sapiens* IGHG1*03, G1m3, nG1m1 CH1 R120, CH3 E12, M14 (CH1 R120 (216) (120-217), bisagra 1-15 (218-232), CH2 (233-342), CH3 E12 (358), M14 (360) (343-447), CHS (448-449)) (120-449)], (222-214')-disulfuro con la cadena ligera kappa humanizada (1'-214') [V-KAPPA (*Homo sapiens* IGKV3D-7*01 (77.1%) -IGKJ2*01 (91.7%), CDR-IMGT [6.3.9] (27'-32'.50'-52'.89'-97')) (1'-107') -*Homo sapiens* IGKC*01 (100%), Km3, A45.1 (153'), V101 (191') (108'-214')]; dímero (228-228":231-231")-bisdisulfuro, producido en una línea celular derivada de las células ováricas de hámster chino (CHO) en ausencia del gen glutamina sintetasa (GS-KO), forma glicosilada alfa
antineoplásico

2760318-99-6

Heavy chain / Chaîne lourde / Cadena pesada

QVQLQESGPG LVKPSSETLSL TCTVSGFSLT SYGIHWLRQP PGKGLEWIGV 50
IWRGGSTDYN PSLKSRVTIS KDTSKSQVSL KLSSTVAADT AVYYCAKGGV 100
TTGPFYDFWQ QGTLTVTVSSA STKGPSVFPPL APSSKSTSGG TAALGCLVKD 150
YFPEPVTVSW NSGALTSGVH TFPAPVLQSSG LYSLSSTVTV PSSSLGTQTY 200
ICNVNHFPSN TKVDKRVFEK SCDKTHTCP PCAPELLGGP SVFLFPKPK 250
DTLMSRTPTE VTCVVDVSH EDPEVKFNWY VDGVEVHNAK TKPREEQYNS 300
YTRVSVLTV LHQDWLNGKE YKCKVSNKAL PAPIEKTISK AKGQPREPQV 350
YTLPPSREEM TKNQVSLTCL VRGFYPSDIA VEWESNGQPE NNYKTPPVV 400
DSDGSFFLYS KLTVDKSRWQ QGNVFSQVSM HEALHNYHQ KSLSLSPGK 449

Light chain / Chaîne légère / Cadena ligera

EIVMTQSPPT LSLSPGERVT LSCRASEDIY NRLVWYQQKP GQAPRLLISG 50
VTSLETSIPA RFGSGSGTD YTLTISSLQP EDFAVYCYQQ YWSTPYTFGQ 100
GTKVEIKRTV AAPSVEIFPP SDEQLKSGTA SVVCLLNNFY BREAKVQWKV 150
DNALQSGNSQ ESVTEQDSKD STYLSSTLT LSKADYEKHK VYACEVTHGQ 200
LSSPVTKSFN RGEK 214

Post-translational modifications

Disulfide bridges location / Position des ponts disulfure / Posiciones de los puentes disulfuro

Intra-H (C23-C104) 22"-95" 146"-202" 263"-323" 369"-427"
22"-95" 146"-202" 263"-323" 369"-427"

Intra-L (C23-C104) 23"-88" 134"-194"
23"-88" 134"-194"

Inter-H-L (h 5-CL 126) 222"-214" 222"-214"

Inter-H-H (h 11, h 14) 228"-228" 231"-231"

N-terminal glutaminyl cyclization / Cyclisation du glutaminyle N-terminal / Ciclación del glutaminilo N-terminal

Q > pyroglutamyl (pE, 5-oxoprollyl) / pyroglutamyle (pE, 5-oxoprolyle) / piroglutamilo (pE, 5-oxoprolilo)

H VH Q1: 1, 1"

N-glycosylation sites / Sites de N-glycosylation / Posiciones de N-glicosilación

H CH2 N84.4: 299, 299"

Fucosylated complex bi-antennary CHO-type glycans / glycanes de type CHO bi-antennaires complexes fucosylés / glicanos de tipo CHO biantenarijos complejos fucosilados

C-terminal lysine clipping / Coupeure de la lysine C-terminale / Recorte de lisina C-terminal

H CHS K2: 449, 449"

lunsekimigum #
lunsekimig

immunoglobulin single chain of 5 VH (sc-5-VH), anti-[*Homo sapiens* IL13 (interleukin 13, IL-13)], anti-[*Homo sapiens* TSLP (thymic stromal lymphopoietin)] and anti-[*Homo sapiens* ALB (albumin, human serum albumin, HAS)], monoclonal antibody sc-5-VH, humanized and chimeric, trispecific, pentavalent; single chain of 5 VH (sc-5-VH) humanized and chimeric (1-671) [VH anti-IL13 chimeric Vicpac/Homsap (*Vicugna pacos* IGHV3-3*01 (87.6%) -(IGHD) -IGHJ2*01 (100%)/*Homo sapiens* IGHV3-23*04 (81.4%) -(IGHD) -IGHJ4*01 (85.7%), L50>R (45), CDR-IMGT [8.8.16] (26-33.51-58.97-112)) (1-123) -35-mer hepta(tetraglycyl-seryl) linker (124-158) -VH anti-IL13 humanized (*Homo sapiens* IGHV3-43*02 (89.7%) -(IGHD) -IGHJ1*01 (92.9%) W118>R (274), CDR-IMGT [8.8.19] (184-191.209-216.255-273)) (159-284) -9-mer glycyl-bis(triglycyl-seryl) linker (285-293) -VH anti-TSLP chimeric Vicpac /Homsap (*Vicugna pacos* IGHV3S53*01 (76.8%) -(IGHD) -IGHJ2*01 (100%)/*Homo sapiens* IGHV3-66*01 (72.9%) -(IGHD) -IGHJ1*01 (100%), L50>R (338), CDR-IMGT [8.7.11] (319-326.344-350.389-399)) (294-410) -9-mer glycyl-bis(triglycyl-seryl) linker (411-419) -VH anti-ALB humanized (*Homo sapiens* IGHV3-23*04 (88.5%) -(IGHD) -IGHJ1*01 (81.8%), L50>P (464), W118>S (524), CDR-IMGT [8.8.8] (445-452.470-477.516-523)) (420-534) -9-mer glycyl-bis(triglycyl-seryl) linker (535-543) -VH anti-TSLP chimeric Lamgla/Homsap (*Lama glama* IGHV3S1*01 (88.9%) -(IGHD) -IGHJ6*01 (85.7%)/*Homo sapiens* IGHV3-43*02 (82.8%) -(IGHD) -IGHJ5*02 (100%), L50>R (590), CDR-IMGT [10.8.18] (569-578.596-603.642-659)) (544-671)], produced in the yeast *Pichia pastoris* (*Komagataella phaffii*), non-glycosylated
anti-inflammatory

lunsékimig

immunoglobuline chaîne unique de 5 VH (sc-5-VH), anti-*Homo sapiens* IL13 (interleukine 13, IL-13), anti-*Homo sapiens* TSLP (lymphopoïétine stromale thymique) et anti-*Homo sapiens* ALB (albumine, sérum albumine humaine, SAH); anticorps monoclonal sc-5-VH, humanisé et chimérique, trispécifique, pentavalent; chaîne unique de 5 VH (sc-5-VH) humanisée et chimérique (1-671) [VH anti-IL13 chimérique Vicpac/Homsap (*Vicugna pacos* IGHV3-3*01 (87.6%) -(IGHD) -IGHJ2*01 (100%)/*Homo sapiens* IGHV3-23*04 (81.4%) -(IGHD) -IGHJ4*01 (85.7%), L50>R (45), CDR-IMGT [8.8.16] (26-33.51-58.97-112)) (1-123) -35-mer hepta(tétraglycyl-séryl) linker (124-158) -VH anti-IL13 humanisé (*Homo sapiens* IGHV3-43*02 (89.7%) -(IGHD) -IGHJ1*01 (92.9%) W118>R (274), CDR-IMGT [8.8.19] (184-191.209-216.255-273)) (159-284) -9-mer glycyl-bis(triglycyl-séryl) linker (285-293) -VH anti-TSLP chimérique Vicpac /Homsap (*Vicugna pacos* IGHV3S53*01 (76.8%) -(IGHD) -IGHJ2*01 (100%)/*Homo sapiens* IGHV3-66*01 (72.9%) -(IGHD) -IGHJ1*01 (100%), L50>R (338), CDR-IMGT [8.7.11] (319-326.344-350.389-399)) (294-410) -9-mer glycyl-bis(triglycyl-séryl) linker (411-419) -VH anti-ALB humanisé (*Homo sapiens* IGHV3-23*04 (88.5%) -(IGHD) -IGHJ1*01 (81.8%), L50>P (464), W118>S (524), CDR-IMGT [8.8.8] (445-452.470-477.516-523)) (420-534) -9-mer glycyl-bis(triglycyl-séryl) linker (535-543) -VH anti-TSLP chimérique Lamgla/Homsap (*Lama glama* IGHV3S1*01 (88.9%) -(IGHD) -IGHJ6*01 (85.7%)/*Homo sapiens* IGHV3-43*02 (82.8%) -(IGHD) -IGHJ5*02 (100%), L50>R (590), CDR-IMGT [10.8.18] (569-578.596-603.642-659)) (544-671)], produit dans la levure *Pichia pastoris* (*Komagataella phaffii*), non-glycosylé
anti-inflammatoire

lunsekimig

inmunoglobulina cadena única de 5 VH (sc-5-VH), anti-*Homo sapiens* IL13 (interleukina 13, IL-13), anti-*Homo sapiens* TSLP (linfopoyetina estromal tímica) y anti-*Homo sapiens* ALB (albúmina, albúmina sérica humana, SAH); anticuerpo monoclonal sc-5-VH, humanizado y quimérico, trispecifico, pentavalente; cadena única de 5 VH (sc-5-VH) humanizada y quimérica (1-671) [VH anti-IL13 quimérico Vicpac/Homsap (*Vicugna pacos* IGHV3-3*01 (87.6%) - (IGHD) -IGHJ2*01 (100%)/*Homo sapiens* IGHV3-23*04 (81.4%) - (IGHD) -IGHJ4*01 (85.7%), L50>R (45), CDR-IMGT [8.8.16] (26-33.51-58.97-112)) (1-123) -35-mer hepta(tetraglicil-seril) enlace (124-158) -VH anti-IL13 humanizado (*Homo sapiens* IGHV3-43*02 (89.7%) - (IGHD) -IGHJ4*01 (92.9%) W118>R (274), CDR-IMGT [8.8.19] (184-191.209-216.255-273)) (159-284) -9-mer glicil-bis(triglicil-seril) enlace (285-293) -VH anti-TSLP quimérico Vicpac/Homsap (*Vicugna pacos* IGHV3S53*01 (76.8%) - (IGHD) -IGHJ2*01 (100%)/*Homo sapiens* IGHV3-66*01 (72.9%) - (IGHD) -IGHJ1*01 (100%), L50>R (338), CDR-IMGT [8.7.11] (319-326.344-350.389-399)) (294-410) -9-mer glicil-bis(triglicil-seril) enlace (411-419) -VH anti-ALB humanizado (*Homo sapiens* IGHV3-23*04 (88.5%) - (IGHD) -IGHJ1*01 (81.8%), L50>P (464), W118>S (524), CDR-IMGT [8.8.8] (445-452.470-477.516-523)) (420-534) -9-mer glicil-bis(triglicil-seril) enlace (535-543) -VH anti-TSLP quimérico Lamgla/Homsap (*Lama glama* IGHV3S1*01 (88.9%) - (IGHD) -IGHJ6*01 (85.7%)/*Homo sapiens* IGHV3-43*02 (82.8%) - (IGHD) -IGHJ5*02 (100%), L50>R (590), CDR-IMGT [10.8.18] (569-578.596-603.642-659)) (544-671)], producido en la levadura *Pichia pastoris* (*Komagataella phaffii*), no glicosilado
antiinflamatorio

2770858-49-4

Heavy chain / Chaîne lourde / Cadena pesada:

```
DVQLVESGGG VVQPGGSLRL SCAASGRFES SYRMGWFRQA PGKEREFVAA 50
LSDGQGYSTYT ANSVKGRFTI SRDNSKNTVY LQMNSLRPED TALYYCAAKL 100
QYVSGWSDYD PYWQQTGLVT VSSGGGGSGG GSGGGGGSGG GSGGGGGSGG 150
GSGGGGGSEV QLVESGGGVV QPGGSLRLSC AASGFTFNYY AMKWVRQAPG 200
KGLEWVSSIT TGGGSTDYAD SVKGRFTISR DNSKNTLYLQ MNSLRPEDTA 250
LYYCANVFPF YSEHFSGLS FDYRQQTGLV TVSSGGGGSG GSEVQLVES 300
GGGVVQPGGS LRLSCAASGS GFGVNILYWY RQAQIEREL IASITSGGIT 350
NYVDSVKGRF TISRDNSENT MYLQMSLRA EDTGLYYCAS RNIFDGTTEW 400
CQQTGLTVSS GGGSGGGGSE VQLVESGGGV VQPGGSLRLS CAASGFTFRS 450
FGMSWVRQAP GKGPEWVSSI SGGSDTLVA DSVKGRFTIS RDNSKNTLYL 500
QMNSLRPEDT ALYYCTIGGS LRSRSGTGLV TVSSGGGGSG GSEVQLVES 550
GGGVVQPGGS LRLSCAASGF TFDYDYDIG WFRQAQKER EGVSCISNRD 600
GSTYYADSVK GRFTISRDN SNTVYLQMSN LRPEDTALY CAVEIHCDYD 650
GVNFDPEPW GQQTGLTVSS A 671
```

Post-translational modifications

Disulfide bridges location / Position des ponts disulfure / Posiciones de los puentes disulfuro
Intra chain (C23-C104) 22-96 180-254 315-388 441-515 565-641
Additional intra-VH (C55-C110) 595-647

No N-glycosylation sites / pas de sites de N-glycosylation / ningún posición de N-glycosilación

luvagrobartum #
luvagrobart

inmunoglobulina G1-kappa, anti-[*Homo sapiens* NGF (nerve growth factor, NGFB, nerve growth factor beta polypeptide)], humanized monoclonal antibody; gamma1 heavy chain humanized (1-451) [VH (*Homo sapiens* IGHV4-38-2*02 (80.6%) - (IGHD) -IGHJ4*01 (100%), CDR-IMGT [8.7.15] (26-33.51-57.96-110)) (1-121) -*Homo sapiens* IGHG1*01 (100%), G1m17.1, CH1 K120, CH3 D12, L14, G1v14 CH2 A1.3, A1.2 (CH1 K120 (218) (122-219), hinge 1-15 (220-234), CH2 L1.3>A (238), L1.2>A (239)(235-344), CH3 D12 (360), L14 (362) (345-449), CHS (450-451)) (122-451)], (224-214')-disulfide with kappa light chain humanized (1'-214') [V-KAPPA (*Homo sapiens* IGKV1-39*01 (86.3%) -IGKJ2*02 (100%), CDR-IMGT [6.3.9] (27-32.50-52.89-97)) (1'-107') -*Homo sapiens* IGKC*01 (100%), Km3, A45.1 (153), V101 (191) (108'-214')]; dimer (230-230":233-233")-bisdisulfide, produced in Chinese hamster ovary (CHO) cells, glycoform alfa
analgesic

luvagobart immunoglobuline G1-kappa, anti-[*Homo sapiens* NGF (facteur de croissance du nerf, NGFB, polypeptide bêta du facteur de croissance du nerf)], anticorps monoclonal humanisé;
chaîne lourde gamma1 humanisée (1-451) [VH (*Homo sapiens* IGHV4-38-2*02 (80.6%) -(IGHD) -IGHJ4*01 (100%), CDR-IMGT [8.7.15] (26-33.51-57.96-110)) (1-121) -*Homo sapiens* IGHG1*01 (100%), G1m17,1, CH1 K120, CH3 D12, L14, G1v14 CH2 A1.3, A1.2 (CH1 K120 (218) (122-219), charnière 1-15 (220-234), CH2 L1.3>A (238), L1.2>A (239)(235-344), CH3 D12 (360), L14 (362) (345-449), CHS (450-451)) (122-451)], (224-214'')-disulfure avec la chaîne légère kappa humanisée (1'-214') [V-KAPPA (*Homo sapiens* IGKV1-39*01 (86.3%) -IGKJ2*02 (100%), CDR-IMGT [6.3.9] (27-32.50-52.89-97)) (1'-107') -*Homo sapiens* IGKC*01(100%), Km3, A45.1 (153), V101 (191) (108'-214'')]; dimère (230-230'':233-233'')-bisdisulfure, produit dans des cellules ovariennes de hamster chinois (CHO), glycoforme alfa
analésique

luvagobart inmunoglobulina G1-kappa, anti-[*Homo sapiens* NGF (factor de crecimiento nervioso, NGFB, polipéptido beta del factor de crecimiento nervioso)], anticuerpo monoclonal humanizado;
cadena pesada gamma1 humanizada (1-451) [VH (*Homo sapiens* IGHV4-38-2*02 (80.6%) -(IGHD) -IGHJ4*01 (100%), CDR-IMGT [8.7.15] (26-33.51-57.96-110)) (1-121) -*Homo sapiens* IGHG1*01 (100%), G1m17,1, CH1 K120, CH3 D12, L14, G1v14 CH2 A1.3, A1.2 (CH1 K120 (218) (122-219), bisagra 1-15 (220-234), CH2 L1.3>A (238), L1.2>A (239)(235-344), CH3 D12 (360), L14 (362) (345-449), CHS (450-451)) (122-451)], (224-214'')-disulfuro con la cadena ligera kappa humanizada (1'-214') [V-KAPPA (*Homo sapiens* IGKV1-39*01 (86.3%) -IGKJ2*02 (100%), CDR-IMGT [6.3.9] (27-32.50-52.89-97)) (1'-107') -*Homo sapiens* IGKC*01(100%), Km3, A45.1 (153), V101 (191) (108'-214'')]; dímero (230-230'':233-233'')-bisdisulfuro, producido en las células ováricas de hamster chino (CHO), forma glicosilada alfa
analésico

2768355-18-4

Heavy chain / Chaîne lourde / Cadena pesada

QVQLQESGPG	LVKPSSETLSL	TCTVSGFDLS	GYDLNWIRQP	PGKGLEWIGI	50
VWGDGSSDYN	SAVKSRVTIS	KDTSKNQFSL	KLSSVTAADT	AVYYCVRGGY	100
WYATSYFFDY	WQGTGLVTVS	SASTKGPSVF	PLAPSSKSTS	GGTAALGCLV	150
KDYFPEPVTV	SWNSGALTS	VHTFFAVLQS	SGLYLSLSSV	TVPSLSTGTQ	200
TYICNVNHKPK	SNTRKVDKQVE	PKSCDKTHTC	PPCPAPEAAG	GPSVFLFPPK	250
PKDTLMISRT	PEVTCVVVDV	SHEDPEVKFN	WYVDGVEVHN	AKTKPREEQY	300
NSTRYRVSVL	TVLHQDWLNG	KEYKCKVSNK	ALPAPIEKTI	SKAKGQPREP	350
QVYTLPPSRD	ELTRKQVSLT	CLVKGFPYPSD	IAVEWESNGQ	PENNYKTPPP	400
VLDSGDSFFL	YSKLTVDKSR	WQQGNVFSCS	VMHEALHNHY	TQKSLSLSPG	450
K					451

Light chain / Chaîne légère / Cadena ligera

DIQMTQSPSS	LSASVGDRTV	ITCRASESIS	SNLNWYQQKP	GKAPKLLIYY	50
TSRFHSGVPS	RFGSGSGSTD	FTFTISLQFP	EDIATYQCQQ	EHTLPFTFGQ	100
GTKLEIKRTV	AAPSVFIIPP	SDEQLKSGTA	SVVCLLNNFY	PREAKVQWVK	150
DNALQSGNSQ	ESVTEQDSKD	STYLSLSTLT	LSKADYEKHK	VYACEVTHQG	200
LSSPVTKSFN	RGEC				214

Post-translational modifications

Disulfide bridges location / Position des ponts disulfure / Posiciones de los puentes disulfuro

Intra-H (C23-C104) 22"-95" 148"-204" 265"-325" 371"-429"
22"-95" 148"-204" 265"-325" 371"-429"

Intra-L (C23-C104) 23"-88" 134"-194"
23"-88" 134"-194"

Inter-H-L (h 5-CL 126) 224"-214" 224"-214"

Inter-H-H (h 11, h 14) 230-230" 233-233"

N-terminal glutaminyl cyclization / Cyclisation du glutaminyle N-terminal /

Ciclación del glutaminilo N-terminal

Q > pyroglutamyl (pE, 5-oxopropyl) / pyroglutamyle (pE, 5-oxopropyle) /

piroglutamilo (pE, 5-oxopropilo)

H VH Q1: 1, 1"

N-glycosylation sites / Sites de N-glycosylation / Posiciones de N-glicosilación

H CH2 N84.4: 301, 301"

Fucosylated complex bi-antennary CHO-type glycans / glycanes de tipo CHO bi-antennarios complejos fucosilados
complexes fucosylés / glicanos de tipo CHO biantennarios complejos fucosilados

C-terminal lysine clipping / Coupeure de la lysine C-terminale / Recorte de lisina C-terminal

H CHS K2: 451, 451"

luxdegalutamidum

luxdegalutamide

(8³S)-N-[(1*r*,3*S*)-3-(4-cyano-3-methoxyphenoxy)-2,2,4,4-tetramethylcyclobutyl]-5³-fluoro-6,8²,8⁶-trioxo-7-aza-4(1,4)-piperazina-2(1,4),8(3)-dipiperidina-1(1),5(1,4)-dibenzenaocaphane-1⁴-carboxamide
antiandrogen, antineoplastic

luxdégalutamide

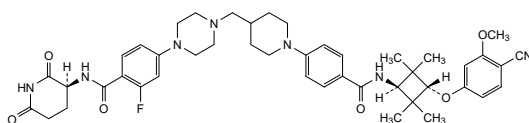
(8³S)-N-[(1*r*,3*S*)-3-(4-cyano-3-méthoxyphénoxy)-2,2,4,4-tétraméthylcyclobutyl]-5³-fluoro-6,8²,8⁶-trioxo-7-aza-4(1,4)-pipérazina-2(1,4),8(3)-dipipéridina-1(1),5(1,4)-dibenzènaocaphane-1⁴-carboxamide
antiandrogène, antinéoplasique

luxdegalutamida

(8³S)-N-[(1*r*,3*S*)-3-(4-clano-3-metoxifenoxi)-2,2,4,4-tetrametilciclobutil]-5³-fluoro-6,8²,8⁶-trioxo-7-aza-4(1,4)-piperazina-2(1,4),8(3)-dipiperidina-1(1),5(1,4)-dibenzenaocafano-1⁴-carboxamida
antineoplásico, antineoplásico

C₄₅H₅₄FN₇O₆

2750830-09-0

**migaldendranibum**

migaldendranib

2-[[1-(1-{5-[(Ξ)-(5-fluoro-2-oxo-1,2-dihydro-3*H*-indol-3-ylidene)methyl]-2,4-dimethyl-1*H*-pyrrol-3-yl]-1,6-dioxo-9,12,15-trioxa-2,5-diazaheptadecan-17-yl)-1*H*-1,2,3-triazol-4-yl]methoxy]ethyl ether with about 11% of hydroxy groups of the regular dendrimer $\alpha, \alpha', \alpha'', \alpha'''$ - (ethylenedinitrilo)tetrakis(ω -hexadecakis{3-[(2-hydroxyethyl)amino]-3-oxopropyl}-*dendro*^{G^d}-[(3-oxopropane-1,3-diyl)azanediylethylenenitrilo])
angiogenesis inhibitor

migaldendranib

éther 2-[[1-(1-{5-[(Ξ)-(5-fluoro-2-oxo-1,2-dihydro-3*H*-indol-3-ylidène)méthyl]-2,4-diméthyl-1*H*-pyrrol-3-yl]-1,6-dioxo-9,12,15-trioxa-2,5-diazaheptadécan-17-yl)-1*H*-1,2,3-triazol-4-yl]méthoxy]éthyléther avec approximativement 11% de groupes terminaux hydroxy du dendrimère régulier $\alpha, \alpha', \alpha'', \alpha'''$ - (éthylènedinitrilo)tétrakis(ω -hexadécakis{3-[(2-hydroxyéthyl)amino]-3-oxopropyl}-*dendro*^{G^d}-[(3-oxopropane-1,3-diyl)azanediylethylenenitrilo])
inhibiteur de l'angiogénèse

migaldendranib

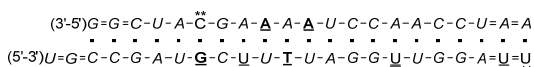
éter 2-[[1-(1-{5-[(Ξ)-(5-fluoro-2-oxo-1,2-dihidro-3*H*-indol-3-ylideno)metil]-2,4-dimetil-1*H*-pirrol-3-il]-1,6-dioxo-9,12,15-trioxa-2,5-diazaheptadecan-17-il)-1*H*-1,2,3-triazol-4-il]metoxi]etilico con aproximadamente

méthyluridylyl-(3'→5')-2'-O-méthylcytidylyl-(3'→5')-2'-O-méthylcytidylyl-(3'→5')-2'-O-méthyladénylyl-(3'→5')-2'-O-méthyladénylyl-(3'→5')-2'-O-méthylcytidylyl-(3'→5')-2'-O-méthylcytidylyl-(3'→5')-2'-O-méthyl-*P*-thiouridylyl-(3'→5')-2'-O-méthyl-*P*-thioadénylyl-(3'→5')-2'-O-méthyladénosine duplex avec *tout-P-ambo-2'-O-méthyl-P-thiouridylyl-(5'→3')-2'-O-méthyl-P-thioguanilyl-(5'→3')-2'-O-méthylcytidylyl-(5'→3')-2'-O-méthylcytidylyl-(5'→3')-2'-O-méthylguanylyl-(5'→3')-2'-O-méthyladénylyl-(5'→3')-2'-O-méthyluridylyl-(5'→3')-2'-désoxyguanylyl-(5'→3')-2'-O-méthylcytidylyl-(5'→3')-2'-désoxy-2'-fluorouridylyl-(5'→3')-2'-O-méthyluridylyl-(5'→3')-thymidylyl-(5'→3')-2'-O-méthyluridylyl-(5'→3')-2'-O-méthyladénylyl-(5'→3')-2'-O-méthylguanylyl-(5'→3')-2'-O-méthylguanylyl-(5'→2')-1-dé-β-D-ribofuranosyl-1-[(2S)-2,3-dihydroxypropyl]-5-méthyluridylyl-(3'→3')-2'-O-méthyluridylyl-(5'→3')-2'-O-méthylguanylyl-(5'→3')-2'-O-méthylguanylyl-(5'→3')-2'-O-méthyl-*P*-thioadénylyl-(5'→3')-2'-désoxy-2'-fluoro-*P*-thiouridylyl-(5'→3')-1-dé-β-D-ribofuranosyl-1-[(2R,3R,4R,5R)-5-[(1E)-2-phosphonoéthén-1-yl]-4-hydroxy-3-méthoxyoxolan-2-yl]uridine* réducteur de la synthèse de la protéine précurseur de l'amyloïde (PPA)

mivelsirán

*todo-P-ambo-2'-O-metil-P-tioguanilil-(3'→5')-2'-O-metil-P-tioguanilil-(3'→5')-2'-O-metilcitudilil-(3'→5')-2'-O-metiluridilil-(3'→5')-2'-O-metiladenilil-(3'→5')-2'-O-hexadecilcitudilil-(3'→5')-2'-O-metilguanilil-(3'→5')-2'-O-metiladenilil-(3'→5')-2'-desoxiadenilil-(3'→5')-2'-O-metiladenilil-(3'→5')-2'-desoxiadenilil-(3'→5')-2'-O-metiluridilil-(3'→5')-2'-O-metilcitudilil-(3'→5')-2'-O-metiladenylyl-(3'→5')-2'-O-metiladenilil-(3'→5')-2'-O-metilcitudilil-(3'→5')-2'-O-metilcitudilil-(3'→5')-2'-O-metil-*P*-tiouridilil-(3'→5')-2'-O-metil-*P*-tioadenilil-(3'→5')-2'-O-metiladenosina* dúplex con *todo-P-ambo-2'-O-metil-P-tiouridilil-(5'→3')-2'-O-metil-P-tioguanilil-(5'→3')-2'-O-metilcitudilil-(5'→3')-2'-O-metilguanilil-(5'→3')-2'-O-metiladenilil-(5'→3')-2'-O-metiluridilil-(5'→3')-2'-desoxiguanilil-(5'→3')-2'-O-metilcitudilil-(5'→3')-2'-desoxi-2'-fluorouridilil-(5'→3')-2'-O-metiluridilil-(5'→3')-timidilil-(5'→3')-2'-O-metiluridilil-(5'→3')-2'-O-metiladenilil-(5'→3')-2'-O-metilguanilil-(5'→3')-2'-O-metilguanilil-(5'→2')-1-des-β-D-ribofuranosil-1-[(2S)-2,3-dihidroxiopropil]-5-metiluridilil-(3'→3')-2'-O-metiluridilil-(5'→3')-2'-O-metilguanilil-(5'→3')-2'-O-metilguanilil-(5'→3')-2'-O-metil-*P*-tioadenilil-(5'→3')-2'-desoxi-2'-fluoro-*P*-tiouridilil-(5'→3')-1-des-β-D-ribofuranosil-1-[(2R,3R,4R,5R)-5-[(1E)-2-fosfonoeten-1-il]-4-hidroxi-3-metoxioxolan-2-il]uridina* reductor de la síntesis de la proteína precursora amyloidea (PPA)

2572991-83-2



N: A,C,G,T,U

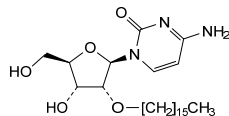
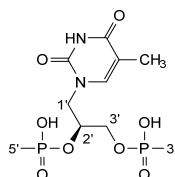
N: 2'-O-methyl-N / 2'-O-méthyl-N / 2'-O-metil-N

N: 2'-deoxy-N / 2'-désoxy-N / 2'-desoxi-N

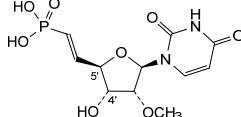
N: 2'-deoxy-2'-fluoro-N / 2'-désoxy-2'-fluoro-N / 2'-desoxi-2'-fluoro-N

- : -PO(OH)- = : -PO(SH)-

C* :

5'-2 $\overset{\underline{U}}$ 3'-3' :

U* :

**monlunabantum**

monlunabant

N-(*N*-{(Ξ)-[(4*S*)-3-(4-chlorophenyl)-4-phenyl-4,5-dihydro-1*H*-pyrazol-1-yl][4-(trifluoromethyl)benzene-1-sulfonamido]methylidene}carbamiimidoyl)acetamide *cannabinoid-1* (CB1) receptor inverse agonist

monlunabant

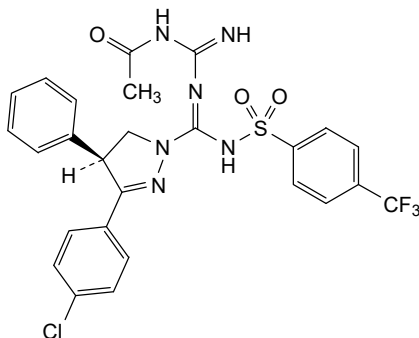
N-(*N*-{(Ξ)-[(4*S*)-3-(4-chlorophényl)-4-phényl-4,5-dihydro-1*H*-pyrazol-1-yl][4-(trifluorométhy)benzène-1-sulfonamido]méthylidène}carbamiimidoyl)acétamide agoniste inverse du récepteur des cannabinoïdes de type 1 (CB1)

monlunabant

N-(*N*-{(Ξ)-[(4*S*)-3-(4-clorofenil)-4-fenil-4,5-dihidro-1*H*-pirazol-1-il][4-(trifluorometil)benzeno-1-sulfonamido]metilideno}carbamiimidoyl)acetamida agonista inverso del receptor de los cannabinoïdes de tipo 1 (CB1)

C₂₆H₂₂ClF₃N₆O₃S

2712480-46-9



mosnodenvirum

mosnodenvir

(2*S*)-2-(4-chloro-2-methoxyphenyl)-2-[3-(methanesulfonyl)-5-methoxyanilino]-1-[5-(trifluoromethoxy)-1*H*-indol-3-yl]ethan-1-one
antiviral

mosnodenvir

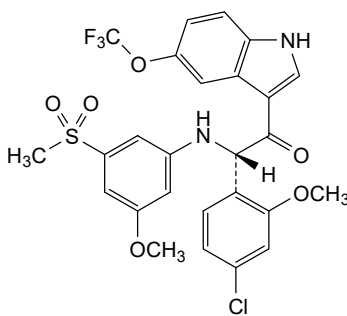
(2*S*)-2-(4-chloro-2-méthoxyphényl)-2-[3-(méthanesulfonyl)-5-méthoxyanilino]-1-[5-(trifluorométhoxy)-1*H*-indol-3-yl]éthan-1-one
antiviral

mosnodenvir

(2*S*)-2-(4-cloro-2-metoxifenil)-2-[3-(metanosulfonil)-5-metoxianilino]-1-[5-(trifluorometoxi)-1*H*-indol-3-il]etan-1-ona
antiviral

C₂₆H₂₂ClF₃N₂O₆S

2043343-94-6

**nedometinibum**

nedometinib

2-(2-fluoro-4-iodoanilino)-*N*-(2-hydroxyéthoxy)-1-méthyl-1*H*-pyrrolo[2,3-*b*]pyridine-3-carboxamide
tyrosine kinase inhibitor, antineoplastique

nédométinib

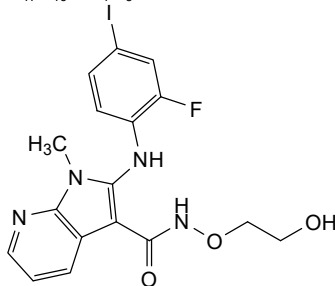
2-(2-fluoro-4-iodoanilino)-*N*-(2-hydroxyéthoxy)-1-méthyl-1*H*-pyrrolo[2,3-*b*]pyridine-3-carboxamide
inhibiteur de tyrosine kinase, antinéoplasique

nedometinib

2-(2-fluoro-4-iodoanilino)-*N*-(2-hidroxiétoxi)-1-metil-1*H*-pirrolo[2,3-*b*]piridina-3-carboxamida
inhibidor de la tirosina kinasa, antineoplásico

C₁₇H₁₆FIN₄O₃

2252314-46-6



negalstobartum

negalstobart

immunoglobulin G4-kappa, anti-[*Homo sapiens* LAG3 (lymphocyte activating 3, lymphocyte-activation 3, CD223)], *Homo sapiens* monoclonal antibody; gamma4 heavy chain *Homo sapiens* (1-446) [VH (*Homo sapiens*IGHV4-39*01 (96.0%) -(IGHD) -IGHJ3*02 (100%), CDR-IMGT [10.7.12] (26-35.53-59.98-109)) (1-120)-*Homo sapiens*IGHG4*01, *nG4m(a)* CH2 L92, G4v5 h P10, G4v4 CH2 A1.3, A1.2 (CH1 (121-218), hinge 1-12 S10>P (228) (219-230), CH2 F1.3>A (234), L1.2>A (235), L92 (309) (231-340), CH3 (341-445), CHS K2>del (446)) (121-446)], (134-215')-disulfide with kappa light chain *Homo sapiens* (1'-215') [V-KAPPA (*Homo sapiens*IGKV1-33*01 (96.8%) -IGKJ4*01 (100%), CDR-IMGT [6.3.10] (27'-32'.50'-52'.89'-98')) (1'-108') -*Homo sapiens*IGKC*01 (100%), Km3 A45.1 (154'), V101 (192') (109'-215')]; dimer (226-226":229-229")-bisdisulfide, produced in Chinese hamster ovary (CHO)-K1SV cell line lacking the glutamine synthetase gene (GS-KO), glycoform alfa
immunostimulant, antineoplastic

négalstobart

immunoglobuline G4-kappa, anti-[*Homo sapiens* LAG3 (activateur 3 des lymphocytes, lymphocyte-activation 3, CD223)], anticorps monoclonal *Homo sapiens*; chaîne lourde gamma4 *Homo sapiens* (1-446) [VH (*Homo sapiens*IGHV4-39*01 (96.0%) -(IGHD) -IGHJ3*02 (100%), CDR-IMGT [10.7.12] (26-35.53-59.98-109)) (1-120)-*Homo sapiens*IGHG4*01, *nG4m(a)* CH2 L92, G4v5 h P10, G4v4 CH2 A1.3, A1.2 (CH1 (121-218), charnière 1-12 S10>P (228) (219-230), CH2 F1.3>A (234), L1.2>A (235), L92 (309) (231-340), CH3 (341-445), CHS K2>del (446)) (121-446)], (134-215')-disulfure avec la chaîne légère kappa *Homo sapiens* (1'-215') [V-KAPPA (*Homo sapiens*IGKV1-33*01 (96.8%) -IGKJ4*01 (100%), CDR-IMGT [6.3.10] (27'-32'.50'-52'.89'-98')) (1'-108') -*Homo sapiens*IGKC*01 (100%), Km3 A45.1 (154'), V101 (192') (109'-215')]; dimère (226-226":229-229")-bisdisulfure, produit dans des cellules ovariennes de hamster chinois (CHO) lignée cellulaire CHO-K1SV ne présentant pas le gène de la glutamine synthétase (GS-KO), glycoforme alfa
immunostimulant, antinéoplasique

negalstobart

inmunoglobulina G4-kappa, anti-[*Homo sapiens* LAG3 (activador 3 de los linfocitos, linfocito-activación 3, CD223)], anticuerpo monoclonal *Homo sapiens*; cadena pesada gamma4 *Homo sapiens* (1-446) [VH (*Homo sapiens*IGHV4-39*01 (96.0%) -(IGHD) -IGHJ3*02 (100%), CDR-IMGT [10.7.12] (26-35.53-59.98-109)) (1-120)-*Homo sapiens*IGHG4*01, *nG4m(a)* CH2 L92, G4v5 h P10, G4v4 CH2 A1.3, A1.2 (CH1 (121-218), bisagra 1-12 S10>P (228) (219-230), CH2 F1.3>A (234), L1.2>A (235), L92 (309) (231-340), CH3 (341-445), CHS K2>del (446)) (121-446)], (134-215')-disulfuro con la cadena ligera kappa *Homo sapiens* (1'-215') [V-KAPPA (*Homo sapiens*IGKV1-33*01 (96.8%) -IGKJ4*01 (100%), CDR-IMGT [6.3.10] (27'-32'.50'-52'.89'-98')) (1'-108') -*Homo sapiens*IGKC*01 (100%), Km3 A45.1 (154'), V101 (192') (109'-215')]; dímero (226-226":229-229")-bisdisulfuro, producido en las células ováricas de hamster chino (CHO) línea celular CHO-K1SV en ausencia del gen glutamina sintetasa (GS-KO), forma glicosilada alfa
inmunostimulante, antineoplásico

2360418-68-2

Heavy chain / Chaîne lourde / Cadena pesada
 QLQLQESGPG LVKPSSETLSL TCTVSGGSIY SESYYWGWIR QPPGKLEWI 50
 GSIIVYSGYTY YNPSLKSRTV ISVDTSKNQF SLKLSSTVAA DTAVYYCARV 100
 RTWDAAFDIW GQGTMTVTVSS ASTKGPSVFP LAPCSRSTSE STAAALGCLVK 150
 DYFPEFVTVS WNSGALTSGV HTFPAVLQSS GLYLSLSSVVT VPSSSLGKT 200
 YTCNVDPKPS NTKVDRKVES KYGPPCPPCF APEAAGGPSV FLFPPKPKDT 250
 LMISRTPEVT CVVVDVSDQD PEVQFNWYVD GVEVHNARKT PREEQFNSTY 300
 RVVSVLTVLH QDWLNGKEYK CKVSNKGLPS SIEKTISKAK GQPREPQVYT 350
 LPPSQEEMTK NQVSLTCLVK GFYPSDIAVE WESNGQPENN YKTTTPVLD 400
 DGSFFLYSRL TVDKSRWQEG NVEFSCVMHE ALHNYTQKS LLSLSLG 446

Light chain / Chaîne légère / Cadena ligera
 DIQMTQSPSS LSASVGDRTV ITCQASQDIS NYLWNVYQKPK GKAPKLLIYD 50
 ASNLETGVPV RFGSGSGSDT FTFTISLQF EDIATYYCQQ VLELPPWTFG 100
 GGGKVEIKRT VAAPSVFIFP PSDEQLKSGT ASVVCLLNMF YPREAKVQMK 150
 VDNALQSGNS QESVTEQDSK DSTYSLSTL TLSKADYEKH KUYACEVTHQ 200
 GLSSPVTKSF NRGEC 215

Post-translational modifications

Disulfide bridges location / Position des ponts disulfure / Posiciones de los puentes disulfuro

Intra-H (C23-C104) 22-97 147-203 261-321 367-425
 22"-97" 147"-203" 261"-321" 367"-425"

Intra-L (C23-C104) 23'-88' 135'-195'
 23"'-88"" 135"'-195""

Inter-H-L (CH1 10-CL 126) 134-215' 134"-215"

Inter-H-H (h 8, h 11) 226-226' 229-229"

N-terminal glutaminyl cyclization / Cyclisation du glutaminyle N-terminal /

Ciclación del glutaminilo N-terminal

Q > pyroglutamyl (pE, 5-oxoprolyl) / pyroglutamyle (pE, 5-oxoprolyle) /

piroglutamilo (pE, 5-oxoprolylo)

H VH Q1: 1, 1"

N-glycosylation sites / Sites de N-glycosylation / Posiciones de N-glicosilación

H CH2 N84.4: 297, 297"

Fucosylated complex bi-antennary CHO-type glycans / glycanes de type CHO bi-antennaires

complexes fucosylés / glicanos de tipo CHO biantennarios complejos fucosilados.

nelmastobartum #
 nelmastobart

immunoglobulin G4-kappa, anti-[*Homo sapiens* BTN1A1 (butyrophilin subfamily 1 member A1)], humanized monoclonal antibody; gamma4 heavy chain humanized(1-452) [VH (*Homo sapiens* IGHV1-46*01 (84.7%) -(IGHD) -IGHJ3*01 (92.9%) M123>T (120), CDR-IMGT [8.8.18] (26-33.51-58.97-114)) (1-125)-*Homo sapiens* IGHG4*01, nG4m(a) CH2 L92, G4v5 h P10 (CH1 (126-223), hinge 1-12 S10>P (233) (224-235), CH2 L92 (314) (236-345), CH3 (346-450), CHS (451-452)) (126-452)], (139-214')-disulfide with kappa light chain humanized(1'-214') [V-KAPPA (*Homo sapiens* IGKV1-33*01 (85.3%) -IGKJ2*01 (90.9%) K123>E (103'), CDR-IMGT [6.3.9] (27'-32'.50'-52'.89'-97')) (1'-107') -*Homo sapiens* IGKC*01 (100%), Km3 A45.1 (153'), V101 (191') (108'-214')]; dimer (231-231":234-234")-bisdisulfide, produced in a Chinese hamster ovary (CHO)-derived cell line lacking the glutamine synthetase (GS-KO) gene, glycoform alfa
immunostimulant, antineoplastic

nelmastobart

immunoglobuline G4-kappa, anti-[*Homo sapiens* BTN1A1 (membre A1 de la sous-famille 1 de la butyrophiline)], anticorps monoclonal humanisé; chaîne lourde gamma4 humanisée (1-452) [VH (*Homo sapiens* IGHV1-46*01 (84.7%) -(IGHD) -IGHJ3*01 (92.9%) M123>T (120), CDR-IMGT [8.8.18] (26-33.51-58.97-114)) (1-125)-*Homo sapiens* IGHG4*01, nG4m(a) CH2 L92, G4v5 h P10 (CH1 (126-223), charnière 1-12 S10>P (233) (224-235), CH2 L92 (314) (236-345), CH3 (346-450), CHS (451-452)) (126-452)], (139-214')-disulfure avec la chaîne légère kappa humanisée (1'-214') [V-KAPPA (*Homo sapiens* IGKV1-33*01 (85.3%) -IGKJ2*01 (90.9%) K123>E (103'), CDR-IMGT [6.3.9] (27'-32'.50'-52'.89'-97')) (1'-107') -*Homo sapiens* IGKC*01 (100%), Km3 A45.1 (153'), V101 (191') (108'-214')]; dimère (231-231":234-234")-bisdisulfure, produite dans une lignée cellulaire dérivée des cellules ovariennes de hamster chinois (CHO) ne présentant pas le gène de la glutamine synthétase (GS-KO), glycoforme alfa
immunostimulant, antinéoplasique

nelmastobart

inmunoglobulina G4-kappa, anti-[*Homo sapiens* BTN1A1 (miembro A1 de la subfamilia 1 de la butirofilina)], anticuerpo monoclonal humanizado;
 cadena pesada gamma4 humanizada (1-452) [VH (*Homo sapiens* IGHV1-46*01 (84.7%) -(IGHD) -IGHJ3*01 (92.9%) M123>T (120), CDR-IMGT [8.8.18] (26-33.51-58.97-114)) (1-125)-*Homo sapiens* IGHG4*01, *nG4m(a)* CH2 L92, G4v5 h P10 (CH1 (126-223), bisagra 1-12 S10>P (233) (224-235), CH2 L92 (314) (236-345), CH3 (346-450), CHS (451-452)) (126-452)], (139-214')-disulfuro con la cadena ligera kappa humanizada (1'-214') [V-KAPPA (*Homo sapiens* IGKV1-33*01 (85.3%) -IGKJ2*01 (90.9%) K123>E (103'), CDR-IMGT [6.3.9] (27'-32'.50'-52'.89'-97'')) (1'-107') -*Homo sapiens* IGKC*01 (100%), Km3 A45.1 (153'), V101 (191') (108'-214')]; dímero (231-231'''-234-234''')-bisdisulfuro, producido en una línea celular derivada de las células ováricas de hámster chino (CHO) en ausencia del gen glutamina sintetasa (GS-KO), forma glicosilada alfa *inmunoestimulante, antineoplásico*

2669823-48-5

Heavy chain / Chaîne lourde / Cadena pesada

QVQLVQSGAE	VKKPGASVKV	SCKASGYTFT	HYNMDWVRQA	PGQGLEWIGY	50
IYPSNGGTGY	NQKFKSRVTM	TVDKSTSTAY	MELSSLRSED	TAVYYCARGA	100
YHYGSSYAYW	YFDVWVGQGT	VTVSSASTKG	PSVFLAPCS	RSTSESTAAL	150
GCLVKDYFPE	PVTVSWNSGA	LTSGVHTFPA	VLQSSGLYSL	SSVVTVPSSS	200
LGTKTYTCNV	DHKPSNTKVD	KRVESKYGPP	CPPCPAPEFL	GGPSVFLFPP	250
KPKDTLMISR	TPEVTCVVVD	VSQEDPEVQF	NWYVDGVEVH	NAKTKPREEQ	300
FNSTYRVVSV	LTVLHQDWLN	GKEYKCKVSN	KGLPSSIEKT	ISKAKQPRE	350
PQVYTLPPSQ	EEMTKNQVSL	TCLVKGFYPS	DIAVEWESNG	QPENNYKTFP	400
PVLDSDGSEF	LYSRLTVDKS	RWQEGNVFSC	SVMHEALHNN	YTQKSLSLSL	450
GK					452

Light chain / Chaîne légère / Cadena ligera

DIQMTQSPSS	LSASVGDRTV	ITCSASQDIS	NYLNWYQQKQ	GKAVKLLISY	50
TSSLHSGVPS	RFSGSGSGTD	YTFITISLQP	EDIATYYCQQ	SSKLPFTFGQ	100
GTELEIKRTV	AAPSVFIFPP	SDEQLKSGTA	SVVCLLNNFY	PREAKVQWKV	150
DNALQSGNSQ	ESVTEQDSKD	STYSLSTLT	LSKADYEKHK	VYACEVTHQG	200
LSSPVTKSFN	RGEC				214

Post-translational modifications

Disulfide bridges location / Position des ponts disulfure / Posiciones de los puentes disulfuro

Intra-H (C23-C104)	22-96	152-208	266-326	372-430
	22''-96''	152''-208''	266''-326''	372''-430''
Intra-L (C23-C104)	23'-88'	134'-194'		
	23'''-88'''	134'''-194'''		
Inter-H-L (CH1 10-CL 126)	139-214'	139''-214''		
Inter-H-H (h 8, h 11)	231-231''	234-234''		

N-terminal glutaminyl cyclization / Cyclisation du glutaminyle N-terminal /

Ciclación del glutaminilo N-terminal

Q > pyroglutamyl (pE, 5-oxoprolyl) / pyroglutamyle (pE, 5-oxoprolyle) /

piroglutamilo (pE, 5-oxoprolilo)

H VH Q1: 1, 1''

N-glycosylation sites / Sites de N-glycosylation / Posiciones de N-glicosilación

H CH2 N84.4: 302, 302''

Fucosylated complex bi-antennary CHO-type glycans / glycanes de type CHO bi-antennaire complexes fucosylés / glicanos de tipo CHO biantenarios complejos fucosilados.

C-terminal lysine clipping / Coupeure de la lysine C-terminale / Recorte de lisina C-terminal

H CHS K2: 452, 452''

nerandomilastum
 nerandomilast

(5R)-2-[4-(5-chloropyrimidin-2-yl)piperidin-1-yl]-4-[[1-(hydroxymethyl)cyclobutyl]amino]-6,7-dihydro-5H-5λ⁴-thieno[3,2-d]pyrimidin-5-one
phosphodiesterase 4 (PDE4) inhibitor, antifibrotic

Proposed INN: List 129

WHO Drug Information, Vol. 37, No. 2, 2023

nérandomilast

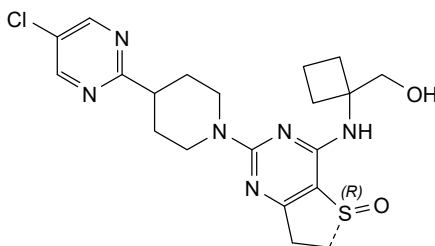
(5*R*)-2-[4-(5-chloropyrimidin-2-yl)piperidin-1-yl]-4-[[1-(hydroxyméthyl)cyclobutyl]amino]-6,7-dihydro-5*H*-5λ⁴-thiéno[3,2-*d*]pyrimidin-5-one
*inhibiteur de la phosphodiesterase 4 (PDE4),
antifibrotique*

nerandomilast

(5*R*)-2-[4-(5-cloropirimidin-2-il)piperidin-1-il]-4-[[1-(hidroximetil)ciclobutil]amino]-6,7-dihidro-5*H*-5λ⁴-tieno[3,2-*d*]pirimidin-5-ona
inhibidor de la fosfodiesterasa 4 (PDE4), antifibrótico

C₂₀H₂₅ClN₆O₂S

1423719-30-5



nerigliatinum
nerigliatin

N,N-dimethyl-5-({2-méthyl-6-[(5-méthylpyrazin-2-yl)carbamoyl]-1-benzofuran-4-yl}oxy)pyrimidine-2-carboxamide
antihyperglycaemic

nérigliatine

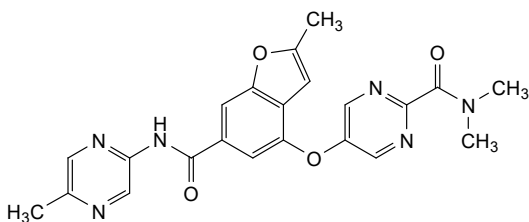
N,N-diméthyl-5-({2-méthyl-6-[(5-méthylpyrazin-2-yl)carbamoyl]-1-benzofuran-4-yl}oxy)pyrimidine-2-carboxamide
antihyperglycémiant

nerigliatina

N,N-dimetil-5-({2-metil-6-[(5-metilpirazin-2-il)carbamoil]-1-benzofuran-4-il}oxi)pirimidina-2-carboxamida
antihiperglucemiante

C₂₂H₂₀N₆O₄

1245603-92-2



nesvategrastum
nesvategrast

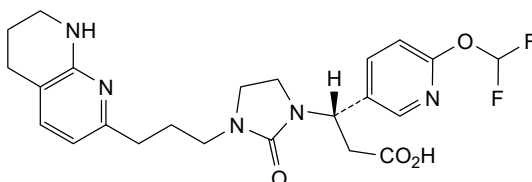
(3*S*)-3-[6-(difluoromethoxy)pyridin-3-yl]-3-[2-oxo-3-[3-(5,6,7,8-tetrahydro-1,8-naphthyridin-2-yl)propyl]imidazolidin-1-yl]propanoic acid
integrin inhibitor

nesvatégrast acide (3*S*)-3-[6-(difluorométhoxy)pyridin-3-yl]-3-{2-oxo-3-[3-(5,6,7,8-tétrahydro-1,8-naphtyridin-2-yl)propyl]imidazolidin-1-yl}propanoïque
inhibiteur de l'intégrine

nesvategrast ácido (3*S*)-3-[6-(difluorometoxi)piridin-3-il]-3-{2-oxo-3-[3-(5,6,7,8-tetrahydro-1,8-naftiridin-2-il)propil]imidazolidin-1-il}propanoico
inhibidor de la integrina

C₂₃H₂₇F₂N₅O₄

1621332-91-9

**nevadistinelum**

nevadistinel

(4*S*)-2-[(4-methoxyphenyl)méthyl]-2,7-diazaspiro[3.5]nonane-1,6-dione
N-méthyl-D-aspartate (NMDA) receptor positive allosteric modulator

névadistinel

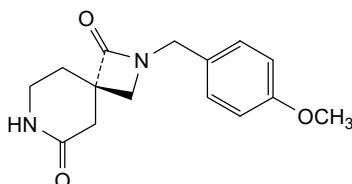
(4*S*)-2-[(4-méthoxyphényl)méthyl]-2,7-diazaspiro[3.5]nonane-1,6-dione
modulateur allostérique positif du récepteur du N-méthyl-D-aspartate (NMDA)

nevadistinel

(4*S*)-2-[(4-metoxifenil)metil]-2,7-diazaspiro[3.5]nonano-1,6-diona
modulador alostérico positivo del receptor de N-metil-D-aspartato (NMDA)

C₁₅H₁₈N₂O₃

2181816-92-0

**nezastomigum #**

nezastomig

immunoglobulin G4-kappa, anti-[*Homo sapiens* FOLH1 (folate hydrolase, prostate specific membrane antigen, PSMA)] and anti-[*Homo sapiens* CD28 (T cell specific surface glycoprotein CD28, TP44)], *Homo sapiens* monoclonal antibody, bispecific, bivalent;

gamma4 heavy chain anti-FOLH1 *Homo sapiens* (1-450) [VH (*Homo sapiens* IGHV3-30*03 (90.8%) -(IGHD) -IGHJ4*01 (100%), CDR-IMGT [8.8.17] (26-33.51-58.97-113)) (1-124)-*Homo sapiens* IGHG4*01, G4v5 h P10,nG4m(a) CH2 L92, G4v7 CH2 delE1.4, P1.3, V1.2, A1.1 (CH1 (125-222), hinge 1-12 S10>P (232) (223-234), CH2 E1.4>del, F1.3>P (237), L1.2>V (238), G1.1>A (239), L92 (312) (235-343), CH3 (344-448), CHS (449-450)) (125-450)], (138-215')-disulfide with kappa light chain *Homo sapiens* (1'-215') [V-KAPPA (*Homo sapiens* IGKV3-20*01 (100%) -IGKJ1*01 (100%), CDR-IMGT [7.3.9] (27'-33'.51'-53'.90'-98')) (1'-108') -*Homo sapiens* IGKC*01 (100%), Km3 A45.1 (154'), V101 (192') (109'-215')];

gamma4 heavy chain anti-CD28 *Homo sapiens* (1"-448") [VH (*Homo sapiens* IGHV4-59*01 (96.9%) - (IGHD) -IGHJ6*01 (100%), CDR-IMGT [8.7.16] (26"-33".51"-57".96"-111")) (1"-122")-*Homo sapiens* IGHG4*01, G4v5 h P10,nG4m(a) CH2 L92, G4v7 CH2 delE1.4, P1.3, V1.2, A1.1, G4v8 CH3 R115, F116, P125 (CH1 (123"-220"), hinge 1-12 S10>P (230") (221"-232"), CH2 E1.4>del, F1.3>P (235"), L1.2>V (236"), G1.1>A (237"), L92 (310") (233"-341"), CH3 H115>R (436"), Y116>F (437"), L125>P (446") (342"-446"), CHS (447"-448")) (123"-448"), (136"-215'")-disulfide with kappa light chain *Homo sapiens* (1'"-215'") [V-KAPPA (*Homo sapiens* IGKV3-20*01 (100%) -IGKJ1*01 (100%), CDR-IMGT [7.3.9] (27'"-33'" .51'"-53'" .90'"-98'")) (1'"-108'") -*Homo sapiens* IGKC*01 (100%), Km3 A45.1 (154'"), V101 (192'") (109'"-215'"); dimer (230-228":233-231")-bisdisulfide, produced in Chinese hamster ovary (CHO) cells, glycoform alfa *immunostimulant, antineoplastic*

nézastomig

immunoglobuline G4-kappa, anti-[*Homo sapiens* FOLH1 (folate hydrolase, antigène membranaire spécifique de la prostate, PSMA)] et anti-[*Homo sapiens* CD28 (glycoprotéine de surface CD28 spécifique des cellules T, TP44)], anticorps monoclonal *Homo sapiens*, bispécifique, bivalent;

chaîne lourde gamma4 anti-FOLH1 *Homo sapiens* (1-450) [VH (*Homo sapiens* IGHV3-30*03 (90.8%) -(IGHD) -IGHJ4*01 (100%), CDR-IMGT [8.8.17] (26-33.51-58.97-113)) (1-124)-*Homo sapiens* IGHG4*01, G4v5 h P10,nG4m(a) CH2 L92, G4v7 CH2 delE1.4, P1.3, V1.2, A1.1 (CH1 (125-222), charnière 1-12 S10>P (232) (223-234), CH2 E1.4>del, F1.3>P (237), L1.2>V (238), G1.1>A (239), L92 (312) (235-343), CH3 (344-448), CHS (449-450)) (125-450)], (138-215')-disulfure avec la chaîne légère kappa *Homo sapiens* (1'-215') [V-KAPPA (*Homo sapiens* IGKV3-20*01 (100%) -IGKJ1*01 (100%), CDR-IMGT [7.3.9] (27'-33'.51'-53'.90'-98')) (1'-108') -*Homo sapiens* IGKC*01 (100%), Km3 A45.1 (154'), V101 (192') (109'-215')];

chaîne lourde gamma4 anti-CD28 *Homo sapiens* (1"-448") [VH (*Homo sapiens* IGHV4-59*01 (96.9%) - (IGHD) -IGHJ6*01 (100%), CDR-IMGT [8.7.16] (26"-33".51"-57".96"-111")) (1"-122")-*Homo sapiens*

nezastomig

IGHG4*01, G4v5 h P10,nG4m(a) CH2 L92, G4v7 CH2 delE1.4, P1.3, V1.2, A1.1, G4v8 CH3 R115, F116, P125 (CH1 (123"-220"), charnière 1-12 S10>P (230") (221"-232"), CH2 E1.4>del, F1.3>P (235"), L1.2>V (236"), G1.1>A (237"), L92 (310") (233"-341"), CH3 H115>R (436"), Y116>F (437"), L125>P (446") (342"-446"), CHS (447"-448")) (123"-448")), (136"-215")-disulfure avec la chaîne légère kappa *Homo sapiens* (1"-215") [V-KAPPA (*Homo sapiens* IGKV3-20*01 (100%) -IGKJ1*01 (100%), CDR-IMGT [7.3.9] (27"-33".51"-53".90"-98")) (1"-108") -*Homo sapiens* IGKC*01 (100%), Km3 A45.1 (154"), V101 (192") (109"-215")]; dimère (230-228":233-231")-bisdisulfure, produit dans des cellules ovariennes de hamster chinois (CHO), glycoforme alfa
immunostimulant, antinéoplasique

immunoglobulina G4-kappa, anti-[*Homo sapiens* FOLH1 (folato hidrolasa, antígeno membranario específica de la próstata, PSMA)] y anti-[*Homo sapiens* CD28 (glicoproteína de superficie CD28 específica de las células T, TP44)], anticuerpo monoclonal *Homo sapiens*, biespecífico, bivalente; cadena pesada gamma4 anti-FOLH1 *Homo sapiens* (1-450) [VH (*Homo sapiens*IGHV3-30*03 (90.8%) - (IGHD) -IGHJ4*01 (100%), CDR-IMGT [8.8.17] (26-33.51-58.97-113)) (1-124)-*Homo sapiens* IGHG4*01, G4v5 h P10,nG4m(a) CH2 L92, G4v7 CH2 delE1.4, P1.3, V1.2, A1.1 (CH1 (125-222), bisagra 1-12 S10>P (232) (223-234), CH2 E1.4>del, F1.3>P (237), L1.2>V (238), G1.1>A (239), L92 (312) (235-343), CH3 (344-448), CHS (449-450)) (125-450)], (138-215")-disulfuro con la cadena ligera kappa *Homo sapiens* (1'-215') [V-KAPPA (*Homo sapiens* IGKV3-20*01 (100%) - IGKJ1*01 (100%), CDR-IMGT [7.3.9] (27'-33'.51'-53'.90'-98')) (1'-108') -*Homo sapiens* IGKC*01 (100%), Km3 A45.1 (154'), V101 (192') (109'-215')]; cadena pesada gamma4 anti-CD28 *Homo sapiens* (1"-448") [VH (*Homo sapiens* IGHV4-59*01 (96.9%) - (IGHD) -IGHJ6*01 (100%), CDR-IMGT [8.7.16] (26"-33".51"-57".96"-111")) (1"-122")]-*Homo sapiens* IGHG4*01, G4v5 h P10,nG4m(a) CH2 L92, G4v7 CH2 delE1.4, P1.3, V1.2, A1.1, G4v8 CH3 R115, F116, P125 (CH1 (123"-220"), bisagra 1-12 S10>P (230") (221"-232"), CH2 E1.4>del, F1.3>P (235"), L1.2>V (236"), G1.1>A (237"), L92 (310") (233"-341"), CH3 H115>R (436"), Y116>F (437"), L125>P (446") (342"-446"), CHS (447"-448")) (123"-448")), (136"-215")-disulfuro con la cadena ligera kappa *Homo sapiens* (1"-215") [V-KAPPA (*Homo sapiens* IGKV3-20*01 (100%) -IGKJ1*01 (100%), CDR-IMGT [7.3.9] (27"-33".51"-53".90"-98")) (1"-108") -*Homo sapiens* IGKC*01 (100%), Km3 A45.1 (154"), V101 (192") (109"-215")]; dímero (230-228":233-231")-bisdisulfuro, producido en las células ováricas de hámster chino (CHO), forma glicosilada alfa
inmunostimulante, antineoplásico

Heavy chain / Chaîne lourde / Cadena pesada: anti-FOLHI (H)

QVQLVESGGG VVQPGRSRLR SCAASGFTFS SYGMHWVRQA PGKLEWVAF 50
 MSYDGSNKFY SDSVKGRTFT SRDNRKMLF LQMNLRAD TAVYCARDQ 100
 YYDFLTDHGV FDYWGQGLTV TVSSASTKGP SVFPLAPCSR STSESTAALG 150
 CLVKDYFPEP VTVSWNSGAL TSGVHTFPAV LQSSGLYLSL SVVTFPSSSL 200
 GTKTYTCNVD HKPSNTRKVDK RVEISKYGPCC PPCPAPFVAG PSVFLFPPKP 250
 KDTLMISRTP EVTCVVVDVS QEDPEVGFQNW YVDGVEVHNA KTKPREEQFN 300
 STYRVVSVLT VLGQDNLNGK EYKCKVSNKG LPSSIEKTIS KAKGQPREPQ 350
 VYTLPPSQEE MTRKQVSLTC LVKGFYPSDI AVEWESNGQP ENNYKTTTPV 400
 LDSGGSFFLY SRLTVDKSRW QEGNVFSCSV MHEALHNHYT QKSLSLSLGG 450

Heavy chain / Chaîne lourde / Cadena pesada: anti-CD28 (H^m)

QVQLQESGPG LVKPSSETLSL TCTVSGGSIS SYIWSWIRQP PGKLEWIGY 50
 IYYSGITHYN PSLKSRVTIS VDTSKIQFSL KLSVTAADT AVYICARWVG 100
 RRDYVYVGMV VMQGGTIVTV SSASTKGPSV FPLAPCSRST SESTAALGCL 150
 VKDYFPEPVT VSWNSGALTS GVHTFPAVLQ SGLYLSLSSV VTFPSSSLGT 200
 KTYTCNVDRK PSNTKVDKRV ESKYGPCCPP CPAPPVAGPS VFLFPPPKPD 250
 TLMISRTPFV TCVVVDVDSQE DPEVGFQNWY DGVEVHNAKT KPREEQFNST 300
 YRVVSVLTVL HQDNLNGKEY KCKVSNKGLP SSIKTIKSKA KQGPREFQVY 350
 TLPFSQEEMT KNQVSLTCLV KGFYPSDIAV EWESNGQFEN NYKTTTPVLD 400
 SDGGSFFLYSR LTVDKSRWQE GNVFSCSVMH EALHNRTQK SLSLSPGK 448

Light chain / Chaîne légère / Cadena ligera (L, L^m)

EIVLTQSPGT LSLSPGERAT LSCRASQSVS SSIYLAWYQQK PGQAPRLLIY 50
 GASSRATGIP DRFSGSGSGT DFTLTISRLE PEDFAVYYCQ QYGSPPWTFG 100
 QGTRKVEIKRT VAAPSVFIFP FSDEQLKSGT ASVCLLNLF YPREAKVQWK 150
 VDNALQSGNS QESVTEQDSK DSTYLSLSTL TSLKADYEHK KVIACEVTHQ 200
 GLSSPVTKSF NRGEC 215

Post-translational modifications

Disulfide bridges location / Position des ponts disulfure / Posiciones de los puentes disulfuro

Intra-H (C23-C104) 22-96 151-207 264-324 370-428
 22"-95" 149"-205" 262"-322" 368"-426"

Intra-L (C23-C104) 23"-89" 135"-195"
 23"-89" 135"-195"

Inter-H-L (CH1 10-CL 126) 138-215" 136"-215"

Inter-H-H (h 8, h 11) 230-228" 233-231"

N-terminal glutaminyl cyclization / Cyclisation du glutaminyle N-terminal / Ciclación del glutaminilo N-terminal

Q > pyroglutamyl (pE, 5-oxoprolyl) / pyroglutamyle (pE, 5-oxoprolyle) / piroglutamilo (pE, 5-oxoprolylo)

H VH Q1: 1, 1"

N-glycosylation sites / Sites de N-glycosylation / Posiciones de N-glicosilación

H CH2 N84.4: 300, 298"

Fucosylated complex bi-antennary CHO-type glycans / glycanes de type CHO bi-antennaires complexes fucosylés / glicanos de tipo CHO biantennarios complejos fucosilados.

C-terminal lysine clipping / Coupure de la lysine C-terminale / Recorte de lisina C-terminal

H CHS K2: 450, 448"

nimatpagenum pariparovecum #
 nimatpagene pariparovec

recombinant, non-replicating adeno-associated virus serotype 3B (rAAV3B) vector, encoding a shortened version of the human copper-transporting ATPase 2 (ATP7B) (also known as ATPase copper-transporting beta, Wilson disease-associated protein) which is devoid of the first four of the six metal binding sites (MBS) (mini-ATP7B), under control of a liver specific human alpha-1 antitrypsin (AAT) promoter and a synthetic polyadenylation sequence derived from the polyadenylation signal of the rabbit β -globin gene, and flanked by adeno-associated virus 2 (AAV2) inverted terminal repeats (ITRs)
gene therapy (Wilson's disease)

nimatpagène pariparovec

vecteur recombinant non répliquant du virus adéno-associé de sérotype 3B (rAAV3B) codant une version raccourcie (mini-ATP7B) de l'ATPase 2 (ATP7B) humaine transportant le cuivre (également connue sous le nom d'ATPase bêta transportant le cuivre, protéine associée à la maladie de Wilson) dépourvue des quatre premiers des six sites de liaison aux métaux (MBS), sous le contrôle d'un promoteur de

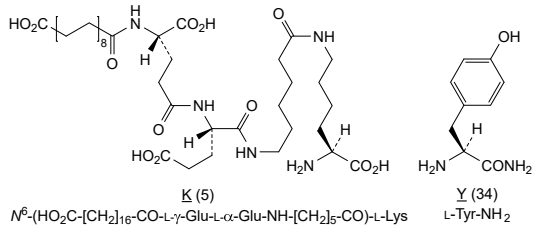
	<p>l'antitrypsine alpha-1 humaine (AAT) spécifique du foie et d'une séquence de polyadénylation (polyA) synthétique dérivée du signal polyA du gène de la β-globine de lapin, et flanquée de répétitions terminales inversées (ITR) du virus adéno-associé 2 (AAV2) <i>thérapie génique (maladie de Wilson)</i></p>
nimatpagén pariparvec	<p>vector de virus adenoasociado del serotipo 3B recombinante (rAAV3B), no replicativo, que codifica para una versión recortada de la ATPasa transportadora de cobre 2 (ATP7B) humana (también conocida como ATPasa transportadora de cobre beta, proteína asociada a la enfermedad de Wilson) a la cual le faltan los primeros cuatro de los seis sitios de unión al metal (MBS) (mini-ATP7B), bajo el control de un promotor específico de hígado de la alfa-1 antitripsina (AAT) humana y una secuencia de poliadenilación (poliA) sintética derivada de la señal poliA del gen de la β-globina de conejo, y flanqueado por repeticiones terminales invertidas (ITRs) del virus adenoasociado 2 (AAV2) <i>terapia génica (enfermedad de Wilson)</i></p>
	2773545-20-1
nisotirostidum	
nisotirostide	<p>L-prolyl-L-lysyl-L-prolyl-L-α-glutamyl-N⁶-[N-(17-carboxyheptadecanoyl)-L-γ-glutamyl-L-α-glutamyl-6-aminohexanoyl]-L-lysyl-L-prolylglycyl-L-α-glutamyl-L-α-aspartyl-L-alanyl-L-seryl-L-prolyl-L-α-glutamyl-L-α-glutamyl-L-tryptophyl-L-glutaminyl-L-arginyl-L-tyrosyl-L-tyrosyl-L-alanyl-L-α-glutamyl-L-leucyl-L-arginyl-L-histidyl-L-tyrosyl-L-leucyl-L-asparaginyL-tryptophyl-L-leucyl-L-threonyl-L-arginyl-L-glutaminyl-L-arginyl-L-tyrosinamide <i>neuropeptide Y (NPY) receptor agonist</i></p>
nisotirostide	<p>L-prolyl-L-lysyl-L-prolyl-L-α-glutamyl-N⁶-[N-(17-carboxyheptadecanoyl)-L-γ-glutamyl-L-α-glutamyl-6-aminohexanoyl]-L-lysyl-L-prolylglycyl-L-α-glutamyl-L-α-aspartyl-L-alanyl-L-séryl-L-prolyl-L-α-glutamyl-L-α-glutamyl-L-tryptophyl-L-glutaminyl-L-arginyl-L-tyrosyl-L-tyrosyl-L-alanyl-L-α-glutamyl-L-leucyl-L-arginyl-L-histidyl-L-tyrosyl-L-leucyl-L-asparaginyL-tryptophyl-L-leucyl-L-thréonyl-L-arginyl-L-glutaminyl-L-arginyl-L-tyrosinamide <i>agoniste du récepteur du neuropeptide Y (NPY)</i></p>
nisotirostida	<p>L-proliil-L-lisil-L-proliil-L-α-glutamil-N⁶-[N-(17-carboxiheptadecanoil)-L-γ-glutamil-L-α-glutamil-6-aminohexanoil]-L-lisil-L-proliilglicil-L-α-glutamil-L-α-aspartil-L-alanil-L-seril-L-prolyl-L-α-glutamil-L-α-glutamil-L-triptofil-L-glutaminil-L-arginil-L-tirosil-L-tirosil-L-alanil-L-α-glutamil-L-leucil-L-arginil-L-histidil-L-tyrosil-L-leucil-L-asparaginil-L-triptofil-L-leucil-L-treonil-L-arginil-L-glutaminil-L-arginil-L-tirosinamida <i>agonista del receptor del neuropeptido Y (NPY)</i></p>

C₂₃₀H₃₄₃N₅₉O₆₅

2663844-45-7

PKPEKPGEDA SPEEWQRYYA ELRHYLNWLT RQRY 34

Modified residues / Résidus modifiés / Restos modificados

**omoprubartum #**

omoprubart

immunoglobulin G2/G4-kappa, anti-[*Homo sapiens* C5 (complement 5)], monoclonal antibody; gamma2/gamma4 heavy chain (1-448) [VH (*Homo sapiens* IGHV1-2*06 (85.7%) -(IGHD) -IGHJ4*01 (93.3%), CDR-IMGT [8.8.15] (26-33.51-58.97-111)) (1-122) -*Homo sapiens* IGHG2*01 CH1-hinge (CH1 (123-220), hinge 1-15 (221-232)) -*Homo sapiens* IGHG4*01 CH2-CH3, nG4m(a) CH2 L92, G4v7 CH2 delE1.4, P1.3, V1.2, A1.1, G4v21 CH2 Y15.1, T16, E18 (CH2 L92 (310)E1.4>del, F1.3>P (235), L1.2>V (236), G1.1>A (237), M>Y15.1 (253), S>T16 (255), T>E18 (257)(233-341), CH3 (342-446), CHS (447-448)) (123-448)], (136-214')-disulfide with kappa light chain (1'-214') [V-KAPPA (*Homo sapiens* IGKV1-39*01 (77.9%) -IGKJ3*01 (81.8%) P120>G (100'), CDR-IMGT [6.3.9] (27'-32'.50'-52'.89'-97')) (1'-107') -*Homo sapiens* IGKC*01 (100%), Km3, A45.1 (153'), V101 (191') (108'-214')]; dimer (224-224":225-225":228-228":231-231")-tetrakisdisulfide, produced in Chinese hamster ovary (CHO) cells, cell line CHO-K1, glycoform alfa *immunosuppressant*

omoprubart

immunoglobuline G2/G4-kappa, anti-[*Homo sapiens* C5 (complément 5)], anticorps monoclonal; chaîne lourde gamma2/gamma4 (1-448) [VH (*Homo sapiens* IGHV1-2*06 (85.7%) -(IGHD) -IGHJ4*01 (93.3%), CDR-IMGT [8.8.15] (26-33.51-58.97-111)) (1-122) -*Homo sapiens* IGHG2*01 CH1-charnière (CH1 (123-220), charnière 1-15 (221-232)) -*Homo sapiens* IGHG4*01 CH2-CH3, nG4m(a) CH2 L92, G4v7 CH2 delE1.4, P1.3, V1.2, A1.1, G4v21 CH2 Y15.1, T16, E18 (CH2 L92 (310)E1.4>del, F1.3>P (235), L1.2>V (236), G1.1>A (237), M>Y15.1 (253), S>T16 (255), T>E18 (257), (233-341), CH3 (342-446), CHS (447-448)) (123-448)], (136-214')-disulfure avec la chaîne légère kappa (1'-214') [V-KAPPA (*Homo sapiens* IGKV1-39*01 (77.9%) -IGKJ3*01 (81.8%) P120>G (100'), CDR-IMGT [6.3.9] (27'-32'.50'-52'.89'-97')) (1'-107') -*Homo sapiens* IGKC*01 (100%), Km3, A45.1 (153'), V101 (191') (108'-214')]; dimère (224-224":225-225":228-228":231-231")-tétrakisdisulfure, produit dans des cellules ovariennes de hamster chinois (CHO), lignée cellulaire CHO-K1, glycoforme alfa *immunosuppresseur*

omoprubart

inmunoglobulina G2/G4-kappa, anti-[*Homo sapiens* C5 (complemento 5)], anticuerpo monoclonal; cadena pesada gamma2/gamma4 (1-448) [VH (*Homo sapiens* IGHV1-2*06 (85.7%) -(IGHD) -IGHJ4*01 (93.3%), CDR-IMGT [8.8.15] (26-33.51-58.97-111))] (1-122) -*Homo sapiens* IGHG2*01 CH1-bisagra (CH1 (123-220), bisagra 1-15 (221-232)) -*Homo sapiens* IGHG4*01 CH2-CH3, nG4m(a) CH2 L92,G4v7 CH2 delE1.4, P1.3, V1.2, A1.1, G4v21 CH2 Y15.1, T16, E18 (CH2 L92 (310)E1.4>del, F1.3>P (235), L1.2>V (236), G1.1>A (237), M>Y15.1 (253), S>T16 (255), T>E18 (257),(233-341), CH3 (342-446), CHS (447-448)) (123-448)), (136-214')-disulfuro con la cadena ligera kappa (1'-214') [V-KAPPA (*Homo sapiens* IGKV1-39*01 (77.9%) -IGKJ3*01 (81.8%) P120>G (100'), CDR-IMGT [6.3.9] (27'-32'.50'-52'.89'-97'')) (1'-107'') -*Homo sapiens* IGKC*01 (100%), Km3, A45.1 (153'), V101 (191') (108'-214'')]; dímero (224-224''-225-225''-228-228''-231-231'')-tetrakisdisulfuro, producido en las células ováricas de hámster chino (CHO), línea celular CHO-K1, forma glicosilada alfa

inmunosupresor

2763342-87-4

Heavy chain / Chaîne lourde / Cadena pesada

QVQLVQSGAE	VKKPGASVKV	SCKASGHIFT	DFYMQWVRQA	PGQGLEWMGE	50
ILPFTGHT EY	AQKFQGRVTM	TRDTSISTVY	MEVRRLRSDD	TAVYYCARYF	100
FGSTPNWYFD	VWQGTLVTV	SSASTKGPSV	FPLAPCSRST	SESTAALGLCL	150
VKDYFPPEVPT	VSWNSGALTS	GVHTFPAVLQ	SSGLYSLSSV	VTVPSSNFGT	200
QTYTCNV DHK	PSNTKVDKTV	ERKCCVECPC	CPAPPVAGPS	VFLFPPKPKD	250
TLYITREPEV	TCVVVDVDSQE	DPEVQFNWYV	DGVEVHNAKT	KPEREEQFNST	300
YRVVSVLTVL	HQDWLNGKEY	KCKVSNKGLP	SSIEKTI SKA	KGQPREPQVY	350
TLPPSQEEMT	KNQVSLTCLV	KGFPYSDIAV	EWESNGQFEN	NYKTTTPPVL D	400
SDGSFFLYSR	LTVDKSRWQE	GNVFSCSVMH	EALHNHYTQK	SLSLSLGLK	448

Light chain / Chaîne légère / Cadena ligera

EIVMTQSPSS	LSASVGDRTV	ITCGATENIY	GALNWIYQHEP	GKAPKLLIYG	50
ASNRYTGVTS	RFSGSGSGTD	FTLTISTLQP	EDFATYYCQQ	VLNTPVSVFGG	100
GTKVDIKRTV	AAPSVFIFPP	SDEQLKSGTA	SVVCLLNIFY	PREAKVQWVK	150
DNALQSGNSQ	ESVTEQDSKD	STYLSLSTLT	LSKADYEKHK	VYACEVTHQG	200
LSSPVTKSFN	RGEC				214

Post-translational modifications

Disulfide bridges location / Position des ponts disulfure / Posiciones de los puentes disulfuro

Intra-H (C23-C104)	22-96	149-205	262-322	368-426
	22"-96"	149"-205"	262"-322"	368"-426"
Intra-L (C23-C104)	23'-88'	134'-194'		
	23'''-88'''	134'''-194'''		
Inter-H-L (CH1 10-CL 126)	136-214'	136"-214'"		
Inter-H-H (h 4, h 5, h 8, h11)	224-224'	225-225"	228-228"	231-231"

N-terminal glutaminyl cyclization / Cyclisation du glutaminyle N-terminal /

Ciclación del glutaminilo N-terminal

Q > pyroglutamyl (pE, 5-oxoprolyl) / pyroglutamyle (pE, 5-oxoprolyle) /

piroglutamilo (pE, 5-oxoprolilo)

H VH Q1: 1, 1"

N-glycosylation sites / Sites de N-glycosylation / Posiciones de N-glicosilación

H CH2 N84.4: 298, 298"

Fucosylated complex bi-antennary CHO-type glycans / glycanes de type CHO bi-antennaires

complexes fucosylés / glicanos de tipo CHO biantenarijos complejos fucosilados.

C-terminal lysine clipping / Coupure de la lysine C-terminale / Recorte de lisina C-terminal

H CHS K2: 448, 448"

omramotidum

omramotide

L-phenylalanyl-L-leucyl-L-prolyl-L-phenylalanylglycyl-L-phenylalanyl-L-isoleucyl-L-leucyl-L-prolyl-L-valine

immunological agent for active immunization (antineoplastic)

omramotide L-phénylalanil-L-leucyl-L-prolyl-L-phénylalanilglycyl-L-phénylalanil-L-isoleucyl-L-leucyl-L-prolyl-L-valine
agent immunologique d'immunisation active (antineoplasique)

omramotida L-fenilalanil-L-leucil-L-prolil-L-fenilalanilglicil-L-fenilalanil-L-isoleucil-L-leucil-L-prolil-L-valina
agente inmunológico para inmunización activa (antineoplásico)

C₆₂H₈₈N₁₀O₁₁ 2306406-71-1

Phe — Leu — Pro — Phe — Gly — Phe — Ile — Leu — Pro — Val

onacrisantaspasum #

onacrisantaspase *Dickeya dadantii* (formerly known as *Erwinia chrysanthemi*) L-asparaginase (L-ASNase, L-asparagine amidohydrolase, EC: 3.5.1) (202-528), fused at its N-terminus to a hydrophobic random coil proline-alanine-rich peptide (PAS sequence, (AAPAAPAPAA PAAPAPAAPA)₁₀A) (1-201), tetramer, produced in *Pseudomonas fluorescens*
antineoplastic

onacrisantaspase L-asparaginase (L-ASNase, L-asparagine amidohydrolase, EC: 3.5.1) (202-528) de *Dickeya dadantii* (anciennement *Erwinia chrysanthemi*), fusionnée à son extrémité N-terminale à un peptide hydrophobe à hélice aléatoire riche en proline-alanine (séquence PAS, (AAPAAPAPAA PAAPAPAAPA)₁₀A) (1-201), tétramère, produite chez *Pseudomonas fluorescens*
antineoplasique

onacrisantaspasa *Dickeya dadantii* (antiguamente conocida como *Erwinia chrysanthemi*) L-asparaginasa (L-ASNase, L-asparaginase amidohidrolasa, EC: 3.5.1) (202-528), fusionada en su N-terminal a una espiral hidrofóbica aleatoria de péptido enriquecido con prolina y alanina (secuencia PAS, (AAPAAPAPAA PAAPAPAAPA)₁₀A) (1-201), tetrámero, producido en *Pseudomonas fluorescens*
antineoplásico

2256099-52-0

Monomer sequence / Séquence du monomère / Secuencia del monómero

AAPAAPAPAA	PAAPAPAAPA	AAPAAPAPAA	PAAPAPAAPA	AAPAAPAPAA	50
PAAPAPAAPA	AAPAAPAPAA	PAAPAPAAPA	AAPAAPAPAA	PAAPAPAAPA	100
AAPAAPAPAA	PAAPAPAAPA	AAPAAPAPAA	PAAPAPAAPA	AAPAAPAPAA	150
PAAPAPAAPA	AAPAAPAPAA	PAAPAPAAPA	AAPAAPAPAA	PAAPAPAAPA	200
AADKLPNIVI	LATGGTIAGS	AATGTQTTGY	KAGALGVDTL	INAVPEVKKL	250
ANVKGEQFSN	MASENMTGDV	VLKLSQRVNE	LLARDDVDGV	VITHGTDTVE	300
ESAYFLHLTV	KSDKPVVFFVA	AMRPATAISA	DGPMNLEAV	RVAGDKQSRG	350
RGVMVVLNDR	IGSARYITKT	NASTLDTFKA	NEEGYLGVII	GNRIYYQMRI	400
DKLHTTRSVF	DVRGLTSLPK	VDILYGYQDD	PEYLYDAAIQ	HGVRGIVYAG	450
MGAGSVSVRG	IAGMRKAMEK	GVVVIRSTRT	NGIIVPPDEE	LPGLVSDSLN	500
PAHARILLML	ALTRTSDPKV	IQEYFHTY			528

Post-translational modifications
none / aucun / ninguna

onvapegleukinum alfa #

onvapegleukin alfa human interleukin-2, variant (R³⁸>C, C¹²⁵>S), substituted at N⁶ of one lysine residue mainly at K³² and K⁷⁶ with 40kDa mPEG and at the sulfur atom of C³⁸ with 5 kDa mPEG, produced in Chinese hamster ovary (CHO) K1 cells, glycoform alfa
interleukin-2 analogue, antineoplastic

onvapégleukine alfa interleukine-2 humain, variant (R³⁸>C, C¹²⁵>S), substitué à N⁶ d'un résidu de lysine principalement en K³² et K⁷⁶ avec 40 kDa mPEG et à l'atome de soufre en C³⁸ par 5 kDa mPEG, produit dans des cellules ovariennes de hamster chinois (CHO) K1, glycoforme alfa *analogue de l'interleukine 2, antinéoplasique*

onvapegleukina alfa interleukina-2 humana, variante (R³⁸>C, C¹²⁵>S), substituida en N⁶ de un residuo de lisina principalmente en K³² y K⁷⁶ con 40kDa mPEG y en átomo de azufre del C³⁸ con 5 kDa mPEG, producido en células ováricas de hámster Chino (CHO) K1, forma glicosilada alfa *análogo de la interleukina 2, antineoplásico*

2764760-02-1

Sequence / Séquence / Secuencia
 APTSSSTKKT QLQLEHLLLD LQMILNGINN YKNPKLTCML TFKFYMPKKA 50
 TELKHLQCLE EELKPLEEVL NLAQSKNFHL RPRDLISIN VIVLELKGSE 100
 TTFMCEYADE TATIVEFLNR WITFSQSIIS TLT 133

Mutation / Mutation / Mutación
 R³⁸>C, C¹²⁵>S

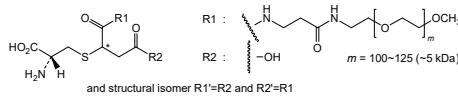
Post-translational modifications

Disulfide bridges location / Position des ponts disulfure / Posiciones de los puentes disulfuro
 58-105

O-glycosylation sites / Sites de O-glycosylation / Posiciones de O-glicosilación
 T³

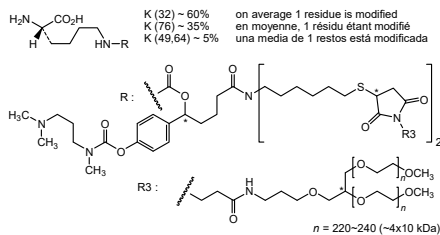
Modified residues / Résidus modifiés / Restos modificados
 C³⁸:

substituted at the sulfur atom with either radical group (1 Ξ)-1-carboxy-3-{{3-(2-[ω -methoxypoly (oxyethylene)- α -yl]ethyl)amino)-3-oxopropyl}amino]-3-oxopropyl or (2 Ξ)-3-carboxy-1-{{3-(2-[ω -methoxypoly(oxyethylene)- α -yl]ethyl)amino)-3-oxopropyl}amino}-1-oxoprop-2-yl



Potential modified residues / Résidus modifiés potentiels/ Restos modificados potenciales
 K³², K⁴⁹, K⁶⁴, K⁷⁶

substituted at N⁶ with radical group ((5 Ξ)-5-[bis(6-{{3-(3-{{3-{{2 Ξ)-2,3-bis[ω -methoxypoly (oxyethylene)- α -yl]propoxy}propyl)amino]-3-oxopropyl}-2,5-dioxopyrrolidin-3-yl)sulfanyl]hexyl)amino]-1-[4-{{3-(dimethylamino)propyl}(methyl)carbamoyl}oxy]phenyl]-5-oxopentyl)oxy)carbonyl



opelkibartum #
 opelkibart

immunoglobulin G1-kappa, anti-[*Homo sapiens* KIT (KIT proto-oncogene receptor tyrosine kinase, c-kit, SCFR, CD117)], *Homo sapiens* monoclonal antibody;
 gamma1 heavy chain *Homo sapiens* (1-453) [VH (*Homo sapiens* IGHV5-51*01 (94.9%) -(IGHD) -IGHJ3*02 (93.3%) M123>L (118), CDR-IMGT [8.8.16] (26-33.51-58.97-112)) (1-123) -*Homo*

- sapiens* IGHG1*01, G1m17,1 CH1 K120, CH3 D12, L14, G1v14 CH2 A1.3, A1.2, G1v76 CH2 C27, G1v77 CH3 A115(CH1 K120 (220) (124-221), hinge 1-15 (222-236), CH2 L1.3>A (240), L1.2>A (241), D27>C (271) (237-346), CH3 D12 (362), L14 (364) H115>A (441) (347-451), CHS (452-453)) (124-453)], (226-214')-disulfide with kappa light chain *Homo sapiens* (1'-214') [V-KAPPA (*Homo sapiens* IGKV1-12*01 (89.5%) - IGKJ4*01 (100%), CDR-IMGT [6.3.9] (27'-32'.50'-52'.89'-97')) (1'-107') -*Homo sapiens* IGKC*01 (100%), Km3, A45.1 (153'), V101 (191') (108'-214')]; dimer (232-232":235-235")-bisdisulfide, produced in Chinese hamster ovary (CHO) cells, cell line CHO-DG44, glycoform alfa
immunomodulator, antineoplastic
- opelkibart immunoglobuline G1-kappa, anti-[*Homo sapiens* KIT (KIT proto-oncogène récepteur tyrosine kinase, c-Kit, SCFR, CD117)], anticorps monoclonal *Homo sapiens*;
chaîne lourde gamma1 *Homo sapiens* (1-453) [VH (*Homo sapiens* IGHV5-51*01 (94.9%) -(IGHD) -IGHJ3*02 (93.3%) M123>L (118), CDR-IMGT [8.8.16] (26-33.51-58.97-112)) (1-123) -*Homo sapiens* IGHG1*01, G1m17,1 CH1 K120, CH3 D12, L14, G1v14 CH2 A1.3, A1.2, G1v76 CH2 C27, G1v77 CH3 A115 (CH1 K120 (220) (124-221), charnière 1-15 (222-236), CH2 L1.3>A (240), L1.2>A (241), D27>C (271) (237-346), CH3 D12 (362), L14 (364) H115>A (441) (347-451), CHS (452-453)) (124-453)], (226-214')-disulfure avec la chaîne légère kappa *Homo sapiens* (1'-214') [V-KAPPA (*Homo sapiens* IGKV1-12*01 (89.5%) -IGKJ4*01 (100%), CDR-IMGT [6.3.9] (27'-32'.50'-52'.89'-97')) (1'-107') -*Homo sapiens* IGKC*01(100%), Km3, A45.1 (153'), V101 (191') (108'-214')]; dimère (232-232":235-235")-bisdisulfure, produit dans des cellules ovariennes de hamster chinois (CHO), lignée cellulaire CHO-DG44, glycoforme alfa
immunomodulateur, antinéoplasique
- opelkibart inmunoglobulina G1-kappa, anti-[*Homo sapiens* KIT (KIT proto-oncogén receptor tirosina kinasa, c-Kit, SCFR, CD117)], anticuerpo monoclonal *Homo sapiens*;
cadena pesada gamma1 *Homo sapiens* (1-453) [VH (*Homo sapiens* IGHV5-51*01 (94.9%) -(IGHD) -IGHJ3*02 (93.3%) M123>L (118), CDR-IMGT [8.8.16] (26-33.51-58.97-112)) (1-123) -*Homo sapiens* IGHG1*01, G1m17,1 CH1 K120, CH3 D12, L14, G1v14 CH2 A1.3, A1.2, G1v76 CH2 C27, G1v77 CH3 A115 (CH1 K120 (220) (124-221), bisagra 1-15 (222-236), CH2 L1.3>A (240), L1.2>A (241), D27>C (271) (237-346), CH3 D12 (362), L14 (364) H115>A (441) (347-451), CHS (452-453)) (124-453)], (226-214')-disulfuro con la cadena ligera kappa *Homo sapiens* (1'-214') [V-KAPPA (*Homo sapiens* IGKV1-12*01 (89.5%) -IGKJ4*01 (100%), CDR-IMGT [6.3.9] (27'-32'.50'-52'.89'-97')) (1'-107') -*Homo sapiens* IGKC*01(100%), Km3, A45.1 (153'), V101 (191') (108'-214')]; dímero (232-232":235-235")-bisdisulfuro, producido en las células ováricas de hámster chino (CHO), línea celular CHO-DG44, forma glicosilada alfa
immunomodulador, antineoplásico

2771389-44-5

Heavy chain / Chaîne lourde / Cadena pesada

EVQLVQSGAE VKKPGESLKI SCKGSGYSFT NYWIGWVRQM PGKGLEWMAI 50
 INPRDSDFRY RPSFQGGVTI SADKSIATY LQWSSLKASD TAMYYCARHG 100
 RGYEGYEGAF DIWQGGTLVT VSSASTKGPS VFPLAPSSKS TSGGTAALGC 150
 LVKDYFPEPV TVSWNSGALT SGVHTFPAVL QSSGLYSLSL VVTVPSSSLG 200
 TQTYICNVNH KPSNTKVDKK VEPKSCDKTH TCPPCPAPEA AGGPSVFLFP 250
 PKPKDILMIS RTPVTVVTV CVSHEDPEVK FNNVVDGVEV HNAKTKPREE 300
 QYNSTYRVVS VLTVLHQDWL NGKEYKCKVS NKALFAPIEK TISKARGQPR 350
 EFQVYTLPPS RDELTKNQVS LTCVKGFPY SDIAVEWESN GQPENNYKTT 400
 PAVLDSGDSF FLYSKLTVDK SRWQQGNVFS CSMVHEALHN AYTQKSLSL 450
 PGK 453

Light chain / Chaîne légère / Cadena ligera

DIQMTQSPFS LSASVGDRTV ITCRSGQIR SDLGWYQQKPK GKAPKLLIYD 50
 ASNLETGVPV RFGSGSGSDT FTLTISSLQP EDFATYYCQQ ANGFPLTFGG 100
 GTKVEIKRTV AAPSVEIFPP SDEQLKSGTA SVVCLLNIFY PREAKVQMKV 150
 DNALQSGNSQ ESVTEQDSKD STYLSLSTLT LSKADYEKHK VYACEVTHQG 200
 LSSPVTKSFN RGECC 214

Post-translational modifications

Disulfide bridges location / Position des ponts disulfure / Posiciones de los puentes disulfuro

Intra-H (C23-C104) 22-96 150-206 267-327 373-431
 22"-96" 150"-206" 267"-327" 373"-431"

Intra-L (C23-C104) 23"-88" 134"-194"
 23"-88" 134"-194"

Inter-H-L (h 5-CL 126) 226-214" 226"-214"

Inter-H-H (h 11, h 14) 232-232" 235-235"

N-glycosylation sites / Sites de N-glycosylation / Posiciones de N-glicosilación

H CH2 N84.4: 303, 303"

Fucosylated complex bi-antennary CHO-type glycans / glycanes de type CHO bi-antennaires complexes fucosylés / glicanos de tipo CHO biantenaricos complejos fucosilados

C-terminal lysine clipping / Coupure de la lysine C-terminale / Recorte de lisina C-terminal
 H CHS K2: 453, 453"

opelkibartum elmanitinum #
 opelkibart elmanitin

immunoglobulin G1-kappa, anti-[*Homo sapiens* KIT (KIT proto-oncogene receptor tyrosine kinase, c-kit, SCFR, CD117)], *Homo sapiens* monoclonal antibody, conjugated, via a noncleavable linker, at the sulfur atoms of cysteine residues 271 and 271" to a synthetic α -amanitin derivative;

gamma1 heavy chain *Homo sapiens* (1-453) [VH (*Homo sapiens*IGHV5-51*01 (94.9%) -(IGHD) -IGHJ3*02 (93.3%) M123>L (118), CDR-IMGT [8.8.16] (26-33.51-58.97-112)) (1-123) -*Homo sapiens*IGHG1*01, G1m17,1 CH1 K120, CH3 D12, L14, G1v14 CH2 A1.3, A1.2, G1v76 CH2 C27, G1v77 CH3 A115 (CH1 K120 (220) (124-221), hinge 1-15 (222-236), CH2 L1.3>A (240), L1.2>A (241), D27>C (271) (237-346), CH3 D12 (362), L14 (364) H115>A (441) (347-451), CHS (452-453)) (124-453)], (226-214')-disulfide with kappa light chain *Homo sapiens* (1'-214') [V-KAPPA (*Homo sapiens*IGKV1-12*01 (89.5%) -IGKJ4*01 (100%), CDR-IMGT [6.3.9] (27'-32'.50'-52'.89'-97')) (1'-107') -*Homo sapiens*IGKC*01 (100%), Km3, A45.1 (153'), V101 (191') (108'-214')]; dimer (232-232':235-235')-bisdisulfide, produced in Chinese hamster ovary (CHO) cells, cell line CHO-DG44, glycoform alfa; substituted at the sulfur atoms of cysteine residues 271 and 271" with 1-[6-({1,8-anhydro:C^{2,4}, S^{3,8}-cyclo[L-asparaginyL-(4R)-4-hydroxy-L-prolyl-(4R)-4,5-dihydroxy-L-isoleucyl-L-tryptophylglycyl-L-isoleucylglycyl-L-cystein]-C^{6,4}-yl}oxy)hexyl]-2,5-dioxopyrrolidin-3-yl (*elmanitin*) group
immunomodulator, antineoplastic

opelkibart elmanitine

immunoglobuline G1-kappa, anti-[*Homo sapiens* KIT (KIT proto-oncogène récepteur tyrosine kinase, c-Kit, SCFR, CD117)], anticorps monoclonal *Homo sapiens*, conjugué, via un linker non-clivable, sur les atomes de soufre des résidus cystéine 271 et 271" à un dérivé de l' α -amanitine synthétique;

chaîne lourde gamma1 *Homo sapiens* (1-453) [VH (*Homo sapiens* IGHV5-51*01 (94.9%) -(IGHD) -IGHJ3*02 (93.3%) M123>L (118), CDR-IMGT [8.8.16] (26-33.51-58.97-112)) (1-123) -*Homo sapiens* IGHG1*01, G1m17,1 CH1 K120, CH3 D12, L14, G1v14 CH2 A1.3, A1.2, G1v76 CH2 C27, G1v77 CH3 A115 (CH1 K120 (220) (124-221), charnière 1-15 (222-236), CH2 L1.3>A (240), L1.2>A (241), D27>C (271) (237-346), CH3 D12 (362), L14 (364) H115>A (441) (347-451), CHS (452-453)) (124-453)], (226-214')-disulfure avec la chaîne légère kappa *Homo sapiens* (1'-214') [V-KAPPA (*Homo sapiens* IGKV1-12*01 (89.5%) -IGKJ4*01 (100%), CDR-IMGT [6.3.9] (27'-32'.50'-52'.89'-97')) (1'-107') -*Homo sapiens* IGKC*01(100%), Km3, A45.1 (153'), V101 (191') (108'-214')]; dimère (232-232":235-235")-bisdisulfure, produit dans des cellules ovariennes de hamster chinois (CHO), lignée cellulaire CHO-DG44, glycoforme alfa; substituée sur les atomes de soufre des résidus cystéine 271 et 271" avec le groupe 1-[6-({1,8-anhydro:C^{2,4},S^{3,8}-cyclo[L-asparaginyl-(4R)-4-hydroxy-L-prolyl-(4R)-4,5-dihydroxy-L-isoleucyl-L-tryptophylglycyl-L-isoleucylglycyl-L-cystéin]-C^{6,4}-yl}oxy)hexyl]-2,5-dioxopyrrolidin-3-yle (*elmanitine*)

immunomodulateur, antinéoplasique

opelkibart elmanitina

inmunoglobulina G1-kappa, anti-[*Homo sapiens* KIT (KIT proto-oncogén receptor tirosina kinasa, c-Kit, SCFR, CD117)], anticuerpo monoclonal *Homo sapiens*, conjugado, a través de un enlace no escindible, sobre los átomos de azufre de los residuos de cisteina 271 y 271" a un derivado de la α -amanitina sintética;

cadena pesada gamma1 *Homo sapiens* (1-453) [VH (*Homo sapiens* IGHV5-51*01 (94.9%) -(IGHD) -IGHJ3*02 (93.3%) M123>L (118), CDR-IMGT [8.8.16] (26-33.51-58.97-112)) (1-123) -*Homo sapiens* IGHG1*01, G1m17,1 CH1 K120, CH3 D12, L14, G1v14 CH2 A1.3, A1.2, G1v76 CH2 C27, G1v77 CH3 A115 (CH1 K120 (220) (124-221), bisagra 1-15 (222-236), CH2 L1.3>A (240), L1.2>A (241), D27>C (271) (237-346), CH3 D12 (362), L14 (364) H115>A (441) (347-451), CHS (452-453)) (124-453)], (226-214')-disulfuro con la cadena ligera kappa *Homo sapiens* (1'-214') [V-KAPPA (*Homo sapiens* IGKV1-12*01 (89.5%) -IGKJ4*01 (100%), CDR-IMGT [6.3.9] (27'-32'.50'-52'.89'-97')) (1'-107') -*Homo sapiens* IGKC*01(100%), Km3, A45.1 (153'), V101 (191') (108'-214')]; dímero (232-232":235-235")-bisdisulfuro, producido en las células ováricas de hámster chino (CHO), línea celular CHO-DG44, forma glicosilada alfa; substituida sobre los átomos de azufre de los residuos de cisteina 271 y 271" con el grupo 1-[6-({1,8-anhidro:C^{2,4},S^{3,8}-ciclo[L-asparaginil-(4R)-4-hidroxi-L-prolil-(4R)-4,5-dihidroxi-L-isoleucil-L-triptofilglicil-L-isoleucilglicil-L-cistein]-C^{6,4}-il}oxi)hexil]-2,5-dioxopirrolidin-3-ilo (*elmanitina*)

immunomodulador, antineoplásico

Heavy chain / Chaîne lourde / Cadena pesada

EVQLVQSGAE	VKKPAGESLKI	SCKGSGYSFT	NYWIGWVRQM	PGKLEWMAI	50
INPRDSDFRY	RPSFQGGVIT	SADKISITAY	LQWSSLKASD	TAMYCARHG	100
RGYEGYEGAF	DIWQGQTLVT	VSSASTKGPS	VFPLAPSKS	TSGGTAALGC	150
LVKDYFPEPV	TVSNWNGALT	SGVHTFPAVL	QSSGLYSLSL	VVTVPSSSLG	200
TQTYICNVNH	KPSNTKVDKK	VEPKSCDKTH	TCPPCPAPEA	AGGPSVFLFP	250
PKPKDLMIS	RTPEVTVVW	CVSHEDEPEK	FNWYVDGVEV	HNAKTKFREE	300
QYNSTRVRS	VLTVLHQDWL	NGKEYCKVS	NKALPAPIEK	TISKARGQPR	350
EFQVYTLPPS	RDELTKNQVS	LTCLVKGFPY	SDIAVEWESN	GQPENNYKTT	400
PPVLDSDGSF	FLYSLKLVDK	SRWQQGNVFS	CSVMHEALHN	AYTKQSLSL	450
PGK					453

Light chain / Chaîne légère / Cadena ligera

DIQMTQSPFS	LSASVGDRTV	ITCRSSQGLR	SDLGWYQQPK	GKAPKLLIYD	50
ASNLETGVPS	RFSGSGSGTD	FTLTISLSLP	EDFATYYCQQ	ANGFPLTFGG	100
GTKVEIKRVT	AAPSVFIFPP	SDEQLKSGTA	SVVCLLNIFY	PREAKVQMKV	150
DNALQSGNSQ	ESVTEQDSKD	STYLSLSTLT	LSKADYEKHK	VYACEVTHQG	200
LSSPVTKSFN	RGEC				214

Post-translational modifications

Disulfide bridges location / Position des ponts disulfure / Posiciones de los puentes disulfuro

Intra-H (C23-C104)	22-96	150-206	267-327	373-431
	22°-96°	150°-206°	267°-327°	373°-431°

Intra-L (C23-C104)	23°-88°	134°-194°
	23°-88°	134°-194°

Inter-H-L (h 5-CL 126)

226-214° 226°-214°

Inter-H-H (h 11, h 14)

232-232° 235-235°

N-glycosylation sites / Sites de N-glycosylation / Posiciones de N-glicosilación

H CH2 N84.4: 303, 303°

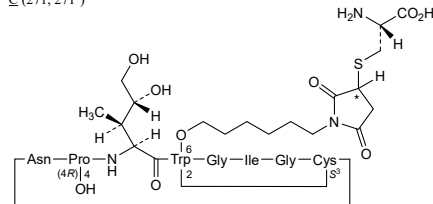
Fucosylated complex bi-antennary CHO-type glycans / glycanes de type CHO bi-antennaires complexes fucosylés / glicanos de tipo CHO biantennarios complejos fucosilados

C-terminal lysine clipping / Coupure de la lysine C-terminale / Recorte de lisina C-terminal

H CHS K2: 453, 453°

Modified residues / résidus modifiés / restos modificados

C (271, 271°)



opemalirsenum
opemalirsen

all-P-ambo-2'-O,4'-C-[(1S)-ethane-1,1-diy]]-5-methyl-P-thiouridylyl-(3'→5')-2'-O,4'-C-[(1S)-ethane-1,1-diy]]-5-methyl-P-thiouridylyl-(3'→5')-2'-O,4'-C-[(1S)-ethane-1,1-diy]]-5-methyl-P-thiouridylyl-(3'→5')-P-thiothymidylyl-(3'→5')-2'-deoxy-P-thioguanilyl-(3'→5')-P-thiothymidylyl-(3'→5')-2'-deoxy-P-thioadenilyl-(3'→5')-2'-deoxy-P-thioadenilyl-(3'→5')-2'-deoxy-P-thioguanilyl-(3'→5')-P-thiothymidylyl-(3'→5')-2'-deoxy-P-thioguanilyl-(3'→5')-2'-deoxy-5-methyl-P-thiocytidylyl-(3'→5')-2'-O,4'-C-[(1S)-ethane-1,1-diy]]-P-thioadenilyl-(3'→5')-2'-O,4'-C-[(1S)-ethane-1,1-diy]]-P-thioadenilyl-(3'→5')-2'-O,4'-C-[(1S)-ethane-1,1-diy]]-5-methyl-P-thiocytidylyl-(3'→5')-2'-O-(2-methoxyethyl)-5-methylcytidine
apolipoprotein L1 (APOL1) synthesis reducer

opémalirsen

tout-P-ambo-2'-O,4'-C-[(1S)-éthane-1,1-diy]]-5-méthyl-P-thiouridylyl-(3'→5')-2'-O,4'-C-[(1S)-éthane-1,1-diy]]-5-méthyl-P-thiouridylyl-(3'→5')-2'-O,4'-C-[(1S)-éthane-1,1-diy]]-5-méthyl-P-thiouridylyl-(3'→5')-P-thiothymidylyl-(3'→5')-2'-désoxy-P-thioguanilyl-

(3'→5')-*P*-thiothymidylyl-(3'→5')-2'-désoxy-*P*-thioadénylyl-(3'→5')-2'-désoxy-*P*-thioadénylyl-(3'→5')-2'-désoxy-*P*-thioguanilyl-(3'→5')-*P*-thiothymidylyl-(3'→5')-2'-désoxy-*P*-thioguanilyl-(3'→5')-2'-désoxy-5-méthyl-*P*-thiocytidylyl-(3'→5')-2'-O,4'-C-[(1*S*)-éthane-1,1-diyl]-*P*-thioadénylyl-(3'→5')-2'-O,4'-C-[(1*S*)-éthane-1,1-diyl]-*P*-thioadénylyl-(3'→5')-2'-O,4'-C-[(1*S*)-éthane-1,1-diyl]-5-méthyl-*P*-thiocytidylyl-(3'→5')-2'-O-(2-méthoxyéthyl)-5-méthylcytidine
réducteur de la synthèse de l'apolipoprotéine L1 (APOL1)

opemalirsén

*todo-P-ambo-2'-O,4'-C-[(1*S*)-etano-1,1-diil]-5-metil-*P*-tiouridilil-(3'→5')-2'-O,4'-C-[(1*S*)-etano-1,1-diil]-5-metil-*P*-tiouridilil-(3'→5')-2'-O,4'-C-[(1*S*)-etano-1,1-diil]-5-metil-*P*-tiouridilil-(3'→5')-*P*-tiotimidilil-(3'→5')-2'-desoxi-*P*-tioguanilil-(3'→5')-*P*-tiotimidilil-(3'→5')-2'-desoxi-*P*-tioadenilil-(3'→5')-2'-desoxi-*P*-tioadenilil-(3'→5')-2'-desoxi-*P*-tioguanilil-(3'→5')-*P*-tiotimidilil-(3'→5')-2'-desoxi-*P*-tioguanilil-(3'→5')-2'-desoxi-5-metil-*P*-tiocitidilil-(3'→5')-2'-O,4'-C-[(1*S*)-etano-1,1-diil]-*P*-tioadenilil-(3'→5')-2'-O,4'-C-[(1*S*)-etano-1,1-diil]-*P*-tioadenilil-(3'→5')-2'-O,4'-C-[(1*S*)-etano-1,1-diil]-5-metil-*P*-tiocitidilil-(3'→5')-5-metil-2'-O-(2-metoxietil)citidina
*reductor de la síntesis de la apolipoproteína L1 (APOL1)**

2639853-99-7

m⁵U=m⁵U=m⁵U=dT=dG=dT=dA=dA=dG=dT=dG=m⁵C_d=A=A=m⁵C=m⁵Cmoe

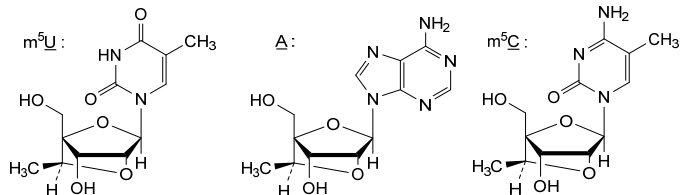
N : nucleoside / nucléoside / nucleósido

m⁵N : 5-methyl-N / 5-méthyl-N / 5-metil-N

dN & N_d : 2'-deoxy-N / 2'-désoxy-N / 2'-desoxi-N

Nmoe : 2'-O-(2-methoxyethyl)-N / 2'-O-(2-méthoxyéthyl)-N / 2'-O-(2-metoxietil)-N

= : -PS(OH)-



opevesostatatum

opevesostat

2-[(1,3-dihydro-2*H*-isoindol-2-yl)méthyl]-5-[[1-(methanesulfonyl)piperidin-4-yl]méthoxy]-4*H*-pyran-4-one
cholesterol side-chain cleavage enzyme (CYP11A1) inhibitor

opévésostat

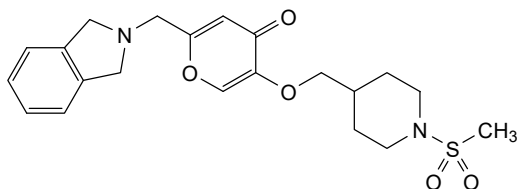
2-[(1,3-dihydro-2*H*-isoindol-2-yl)méthyl]-5-[[1-(méthanesulfonyl)pipéridin-4-yl]méthoxy]-4*H*-pyran-4-one
inhibiteur de l'enzyme de clivage de la chaîne latérale du cholestérol (CYP11A1)

opevesostat

2-[(1,3-dihidro-2*H*-isoindol-2-il)metil]-5-[[1-(metanosulfonyl)piperidin-4-il]metoxi]-4*H*-piran-4-ona
inhibidor de la enzima de escisión de la cadena lateral del colesterol (CYP11A1)

$C_{21}H_{26}N_2O_5S$

2231294-96-3

**orzilobenum**

orziloben

2-methyl-3-(pentyloxy)benzoic acid
medium chain fatty acid (MCFA) analogue

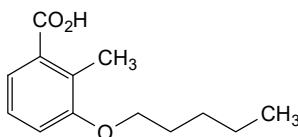
orzilobène

acide 2-méthyl-3-(pentyloxy)benzoïque
analogue d'acide gras à chaîne moyenne (AGCM)

orzilobén

ácido 2-metil-3-(pentiloxi)benzoico
análogo de ácido graso de cadena media (AGCM) $C_{13}H_{18}O_3$

1555822-28-0

**osavampatorum**

osavampator

9-[4-(cyclohexyloxy)phenyl]-7-methyl-3,4-dihydro-2H- $2\lambda^6$ -pyrazino[2,1-c][1,2,4]thiadiazine-2,2-dione
antipsychotic

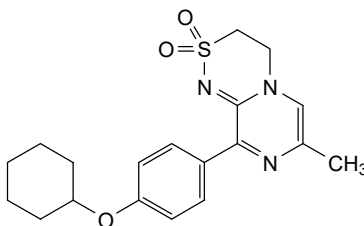
osavampator

9-[4-(cyclohexyloxy)phényl]-7-méthyl-3,4-dihydro-2H- $2\lambda^6$ -pyrazino[2,1-c][1,2,4]thiadiazine-2,2-dione
antipsychotique

osavampator

9-[4-(ciclohexiloxi)fenil]-7-metil-3,4-dihidro-2H- $2\lambda^6$ -pirazino[2,1-c][1,2,4]tiadiazina-2,2-diona
antipsicótico $C_{19}H_{23}N_3O_3S$

1358751-06-0



osunprotafibum

osunprotafib

5-{{(7*R*)-1-fluoro-3-hydroxy-7-[(3-methylbutyl)amino]-5,6,7,8-tetrahydronaphthalen-2-yl}-1λ⁶,2,5-thiadiazolidine-1,1,3-trione*protein tyrosine phosphatase (PTP) inhibitor, antineoplastic*

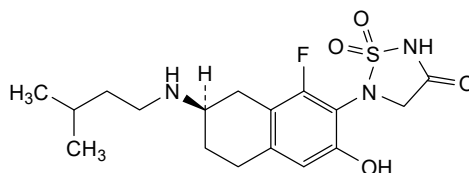
osunprotafib

5-{{(7*R*)-1-fluoro-3-hydroxy-7-[(3-méthylbutyl)amino]-5,6,7,8-tétrahydronaphthalén-2-yl}-1λ⁶,2,5-thiadiazolidine-1,1,3-trione*inhibiteur de la protéine tyrosine phosphatase (PTP), antinéoplasique*

osunprotafib

5-{{(7*R*)-1-fluoro-3-hidroxi-7-[(3-metilbutil)amino]-5,6,7,8-tetrahidronaftalen-2-il}-1λ⁶,2,5-tiadiazolidina-1,1,3-triona*inhibidor de la proteína tirosina fosfatasa (PTP), antineoplásico*C₁₇H₂₄FN₃O₄S

2489404-97-7

**oximbomotidum**

oximbomotide

L-leucyl-L-methionyl-L-α-aspartyl-L-leucyl-L-seryl-L-threonyl-L-threonyl-L-α-glutamyl-L-valine

immunological agent for active immunization (antineoplastic)

oximbomotide

L-leucyl-L-méthionyl-L-α-aspartyl-L-leucyl-L-séryl-L-thréonyl-L-thréonyl-L-α-glutamyl-L-valine

agent immunologique d'immunisation active (antineoplasique)

oximbomotida

L-leucil-L-metionil-L-α-aspartil-L-leucil-L-seril-L-treonil-L-treonil-L-α-glutamil-L-valina

*agente inmunológico para inmunización activa (antineoplásico)*C₄₂H₇₃N₉O₁₇S

2306406-51-7

Leu — Met — Asp — Leu — Ser — Thr — Thr — Glu — Val

pamvatamigum #

pamvatamig

immunoglobulin G1-kappa, anti-[*Homo sapiens* MET (met proto-oncogene, hepatocyte growth factor (HGF) receptor, HGFR, scatter factor (SF) receptor, HGF/SF receptor, receptor tyrosine-protein kinase c-met, papillary renal cell carcinoma 2, RCCP2)] and anti-[*Homo sapiens* EGFR (epidermal growth factor receptor, receptor tyrosine-protein kinase erbB-1, ERBB1, HER1, HER-1, ERBB)], *Homo sapiens* monoclonal antibody, bispecific;

gamma1 heavy chain anti-MET *Homo sapiens* (1-452) [VH (*Homo sapiens* IGHV7-4-1*02 (95.9%) -(IGHD) -IGHJ5*02 (100%), CDR-IMGT [8.8.16] (26-33.51-58.97-112)) (1-123)-*Homo sapiens* IGHG1*03, G1m3, nG1m1 CH1 R120, E12, M14, G1v72 CH3 D7, E24 (CH1 R120 (220) (124-221), hinge 1-15 (222-236), CH2 (237-346), CH3 E12 (362), M14 (364), L7>D (357), L24>E (374) (347-451), CHS K2>del (452)) (124-452)], (226-214')-disulfide with common kappa light chain *Homo sapiens* (1'-214') [V-KAPPA (*Homo sapiens* IGKV1-39*01 (100%) -IGKJ1*01 (100%), CDR-IMGT [6.3.9] (27'-32'.50'-52'.89'-97')) (1'-107') -*Homo sapiens* IGKC*01 (100%), Km3 A45.1 (153), V101 (191) (108'-214')]; gamma1 heavy chain anti-EGFR *Homo sapiens* (1"-451") [VH (*Homo sapiens* IGHV1-18*01 (98.0%) -(IGHD) -IGHJ4*01 (100%), CDR-IMGT [8.8.15] (26"-33".51"-58".97"-111")) (1"-122")-*Homo sapiens* IGHG1*03, G1m3, nG1m1 CH1 R120, E12, M14, G1v73 CH3 K7, K22 (CH1 R120 (219") (123"-220"), hinge 1-15 (221"-235"), CH2 (236"-345"), CH3 E12 (361"), M14 (363"), L7>K (356"), T22>K (371") (346"-450"), CHS K2>del (451")) (124"-452")], (226"-214'")-disulfide with common kappa light chain *Homo sapiens* (1'"-214'") [V-KAPPA (*Homo sapiens* IGKV1-39*01 (100%) -IGKJ1*01 (100%), CDR-IMGT [6.3.9] (27'"-32'" .50'" -52'" .89'" -97'")) (1'" -107'") -*Homo sapiens* IGKC*01 (100%), Km3 A45.1 (153'"), V101 (191'") (108'"-214'"); dimer (232-231":235-234")-bisdisulfide, produced in a Chinese hamster ovary (CHO) cell line, co-expressing the RMD enzyme (GDP-6-deoxy-D-lyxo-4-hexulose reductase), glycoform alfa *antineoplastica*

pamvatamig

immunoglobuline G1-kappa, anti-[*Homo sapiens* MET (proto-oncogène met, récepteur du facteur de croissance hépatocytaire, HGFR, récepteur du facteur de dispersion (SF), récepteur de l'HGF/SF, récepteur protéine-tyrosine kinase c-met, carcinome papillaire à cellules rénales 2, RCCP2)] et anti-[*Homo sapiens* EGFR (récepteur du facteur de croissance épidermique, récepteur tyrosine-protéine kinase erb-1, ERBB1, HER1, HER-1, ERBB)], anticorps monoclonal *Homo sapiens*, bispécifique; chaîne lourde gamma1 anti-MET *Homo sapiens* (1-452) [VH (*Homo sapiens* IGHV7-4-1*02 (95.9%) -(IGHD) -IGHJ5*02 (100%), CDR-IMGT [8.8.16] (26-33.51-58.97-112)) (1-123)-*Homo sapiens* IGHG1*03, G1m3, nG1m1 CH1 R120, E12, M14, G1v72 CH3 D7, E24 (CH1 R120 (220) (124-221), charnière 1-15 (222-236), CH2 (237-346), CH3 E12 (362), M14 (364), L7>D (357), L24>E (374) (347-451), CHS K2>del (452)) (124-452)], (226-214')-disulfure avec la chaîne commune légère kappa *Homo sapiens* (1'-214') [V-KAPPA (*Homo sapiens* IGKV1-39*01 (100%) -IGKJ1*01 (100%), CDR-IMGT [6.3.9] (27'-32'.50'-52'.89'-97')) (1'-107') -*Homo sapiens* IGKC*01 (100%), Km3 A45.1 (153'), V101 (191') (108'-214')];

- chaîne lourde gamma1 anti-EGFR *Homo sapiens* (1"-451") [VH (*Homo sapiens* IGHV1-18*01 (98.0%) -(IGHD) -IGHJ4*01 (100%), CDR-IMGT [8.8.15] (26"-33".51"-58".97"-111")) (1"-122")-*Homo sapiens* IGHG1*03, G1m3, nG1m1 CH1 R120, E12, M14, G1v73 CH3 K7, K22 (CH1 R120 (219") (123"-220"), charnière 1-15 (221"-235"), CH2 (236"-345"), CH3 E12 (361"), M14 (363"), L7>K (356"), T22>K (371") (346"-450"), CHS K2>del (451")) (124"-452)], (226"-214")- disulfure avec la chaîne commune légère kappa *Homo sapiens* (1"-214") [V-KAPPA (*Homo sapiens* IGKV1-39*01 (100%) -IGKJ1*01 (100%), CDR-IMGT [6.3.9] (27"-32".50"-52".89"-97")) (1"-107") -*Homo sapiens* IGKC*01 (100%), Km3 A45.1 (153"), V101 (191") (108"-214")]; dimère (232-231":235-234")-bisdisulfure, produit dans des cellules ovariennes de hamster chinois (CHO), co-exprimant l'enzyme RMD (GDP-6-désoxy-D-lyxo-4-hexulose réductase), glycoforme alfa
antineoplasique
- pamvatamig
- inmunoglobulina G1-kappa, anti-[*Homo sapiens* MET (proto-oncogén met, receptor del factor de crecimiento hepatocitario, HGFR, receptor del factor de dispersión (SF), receptor del HGF/SF, receptor proteína-tirosina kinasa c-met, carcinoma papilar de células renales 2, RCCP2)] y anti-[*Homo sapiens* EGFR (receptor del factor de crecimiento epidérmico, receptor tirosina-proteína kinasa erb-1, ERBB1, HER1, HER-1, ERBB)], anticuerpo monoclonal *Homo sapiens*, biespecífico;
- cadena pesada gamma1 anti-MET *Homo sapiens* (1-452) [VH (*Homo sapiens* IGHV7-4-1*02 (95.9%) -(IGHD) -IGHJ5*02 (100%), CDR-IMGT [8.8.16] (26-33.51-58.97-112)) (1-123)-*Homo sapiens* IGHG1*03, G1m3, nG1m1 CH1 R120, E12, M14, G1v72 CH3 D7, E24 (CH1 R120 (220) (124-221), bisagra 1-15 (222-236), CH2 (237-346), CH3 E12 (362), M14 (364), L7>D (357), L24>E (374) (347-451), CHS K2>del (452)) (124-452)], (226-214')-disulfuro con la cadena común ligera kappa *Homo sapiens* (1'-214') [V-KAPPA (*Homo sapiens* IGKV1-39*01 (100%) -IGKJ1*01 (100%), CDR-IMGT [6.3.9] (27'-32'.50'-52'.89'-97')) (1'-107') -*Homo sapiens* IGKC*01 (100%), Km3 A45.1 (153'), V101 (191') (108'-214')];
- cadena pesada gamma1 anti-EGFR *Homo sapiens* (1"-451") [VH (*Homo sapiens* IGHV1-18*01 (98.0%) -(IGHD) -IGHJ4*01 (100%), CDR-IMGT [8.8.15] (26"-33".51"-58".97"-111")) (1"-122")-*Homo sapiens* IGHG1*03, G1m3, nG1m1 CH1 R120, E12, M14, G1v73 CH3 K7, K22 (CH1 R120 (219") (123"-220"), bisagra 1-15 (221"-235"), CH2 (236"-345"), CH3 E12 (361"), M14 (363"), L7>K (356"), T22>K (371") (346"-450"), CHS K2>del (451")) (124"-452)], (226"-214")-disulfuro con la cadena común ligera kappa *Homo sapiens* (1"-214") [V-KAPPA (*Homo sapiens* IGKV1-39*01 (100%) -IGKJ1*01 (100%), CDR-IMGT [6.3.9] (27"-32".50"-52".89"-97")) (1"-107") -*Homo sapiens* IGKC*01 (100%), Km3 A45.1 (153"), V101 (191") (108"-214")]; dímero (232-231":235-234")-bisdisulfuro, producido en las células ováricas de hámster chino (CHO), coexpresar la enzima RMD (GDP-6-desoxi-D-lixo-4-hexulosa reductasa), forma glicosilada alfa
antineoplásico

Heavy chain / Chaîne lourde / Cadena pesada: anti-MET (H)
 QVQLVQSGSE LKKPGASVKV SCKASGYTFT TYSMNWVRQA PGQGLEWMGW 50
 INTYTGDPY AQGFTGRFVF SLDTSVSTAY LQISLKAED TAVYYCARET 100
 YFYDRGGYFP DFWGQGLTIV VSSASTKGPS VFPLAPSSKS TSGGTAALGC 150
 LVKDYFPEPV TVSWNSGALT SGVHTFPAVL QSSGLYSLSV VVTVPSSSLG 200
 TQTYICNVNH KPSNTKVDKR VEPKSCDKTH TCPCPAPEL LGGSPVFLFP 250
 PKPKDTLMIS RTPEVTCVVV DVSHEDPEVK FNWYVDGVEV HNAKTKPREP 300
 QYNSTYRVVS VLTVLHQDWL NGKEYKCKVS NKALPAPIEK TISKAKGQPR 350
 EPQVYVDPDS REEMTKNQVS LTCEVKGFPY SDIAVEWESN GPENNYKTT 400
 FVLDSDSGSF FLYSKLTVDK SRWQQGNVFS CSMVHEALHN HYTQKSLSL 450
 PG 452

Heavy chain / Chaîne lourde / Cadena pesada: anti-EGFR (H')
 QVQLVQSGAE VKKPGASVKV SCKASGYTFT SYGISWVRQA PGQGLEWMGW 50
 ISAYNANTNY AQKLGGRVTM TTDSTSTAY MELRSLRSDD TAVYYCAKDR 100
 HWHHWLDAFD YWQGLTIVT SSASTKGPSV FPLAPSSKST SGGTAALGCL 150
 VKDYFPEPVT VSWNSGALTS GVHTFPAVLQ SSGLYSLSSV VVTVPSSSLG 200
 QTYICNVNHK PSNTKVDKR EPKSCDKTHT CPCPAPELL GGPVVFVFP 250
 KFKDTLMISR TPEVTCVVVD VSHEDPEVK FNWYVDGVEV HNAKTKPREP 300
 YNSYRIVVVS LTVLHQDWL NGKEYKCKVSN KALPAPIEK ISKAKGQPR 350
 PQVYTKPPSR EEMTKNQVSL KCLVKGFPYS DIAVEWESNG QPENNYKTT 400
 FVLDSDSGSFF LYSKLTVDKS RWQQGNVFC SVMHEALHN HYTQKSLSL 450
 G 451

Light chain / Chaîne légère / Cadena ligera: (L, L')
 DIQMTQSPSS LSASVGRVIT ITCRASQIS SYLNWYQQKPK GKAPKLLIYA 50
 ASSLQSGVPS RFSQSGSGTD FTLTISSLQP EDFATYYCQQ SYSTPPFFGQ 100
 GTKVEIKRTV AAPSVFIFPP SDEQLKSGTA SVVCLLNIFY PREAKVQWVK 150
 DNALQSGNSQ ESVTEQDSKD STYLSLSTLT LSKADYEKHK VYACEVTHQG 200
 LSSPVTKSFN RGEIC 214

Post-translational modifications

Disulfide bridges location / Position des ponts disulfure / Posiciones de los puentes disulfuro

Intra-H (C23-C104) 22°-96 150°-206 267°-327 373°-431
 22°-96" 149°-205" 266°-326" 372°-430"

Intra-L (C23-C104) 23°-88" 134°-194"
 23°-88"" 134°-194""

Inter-H-L (h 5-CL 126) 226°-214" 225°-214"

Inter-H-H (h 11, h 14) 232°-231" 235°-234"

N-terminal glutaminyl cyclization / Cyclisation du glutaminyle N-terminal /

Ciclación del glutaminilo N-terminal

Q > pyroglutamyl (pE, 5-oxopropyl) / pyroglutamyle (pE, 5-oxopropyle) /

piroglutamilo (pE, 5-oxopropililo)

VH Q1: 1, 1'

N-glycosylation sites / Sites de N-glycosylation / Posiciones de N-glicosilación

H CH2 N84.4: 303, 302"

Low-fucosylated complex bi-antennary CHO-type glycans / glycanes de type CHO

bi-antennaires complexes faiblement fucosylés / glicanos de tipo CHO biantenarios

complejos débilmente fucosilados

pegmispotidium
 peggispotide

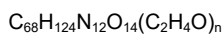
1,11-anhydro[L-alanyl-D-alanyl-N-methyl-L-leucyl-N-methyl-L-leucyl-N-methyl-L-valyl-(2S,3R,4R)-3-hydroxy-10-({3-[ω-methoxypoly(oxyethylene)-α-yl]propyl}amino)-4-methyl-2-(methylamino)-10-oxodecanoyl-(2S)-2-aminobutanoyl-N-methylglycyl-N-methyl-L-leucyl-L-valyl-N-methyl-L-leucine] *anti-inflammatory*

pegmispotide

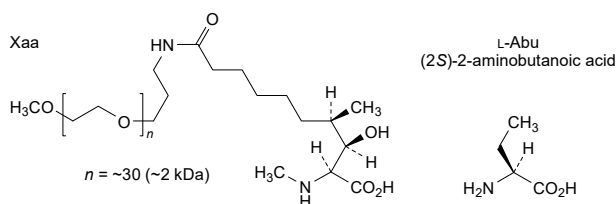
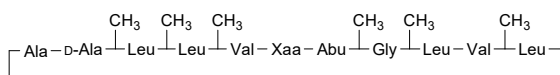
1,11-anhydro[L-alanyl-D-alanyl-N-méthyl-L-leucyl-N-méthyl-L-leucyl-N-méthyl-L-valyl-(2S,3R,4R)-3-hydroxy-10-({3-[ω-méthoxypoly(oxyéthylène)-α-yl]propyl}amino)-4-méthyl-2-(méthylamino)-10-oxodécanoïl-(2S)-2-aminobutanoyl-N-méthylglycyl-N-méthyl-L-leucyl-L-valyl-N-méthyl-L-leucine] *anti-inflammatoire*

pegmispotida

1,11-anhidro[L-alanil-D-alanil-N-metil-L-leucil-N-metil-L-leucil-N-metil-L-valil-(2S,3R,4R)-3-hidroxi-4-metil-2-(metilamino)-10-({3-[ω-metoxipoli(oxietileno)-α-il]propil}amino)-10-oxodecanoil-(2S)-2-aminobutanoyl-N-metilglicil-N-metil-L-leucil-L-valil-N-metil-L-leucina] *antiinflamatorio*



2412193-70-3

**perfluorohexyloctanum**

perfluorohexyloctane

1,1,1,2,2,3,3,4,4,5,5,6,6-tridecafluorotetradecane

ophthalmic lubricant

perfluorohexyloctane

1,1,1,2,2,3,3,4,4,5,5,6,6-tridécafluorotétradécane

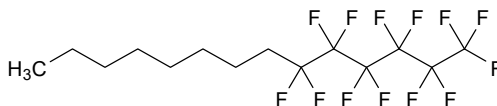
lubrifiant ophtalmique

perfluorohexiloctano

1,1,1,2,2,3,3,4,4,5,5,6,6-tridecafluorotetradecano

lubricante oftálmico

133331-77-8

**petrelintidum**

petrelintide

3,8-anhydro[*N*-(19-carboxynonadecanoyl)-L-γ-glutamyl-L-arginyl-L-α-aspartylglycyl-L-threonyl-L-alanyl-L-threonyl-L-lysyl-L-alanyl-L-threonyl-L-α-glutamyl-L-arginyl-L-leucyl-L-alanyl-(2S)-α-2-aminoadipyl-L-phenylalanyl-L-leucyl-L-glutamyl-L-arginyl-L-seryl-L-seryl-L-phenylalanyl-*N*-methylglycyl-L-alanyl-*N*-methyl-L-isoleucyl-L-leucyl-L-seryl-L-seryl-L-threonyl-L-α-glutamyl-L-valylglycyl-L-seryl-L-asparagyl-L-threonyl-(4R)-4-hydroxy-L-prolinamide]

amylin analogue

pétrélintide

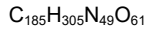
3,8-anhydro[*N*-(19-carboxynonadécanoil)-L-γ-glutamyl-L-arginyl-L-α-aspartylglycyl-L-thréonyl-L-alanyl-L-thréonyl-L-lysyl-L-alanyl-L-thréonyl-L-α-glutamyl-L-arginyl-L-leucyl-L-alanyl-(2S)-α-2-aminoadipyl-L-phénylalanyl-L-leucyl-L-glutamyl-L-arginyl-L-séryl-L-séryl-L-phénylalanyl-*N*-méthylglycyl-L-alanyl-*N*-méthyl-L-isoleucyl-L-leucyl-L-séryl-L-séryl-L-thréonyl-L-α-glutamyl-L-valylglycyl-L-séryl-L-asparagyl-L-thréonyl-(4R)-4-hydroxy-L-prolinamide]

analogue de l'amyline

petrelintida

3,8-anhidro[*N*-(19-carboxinonadecanoil)-L-γ-glutamyl-L-arginyl-L-α-aspartilglicil-L-treonil-L-alanyl-L-treonil-L-lisil-L-alanyl-L-treonil-L-α-glutamyl-L-arginil-L-leucil-L-alanyl-(2S)-α-2-aminoadipil-L-fenilalanil-

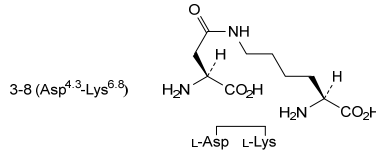
L-leucil-L-glutaminil-L-arginil-L-seril-L-seril-L-fenilalanil-
N-metilglilcil-L-alanil-*N*-metil-L-isoleucil-L-leucil-L-seril-L-
 seril-L-treonil-L- α -glutamil-L-valilglilcil-L-seril-L-
 asparaginil-L-treonil-(4*R*)-4-hidroxi-L-prolinamida]
análogo de amilina



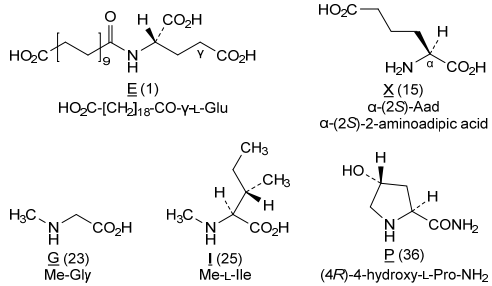
2766385-23-1

ERDGTATKAT ERLAXFLQRS SFGAILSSTE VGSNTPE 36

Amide bridge location / Position du pont amide / Posición del puente amido



Modified residues / Résidus modifiés / Restos modificados



pimicotinibum
 pimicotinib

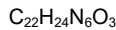
3,3-dimethyl-*N*-(6-methyl-5-[[2-(1-methyl-1*H*-pyrazol-4-yl)pyridin-4-yl]oxy]pyridin-2-yl)-2-oxopyrrolidine-1-carboxamide
tyrosine kinase inhibitor, antineoplastic

pimicotinib

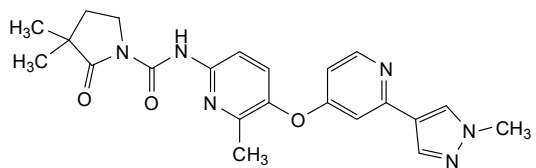
3,3-diméthyl-*N*-(6-méthyl-5-[[2-(1-méthyl-1*H*-pyrazol-4-yl)pyridin-4-yl]oxy]pyridin-2-yl)-2-oxopyrrolidine-1-carboxamide
inhibiteur de tyrosine kinase, antinéoplasique

pimicotinib

3,3-dimetil-*N*-(6-metil-5-[[2-(1-metil-1*H*-pirazol-4-il)piridin-4-il]oxi]piridin-2-il)-2-oxopirrolidina-1-carboxamida
inhibidor de la tirosina kinasa, antineoplásico



2253123-16-7



pobrolitidum

pobrolitide

N-acetyl-D-tyrosylglycyl-D-arginyl-D-lysyl-D-lysyl-D-arginyl-D-arginyl-D-glutamyl-D-arginyl-D-arginyl-D-arginylglycyl-D-lysyl-D-threonyl-D-leucyl-D-arginyl-D-valyl-D-alanyl-D-lysyl-D-alanyl-D-isoleucyl-D-tyrosyl-D-lysyl-D-arginyl-D-tyrosyl-D-isoleucyl-D-isoglutamine
antineoplastica

pobrolitide

N-acétyl-D-tyrosylglycyl-D-arginyl-D-lysyl-D-lysyl-D-arginyl-D-arginyl-D-glutamyl-D-arginyl-D-arginyl-D-arginylglycyl-D-lysyl-D-thréonyl-D-leucyl-D-arginyl-D-valyl-D-alanyl-D-lysyl-D-alanyl-D-isoleucyl-D-tyrosyl-D-lysyl-D-arginyl-D-tyrosyl-D-isoleucyl-D-isoglutamine
antineoplasique

pobrolitida

N-acetil-D-tirosilglicil-D-arginil-D-lisil-D-lisil-D-arginil-D-arginil-D-glutamini-D-arginil-D-arginil-D-arginilglicil-D-lisil-D-treonil-D-leucil-D-arginil-D-valil-D-alanil-D-lisil-D-alanil-D-isoleucil-D-tirosil-D-lisil-D-arginil-D-tirosil-D-isoleucil-D-isoglutamina
antineoplásico

C₁₅₄H₂₆₈N₅₈O₃₅

2775373-65-2

YGRKKRRQRR RGKTLRVAKA IYKRYIE 27

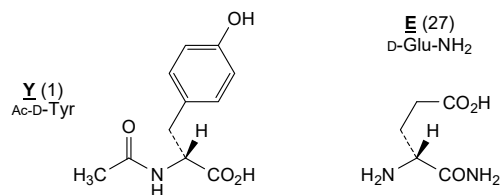
Configuration / Configuration / Configuración

X (1-27)

All-D / Tout-D / Todo-D

D-Xaa

Modified residues / Résidus modifiés / Restos modificados

**pozdeutinuradum**

pozdeutinurad

rac-(3,5-dibromo-4-hydroxyphenyl){2-[(1*R*)-1-hydroxyethyl](4,5,6,7-²H₄)-1-benzofuran-3-yl}methanone
urate transporter inhibitor

pozdeutinurad

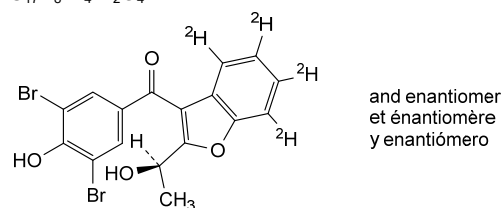
rac-(3,5-dibromo-4-hydroxyphényl){2-[(1*R*)-1-hydroxyéthyl](4,5,6,7-²H₄)-1-benzofuran-3-yl}méthanone
inhibiteur du transporteur de l'urate

pozdeutinurad

rac-(3,5-dibromo-4-hidroxifenil){2-[(1*R*)-1-hidroxietil](4,5,6,7-²H₄)-1-benzofuran-3-il}metanona
inhibidor del transportador del urato

C₁₇H₈²H₄Br₂O₄

2173408-41-6



pozetaldogenum ormesparvecum #

pozetaldogene ormesparvecum recombinant, non-replicating adeno-associated virus serotype 9 (rAAV9) vector encoding human adenosine triphosphate (ATP)-binding cassette sub-family D member 1 (ABCD1, also known as adrenoleukodystrophy (ALD) protein) under control of a human cytomegalovirus (CMV) enhancer/chicken β -actin (CBA) promoter plus a β -actin exon, a chimeric chicken β -actin/rabbit β -globin intron, and a rabbit β -globin exon 3, terminated with simian virus 40 (SV40) and bovine growth hormone (bGH) polyadenylation signals, and flanked by adeno-associated virus 2 (AAV2) inverted terminal repeats (ITRs)
gene therapy (adrenoleukodystrophy)

pozétaldogène ormesparvecum

vecteur recombinant, non répliquant, du virus adéno-associé de sérotype 9 (rAAV9) codant le membre 1 de la sous-famille D de la cassette de liaison à l'adénosine triphosphate (ATP) humaine (ABCD1, également connue sous le nom de protéine de l'adrénoleucodystrophie (ALD)) sous le contrôle d'un promoteur du cytomégalo­virus humain (CMV)/de la β -actine de poulet (CBA) et d'un exon de la β -actine, un intron chimérique de la β -actine de poulet/de la β -globine de lapin et un exon 3 de la β -globine de lapin, terminés par des signaux de polyadénylation du virus simien 40 (SV40) et de l'hormone de croissance bovine (bGH), et encadrés par des répétitions terminales inversées (ITR) du virus adéno-associé 2 (AAV2)
thérapie génique (adrénoleucodystrophie)

pozetaldogén ormesparvecum

vector de virus adenoasociado del serotipo 9 recombinante (rAAV9), no replicativo, que codifica para el miembro 1 de la subfamilia D del casete de unión a la adenosina trifosfato (ATP) (ABCD1, también conocida como proteína de la adrenoleucodistrofia (ALD)) bajo el control de un potenciador de citomegalovirus (CMV) humano /promotor de la β -actina de pollo (CBA) más un exón de la β -actina, un intrón quimérico de β -actina de pollo/ β -globina de conejo y un exón 3 de la β -globina de conejo terminado con señales de poliadenilación del virus de simio 40 (SV40) y de la hormona de crecimiento bovina (bGH), y flanqueado por repeticiones terminales invertidas (ITRs) del virus adenoasociado 2 (AAV2)
terapia génica (adrenoleucodistrofia)

2764626-03-9

ragistomigum #

ragistomig

immunoglobulin G1-scFv_L-kappa dimer, anti-[*Homo sapiens* CD274 (programmed cell death 1 ligand 1, PDL1, PD-L1, B7 homolog 1, B7H1, B7-H1, PDCD1LG1)] and anti-[*Homo sapiens* TNFRSF9 (TNF receptor superfamily member 9, 4-1BB, T cell antigen ILA, CD137)], humanized monoclonal antibody, bispecific;
fused G1-scFv lambda-heavy heavy chain humanized (1-715) [gamma1 anti-CD274 humanized (1-449) [VH (*Homo sapiens*IGHV3-48*02 (87.8%) -(IGHD)-IGHJ4*01 (85.7%) L123>T (114), CDR-IMGT [8.8.12] (26-33.51-58.97-108)) (1-119)-*Homo sapiens* IGHG1*03v, G1m3>G1m17, nG1m1,

- CH1 K120, CH3 E12, M14, G1v29 CH2 A84.4 (CH1 R120>K (216) (120-217), hinge 1-15 (218-232), CH2 N84.4>A (299)(233-342), CH3 E12 (358), M14 (360) (343-447), CHS (448-449)) (120-449)] -15-mer tris(tetraglycyl-seryl) linker (450-464) -scFv lambda-heavy anti-TNFRSF9 humanized scFv-v2 C120 (VL)-C49 (VH) (465-715) [V-LAMBDA (*Homo sapiens* IGLV1-47*02 (91.8%) -IGLJ2*01 (91.8%) C120 (567), CDR-IMGT [8.3.11] (490-497.515-517.554-564)) (465-574) -20-mer tetrakis(tetraglycyl-seryl) linker (575-594) -VH (*Homo sapiens* IGHV3-23*01 (93.9%) -(IGHD) -IGHJ4*01 (100%), CDR-IMGT [8.8.14] (620-627.645-652.691-704)) (595-715)]; (222-214')-disulfide with kappa light chain anti-CD274 humanized (1'-214') [V-KAPPA (*Homo sapiens* IGKV1-33*01 (83.2%) -IGKJ2*01 (100%), CDR-IMGT [6.3.9] (27'-32'.50'-52'.89'-97')) (1'-107') -*Homo sapiens* IGKC*01 (100%), Km3, A45.1 (153'), V101 (191') (108'-214')]; dimer (228-228":231-231")-bisdisulfide, produced in Chinese hamster ovary (CHO) cells, cell line CHO-K1, non-glycosylated immunostimulant, antineoplastic
- ragistomig immunoglobuline G1-scFv_L-kappa dimère, anti-[*Homo sapiens* CD274 (ligand 1 de mort cellulaire programmée 1, PDL1, PD-L1, B7 homologue 1, B7H1, B7-H1, PDCD1LG1)] et anti-[*Homo sapiens* TNFRSF9 (membre 9 de la superfamille des récepteurs du TNF, 4-1BB, antigène ILA des cellules T, CD137)], anticorps monoclonal humanisé, bispécifique; chaîne lourde fusionnée G1-scFv lambda-lourd humanisée (1-715) [gamma1 anti- CD274 humanisée (1-449) [VH (*Homo sapiens* IGHV3-48*02 (87.8%) -(IGHD) -IGHJ4*01 (85.7%) L123>T (114), CDR-IMGT [8.8.12] (26-33.51-58.97-108)) (1-119)-*Homo sapiens* IGHG1*03v, G1m3>G1m17, nG1m1, CH1 K120, CH3 E12, M14, G1v29 CH2 A84.4 (CH1 R120>K (216) (120-217), charnière 1-15 (218-232), CH2 N84.4>A (299) (233-342), CH3 E12 (358), M14 (360) (343-447), CHS (448-449)) (120-449)] -15-mer tris(tetraglycyl-séryl) linker (450-464) -scFv lambda-lourd anti-TNFRSF9 humanisé scFv-v2 C120 (VL)-C49 (VH) (465-715) [V-LAMBDA (*Homo sapiens* IGLV1-47*02 (91.8%) -IGLJ2*01 (91.8%) C120 (567), CDR-IMGT [8.3.11] (490-497.515-517.554-564)) (465-574) -20-mer tétrakis(tetraglycyl-séryl) linker (575-594) -VH (*Homo sapiens* IGHV3-23*01 (93.9%) -(IGHD) -IGHJ4*01 (100%), C49 (638) CDR-IMGT [8.8.14] (620-627.645-652.691-704)) (595-715)]; (222-214')-disulfure avec la chaîne légère kappa anti-CD274 humanisée 1'-214') [V-KAPPA (*Homo sapiens* IGKV1-33*01 (83.2%) -IGKJ2*01 (100%), CDR-IMGT [6.3.9] (27'-32'.50'-52'.89'-97')) (1'-107') -*Homo sapiens* IGKC*01 (100%), Km3, A45.1 (153'), V101 (191') (108'-214')]; dimère (228-228":231-231")-bisdisulfure, produit dans des cellules ovariennes de hamster chinois (CHO), lignée cellulaire CHO-K1, non-glycosylé immunostimulant, antinéoplasique
- ragistomig inmunoglobulina G1-scFv_L-kappa dímero, anti-[*Homo sapiens* CD274 (ligando 1 de muerte celular programada 1, PDL1, PD-L1, B7 homólogo 1, B7H1, B7-H1, PDCD1LG1)] y anti-[*Homo sapiens* TNFRSF9 (miembro 9 de la superfamilia de los receptores del TNF, 4-1BB, antígeno ILA de las células T, CD137)], anticuerpo monoclonal humanizado, bispecifico; cadena pesada fusionada G1-scFv lambda-pesada humanizada (1-715) [gamma1 anti- CD274 humanizada (1-449) [VH (*Homo sapiens* IGHV3-48*02 (87.8%) -(IGHD) -IGHJ4*01 (85.7%) L123>T (114), CDR-IMGT [8.8.12] (26-33.51-58.97-108)) (1-119)-*Homo sapiens* IGHG1*03v, G1m3>G1m17, nG1m1, CH1 K120, CH3 E12, M14, G1v29 CH2 A84.4 (CH1 R120>K (216) (120-217), bisagra 1-15 (218-232), CH2 N84.4>A (299) (233-342), CH3 E12 (358), M14 (360) (343-447), CHS (448-449)) (120-449)] -15-mer tris(tetraglicil-seril) enlace (450-464) -scFv lambda-pesado anti-TNFRSF9 humanizado scFv-v2 C120 (VL)-C49 (VH) (465-715) [V-LAMBDA (*Homo sapiens* IGLV1-47*02 (91.8%) -IGLJ2*01 (91.8%) C120 (567), CDR-IMGT [8.3.11] (490-497.515-517.554-564)) (465-574) -20-mer tetrakis(tetraglicil-seril) enlace (575-594) -VH (*Homo*

sapiens IGHV3-23*01 (93.9%) -(IGHD) -IGHJ4*01 (100%), C49 (638) CDR-IMGT [8.8.14] (620-627.645-652.691-704) (595-715)]; (222-214')-disulfuro con la cadena ligera kappa anti-CD274 humanizada 1'-214') [V-KAPPA (*Homo sapiens* IGKV1-33*01 (83.2%) -IGKJ2*01 (100%), CDR-IMGT [6.3.9] (27'-32'.50'-52'.89'-97')) (1'-107') -*Homo sapiens* IGKC*01 (100%), Km3, A45.1 (153'), V101 (191') (108'-214')]; dímero (228-228":231-231")-bisdisulfuro, producido en las células ováricas de hámster chino (CHO), línea celular CHO-K1, no glicosilado
inmunoestimulante, antineoplásico

2763222-58-6

Heavy chain / Chaîne lourde / Cadena pesada: anti-CD274 G1 -anti-TNFRSF9 scFv
EVQLVESGGG LVQPFGSLRL SCAASGFTFS SYDMSWVROA PGKSLEWVAT 50
ISDAGGYYIY RDSVKGRFTI SRDNAKNSLY LQMNSLRDED TAVYICAREL 100
PWRALDYWG QGTTVTVSSA STKGPSVFPL APSSKSTSGG TAALGCLVKD 150
YFPEPVTWSV NSGALTSGVH TFFAVLQSSG LYSLSVVTV PSSSLGTQTY 200
ICNVNHRKPSN TKVDKKEVEPK SCDKTHTCPP CPAPELLGGP SVFLFPKPK 250
DTLMLSRTPV VTCVVVDVSH EDPEVKFNWY VDGVEVHNAK TKPREEQYAS 300
YTRVSVLTV LHQDMLNGKE YKCKVSNKAL PAPIEKTISK AKGQPREPQV 350
YTLPPSREEM TKNQVSLTCL VKGFPYSDIA VEWESNGQPE NNYKTTTPVL 400
DSGDSFFLYS KLTVDKSRWQ QGNVFCSVM HEALHNNHYTQ KSLSLSPGKG 450
GGSGGGGSG GGGQSVLTQ PPSASGTPGQ RVTISCSGSS SNIGNNYVTM 500
YQQLPGTAPK LLIYADSHRP SGVPRFSGS KSGTASALAI SGLRSEDEAD 550
YYCATWDYSL SGYVFCGTRK LTVLGGGSG GGGSGGGSG GGGSEVQLE 600
SGGGLVQPGG SRLRSCAASG FTFSSYDMSW VRQAPGKCLE WWSWISYSGG 650
SIYYADSVKG RFTISRDN SK NTLYLQMNLS RAEDTAVVYC ARDAQRNSMR 700
EPDYWGQGLT VTVSS 715

Light chain / Chaîne légère / Cadena ligera: anti-CD274
DIQMTQSPSS LSASVGRVIT ITCKASQDVT PAVAWYQQKPK GKAPKLLIYS 50
TSSRYTGVPS RFGSGSGTD FTFITISLQP EDIATYYCQQ HYTTPLEFGQ 100
GTKLEIKRTV AAPSVEFIPP SDEQLKSGTA SVVCLLNMFY PREAKVQWKV 150
LALQSGNSQ ESVTEQDSKD STYLSSTLT LSKADYKHKV VYACEVTHQG 200
LSSPVTKSFN RGEK 214

Post-translational modifications

Disulfide bridges location / Position des ponts disulfure / Posiciones de los puentes disulfuro

Intra-H (C23-C104) 22-96 146-202 263-323 369-427 486-553 616-690
22"-96" 146"-202" 263"-323" 369"-427" 486"-553" 616"-690"

Intra-H scFv VL120-VH49* 567-638
567"-638"

Intra-L (C23-C104) 23'-88' 134'-194'
23"-88" 134"-194"

Inter-H-L (h 5-CL 126) 222-214' 222"-214"

Inter-H-H (h 11, h 14) 228-228" 231-231"

*Engineered additional disulfide bond to stabilize the scFv.

No N-glycosylation sites / pas de sites de N-glycosylation / ninguna posición de N-glicosilación
H CH2 N84.4>A (G1v29): 299, 299"

rapirosiranum

rapirosiran

[[2S,4R)-1-(1-[(2-acetamido-2-deoxy-β-D-galactopyranosyl)oxy]-16,16-bis({3-[(3-{5-[(2-acetamido-2-deoxy-β-D-galactopyranosyl)oxy]pentanamido}propyl)amino]-3-oxopropyl}methyl)-5,11,18-trioxo-14-oxa-6,10,17-triazanonacosan-29-oyl)-4-hydroxypyrrolidin-2-yl)methyl hydrogen
all-P-ambo-2'-O-methyl-P-thioadenyl-yl-(3'→5')-2'-O-methyl-P-thiouridyl-yl-(3'→5')-2'-O-methylguanylyl-yl-(3'→5')-2'-O-methylcytidyl-yl-(3'→5')-2'-O-methyluridyl-yl-(3'→5')-2'-O-methyluridyl-yl-(3'→5')-2'-deoxy-2'-fluorouridyl-yl-(3'→5')-2'-O-methyluridyl-yl-(3'→5')-2'-deoxy-2'-fluoroguanlyl-yl-(3'→5')-2'-O-methylcytidyl-yl-(3'→5')-2'-deoxy-2'-fluoroadenyl-yl-(3'→5')-2'-O-methyluridyl-yl-(3'→5')-2'-O-methylguanylyl-yl-(3'→5')-2'-O-methylguanylyl-yl-(3'→5')-2'-O-methyladenyl-yl-(3'→5')-2'-O-methylcytidyl-yl-(3'→5')-2'-O-methyluridyl-yl-(3'→5')-2'-O-methyladenyl-yl-(3'→5')-2'-O-methyluridyl-yl-(3'→5')-2'-O-methylcytidyl-yl-(3'→5')-2'-O-methyluridylate

duplex with *all-P-ambo-2'-O-methyl-P-thiocytidylyl-(5'→3')-2'-O-methyl-P-thiouridylyl-(5'→3')-2'-O-methyluridylyl-(5'→3')-2'-O-methyladenylyl-(5'→3')-2'-O-methylcytidylyl-(5'→3')-2'-O-methylguanylyl-(5'→3')-2'-O-methyladenylyl-(5'→3')-2'-deoxy-2'-fluoroadenylyl-(5'→3')-2'-O-methyladenylyl-(5'→3')-2'-deoxy-2'-fluoroadenylyl-(5'→3')-2'-O-methylcytidylyl-(5'→3')-2'-O-methylguanylyl-(5'→3')-2'-O-methyluridylyl-(5'→3')-2'-O-methyladenylyl-(5'→3')-2'-O-methylcytidylyl-(5'→3')-2'-O-methylcytidylyl-(5'→2')-1-de-β-D-ribofuranosyl-1-[(2S)-2,3-dihydroxypropyl]-5-methyluridylyl-(3'→3')-2'-O-methylguanylyl-(5'→3')-2'-O-methyladenylyl-(5'→3')-2'-O-methyluridylyl-(5'→3')-2'-O-methyluridylyl-(5'→3')-2'-O-methyl-P-thioadenylyl-(5'→3')-2'-deoxy-2'-fluoro-P-thioguanilyl-(5'→3')-2'-O-methyladenosine 17-beta-hydroxysteroid dehydrogenase 13 synthesis reducer*

rapirosiran

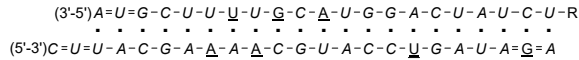
tout-P-ambo-2'-O-méthyl-P-thioadénylyl-(3'→5')-2'-O-méthyl-P-thiouridylyl-(3'→5')-2'-O-méthylguanylyl-(3'→5')-2'-O-méthylcytidylyl-(3'→5')-2'-O-méthyluridylyl-(3'→5')-2'-O-méthyluridylyl-(3'→5')-2'-désoxy-2'-fluorouridylyl-(3'→5')-2'-O-méthyluridylyl-(3'→5')-2'-désoxy-2'-fluoroguanilyl-(3'→5')-2'-O-méthylcytidylyl-(3'→5')-2'-désoxy-2'-fluoroadénylyl-(3'→5')-2'-O-méthyluridylyl-(3'→5')-2'-O-méthylguanylyl-(3'→5')-2'-O-méthylguanylyl-(3'→5')-2'-O-méthyladénylyl-(3'→5')-2'-O-méthylcytidylyl-(3'→5')-2'-O-méthyluridylyl-(3'→5')-2'-O-méthyladénylyl-(3'→5')-2'-O-méthyluridylyl-(3'→5')-2'-O-méthylcytidylyl-(3'→5')-hydrogène-2'-O-méthyluridylyl de [(2S,4R)-1-(1-[(2-acétamido-2-désoxy-β-D-galactopyranosyl)oxy]-16,16-bis({3-[(3-{5-[(2-acétamido-2-désoxy-β-D-galactopyranosyl)oxy]pentanamido}propyl)amino]-3-oxopropyl)méthyl)-5,11,18-trioxo-14-oxa-6,10,17-triazanonacosan-29-oyl)-4-hydroxypyrrolidin-2-yl)méthyle

duplex avec *tout-P-ambo-2'-O-méthyl-P-thiocytidylyl-(5'→3')-2'-O-méthyl-P-thiouridylyl-(5'→3')-2'-O-méthyluridylyl-(5'→3')-2'-O-méthyladénylyl-(5'→3')-2'-O-méthylcytidylyl-(5'→3')-2'-O-méthylguanylyl-(5'→3')-2'-O-méthyladénylyl-(5'→3')-2'-désoxy-2'-fluoroadénylyl-(5'→3')-2'-O-méthyladénylyl-(5'→3')-2'-désoxy-2'-fluoroadénylyl-(5'→3')-2'-O-méthylcytidylyl-(5'→3')-2'-O-méthylguanylyl-(5'→3')-2'-O-méthyluridylyl-(5'→3')-2'-O-méthyladénylyl-(5'→3')-2'-O-méthylcytidylyl-(5'→3')-2'-O-méthylcytidylyl-(5'→2')-1-dé-β-D-ribofuranosyl-1-[(2S)-2,3-dihydroxypropyl]-5-méthyluridylyl-(3'→3')-2'-O-méthylguanylyl-(5'→3')-2'-O-méthyladénylyl-(5'→3')-2'-O-méthyluridylyl-(5'→3')-2'-O-méthyl-P-thioadénylyl-(5'→3')-2'-désoxy-2'-fluoro-P-thioguanilyl-(5'→3')-2'-O-méthyladénosine réducteur de la synthèse de la 17-bêta-hydroxystéroïde déshydrogénase de type 13*

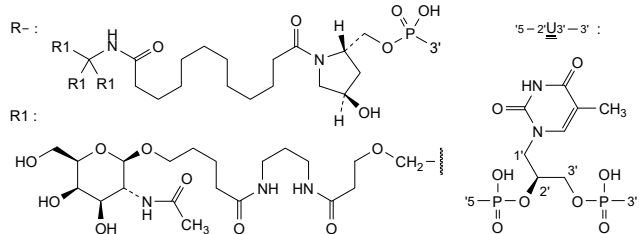
rapirosirán

*todo-P-ambo-2'-O-metil-P-tioadenilil-(3'→5')-2'-O-metil-P-tiouridilil-(3'→5')-2'-O-metilguanilil-(3'→5')-2'-O-metilcitolilil-(3'→5')-2'-O-metiluridilil-(3'→5')-2'-O-metiluridilil-(3'→5')-2'-desoxi-2'-fluorouridilil-(3'→5')-2'-O-metiluridilil-(3'→5')-2'-desoxi-2'-fluoroguanilil-(3'→5')-2'-O-metilcitolilil-(3'→5')-2'-desoxi-2'-fluoroadenilil-(3'→5')-2'-O-metiluridilil-(3'→5')-2'-O-metilguanilil-(3'→5')-2'-O-metilguanilil-(3'→5')-2'-O-metiladenilil-(3'→5')-2'-O-metilcitolilil-(3'→5')-2'-O-metiluridilil-(3'→5')-2'-O-metiladenilil-(3'→5')-2'-O-metiluridilil-(3'→5')-2'-O-metilcitolilil-(3'→5')-hidrógeno-2'-O-metiluridilato de [(2S,4R)-1-(1-[(2-acetamido-2-desoxi-β-D-galactopiranosil)oxi]-16,16-bis({3-[(3-{5-[(2-acetamido-2-desoxi-β-D-galactopiranosil)oxi]pentanamido}propil)amino]-3-oxopropil)metil)-5,11,18-trioxo-14-oxa-6,10,17-triazanonacosan-29-oyl)-4-hidroxi-pirrolidin-2-il)]metilo dúplex con *todo-P-ambo-2'-O-metil-P-tiocitolilil-(5'→3')-2'-O-metil-P-tiouridilil-(5'→3')-2'-O-metiluridilil-(5'→3')-2'-O-metiladenilil-(5'→3')-2'-O-metilcitolilil-(5'→3')-2'-O-metilguanilil-(5'→3')-2'-O-metiladenilil-(5'→3')-2'-desoxi-2'-fluoroadenilil-(5'→3')-2'-O-metilcitolilil-(5'→3')-2'-O-metilguanilil-(5'→3')-2'-O-metiluridilil-(5'→3')-2'-O-metiluridilil-(5'→3')-2'-O-metiladenilil-(5'→3')-2'-O-metilcitolilil-(5'→2')-1-des-β-D-ribofuranosil-1-[(2S)-2,3-dihidroxi-propil]-5-metiluridilil-(3'→3')-2'-O-metilguanilil-(5'→3')-2'-O-metiladenilil-(5'→3')-2'-O-metiluridilil-(5'→3')-2'-O-metil-P-tioadenilil-(5'→3')-2'-desoxi-2'-fluoro-P-tioguanilil-(5'→3')-2'-O-metiladenosina reductor de la síntesis de la 17-beta-hidroxiesteroide deshidrogenasa de tipo 13**

2755196-97-3



N : A,C,G,U
 N : 2'-O-methyl-N / 2'-O-méthyl-N / 2'-O-metil-N
 N : 2'-deoxy-2'-fluoro-N / 2'-désoxy-2'-fluoro-N / 2'-desoxi-2'-fluoro-N
 - : -PO(OH)- =: -PO(SH)-



redafamdistatum

redafamdistat

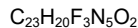
N-(pyridazin-3-yl)-4-[(3-[[5-(trifluoromethyl)pyridin-2-yl]oxy]phenyl)methylidene]piperidine-1-carboxamide
fatty acid amide hydrolase (FAAH) inhibitor

rédafamdistat

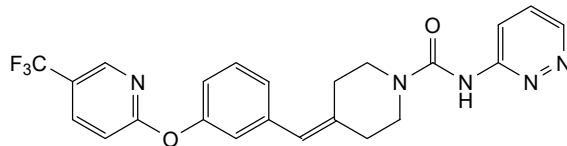
N-(pyridazin-3-yl)-4-[(3-[[5-(trifluorométhyl)pyridin-2-yl]oxy]phényl)méthylidène]pipéridine-1-carboxamide
inhibiteur de l'hydrolase des amides d'acides gras (FAAH)

redafamdistat

N-(piridazin-3-il)-4-[(3-[[5-(trifluorometil)piridin-2-il]oxi]fenil)metilideno]piperidina-1-carboxamida
inhibidor de la amida hidrolasa de ácidos grasos (FAAH)



1020315-31-4



reflocibartum #

reflocibart

immunoglobulin G4-kappa, anti-[*Homo sapiens* VEGFB (vascular endothelial growth factor B)], humanized monoclonal antibody; gamma4 heavy chain humanized(1-447) [VH (*Homo sapiens*IGHV1-2*06 (88.8%) -(IGHD) -IGHJ4*01 (100%), CDR-IMGT [8.8.13] (26-33.51-58.97-109)) (1-120)-*Homo sapiens* IGHG4*01, nG4m(a) CH2 L92, G4v5 h P10 (CH1 (121-218), hinge 1-12 S10>P (228) (219-230), CH2 L92 (309) (231-340), CH3 (341-445), CHS (446-447)) (121-447)], (134-214')-disulfide with kappa light chain humanized (1'-214') [V-KAPPA (*Homo sapiens* IGKV1-39*01 (88.4%) -IGKJ4*01 (100%), CDR-IMGT [6.3.9] (27'-32'.50'-52'.89'-97'')) (1'-107') -*Homo sapiens* IGKC*01 (100%), Km3 A45.1 (153'), V101 (191') (108'-214')]; dimer (226-226''-229-229'')-bisdisulfide, produced in Chinese hamster ovary (CHO) cells, cell line CHO-K1SV, glycoform alfa
angiogenesis inhibitor

- réflocibart** immunoglobuline G4-kappa, anti-[*Homo sapiens* VEGFB (facteur de croissance B de l'endothélium vasculaire)], anticorps monoclonal humanisé; chaîne lourde gamma4 humanisée (1-447) [VH (*Homo sapiens* IGHV1-2*06 (88.8%) -(IGHD) -IGHJ4*01 (100%), CDR-IMGT [8.8.13] (26-33.51-58.97-109)) (1-120)-*Homo sapiens* IGHG4*01, nG4m(a) CH2 L92, G4v5 h P10 (CH1 (121-218), charnière 1-12 S10>P (228) (219-230), CH2 L92 (309) (231-340), CH3 (341-445), CHS (446-447)) (121-447)], (134-214')-disulfure avec la chaîne légère kappa humanisée (1'-214') [V-KAPPA (*Homo sapiens* IGKV1-39*01 (88.4%) -IGKJ4*01 (100%), CDR-IMGT [6.3.9] (27'-32'.50'-52'.89'-97')) (1'-107') -*Homo sapiens* IGKC*01 (100%), Km3 A45.1 (153'), V101 (191') (108'-214')]; dimère (226-226":229-229")-bisdisulfure, produit dans des cellules ovariennes de hamster chinois (CHO), lignée cellulaire CHO-K1SV, glycoforme alfa
inhibiteur de l'angiogénèse
- reflocibart** inmunoglobulina G4-kappa, anti-[*Homo sapiens* VEGFB (factor de crecimiento B del endotelio vascular)], anticuerpo monoclonal humanizado; cadena pesada gamma4 humanizada (1-447) [VH (*Homo sapiens* IGHV1-2*06 (88.8%) -(IGHD) -IGHJ4*01 (100%), CDR-IMGT [8.8.13] (26-33.51-58.97-109)) (1-120)-*Homo sapiens* IGHG4*01, nG4m(a) CH2 L92, G4v5 h P10 (CH1 (121-218), bisagra 1-12 S10>P (228) (219-230), CH2 L92 (309) (231-340), CH3 (341-445), CHS (446-447)) (121-447)], (134-214')-disulfuro con la cadena ligera kappa humanizada (1'-214') [V-KAPPA (*Homo sapiens* IGKV1-39*01 (88.4%) -IGKJ4*01 (100%), CDR-IMGT [6.3.9] (27'-32'.50'-52'.89'-97')) (1'-107') -*Homo sapiens* IGKC*01 (100%), Km3 A45.1 (153'), V101 (191') (108'-214')]; dímero (226-226":229-229")-bisdisulfuro, producido en las células ováricas de hámster chino (CHO), línea celular CHO-K1SV, forma glicosilada alfa
inhibidor de la angiogénesis

2642578-92-3

Heavy chain / Chaîne lourde / Cadena pesada

QVQLVQSGAE VKKPGASVKV SKCASGYTFT FFWIHWVRQA PQGLEWMMGH 50
 INFGNGCTNY NEKFKRRVTM TRDKSISTAY MELSLRLSDD TAVYICARSY 100
 SNVVRAMYDW GQGLTLVTSSV ASTKGPSVFP LAPCSRSTSE STAALGCLVK 150
 DYFPEPVTVS WNSGALTSGV HTFPAVLQSS GLYSLSSVVT VPSSSLGKT 200
 YTCNVDRHPS NTKVDRVES KYGPPCPPCF APEFLGGPSV FLFPKPKFD 250
 LMSRTEPEVT CVVVDVSDQED PEVQFNWYVD GVEVHNAKTK PREEQFNSTY 300
 RVVSVLTVLH QDWLNGKEYK CKVSNKGLPS SIEKTISKAK GQPREPQVYT 351
 LPPSQEEMTK NQVSLTCLVK GFYPSDIAVE WESNGQPENN YKTTTPVLD 400
 DGSFFLYSRL TVDKSRWQEG NVFSCSVME ALHNYTKQS LSLSLGK 447

Light chain / Chaîne légère / Cadena ligera

DIQMTQSPSS LSASVGRVIT ITCRASQDIS NFLNHWYQQK GKAPKLLIYY 50
 TSTLHSGVPS RFSGSGSGTD FTLTISSLQP EDFATYYCQQ GKTLPPTFGG 100
 GTKVEIKRTV AAPSVEIFPP SDEQLKSGTA SVVCLLNFFY PREAKVQWVG 150
 DNALQSGNSQ ESVTEQDSKD STYLSLSTLT LSKADYEKHK VYACEVTHQG 200
 LSSPVTKSFN RGEK 214

Post-translational modifications

Disulfide bridges location / Position des ponts disulfure / Posiciones de los puentes disulfuro

Intra-H (C23-C104) 22"-96" 147"-203" 261"-321" 367"-425"

22"-96" 147"-203" 261"-321" 367"-425"

Intra-L (C23-C104) 23"-88" 134"-194"

23"-88" 134"-194"

Inter-H-L (CH1 10-CL 126) 134-214' 134"-214"

Inter-H-H (h 8, h 11) 226-226" 229-229"

N-terminal glutaminyl cyclization / Cyclisation du glutaminyle N-terminal / Ciclación del glutaminilo N-terminal

Q > pyroglutamyl (pE, 5-oxopropyl) / pyroglutamyle (pE, 5-oxopropyle) / piroglutamilo (pE, 5-oxoprolilo)

H VH Q1: 1, 1"

N-glycosylation sites / Sites de N-glycosylation / Posiciones de N-glicosilación

H CH2 N84.4: 297, 297"

Fucosylated complex bi-antennary CHO-type glycans / glycanes de type CHO bi-antennaires complexes fucosylés / glicanos de tipo CHO biantennarios complejos fucosilados.

C-terminal lysine clipping / Coupure de la lysine C-terminale / Recorte de lisina C-terminal

H CHS K2: 447, 447"

renizgamglogenum autogedtemcelum #

renizgamglogene autogedtemcel

autologous human CD34+ hematopoietic stem/precursor cells (HSPCs), obtained from peripheral blood by leukapheresis from *plerixafor*-mobilized sickle cell disease (SCD) patients or granulocyte colony stimulating factor (G-CSF) and *plerixafor*-mobilized transfusion dependent beta-thalassemia (TDT) patients, genetically modified *ex vivo* by CRISPR/Cas12a (clustered regularly interspaced palindromic repeats/modified *Acidaminococcus sp.* Cas12a) endonuclease complexed with a guide RNA (gRNA) that targets the CCAAT-box region of both gamma globin gene (HBG1 and HGB2) promoters on chromosome 11, creating indels that disrupt repressor binding and increase gamma globin expression. The editing components are introduced into the target cell population as a ribonucleoprotein complex by electroporation. The cell suspension is enriched for CD34+ cells using magnetic bead separation. Following electroporation, the cells are cultured in media containing thrombopoietin, Fms-related tyrosine kinase 3 ligand (Flt3L), and stem cell factor (SCF). The substance consists of cells with $\geq 70\%$ CD34/CD45+ purity and $\geq 70\%$ on-target editing.

cell-based gene therapy (hemoglobinopathy)

rénizgamglogène autogedtemcel

cellules souches/précurseurs hématopoïétiques humaines autologues (HSPC) CD34+, obtenues par leucaphérèse à partir de sang périphérique de patients atteints de drépanocytose, mobilisées par le *plerixafor* ou de patients atteints de bêta-thalassémie dépendante à la transfusion, mobilisées par le facteur de stimulation des colonies de granulocytes (G-CSF) et le *plerixafor*, génétiquement modifiés *ex vivo* par l'endonucléase CRISPR/Cas12a (courtes répétitions palindromiques groupées et régulièrement espacées/modifiée chez *Acidaminococcus sp.* Cas12a) complexée avec un ARN guide (ARNg) qui cible la région de la boîte CCAAT des deux promoteurs des gènes de la gamma-globine (HBG1 et HGB2) sur le chromosome 11, créant des indels qui perturbent la liaison du répresseur et augmentent l'expression de la gamma-globine. Les composants d'édition sont introduits dans la population cellulaire cible sous la forme d'un complexe ribonucléoprotéique par électroporation.

La suspension cellulaire est enrichie en cellules CD34+ à l'aide d'une séparation par billes magnétiques. Après l'électroporation, les cellules sont cultivées dans un milieu contenant de la thrombopoïétine, le ligand de la tyrosine kinase 3 apparentée au Fms (Flt3L) et le facteur de cellules souches (SCF). La substance est constituée de cellules avec une pureté $\geq 70\%$ CD34/CD45+ et $\geq 70\%$ d'édition sur cible.

thérapie génique à base de cellules (hémoglobinopathie)

renizgamglogén autogedtemcel

células madre/precursoras hematopoyéticas (HSPC) CD34+ humanas, autólogas, obtenidas de sangre periférica mediante leucoaféresis de pacientes con enfermedad de células falciformes previa movilización con *plerixafor* o de pacientes con beta-talasemia dependientes de transfusión previa movilización con factor estimulador de colonias de granulocitos (G-CSF) y con *plerixafor*. Las células se modifican genéticamente *ex vivo* mediante CRISPR/endonucleasa Cas12a (repeticiones palindrómicas agrupadas y espaciadas regularmente/Cas12a de *Acidaminococcus sp.* modificada) en complejo con un ARN guía (ARNg) dirigido a la región CCAAT-box de los promotores de los dos genes de la gamma globina (HBG1 y HBG2) en el cromosoma 11, creando indeles que interrumpen la unión del represor e incrementan la expresión de gamma globina. Los componentes editores se introducen en la población celular diana como complejos de ribonucleoproteína mediante electroporación. La suspensión celular se enriquece en células CD34+ usando separación por bolas magnéticas. Tras la electroporación, las células se cultivan en medio que contiene trombopoyetina, ligando de tirosina quinasa 3 similar a FMS (Flt3L) y factor de células madre (SCF). La substancia consiste en células con una pureza de $\geq 70\%$ CD34/CD45+ y $\geq 70\%$ con edición en el sitio deseado (*on-target*).
terapia génica basada en células (hemoglobinopatía)

repicericelum
repicericel

autologous red blood cells (RBC) isolated from whole blood, with platelets removed through cell washing and white blood cells (WBCs) removed by leukoreduction filtration. The RBCs are reconstituted in media containing dimethylsulfoxide (DMSO) and loaded with antigens (synthetic long peptides (SLPs) containing HLA-A*02-restricted E6 and E7 epitopes of human papillomavirus 16 (HPV16)) and the adjuvant polyinosinic-polycytidylic acid (poly I:C), which are delivered to the RBCs by flow through microfluidic chip containing constrictions narrower than the cell that temporarily disrupts the cell membrane to allow the material to enter the cell. The final cells are at least 70% positive for glycophorin A (CD235a) and annexin V, and contain poly I:C. In co-culture with monocyte-derived dendritic cells the RBCs induce interferon gamma (IFN γ) secretion by E7 antigen-specific CD8+ T lymphocytes.
E6 SLP: **QLCTELQTTIHDIIECVYCKQQLL**; E7 SLP: **QLCTELQTYMLDLQPETTYCKQQLL**
The antigenic epitopes for HPV16 are in bold.
cell therapy (antineoplastic)

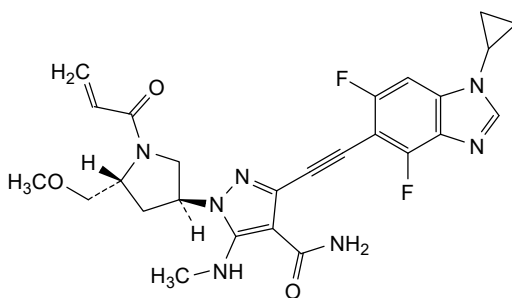
répicericel

globules rouges (GR) autologues, isolés à partir de sang total, avec les plaquettes éliminées par lavage cellulaire et les globules blancs (GB) par filtration avec déleucocytation. Les GR sont reconstitués dans un milieu contenant du diméthylsulfoxyde (DMSO) et chargés avec des antigènes (longs peptides synthétiques (SLP)

	<p>contenant les épitopes E6 et E7 du virus humain du papillome types 16 (HPV16) restreints par HLA-A*02) et de l'adjuvant acide polyinosinique-polycytidylique (poly I:C), qui sont administrés aux GR par un flux traversant une puce microfluidique présentant des constriction plus étroites que la cellule perturbant temporairement la membrane cellulaire pour permettre au matériel de pénétrer dans la cellule.</p> <p>Les cellules finales sont positives à au moins 70 % à la glycophorine A (CD235a) et l'annexine V, et contiennent du poly I:C. En co-culture avec des cellules dendritiques dérivées de monocytes, les GR induisent la sécrétion d'interféron gamma (IFNγ) par les lymphocytes T CD8+ spécifiques de l'antigène E7.</p> <p>E6 SLP: QLCTELQTTIHDILECVYCKQQLL; E7 SLP: QLCTELQTYMLDLQPETTYCKQQLL</p> <p>Les épitopes antigéniques du HPV16 sont en caractères gras. <i>thérapie cellulaire (antineoplasique)</i></p>
repicericel	<p>eritrocitos autólogos aislados de sangre total, donde se han eliminado las plaquetas mediante lavados celulares y los leucocitos mediante filtración leucorreductora. Los eritrocitos se reconstituyen en medio que contiene dimetil sulfóxido (DMSO) y se cargan con antígenos (péptidos sintéticos largos (SLP) que contienen epítomos de E6 y E7 del papillomavirus humano de tipo 16 (HPV16) restringidos por HLA-A*02) y el adyuvante ácido poliinosínico-policitidílico (poli I:C), los cuales se administran a los eritrocitos mediante flujo a través de constricciones con chips microfluídicos más estrechas que las células, lo que desorganiza temporalmente la membrana celular para permitir que el material entre en la célula.</p> <p>Las células finales son al menos 70% positivas para glicoforina A (CD235a) y anexina V y contienen poli I:C. En co-cultivo con células dendríticas derivadas de monocitos, los eritrocitos inducen la secreción de interferón gamma (IFNγ) en linfocitos T CD8+ específicos del antígeno E7.</p> <p>E6 SLP: QLCTELQTTIHDILECVYCKQQLL; E7 SLP: QLCTELQTYMLDLQPETTYCKQQLL</p> <p>Los epitopos antigénicos para HPV16 están en letras en negrita. <i>terapia celular (antineoplásico)</i></p>
resigratinibum	
resigratinib	<p>3-[(1-cyclopropyl-4,6-difluoro-1H-1,3-benzimidazol-5-yl)ethynyl]-1-[(3S,5R)-5-(methoxymethyl)-1-(prop-2-enoyl)pyrrolidin-3-yl]-5-(methylamino)-1H-pyrazole-4-carboxamide <i>fibroblast growth factor receptor tyrosine kinase inhibitor, antineoplastic</i></p>
résigratinib	<p>3-[(1-cyclopropyl-4,6-difluoro-1H-1,3-benzimidazol-5-yl)éthynyl]-1-[(3S,5R)-5-(méthoxyméthyl)-1-(prop-2-énoyl)pyrrolidin-3-yl]-5-(méthylamino)-1H-pyrazole-4-carboxamide <i>inhibiteur de la tyrosine kinase du récepteur du facteur de croissance des fibroblastes, antinéoplasique</i></p>
resigratinib	<p>3-[(1-ciclopropil-4,6-difluoro-1H-1,3-benzimidazol-5-il)etinil]- 5-(metilamino)-1-[(3S,5R)- 5-(metoximetil)-1-(prop-2-enoil)pirrolidin-3-il]-1H-pirazol-4-carboxamida <i>inhibidor de la tirosina kinasa del receptor del factor de crecimiento de fibroblastos, antineoplásico</i></p>

C₂₆H₂₇F₂N₇O₃

2750709-91-0

**rezatapoptym**

rezatapoptym

4-({3-[4-{{(3*S*,4*R*)-3-fluoro-1-méthylpiperidin-4-yl}amino)-1-(2,2,2-trifluoroéthyl)-1*H*-indol-2-yl}prop-2-yn-1-yl}amino)-3-méthoxy-*N*-méthylbenzamide
antineoplastic

rézatapoptym

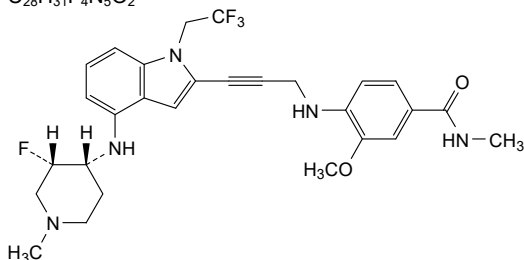
4-({3-[4-{{(3*S*,4*R*)-3-fluoro-1-méthylpipéridin-4-yl}amino)-1-(2,2,2-trifluoroéthyl)-1*H*-indol-2-yl}prop-2-yn-1-yl}amino)-3-méthoxy-*N*-méthylbenzamide
antineoplasique

rezatapoptym

4-({3-[4-{{(3*S*,4*R*)-3-fluoro-1-méthylpiperidin-4-il}amino)-1-(2,2,2-trifluoroéthyl)-1*H*-indol-2-il}prop-2-in-1-il}amino)-3-méthoxy-*N*-méthylbenzamide
antineoplásico

C₂₈H₃₁F₄N₅O₂

2636846-41-6

**rezetamigum #**

rezetamigum

immunoglobulin half G4-kappa_G4(VH-h-CH2-CH3), anti-[*Homo sapiens* CD3E (CD3 epsilon)] and anti-[*Homo sapiens* CD22 (sialic acid binding Ig-like lectin 2, SIGLEC2, SIGLEC-2, B-lymphocyte cell adhesion molecule, BL-CAM, Leu-14)], *Homo sapiens* monoclonal antibody, bispecific, bivalent;

gamma4 heavy chain anti-CD3E *Homo sapiens* (1-450) [VH (*Homo sapiens* IGHV3-9*01 (98.0%) -(IGHD) -IGHJ4*01 (100%), CDR-IMGT [8.8.16] (26-33.51-58.97-112)) (1-123)-*Homo sapiens* IGHG4*01, nG4m(a) CH2 L92, G4v5 h P10,G4v4 CH2 A1.3, A1.2,G4v32 CH3 W22 (knob) (CH1 (124-221), hinge 1-12 S10>P (231) (222-233), CH2 F1.3>A (237), L1.2>A (238), L92 (312) (234-343), CH3 T22>W (369) (344-448), CHS (449-450)) (124-450)], (137-214')-disulfide with kappa light chain anti-CD3E *Homo sapiens* (1'-214') [V-KAPPA (*Homo sapiens* IGKV3-15*01 (100%) -IGKJ1*01 (100%), CDR-IMGT [6.3.9] (27'-32'.50'-52'.89'-97')) (1'-107') -*Homo sapiens* IGKC*01 (100%), Km3 A45.1 (153'), V101 (191') (108'-214')];

- gamma4 heavy chain anti-CD22 *Homo sapiens* VH-h-CH2-CH3 (1"-347") [VH (*Homo sapiens* IGHV4-39*01 (91.9%) -(IGHD) -IGHJ1*01 W118>R (108") (85.7%), CDR-IMGT [10.7.10] (26"-35".53"-59".98"-107")) (1"-118")-*Homo sapiens* IGHG4*01, nG4m(a) CH2 L92, G4v5 h P10,G4v4 CH2 A1.3, A1.2, G4v33 CH3 S22, A24, V86 (hole) (hinge 1-12 S10>P (128") (119"-130"), CH2 F1.3>A (134"), L1.2>A (135"), L92 (209") (131"-240"), CH3 T22>S (266"), L24>A (268"), Y86>V (307") (241"-345"), CHS (346"-347")) (119"-347)]; dimer (229-126":232-129")-bisdisulfide, produced in Chinese hamster ovary (CHO) cells, glycoform alfa
antineoplastique
- rézétamig immunoglobuline demi G4-kappa)_G4(VH-h-CH2-CH3), anti-[*Homo sapiens* CD3E (CD3 epsilon)] et anti-[*Homo sapiens* CD22 (Ig-like lectine 2 liant l'acide sialique, SIGLEC2, SIGLEC-2, molécule d'adhésion cellulaire du lymphocyte B, BL-CAM, Leu-14)], anticorps monoclonal *Homo sapiens*, bispécifique, bivalent; chaîne lourde gamma4 anti-CD3E *Homo sapiens* (1-450) [VH (*Homo sapiens* IGHV3-9*01 (98.0%) -(IGHD) -IGHJ4*01 (100%), CDR-IMGT [8.8.16] (26-33.51-58.97-112)) (1-123)-*Homo sapiens* IGHG4*01, nG4m(a) CH2 L92, G4v5 h P10,G4v4 CH2 A1.3, A1.2,G4v32 CH3 W22 (knob) (CH1 (124-221), charnière 1-12 S10>P (231) (222-233), CH2 F1.3>A (237), L1.2>A (238), L92 (312) (234-343), CH3 T22>W (369) (344-448), CHS (449-450)) (124-450)], (137-214')-disulfure avec la chaîne légère kappa anti-CD3E *Homo sapiens* (1'-214') [V-KAPPA (*Homo sapiens* IGKV3-15*01 (100%) -IGKJ1*01 (100%), CDR-IMGT [6.3.10] (27'-32'.50'-52'.89'-97')) (1'-107') -*Homo sapiens* IGKC*01 (100%), Km3 A45.1 (153'), V101 (191') (108'-214')]; chaîne lourde gamma4 anti-CD22 *Homo sapiens* VH-h-CH2-CH3 (1"-347") [VH (*Homo sapiens* IGHV4-39*01 (91.9%) -(IGHD) -IGHJ1*01 W118>R (108") (85.7%), CDR-IMGT [10.7.10] (26"-35".53"-59".98"-107")) (1"-118")-*Homo sapiens* IGHG4*01, nG4m(a) CH2 L92, G4v5 h P10,G4v4 CH2 A1.3, A1.2, G4v33 CH3 S22, A24, V86 (hole) (charnière 1-12 S10>P (128") (119"-130"), CH2 F1.3>A (134"), L1.2>A (135"), L92 (209") (131"-240"), CH3 T22>S (266"), L24>A (268"), Y86>V (307") (241"-345"), CHS (346"-347")) (119"-347)]; dimère (229-126":232-129")-bisdisulfure, produit dans des cellules ovariennes de hamster chinois (CHO), glycoforme alfa
antineoplasique
- rezetamig inmunoglobulina demi G4-kappa)_G4(VH-h-CH2-CH3), anti-[*Homo sapiens* CD3E (CD3 épsilon)] y anti-[*Homo sapiens* CD22 (lectina 2 similar a la Ig que se une al ácido siálico, SIGLEC2, SIGLEC-2, molécula de adhesión celular del linfocito B, BL-CAM, Leu-14)], anticuerpo monoclonal *Homo sapiens*, biespecífico, bivalente; cadena pesada gamma4 anti-CD3E *Homo sapiens* (1-450) [VH (*Homo sapiens* IGHV3-9*01 (98.0%) -(IGHD) -IGHJ4*01 (100%), CDR-IMGT [8.8.16] (26-33.51-58.97-112)) (1-123)-*Homo sapiens* IGHG4*01, nG4m(a) CH2 L92, G4v5 h P10,G4v4 CH2 A1.3, A1.2,G4v32 CH3 W22 (knob) (CH1 (124-221), bisagra 1-12 S10>P (231) (222-233), CH2 F1.3>A (237), L1.2>A (238), L92 (312) (234-343), CH3 T22>W (369) (344-448), CHS (449-450)) (124-450)], (137-214')-disulfuro con la cadena ligera kappa anti-CD3E *Homo sapiens* (1'-214') [V-KAPPA (*Homo sapiens* IGKV3-15*01 (100%) -IGKJ1*01 (100%), CDR-IMGT [6.3.10] (27'-32'.50'-52'.89'-97')) (1'-107') -*Homo sapiens* IGKC*01 (100%), Km3 A45.1 (153'), V101 (191') (108'-214')]; cadena pesada gamma4 anti-CD22 *Homo sapiens* VH-h-CH2-CH3 (1"-347") [VH (*Homo sapiens* IGHV4-39*01 (91.9%) -(IGHD) -IGHJ1*01 W118>R (108") (85.7%), CDR-IMGT [10.7.10] (26"-35".53"-59".98"-107")) (1"-118")-*Homo sapiens* IGHG4*01, nG4m(a) CH2 L92, G4v5 h P10,G4v4 CH2 A1.3, A1.2, G4v33 CH3 S22, A24, V86 (hole) (bisagra 1-12 S10>P (128") (119"-130"), CH2 F1.3>A (134"), L1.2>A (135"), L92 (209") (131"-240"), CH3 T22>S (266"), L24>A (268"), Y86>V (307") (241"-345"), CHS (346"-347")) (119"-347)]; dímero (229-126":232-129")-bisdisulfuro, producido en las células ováricas de hámster chino (CHO), forma glicosilada alfa
antineoplásico

2795115-07-8

Heavy chain / Chaîne lourde / Cadena pesada: anti-CD3 G4 (H)
 EVQLVESGGG LVQPGRSLRL SCAASGFTFH NYAMHWVRQA PGKGLEWVSG 50
 ISWNSGSIY ADSVKGRFTI SRDNAKNSLY LQMNSLRAED TALYYCAKDS 100
 RGYGDYSLGG AYWGQGTIVT VSSASTKGPS VFPLAPCSRS TSESTAALGC 150
 LVKDYFPEPV TVSWNSGALT SGVHTFPAVL QSSGLYSLSL VVTVFSSSLG 200
 TKTYTCNVDH KPSNTKVKDKR VESKYGPPCP PCPAPEAAGG PSVFLFPPKP 250
 KDTLMSRTP EVTCVVVDVS QEDPEVQFNW YVDGVEVHNA KTKPREEQFN 300
 STYRVVSVLT VLHQDWLNGK EYKCKVSNKG LPSSIIEKTI KAKGQPREPQ 350
 VYTLPPSQEE MTKNQVSLWC LVKGFYPSDI AVEWESNGQP ENNYKTTTPV 400
 LDSDGSEFFLY SRLTVDKSRW QEGNVFSCSV MHEALHNHYT QKSLSLSLGK 450

Light chain / Chaîne légère / Cadena ligera: anti-CD3 L-kappa (L')
 EIVMTQSPAT LSVSPGERAT LSCRASQSVS SNLAWYQQKQ GPAPRLLIYG 50
 ASTRATGIPA RFSGSGSGTE FTLTISLQES EDFAVYYCQ YNNWPFWFGQ 100
 GTKVEIKRTV AAPSVFIFPP SDEQLKSGTA SVVCLLNNFY PREAKVQWKV 150
 DNALQSGNSQ ESVTEQDSKD STYLSLSTLT LSKADYEKHK VYACEVTHQG 200
 LSSPVTKSFN RGEK 214

Heavy chain / Chaîne lourde / Cadena pesada: anti-CD22 G4(VH-h-CH2-CH3) (H'')
 QLQLQESGPG LVKPSSETLSL TCTVSGDSIS SGDIYWGWR QPPGKLEWI 50
 GHYYSGATY YNPSELENVT ISVDTSKNQF SLKLSVATA DTAIVYCFRD 100
 DSSNWRSRGQ GTLVTVSSES KYGPPCPPCP APEAAGGPSV FLFPKPKD 150
 LMISRTPEVT CVVVDVSDQED PEVQFNWYVD GVEVHNAKTK PREEQFNSTY 200
 RVVSVLTVLH QDWLNGKEYK CKVSNKGLPS SIEKTIKAK GQPREPQVYT 250
 LPPSQEEMTK NQVSLSCAVK GFYPSDIAVE WESNGQPENN YKTTTPVLD 300
 DGSFFLVSR LTVDKSRWQEG NVFSCVMHE ALHNHYTQKS LLSLSLKG 347

Post-translational modifications

Disulfide bridges location / Position des ponts disulfure / Posiciones de los puentes disulfuro

Intra-H (C23-C104) 22-96 150-206 264-324 370-428
 22"-97" no CH1 161"-221" 267"-325"

Intra-L (C23-C104) 23'-88' 134'-194'

Inter-H-L (CH1 10-CL 126) 137-214'

Inter-H-H (h 8, h 11) 229-126" 232-129"

N-terminal glutaminyl cyclization / Cyclisation du glutaminyle N-terminal / Ciclación del glutaminilo N-terminal

Q > pyroglutaminyl (pE, 5-oxopropyl) / pyroglutamyle (pE, 5-oxopropyle) / piroglutamilo (pE, 5-oxoprolilo)

VH Q1: I"

N-glycosylation sites / Sites de N-glycosylation / Posiciones de N-glicosilación

H CH2 N84.4: 300, 197"

Fucosylated complex bi-antennary CHO-type glycans / glycanes de type CHO bi-antennaires complexes fucosylés / glicanos de tipo CHO biantennarios complejos fucosilados.

C-terminal lysine clipping / Coupure de la lysine C-terminale / Recorte de lisina C-terminal
 H CHS K2: 450, 347"

rezorstobartum #

rezorstobart

immunoglobulin G1-kappa, anti-[*Homo sapiens* KLRB1 (killer cell lectin like receptor B1, NKR-P1A, natural killer cell surface protein P1A, CLEC5B, CD161)], *Homo sapiens* monoclonal antibody; gamma1 heavy chain *Homo sapiens* (1-450) [VH (*Homo sapiens*IGHV3-23*01 (96.9%) -(IGHD) -IGHJ4*01 (85.7%), Q120>R (113), CDR-IMGT [8.8.14] (26-33.51-58.97-110))] (1-121) -*Homo sapiens*IGHG1*01, G1m17, 1 CH1 K120, CH3 D12, L14, G1v29 CH2 A84.4 (CH1 K120 (218) (122-219), hinge 1-15 (220-234), CH2 G1v29 CH2 N84.4>A (301) (235-344), CH3 D12 (360), L14 (362) (345-449), CHS K2>del (450)) (122-450)], (224-214')-disulfide with kappa light chain *Homo sapiens* (1'-214') [V-KAPPA (*Homo sapiens* IGKV1-12*01 (94.7%) -IGKJ4*01 (91.7%), CDR-IMGT [6.3.9] (27'-32'.50'-52'.89'-97'') (1'-107') -*Homo sapiens* IGKC*01 (100%), Km3, A45.1 (153'), V101 (191') (108'-214')]; dimer (230-230":233-233")-bisdisulfide, produced in Chinese hamster ovary (CHO) cells, cell line CHO-K1 lacking the glutamine synthetase (GS-KO) gene, non-glycosylated *immunostimulant, antineoplastic*

rézorstobart immunoglobuline G1-kappa, anti-[*Homo sapiens* KLRB1 (récepteur B1 lectine like des cellules tueuses, NKR-P1A, protéine de surface P1A des cellules tueuses naturelles, CD161)], anticorps monoclonal *Homo sapiens*; chaîne lourde gamma1 *Homo sapiens* (1-450) [VH (*Homo sapiens* IGHV3-23*01 (96.9%) -(IGHD) -IGHJ4*01 (85.7%), Q120>R (113), CDR-IMGT [8.8.14] (26-33.51-58.97-110))] (1-121) -*Homo sapiens* IGHG1*01, G1m17,1 CH1 K120, CH3 D12, L14, G1v29 CH2 A84.4 (CH1 K120 (218) (122-219), charnière 1-15 (220-234), CH2 G1v29 CH2 N84.4>A (301) (235-344), CH3 D12 (360), L14 (362) (345-449), CHS K2>del (450)) (122-450)], (224-214')-disulfure avec la chaîne légère kappa *Homo sapiens* (1'-214') [V-KAPPA (*Homo sapiens* IGKV1-12*01 (94.7%) -IGKJ4*01 (91.7%), CDR-IMGT [6.3.9] (27'-32'.50'-52'.89'-97')) (1'-107') -*Homo sapiens* IGKC*01 (100%), Km3, A45.1 (153'), V101 (191') (108'-214')]; dimère (230-230":233-233")-bisdisulfure, produit dans des cellules ovariennes de hamster chinois (CHO), lignée cellulaire CHO-K1 ne présentant pas le gène de la glutamine synthétase (GS-KO), non-glycosylé *immunostimulant, antinéoplasique*

rezorstobart immunoglobulina G1-kappa, anti-[*Homo sapiens* KLRB1 (receptor B1 de tipo lectina de las células asesinas, NKR-P1A, proteína de superficie P1A de las células asesinas naturales, CD161)], anticuerpo monoclonal *Homo sapiens*; cadena pesada gamma1 *Homo sapiens* (1-450) [VH (*Homo sapiens* IGHV3-23*01 (96.9%) -(IGHD) -IGHJ4*01 (85.7%), Q120>R (113), CDR-IMGT [8.8.14] (26-33.51-58.97-110))] (1-121) -*Homo sapiens* IGHG1*01, G1m17,1 CH1 K120, CH3 D12, L14, G1v29 CH2 A84.4 (CH1 K120 (218) (122-219), bisagra 1-15 (220-234), CH2 G1v29 CH2 N84.4>A (301) (235-344), CH3 D12 (360), L14 (362) (345-449), CHS K2>del (450)) (122-450)], (224-214')-disulfuro con la cadena ligera kappa *Homo sapiens* (1'-214') [V-KAPPA (*Homo sapiens* IGKV1-12*01 (94.7%) -IGKJ4*01 (91.7%), CDR-IMGT [6.3.9] (27'-32'.50'-52'.89'-97')) (1'-107') -*Homo sapiens* IGKC*01 (100%), Km3, A45.1 (153'), V101 (191') (108'-214')]; dímero (230-230":233-233")-bisdisulfuro, producido en las células ováricas de hámster chino (CHO), línea celular CHO-K1 en ausencia del gen glutamina sintetasa (GS-KO), no glicosilado *inmunoeestimulante, antineoplásico*

2762201-86-3

Heavy chain / Chaîne lourde / Cadena pesada

```
EVQLLESGGG LVQPGGSLRL SCAASGFTFS PYAMSWVRQA PGKLEWVSA 50
ISASGGTTY ADSVKGRFTI SRDNSKNTLY LQMNLSRAED TAVYYCAKPL 100
DSSFADFDL WGRGTLTVTS SASTKGPSVF PLAPSSKSTS GGTAALGCLV 150
KYDFPEPVTV SWNSGALTSV VHTFFAVLQS SGLYSLSSVV TVPSSSLGTQ 200
TYICNVNHKP SNTKVDKKEV PKSCDKTHTC PFCPEPELLG GPSVFLPEPK 250
PKDTLMISRT PEVTCVVVDV SHEDPEVKFN WYVDGVEVHN AKTKPREEQY 300
ASTYRVVSVL TVLHQDWLNG KEYKCKVSNK ALPAIEKTI SKAKGQPREP 350
QVYTLPPSRD ELTRKQVSLT CLVKGIFYPSD IAVEWESNGQ PENNYKTTTP 400
VLDSGGSFFL YSKLTVDKSR WQQGNVFSCS VMHEALHNHY TQKLSLSLSPG 450
```

Light chain / Chaîne légère / Cadena ligera

```
DIQLTQSPSS VSASVGDVRT ITCRASQGIS SWLAWYQQPK GKAPKLLIYA 50
ASSLQSGVPS RFGSGSGSTD FTLTISSLQP EDFATYYCQQ HSVLPITFGG 100
GTKVEIKRVT AAPSVFIAPP SDEQLKSGTA SVVCLLNNFY PREAKVQWKV 150
DNALQSGNSQ ESVTEQDSKD STYLSLSTLT LSKADYEKHK VYACEVTHQG 200
LSSPVTKSFN RGECC 214
```

Post-translational modifications

Disulfide bridges location / Position des ponts disulfure / Posiciones de los puentes disulfuro

Intra-H (C23-C104) 22-96 148-204 265-325 371-429

22"-96" 148"-204" 265"-325" 371"-429"

Intra-L (C23-C104) 23'-88" 134'-194"

23"-88" 134"-194"

Inter-H-L (h 5-CL 126) 224-214" 224"-214"

Inter-H-H (h 11, h 14) 230-230" 233-233"

No N-glycosylation sites / pas de sites de N-glycosylation / ninguna posición de N-glycosilación
H CH2 N84.4>A (G1v29): 301, 301"

ribrecabtagenum autoleucelum #

ribrecabtagene autoleucel autologous T lymphocytes obtained from peripheral blood by leukapheresis, transduced with a self-inactivating, non-replicating lentiviral vector encoding a chimeric antigen receptor (CAR) targeting the B-cell maturation antigen (BCMA). The expressed transgene comprises a CD8 α leader sequence, an anti-BCMA humanized camelid single domain antibody (V_{HH}), a CD8 α hinge and transmembrane domain, and a 4-1BB co-stimulatory domain and CD3 ζ signalling domain, under control of the human elongation factor 1 (EF-1) promoter. The construct is flanked by 5' and 3' long terminal repeats (LTRs) and also contains a ψ packaging signal, a Rev response element (RRE), a central polypurine tract (cPPT) sequence and a Woodchuck hepatitis virus posttranscriptional regulatory element (WPRE). The vector is pseudotyped with vesicular stomatitis virus (VSV) G glycoprotein. The leukapheresis material is enriched for CD3+ T lymphocytes by positive immunoselection. The lymphocytes are then activated by culture in bags coated with anti-CD3 antibody and recombinant human fibronectin fragment, followed by transduction with the lentiviral vector. The cells are further culture-expanded in growth media containing interleukin 2 (IL-2) and inactivated autologous plasma. The cell suspension consists of T lymphocytes (>95%), with greater than 10% of the T lymphocytes expressing the CAR-BCMA transgene. The transduced T lymphocytes demonstrate cytotoxicity against BCMA-expressing cells (>20%)
cell-based gene therapy (antineoplastic)

ribrecabtagène autoleucel lymphocytes T autologues obtenus par leucaphérese à partir de sang périphérique, transduits avec un vecteur lentiviral auto-inactivant et non répliquant codant un récepteur antigénique chimérique (CAR) ciblant l'antigène de maturation des cellules B (BCMA). Le transgène exprimé comprend une séquence de tête CD8 α , un anticorps de camélidés humanisé à domaine unique anti-BCMA (V_{HH}), une charnière CD8 α et un domaine transmembranaire, ainsi qu'un domaine de co-stimulation 4-1BB et un domaine de signalisation CD3 ζ , sous le contrôle du promoteur du facteur d'élongation 1 (EF-1) humain. La construction est flanquée de répétitions terminales longues (LTR) en 5' et 3' et contient également un signal d'encapsulation ψ , un élément de réponse Rev (RRE), une séquence du tractus polypurine central (cPPT) et un élément de régulation post-transcriptionnelle du virus de l'hépatite de la marmotte (WPRE). Le vecteur est pseudotypé avec la glycoprotéine G du virus de la stomatite vésiculaire (VSV). Le matériel de leucaphérese est enrichi en lymphocytes T CD3+ par immunosélection positive. Les lymphocytes sont ensuite activés par culture dans des sacs enduits d'anticorps anti-CD3 et d'un fragment de fibronectine humaine recombinante, puis transduits avec le vecteur lentiviral. Les cellules sont ensuite multipliées dans un milieu de croissance contenant de l'interleukine 2 (IL-2) et du plasma autologue inactivé. La suspension cellulaire est constituée de lymphocytes T (>95%), dont plus de 10% expriment le transgène CAR-BCMA. Les lymphocytes T transduits présentent une cytotoxicité contre les cellules exprimant le BCMA (>20%)
thérapie génique à base de cellules (antinéoplasique)

ribrecabtagén autoleucel

linfocitos T autólogos obtenidos de sangre periférica mediante leucoaféresis, transducidos con un vector lentiviral auto inactivante, no replicativo, que codifica para un receptor de antígenos quimérico (CAR) dirigido al antígeno de maduración de linfocitos B (BCMA). El transgén expresado contiene una secuencia líder de CD8 α , un anticuerpo de dominio único (V_{HH}) humanizado de camélido anti-BCMA, un dominio bisagra y transmembrana de CD8 α , y un dominio co-estimulador de 4-1BB y un dominio de señalización de CD3 ζ , bajo el control del promotor del factor de elongación 1 (EF-1) humano. El constructo está flanqueado por repeticiones terminales largas (LTRs) en 5' y 3' y también contiene una señal de empaquetamiento ψ , un elemento de respuesta Rev (RRE), una secuencia de tracto de polipurina central (cPPT), y un elemento regulador post-transcripcional del virus de la hepatitis de la marmota (WPRE). El vector está pseudotipado con la glicoproteína G del virus de la estomatitis vesicular (VSV).

El material de leucoaféresis se enriquece para linfocitos T CD3+ mediante inmunoselección positiva. Los linfocitos se activan después mediante cultivo en bolsas forradas con anticuerpo anti-CD3 y fragmento de fibronectina humana recombinante, seguido de transducción con el vector lentiviral. Las células se expanden más en medio de crecimiento que contiene interleuquina 2 (IL-2) y plasma autólogo inactivado. La suspensión celular consiste en linfocitos T ($\geq 95\%$), con más del 10% de los linfocitos T que expresan el transgén de CAR-BCMA. Los linfocitos T transducidos demuestran citotoxicidad contra células que expresan BCMA ($> 20\%$).
terapia génica basada en células (antineoplásico)

risevistinelum

risevistinel

(2S,3R)-3-hydroxy-2-[(4S)-5-(2-methylpropanoyl)-1-oxo-2,5-diazaspiro[3.4]octan-2-yl]butanamide
N-methyl-D-aspartate (NMDA) receptor positive allosteric modulator

risévistinel

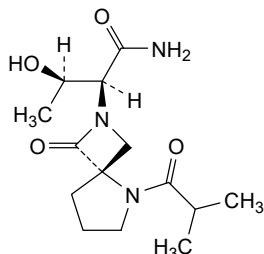
(2S,3R)-3-hydroxy-2-[(4S)-5-(2-méthylpropanoyl)-1-oxo-2,5-diazaspiro[3.4]octan-2-yl]butanamide
modulateur allostérique positif du récepteur du N-méthyl-D-aspartate (NMDA)

risevistinel

(2S,3R)-3-hidroxi-2-[(4S)-5-(2-metilpropanoil)-1-oxo-2,5-diazaespiro[3.4]octan-2-il]butanamida
modulador alostérico positivo del receptor de N-metil-D-aspartato (NMDA)

C₁₄H₂₃N₃O₄

2591344-26-0



rocbrutinibum

rocbrutinib

N-[[6²*S*]-2³-(hydroxyméthyl)-1⁷,1⁷,3⁴,6²-tétraméthyl-1¹,3⁵-dioxo-1¹,1³,1⁴,1⁶,1⁷,1⁸,3⁴,3⁵-octahydro-4-aza-1(2)-cyclopenta[4,5]pyrrolo[1,2-*a*]pyrazina-3(2,6)-pyrazina-6(1,4)-pipérazina-2(2,4)-pyridina-7(4)-oxana-5(1,4)-benzenaheptaphan-5³-yl]prop-2-énamide

Bruton's tyrosine kinase inhibitor, antineoplastic

rocbrutinib

N-[[6²*S*]-2³-(hydroxyméthyl)-1⁷,1⁷,3⁴,6²-tétraméthyl-1¹,3⁵-dioxo-1¹,1³,1⁴,1⁶,1⁷,1⁸,3⁴,3⁵-octahydro-4-aza-1(2)-cyclopenta[4,5]pyrrolo[1,2-*a*]pyrazina-3(2,6)-pyrazina-6(1,4)-pipérazina-2(2,4)-pyridina-7(4)-oxana-5(1,4)-benzenaheptaphan-5³-yl]prop-2-énamide

inhibiteur de la tyrosine kinase de Bruton, antinéoplasique

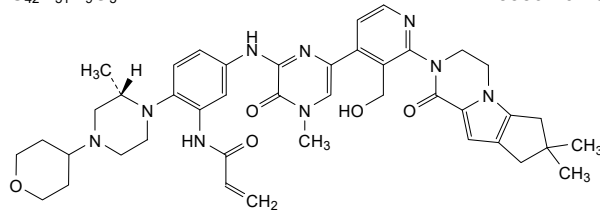
rocbrutinib

N-[[6²*S*]-2³-(hidroximetil)-1⁷,1⁷,3⁴,6²-tetrametil-1¹,3⁵-dioxo-1¹,1³,1⁴,1⁶,1⁷,1⁸,3⁴,3⁵-octahidro-4-aza-1(2)-ciclopenta[4,5]pirolo[1,2-*a*]pirazina-3(2,6)-pirazina-6(1,4)-pipérazina-2(2,4)-piridina-7(4)-oxana-5(1,4)-bencenaheptafan-5³-il]prop-2-enamida

inhibidor de la tirosina kinasa de Bruton, antineoplásico

C₄₂H₅₁N₉O₅

2485861-07-0

**roconkibartum #**

roconkibart

immunoglobulin G4-kappa, anti-[*Homo sapiens* IL17A (interleukin 17A, IL-17A)], monoclonal antibody; gamma4 heavy chain (1-444) [VH (*Homo sapiens*IGHV1-2*02 (85.6%)-(IGHD)-IGHJ4*01 (100%), CDR-IMGT [8.8.10] (26-33.51-58.97-106)) (1-117)-*Homo sapiens*IGHG4*01, nG4m(a) CH2 L92, G4v5 h P10 (CH1 (118-215), hinge 1-12 S10>P (225) (216-227), CH2 L92 (306) (228-337), CH3 (338-442), CHS (443-444)) (118-444)], (131-219')-disulfide with kappa light chain (1'-219') [V-KAPPA Musmus/Homsap (*Mus musculus*IGKV1-110*01 (92.0%) -IGKJ2*03 (91.7%) S120>Q (105)/*Homo sapiens*IGKV2-30*02 (88.0%)-IGKJ2*01 (100%), CDR-IMGT [11.3.9] (27-37.55-57.94-102)) (1'-112') -*Homo sapiens*IGKC*01 (100%), Km3 A45.1 (158), V101 (196) (113'-219')]; dimer (223-223":226-226")-bisdisulfide, produced in Chinese hamster ovary (CHO) cells, cell line CHO-K1, glycoform alfa

immunomodulator, anti-inflammatory

roconkibart

immunoglobuline G4-kappa, anti-[*Homo sapiens* IL17A (interleukine 17A, IL-17A)], anticorps monoclonal; chaîne lourde gamma4 (1-444) [VH (*Homo sapiens*IGHV1-2*02 (85.6%)-(IGHD)-IGHJ4*01 (100%), CDR-IMGT [8.8.10] (26-33.51-58.97-106)) (1-117)-*Homo sapiens*IGHG4*01, nG4m(a) CH2 L92, G4v5 h P10 (CH1 (118-215), charnière 1-12 S10>P (225) (216-227), CH2 L92 (306) (228-337), CH3 (338-442), CHS (443-444)) (118-444)], (131-219')-disulfure avec la chaîne légère kappa

(1'-219') [V-KAPPA Musmus/Homsap (*Mus musculus* IGKV1-110*01 (92.0%) -IGKJ2*03 (91.7%) S120>Q (105)/*Homo sapiens* IGKV2-30*02 (88.0%) -IGKJ2*01 (100%), CDR-IMGT [11.3.9] (27-37.55-57.94-102)) (1'-112') -*Homo sapiens* IGKC*01 (100%), Km3 A45.1 (158), V101 (196) (113'-219')]; dimère (223-223":226-226")-bisdisulfure, produit dans des cellules ovariennes de hamster chinois (CHO), lignée cellulaire CHO-K1, glycoforme alfa
immunomodulateur, anti-inflammatoire

roconkibart

immunoglobulina G4-kappa, anti-[*Homo sapiens* IL17A (interleukina 17A, IL-17A)], anticuerpo monoclonal;
cadena pesada gamma4 (1-444) [VH (*Homo sapiens*IGHV1-2*02 (85.6%) -(IGHD) -IGHJ4*01 (100%), CDR-IMGT [8.8.10] (26-33.51-58.97-106)) (1-117)-*Homo sapiens* IGHG4*01, nG4m(a) CH2 L92, G4v5 h P10 (CH1 (118-215), bisagra 1-12 S10>P (225) (216-227), CH2 L92 (306) (228-337), CH3 (338-442), CHS (443-444)) (118-444)], (131-219')-disulfuro con la cadena ligera kappa (1'-219') [V-KAPPA Musmus/Homsap (*Mus musculus* IGKV1-110*01 (92.0%) -IGKJ2*03 (91.7%) S120>Q (105)/*Homo sapiens* IGKV2-30*02 (88.0%) -IGKJ2*01 (100%), CDR-IMGT [11.3.9] (27-37.55-57.94-102)) (1'-112') -*Homo sapiens* IGKC*01 (100%), Km3 A45.1 (158), V101 (196) (113'-219')]; dímero (223-223":226-226")-bisdisulfuro, producido en las células ováricas de hámster chino (CHO), línea celular CHO-K1, forma glicosilada alfa
immunomodulador, antiinflamatorio

2638480-59-6

Heavy chain / Chaîne lourde / Cadena pesada

QVQLVQSGAE VKKFGASVKV SCKASGYIFT NYGMNWMRQA PGQGLEWMGW 50
INDHTGEPYI ADKFGQGRVTF TLDTSISTAY MELSLRLSDD TAVYYCANYG 100
FGYFDYWGQG TLVTVSSAST KGFSVFPPLAP CSRSTSESTA ALGCLVKDYF 150
PEPVTVSWNS GALTSGVHTF PAVLQSSGLY SLSSVVTVPS SSSLGKTYTC 200
NVDHKPSNTK VDKRVESKYG PPCPPCPAPE FLGGPSVFLF PPKFKDTLMI 250
SRTPEVTCVV VDVSDQEDPEV QFNWYVDGVE VHNAKTKPRE EQFNSTYRVV 300
SVLVTVLHQDW LNKGEYKCKV SNKGLPSSIE KTIISKAKGQP REPQVYTLPP 350
SQEEMTKNQV SLTCLVKGEY PSDIAVEWES NQPENNYKT TTPVLDSDGS 400
FFLYSRLTVD KSRWQEGNVF SCSVMHEALH NHYTQKLSL SLGK 444

Light chain / Chaîne légère / Cadena ligera

DVVMTQSPSL LPVTLGQPAS ISCRSSQSLV HSNNGNSYLHW YLQKPGQSPQ 50
LLIYKVNRF SGVDFDRFSGS GSGTDFTLKI SRVDAEDVGV YYCSQSTHVP 100
YTFGQGTKLE IKRTVAAPSV FIFPPSDEQL KSGTASVVL LNNFYPREAK 150
VQWVKVDNALQ SGNSQESVTE QDSKDSITYSL SSTLTLSKAD YEKHKVYACE 200
VTHQGLSSPV TKSFNREGC 219

Post-translational modifications

Disulfide bridges location / Position des ponts disulfure / Posiciones de los puentes disulfuro

Intra-H (C23-C104) 22-96 144-200 258-318 364-422
22"-96" 144"-200" 258"-318" 364"-422"

Intra-L (C23-C104) 23'-93' 139'-199'
23"-93" 139"-199"

Inter-H-L (CH1 10-CL 126) 131-219' 131"-219"

Inter-H-H (h 8, h 11) 223-223" 226-226"

N-terminal glutaminyl cyclization / Cyclisation du glutaminyle N-terminal /
Ciclación del glutaminilo N-terminal

Q > pyroglutamyl (pE, 5-oxoprolyl) / pyroglutamyle (pE, 5-oxoprolyle) /
piroglutamilo (pE, 5-oxoprolilo)

H VH Q1: 1, 1"

N-glycosylation sites / Sites de N-glycosylation / Posiciones de N-glicosilación
H CH2 N84.4: 294, 294"

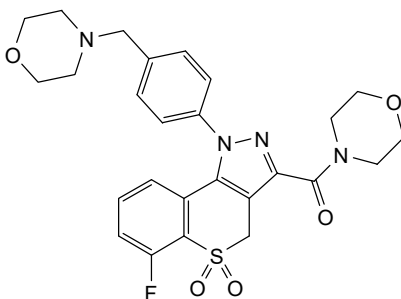
Fucosylated complex bi-antennary CHO-type glycans / glycanes de type CHO bi-antennaires
complexes fucosylés / glicanos de tipo CHO biantennarios complejos fucosilados.

C-terminal lysine clipping / Coupure de la lysine C-terminale / Recorte de lisina C-terminal
H CHS K2: 444, 444"

roginolisibum
roginolisib

6-fluoro-3-(morpholine-4-carbonyl)-1-{4-[(morpholin-4-yl)methyl]phenyl}-
1,4-dihydro-5H-5λ⁶-[1]benzothiopyrano[4,3-c]pyrazole-5,5-dione
phosphatidylinositol 3-kinase (PI3K) inhibitor, antineoplastic

roginolisib	6-fluoro-3-(morpholine-4-carbonyl)-1-{4-[(morpholin-4-yl)méthyl]phényl}-1,4-dihydro-5H-5λ ⁶ -[1]benzothiopyrano[4,3-c]pyrazole-5,5-dione <i>inhibiteur de phosphatidylinositol 3-kinase (PI3K), antinéoplasique</i>
roginolisib	6-fluoro-3-(morfolina-4-carbonil)-1-{4-[(morfolin-4-il)metil]fenil}-1,4-dihidro-5H-5λ ⁶ -[1]benzotiopirano[4,3-c]pirazol-5,5-diona <i>inhibidor de fosfatidilinositol 3-kinasa (PI3K), antineoplásico</i>
	C ₂₆ H ₂₇ FN ₄ O ₅ S 1305267-37-1

**sacituzumab tirumotecanum #**

sacituzumab tirumotecan

immunoglobulin G1-kappa, anti-[*Homo sapiens* TACSTD2 (tumor-associated calcium signal transducer 2, membrane component chromosome 1 surface marker 1, M1S1, gastrointestinal tumor-associated antigen GA7331, pancreatic carcinoma marker protein GA733-1, epithelial glycoprotein-1, EGP-1, trophoblast antigen-2, cell surface glycoprotein Trop-2, TROP2)], humanized monoclonal antibody; conjugated to the topoisomerase I inhibitor *tirumotecan*;

gamma1 heavy chain humanized (1-451) [VH (*Homo sapiens*IGHV7-4-1*02 (85.70%) -(IGHD)-IGHJ4*01 (86.7%) T122>S (115), CDR-IMGT [8.8.14] (26-33.51-58.97-110)) (1-121) -*Homo sapiens* IGHG1*03, G1m3, nG1m1CH1 R120, CH3 E12, M14 (CH1 R120 (218) (122-219), hinge (220-234), CH2 (235-344), CH3 E12 (360), M14 (362) (345-449), CHS (450-451)) (122-451)], (224-214')- disulfide with kappa light chain humanized (1'-214') [V-KAPPA (*Homo sapiens* IGKV1-9*01 (82.2%) -IGKJ4*01 (91.7%) G120>A (100), CDR-IMGT [6.3.9] (27'-32'.50'-52'.89'-97')) (1'-107') -*Homo sapiens* IGKC*01, Km3, A45.1 (153'), V101 (191') (108'-214')]; dimer (230-230":233-233")-bisdisulfide, produced in Chinese hamster ovary (CHO) cells, cell line CHO-S, glycoform alfa; substituted at the sulfur atoms of eight L-cysteiny residues with 5-(6-[[[1-((34S)-38-amino-34-[[4-[[[[(4S)-4-ethyl-1-1-{2-[N-(propan-2-yl)methanesulfonamido]ethyl]-3,14-dioxo-3,4,12,14-tetrahydro-1H-pyran[3',4':6,7]indolizino[1,2-b]quinolin-4-yl]oxy]carbonyl]oxy]methyl]phenyl]carbamoyl]-28,32-dioxo-3,6,9,12,15,18,21,24,30-nonaoxa-27,33-diazaoctatriacontan-1-yl)-1H-1,2,3-triazol-4-yl)methyl]amino]-6-oxohex-1-yn-1-yl)pyrimidin-2-yl (*tirumotecan*) groups
antineoplastique

- sacituzumab tirumotécán immunoglobuline G1-kappa, anti-[*Homo sapiens* TACSTD2 (transducteur 2 de signaux calciques associé aux tumeurs, composant membranaire du chromosome 1 marqueur de surface 1, M1S1, antigène GA7331 associé aux tumeurs gastrointestinales, protéine GA733-1 marqueur de carcinomes pancréatiques, glycoprotéine épithéliale 1, EGP-1, antigène 2 du trophoblaste, glycoprotéine Trop-2 à la surface des cellules, TROP2)], anticorps monoclonal humanisé; conjugué à l'inhibiteur de la topoisomérase I *tirumotécán*;
chaîne lourde gamma1 humanisée (1-451) [VH (*Homo sapiens* IGHV7-4-1*02 (85.70%) -(IGHD)- IGHJ4*01 (86.7) T122>S (115), CDR-IMGT [8.8.14] (26-33.51-58.97-110)) (1-121) -*Homo sapiens* IGHG1*03, G1m3, nG1m1CH1 R120, CH3 E12, M14 (CH1 R120 (218) (122-219), charnière (220-234), CH2 (235-344), CH3 E12 (360), M14 (362) (345-449), CHS (450-451)) (122-451)], (224-214')-disulfure avec la chaîne légère kappa humanisée (1'-214') [V-KAPPA (*Homo sapiens* IGKV1-9*01 (82.2%) - IGKJ4*01 (91.7%) G120>A (100), CDR-IMGT [6.3.9] (27'-32'.50'-52'.89'-97')) (1'-107') -*Homo sapiens* IGKC*01, Km3, A45.1 (153'), V101 (191') (108'-214')]; dimère (230-230":233-233")-bisdisulfure, produit dans des cellules ovariennes de hamster chinois (CHO), lignée cellulaire CHO-S, glycoforme alfa; substitué sur les atomes de soufre de huit résidus L-cystéinyl avec un groupe 5-(6-{{(1-(34S)-38-amino-34-[[4-{{[[[(4S)-4-éthyl-11-{2-[N-(propan-2-yl)méthanesulfonamido]éthyl]-3,14-dioxo-3,4,12,14-tétrahydro-1H-pyrano[3',4':6,7]indolizino[1,2-b]quinoléin-4-yl]oxy}carbonil]oxy]méthyl]phényl]carbamoil]-28,32-dioxo-3,6,9,12,15,18,21,24,30-nonaoxa-27,33-diazaoctatriacontan-1-yl)-1H-1,2,3-triazol-4-yl)méthyl]amino}-6-oxohex-1-yn-1-yl)pyrimidin-2-yle (*tirumotécán*)
antineoplasique
- sacituzumab tirumotecán immunoglobulina G1-kappa, anti-[*Homo sapiens* TACSTD2 (transductor 2 de señales cálcicas asociadas a los tumores, componente de la membrana del cromosoma 1 marcador de superficie 1, M1S1, antígeno GA7331 asociado a los tumores gastrointestinales, proteína GA733-1 marcador de carcinomas pancreáticos, glicoproteína epitelial 1, EGP-1, antígeno 2 del trofoblasto, glicoproteína Trop-2 en la superficie de las células, TROP2)], anticuerpo monoclonal humanizado; conjugado al inhibidor de la topoisomerasa I *tirumotecán*;
cadena pesada gamma1 humanizada (1-451) [VH (*Homo sapiens* IGHV7-4-1*02 (85.70%) -(IGHD)- IGHJ4*01 (86.7) T122>S (115), CDR-IMGT [8.8.14] (26-33.51-58.97-110)) (1-121) -*Homo sapiens* IGHG1*03, G1m3, nG1m1CH1 R120, CH3 E12, M14 (CH1 R120 (218) (122-219), bisagra (220-234), CH2 (235-344), CH3 E12 (360), M14 (362) (345-449), CHS (450-451)) (122-451)], (224-214')-disulfuro con la cadena ligera kappa humanizada (1'-214') [V-KAPPA (*Homo sapiens* IGKV1-9*01 (82.2%) - IGKJ4*01 (91.7%) G120>A (100), CDR-IMGT[6.3.9] (27'-32'.50'-52'.89'-97')) (1'-107') -*Homo sapiens* IGKC*01, Km3, A45.1 (153'), V101 (191') (108'-214')]; dímero (230-230":233-233")-bisdisulfuro, producido en las células ováricas de hámster chino (CHO), línea celular CHO-S, forma glicosilada alfa; substituido sobre los átomos de azufre de ocho residuos L-cisteinil con grupo 5-(6-{{(1-(34S)-38-amino-34-[[4-{{[[[(4S)-4-etil-11-{2-[N-(propan-2-il)metanosulfonamido]etil]-3,14-dioxo-3,4,12,14-tetrahydro-1H-pirano[3',4':6,7]indolizino[1,2-b]quinoléin-4-il]oxi]carbonil]oxi]metil]fenil]carbamoil]-28,32-dioxo-3,6,9,12,15,18,21,24,30-nonaoxa-27,33-diazaoctatriacontan-1-il)-1H-1,2,3-triazol-4-il)metil]amino}-6-oxohex-1-in-1-il)pirimidin-2-ilo (*tirumotecán*)
antineoplásico

Heavy chain / Chaîne lourde / Cadena pesada

QVQLQQSGSE LKKPGASVKV SCKASGYTFT NYGMNWKQA PGQGLKWMGW 50
 INTYTGPEPTY TDDFKGRFAF SLDTSVSTAY LQISSLKADD TAVYFCARGG 100
 FGSYYWYFDV WQGQSLVTVS SASTKGPSVF PLAPSSKSTS GGTAALGCLV 150
 KDYFPEPVTV SWNSGALTSG VHTFFPAVLQS SGLYSLSSVV TVPSSSLGTQ 200
 TYICNVNHKP SNTKVKDRVE PKSCDKTHTC PPCPAPELLG GPSVFLFPPK 250
 PKDTLMISRT PEVTCVVVDV SHEDPEVKFN WYVDGVEVHN AKTKPREEQY 300
 NSTYRVVSVL TVLHQDWLNG KEYKCKVSNK ALPAPIEKTI SKAKGQPREP 350
 QVYTLPPSRE EMTKNQVSLT CLVKGFPSPD IAVEWESNGQ PENNYKTTTP 400
 VLDSGGSFFL YSKLTVDKSR WQQGNVFCSS VMHEALHNYH TQKSLSLSPG 450
 K 451

Light chain / Chaîne légère / Cadena ligera

DIQLTQSPSS LSASVGDVRS ITCKASQDVS IAWAWYQQKP GKAPKLLIYS 50
 ASYRYTGVPD RFGSGSGGTD FTLTISSLQP EDFAVYYCQQ HYITPLTFGA 100
 GTKVEIKRTV AAPSVPFIFPP SDEQLKSGTA SVVCLLNFFY PREAKVQGWK 150
 DNALQSGNSQ ESVTEQDSKD STYLSLSTLT LSKADYEKHK VYACEVTHQG 200
 LSSPVTKSFN RGEK 214

Post-translational modifications

Intra-H (C23-C104) 22-96 148-204 265-325 371-429
 22"-96" 148"-204" 265"-325" 371"-429"
 Intra-L (C23-C104) 23"-88" 134"-194"
 23'''-88''' 134'''-194'''

Inter-H-L* (h 5-CL 126) 224-214' 224"-214'''

Inter-H-H* (h 11, h 14) 230-230' 233-233'''

*The four inter-chain disulfide bridges are not present, an average of 8 cysteinyl being conjugated each via a thioether bond to a drug linker.

*Les quatre ponts disulfures inter-chaînes ne sont pas présents, 8 cystéinyl en moyenne étant chacun conjugué via une liaison thioéther à un linker-principe actif.

*Faltan los cuatro puentes disulfuro inter-catenarios, una media de 8 cisteinil está conjugada a conectores de principio activo.

N-terminal glutaminyl cyclization / Cyclisation du glutaminyle N-terminal / Ciclación del glutamínilo N-terminal

Q > pyroglutamyl (pE, 5-oxopropyl) / pyroglutamyle (pE, 5-oxopropyle) / piroglutamilo (pE, 5-oxopropililo)

H VH Q1: 1, 1"

N-glycosylation sites / Sites de N-glycosylation / Posiciones de N-glicosilación

H CH2 N84.4: 301, 301"

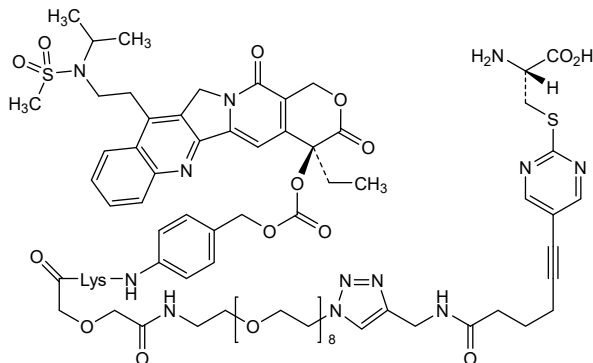
Fucosylated complex bi-antennary CHO-type glycans / glycanes de type CHO bi-antennaires complexes fucosylés / glicanos de tipo CHO biantenarios complejos fucosilados

C-terminal lysine clipping / Coupure de la lysine C-terminale / Recorte de lisina C-terminal

H CHS K2: 451, 451"

Potential modified residues / Résidus modifiés potentiels / Restos modificados potenciales*

C (224,230,233,214',224'',230'',233'',214''')



seniprutugum #
seniprutug

immunoglobulin G1-kappa, anti-[*Homo sapiens* TRBV9 (T cell receptor beta locus variable 9 gene)], humanized monoclonal antibody; gamma1 heavy chain humanized (1-452) [VH (*Homo sapiens* IGHV7-4-1*02 (87.8%) -(IGHD) -IGHJ4*01 (100%), CDR-IMGT [8.8.15] (26-33.51-58.97-111)) (1-122) -*Homo sapiens* IGHG1*03 (100%), G1m3, nG1m1 CH1 R120, E12, M14 (CH1 R120 (219) (123-220), hinge 1-15 (221-235), CH2 (236-345), CH3 E12 (361), M14 (363) (346-450), CHS (451-452)) (123-452)], (225-214')-disulfide with kappa light chain humanized (1'-214') [V-KAPPA (*Homo sapiens* IGKV1-16*01 (84.2%) -IGKJ2*01 (100%), CDR-IMGT [6.3.9] (27-32.50-52.89-97)) (1'-107') -*Homo sapiens* IGKC*01 (100%), Km3, A45.1 (153), V101 (191) (108'-214')]; dimer (231-231":234-234")-bisdisulfide, produced in Chinese hamster ovary (CHO) cells, cell line CHO-S, glycoform alfa
immunosuppressant

séniprutug

immunoglobuline G1-kappa, anti-[*Homo sapiens* TRBV9 (gène variable 9 du locus bêta du récepteur des cellules T)], anticorps monoclonal humanisé; chaîne lourde gamma1 humanisée (1-452) [VH (*Homo sapiens* IGHV7-4-1*02 (87.8%) -(IGHD) -IGHJ3*02 (100%), CDR-IMGT [8.8.15] (26-33.51-58.97-111)) (1-122) -*Homo sapiens* IGHG1*03 (100%), G1m3, nG1m1 CH1 R120, E12, M14 (CH1 R120 (219) (123-220), charnière 1-15 (221-235), CH2 (236-345), CH3 E12 (361), M14 (363) (346-450), CHS (451-452)) (123-452)], (225-214')-disulfure avec la chaîne légère kappa humanisée (1'-214') [V-KAPPA (*Homo sapiens* IGKV1-16*01 (84.2%) -IGKJ2*01 (100%), CDR-IMGT [6.3.9] (27-32.50-52.89-97)) (1'-107') -*Homo sapiens* IGKC*01 (100%), Km3, A45.1 (153), V101 (191) (108'-214')]; dimère (231-231":234-234")-bisdisulfure, produit dans des cellules ovariennes de hamster chinois (CHO), lignée cellulaire CHO-S, glycoforme alfa
immunosuppresseur

seniprutug

immunoglobulina G1-kappa, anti-[*Homo sapiens* TRBV9 (gen variable 9 del lugar beta del receptor de las células T)], anticuerpo monoclonal humanizado; cadena pesada gamma1 humanizada (1-452) [VH (*Homo sapiens* IGHV7-4-1*02 (87.8%) -(IGHD) -IGHJ3*02 (100%), CDR-IMGT [8.8.15] (26-33.51-58.97-111)) (1-122) -*Homo sapiens* IGHG1*03 (100%), G1m3, nG1m1 CH1 R120, E12, M14 (CH1 R120 (219) (123-220), bisagra 1-15 (221-235), CH2 (236-345), CH3 E12 (361), M14 (363) (346-450), CHS (451-452)) (123-452)], (225-214')-disulfuro con la cadena ligera kappa humanizada(1'-214') [V-KAPPA (*Homo sapiens* IGKV1-16*01 (84.2%) -IGKJ2*01 (100%), CDR-IMGT [6.3.9] (27-32.50-52.89-97)) (1'-107') -*Homo sapiens* IGKC*01 (100%), Km3, A45.1 (153), V101 (191) (108'-214')]; dímero (231-231":234-234")-bisdisulfuro, producido en las células ováricas de hámster chino (CHO), línea celular CHO-S, forma glicosilada alfa
inmunosupresor

2484772-72-5

Heavy chain / Chaîne lourde / Cadena pesada

QVQLVQSGSE LKPPGESVKV SCKASGYFTF DYLVHWVRQA PGQGLEWMGW 50
 INTYTGTPTY ADDEGGRFV SLDTISVTAN LQISSLKAEED TAVYFCARSW 100
 RRGRLRGIGFD YWQGTLLTVV SSASTKGFPSV FFLAPSSKST SGGTAALGCL 150
 VKDYFPEPVT VSWNSGALTS GVHTFPAVLQ SGLYSLSSV VTPSSSLGT 200
 QTYICNVNHK PSNTKVDKRV EPKSCDKTHT CPPCPAPELL GGPSVFLFPP 250
 KPKDTLMISR TPEVTCVVVD VSHEDPEVKF NWWYDGVVEVH NAKTKPREEQ 300
 YNSTYRVRSV LTVLHQDWLN GKEYKCKVSN KALPAPIEKT ISKAKGQPRE 350
 PQVYTLPPSR EEMTKNQVSL TCLVKGFYPS DIAVENESNG QPENNYKTP 400
 PVLDSDSGDFY LYSKLTVDKS RWQQGNVFSC SVMHEALHNNH YTKQSLSLSP 450
 GK 452

Light chain / Chaîne légère / Cadena ligera

DIQMTQSPYS LSASVGDRTV ITCKASKSIN KYLAWFQQKP GKPKNLLIYD 50
 GSTLQSGVPS RFSGSGSCTD FTLTISLSLEP EDFATYICQQ HNEYPTTFQG 100
 GTKLEIKRTV AAPSVFIFPP SDEQLKSGTA SVVCLLNNFY PREAKVQWQV 150
 DNALQSGNSQ ESVTEQDSKD STYSLSSLT LSKADYEKHK VYACEVTHQG 200
 LSSPVTKSFN RGEK 214

Post-translational modifications

Disulfide bridges location / Position des ponts disulfure / Posiciones de los puentes disulfuro

Intra-H (C23-C104) 22'-96" 149"-205" 266"-326" 372"-430"
 22"-96" 149"-205" 266"-326" 372"-430"

Intra-L (C23-C104) 23'-88" 134"-194"
 23"-88" 134"-194"

Inter-H-L (h 5-CL 126) 225'-214" 225"-214"

Inter-H-H (h 11, h 14) 231'-231" 234'-234"

N-terminal glutaminyl cyclization / Cyclisation du glutaminyle N-terminal /

Ciclación del glutaminilo N-terminal

Q > pyroglutamyl (pE, 5-oxoprolyl) / pyroglutamyle (pE, 5-oxoprolyle) /
 piroglutamilo (pE, 5-oxoprofilo)

H VH Q1: 1, 1"

N-glycosylation sites / Sites de N-glycosylation / Posiciones de N-glicosilación

H CH2 N84.4: 302, 302"

Fucosylated complex bi-antennary CHO-type glycans / glycanes de type CHO bi-antennaires
 complexes fucosylés / glicanos de tipo CHO biantennarios complejos fucosilados

C-terminal lysine clipping / Coupeure de la lysine C-terminale / Recorte de lisina C-terminal

H CHS K2: 452, 452"

sifaroboceptum

sifarobocept

human Roundabout guidance receptor 2 (ROBO2, Roundabout homolog 2) fragment (1-203), fused via peptide linker²⁰⁴GGSGGS²⁰⁹ to human immunoglobulin G1 Fc fragment (h-CH2-CH3-CHS domains [*Homo sapiens* IGHG1*03 (hinge (210-224), CH2 L²²⁸>A, L²²⁹>A, G²³¹>A (225-334), CH3 (335-439), CHS K⁴⁴¹>del (440-440))] (210-440), disulfide-bridged dimer, produced in Chinese hamster ovary (CHO) K1SV cells, glycoform alfa
roundabout homolog 2 (ROBO2) ligand trap

sifarobocept

récepteur humain de guidage Roundabout 2 (ROBO2, homologue Roundabout 2), fragment (1-203), fusionné via la liaison peptidique²⁰⁴GGSGGS²⁰⁹ au fragment Fc de l'immunoglobuline G1 humaine (domaines h-CH2-CH3-CHS [*Homo sapiens* IGHG1*03 (charnière (210-224), CH2 L²²⁸>A, L²²⁹>A, G²³¹>A (225-334), CH3 (335-439), CHS K⁴⁴¹>del (440-440))] (210-440), dimère à ponts disulfure, produit dans des cellules ovariennes de hamster chinois (CHO) K1SV, glycoforme alfa
piège à ligand de l'homologue Roundabout 2 (ROBO2)

sifarobocept

receptor humano de guía Roundabout 2 (ROBO2, homólogo Roundabout 2), fragmento (1-203), fusionado a través de un enlace peptídico²⁰⁴GGSGGS²⁰⁹ al fragmento Fc de la inmunoglobulina humana G1 (dominios h-CH2-CH3-CHS [*Homo sapiens* IGHG1*03 (bisagra (210-224), CH2 L²²⁸>A, L²²⁹>A, G²³¹>A (225-334), CH3 (335-439), CHS K⁴⁴¹>del (440-440))] (210-440), dímero unido a través de puentes disulfuro, producido en células ováricas de hámster Chino (CHO) K1SV, forma glicosilada alfa
trampa de ligando homólogo rotonda 2 (ROBO2)

2760175-31-1

Sequence / Séquence / Secuencia

SRLRQEDFFP	RIVEHPSDVI	VSKGEPTTLN	CKAEGRPTPT	IEWYKDGGERV	50
ETDKDDPRSH	RMLLPSSGSLF	FLRIVHGRRS	KPDEGSYVCV	ARNYLGEAVS	100
RNASLEVALL	RDDFRQNPTD	VVVAAGEPAI	LECQPPRGHP	EPTIYWKKDK	150
VRIDDKEERI	SIRGGKLMIS	NTRKSDAGMY	TCVGTNMVGE	RDSDPAELTV	200
FERGGSGGSE	PKSSDKTHTC	PPCPAPEAAG	APSVFLFPKP	PKDTLMISRT	250
PEVTCVVVDV	SHEDPEVKFN	WYVDGVEVHN	AKTKPREEQY	NSTYRVVSVL	300
TVLHQDWLNG	KEYKCKVSNK	ALPAPIEKTI	SKAKGQPREP	QVYTLPPSRE	350
EMTKNQVSLT	CLVKGFYPSD	IAVEWESNGQ	PENNYKTTTP	VLDSDSGFFL	400
YSKLTVDKSR	WQQGNVFSCS	VMHEALHNHY	TQKSLSLSPG		440

Mutation / Mutation / Mutación

L²²⁸>A, L²²⁹>A, G²³¹>A, K⁴⁴¹>del

Peptide linker / Peptide liant / Péptido de unión

²⁰⁴GGSGGS²⁰⁹

Post-translational modifications

Disulfide bridges location / Position des ponts disulfure / Posiciones de los puentes disulfuro

Intra-chain: 31'-89, 133'-182, 255'-315, 361'-419, 31'-89', 133'-182', 255'-315', 361'-419'

Inter-chain: 220'-220', 223'-223'

N-glycosylation sites / Sites de N-glycosylation / Posiciones de N-glicosilación

N102, N291, N102', N291'

sigvotatugum #
sigvotatug

immunoglobulin G1-kappa, anti-[*Homo sapiens* ITGB6 (integrin subunit beta 6)], humanized monoclonal antibody; gamma1 heavy chain humanized (1-446) [VH (*Homo sapiens* IGHV1-46*01 (79.6%) -(IGHD) -IGHJ4*01 (92.9%), CDR-IMGT [8.8.9] (26-33.51-58.97-105)) (1-116) -*Homo sapiens* IGHG1*01, G1m17,1 CH1 K120, CH3 D12, L14 (CH1 K120 (213) (117-214), hinge 1-15 (215-229), CH2 (230-339), CH3 D12 (355), L14 (357) (340-444), CHS (445-446)) (117-446)], (219-214')-disulfide with kappa light chain humanized (1'-214') [V-KAPPA (*Homo sapiens* IGKV1-33*01 (83.2%) -IGKJ2*01 (100%), CDR-IMGT [6.3.9] (27-32'.50'-52'.89'-97')) (1'-107') -*Homo sapiens* IGKC*01 (100%), Km3, A45.1 (153'), V101 (191') (108'-214')]; dimer (225-225":228-228")-bisdisulfide, produced in Chinese hamster ovary (CHO) cells, cell line CHO-DG44, glycoform alfa
antineoplastique

sigvotatug

immunoglobuline G1-kappa, anti-[*Homo sapiens* ITGB6 (sous-unité bêta 6 de l'intégrine)], anticorps monoclonal humanisé; chaîne lourde gamma1 humanisée (1-446) [VH (*Homo sapiens* IGHV1-46*01 (79.6%) -(IGHD) -IGHJ4*01 (92.9%), CDR-IMGT [8.8.9] (26-33.51-58.97-105)) (1-116) -*Homo sapiens* IGHG1*01, G1m17,1 CH1 K120, CH3 D12, L14 (CH1 K120 (213) (117-214), charnière 1-15 (215-229), CH2 (230-339), CH3 D12 (355), L14 (357) (340-444), CHS (445-446)) (117-446)], (219-214')-disulfure avec la chaîne légère kappa humanisée (1'-214') [V-KAPPA (*Homo sapiens* IGKV1-33*01 (83.2%) -IGKJ2*01 (100%), CDR-IMGT [6.3.9] (27-32'.50'-52'.89'-97')) (1'-107') -*Homo sapiens* IGKC*01 (100%), Km3, A45.1 (153'), V101 (191') (108'-214')]; dimère (225-225":228-228")-bisdisulfure, produit dans des cellules ovariennes de hamster chinois (CHO), lignée cellulaire CHO-DG44, glycoforme alfa
antineoplastique

sigvotatug

inmunoglobulina G1-kappa, anti-[*Homo sapiens* ITGB6 (subunidad beta 6 de la integrina)], anticuerpo monoclonal humanizado;

cadena pesada gamma1 humanizada (1-446) [VH (*Homo sapiens* IGHV1-46*01 (79.6%) -(IGHD) -IGHJ4*01 (92.9%), CDR-IMGT [8.8.9] (26-33.51-58.97-105)) (1-116) -*Homo sapiens* IGHG1*01, G1m17,1 CH1 K120, CH3 D12, L14 (CH1 K120 (213) (117-214), bisagra 1-15 (215-229), CH2 (230-339), CH3 D12 (355), L14 (357) (340-444), CHS (445-446)) (117-446)], (219-214')-disulfuro con la cadena ligera kappa humanizada (1'-214') [V-KAPPA (*Homo sapiens* IGKV1-33*01 (83.2%) -IGKJ2*01 (100%), CDR-IMGT [6.3.9] (27'-32'.50'-52'.89'-97')) (1'-107') -*Homo sapiens* IGKC*01 (100%), Km3, A45.1 (153'), V101 (191') (108'-214')]; dímero (225-225'':228-228'')-bisdisulfuro, producido en las células ováricas de hámster chino (CHO), línea celular CHO-DG44, forma glicosilada alfa
antineoplásico

2764774-90-3

Heavy chain / Chaîne lourde / Cadena pesada

QFQLVQSGAE	VKKPGASVKV	SCKASGYSFT	DYVNVWVRQA	PGQGLEWIGV	50
INPKYGTTRY	NQKFKGRATL	TVDKSTSTAY	MELSSLRSED	TAVYYCTRGL	100
NAWDYGQGT	LVTVSSASTK	GPSVFPLAPS	SKSTSGGTAA	LGCLVKDYFP	150
EPVTVSWNSG	ALTSGVHTFP	AVLQSSGLYS	LSSVVTVPSS	SLGQTQYICN	200
VNHKPSNTKV	DKKVEPKSCD	KTHTCPPCPA	PELLGGPSVF	LFPPKPKDTL	250
MISRTPEVTC	VVVDVSHEDP	EVKFNWYVDG	VEVHNAKTKP	REEQYNSTYR	300
VVSVLTVLHQ	DWLNKEYK	KVSNKALPAP	IEKTISKAKG	QPREPQVYTL	350
PPSRDELTKN	QVSLTCLVKG	FYPSDIAVEV	ESNGQPENNY	KTTPPVLDS	400
GSFFLYSKLT	VDKSRWQQGN	VFSCSVMHEA	LHNHYTQKSL	SLSPGK	446

Light chain / Chaîne légère / Cadena ligera

DIQMTQSPSS	LSASVGRDVT	ITCGASENIY	GALNWYQKPK	GKAPKLLIYG	50
ATNLEDGVP	RFGSGSGGRD	YFTTISLQ	EDIATYYCQN	VLTTPYTFGQ	100
GTKLEIKRTV	AAPSVFIFPP	SDEQLKSGTA	SVVCLLNNFY	PREAKVQWKV	150
DNALQSGNSQ	ESVTEQDSKD	STYLSLSTLT	LSKADYKHKH	VYACEVTHQG	200
LSSPVTKSFN	RGEC				214

Post-translational modifications

Disulfide bridges location / Position des ponts disulfure / Posiciones de los puentes disulfuro

Intra-H (C23-C104) 22-96 143-199 260-320 366-424
22"-96" 143"-199" 260"-320" 366"-424"
Intra-L (C23-C104) 23'-88' 134'-194'
23'''-88''' 134'''-194'''

Inter-H-L (h 5-CL 126) 219-214' 219"-214"
Inter-H-H (h 11, h 14) 225-225" 228-228"

N-terminal glutaminyl cyclization / Cyclisation du glutaminyle N-terminal / Ciclación del glutaminilo N-terminal

Q > pyroglutamyl (pE, 5-oxopropyl) / pyroglutamyle (pE, 5-oxopropyle) / piroglutamilo (pE, 5-oxoprolilo)
H VH Q1: 1, 1"

N-glycosylation sites / Sites de N-glycosylation / Posiciones de N-glicosilación
H CH2 N84.4: 296, 296"

Fucosylated complex bi-antennary CHO-type glycans / glycanes de type CHO bi-antennaires complexes fucosylés / glicanos de tipo CHO biantennarios complejos fucosilados

C-terminal lysine clipping / Coupure de la lysine C-terminale / Recorte de lisina C-terminal
H CHS K2: 446, 446"

sigvotatugum vedotinum #

sigvotatug vedotin

immunoglobulin G1-kappa, anti-[*Homo sapiens* ITGB6 (integrin subunit beta 6)], humanized monoclonal antibody, conjugated on an average of 4 cysteinyl residues via a cleavable linker to monomethylauristatin E (MMAE);
gamma1 heavy chain humanized (1-446) [VH (*Homo sapiens* IGHV1-46*01 (79.6%) -(IGHD) -IGHJ4*01 (92.9%), CDR-IMGT [8.8.9] (26-33.51-58.97-105)) (1-116) -*Homo sapiens* IGHG1*01, G1m17,1 CH1 K120, CH3 D12, L14 (CH1 K120 (213) (117-214), hinge 1-15 (215-229), CH2 (230-339), CH3 D12 (355), L14 (357) (340-444), CHS (445-446)) (117-446)], (219-214')-disulfide with kappa light chain

- humanized (1'-214') [V-KAPPA (*Homo sapiens* IGKV1-33*01 (83.2%) -IGKJ2*01 (100%), CDR-IMGT [6.3.9] (27'-32'.50'-52'.89'-97')) (1'-107') -*Homo sapiens* IGKC*01 (100%), Km3, A45.1 (153'), V101 (191') (108'-214')]; dimer (225-225'':228-228'')-bisdisulfide; produced in Chinese hamster ovary (CHO) cells, cell line CHO-DG44, glycoform alfa; substituted at the sulfur atoms of four L-cysteinyl residues on average among 219, 225, 228, 214', 219", 225", 228" and 214''' with (3RS)-1-(6-(((2S)-1-(((2S)-5-(carbamoylamino)-1-{4-(((2S)-1-(((2S)-1-(((3R,4S,5S)-1-((2S)-2-[(1R,2R)-3-(((1S,2R)-1-hydroxy-1-phenylpropan-2-yl]amino)-1-methoxy-2-methyl-3-oxopropyl]pyrrolidin-1-yl)-3-methoxy-5-methyl-1-oxoheptan-4-yl](methyl)amino)-3-methyl-1-oxobutan-2-yl]amino)-3-methyl-1-oxobutan-2-yl](methyl)carbamoyl)oxy)méthyl]anilino)-1-oxopentan-2-yl]amino)-3-methyl-1-oxobutan-2-yl]amino)-6-oxohexyl)-2,5-dioxopyrrolidin-3-yl (vedotin) groups
antineoplastique
- sigvotatug védotine immunoglobuline G1-kappa, anti-[*Homo sapiens* ITGB6 (sous-unité bêta 6 de l'intégrine)], anticorps monoclonal humanisé, conjugué, par 4 résidus cystéinyle en moyenne, au monométhylauristatine E (MMAE), via un linker clivable; chaîne lourde gamma1 humanisée (1-446) [VH (*Homo sapiens*IGHV1-46*01 (79.6%) -IGHD) -IGHJ4*01 (92.9%), CDR-IMGT [8.8.9] (26-33.51-58.97-105)) (1-116) -*Homo sapiens* IGHG1*01, G1m17,1 CH1 K120, CH3 D12, L14 (CH1 K120 (213) (117-214), charnière 1-15 (215-229), CH2 (230-339), CH3 D12 (355), L14 (357) (340-444), CHS (445-446)) (117-446)], (219-214')-disulfure avec la chaîne légère kappa humanisée (1'-214') [V-KAPPA (*Homo sapiens* IGKV1-33*01 (83.2%) -IGKJ2*01 (100%), CDR-IMGT [6.3.9] (27'-32'.50'-52'.89'-97')) (1'-107') -*Homo sapiens* IGKC*01 (100%), Km3, A45.1 (153'), V101 (191') (108'-214')]; dimère (225-225'':228-228'')-bisdisulfure; produit dans des cellules ovariennes de hamster chinois (CHO), lignée cellulaire CHO-DG44, glycoforme alfa; substitué sur les atomes de soufre de 4 résidus L-cystéinyle en moyenne parmi 219, 225, 228, 214', 219", 225", 228" et 214''' avec des groupes (3RS)-1-(6-(((2S)-1-(((2S)-5-(carbamoylamino)-1-{4-(((2S)-1-(((2S)-1-(((3R,4S,5S)-1-((2S)-2-[(1R,2R)-3-(((1S,2R)-1-hydroxy-1-phenylpropan-2-yl]amino)-1-méthoxy-2-méthyl-3-oxopropyl]pyrrolidin-1-yl)-3-méthoxy-5-méthyl-1-oxoheptan-4-yl](méthyl)amino)-3-méthyl-1-oxobutan-2-yl]amino)-3-méthyl-1-oxobutan-2-yl](méthyl)carbamoyl)oxy)méthyl]anilino)-1-oxopentan-2-yl]amino)-3-méthyl-1-oxobutan-2-yl]amino)-6-oxohexyl)-2,5-dioxopyrrolidin-3-yle (*védotine*)
antineoplasique
- sigvotatug vedotina inmunoglobulina G1-kappa, anti-[*Homo sapiens* ITGB6 (subunidad beta 6 de la integrina)], anticuerpo monoclonal humanizado, conjugado, por término medio con 4 residuos cisteinilo, con monometilauristatina E (MMAE), a través de un enlace escindible; cadena pesada gamma1 humanizada (1-446) [VH (*Homo sapiens*IGHV1-46*01 (79.6%) -IGHD) -IGHJ4*01 (92.9%), CDR-IMGT [8.8.9] (26-33.51-58.97-105)) (1-116) -*Homo sapiens* IGHG1*01, G1m17,1 CH1 K120, CH3 D12, L14 (CH1 K120 (213) (117-214), bisagra 1-15 (215-229), CH2 (230-339), CH3 D12 (355), L14 (357) (340-444), CHS (445-446)) (117-446)], (219-214')-disulfuro con la cadena ligera kappa humanizada (1'-214') [V-KAPPA (*Homo sapiens* IGKV1-33*01 (83.2%) -IGKJ2*01 (100%), CDR-IMGT [6.3.9] (27'-32'.50'-52'.89'-97')) (1'-107') -*Homo sapiens* IGKC*01 (100%), Km3, A45.1 (153'), V101 (191') (108'-214')]; dímero (225-225'':228-228'')-bisdisulfuro, producido en las células ováricas de hámster chino

silevimigum #

silevimig

immunoglobulin (G1_L-kappa)_scFv-G1(h-CH2-CH3), anti-[rabies lyssavirus (rabies virus, RABV) glycoprotein G epitope III] and anti-[rabies lyssavirus (rabies virus, RABV) glycoprotein G epitope I] *Homo sapiens* monoclonal antibody, bispecific;

gamma1 heavy chain *Homo sapiens*, anti-RABV glycoprotein G epitope III (1-448) [VH (*Homo sapiens*IGHV3-30*18 (95.9%) -(IGHD) -IGHJ4*01 (92.9%), CDR-IMGT [8.8.11] (26-33.51-58.97-107)) (1-118)-*Homo sapiens*IGHG1*03, G1m3, nG1m1 CH1 R120, CH3 E12, M14, G1v32 CH3 W22 (knob), G1v74 CH3 C10 (CH1 (119-216), hinge 1-15 (217-231), CH2 (232-341), CH3 E12 (357), M14 (359), T22>W (367), S10>C (355), D84.4>G (402), G85.4>D (403) (342-446), CHS (447-448)) (119-448)], (221-214')-disulfide with kappa light chain *Homo sapiens*, anti-RABV glycoprotein G epitope III (1'-214') [V-KAPPA (*Homo sapiens*IGKV1-39*01 (88.4%) -IGKJ1*01 (100%), CDR-IMGT [6.3.9] (27'-32'.50'-52'.89'-97')) (1'-107') -*Homo sapiens*IGKC*01 (100%), Km3 A45.1 (153), V101 (191') (108'-214')];

scFv-G1(h-CH2-CH3) heavy chain *Homo sapiens*, anti-RABV glycoprotein G epitope I (1"-488") [VH (*Homo sapiens*IGHV1-69*01 (91.8%) -(IGHD) -IGHJ5*02 (100%), CDR-IMGT [8.8.20] (26"-33".51"-58".97"-116")) (1"-127")]-15-mer tris(tétraglycyl-séryl) linker (128"-142") - VL (*Homo sapiens*IGLV2-11*01 (93.9%) -IGLJ2*01 (100%), CDR-IMGT [9.3.12] (168"-176".194"-196".233"-244")) (143"-256")]-*Homo sapiens*IGHG1*03 h-CH2-CH3, nG1m1 CH3 E12, M14, G1v37 hinge S5, G1v33 CH3 S22, A24, V86 (hole), G1v75 CH3 C5 (hinge 1-15 C5>S (261")) (257"-271"), CH2 (272"-381"), CH3 T22>S (407"), L24>A (409"), Y86>V (448"), Y5>C (390") (382"-486"), CHS (487"-488")) (257"-488")); dimer (227-267":230-270")-bisdisulfide, produced in Chinese hamster ovary (CHO) cells, cell line CHO-S, glycoform alfa

antiviral

silévimig

immunoglobuline (G1_L-kappa)_scFv-G1(h-CH2-CH3), anti-[épitope III de la glycoprotéine G du lyssavirus de la rage (virus de la rage, RABV)] et anti-[épitope I de la glycoprotéine G du lyssavirus de la rage (virus de la rage, RABV)], anticorps monoclonal *Homo sapiens*, bispécifique;

chaîne lourde gamma1 *Homo sapiens*, anti-épitope III de la glycoprotéine G du RABV (1-448) [VH (*Homo sapiens*IGHV3-30*18 (95.9%) -(IGHD) -IGHJ4*01 (92.9%), CDR-IMGT [8.8.11] (26-33.51-58.97-107)) (1-118)-*Homo sapiens*IGHG1*03, G1m3, nG1m1 CH1 R120, CH3 E12, M14, G1v32 CH3 W22 (knob) G1v74 CH3 C10 (CH1 (119-216), charnière 1-15 (217-231), CH2 (232-341), CH3 E12 (357), M14 (359), T22>W (367), S10>C (355), D84.4>G (402), G85.4>D (403) (342-446), CHS (447-448)) (119-448)], (221-214')-disulfure avec la chaîne légère kappa *Homo sapiens*, anti-épitope III de la glycoprotéine G du RABV (1'-214') [V-KAPPA (*Homo sapiens*IGKV3-15*01 (100%) -IGKJ1*01 (100%), CDR-IMGT [6.3.10] (27'-32'.50'-52'.89'-97')) (1'-107') -*Homo sapiens*IGKC*01 (100%), Km3 A45.1 (153), V101 (191') (108'-214')];

chaîne lourde scFv-G1(h-CH2-CH3) *Homo sapiens*, anti-épitope I de la glycoprotéine G du RABV (1"-488") [VH (*Homo sapiens*IGHV1-69*01 (91.8%) -(IGHD) -IGHJ5*02 (100%), CDR-IMGT [8.8.20] (26"-33".51"-58".97"-116")) (1"-127")]-15-mer tris(tétraglycyl-séryl) linker (128"-142") - VL (*Homo sapiens*IGLV2-11*01 (93.9%) -IGLJ2*01 (100%), CDR-IMGT [9.3.12] (168"-176".194"-196".233"-244")) (143"-256")]-*Homo sapiens*IGHG1*03 h-CH2-CH3, nG1m1 CH3 E12, M14, G1v37 charnière S5, G1v33 CH3 S22, A24, V86 (hole) G1v75 CH3 C5 (charnière 1-15 C5>S (261")) (257"-271"), CH2 (272"-381"), CH3 T22>S (407"), L24>A (409"), Y86>V (448"), Y5>C (390") (382"-486"), CHS (487"-488")) (257"-488")); dimère (227-267":230-270")-bisdisulfure, produit dans des cellules ovariennes de hamster chinois (CHO), lignée cellulaire CHO-S, glycoforme alfa

antiviral

silevimig

inmunoglobulina (G1_L-kappa)_scFv-G1(h-CH2-CH3), anti-[epítipo III de la glicoproteína G del lyssavirus de la rabia (virus de la rabia, RABV)] y anti-[epítipo I de la glicoproteína G del lyssavirus de la rabia (virus de la rabia, RABV)], anticuerpo monoclonal *Homo sapiens*, biespecífico; cadena pesada gamma1 *Homo sapiens*, anti-epítipo III de la glicoproteína G del RABV (1-448) [VH (*Homo sapiens* IGHV3-30*18 (95.9%) -(IGHD) -IGHJ4*01 (92.9%), CDR-IMGT [8.8.11] (26-33.51-58.97-107)) (1-118)-*Homo sapiens* IGHG1*03, G1m3, nG1m1 CH1 R120, CH3 E12, M14, G1v32 CH3 W22 (knob) G1v74 CH3 C10 (CH1 (119-216), bisagra 1-15 (217-231), CH2 (232-341), CH3 E12 (357), M14 (359), T22>W (367), S10>C (355), D84.4>G (402), G85.4>D (403) (342-446), CHS (447-448)) (119-448)], (221-214')-disulfuro con la cadena ligera kappa *Homo sapiens*, anti-epítipo III de la glicoproteína G del RABV (1'-214') [V-KAPPA (*Homo sapiens* IGHV3-15*01 (100%) -IGKJ1*01 (100%), CDR-IMGT [6.3.10] (27'-32'.50'-52'.89'-97')) (1'-107') -*Homo sapiens* IGKC*01 (100%), Km3 A45.1 (153'), V101 (191') (108'-214')]; cadena pesada scFv-G1(h-CH2-CH3) *Homo sapiens*, anti-epítipo I de la glicoproteína G del RABV (1"-488") [VH (*Homo sapiens* IGHV1-69*01 (91.8%) -(IGHD) -IGHJ5*02 (100%), CDR-IMGT [8.8.20] (26"-33".51"-58".97"-116")) (1"-127")-15-mer tris(tetraglicil-seril) enlace (128"-142") -VL (*Homo sapiens* IGLV2-11*01 (93.9%) -IGLJ2*01 (100%), CDR-IMGT [9.3.12] (168"-176".194"-196".233"-244")) (143"-256")-*Homo sapiens* IGHG1*03 h-CH2-CH3, nG1m1 CH3 E12, M14, G1v37 bisagra S5, G1v33 CH3 S22, A24, V86 (hole) G1v75 CH3 C5 (bisagra 1-15 C5>S (261")) (257"-271"), CH2 (272"-381"), CH3 T22>S (407"), L24>A (409"), Y86>V (448"), Y5>C (390") (382"-486"), CHS (487"-488") (257"-488")]; dímero (227-267":230-270")-bisdisulfuro, producido en las células ováricas de hámster chino (CHO), línea celular CHO-S, forma glicosilada alfa *antiviral*

2618667-99-3

Heavy chain / Chaîne lourde / Cadena pesada: anti-RABV glycoprotein G epitope III (H)
 QVQLVESGGG VVQPGKSLRL SCAASGFTFG SYGMHWVRA PCKGLEWVAT 50
 ISYDGSIKDY ADSVGRGRTI SRDNRNTLY LQMNSLRAED TAVYICAKGD 100
 RTGNLDYRQQ GILVTYSSAS TKGPFVPELA PPSKPSGGT AALGCLVKDY 150
 FPEPVTVSWN SCALTSQVHT PPAVLQSSGL YSLSPVTVTP SSSLGTQTVI 200
 CNVNHKPSNT KVDKRVPEKS CDKTHTCPPC PAPELLGGPS VFLFPPKPKD 250
 TLMISRTPEV TCVVVDVSHE DPEVFNWYV DGEVHNAKT KPREEQYNST 300
 YRVVSVLTVL HQDWLNGKEY KCKVSNKALP APIEKTISKA KGQPREPQVY 350
 TLPFRCREEMT KNQVSLWCLV KGFYPSDIAV EWESNGQPEN NYKTTFPVLD 400
 SGRSFFLYSK LTVDKSRWQQ GNVFSCVMH EALHNHYTQK SLSLSPGK 448

Light chain / Chaîne légère / Cadena ligera: anti-RABV glycoprotein G epitope III (L)
 DIQMTQSPFSS LSAISGDRVT ITCRASQNIK NALNWYQKPK GRAPKLLIYD 50
 ASTRGVSFSS RFSGSGSDTD FTLTISLSLOP EDFATYICQQ NSEFPFPFQQ 100
 GTKVEIKRTV AAPSVFIFPP SDEQLKSGTA SVVCLLNNFY PRAKAVQWKV 150
 DNALQSGNSGQ ESVTEQDSKD STYLSLSTLT LSKADYKHKH YVACEVTHQG 200
 LSSPVTKSFN RGEK 214

Heavy chain / Chaîne lourde / Cadena pesada: anti-RABV glycoprotein G epitope I (H")
 QVQLVQSGAE VKKPGSSVKV SCKASGGTYS GYTINWVRA PGQGLEWMMG 50
 IIPFPGTANY AQRFPQGLRTI TADESTSTAY MELSSLRSD TAVYFCAREN 100
 LDNSGTYIYF SGWFDPWGQQ TLVTVSSGGG GSGGGGSGGG GSQSALTQPR 150
 SVSISGFGQSV TISCTGTSDD LGGYDFWSY QQHPKAEKL MIDATIKRPS 200
 GVPDRFSGSK SGNATSLTIS GLQADEADY YCCSYAGDYT FGVVFGGGPK 250
 LTVLASEPKS SDKTHTCPPC PAPELLGGPS VFLFPPKPKD TLMISRTPEV 300
 TCVVVDVSHE DPEVFNWYV DGEVHNAKT KPREEQYNST YRVVSVLTVL 350
 HQDWLNGKEY KCKVSNKALP APIEKTISKA KGQPREPQVC TLPFSREEMT 400
 KNQVSLSCAV KGFYPSDIAV EWESNGQPEN NYKTTFPVLD SDGSSFFLVSK 450
 LTVDKSRWQQ GNVFSCVMH EALHNHYTQK SLSLSPGK 488

Post-translational modifications

Disulfide bridges location / Position des ponts disulfure / Posiciones de los puentes disulfuro

Intra-H (C23-C104) 22'-96' 145'-201' 262'-322' 368'-426'
22"-96" 164"-232" 302"-362" 408"-466"

Intra-L (C23-C104) 23'-88' 134'-194'

Inter-H-L (CH1 10-CL 126) 221'-214'

Inter-H-H (h 8, h 11) 227'-267" 230-270"

Inter-H-H (CH3 C10-C5)* 355-390"

*variants G1v74 (CH3 C10) and G1v75 (CH3 C5) creating an additional inter-H-H disulfide bond.

N-glycosylation sites / Sites de N-glycosylation / Posiciones de N-glicosilación

H CH2 N84-4; 298, 338"

Fucosylated complex bi-antennary CHO-type glycans / glycanes de type CHO bi-antennaires complexes fucosylés / glicanos de tipo CHO biantennarios complejos fucosilados.

C-terminal lysine clipping / Coupeure de la lysine C-terminale / Recorte de lisina C-terminal
H CHS K2: 448, 488"

sipavibartum #
sipavibart

immunoglobulin G1-lambda, anti-[*Homo sapiens* severe acute respiratory syndrome coronavirus 2 (SARS-CoV-2) spike (S) protein, receptor binding domain (RBD)], *Homo sapiens* monoclonal antibody; gamma1 heavy chain *Homo sapiens* (1-455) [VH (*Homo sapiens*IGHV3-9*01 (94.9%) -(IGHD) -IGHJ1*01 (90.9%) L123>T (120), CDR-IMGT [8.8.18] (26-33.51-58.97-114)) (1-125) -*Homo sapiens*IGHG1*03, G1m3, nG1m1 CH1 R120, CH3 E12, M14, IGHG1v39 CH2 F1.3, E1.2, S116, IGHG1v21 CH2 Y15.1, T16, E18 (CH1 R120 (222) (126-223), hinge 1-15 (224-238), CH2 L1.3>F (242), L1.2>E (243), M15.1>Y (260), S16>T (262), T18>E (264), P116>S (339) (239-348), CH3 E12 (364), M14 (366) (349-453), CHS (454-455)) (126-455)], (228-214')-disulfide with lambda light chain *Homo sapiens* (1'-215') [V- LAMBDA (*Homo sapiens* IGLV2-8*04 (94.8%) -IGLJ2*01 (100%), CDR-IMGT [9.3.9] (26-34.52-54.91-99)) (1'-109') -*Homo sapiens* IGLC2*01 (100%) (110'-215')]; dimer (234-234":237-237")-bisdisulfide, produced in Chinese hamster ovary (CHO) cells, derived from the cell line CHO-K1, glycoform alfa
antiviral

sipavibart

immunoglobuline G1-lambda, anti-[domaine de liaison au récepteur (RBD) de la glycoprotéine spike (S) du coronavirus 2 du syndrome respiratoire aigu sévère (SARS-CoV-2)], anticorps monoclonal *Homo sapiens*;
chaîne lourde gamma1 *Homo sapiens* (1-455) [VH (*Homo sapiens*IGHV3-9*01 (94.9%) -(IGHD) -IGHJ1*01 (90.9%) L123 >T (120), CDR-IMGT [8.8.18] (26-33.51-58.97-114)) (1-125) -*Homo sapiens*IGHG1*03, G1m3, nG1m1 CH1 R120, CH3 E12, M14, IGHG1v39 CH2 F1.3, E1.2, S116, IGHG1v21 CH2 Y15.1, T16, E18 (CH1 R120 (222) (126-223), charnière 1-15 (224-238), CH2L1.3>F (242), L1.2>E (243), M15.1>Y (260), S16>T (262), T18>E (264), P116>S (339) (239-348), CH3 E12 (364), M14 (366) (349-453), CHS (454-455)) (126-455)], (228-214')-disulfure avec la chaîne légère lambda *Homo sapiens* (1'-215') [V-LAMBDA (*Homo sapiens* IGLV2-8*04 (94.8%) -IGLJ2*01 (100%), CDR-IMGT [9.3.9] (26-34.52-54.91-99)) (1'-109') -*Homo sapiens* IGLC2*01 (100%) (110'-215')]; dimère (234-234":237-237")-bisdisulfure, produit dans des cellules ovariennes de hamster chinois (CHO), dérivant de la lignée cellulaire CHO-K1, glycoforme alfa
antiviral

sipavibart

immunoglobulina G1-lambda, anti-[dominio de unión al receptor (RBD) de la glicoproteína spike (S) del coronavirus 2 del síndrome respiratorio agudo severo (SARS-CoV-2)], anticuerpo monoclonal *Homo sapiens*;
cadena pesada gamma1 *Homo sapiens* (1-455) [VH (*Homo sapiens*IGHV3-9*01 (94.9%) -(IGHD) -IGHJ1*01 (90.9%) L123>T (120), CDR-IMGT [8.8.18] (26-33.51-58.97-114)) (1-125) -*Homo sapiens*IGHG1*03, G1m3, nG1m1 CH1 R120, CH3 E12, M14, IGHG1v39 CH2 F1.3, E1.2, S116, IGHG1v21 CH2 Y15.1, T16, E18 (CH1 R120 (222) (126-223), bisagra 1-15 (224-238), CH2 L1.3>F (242), L1.2>E (243), M15.1>Y (260), S16>T (262), T18>E (264), P116>S (339) (239-348), CH3 E12 (364), M14 (366) (349-453), CHS (454-455)) (126-455)], (228-214')-disulfuro con la cadena ligera lambda *Homo sapiens* (1'-215') [V- LAMBDA (*Homo sapiens* IGLV2-8*04 (94.8%) -IGLJ2*01 (100%), CDR-IMGT [9.3.9] (26-34.52-54.91-99)) (1'-109') -*Homo sapiens* IGLC2*01 (100%) (110'-215')]; dímero (234-234":237-237")-bisdisulfuro, producido en las células ováricas de hámster chino (CHO), línea celular derivada de CHO-K1, forma glicosilada alfa
antiviral

2768288-97-5

Heavy chain / Chaîne lourde / Cadena pesada

EVQLVESGGG	LVQPGKSLRL	SCAASGFPFD	DYAIHWVRLA	PGKGLEWVSS	50
ISWDSGSIGY	ADSVKGRFTI	SRDNAKNSLY	LQMNSLRAED	TALYCAKGA	100
FPGYSSGWYY	GLEVWQGGTT	VTVSSASTKG	PSVFFLAPSS	KSTSGGTAAL	150
GCLLVKDYFPE	PVTVSWNSGA	LTSQVHTFPA	VLQSSGLYSL	SSVVTVPSSS	200
LGTQTYICNV	NHKPSNTRKVD	KRVEPKSCDK	THTCPPCPAP	EFEGGSPVFL	250
FPKPKDITLY	ITREPEVTCV	VVDVSHEDPE	VKFNWYVDGV	EVHNAKTKPR	300
EEQYNSTYRV	VSFLTIVLHQD	WLNKKEYKCK	VSNKALPASI	EKTISKARGQ	350
PREPQVYITL	PSREEMTKNQ	VSLTCLVKGF	YPSDIAVEWE	SNGQPENNYK	400
TPPPVLDSDG	SFFLYSKLTV	DKSRWQQGNV	FSCSVMHEAL	HNHYTQKSL	450
LSPGK					455

Light chain / Chaîne légère / Cadena ligera

QSVVTQPPSA	SGSLGQSVTI	SCTGTSSDVG	GYNYVSWYQQ	HPGKAPKLM	50
FEVSKRPSGV	PDRFSGSKSG	NTASLTVSGL	QAEDEADYYC	SSYAGNKGVF	100
GGGTRKLTVLG	QPKAAPSVTL	FPPSSEELQA	NKATLVCLIS	DFYPGAVTVA	150
WKADSSPVKA	GVETTTPSKQ	SNNKYAASSY	LSLTPEQWKS	HRYSYSCQVTH	200
EGSTVEKTV	PTPCS				215

Post-translational modifications

Disulfide bridges location / Position des ponts disulfure / Posiciones de los puentes disulfuro

Intra-H (C23-C104)	22-96	152-208	269-329	375-433
	22"-96"	152"-208"	269"-329"	375"-433"

Intra-L (C23-C104)	22'-90'	137'-196'
	22'''-90'''	137'''-196'''

Inter-H-L (h 5-CL 126) 228-214' 228"-214"

Inter-H-H (h 11, h 14) 234-234" 237'-237"

N-terminal glutaminyl cyclization / Cyclisation du glutaminyle N-terminal / Ciclación del glutaminilo N-terminal

Q > pyroglutamyl (pE, 5-oxopropyl) / pyroglutamyle (pE, 5-oxopropyle) / piroglutamilo (pE, 5-oxopropilo)
L VL Q1: 1, 1"

N-glycosylation sites / Sites de N-glycosylation / Posiciones de N-glicosilación

H CH2 N84.4: 305, 305"

Fucosylated complex bi-antennary CHO-type glycans / glycanes de type CHO bi-antennaires complexes fucosylés / glicanos de tipo CHO biantenarijos complejos fucosilados

C-terminal lysine clipping / Coupure de la lysine C-terminale / Recorte de lisina C-terminal
H CHS K2: 455, 455"**solbinsiranum**
solbinsiran

all-P-ambo-2'-O-methyl-P-thiouridylyl-(3'→5')-2'-O-methylcytidylyl-(3'→5')-2'-O-methyladenylyl-(3'→5')-2'-O-methyladenylyl-(3'→5')-2'-O-methyladenylyl-(3'→5')-2'-O-methyladenylyl-(3'→5')-2'-O-methyluridylyl-(3'→5')-2'-deoxy-2'-fluoroguanlylyl-(3'→5')-2'-deoxy-2'-fluoroguanlylyl-(3'→5')-2'-deoxy-2'-fluoroadenylyl-(3'→5')-2'-deoxy-2'-fluoroadenylyl-(3'→5')-2'-O-methylguanylyl-(3'→5')-2'-O-methylguanylyl-(3'→5')-2'-O-methyluridylyl-(3'→5')-2'-O-methyluridylyl-(3'→5')-2'-O-methyladenylyl-(3'→5')-2'-O-methyluridylyl-(3'→5')-2'-O-methyladenylyl-(3'→5')-2'-O-methylcytidylyl-(3'→5')-2'-O-methyladenylyl-(3'→5')-2'-O-methylguanylyl-(3'→5')-2'-O-methylcytidylyl-(3'→5')-2'-O-methyladenylyl-(3'→5')-2'-O-methylguanylyl-(3'→5')-2'-O-methylguanylyl-(3'→5')-2'-O-methylcytidylyl-(3'→5')-2'-O-methylcytidylyl-(3'→5')-2'-O-methylguanylyl-(3'→5')-2'-O-[[2-(2-{5-[(2-acetamido-2-deoxy-β-D-galactopyranosyl)oxy]pentanamido)ethoxy]ethoxy}methyl]adenylyl-(3'→5')-2'-O-[[2-(2-{5-[(2-acetamido-2-deoxy-β-D-galactopyranosyl)oxy]pentanamido)ethoxy]ethoxy}methyl]adenylyl-(3'→5')-2'-O-[[2-(2-{5-[(2-acetamido-2-deoxy-β-D-galactopyranosyl)oxy]pentanamido)ethoxy]ethoxy}methyl]adenylyl-(3'→5')-2'-O-methylguanylyl-(3'→5')-2'-O-methylguanylyl-(3'→5')-2'-O-methylcytidylyl-(3'→5')-2'-O-methyluridylyl-(3'→5')-2'-O-methylguanylyl-(3'→5')-2'-O-methylcytidine

- duplex with *all-P-ambo-2'-O-methyl-P-thioguanilyl-(5'→3')-2'-O-methyl-P-thioguanilyl-(5'→3')-2'-O-methyladenilyl-(5'→3')-2'-O-methylguanylyl-(5'→3')-2'-O-methyluridylyl-(5'→3')-2'-O-methyluridylyl-(5'→3')-2'-O-methyluridylyl-(5'→3')-2'-O-methyluridylyl-(5'→3')-2'-deoxy-2'-fluoroadenilyl-(5'→3')-2'-O-methylcytidilyl-(5'→3')-2'-O-methylcytidilyl-(5'→3')-2'-deoxy-2'-fluorouridylyl-(5'→3')-2'-O-methylcytidilyl-(5'→3')-2'-O-methylcytidilyl-(5'→3')-2'-deoxy-2'-fluoroadenilyl-(5'→3')-2'-O-methyladenilyl-(5'→3')-2'-deoxy-2'-fluorouridylyl-(5'→3')-2'-deoxy-2'-fluoro-P-thioadenilyl-(5'→3')-2'-deoxy-2'-fluoro-P-thiouridylyl-(5'→3')-2'-deoxy-2'-fluoro-P-thioguanilyl-(5'→3')-4'-de(hydroxyméthyl)-4'-[[hydroxy(méthoxy)phosphoryl]méthoxy]-2'-O-méthyluridine* *angiopoietin-related protein 3 synthesis reducer*
- solbinsiran *tout-P-ambo-2'-O-méthyl-P-thiouridylyl-(3'→5')-2'-O-méthylcytidilyl-(3'→5')-2'-O-méthyladénylyl-(3'→5')-2'-O-méthyladénylyl-(3'→5')-2'-O-méthyladénylyl-(3'→5')-2'-O-méthyluridylyl-(3'→5')-2'-désoxy-2'-fluoroguanilyl-(3'→5')-2'-désoxy-2'-fluoroguanilyl-(3'→5')-2'-désoxy-2'-fluoroadénylyl-(3'→5')-2'-désoxy-2'-O-méthylguanylyl-(3'→5')-2'-O-méthyluridylyl-(3'→5')-2'-O-méthyluridylyl-(3'→5')-2'-O-méthyladénylyl-(3'→5')-2'-O-méthyluridylyl-(3'→5')-2'-O-méthyladénylyl-(3'→5')-2'-O-méthylcytidilyl-(3'→5')-2'-O-méthyladénylyl-(3'→5')-2'-O-méthylcytidilyl-(3'→5')-2'-O-méthyladénylyl-(3'→5')-2'-O-méthylcytidilyl-(3'→5')-2'-O-méthyladénylyl-(3'→5')-2'-O-méthylcytidilyl-(3'→5')-2'-O-méthylguanylyl-(3'→5')-2'-O-méthylcytidilyl-(3'→5')-2'-O-méthylcytidilyl-(3'→5')-2'-O-méthylguanylyl-(3'→5')-2'-O-[[2-(2-{5-[[2-acétamido-2-désoxy-β-D-galactopyranosyl]oxy]pentanamido}éthoxy)éthoxy]méthyl]adénylyl-(3'→5')-2'-O-[[2-(2-{5-[[2-acétamido-2-désoxy-β-D-galactopyranosyl]oxy]pentanamido}éthoxy)éthoxy]méthyl]adénylyl-(3'→5')-2'-O-[[2-(2-{5-[[2-acétamido-2-désoxy-β-D-galactopyranosyl]oxy]pentanamido}éthoxy)éthoxy]méthyl]adénylyl-(3'→5')-2'-O-méthylguanylyl-(3'→5')-2'-O-méthylguanylyl-(3'→5')-2'-O-méthylcytidilyl-(3'→5')-2'-O-méthyluridylyl-(3'→5')-2'-O-méthylguanylyl-(3'→5')-2'-O-méthylcytidine duplex avec *tout-P-ambo-2'-O-méthyl-P-thioguanilyl-(5'→3')-2'-O-méthyl-P-thioguanilyl-(5'→3')-2'-O-méthyladénylyl-(5'→3')-2'-O-méthylguanylyl-(5'→3')-2'-O-méthyluridylyl-(5'→3')-2'-O-méthyluridylyl-(5'→3')-2'-O-méthyluridylyl-(5'→3')-2'-O-méthyluridylyl-(5'→3')-2'-deoxy-2'-fluoroadénylyl-(5'→3')-2'-O-méthylcytidilyl-(5'→3')-2'-O-méthylcytidilyl-(5'→3')-2'-O-méthyluridylyl-(5'→3')-2'-deoxy-2'-fluorouridylyl-(5'→3')-2'-O-méthylcytidilyl-(5'→3')-2'-O-méthylcytidilyl-(5'→3')-2'-deoxy-2'-fluoroadénylyl-(5'→3')-2'-O-méthyladénylyl-(5'→3')-2'-deoxy-2'-fluorouridylyl-(5'→3')-2'-deoxy-2'-fluoro-P-thioadénylyl-(5'→3')-2'-deoxy-2'-fluoro-P-thiouridylyl-(5'→3')-2'-deoxy-2'-fluoro-P-thioguanilyl-(5'→3')-2'-O-méthyl-P-thiouridylyl-(5'→3')-4'-dés(hydroxyméthyl)-4'-[[hydroxy(méthoxy)phosphoryl]méthoxy]-2'-O-méthyluridine* *réducteur de la synthèse de la protéine de type angiopoïétine 3**
- solbinsirán *todo-P-ambo-2'-O-metil-P-tiouridilil-(3'→5')-2'-O-metilcitolilil-(3'→5')-2'-O-metiladenilil-(3'→5')-2'-O-metiladenilil-(3'→5')-2'-O-metiladenilil-(3'→5')-2'-O-metiluridilil-(3'→5')-2'-desoxi-2'-fluoroguanilil-(3'→5')-2'-desoxi-2'-fluoroguanilil-(3'→5')-2'-desoxi-2'-fluoroadeniil-(3'→5')-2'-O-metilguanilil-(3'→5')-2'-O-metilguanilil-(3'→5')-2'-O-metiluridilil-(3'→5')-2'-O-metiluridilil-(3'→5')-2'-O-metiladenilil-(3'→5')-2'-O-metiluridilil-(3'→5')-2'-O-metiladenilil-(3'→5')-2'-O-metilcitolilil-(3'→5')-2'-O-metiladenilil-(3'→5')-2'-O-metilguanilil-(3'→5')-2'-O-metilcitolilil-(3'→5')-2'-O-metiladenilil-(3'→5')-2'-O-metilguanilil-(3'→5')-2'-O-metilcitolilil-(3'→5')-2'-O-metilcitolilil-(3'→5')-2'-O-metilguanilil-(3'→5')-2'-O-[[2-(2-{5-[[2-acetamido-2-desoxi-β-D-galactopiranosil]oxi]pentanamido}etoxi)etoxi]metil]adenilil-(3'→5')-2'-O-[[2-(2-{5-[[2-acetamido-2-desoxi-β-D-galactopiranosil]oxi]pentanamido}etoxi)etoxi]metil]adenilil-(3'→5')-2'-O-[[2-(2-{5-[[2-acetamido-2-desoxi-β-D-galactopiranosil]oxi]pentanamido}etoxi)etoxi]metil]adenilil-(3'→5')-2'-O-metilguanilil-(3'→5')-2'-O-metilguanilil-(3'→5')-2'-O-metilcitolilil-(3'→5')-2'-O-metiluridilil-(3'→5')-2'-O-metilguanilil-(3'→5')-2'-O-metilcitolilil-(3'→5')-2'-O-metilcitolilil-(3'→5')-2'-O-metilcitolilil-*

- alpha (TNF α) des cellules immunitaires (cellules mononucléaires du sang périphérique/macrophages) lors de la stimulation par les lipopolysaccharides (LPS), et régulent à la hausse la sécrétion des récepteurs 1 et 2 solubles du TNF lors de la stimulation par le TNF α /l'interféron gamma (IFN- γ)
thérapie cellulaire (régénération tissulaire)
- solizmestrocel
células estromales mesenquimales (MSC) alogénicas derivadas de tejido de cordón umbilical seleccionado genéticamente. El tejido de cordón se digiere enzimáticamente y las células se cultivan en un medio sin sustancias xenogénicas suplementado con lisado plaquetario humano.
Las células son positivas (>90%) para los marcadores de superficie de células mesenquimales estromales CD105+, CD73+, CD90+, y negativas (<10%) para CD45-, CD34-, CD19-, CD11b- y HLA-DR-. Las células liberan moléculas anti-fibróticas tales como metaloproteínasa 1 de matriz (MMP-1) y microARN-29c (miR-29c). Las células también inhiben la proliferación de linfocitos T tras la activación por CD3/CD28/CD2, suprimen la secreción de factor de necrosis tumoral alfa (TNF α) por parte de células inmunes (células mononucleares de sangre periférica/macrófagos) tras su estimulación con lipopolisacáridos (LPS) y sobre regulan la secreción de receptor soluble de TNF 1 y 2 tras la estimulación con TNF α /interferón gamma (IFN- γ)
terapia celular (regeneración tisular)
- solrikitugum #**
solrikitug
immunoglobulin G1-kappa, anti-[*Homo sapiens* CRLF2 (cytokine receptor like factor 2, TSLP, thymic stromal lymphopoietin)], humanized monoclonal antibody;
gamma1 heavy chain humanized (1-450) [VH (*Homo sapiens*IGHV1-46*01 (83.7%) -(IGHD) -IGHJ4*01 (100%), CDR-IMGT [8.8.13] (26-33.51-58.97-109)) (1-120) -*Homo sapiens*IGHG1*01 (100%), G1m17,1, CH1 K120, D12, L14 (CH1 K120 (217) (121-218), hinge 1-15 (219-233), CH2 (234-343), CH3 D12 (359), L14 (361) (344-448), CHS (449-450)) (121-450)], (223-214')-disulfide with kappa light chain humanized (1'-214') [V-KAPPA (*Homo sapiens*IGKV3-20*01 (85.4%) -IGKJ2*01 (91.7%) L124>V (104), CDR-IMGT [6.3.9] (27'-32'.50'-52'.89'-97')) (1'-107') -*Homo sapiens*IGKC*01 (100%), Km3, A45.1 (153'), V101 (191') (108'-214')]; dimer (229-229":232-232")-bisdisulfide, produced in Chinese hamster ovary (CHO) cells, cell line CHO-DXB11, glycoform alfa
immunomodulator, anti-inflammatory
- solrikitug
immunoglobuline G1-kappa, anti-[*Homo sapiens* CRLF2 (récepteur du facteur 2 cytokine like, TSLP, lymphopoïétine stromale thymique)], anticorps monoclonal humanisé;
chaîne lourde gamma1 humanisée (1-450) [VH (*Homo sapiens*IGHV1-46*01 (83.7%) -(IGHD) -IGHJ4*01 (100%), CDR-IMGT [8.8.13] (26-33.51-58.97-109)) (1-120) -*Homo sapiens*IGHG1*01 (100%), G1m17,1, CH1 K120, D12, L14 (CH1 K120 (217) (121-218), charnière 1-15 (219-233), CH2 (234-343), CH3 D12 (359), L14 (361) (344-448), CHS (449-450)) (121-450)], (223-214')-disulfure avec la chaîne légère kappa humanisée (1'-214') [V-KAPPA (*Homo sapiens*IGKV3-20*01 (85.4%) -IGKJ2*01 (91.7%) L124>V (104), CDR-IMGT [6.3.9] (27'-32'.50'-52'.89'-97')) (1'-107') -*Homo sapiens*IGKC*01 (100%), Km3, A45.1 (153'), V101 (191') (108'-214')]; dimère (229-229":232-232")-bisdisulfure, produit dans des cellules ovariennes de hamster chinois (CHO), lignée cellulaire CHO-DXB11, glycoforme alfa
immunomodulateur, anti-inflammatoire

solrikitung

inmunoglobulina G1-kappa, anti-[*Homo sapiens* CRLF2 (receptor del factor 2 de tipocitocina, TSLP, linfopoyetina estromal timica)], anticuerpo monoclonal humanizado; cadena pesada gamma1 humanizada (1-450) [VH (*Homo sapiens* IGHV1-46*01 (83.7%) -(IGHD) -IGHJ4*01 (100%), CDR-IMGT [8.8.13] (26-33.51-58.97-109)) (1-120) -*Homo sapiens* IGHG1*01 (100%), G1m17,1 CH1 K120, D12, L14 (CH1 K120 (217) (121-218), bisagra 1-15 (219-233), CH2 (234-343), CH3 D12 (359), L14 (361) (344-448), CHS (449-450)) (121-450)], (223-214')-disulfuro con la cadena ligera kappa humanizada (1'-214') [V-KAPPA (*Homo sapiens* IGKV3-20*01 (85.4%) -IGKJ2*01 (91.7%) L124>V (104), CDR-IMGT [6.3.9] (27'-32'.50'-52'.89'-97')) (1'-107') -*Homo sapiens* IGKC*01 (100%), Km3, A45.1 (153'), V101 (191') (108'-214')]; dímero (229-229'':232-232'')-bisdisulfuro, producido en las células ováricas de hámster chino (CHO), línea celular CHO-DXB11, forma glicosilada alfa *inmunomodulador, antiinflamatorio*

2768721-24-8

Heavy chain / Chaîne lourde / Cadena pesada
 QVQLVQSGAE VKKFGASVKV SCKASGYIFT DYAMHWVRQA PGQGLEWMTG 50
 FIFLLDTSY AQKQGRVTM TADTSTSTAY MELRSLRSDD TAVVYICARMG 100
 VTHSYVMDAW QGGLTVTVSS ASTKGPSVFP LAPSSKSTSG GTAALGLCVK 150
 DYFPEPVTVS WNSGALTSKV HTFPAVLQSS GLYSLSVVVT VPSSSLGTTQ 200
 YICNVNHPKS NTKVDKKEVP KSCDKTHSTCP PCPAPELLGG PSVFLFPPK 250
 KDTLMISSRTPEVTCVVVDVSHEDPEVKFNWYVDGVEVHNA KTKPREEQYN 300
 STYRVVSVLT VLNQDNLNGK EYKCKVSNKA LPAPIEKTIS KARGQPREPQ 350
 VYTLPPSRDE LTKNQVSLTCLVKGFYPSDI AVEWESNGQP ENNYKTTTPV 400
 LQSDGSEFFLY SKLTVDKSRWQQGNVVFCSV MHEALHNHYT QKLSLSLSPGK 450

Light chain / Chaîne légère / Cadena ligera
 EIVLTQSPGTLSLSPGERATLSCRASQPIISVHWYQQKPGQAPRLLIYF 50
 ASQSIQSGIPDRFSGSGSGTDFTLTISRLEPEDFAVYYCQQTFSLPYTFGQ 100
 GTKVEIKRTVAAPSVFIFPPSDEQLKSGTASVIVCLLNNFYFREAKVQMKV 150
 DNALQSGNSQESVTEQDSKDTSTYLSLSTLTLSKADYKHKVYACEVTHQG 200
 LSSPVTKSFN RGECC 214

Post-translational modifications

Disulfide bridges location / Position des ponts disulfure / Posiciones de los puentes disulfuro

Intra-H (C23-C104) 22-96 147-203 264-324 370-428
 22"-96" 147"-203" 264"-324" 370"-428"

Intra-L (C23-C104) 23'-88" 134'-194"
 23"'-88"' 134"'-194'"

Inter-H-L (h 5-CL 126) 223-214' 223"-214"

Inter-H-H (h 11, h 14) 229-229" 232-232"

N-terminal glutaminyl cyclization / Cyclisation du glutaminyle N-terminal / Ciclación del

glutaminilo N-terminal

Q > pyroglutamyl (pE, 5-oxopropyl) / pyroglutamyle (pE, 5-oxopropyle) / piroglutamilo

(pE, 5-oxoprolilo)

H VH Q1: 1, 1"

N-glycosylation sites / Sites de N-glycosylation / Posiciones de N-glicosilación

H CH2 N84.4: 300, 300"

Fucosylated complex bi-antennary CHO-type glycans / glycanes de type CHO bi-antennaires

complexes fucosylés / glicanos de tipo CHO biantenaricos complejos fucosilados

C-terminal lysine clipping / Coupure de la lysine C-terminale / Recorte de lisina C-terminal

H CHS K2: 450, 450"

sontigidomidum

sontigidomide

rac-N-{(2-[(3*R*)-2,6-dioxopiperidin-3-yl]-1-oxo-2,3-dihydro-1*H*-isoindol-5-yl)methyl)-2-oxo-2-[4-[1-(trifluoromethyl)cyclopropyl]phenyl]acetamide
antineoplastic

sontigidomide

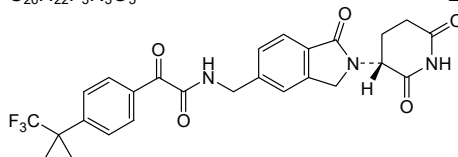
rac-N-{(2-[(3*R*)-2,6-dioxopiperidin-3-yl]-1-oxo-2,3-dihydro-1*H*-isoindol-5-yl)méthyl)-2-oxo-2-[4-[1-(trifluorométhyl)cyclopropyl]phényl]acétamide
antineoplasique

sontigidomida

rac-N-({2-[(3R)-2,6-dioxopiperidin-3-il]-1-oxo-2,3-dihidro-1H-isoindol-5-il}metil)-2-oxo-2-{4-[1-(trifluorometil)ciclopropil]fenil}acetamida
antineoplásico

C₂₆H₂₂F₃N₃O₅

2560577-69-5



and enantiomer
et énantiomère
y enantiómero

sucantomotidum

sucantomotide

L-phenylalanyl-L-methionyl-L-leucylglycyl-L-α-glutamyl-L-phenylalanyl-L-leucyl-L-lysyl-L-leucine
immunological agent for active immunization (antineoplastic)

sucantomotide

L-phénylalanyl-L-méthionyl-L-leucylglycyl-L-α-glutamyl-L-phénylalanyl-L-leucyl-L-lysyl-L-leucine
agent immunologique d'immunisation active (antinéoplasique)

sucantomotida

L-fenilalanil-L-metionil-L-leucilglicil-L-α-glutamil-L-fenilalanil-L-leucil-L-lisil-L-leucina
agente inmunológico para inmunización activa (antineoplásico)

C₅₄H₈₄N₁₀O₁₂S

2378651-62-6

Phe — Met — Leu — Gly — Glu — Phe — Leu — Lys — Leu

sutidiazinum

sutidiazine

*N*²-(4-cyclopropyl-5-fluoro-6-methylpyridin-2-yl)-*N*⁴-(1,5-dimethyl-1*H*-pyrazol-3-yl)-5-[(3*R*)-3,4-dimethylpiperazin-1-yl]pyrimidine-2,4-diamine
antimalarial

sutidiazine

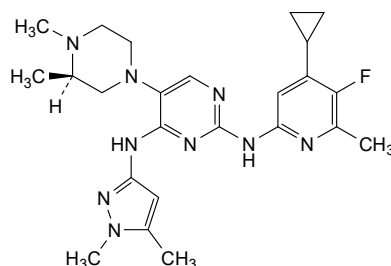
*N*²-(4-cyclopropyl-5-fluoro-6-méthylpyridin-2-yl)-*N*⁴-(1,5-diméthyl-1*H*-pyrazol-3-yl)-5-[(3*R*)-3,4-diméthylpipérazin-1-yl]pyrimidine-2,4-diamine
antipaludique

sutidiazina

*N*²-(4-ciclopropil-5-fluoro-6-metilpiridin-2-il)-5-[(3*R*)-3,4-dimetilpiperazin-1-il]-*N*⁴-(1,5-dimetil-1*H*-pirazol-3-il)pirimidina-2,4-diamina
antipalúdico

C₂₄H₃₂FN₉

1821293-40-6



tacaciclimum

tacaciclím

(2*E*)-4-(morpholin-4-yl)-*N*-[(3*S*)-4-oxo-3-(propan-2-yl)-5-aza-1(3)-pyridina-6(3,5)-pyrazola-2(1,3)-benzena-7(1)-cyclopropanaheptaphan-1⁶-yl]but-2-enamide
cyclin-dependent kinase inhibitor, antineoplastic

tacaciclím

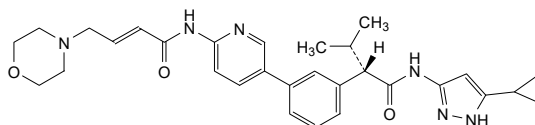
(2*E*)-4-(morpholin-4-yl)-*N*-[(3*S*)-4-oxo-3-(propan-2-yl)-5-aza-1(3)-pyridina-6(3,5)-pyrazola-2(1,3)-benzena-7(1)-cyclopropanaheptaphan-1⁶-yl]but-2-énamide
inhibiteur des kinases dépendantes des cyclines, antinéoplasique

tacaciclím

(2*E*)-4-(morfolin-4-il)-*N*-[(3*S*)-4-oxo-3-(propan-2-il)-5-aza-1(3)-piridina-6(3,5)-pirazola-2(1,3)-benzena-7(1)-ciclopropanaheptafan-1⁶-il]but-2-enamida
inhibidor de las kinasas dependientes de las ciclinas, antineoplásico

C₃₀H₃₆N₆O₃

2768774-66-7

**tagtociclimum**

tagtociclím

(1*R*,3*S*)-3-{5-[3-(methoxymethyl)-1-methyl-1*H*-pyrazole-5-carboxamido]-1*H*-pyrazol-3-yl}cyclopentyl (propan-2-yl)carbamate
cyclin-dependent kinase inhibitor, antineoplastic

tagtociclím

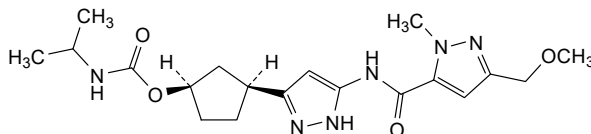
(propan-2-yl)carbamate de (1*R*,3*S*)-3-{5-[3-(méthoxyméthyl)-1-méthyl-1*H*-pyrazole-5-carboxamido]-1*H*-pyrazol-3-yl}cyclopentyle
inhibiteur des kinases dépendantes des cyclines, antinéoplasique

tagtociclím

(propan-2-il)carbamato de (1*R*,3*S*)-3-{5-[1-metil-3-(metoximetil)-1*H*-pirazol-5-carboxamido]-1*H*-pirazol-3-il}ciclopentilo
inhibidor de las kinasas dependientes de las ciclinas, antineoplásico

C₁₉H₂₈N₆O₄

2460249-19-6



tarumasum #

tarumase

Lucilia sericata (common green bottle fly) peptidase S1 domain-containing protein (trypsin-like serine proteinase) with specificity for fibrin, produced in *Pichia pastoris* (*Komagataella phaffii*) fibrinolytic

tarumase

protéine contenant le domaine S1 de la peptidase (sérine protéinase de type trypsine) de *Lucilia sericata* (mouche verte commune) présentant une spécificité pour la fibrine, produite chez *Pichia pastoris* (*Komagataella phaffii*) fibrinolytique

tarumasa

Lucilia sericata (mosca verde botella común) proteína que contiene el dominio S1 (proteínasa sérica de tipo tripsina) con especificidad por la fibrina, producida en *Pichia pastoris* (*Komagataella phaffii*) fibrinolítico

1243416-10-5

Sequence / Séquence / Secuencia

IVNGVDTTIQ	AHPYQVSLQT	NNGFHFCCGS	IISEDIVTA	AHCMQSYKAY	50
QFKVRLGSTE	YDNGGELVAV	KSKFYHEGYN	PETMVNDVAV	IKLATPVRES	100
SKVRYVKLAE	KTPATGTPAV	VTGWGSKCFL	FCQTAPKVLQ	KVEVDIVDEK	150
TCASSEYKYG	DDIKETMLCA	YAVKKDACQG	DSGGPLVANN	KLVGVVSWGK	200
GCALAGYPGV	YCDVATVRSW	IEKTAKSL			228

Post-translational modifications

Disulfide bridges location / Position des ponts disulfure / Posiciones de los puentes disulfuro
27-43, 128-132, 152-169, 178-202

tebapivatum

tebapivat

6-[(6-aminopyridin-2-yl)methyl]-4-methyl-2-[(1*H*-pyrazol-3-yl)methyl]-4,6-dihydro-5*H*-[1,3]thiazolo[5',4':4,5]pyrrolo[2,3-*d*]pyridazin-5-one
pyruvate kinase activator

tébapivat

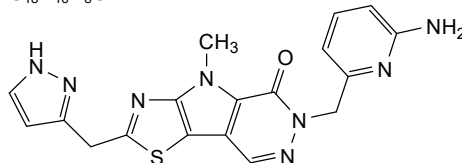
6-[(6-aminopyridin-2-yl)méthyl]-4-méthyl-2-[(1*H*-pyrazol-3-yl)méthyl]-4,6-dihydro-5*H*-[1,3]thiazolo[5',4':4,5]pyrrolo[2,3-*d*]pyridazin-5-one
activateur de la pyruvate kinase

tebapivat

6-[(6-aminopiridin-2-il)metil]-4-metil-2-[(1*H*-pirazol-3-il)metil]-4,6-dihidro-5*H*-[1,3]thiazolo[5',4':4,5]pirrolo[2,3-*d*]piridazin-5-ona
activador de la piruvato kinasa

C₁₈H₁₆N₈OS

2283422-04-6

**tegeprotafibum**

tegeprotafib

5-(1-fluoro-3-hydroxy-7-methoxynaphthalen-2-yl)-1λ⁶,2,5-thiadiazolidin-1,1,3-trione
protein tyrosine phosphatase (PTP) inhibitor, antineoplastic

tégeprotafib

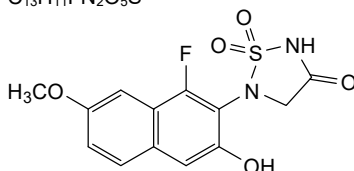
5-(1-fluoro-3-hydroxy-7-méthoxynaphtalén-2-yl)-1λ⁶,2,5-thiadiazolidin-1,1,3-trione
inhibiteur de la protéine tyrosine phosphatase (PTP), antinéoplasique

tegeprotafib

5-(1-fluoro-3-hidroxi-7-metoxinaftalen-2-il)-1λ⁶,2,5-tiadiazolidin-1,1,3-triona
inhibidor de la proteína tirosina fosfatasa (PTP), antineoplásico

C₁₃H₁₁FN₂O₅S

2407610-46-0

**tegomili fumaras**

tegomil fumarate

dimethyl (2*E*,19*E*)-4,18-dioxo-5,8,11,14,17-pentaoxahenicoso-2,19-diene-1,21-dioate
immunomodulator

fumarate de tégomil

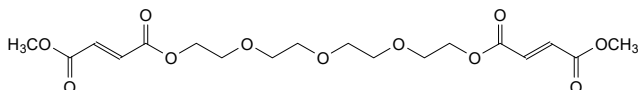
(2*E*,19*E*)-4,18-dioxo-5,8,11,14,17-pentaoxahénicoso-2,19-diéne-1,21-dioate de diméthyle
immunomodulateur

fumarato de tegomil

(2*E*,19*E*)-4,18-dioxo-5,8,11,14,17-pentaoxahenicoso-2,19-dieno-1,21-dioato de dimetilo
immunomodulador

C₁₈H₂₆O₁₁

1817769-42-8

**tesrivetcelum**

tesrivetcel

equine allogeneic tenogenic-primed mesenchymal stromal/stem cells (MSCs), isolated from peripheral blood mononuclear cells (PBMCs) collected from donor horses. The MSCs are selected for by growing the PBMCs in media containing fetal bovine serum (FBS) and dexamethasone. The cells are then expanded in media containing FBS, and prior to differentiation towards tenocytes by growth in media containing FBS, fibroblast-growth factor 2 (FGF-2) and insulin-like growth factor-1 (IGF-I). The final cells are characterized by their stretched spindle shaped morphology, and by expression of the cellular surface markers CD90 (≥95%) and CD40 (≥85%) and absence of MHC class II expression (≤2%). The cells secrete prostaglandin E2 (PGE2) and express the actin alpha 2 (ACTA2) gene (>2.3 fold)
cell therapy (veterinary use)

tesrivetcel

cellules souches/stromales mésenchymateuses (CSM) allogènes équines amorcées par ténogénèse, isolées à partir de cellules mononucléaires de sang périphérique (PBMC) prélevées sur des chevaux donateurs. Les CSM sont sélectionnées en cultivant les PBMC dans un milieu contenant du sérum bovin fœtal (FBS) et de la dexaméthasone. Les cellules sont ensuite amplifiées dans un milieu contenant du FBS, et avant la différenciation en ténocytes par croissance dans un milieu contenant du FBS, du facteur de croissance des fibroblastes 2 (FGF-2) et du facteur de croissance analogue à l'insuline 1 (IGF-I).

Les cellules finales sont caractérisées par leur morphologie fusiforme étirée, et par l'expression des marqueurs de surface cellulaire CD90 ($\geq 95\%$) et CD40 ($\geq 85\%$) et l'absence d'expression du CMH de classe II ($\leq 2\%$). Les cellules sécrètent de la prostaglandine E2 (PGE2) et expriment le gène de l'actine alpha 2 (ACTA2) ($> 2,3$ fois)
thérapie cellulaire (usage vétérinaire)

tesrivetcel

células madre/estromales mesenquimales (MSC) equinas, alogénicas, primadas para tenogenia, aisladas de células mononucleares de sangre periférica (PBMCs) recogida de caballos donantes. Las MSCs se seleccionan mediante crecimiento de las PBMCs en medio que contiene suero bovino fetal (FBS) y dexametasona. Las células se expanden después en medio que contiene FBS, y antes de la diferenciación hacia tenocitos mediante crecimiento en medio que contiene FBS, factor de crecimiento de fibroblastos 2 (FGF-2) y factor de crecimiento similar a insulina I (IGF-I).

Las células finales se caracterizan por su morfología en forma de huso estirado y por la expresión de los marcadores de superficie CD90 ($\geq 95\%$) y CD40 ($\geq 85\%$) y ausencia de expresión de MHC de clase II ($\leq 2\%$). Las células secretan prostaglandina E2 (PGE2) y expresan el gen de la actina alfa 2 (ACTA2) ($> 2,3$ veces)
terapia celular (uso veterinario)

tibremciclibum

tibremciclib

N-{5-[(4-ethylpiperazin-1-yl)methyl]pyridin-2-yl}-5-fluoro-4-[(1*R*)-6-fluoro-1-methyl-1,2,3,4-tetrahydro-pyrido[1,2-*a*][1,3]benzimidazol-8-yl]pyrimidin-2-amine
cyclin-dependent kinase inhibitor, antineoplastic

tibremciclib

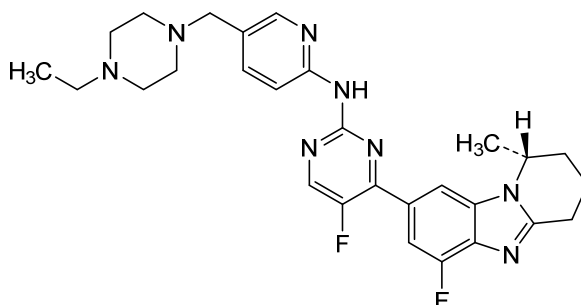
N-{5-[(4-éthylpipérazin-1-yl)méthyl]pyridin-2-yl}-5-fluoro-4-[(1*R*)-6-fluoro-1-méthyl-1,2,3,4-tétrahydro-pyrido[1,2-*a*][1,3]benzimidazol-8-yl]pyrimidin-2-amine
inhibiteur des kinases dépendantes des cyclines, antinéoplasique

tibremciclib

N-{5-[(4-etilpiperazin-1-il)metil]piridin-2-il}-5-fluoro-4-[(1*R*)-6-fluoro-1-metil-1,2,3,4-tetrahidropirido[1,2-*a*][1,3]benzimidazol-8-il]pirimidin-2-amina
inhibidor de las kinasas dependientes de las ciclinas, antineoplásico

C₂₈H₃₂F₂N₈

2397678-18-9



tisolagilinum

tisolagiline

(2S)-2-({[4'-(trifluorométhyl)[1,1'-biphényl]-4-yl]méthyl}amino)propanamide
monoamine oxidase B inhibitor

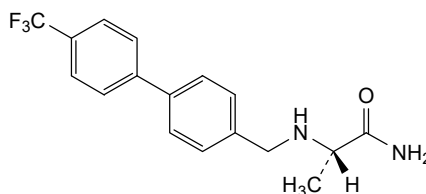
tisolagiline

(2S)-2-({[4'-(trifluorométhyl)[1,1'-biphényl]-4-yl]méthyl}amino)propanamide
inhibiteur de la monoamine oxydase B

tisolagilina

(2S)-2-({[4'-(trifluorometil)[1,1'-bifenil]-4-il]metil}amino)propanamida
*inhibidor de la monoamina oxidasa B*C₁₇H₁₇F₃N₂O

1894207-44-3

**trastuzumabum brengitecanum #**

trastuzumab brengitecan

immunoglobulin G1-kappa, anti-[*Homo sapiens* ERBB2 (receptor tyrosine-protein kinase erbB-2, epidermal growth factor receptor 2, EGFR2, HER2, HER-2, p185c-erbB2, NEU, CD340)], humanized monoclonal antibody; conjugated to a camptothecin derivative; gamma1 heavy chain humanized (1-449) [VH (*Homo sapiens* IGHV3-66*01 (81.6%) -(IGHD) -IGHJ4*01 (100%), CDR-IMGT [8.8.13] (26-33.51-58.97-109)) (1-120) -*Homo sapiens* IGHG1*03v, G1m3>G1m17, nG1m1 CH1 K120, CH3 E12, M14 (CH1 R120>K (217) (121-218), hinge 1-15 (219-233), CH2 (234-343), CH3 E12 (359), M14 (361) (344-448), CHS K2>del (449)) (121-449)], (223-214')-disulfide with kappa light chain humanized (1'-214') [V-KAPPA (*Homo sapiens* IGKV1-39*01 (86.3%) -IGKJ1*01 (100%), CDR-IMGT [6.3.9] (27'-32'.50'-52'.89'-97')) (1'-107') -*Homo sapiens* IGKC*01 (100%), Km3, A45.1 (153'), V101 (191') (108'-214')]; dimer (229-229":232-232")-bisdisulfide, produced in Chinese hamster ovary (CHO) cells, glycoform alfa; substituted at the sulfur atoms of the L-cysteinyl residues 214', 214"', 223, 223", 229, 229", 232 and 232" with (3RS)-1-[(4S,13S,21S)-13-benzyl-1-carboxy-22-(((1S,9S)-9-ethyl-5-fluoro-9-hydroxy-4-methyl-10,13-dioxo-2,3,9,10,13,15-hexahydro-1H,12H-benzo[de]pyrano[3',4':6,7]indolizino[1,2-b]quinolin-1-yl]amino)-21-methyl-5,8,11,14,17,22-hexaoxo-20-oxa-2,6,9,12,15,18-hexaazadocosan-4-yl]-2,5-dioxopyrrolidin-3-yl (*brengitecan*) groups
antineoplastic

trastuzumab brengitecan

immunoglobuline G1-kappa, anti-[*Homo sapiens* ERBB2 (récepteur tyrosine-protéine kinase erbB-2, récepteur 2 du facteur de croissance épidermique, EGFR2, HER2, HER-2, p185c-erbB2, NEU, CD340)], anticorps monoclonal humanisé; conjugué à un dérivé de la camptothécine;

chaîne lourde gamma1 humanisée (1-449) [VH (*Homo sapiens* IGHV3-66*01 (81.6%) -(IGHD) -IGHJ4*01 (100%), CDR-IMGT [8.8.13] (26-33.51-58.97-109)) (1-120) -*Homo sapiens* IGHG1*03v, G1m3>G1m17, nG1m1 CH1 K120, CH3 E12, M14 (CH1 R120>K (217) (121-218), charnière 1-15 (219-233), CH2 (234-343), CH3 E12 (359), M14 (361) (344-448), CHS K2>del (449)) (121-449)], (223-214')-disulfure avec la chaîne légère kappa humanisée (1'-214') [V-KAPPA (*Homo sapiens* IGKV1-39*01 (86.3%) -IGKJ1*01 (100%), CDR-IMGT [6.3.9] (27'-32'.50'-52'.89'-97')) (1'-107') -*Homo sapiens* IGKC*01(100%), Km3, A45.1 (153'), V101 (191') (108'-214')]; dimère (229-229":232-232")-bisdisulfure, produit dans des cellules ovariennes de hamster chinois (CHO), glycoforme alfa; substitué sur les atomes de soufre des résidus L-cystéinyl 214', 214"', 223, 223", 229, 229", 232 et 232" avec des groupes (3RS)-1-[(4S,13S,21S)-13-benzyl-1-carboxy-22-[[[(1S,9S)-9-éthyl-5-fluoro-9-hydroxy-4-méthyl-10,13-dioxo-2,3,9,10,13,15-hexahydro-1H,12H-benzo[de]pyrano[3',4':6,7]indolizino[1,2-b]quinoléin-1-yl]amino]-21-méthyl-5,8,11,14,17,22-hexaoxo-20-oxa-2,6,9,12,15,18-hexaazadocosan-4-yl]-2,5-dioxopyrrolidin-3-yle (*brengitécán*)
antineoplasique

trastuzumab brengitécán

inmunoglobulina G1-kappa, anti-[*Homo sapiens* ERBB2 (receptor tirosina-proteína quinasa erbB-2, receptor 2 del factor de crecimiento epidérmico, EGFR2, HER2, HER-2, p185c-erbB2, NEU, CD340)], anticuerpo monoclonal humanizado; conjugado con un derivado de la campotecina;
cadena pesada gamma1 humanizada (1-449) [VH (*Homo sapiens* IGHV3-66*01 (81.6%) -(IGHD) -IGHJ4*01 (100%), CDR-IMGT [8.8.13] (26-33.51-58.97-109)) (1-120) -*Homo sapiens* IGHG1*03v, G1m3>G1m17, nG1m1 CH1 K120, CH3 E12, M14 (CH1 R120>K (217) (121-218), bisagra 1-15 (219-233), CH2 (234-343), CH3 E12 (359), M14 (361) (344-448), CHS K2>del (449)) (121-449)], (223-214')-disulfuro con la cadena ligera kappa humanizada (1'-214') [V-KAPPA (*Homo sapiens* IGKV1-39*01 (86.3%) -IGKJ1*01 (100%), CDR-IMGT [6.3.9] (27'-32'.50'-52'.89'-97')) (1'-107') -*Homo sapiens* IGKC*01(100%), Km3, A45.1 (153'), V101 (191') (108'-214')]; dímero (229-229":232-232")-bisdisulfuro, producido en las células ováricas de hámster chino (CHO), forma glicosilada alfa; substituido en los átomos de azufre de los residuos L-cisteinil 214', 214"', 223, 223", 229, 229", 232 y 232" con grupos (3RS)-1-[(4S,13S,21S)-13-bencil-1-carboxi-22-[[[(1S,9S)-9-etil-5-fluoro-9-hidroxi-4-metil-10,13-dioxo-2,3,9,10,13,15-hexahidro-1H,12H-benzo[de]pirano[3',4':6,7]indolizino[1,2-b]quinolein-1-il]amino]-21-metil-5,8,11,14,17,22-hexaoxo-20-oxa-2,6,9,12,15,18-hexaazadocosan-4-il]-2,5-dioxopirrolidin-3-ilo (*brengitécán*)
antineoplásico

Heavy chain / Chaîne lourde / Cadena pesada

EVQLVESGGG LVQPGGSLRL SCARSGFNK DTYIHWVRQA PGRGLEWVAR 50
 IYFNGITRY ADSVKGFTI SADRSKNTAI LQMSLRARD TAVYVCSRWG 100
 GGGFYAMDVW GGTTLVTVSS ASTKGSVFP LAFSSKSTSG GTAALGCLYK 150
 DYFPEFVTVS WNSGALTSKV HFFPAVLQSS GLYSLSVVT VPSSSLGTQT 200
 YICNVNHKFS NTKVDKKEVF KSCDKHTCP PCPAPELLGG FSVFLFPEKP 250
 KDTLMSRTP EVTCVVVDVS HEDPEVKFNW YVDGVEVHNA KTKPREEQYN 300
 STYRVVSVLT VLGQDNLNGK EYKCKVSNKA LPAPIEKTI S KAGQPREPQ 350
 VYTLPPSREE MTKNQVSLTLC LVKGFYPSDI AVEVESNGQP ENNYKTTFPV 400
 LDDSDGSFFLY SKLTVDKSRW QQGNVFSCEV MHEALHNHYT QKLSLSLSPG 449

Light chain / Chaîne légère / Cadena ligera

DIQMTQSPFS LSASVGDRTV ITCRASQDVN TAVAWTQKQF GRAFKLLIYS 50
 ASFLYGVPSF RFSGSRSGID FTLLIISLSP EDFATYICQQ HITTPPEYQQ 100
 GTRVEIKRVT AAPSVFIFPP SDEQLKSGTA SVVCLLNFFY PREAKVQKRW 150
 DNALQSGNSQ ESVTEQDSKD STYLSLSSTLT LSKADYEKHK VVACEVTHQG 200
 LSSPVTKSFN RGECC 214

Post-translational modifications

Disulfide bridges location / Position des ponts disulfure / Posiciones de los puentes disulfuro

Intra-H (C23-C104) 22-96 147-203 264-324 370-428
 22*-96* 147*-203* 264*-324* 370*-428*

Intra-L (C23-C104) 23*-88* 134*-194*
 23*-88* 134*-194*

Inter-H-L* (h 5-CL 126) 223-214* 223*-214**

Inter-H-H* (h 11, h 14) 229-229* 232-232*

*The four inter-chain disulfide bridges are not present, an average of 8 cysteinyl being conjugated each via a thioether bond to a drug linker.

*Les quatre ponts disulfures inter-chaînes ne sont pas présents, 8 cystéinyl en moyenne étant chacun conjugué via une liaison thioéther à un linker-principe actif.

*Faltan los cuatro puentes disulfuro inter-catenarios, una media de 8 cisteinil está conjugada a conectores de principio activo.

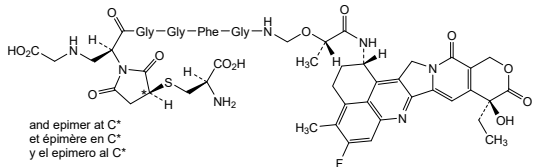
N-glycosylation sites / Sites de N-glycosylation / Posiciones de N-glicosilación

H C12 N84-4; 300; 300*

Fucosylated complex bi-antennary CHO-type glycans / glycanes de type CHO bi-antennaires complexes fucosylés / glicanos de tipo CHO biantennarios complejos fucosilados

Modified residues / Résidus modifiés / Restos modificados

C (214*, 214**, 223, 223*, 229, 229*, 232, 232*)



traxivitugum #
 traxivitugum

immunoglobulin G1-lambda2, anti-[BK polyomavirus (BKV) major capsid protein VP1], *Homo sapiens* monoclonal antibody;
 gamma1 heavy chain *Homo sapiens* (1-450) [VH (*Homo sapiens* IGHV3-7*01 (89.7%) -(IGHD) -IGHJ5*01 (85.7%)] [8.8.13] (26-33.51-58.97-109) (1-120) -*Homo sapiens* IGHG1*03, G1m3, nG1m1 CH1 R120, E12, M14 (CH1 R120 (217) (121-218), hinge 1-15 (219-233), CH2 (234-343), CH3 CH3 E12 (359), M14 (361) (344-448), CHS (449-450)) (121-450)], (223-212)-disulfide with lambda2 light chain *Homo sapiens* (1'-213') [V-LAMBDA (*Homo sapiens* IGLV3-21*03 (92.6%) -IGLJ2*01 (90.0%) L124>V (104)] [6.3.10] (26'-31'.49'-51'.88'-97') (1'-107') -*Homo sapiens* IGLC2*01 (100%) (108'-213'); dimer (229-229":232-232")-bisdisulfide, produced in Chinese hamster ovary (CHO) cells, cell line CHO-C8TD, glycoform alfa *antiviral*

traxivitugum

immunoglobuline G1-lambda2, anti-[protéine majeure de la capsid VP1 du polyomavirus BK (BKV)], anticorps monoclonal *Homo sapiens*;

chaîne lourde gamma1 *Homo sapiens* (1-450) [VH (*Homo sapiens* IGHV3-7*01 (89.7%) -(IGHD) -IGHJ5*01 (85.7%)) [8.8.13] (26-33.51-58.97-109) (1-120) - *Homo sapiens* IGHG1*03, G1m3, nG1m1 CH1 R120, E12, M14 (CH1 R120 (217) (121-218), charnière 1-15 (219-233), CH2 (234-343), CH3 CH3 E12 (359), M14 (361) (344-448), CHS (449-450)) (121-450)], (224-213')-disulfure avec la chaîne légère lambda2 *Homo sapiens* (1'-213') [V-LAMBDA (*Homo sapiens* IGLV3-21*03 (92.6%) -IGLJ2*01 (90.0%) L124>V (104)) [6.3.10] (26'-31'.49'-51'.88'-97') (1'-107') -*Homo sapiens* IGLC2*01 (100%) (108'-213')]; dimère (229-229":232-232")-bisdisulfure, produit dans des cellules ovariennes de hamster chinois (CHO), lignée cellulaire CHO-C8TD, glycoforme alfa
antiviral

traxivitug

inmunoglobulina G1-lambda2, anti-[proteína mayor de la cápside VP1 del poliomavirus BK (BKV)], anticuerpo monoclonal *Homo sapiens*;
cadena pesada gamma1 *Homo sapiens* (1-450) [VH (*Homo sapiens* IGHV3-7*01 (89.7%) -(IGHD) -IGHJ5*01 (85.7%)) [8.8.13] (26-33.51-58.97-109) (1-120) - *Homo sapiens* IGHG1*03, G1m3, nG1m1 CH1 R120, E12, M14 (CH1 R120 (217) (121-218), bisagra 1-15 (219-233), CH2 (234-343), CH3 CH3 E12 (359), M14 (361) (344-448), CHS (449-450)) (121-450)], (224-213')-disulfuro con la cadena ligera lambda2 *Homo sapiens* (1'-213') [V-LAMBDA (*Homo sapiens* IGLV3-21*03 (92.6%) -IGLJ2*01 (90.0%) L124>V (104)) [6.3.10] (26'-31'.49'-51'.88'-97') (1'-107') -*Homo sapiens* IGLC2*01 (100%) (108'-213')]; dímero (229-229":232-232")-bisdisulfuro, producido en las células ováricas de hámster chino (CHO), línea celular CHO-C8TD, forma glicosilada alfa
antiviral

2770852-89-4

Heavy chain / Chaîne lourde / Cadena pesada
 QVQLVESGGT LVQPGGSLRL SCAASGFTFN NYWMTWRQRA PGKGLEWVAN 50
 IKKGSEKYY VDSVRGRFTI SRDNAKNSLF LQMNLSLRPED TAVYFCATVR 100
 SGRYFALDDW GQGTLVTVSS ASTKGPSVFP LAPSCKSTSG GTAALGCLVK 150
 DYFPEPVTVS WNSGALTSVG HTFPAVLQSS GLYSLSSVVT VPSSSLGTQT 200
 YICNVNHNKPS NTKVDKRVEP KSCDKHTHCP PCPAPELLGG PSVFLFPPKP 250
 KDTLMISRTP EVTCVVVDVS HEDPEVKFNW YVDGVEVHNA KTKPREEQYN 300
 STYRVVSVLT VLNQDNLNGK EYKCKVSNKA LPAPIEKTIS KAKGQPREPQ 350
 VYTLPPSREE MTKNQVSLTC LVKGFYPSDI AVEWESNGQP ENNYKTTTPV 400
 LDSGGSEFFLY SKLTVDKSRW QQGNVFCSSV MHEALHNHYT QKSLSLSPGK 450

Light chain / Chaîne légère / Cadena ligera
 QSVLTQPPSV SVAPGKTARI TCGGDNIGSR PVHYYQKQPG QAPILVYDD 50
 SNRPSGIPER FSGSNSGNTA TLTISRVEAG DEADYYCQVW SSSTDHPFGG 100
 GTKVTVLGQP KAAPSVTLFP PSSEELQANK ATLVLCLISDF YPGAVTVAMK 150
 ADSSPVKAGV ETTTPSKQSN NKYAASSYLS LTPEQWKSRR SYSCQVTHEG 200
 STVEKTVAPT ECS 213

Post-translational modifications

Disulfide bridges location / Position des ponts disulfure / Posiciones de los puentes disulfuro

Intra-H (C23-C104) 22"-96" 147"-203" 264"-324" 370"-428"
 Intra-L (C23-C104) 22"-87" 135"-194"
 22"-87" 135"-194"

Inter-H-L (h 5-CL 126) 223"-212" 223"-212"

Inter-H-H (h 11, h 14) 229"-229" 232"-232"

N-terminal glutaminyl cyclization / Cyclisation du glutaminyle N-terminal / Ciclación del glutaminilo N-terminal

Q > pyroglutamyl (pE, 5-oxopropyl) / pyroglutamyle (pE, 5-oxopropyle) / piroglutamilo (pE, 5-oxoprolilo)
 H VH Q1: 1, 1"
 L VL V-LAMBDA Q1: 1, 1"

N-glycosylation sites / Sites de N-glycosylation / Posiciones de N-glicosilación

H CH2 N84.4: 300, 300"
 Fucosylated complex bi-antennary CHO-type glycans / glycanes de type CHO bi-antennaires complexes fucosylés / glicanos de tipo CHO biantenarijos complejos fucosilados

C-terminal lysine clipping / Coupeure de la lysine C-terminale / Recorte de lisina C-terminal
 H CHS K2: 450, 450"

troculeucelum

troculeucel

allogeneic natural killer (NK) cells isolated from peripheral blood leukapheresis of individual healthy donors. The leukapheresis material is enriched for CD56+ cells by positive immunoselection and re-suspended in media containing fetal bovine serum (FBS), interleukin-2 (IL-2), and interleukin-21 (IL-21). The cells are initially cultured in media containing IL-2 and two different irradiated feeder cell lines and then cultured with IL-2 alone to induce cell expansion.

The final cell population consists of CD3-CD56+ NK cells (≥80%), with highly expressed activating NK cell receptors [NKp30, NKp44 and NKp46, C-type lectin-like receptor (NKG2 family of receptors including NKG2C and NKG2D)], and other activating receptors such as CD16 and CD244. The cells also upregulate expression of perforin-1, granzyme, tumor necrosis factor alpha (TNF-α), interferon gamma (IFN-γ) and CD107a, and demonstrate cytotoxicity against K562 myeloid leukemia cells *in vitro* (≥50%)
cell therapy (antineoplastic)

troculeucel

cellules tueuses naturelles (NK) allogéniques isolées à partir de la leucaphérèse de sang périphérique de donneurs individuels sains. Le matériel de leucaphérèse est enrichi en cellules CD56+ par immunosélection positive et remis en suspension dans un milieu contenant du sérum bovin fœtal (FBS), de l'interleukine-2 (IL-2) et de l'interleukine-21 (IL-21). Les cellules sont d'abord cultivées dans un milieu contenant de l'IL-2 et deux lignées différentes de cellules nourricières irradiées, puis cultivées avec de l'IL-2 seule pour induire l'expansion cellulaire.

La population cellulaire finale se compose de cellules NK CD3-CD56+ (≥80%), d'une forte expression de récepteurs activateurs des cellules NK [NKp30, NKp44 et NKp46, récepteur de type lectine C (famille des récepteurs NKG2 comprenant NKG2C et NKG2D)], et d'autres récepteurs activateurs tels que CD16 et CD244. Les cellules augmentent également l'expression de la perforine-1, de la granzyme, du facteur de nécrose tumorale alpha (TNF-α), de l'interféron gamma (IFN-γ) et du CD107a, et démontrent une cytotoxicité contre les cellules de leucémie myéloïde K562 *in vitro* (≥50%)
thérapie cellulaire (antineoplasique)

troculeucel

células NK alogénicas aisladas de leucoaféresis de sangre periférica de donantes individuales sanos. El material de leucoaféresis se enriquece para células CD56+ mediante inmunoselección positiva y se resuspende en medio que contiene suero bovino fetal (FBS), interleuquina-2 (IL-2) e interleuquina-21 (IL-21). Las células se cultivan inicialmente en medio que contiene IL-2 y dos líneas celulares alimentadoras irradiadas diferentes, y después se cultivan sólo con IL-2 para inducir expansión.

La población celular final consiste en células NK CD3-CD56+ (≥80%) con alta expresión de receptores activadores de NK [NKp30, NKp44 y NKp46, receptor similar a lectina tipo C (familia de receptores NKG2 incluyendo NKG2C y NKG2D)], y otros receptores activadores como CD16 y CD244. Las células también sobre regulan la expresión de perforina-1, granzima, factor de necrosis tumoral alfa (TNF-α), interferón gamma (IFN-γ) y CD107a, y demuestran citotoxicidad contra células de leucemia mielóide K562 *in vitro* (≥50%)
terapia celular (antineoplásico)

ucasareotidum dasaroxetanum

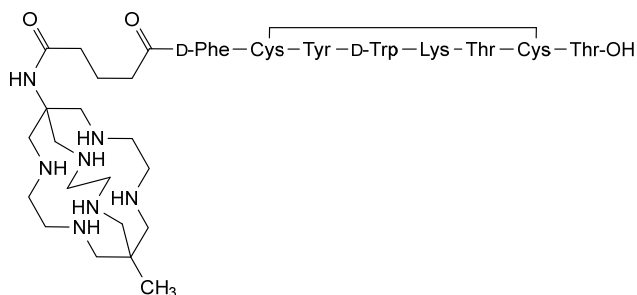
ucasareotide dasaroxetan $N^{2,1}$ -[5-[(8-methyl-3,6,10,13,16,19-hexaazabicyclo[6.6.6]icosan-1-yl)amino]-5-oxopentanoyl]- $S^{3,2}, S^{3,7}$ -cyclo(D-phenylalanyl-L-cysteinyl-L-tyrosyl-D-tryptophyl-L-lysyl-L-threonyl-L-cysteinyl-L-threonine)
diagnostic agent, antineoplastic

ucasaréotide dasaroxétan $N^{2,1}$ -[5-[(8-méthyl-3,6,10,13,16,19-hexaazabicyclo[6.6.6]icosan-1-yl)amino]-5-oxopentanoyl]- $S^{3,2}, S^{3,7}$ -cyclo(D-phénylalanyl-L-cystéinyl-L-tyrosyl-D-tryptophyl-L-lysyl-L-thréonyl-L-cystéinyl-L-thréonine)
agent diagnostique, antinéoplasique

ucasareotida dasaroxetán $N^{2,1}$ -[5-[(8-metil-3,6,10,13,16,19-hexaazabicyclo[6.6.6]icosan-1-il)amino]-5-oxopentanoil]- $S^{3,2}, S^{3,7}$ -ciclo(D-fenilalanil-L-cisteinil-L-tirosil-D-triptofil-L-lisil-L-treonil-L-cisteinil-L- treonina)
agente de diagnóstico, antineoplásico

C₆₉H₁₀₃N₁₇O₁₄S₂

1518779-60-6

**ucenprubartum #**

ucenprubart

immunoglobulin G4-kappa, anti-[*Homo sapiens* CD200R1 (CD200 receptor 1, MOX2 receptor, MOX2R, OX2R, HCRTR2)], humanized monoclonal antibody; gamma4 heavy chain humanized (1-446) [VH (*Homo sapiens*IGHV1-46*01 (87.9%) -(IGHD) -IGHJ2*01 (85.7%) R120>Q (112), CDR-IMGT [9.8.12] (26-34.52-59.98-109)) (1-120)-*Homo sapiens*IGHG4*01, nG4m(a) CH2 L92, G4v5 h P10 (CH1 (121-218), hinge 1-12 S10>P (228) (219-230), CH2 L92 (309) (231-340), CH3 (341-445), CHS K2>del (446)) (121-446)], (134-215')-disulfide with kappa light chain humanized (1'-215') [V-KAPPA (*Homo sapiens*IGKV6-21*02 (88.8%) -IGKJ4*01 (100%), CDR-IMGT [6.3.10] (27'-32'.50'-52'.89'-98')) (1'-108') -*Homo sapiens*IGKC*01 (100%), Km3 A45.1 (154'), V101 (192') (109'-215')]; dimer (226-226":229-229")-bisdisulfide, produced in Chinese hamster ovary (CHO) cells lacking the glutamine synthetase (GS-KO) gene, glycoform alfa
immunosuppressant, anti-inflammatory

ucenprubart

immunoglobuline G4-kappa, anti-[*Homo sapiens* CD200R1 (récepteur 1 de CD200, récepteur de MOX2, MOX2R, OX2R, HCRTR2)], anticorps monoclonal humanisé;

chaîne lourde gamma4 humanisée (1-446) [VH (*Homo sapiens* IGHV1-46*01 (87.9%) -(IGHD) -IGHJ2*01 (85.7%) R120>Q (112), CDR-IMGT [9.8.12] (26-34.52-59.98-109)) (1-120)-*Homo sapiens* IGHG4*01, *nG4m(a)* CH2 L92, G4v5 h P10 (CH1 (121-218), charnière 1-12 S10>P (228) (219-230), CH2 L92 (309) (231-340), CH3 (341-445), CHS K2>del (446)) (121-446)], (134-215')-disulfure avec la chaîne légère kappa humanisée (1'-215') [V-KAPPA (*Homo sapiens* IGKV6-21*02 (88.8%) -IGKJ4*01 (100%), CDR-IMGT [6.3.10] (27'-32'.50'-52'.89'-98')) (1'-108') -*Homo sapiens* IGKC*01 (100%), Km3 A45.1 (154'), V101 (192') (109'-215')]; dimère (226-226":229-229")-bisdisulfure, produit dans des cellules ovariennes de hamster chinois (CHO) ne présentant pas le gène de la glutamine synthétase (GS-KO), glycoforme alfa
immunosuppresseur, anti-inflammatoire

ucenprubart

immunoglobulina G4-kappa, anti-[*Homo sapiens* CD200R1 (receptor 1 de CD200, receptor de MOX2, MOX2R, OX2R, HCRTR2)], anticuerpo monoclonal humanizado;
cadena pesada gamma4 humanizada (1-446) [VH (*Homo sapiens* IGHV1-46*01 (87.9%) -(IGHD) -IGHJ2*01 (85.7%) R120>Q (112), CDR-IMGT [9.8.12] (26-34.52-59.98-109)) (1-120)-*Homo sapiens* IGHG4*01, *nG4m(a)* CH2 L92, G4v5 h P10 (CH1 (121-218), bisagra 1-12 S10>P (228) (219-230), CH2 L92 (309) (231-340), CH3 (341-445), CHS K2>del (446)) (121-446)], (134-215')-disulfuro con la cadena ligera kappa humanizada (1'-215') [V-KAPPA (*Homo sapiens* IGKV6-21*02 (88.8%) -IGKJ4*01 (100%), CDR-IMGT [6.3.10] (27'-32'.50'-52'.89'-98')) (1'-108') -*Homo sapiens* IGKC*01 (100%), Km3 A45.1 (154'), V101 (192') (109'-215')]; dímero (226-226":229-229")-bisdisulfuro, producido en las células ováricas de hámster chino (CHO) en ausencia del gen glutamina sintetasa (GS-KO), forma glicosilada alfa
inmunosupresor, antiinflamatorio

2414559-57-0

Heavy chain / Chaîne lourde / Cadena pesada

QVQLVQSGAE	VKKPGASVKV	SCKASGFSFS	SGYYMAWVRQ	APGQGLEWMG	50
LIGVSGSLW	YAKFKQGRVT	MTRDTSTSTV	YMELSSLRSE	DTAVYYCARH	100
FALSDPFFNLW	GQGTLLTVSS	ASTKGPSVFP	LAPCSRSTSE	STAALGCLVK	150
DYFPEPVTVS	WNSGALTSKV	HTFFPAVLQSS	GLYSLSSVVT	VPSSSLGTRK	200
YTCNVDRKPS	NTKVDKRVES	KYGPCCPCCP	APEFLGGPSV	FLFPPPKPKD	250
LMISRTPPEVT	CVVVDVDSQED	PEVQFNWYVD	GVEVHNAKTR	PREEQFNSTY	300
RVVSVLTVLH	QDVLNGKEYK	CKVSNKGLPS	SIEKTIISKAK	GQPREPQVYT	350
LPSPGQEMTK	NQVSLTCLVK	GFYPDSIAVE	WESNGQPENN	YKTTTTPVLDL	400
DGSFFLYSRL	TVDKSRWQEG	NVFSCSVMEH	ALHNHYTQKS	LSLSLG	446

Light chain / Chaîne légère / Cadena ligera

EIVLTQSPDF	QSVTPKPKVT	ITCQASESID	SYLLWYQKPK	DQSPKLLIKQ	50
ASTLASGVPS	RFGSGSGSDT	FTLTINSLEA	EDAATYYCQN	YYDISNDFG	100
GGTKVEIKRT	VAAPSVFIFP	PSDEQLKSGT	ASVCLLNLF	YPREAKVQWK	150
VDNALQSGNS	QESVTEQDSK	DSTYLSLSSTL	TLSKADYEKH	KVYACEVTHQ	200
GLSSPVTKSF	NRGEC				215

Post-translational modifications

Disulfide bridges location / Position des ponts disulfure / Posiciones de los puentes disulfuro

Intra-H (C23-C104)	22-97	147-203	261-321	367-425
	22"-97"	147"-203"	261"-321"	367"-425"

Intra-L (C23-C104)	23'-88'	135'-195'
	23"-88"	135"-195"

Inter-H-L (CH1 10-CL 126)	134-215'	134"-215"
---------------------------	----------	-----------

Inter-H-H (h 8, h 11)	226-226"	229-229"
-----------------------	----------	----------

N-terminal glutaminyl cyclization / Cyclisation du glutaminyle N-terminal / Ciclación del glutaminilo N-terminal

Q > pyroglutamyl (pE, 5-oxoprolyl) / pyroglutamyle (pE, 5-oxoprolyle) / piroglutamilo (pE, 5-oxoprolilo)

H VH Q1: 1, 1"

N-glycosylation sites / Sites de N-glycosylation / Posiciones de N-glicosilación
H CH2 N84.4: 297, 297"

Fucosylated complex bi-antennary CHO-type glycans / glycanes de type CHO bi-antennaires complexes fucosylés / glicanos de tipo CHO biantennarios complejos fucosilados.

uplarafenibum

uplarafenib

N-{2,4,5-trifluoro-3-[3-(morpholin-4-yl)quinoxaline-6-carbonyl]phenyl}propane-1-sulfonamide
antineoplastica

uplarafénib

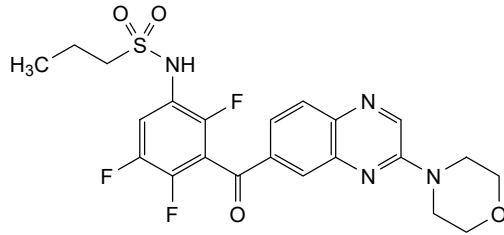
N-{2,4,5-trifluoro-3-[3-(morpholin-4-yl)quinoxaline-6-carbonyl]phényl}propane-1-sulfonamide
antineoplasique

uplarafenib

N-{2,4,5-trifluoro-3-[3-(morfolin-4-il)quinoxalina-6-carbonil]fenil}propano-1-sulfonamida
antineoplásico

C₂₂H₂₁F₃N₄O₄S

1425485-87-5

**uprevstobartum #**

uprevstobart

immunoglobulin G1-kappa, anti-[*Homo sapiens* NT5E (5'-nucleotidase ecto, 5' nucleotidase, 5'-NT, NT5, CD73)], humanized monoclonal antibody;
gamma1 heavy chain humanized (1-450) [VH (*Homo sapiens* IGHV5-51*01 (86.7%) -(IGHD) -IGHJ4*01 (85.7%) Q120>A (113), L123>T (116), CDR-IMGT [8.8.14] (26-33.51-58.97-110)) (1-121) -*Homo sapiens* IGHG1*03, G1m3, nG1m1 CH1 R120 CH3 E12, M14, G1v29 CH2 A84.4 (CH1 R120 (218) (122-219), hinge 1-15 (220-234), CH2 N84.4>A (301) (235-344), CH3 E12 (360), M14 (362) (345-449), CHS K2>del (450)) (122-450)], (224-214')-disulfide with kappa light chain humanized (1'-214') [V-KAPPA (*Homo sapiens* IGKV4-1*01 (83.2%) -IGKJ2*01 (91.7%) Q120>G (100'), CDR-IMGT [6.3.9] (27'-32'.50'-52'.89'-97')) (1'-107') -*Homo sapiens* IGKC*01 (100%), Km3, A45.1 (153'), V101 (191') (108'-214')]; dimer (230-230":233-233")-bisdisulfide, produced in Chinese hamster ovary (CHO) cells, cell line CHO-K1 lacking the glutamine synthetase (GS-KO) gene, non-glycosylated
immunostimulant, antineoplastica

uprevstobart

immunoglobuline G1-kappa, anti-[*Homo sapiens* NT5E (5' ecto nucléotidase, 5' nucléotidase, 5'-NT, NT5, CD73)], anticorps monoclonal humanisé;
chaîne lourde gamma1 humanisée (1-450) [VH (*Homo sapiens* IGHV5-51*01 (86.7%) -(IGHD) -IGHJ4*01 (85.7%) Q120>A (113), L123>T (116), CDR-IMGT [8.8.14] (26-33.51-58.97-110)) (1-121) -*Homo sapiens* IGHG1*03, G1m3, nG1m1 CH1 R120 CH3 E12, M14, G1v29 CH2 A84.4 (CH1 R120 (218) (122-219), charnière 1-15 (220-234), CH2 N84.4>A (301) (235-344), CH3 E12 (360), M14 (362) (345-449), CHS K2>del (450)) (122-450)], (224-214')-disulfure avec la

chaîne légère kappa humanisée (1'-214') [V-KAPPA (*Homo sapiens* IGKV4-1*01 (83.2%) -IGKJ2*01 (91.7%) Q120>G (100'), CDR-IMGT [6.3.9] (27'-32'.50'-52'.89'-97')) (1'-107') -*Homo sapiens* IGKC*01 (100%), Km3, A45.1 (153'), V101 (191') (108'-214')]; dimère (230-230":233-233")-bisdisulfure, produit dans des cellules ovariennes de hamster chinois (CHO), lignée cellulaire CHO-K1 ne présentant pas le gène de la glutamine synthétase (GS-KO), non-glycosylé
immunostimulant, antinéoplasique

uprevstobart

immunoglobulina G1-kappa, anti-[*Homo sapiens* NT5E (5' ecto nucleotidasa, 5' nucleotidasa, 5'-NT, NT5, CD73)], anticuerpo monoclonal humanizado;
cadena pesada gamma1 humanizada (1-450) [VH (*Homo sapiens* IGHV5-51*01 (86.7%) -(IGHD) -IGHJ4*01 (85.7%) Q120>A (113), L123>T (116), CDR-IMGT [8.8.14] (26-33.51-58.97-110)) (1-121) -*Homo sapiens* IGHG1*03, G1m3, nG1m1 CH1 R120 CH3 E12, M14, G1v29 CH2 A84.4 (CH1 R120 (218) (122-219), pesada 1-15 (220-234), CH2 N84.4>A (301) (235-344), CH3 E12 (360), M14 (362) (345-449), CHS K2>del (450)) (122-450)], (224-214')-disulfuro con la cadena ligera kappa humanizada (1'-214') [V-KAPPA (*Homo sapiens* IGKV4-1*01 (83.2%) -IGKJ2*01 (91.7%) Q120>G (100'), CDR-IMGT [6.3.9] (27'-32'.50'-52'.89'-97')) (1'-107') -*Homo sapiens* IGKC*01 (100%), Km3, A45.1 (153'), V101 (191') (108'-214')]; dímero (230-230":233-233")-bisdisulfuro, producido en las células ováricas de hámster chino (CHO), línea celular CHO-K1 en ausencia del gen glutamina sintetasa (GS-KO), no glicosilado
inmunoestimulante, antineoplásico

2762201-85-2

Heavy chain / Chaîne lourde / Cadena pesada

EVQLVQSGAE	VKKFPGESLKI	SCKSGSYTFT	SYGLSWVRQM	PGKGLEWMGE	50
IYPGSGNTYY	NEKFKGQVTI	SADKISISTAY	LQWSSLKASD	TAMYVCARYD	100
YLGSSYGFDD	WGAGTFTVTVS	SASTKGFVSF	PLAPSSKSTS	GGAALGCLV	150
KDYFPEPVTV	SWNSGALTSV	VHTFFPAVLQS	SGLYSLSSVW	TVPSSSLGTQ	200
TYICNWNHNP	SNTKVDKRVE	PKSCDKTHTC	PPCPAPELLG	GPSVFLFPPK	250
PKDTLMISRT	PEVTCVVDV	SHEDPEVRFN	WYVDGVEVHN	ARTKPREEQY	300
ASTYRVVSVL	TVLHQDWLNG	KEYKCKVSNK	ALPAPIEKTI	SKARGQPREP	350
QVYTLPPSRE	EMTKNQVSLT	CLVKGFYPSD	IAVEWESNGQ	PENNYKTTTP	400
VLDSGDSFLL	YSKLTVDKSR	WQQGNVFSCS	VMHEALHNHY	TQKSLSLSPG	450

Light chain / Chaîne légère / Cadena ligera

DIIVMTQSPDS	LAVSLGERAT	INCKASQDVS	TAVAWYQQPK	GQPPKLLIYS	50
ASRYRSGVDP	RFSGSGSGTD	FLLTISSSLQA	EDVAVYYCQQ	HYNTFYTFGG	100
GTKLEIKRVT	AAPSVFIFPP	SDEQLKSGTA	SVVCLLNIFY	PREAKVQWKV	150
DNALQSGSNQ	ESVTEQDSKD	STYLSLSLTL	LSKADYEKHK	VYACEVTHQG	200
LSSPVTKSFN	RGEC				214

Post-translational modifications

Disulfide bridges location / Position des ponts disulfure / Posiciones de los puentes disulfuro

Intra-H (C23-C104)	22-96	148-204	265-325	371-429
	22"-96"	148"-204"	265"-325"	371"-429"

Intra-L (C23-C104)	23'-88'	134'-194'
	23"-88"	134"-194"

Inter-H-L (h 5-CL 126) 224-214' 224"-214"

Inter-H-H (h 11, h 14) 230-230" 233-233"

No N-glycosylation sites / pas de sites de N-glycosylation / ninguna posición de N-glicosilación

H CH2 N84.4>A (G1v29): 301, 301"

usilnetugum #
usilnetug

immunoglobulin G1-kappa, anti-[*Homo sapiens* APP (amyloid beta A4 precursor protein) Abeta N3pGlu (amyloid beta N-terminal truncated and pyroglutamate modified at position 3, AβpE3) peptides], monoclonal antibody;
gamma1 heavy chain (1-451) [VH *Mus musculus*/Homsap (*Mus musculus* IGHV8-12*01 (82.0%) -(IGHD) -IGHJ3*01 (92.9%) A128>S (121)/*Homo sapiens* IGHV2-5*08 (75.0%) -(IGHD) -IGHJ4*01 (92.9%), CDR-IMGT [10.7.13] (26-35.53-59.98-110)) (1-121) -*Homo*

- sapiens*IGHG1*03v, G1m3>G1m17, nG1m1 CH1 K120, CH3 E12, M14 (CH1 R120>K (218) (122-219), hinge 1-15 (220-234), CH2 (235-344), CH3 E12 (360), M14 (362) (345-449), CHS (450-451)) (122-451)], (224-214')-disulfide with kappa light chain (1'-214') [V-KAPPA (*Homo sapiens* IGKV1-12*01 (88.4%) -IGKJ2*02 (100%), CDR-IMGT [6.3.9] (27'-32'.50'-52'.89'-97')) (1'-107') -*Homo sapiens* IGKC*01 (100%), Km3, A45.1 (153'), V101 (191') (108'-214')]; dimer (230-230":233-233")-bisdisulfide, produced in Chinese hamster ovary (CHO) cells, derived from the cell line CHO-K1, glycoform alfa
clearance of amyloid beta
- usilnetug immunoglobuline G1-kappa, anti-[*Homo sapiens* APP (protéine précurseur A4 amyloïde bêta) Abêta N3pGlu (amyloïde bêta N-terminal tronqué avec la position 3 modifiée en pyroglutamate, AβpE3) peptides], anticorps monoclonal;
chaîne lourde gamma1 (1-451) [VH Musmus/Homsap (*Mus musculus* IGHV8-12*01 (82.0%) -(IGHD) -IGHJ3*01 (92.9%) A128>S (121)/*Homo sapiens* IGHV2-5*08 (75.0%) -(IGHD) -IGHJ4*01 (92.9%), CDR-IMGT [10.7.13] (26-35.53-59.98-110)) (1-121) -*Homo sapiens* IGHG1*03v, G1m3>G1m17, nG1m1 CH1 K120, CH3 E12, M14 (CH1 R120>K (218) (122-219), charnière 1-15 (220-234), CH2 (235-344), CH3 E12 (360), M14 (362) (345-449), CHS (450-451)) (122-451)], (224-214')-disulfure avec la chaîne légère kappa (1'-214') [V-KAPPA (*Homo sapiens* IGKV1-12*01 (88.4%) -IGKJ2*02 (100%), CDR-IMGT [6.3.9] (27'-32'.50'-52'.89'-97')) (1'-107') -*Homo sapiens* IGKC*01 (100%), Km3, A45.1 (153'), V101 (191') (108'-214')]; dimère (230-230":233-233")-bisdisulfure, produit dans des cellules ovariennes de hamster chinois (CHO), dérivant de la lignée cellulaire CHO-K1, glycoforme alfa
élimination d'amyloïde bêta
- usilnetug inmunoglobulina G1-kappa, anti-[*Homo sapiens* APP (proteína precursor A4 amiloide beta) Abeta N3pGlu (amiloide beta N-terminal truncada con la posición 3 modificada en piroglutamato, AβpE3) péptidos], anticuerpo monoclonal;
cadena pesada gamma1 (1-451) [VH Musmus/Homsap (*Mus musculus* IGHV8-12*01 (82.0%) -(IGHD) -IGHJ3*01 (92.9%) A128>S (121)/*Homo sapiens* IGHV2-5*08 (75.0%) -(IGHD) -IGHJ4*01 (92.9%), CDR-IMGT [10.7.13] (26-35.53-59.98-110)) (1-121) -*Homo sapiens* IGHG1*03v, G1m3>G1m17, nG1m1 CH1 K120, CH3 E12, M14 (CH1 R120>K (218) (122-219), bisagra 1-15 (220-234), CH2 (235-344), CH3 E12 (360), M14 (362) (345-449), CHS (450-451)) (122-451)], (224-214')-disulfuro con la cadena ligera kappa (1'-214') [V-KAPPA (*Homo sapiens* IGKV1-12*01 (88.4%) -IGKJ2*02 (100%), CDR-IMGT [6.3.9] (27'-32'.50'-52'.89'-97')) (1'-107') -*Homo sapiens* IGKC*01 (100%), Km3, A45.1 (153'), V101 (191') (108'-214')]; dímero (230-230":233-233")-bisdisulfuro, producido en las células ováricas de hámster chino (CHO), línea celular derivada de CHO-K1, forma glicosilada alfa
eliminación de amiloide beta

2770861-19-1

Heavy chain / Chaîne lourde / Cadena pesada

EVQLQESGPG LVKPSQTLST TCTFSGFSLT TSGMGVSWIR QPPGKGLEWL 50
 AHYWDDEKRR YNPFMKRRLL ISKDTSKNOV SLKISSVATA DTAVYYCARR 100
 ADDYDVGFAY WQQTGLTVTS SASTKGPSVF PLAPSSKSTS GGTAALGCLV 150
 KDFYFPEPTV SWNSGALTSV VHTFFAVLQS SGLYSLSSVV TVPSSSLGTQ 200
 TYICNVNHRF SNTKVDKKEV PKSCDKTHTC PPCAPELLG GPSVFLFFPK 250
 FKDTLMISRIT FEVTCVVVDV SHEDPEVKFN WYVDGVEVHN AKTKPREEQY 300
 NSTYRVVSVL TVLHGDWLVG KEYKCKVSNK ALPAPIEKTI SKAKGQPREP 350
 QVYTLFPSRE EMTKIQVSLT CLVKGFPYSD IAVWEHSGGQ PENNYKTFP 400
 VLDSGDSFFL YSKLTVDKSR WQGNVFPSC VMHEALHNHY TQKSLSLSPG 450
 K 451

Light chain / Chaîne légère / Cadena ligera

DIQMTQSPSS VSASVGRDVT ITCLASQTIG TWLAWYQQKP GKSPKLLIYA 50
 ATSLADGVPS RFGSGSGGTD FTLTISLQPF EDFATYYCQ LYSSPPTFGQ 100
 GTKLEIKRVT AAPSVFIFPP SDEQLKSGTA SVVCLLNIFY PREAKVQWKV 150
 DNALQSGNSQ ESVTEQDSKD STYLSLSTLT LSKADYKHKH VYACEVTHQG 200
 LSSPVTKSFN RGEV 214

Post-translational modifications

Disulfide bridges location / Position des ponts disulfure / Posiciones de los puentes disulfuro

Intra-H (C23-C104) 22°-97' 148°-204' 265°-325' 371°-429'
 22°-97'' 148°-204'' 265°-325'' 371°-429''

Intra-L (C23-C104) 23°-88' 134°-194'
 23°-88'' 134°-194''

Inter-H-L (h 5-CL 126) 224°-214' 224°-214''

Inter-H-H (h 11, h 14) 230°-230' 233°-233''

N-glycosylation sites / Sites de N-glycosylation / Posiciones de N-glicosilación

H CH2 N84.4: 301, 301''

C-terminal lysine clipping / Coupure de la lysine C-terminale / Recorte de lisina C-terminal

H CHS K2: 451, 451''

usnoflastum

usnoflast

(1E)-2-[(2R)-1,2-diméthylpyrrolidin-2-yl]-N-[(1,2,3,5,6,7-hexahydro-s-indacén-4-yl)carbamoyl]éthène-1-sulfonamide
non-steroidal anti-inflammatoire

usnoflast

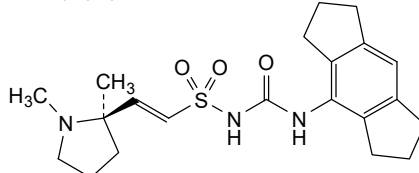
(1E)-2-[(2R)-1,2-diméthylpyrrolidin-2-yl]-N-[(1,2,3,5,6,7-hexahydro-s-indacén-4-yl)carbamoyl]éthène-1-sulfonamide
anti-inflammatoire non-stéroïdien

usnoflast

(1E)-2-[(2R)-1,2-diméthylpirrolidin-2-il]-N-[(1,2,3,5,6,7-hexahidro-s-indacén-4-il)carbamoi]jeteno-1-sulfonamida
antiinflamatorio no esteroide

C₂₁H₂₉N₃O₃S

245519-86-3



vamagloxistatum

vamagloxistat

5-[[4'-(3,3-difluorocyclobutyl)[1,1'-biphényl]-4-yl]oxy]-1H-1,2,3-triazole-4-carboxylic acid
glycolate oxidase inhibitor

vamagloxistat

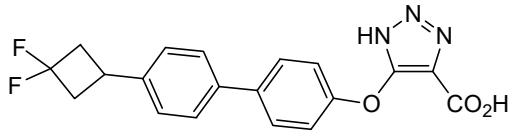
acide 5-[[4'-(3,3-difluorocyclobutyl)[1,1'-biphényl]-4-yl]oxy]-1H-1,2,3-triazole-4-carboxylique
inhibiteur de la glycolate oxydase

vamagloxistat

ácido 5-[[4'-(3,3-difluorociclobutil)[1,1'-bifenil]-4-il]oxi]-1H-1,2,3-triazol-4-carboxílico
inhibidor de la glicolato oxidasa

C₁₉H₁₅F₂N₃O₃

2408241-62-1



venanprubartum #
venanprubart

immunoglobulin G4-kappa, anti-[*Homo sapiens* BTLA (B and T lymphocyte attenuator, BTLA1, CD272)], humanized monoclonal antibody; gamma4 heavy chain humanized (1-449) [VH (*Homo sapiens* IGHV1-18*01 (80.6%) -(IGHD) -IGHJ1*01 (100%), CDR-IMGT [8.7.17] (26-33.51-57.96-112)) (1-123)-*Homo sapiens* IGHG4*01, nG4m(a) CH2 L92, G4v5 h P10, G4v4 CH2 A1.3, A1.2 (CH1 (124-221), hinge 1-12 S10>P (231) (222-233), CH2 F1.3>A (237), L1.2>A (238), L92 (312) (234-343), CH3 (344-448), CHS K2>del (449)) (124-449)], (137-217')-disulfide with kappa light chain humanized (1'-217') [V-KAPPA (*Homo sapiens* IGKV3-20*01 (88.5%) -IGKJ4*01 (100%), CDR-IMGT [6.3.12] (27'-32'.50'-52'.89'-100')) (1'-110') -*Homo sapiens* IGKC*01 (100%), Km3 A45.1 (156'), V101 (194') (111'-217')]; dimer (229-229":232-232")-bisdisulfide, produced in Chinese hamster ovary (CHO) cells lacking the glutamine synthetase (GS-KO) gene, glycoform alfa
immunosuppressant

vénanprubart

immunoglobuline G4-kappa, anti-[*Homo sapiens* BTLA (atténuateur des lymphocytes B et T, BTLA1, CD272)], anticorps monoclonal humanisé; chaîne lourde gamma4 humanisée (1-449) [VH (*Homo sapiens* IGHV1-18*01 (80.6%) -(IGHD) -IGHJ1*01 (100%), CDR-IMGT [8.7.17] (26-33.51-57.96-112)) (1-123)-*Homo sapiens* IGHG4*01, nG4m(a) CH2 L92, G4v5 h P10, G4v4 CH2 A1.3, A1.2 (CH1 (124-221), charnière 1-12 S10>P (231) (222-233), CH2 F1.3>A (237), L1.2>A (238), L92 (312) (234-343), CH3 (344-448), CHS K2>del (449)) (124-449)], (137-217')-disulfure avec la chaîne légère kappa humanisée (1'-217') [V-KAPPA (*Homo sapiens* IGKV3-20*01 (88.5%) -IGKJ4*01 (100%), CDR-IMGT [6.3.12] (27'-32'.50'-52'.89'-100')) (1'-110') -*Homo sapiens* IGKC*01 (100%), Km3 A45.1 (156'), V101 (194') (111'-217')]; dimère (229-229":232-232")-bisdisulfure, produit dans des cellules ovariennes de hamster chinois (CHO) ne présentant pas le gène de la glutamine synthétase (GS-KO), glycoforme alfa
immunosuppresseur

venanprubart

immunoglobulina G4-kappa, anti-[*Homo sapiens* BTLA (atenuador de los linfocitos B y T, BTLA1, CD272)], anticuerpo monoclonal humanizado;

cadena pesada gamma4 humanizada (1-449) [VH (*Homo sapiens* IGHV1-18*01 (80.6%) -(IGHD)-IGHJ1*01 (100%), CDR-IMGT [8.7.17] (26-33.51-57.96-112)) (1-123)-*Homo sapiens* IGHG4*01, nG4m(a) CH2 L92, G4v5 h P10, G4v4 CH2 A1.3, A1.2 (CH1 (124-221), bisagra 1-12 S10>P (231) (222-233), CH2 F1.3>A (237), L1.2>A (238), L92 (312) (234-343), CH3 (344-448), CHS K2>del (449)) (124-449)], (137-217')-disulfuro con la cadena ligera kappa humanizada (1'-217') [V-KAPPA (*Homo sapiens* IGKV3-20*01 (88.5%) -IGKJ4*01 (100%), CDR-IMGT [6.3.12] (27'-32'.50'-52'.89'-100')) (1'-110') -*Homo sapiens* IGKC*01 (100%), Km3 A45.1 (156'), V101 (194') (111'-217')]; dímero (229-229":232-232")-bisdisulfuro, producido en las células ováricas de hámster chino (CHO) en ausencia del gen glutamina sintetasa (GS-KO), forma glicosilada alfa
inmunosupresor

2635407-50-8

Heavy chain / Chaîne lourde / Cadena pesada

QVQLVQSGAE	VKKPGASVKV	SCKASGFSL	SYGVSWVRQA	PGQGLEWV	50
ISYDGTITYYA	SWAKSRVTMT	RDTSTSTVYM	ELSSLRSEDT	AVYYCARGDY	100
YDDYVYVYAL	DIWGQGLVLT	VSSASTKGPS	VFLPAPCSRS	TSESTAALGC	150
LVKDYFPEPV	TVSWNSGALT	SGVHTFPAVL	QSSGLYSLSS	VVTVPSSSLG	200
TKTYTCNVDH	KPSNTKVDKR	VESKYGPPCP	PCPAPEAAGG	PSVFLFPPPK	250
KDTLMISRTP	EVTCCVVVDVS	QEDPEVQFNW	YVDGVEVHNA	KTKPREEQFN	300
STYRVVSVLT	VLHQDWLNGK	EYKCKVSNKG	LPSSIEKTIIS	KAKQPPREPQ	350
VYTLPPSQEE	MTKNQVSLTC	LVKGFYPSDI	AVEWESNGQP	ENNYKTTTPV	400
LDSGDSFFLY	SRLTVDKSRW	QEGNVFSCSV	MHEALHNYHT	QKSLSLSLG	449

Light chain / Chaîne légère / Cadena ligera

EIVLTQSPGT	LSLSPGERAT	LSCQASQSI	TALAWYQQK	QAPRLLIYA	50
ASTLASGIPD	RFGSGSGTD	FTLTISRLEP	EDFAVYQCQ	GYSSNLDNV	100
FGGGTKVEIK	RTVAAPSVFI	FPPSDEQLK	GTASVVCLLN	NFYPREAKVQ	150
WKVDNALQSG	NSQESVTEQD	SKDSTYLSL	TLTSLKADYE	KHKVYACEVT	200
HQGLSSPVTK	SFNRGEC				217

Post-translational modifications

Disulfide bridges location / Position des ponts disulfure / Posiciones de los puentes disulfuro

Intra-H (C23-C104)	22-95	150-206	264-324	370-428
	22"-95"	150"-206"	264"-324"	370"-428"
Intra-L (C23-C104)	23'-88'	137'-197'		
	23"'-88'"	137"'-197'"		
Inter-H-L (CH1 10-CL 126)	137-217'	137"-217'"		
Inter-H-H (h 8, h 11)	229-229"	232-232"		

N-terminal glutaminyl cyclization / Cyclisation du glutaminyle N-terminal / Ciclación del glutaminilo N-terminal

Q > pyroglutamyl (pE, 5-oxoprolyl) / pyroglutamyle (pE, 5-oxoprolyle) / piroglutamilo (pE, 5-oxoprolilo)

H VH Q1: 1, 1"

N-glycosylation sites / Sites de N-glycosylation / Posiciones de N-glicosilación
H CH2 N84.4: 300, 300"

Fucosylated complex bi-antennary CHO-type glycans / glycanes de type CHO bi-antennaires complexes fucosylés / glicanos de tipo CHO biantennarios complejos fucosilados

verekitugum #
verekitug

immunoglobulin G1-kappa, anti-[*Homo sapiens* CRLF2 (cytokine receptor like factor 2, TSLPR, thymic stromal lymphopoietin receptor)], *Homo sapiens* monoclonal antibody;

gamma1 heavy chain *Homo sapiens* (1-448) [VH (*Homo sapiens* IGHV3-23*01 (89.8%) -(IGHD)-IGHJ4*01 (100%), CDR-IMGT [8.8.11] (26-33.51-58.97-107)) (1-118)-*Homo sapiens* IGHG1*01 (100%), G1m17,1 CH1 K120, CH3 D12, L14 (CH1 K120 (215) (119-216), hinge 1-15 (217-231), CH2 (232-341), CH3 D12 (357), L14 (359) (342-446), CHS (447-448)) (119-448)], (221-214')-disulfide with kappa light chain *Homo sapiens* (1'-214') [V-KAPPA (*Homo sapiens* IGKV1-16*02 (96.8%) -IGKJ1*01 (100%), CDR-IMGT [6.3.9] (27'-32'.50'-52'.89'-97')) (1'-107') -*Homo sapiens* IGKC*01 (100%), Km3, A45.1 (153'), V101 (191') (108'-214')]; dimer (227-227":230-230")-bisdisulfide, produced in Chinese hamster ovary (CHO) cells, glycoform alfa
anti-inflammatory

vérékítug	immunoglobuline G1-kappa, anti-[<i>Homo sapiens</i> CRLF2 (récepteur du facteur 2 cytokine like, TSLPR, récepteur de la lymphopoïétine stromale thymique)]; anticorps monoclonal <i>Homo sapiens</i> ; chaîne lourde gamma1 <i>Homo sapiens</i> (1-448) [VH (<i>Homo sapiens</i> IGHV3-23*01 (89.8%) -(IGHD) -IGHJ4*01 (100%), CDR-IMGT [8.8.11] (26-33.51-58.97-107)) (1-118) - <i>Homo sapiens</i> IGHG1*01 (100%), G1m17,1 CH1 K120, CH3 D12, L14 (CH1 K120 (215) (119-216), charnière 1-15 (217-231), CH2 (232-341), CH3 D12 (357), L14 (359) (342-446), CHS (447-448)) (119-448)], (221-214')-disulfure avec la chaîne légère kappa <i>Homo sapiens</i> (1'-214') [V-KAPPA (<i>Homo sapiens</i> IGKV1-16*02 (96.8%) -IGKJ1*01 (100%), CDR-IMGT [6.3.9] (27'-32'.50'-52'.89'-97')) (1'-107') - <i>Homo sapiens</i> IGKC*01 (100%), Km3, A45.1 (153'), V101 (191') (108'-214')]; dimère (227-227'':230-230'')-bisdisulfure, produit dans des cellules ovariennes de hamster chinois (CHO), glycoforme alfa <i>anti-inflammatoire</i>
verekítug	inmunoglobulina G1-kappa, anti-[<i>Homo sapiens</i> CRLF2 (receptor del factor 2 de tipo citocina, TSLPR, receptor de la linfopoyetina estromal tímico)]; anticuerpo monoclonal <i>Homo sapiens</i> ; cadena pesada gamma1 <i>Homo sapiens</i> (1-448) [VH (<i>Homo sapiens</i> IGHV3-23*01 (89.8%) -(IGHD) -IGHJ4*01 (100%), CDR-IMGT [8.8.11] (26-33.51-58.97-107)) (1-118) - <i>Homo sapiens</i> IGHG1*01 (100%), G1m17,1 CH1 K120, CH3 D12, L14 (CH1 K120 (215) (119-216), bisagra 1-15 (217-231), CH2 (232-341), CH3 D12 (357), L14 (359) (342-446), CHS (447-448)) (119-448)], (221-214')-disulfuro con la cadena ligera kappa <i>Homo sapiens</i> (1'-214') [V-KAPPA (<i>Homo sapiens</i> IGKV1-16*02 (96.8%) -IGKJ1*01 (100%), CDR-IMGT [6.3.9] (27'-32'.50'-52'.89'-97')) (1'-107') - <i>Homo sapiens</i> IGKC*01 (100%), Km3, A45.1 (153'), V101 (191') (108'-214')]; dímero (227-227'':230-230'')-bisdisulfuro, producido en las células ováricas de hámster chino (CHO), forma glicosilada alfa <i>antiinflamatorio</i>

2768386-15-6

Heavy chain / Chaîne lourde / Cadena pesada

```
EVQLLESQGGG LVQPGGSLRL SCAASGFTFR SSAMHWVRA PGKGLKWVSS 50
VSGSGAGTY ADYKGRFTI SRDNPKNTLY LQMNSLRAED TAVYCVKVEG 100
GSRGFDYWQG GTLVTSSAS TKGSPVFFLA PSSKSTSGGT AALGCLVKYI 150
FPEPVTVSWN SGALTSGVHT FPAVLQSSGL YSLSSVTVTP SSSLGQTYI 200
CNVNHKFSNT KVDKVEPKS CDKTHTCPPC FAPPELLGGPS VFLFPPKPKD 250
TLMISRTPEV TCVVVDVDSHE DPEVKFNWYV DGEVHNAKT KPREEQYNST 300
YRVVSVLTVL HQDWLNKGEY KCKVSNKALP APIEKTISKA KGQPREPQVY 350
TLPSPRDEL TKNQVSLTCLV KGFYPSDIAV EWESNGQPEN NYKTTPEVLD 400
SDGSFFLYSK LTVDKSRWQQ GNVFSCSVMH EALHNYTQK SLSLSPGK 448
```

Light chain / Chaîne légère / Cadena ligera

```
DIQMTQSPSS LSASVGRVIT ITCRASQDIS NYLAWFQQKP GKAPKSLIYT 50
ASSLQSGVPS KFSGSGSGDT FTLTISLQPE EDFATYYCQ YNLYPPTFGQ 100
GTKVEIKRTV AAPSDFIAPP SDEQLKSGTA SVVCLLNIFY PREAKVQWKV 150
DNALQSGNSQ ESVTEQDSKD STYLSSTLT LSKADYEKHK VYACEVTHQG 200
LSSPVTKSFN RGEK 214
```

Post-translational modifications

Disulfide bridges location / Position des ponts disulfure / Posiciones de los puentes disulfuro

```
Intra-H (C23-C104) 22-96 145-201 262-322 368-426
                22"-96" 145"-201" 262"-322" 368"-426"
Intra-L (C23-C104) 23-88" 134-194"
                23"-88" 134"-194"
Inter-H-L (h 5-CL 126) 221-214' 221"-214'"
Inter-H-H (h 11, h 14) 227-227" 230-230"
```

N-glycosylation sites / Sites de N-glycosylation / Posiciones de N-glicosilación

H CH2 N84.4: 298, 298"

Fucosylated complex bi-antennary CHO-type glycans / glycanes de type CHO bi-antennaires complexes fucosylés / glicanos de tipo CHO biantennarios complejos fucosilados

C-terminal lysine clipping / Coupeure de la lysine C-terminale / Recorte de lisina C-terminal
H CHS K2: 448, 448"

vevotadekinum

vevotadekin

human interleukin 18 (IL18, interleukin-1 gamma, IL-1 gamma, interferon gamma-inducing factor) fragment (1-157), engineered variant (C³⁸>S, M⁵¹>K, K⁵³>S, ⁵⁶QP⁵⁷>LA, M⁶⁰>L, C⁶⁸>D, S¹⁰⁵>D, ¹¹⁰DN¹¹¹>SR) produced in *Escherichia coli*
interleukin-18 analogue, antineoplastic

vévotadékiné

fragment (1-157) de l'interleukine 18 humaine (IL18, interleukine-1 gamma, IL-1 gamma, facteur d'induction de l'interféron gamma), variant modifié (C³⁸>S, M⁵¹>K, K⁵³>S, ⁵⁶QP⁵⁷>LA, M⁶⁰>L, C⁶⁸>D, S¹⁰⁵>D, ¹¹⁰DN¹¹¹>SR) produit chez *Escherichia coli*
analogue de l'interleukine 18, antinéoplasique

vevotadekina

fragmento (1-157) de interleukina humana 18 (IL18, interleukina-1 gamma, IL-1 gamma, factor de inducción interferón gamma), variante diseñada (C³⁸>S, M⁵¹>K, K⁵³>S, ⁵⁶QP⁵⁷>LA, M⁶⁰>L, C⁶⁸>D, S¹⁰⁵>D, ¹¹⁰DN¹¹¹>SR) producida en *Escherichia coli*
análogo de la interleukina 18, antineoplásico

2768756-51-8

Sequence / Séquence / Secuencia

YFGKLESKLS VIRNLNDQVL FIDQGNRPLF EDMTDSDSSRD NAPRTIFIIS 50
KYSDSLARGL AVTISVRDEK ISTLS~~CENKI~~ ISFKEMNPPD NIKDTKSDII 100
 FFQRDVPGHS RKMQFESSY EGYFLACEKE RDLFLKILKK EDELGDRSIM 150
 FTVQNED 157

Mutation / Mutation / Mutación

C³⁸>S, M⁵¹>K, K⁵³>S, Q⁵⁶>L, P⁵⁷>A, M⁶⁰>L, C⁶⁸>D, S¹⁰⁵>D, D¹¹⁰>S, N¹¹¹>R

Post-translational modifications

none / aucun / ninguna

vicatertidum

vicatertide

L-leucyl-L-glutaminy-L-valyl-L-valyl-L-tyrosyl-L-leucyl-L-histidine
transforming growth factor (TGF) beta-1 inhibitor

vicatertide

L-leucyl-L-glutaminy-L-valyl-L-valyl-L-tyrosyl-L-leucyl-L-histidine
inhibiteur du facteur de croissance transformant (TGF) bêta-1

vicatertida

L-leucil-L-glutaminil-L-valil-L-valil-L-tirosil-L-leucil-L-histidina
inhibidor del factor de crecimiento transformante (TGF) beta-1

C₄₂H₆₆N₁₀O₁₀

1251838-01-3

H—Leu—Gln—Val—Val—Tyr—Leu—His—OH

vilastobartum #

vilastobart

immunoglobulin G1-fused prodomain kappa, anti-[*Homo sapiens* CTLA4 (cytotoxic T-lymphocyte associated protein 4, CTLA-4, CD152)], humanized monoclonal antibody;
 gamma1 heavy chain humanized (1-449) [VH (*Homo sapiens*IGHV1-69*08 (84.7%) -(IGHD) -IGHJ4*01 (92.9%), CDR-IMGT [8.8-12] (26-33.51-58.97-108)) (1-119) -*Homo sapiens*IGHG1*01, G1m17,1 CH1 K120, D12, L14, G1v7 CH2 D3, E117 (CH1 K120 (216) (120-217), hinge 1-15 (218-232), CH2 S3>D (241), I117>E (334) (233-342), CH3 D12 (358), L14 (360) (343-447), CHS (448-449)) (120-449)], (222-241')-disulfide with fused prodomain kappa light chain humanized (1'-241') [prodomain (1'-28') fused to V- KAPPA (*Homo sapiens*IGKV6-21*02 (78.5%) -IGKJ4*01 (100%), CDR-IMGT [5.3.9] (55'-59'.77'-79'.116'-124') (29'-134') -*Homo sapiens*IGKC*01, Km3 A45.1 (180'), V101 (218') (135'-241')]; dimer (228-228":231-231")-bisdisulfide,

produced in Chinese hamster ovary (CHO) cells, cell line CHO-K1, glycoform alfa
immunostimulant, antineoplastic

vilastobart immunoglobuline G1-kappa à prodomaine fusionné, anti-[*Homo sapiens* CTLA4 (protéine 4 associée aux lymphocytes T cytotoxiques, CTLA-4, CD152)], anticorps monoclonal humanisé;
chaîne lourde gamma 1 humanisée (1-449) [VH (*Homo sapiens* IGHV1-69*08 (84.7%) -(IGHD) -IGHJ4*01 (92.9%), CDR-IMGT [8.8.12] (26-33.51-58.97-108)) (1-119) -*Homo sapiens* IGHG1*01, G1m17,1 CH1 K120, D12, L14, G1v7 CH2 D3, E117 (CH1 K120 (216) (120-217), charnière 1-15 (218-232), CH2 S3>D (241), I117>E (334) (233-342), CH3 D12 (358), L14 (360) (343-447), CHS (448-449)) (120-449)], (222-241')-disulfure avec la chaîne légère kappa humanisée à prodomaine fusionné (1'-241') [prodomaine (1'-28') fusionné à V-KAPPA (*Homo sapiens* IGKV6-21*02 (78.5%) -IGKJ4*01 (100%), CDR-IMGT [5.3.9] (55'-59'.77'-79'.116'-124')) (29'-134') -*Homo sapiens* IGKC*01, Km3 A45.1 (180'), V101 (218') (135'-241')]; dimère (228-228":231-231")-bisdisulfure, produit dans des cellules ovariennes de hamster chinois (CHO), lignée cellulaire CHO-K1, glycoforme alfa
immunostimulant, antinéoplasique

vilastobart inmunoglobulina G1-kappa con prodominio fusionado, anti-[*Homo sapiens* CTLA4 (proteína 4 asociada con los linfocitos T citotóxicos, CTLA-4, CD152)], anticuerpo monoclonal humanizado;
cadena pesada gamma1 humanizada (1-449) [VH (*Homo sapiens* IGHV1-69*08 (84.7%) -(IGHD) -IGHJ4*01 (92.9%), CDR-IMGT [8.8.12] (26-33.51-58.97-108)) (1-119) -*Homo sapiens* IGHG1*01, G1m17,1 CH1 K120, D12, L14, G1v7 CH2 D3, E117 (CH1 K120 (216) (120-217), bisagra 1-15 (218-232), CH2 S3>D (241), I117>E (334) (233-342), CH3 D12 (358), L14 (360) (343-447), CHS (448-449)) (120-449)], (222-241')-disulfuro con la cadena ligera kappa humanizada con prodominio fusionado (1'-241') [prodominio (1'-28') fusionado con V-KAPPA (*Homo sapiens* IGKV6-21*02 (78.5%) -IGKJ4*01 (100%), CDR-IMGT [5.3.9] (55'-59'.77'-79'.116'-124')) (29'-134') -*Homo sapiens* IGKC*01, Km3 A45.1 (180'), V101 (218') (135'-241')]; dímero (228-228":231-231")-bisdisulfuro, producido en las células ováricas de hámster chino (CHO), línea celular CHO-K1, forma glicosilada alfa
inmunoestimulante, antineoplásico

2760549-50-4

Heavy chain / Chaîne lourde / Cadena pesada
 QVQLVQSGAE VKKPGSSVKV SCKASGYTFT NYFMNWRQA PGQGLEWMGR 50
 VDPEQGRADY AEKFKRRTVI TADKSTSTAY MELSSLRSED TAVYVCARRA 100
 MDNYGFAYWG QGLTLTVSSA STKGFVSFFL APSKSTSGG TAALGCLVKD 150
 YFPEPVTVSW NSGALTSQVH TFPFVQLQSSG LYSLSVVTV FSSSLGTQTY 200
 ICNVNHRPSN TKVDRKVEPK SCDKTHTCPF CPAPELLGGP DVFLFPKPK 250
 DTLMISRTPE VTCVVVDVSH EDPEVKFNWY VDGVEVHNAK TKPREEQYNS 300
 TYRVVSLVLT LHQDWLNGKE YKCKVSNKAL PAPEKTIKSK AKGQPREPQV 350
 YTLPPSRDEL TKMQVSLTCL VKGFYPSDIA VEWESNGQPE NNYKTTPEVL 400
 DSDGSEFFLYS KLTVDKSRWQ QGNVFSCVM HEALHNYITQ KSLSLSPGK 449

Light chain / Chaîne légère / Cadena ligera
 ACPGKGLPSC GGSSTGGSGV PLSLYSGGEI VLTQSPDFQS VTPKEKVTIT 50
 CSANSALSYM YWYQQKPDQS PRLVWVHGTN LAGVPSRFS GSGSGTDFTL 100
 TINSLEAEDA ATYCYCHWSN TQWTFGGGTK VEIKRTVAAP SVFIFFPSPD 150
 QLKSGTASVV CLLNFFYPRE AKVQWQVDNA LQSGNSQESV TEQDSKDSY 200
 SLSSLTLLSK ADYEKHKVYA CEVTHQGLSS PVTKSFNRRG C 241

Post-translational modifications

Disulfide bridges location / Position des ponts disulfure / Posiciones de los puentes disulfuro
 Intra-H (C23-C104) 22-96 146-202 263-323 369-427
 22"-96" 146"-202" 263"-323" 369"-427"
 Intra-L prodomain 2'-10' 2"-10"
 Intra-L (C23-C104) 51"-115" 161"-221"
 51'"-115'" 161'"-221'"
 Inter-H-L (h 5-CL 126) 222-241" 222"-241"
 Inter-H-H (h 11, h 14) 228-228" 231-231"

N-terminal glutaminyl cyclization / Cyclisation du glutaminyle N-terminal / Ciclación del glutamilo N-terminal
 Q > pyroglutamyl (pE, 5-oxopropyl) / pyroglutamyle (pE, 5-oxopropyle) / piroglutamilo (pE, 5-oxopropilo)
 H VH Q1: 1, 1"

N-glycosylation sites / Sites de N-glycosylation / Posiciones de N-glicosilación
 H CH2 N84.4: 299, 299"
 Fucosylated complex bi-antennary CHO-type glycans / glycanes de type CHO bi-antennaires complexes fucosylés / glicanos de tipo CHO biantennarios complejos fucosilados

C-terminal lysine clipping / Coupeure de la lysine C-terminale / Recorte de lisina C-terminal
 H CHS K2: 449, 449"

vimekofuspum #

vimekofusp

Vibrio cholerae L-methionyl-cholix toxin (exotoxin A, NAD(+)-diphthamide ADP-ribosyltransferase, EC: 2.4.2.36), fragment (1-386, 2-387 in the current sequence), variant (D³>E⁴, E⁴>A⁵), fused via peptide linker ³⁸⁸GGGSGGGSGGGG⁴⁰¹ to human interleukin 10 (IL-10, cytokine synthesis inhibitory factor (CSIF)) (1-160, 402-561 in the current sequence), dimer, produced in *Escherichia coli*
interleukin-10 analogue, anti-inflammatory

vimékofusp

toxine L-méthionyl-cholix de *Vibrio cholerae* (exotoxine A, NAD(+)-diphthamide ADP-ribosyltransférase, EC: 2.4.2.36), fragment (1-386, 2-387 dans la séquence actuelle), variant (D³>E⁴, E⁴>A⁵), fusionné via la liaison peptidique ³⁸⁸GGGSGGGSGGGG⁴⁰¹ à l'interleukine 10 humaine (IL-10, facteur d'inhibition de la synthèse des cytokines (CSIF)) (1-160, 402-561 dans la séquence actuelle), dimère, produit chez *Escherichia coli*
analogue de l'interleukine 10, anti-inflammatoire

vimekofusp

toxina L-metionil-colix de *Vibrio cholerae* (exotoxina A, NAD(+)-diftamida ADP-ribosiltransferasa, EC: 2.4.2.36), fragmento (1-386, 2-387 en la secuencia actual), variante (D³>E⁴, E⁴>A⁵), fusionado a través de un enlace peptídico ³⁸⁸GGGSGGGSGGGG⁴⁰¹ a la interleukina 10 humana (IL-10, factor inhibidor de la síntesis de citocina (CSIF)) (1-160, 402-561 en la secuencia actual), dímero, producido en *Escherichia coli*
análogo de la interleukina 10, antiinflamatorio

2771192-33-5

Sequence / Séquence / Secuencia

<u>M</u> <u>V</u> <u>E</u> <u>E</u> <u>A</u> <u>L</u> <u>N</u> <u>I</u> <u>F</u> <u>D</u> ECRSPCSLTP EPGKPIQSKL SIPSDVVLDE GVLYYSMTIN 50
DEQNDIKDED KGESIIITIGE FATVRATRHY VNQDAFFGVI HLDITTENGT 100
KTYSYNRKEG EFAINWLVP I GEDSPASIKI SVDELDQQRN IIEVPKLYSI 150
DLDNQTLQW KTQGNVSFSV TRPEHNIAIS WPSVSYKAAQ KEGSRHKRWA 200
HWHTGLALCW LVFMDAIYNY ITQQNCTLGD NWFGGSYETV AGTPKVIITVK 250
QGIEQKPVQ RIHFSKGNAM SALAAHRVCG VPLETLARSR KPRDLTDDL 300
CAYQAQNIYS LFWATRILFS HLDSVFTLNL DEQEPEVAER LSDLRRINEN 350
NPGMVTQVLT VARQIYNDYV THHPGLTPEQ TSAGAQAAGGG <u>G</u> <u>S</u> <u>G</u> <u>G</u> <u>G</u> <u>S</u> <u>G</u> <u>G</u> <u>G</u> <u>G</u> <u>G</u> 400
<u>G</u> <u>S</u> <u>P</u> <u>G</u> <u>G</u> <u>G</u> <u>T</u> <u>Q</u> <u>S</u> <u>E</u> NSCTHFPGNL PNMLRDLRDA FSRVKTFQK KDQLDNLK 450
ESLLEDFKGY LGCQALSEMI QFYLEEVMPQ AENQDFDIKA HVNSLGENLK 500
TLRLRLRRCH RFLPCENKSK AVEQVKNAPN KLQEKGIYKA MSEFDIFINY 550
TEAYMTMKIR N 561

Mutation / Mutation / Mutación

N-L-methionyl added (M¹), D³>E⁴, E⁴>A⁵

Peptide linker / Peptide liant / Péptido de unión

³⁸⁸GGGSGGGSGGGG⁴⁰¹**Post-translational modifications**

Disulfide bridges location / Position des ponts disulfure / Posiciones de los puentes disulfuro

Intra-chain: 12-16, 209-226, 279-301, 413-509, 463-515,

12'-16', 209'-226', 279'-301', 413'-509', 463'-515'

vipalanebartum #

vipalanebart

immunoglobulin G4-kappa, anti-[*Homo sapiens* ADCYAP1 (adenylate cyclase-activating polypeptide 1, pituitary adenylate cyclase-activating polypeptide, PACAP)], *Homo sapiens* monoclonal antibody;

- gamma4 heavy chain *Homo sapiens* (1-449) [VH (*Homo sapiens* IGHV3-23*01 (93.9%) -(IGHD) -IGHJ3*01 (100%), CDR-IMGT [8.8.16] (26-33.51-58.97-112)) (1-123)-*Homo sapiens* IGHG4*01, G4v5 h P10,nG4m(a) CH2 L92, G4v4 CH2 A1.3, A1.2 (CH1 (124-221), hinge 1-12 S10>P (231) (222-233), CH2 F1.3>A (237), L1.2>A (238), L92 (312) (234-343), CH3 (344-448), CHS K2>del (449)) (124-449)], (137-214')-disulfide with kappa light chain *Homo sapiens* (1'-214') [V-KAPPA (*Homo sapiens* IGKV1-39*01 (87.8%) -IGKJ4*01 (100%), CDR-IMGT [6.3.9] (27-32.50-52.89-97)) (1'-107') -*Homo sapiens* IGKC*01 (100%), Km3 A45.1 (153), V101 (191) (108'-214')]; dimer (229-229":232-232")-bisdisulfide, produced in Chinese hamster ovary (CHO) cells, cell line CHO-K1, glycoform alfa
antimigraine
- vipalanebart immunoglobuline G4-kappa, anti-[*Homo sapiens* ADCYAP1 (polypeptide 1 activant l'adénylate cyclase, polypeptide activant l'adénylate cyclase pituitaire, PACAP)], anticorps monoclonal *Homo sapiens*; chaîne lourde gamma4 *Homo sapiens* (1-449) [VH (*Homo sapiens* IGHV3-23*01 (93.9%) -(IGHD) -IGHJ3*01 (100%), CDR-IMGT [8.8.16] (26-33.51-58.97-112)) (1-123)-*Homo sapiens* IGHG4*01, G4v5 h P10,nG4m(a) CH2 L92, G4v4 CH2 A1.3, A1.2 (CH1 (124-221), charnière 1-12 S10>P (231) (222-233), CH2 F1.3>A (237), L1.2>A (238), L92 (312) (234-343), CH3 (344-448), CHS K2>del (449)) (124-449)], (137-214')-disulfure avec la chaîne légère kappa *Homo sapiens* (1'-214') [V-KAPPA (*Homo sapiens* IGKV1-39*01 (87.8%) -IGKJ4*01 (100%), CDR-IMGT [6.3.9] (27-32.50-52.89-97)) (1'-107') -*Homo sapiens* IGKC*01 (100%), Km3 A45.1 (153), V101 (191) (108'-214')]; dimère (229-229":232-232")-bisdisulfure, produit dans des cellules ovariennes de hamster chinois (CHO), lignée cellulaire CHO-K1, glycoforme alfa
antimigraineux
- vipalanebart inmunoglobulina G4-kappa, anti-[*Homo sapiens* ADCYAP1 (polipéptido 1 activador de la adenilato ciclase, polipéptido activador de la adenilato ciclase pituitaria, PACAP)], anticuerpo monoclonal *Homo sapiens*; cadena pesada gamma4 *Homo sapiens* (1-449) [VH (*Homo sapiens* IGHV3-23*01 (93.9%) -(IGHD) -IGHJ3*01 (100%), CDR-IMGT [8.8.16] (26-33.51-58.97-112)) (1-123)-*Homo sapiens* IGHG4*01, G4v5 h P10,nG4m(a) CH2 L92, G4v4 CH2 A1.3, A1.2 (CH1 (124-221), bisagra 1-12 S10>P (231) (222-233), CH2 F1.3>A (237), L1.2>A (238), L92 (312) (234-343), CH3 (344-448), CHS K2>del (449)) (124-449)], (137-214')-disulfuro con la cadena ligera kappa *Homo sapiens*(1'-214') [V-KAPPA (*Homo sapiens* IGKV1-39*01 (87.8%) -IGKJ4*01 (100%), CDR-IMGT [6.3.9] (27-32.50-52.89-97)) (1'-107') -*Homo sapiens* IGKC*01 (100%), Km3 A45.1 (153), V101 (191) (108'-214')]; dímero (229-229":232-232")-bisdisulfuro, producido en las células ováricas de hámster chino (CHO), línea celular CHO-K1, forma glicosilada alfa
antimigraña

2642173-04-2

Heavy chain / Chaîne lourde / Cadena pesada

EVQLLESGGG	LVQPGGSLRL	SCAASGFTFS	SYMSWVRQA	PGKLEWVSA	50
ISLGGSTYY	AASHKGRFTI	SRDNSKNTLY	LQMNSLRAED	TAVYYCVREV	100
GASTHNYGM	DVWGQGMVT	VSSASTKGPS	VFPLAPCSRS	TSESTAALGC	150
LVKDYFPEPV	TVSNWSGALT	SGVHTFPAVL	QSSGLYSLSS	VTVFSSSLG	200
TKTYTCNVDH	KPSNTKVDKR	VESKYGPPCP	PCPAFEAAGG	PSVFLFPFKP	250
KDTLMSRTP	EVTCTVVVDS	QEDPEVQFNW	YVDGVEVHNA	KTKPREQFN	300
STYRVVSVLT	VLHQDWLNGK	EYKCKVSNKG	LPSSIERTIS	KARKQPREPQ	350
VYTLFPPSQEE	MTKNQVSLTC	LVKGFYPSDI	AVEWESNGQP	ENNYKTPFPV	400
LDSDSGFFLY	SRLTVDKSRW	QEGNVFSCSV	MHEALHNHYT	QKSLSLSLG	449

Light chain / Chaîne légère / Cadena ligera

DIQMTQSPSS	LSASVGDRTV	ITCRASQSIW	RWLAWYQQKP	GKAPKLLIHD	50
ASQLFEGVPS	RFGSGSGSDT	FTFTISSLQP	EDIATYYCQQ	FDLLPLTFGG	100
GTKVEIKRTV	AAPSVFIFPP	SDEQLKSGTA	SVVCLLNIFY	PREAKVQWKV	150
DNALQSGNSQ	ESVTEQDSKD	STYLSLSTLT	LSKADYEHKH	VYACEVTHQG	200
LSSPVTKSFN	RGEC				214

Post-translational modifications

Disulfide bridges location / Position des ponts disulfure / Posiciones de los puentes disulfuro

Intra-H (C23-C104)	22-96	150-206	264-324	370-428
	22"-96"	150"-206"	264"-324"	370"-428"
Intra-L (C23-C104)	23'-88"	134'-194"		
	23"-88"	134"-194"		
Inter-H-L (CH1 10-CL 126)		137'-214"	137"-214"	
Inter-H-H (h 8, h 11)		229-229"	232-232"	

N-glycosylation sites / Sites de N-glycosylation / Posiciones de N-glicosilación

H CH2 N84.4: 300, 300"

Fucosylated complex bi-antennary CHO-type glycans / glycanes de type CHO bi-antennaires complexes fucosylés / glicanos de tipo CHO biantennarios complejos fucosilados.

vispegenatidum

vispegenatide

L-histidylglycyl-L- α -glutamylglycyl-L-threonyl-L-phenylalanyl-L-threonyl-L-seryl-L- α -aspartyl-L-leucyl-L-seryl-L-lysyl-L-glutaminy-L-methionyl-L- α -glutamyl-L- α -glutamyl-L- α -glutamyl-L-alanyl-L-valyl-L-arginyl-L-leucyl-L-phenylalanyl-L-isoleucyl-L- α -glutamyl-L-tryptophyl-L-leucyl-L-lysyl-L-asparaginyglycylglycyl-L-prolyl-L-seryl-L-serylglycyl-L-alanyl-L-prolyl-L-prolyl-L-prolyl-S-[(3 Ξ)-1-3-[(α -methylpoly(oxyethylene)- ω -yl]oxy)propyl]amino]-3-oxopropyl]-2,5-dioxopyrrolidin-3-yl]-L-cysteinamide
glucagon-like peptide 1 (GLP-1) receptor agonist

visépégénatide

L-histidylglycyl-L- α -glutamylglycyl-L-thréonyl-L-phénylalanyl-L-thréonyl-L-séryl-L- α -aspartyl-L-leucyl-L-séryl-L-lysyl-L-glutaminy-L-méthionyl-L- α -glutamyl-L- α -glutamyl-L- α -glutamyl-L-alanyl-L-valyl-L-arginyl-L-leucyl-L-phénylalanyl-L-isoleucyl-L- α -glutamyl-L-tryptophyl-L-leucyl-L-lysyl-L-asparaginyglycylglycyl-L-prolyl-L-séryl-L-sérylglycyl-L-alanyl-L-prolyl-L-prolyl-L-prolyl-S-[(3 Ξ)-1-3-[(α -méthylpoly(oxyéthylène)- ω -yl]oxy)propyl]amino]-3-oxopropyl]-2,5-dioxopyrrolidin-3-yl]-L-cystéinamide
agoniste du récepteur au peptide-1 d'action type glucagon (GLP-1)

vispegenatida

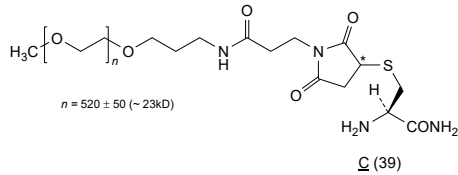
L-histidilglicil-L- α -glutamilglicil-L-treonil-L-fenilalanil-L-treonil-L-seril-L- α -aspartil-L-leucil-L-seril-L-lisil-L-glutaminil-L-metionil-L- α -glutamil-L- α -glutamil-L- α -glutamil-L-alanil-L-valil-L-arginil-L-leucil-fenilalanil-L-isoleucil-L- α -glutamil-L-triptofil-L-leucil-L-lisil-L-asparaginilglicilglicil-L-prolil-L-seril-L-serilglicil-L-alanil-L-prolil-L-prolil-L-prolil-S-[(3 Ξ)-1-3-[(α -metilpoli(oxietileno)- ω -il]oxi)propil]amino]-3-oxopropil]-2,5-dioxopirrolidin-3-il]-L-cisteinamida
agonista del receptor del péptido 1 similar al glucagón (GLP-1)

$C_{195}H_{298}N_{52}O_{63}S_2(C_2H_4O)_n$

2641081-54-9

HGEFTFTSDL SKQMEEEAVR LFIEWLKNGG PSSGAPPPC 39

Modified residues / Résidus modifiés / Restos modificados

**vorbipirantum**

vorbipirant

rac-(5⁵*R*)-4-oxo-7⁴-trifluorométhyl-3,5⁶-diazia-1,7(1)-dibenzéna-5(5,6)-spiro[2.5]octana-2(1,1)-cyclopropanaheptaphane-1⁴-carboxylic acid
prostaglandin receptor antagonist

vorbipirant

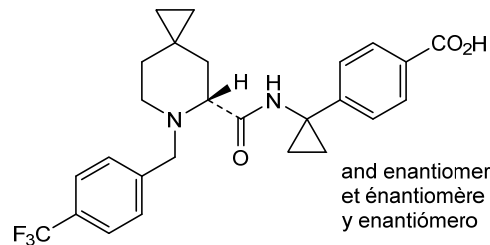
acide *rac*-(5⁵*R*)-4-oxo-7⁴-trifluorométhyl-3,5⁶-diazia-1,7(1)-dibenzéna-5(5,6)-spiro[2.5]octana-2(1,1)-cyclopropanaheptaphane-1⁴-carboxylique
antagoniste du récepteur des prostaglandines

vorbipirant

ácido *rac*-(5⁵*R*)-4-oxo-7⁴-trifluorometil-3,5⁶-diazia-1,7(1)-dibencena-5(5,6)-spiro[2.5]octana-2(1,1)-ciclopropanaheptafano-1⁴-carboxílico
antagonista del receptor de las prostaglandinas

 $C_{26}H_{27}F_3N_2O_3$

1417742-86-9

**votoplamum**

votoplam

2-[3-(2,2,6,6-tetramethylpiperidin-4-yl)-3*H*-[1,2,3]triazolo[4,5-*c*]pyridazin-6-yl]-5-(2*H*-1,2,3-triazol-2-yl)phenol
gene splicing modulator (Huntington's disease)

votoplam

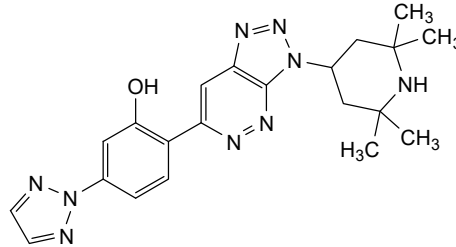
2-[3-(2,2,6,6-tétraméthylpipéridin-4-yl)-3*H*-[1,2,3]triazolo[4,5-*c*]pyridazin-6-yl]-5-(2*H*-1,2,3-triazol-2-yl)phénol
modulateur d'épissage de gène (maladie de Huntington)

votoplam

2-[3-(2,2,6,6-tetrametilpiperidin-4-il)-3*H*-[1,2,3]triazolo[4,5-*c*]piridazin-6-il]-5-(2*H*-1,2,3-triazol-2-il)fenol
modulador del empalme génico (enfermedad de Huntington)

C₂₁H₂₅N₉O

2407849-89-0



xirestomigum #
 xirestomig

immunoglobulin G1-scFv_L2 dimer, anti-[*Homo sapiens* CD274 (programmed cell death 1 ligand 1, PDL1, PD-L1, B7 homolog 1, B7H1, B7-H1, PDCD1LG1) and anti-[*Homo sapiens* TNFRSF9 (TNF receptor superfamily member 9, 4-1BB, T cell antigen ILA, CD137)], *Homo sapiens* monoclonal antibody, bispecific;
 G1-scFv fused heavy chain *Homo sapiens* (1-713) [gamma1 heavy chain anti-CD274 *Homo sapiens* (1-448) [VH (*Homo sapiens* IGHV1-69*04 (96.9%) -(IGHD) -IGHJ4*01 (100%), CDR-IMGT [8.8.14] (26-33.51-58.97-110)) (1-121)-*Homo sapiens* IGHG1*03v, G1m3>G1m17, nG1m1, CH1 K120, CH3 E12, M14, G1v29 CH2 A84.4 (CH1 R120>K (218) (122-219), hinge 1-15 (220-234), CH2 N84.4>A (301)(235-344), CH3 E12 (360), M14 (362) (345-449)) (122-449)] -15-mer tris(tetraglycyl-seryl) linker (450-464) -scFv heavy-lambda anti-TNFRSF9 *Homo sapiens* (465-713) [VH (*Homo sapiens* IGHV3-23*04 (99.0%) -IGHD -IGHJ3*02 (100%), CDR-IMGT [8.8.13] (490-497.515-522.561-573)) (465-587) -15-mer tris(tetraglycyl-seryl) linker (588-602) -V-LAMBDA (*Homo sapiens* IGLV1-44*01 (95.9%) -IGLJ1*01 (91.7%) V124>L (709), CDR-IMGT [8.3.11] (628-635.653-655.692-702)) (603-713)], (224-216')-disulfide with lambda2 light chain anti-CD274 *Homo sapiens* (1'-217') [V-LAMBDA (*Homo sapiens* IGLV2-14*03 (92.7%) -IGLJ2*01 (100%), CDR-IMGT [9.3.11] (26'-34'.52'-54'.91'-101'')) (1'-111') -*Homo sapiens* IGLC2*01 (100%) (112'-217'')]; dimer (230-230":233-233")-bisdisulfide, produced in Chinese hamster ovary (CHO) cells, cell line CHO-K1, non-glycosylated *immunostimulant, antineoplastic*

xirestomig

immunoglobuline G1-scFv_L2 dimère, anti-[*Homo sapiens* CD274 (ligand 1 de mort cellulaire programmée 1, PDL1, PD-L1, B7 homologue 1, B7H1, B7-H1, PDCD1LG1) and anti-[*Homo sapiens* TNFRSF9 (membre 9 de la superfamille des récepteurs du TNF, 4-1BB, antigène ILA des cellules T, CD137)], anticorps monoclonal *Homo sapiens*, bispécifique;

chaîne lourde fusionnée G1-scFv *Homo sapiens* (1-713) [chaîne lourde gamma1 anti-CD274 *Homo sapiens* (1-448) [VH (*Homo sapiens* IGHV1-69*04 (96.9%) -(IGHD) -IGHJ4*01 (100%), CDR-IMGT [8.8.14] (26-33.51-58.97-110))] (1-121)-*Homo sapiens* IGHG1*03v, G1m3>G1m17, nG1m1, CH1 K120, CH3 E12, M14, G1v29 CH2 A84.4 (CH1 R120>K (218) (122-219), charnière 1-15 (220-234), CH2 N84.4>A (301) (235-344), CH3 E12 (360), M14 (362) (345-449)) (122-449)] -15-mer tris(tétraglycyl-séryl) linker (450-464) -scFv heavy-lambda anti-TNFRSF9 *Homo sapiens* (465-713)[VH (*Homo sapiens* IGHV3-23*04 (99.0%) -IGHD -IGHJ3*02 (100%), CDR-IMGT [8.8.13] (490-497.515-522.561-573)) (465-587) -15-mer tris(tétraglycyl-séryl) linker (588-602) -V-LAMBDA (*Homo sapiens* IGLV1-44*01 (95.9%) -IGLJ1*01 (91.7%) V124>L (709), CDR-IMGT [8.3.11] (628-635.653-655.692-702)) (603-713)], (224-216')-disulfure avec la chaîne légère lambda2 anti-CD274 *Homo sapiens* (1'-217') [V-LAMBDA (*Homo sapiens* IGLV2-14*03 (92.7%) -IGLJ2*01 (100%), CDR-IMGT [9.3.11] (26'-34'.52'-54'.91'-101')) (1'-111') -*Homo sapiens* IGLC2*01 (100%) (112'-217')]; dimère (230-230'':233-233'')-bisdisulfure, produit dans des cellules ovariennes de hamster chinois (CHO), lignée cellulaire CHO-K1, non-glycosylé
immunostimulant, antinéoplasique

xirestomig

inmunoglobulina G1-scFv_L2 dímero, anti-[*Homo sapiens* CD274 (ligando 1 de muerte celular programada 1, PDL1, PD-L1, B7 homólogo 1, B7H1, B7-H1, PDCD1LG1) y anti-[*Homo sapiens* TNFRSF9 (miembro 9 de la superfamilia de los receptores del TNF, 4-1BB, antígeno ILA de las células T, CD137)], anticuerpo monoclonal *Homo sapiens*, biespecífico; cadena pesada fusionada G1-scFv *Homo sapiens* (1-713) [cadena pesada gamma1 anti-CD274 *Homo sapiens* (1-448) [VH (*Homo sapiens* IGHV1-69*04 (96.9%) -(IGHD) -IGHJ4*01 (100%), CDR-IMGT [8.8.14] (26-33.51-58.97-110))] (1-121)-*Homo sapiens* IGHG1*03v, G1m3>G1m17, nG1m1, CH1 K120, CH3 E12, M14, G1v29 CH2 A84.4 (CH1 R120>K (218) (122-219), bisagra 1-15 (220-234), CH2 N84.4>A (301) (235-344), CH3 E12 (360), M14 (362) (345-449)) (122-449)] -15-mer tris(tetraglicil-seril) enlace (450-464) -scFv pesada-lambda anti-TNFRSF9 *Homo sapiens* (465-713)[VH (*Homo sapiens* IGHV3-23*04 (99.0%) -IGHD -IGHJ3*02 (100%), CDR-IMGT [8.8.13] (490-497.515-522.561-573)) (465-587) -15-mer tris(tetraglicil-seril) enlac (588-602) -V-LAMBDA (*Homo sapiens* IGLV1-44*01 (95.9%) -IGLJ1*01 (91.7%) V124>L (709), CDR-IMGT [8.3.11] (628-635.653-655.692-702)) (603-713)], (224-216')-disulfuro con la cadena ligera lambda2 anti-CD274 *Homo sapiens* (1'-217') [V-LAMBDA (*Homo sapiens* IGLV2-14*03 (92.7%) -IGLJ2*01 (100%), CDR-IMGT [9.3.11] (26'-34'.52'-54'.91'-101')) (1'-111') -*Homo sapiens* IGLC2*01 (100%) (112'-217')]; dímero (230-230'':233-233'')-bisdisulfuro, producido en las células ováricas de hámster chino (CHO), línea celular CHO-K1, no glicosilado
inmunoestimulante, antineoplásico

Heavy chain / Chaîne lourde / Cadena pesada: anti-CD274 G1 - anti-TNFRSF9 scFv

QVQLVQSGAE VKKPGSSVKV SCKASRGPFY TYAISWVRQA PGQGLEWMGR	50
IIPILGIGANY AQKFGQGRVTI TADKSTSTAY MELSSLRSSE TAVYYCARTM	100
EGYGFNGFDY WGGQGLTVTVS SASTKGPSVF PLAPSSKSTG GGTAAALGCLV	150
KDYFPEFVTV SWNSGALTSR VHTFPAVLQS SGLYSLSSVV TTPSSSLGTQ	200
TYICNVNHKP SNTKVDKKVE PKSCDKTHTC PPCPAPELLG GPSVFLFPPK	250
PKDLMISRIT PEVTCVVDVY SHEDPEVKFN WYVDGVEVHN AKTKPREEQY	300
ASTYRVVSVL TVLHQDWLNG KEYKCKVSNK ALPAPIEKTI SKAKGQPREP	350
QVYTLFPFSRE EMTKNQVSLT CLVKGFPYPSD IAVEWESNGQ PENNYKTPPP	400
VLDSDDGSFFL YSKLTVDKSR WQGNVVFSCS VMHEALHNHY TQKSLSLSPG	450
GGGSGGGGSG GGGSQVQLVE SGGGLVQPGG SLRLSCAASG FTFSSYAMSW	500
VRQAPGKGLE WVSALISGSG STYYADSVKG RFTISRDNK NTLYLQMNLS	550
RAEDTAVYYC AKTNWGPSDA FDIWQGTMTV TVSSASTGGG GSGGGGSGGG	600
GSQSVLTPPP SASGTPGQRV TISCSGSTSD IGSYVSNWYQ QLPGTAPKLL	650
IYSNNQRPSG VPDRFSGSKS GTSASLAISS LQSEDEADYY CAAWDDSLNG	700
YVFGTGTKLT VLG	713

Light chain / Chaîne légère / Cadena ligera: anti-CD274 L2

QSALTQFASV SGSPGQSITI SCTGTVSEVG GYNEVSWYQQ HPGKAPKLM	50
YGNNSRFRPV SNRFGSGKSG NTASLTISGL QAEDEADYYC QSYDSSLSGT	100
VFGGGTKLTV LGQPKAAPSV TLFPPSSSEEL QANKATLVCL ISDFYPGAVT	150
VAWKADSSPV KAGVETTPS KQSNKNYAAS SYLSLTPEQQ KSHRSYSQCV	200
THEGSTVEKT VAPTECS	217

Post-translational modifications

Disulfide bridges location / Position des ponts disulfure / Posiciones de los puentes disulfuro

Intra-H (C23-C104) 22-96 148-204 265-325 371-429
 22"-96" 148"-204" 265"-325" 371"-429"
 486-560 624-691

Intra-L (C23-C104) 22-90" 139-198"
 22"-90" 139"-198"

Inter-H-L (h 5-CL 126) 224-216" 224"-216"
 Inter-H-H (h 11, h 14) 230-230" 233-233"

Inter-H-H (h 11, h 14) 230-230" 233-233"

N-terminal glutaminyl cyclization / Cyclisation du glutaminyle N-terminal / Ciclación del glutaminilo N-terminal

Q > pyroglutamyl (pE, 5-oxopropyl) / pyroglutamyle (pE, 5-oxopropyle) / piroglutamilo (pE, 5-oxopropilo)

H VH Q1: 1, 1"

L VL V-LAMBDA Q1: 1', 1'''

No N-glycosylation sites / pas de sites de N-glycosylation / ninguna posición de N-glicosilación

H CH2 N84.4>A (G1v29): 301, 301"

zalferminum #

zalfermin

human L-alanyl fibroblast growth factor 21 (FGF-21), variant (N¹²¹>Q¹²², M¹⁶⁸>L¹⁶⁹, A¹⁸⁰>C¹⁸¹), produced in *Escherichia coli*, substituted at the sulfur atom of L-cysteinyl residue 180 (C¹⁸¹ in the current sequence) with (28S)-28,46-dicarboxy-2,7,16,25,30-pentaoxo-9,12,18,21-tetraoxa-3,6,15,24,29-pentaazahexatetracontan-1-yl group
fibroblast growth factor

zalfermine

L-alanyl facteur de croissance des fibroblastes 21 (FGF-21) humain, variant (N¹²¹>Q¹²², M¹⁶⁸>L¹⁶⁹, A¹⁸⁰>C¹⁸¹), produit chez *Escherichia coli*, substitué sur l'atome de soufre du résidu L-cystéinyle 180 (C¹⁸¹ dans la séquence actuelle) par le groupe (28S)-28,46-dicarboxy-2,7,16,25,30-pentaoxo-9,12,18,21-tétraoxa-3,6,15,24,29-pentaazahexatétracontan-1-yle
facteur de croissance des fibroblastes

zalfermina

L-alanil factor de crecimiento de los fibroblastos 21 (FGF-21) humano, variante (N¹²¹>Q¹²², M¹⁶⁸>L¹⁶⁹, A¹⁸⁰>C¹⁸¹), producido en *Escherichia coli*, substituido en el átomo de azufre del residuo L-cisteinil residuo 180 (C¹⁸¹ en la secuencia actual) con el grupo (28S)-28,46-dicarboxi-2,7,16,25,30-pentaoxo-9,12,18,21-tetraoxa-3,6,15,24,29-pentaazahexatetracontan-1-ilo
factor de crecimiento de los fibroblastos

1958040-66-8

Sequence / Séquence / Secuencia

AHPIPDSSPL LQFGGQVRQR YLYTDDAQQT EAHLEIREDG TVGGAADQSP 50
 ESLLQLKALK PGVIQILGVK TSRFLCQRPD GALYGLSHFD PEACSFRELL 100
 LEDGYNVYQS EAHGLPLHLP **Q**KSPHRDPA PRGPARFLPL PGLPPALPEP 150
 PGI LAPQFPD VGSSDPLS**L**V GPSQGRSPSY **C**S 182

Mutation / Mutation / Mutación

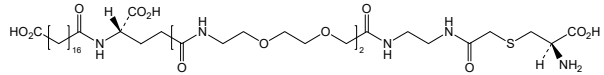
N-L-alanyl added (**A**¹), N¹²¹->**Q**¹²², M¹⁶⁸->**L**¹⁶⁹, A¹⁸⁰->**C**¹⁸¹

Post-translational modifications

Disulfide bridges location / Position des ponts disulfure / Posiciones de los puentes disulfuro 76-94

Modified residue / Résidu modifié / Resto modificado

C181:



zaloganum

zaloganun

L-arginyl-L-arginyl-L-tryptophyl-L-valyl-L-arginyl-L-arginyl-L-valyl-L-arginyl-L-arginyl-L-valyl-L-tryptophyl-L-arginyl-L-arginyl-L-valyl-L-valyl-L-arginyl-L-valyl-L-arginyl-L-arginyl-L-tryptophyl-L-valyl-L-arginyl-L-argininamide
antibacterial

zaloganun

L-arginyl-L-arginyl-L-tryptophyl-L-valyl-L-arginyl-L-arginyl-L-valyl-L-arginyl-L-arginyl-L-valyl-L-tryptophyl-L-arginyl-L-arginyl-L-valyl-L-valyl-L-arginyl-L-arginyl-L-tryptophyl-L-valyl-L-arginyl-L-argininamide
antibactérien

zaloganán

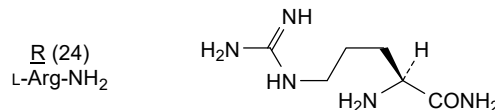
L-arginil-L-arginil-L-triptofil-L-valil-L-arginil-L-arginil-L-valil-L-arginil-L-arginil-L-valil-L-triptofil-L-arginil-L-arginil-L-valil-L-valil-L-arginil-L-valil-L-arginil-L-arginil-L-triptofil-L-valil-L-arginil-L-argininamida
antibacteriano

C₁₅₁H₂₆₁N₆₇O₂₄

2759007-66-2

RRWVRRVRRV WRRVVRRVRR WVRR 24

Modified residue / Résidu modifié / Resto modificado



zamaporvintum

zamaporvint

2-[5-methyl-4-[2-(trifluoromethyl)pyridin-4-yl]-1H-imidazol-1-yl]-N-[5-(pyrazin-2-yl)pyridin-2-yl]acetamide
Wnt pathway inhibitor, antineoplastic

zamaporvint

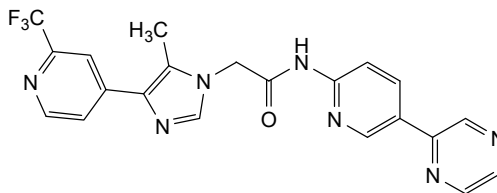
2-[5-méthyl-4-[2-(trifluorométhyl)pyridin-4-yl]-1H-imidazol-1-yl]-N-[5-(pyrazin-2-yl)pyridin-2-yl]acétamide
inhibiteur de la voie Wnt, antinéoplasique

zamaporvint

2-[5-metil-4-[2-(trifluorometil)piridin-4-il]-1H-imidazol-1-il]-N-[5-(pirazin-2-il)piridin-2-il]acetamida
inhibidor de la vía Wnt, antineoplásico

C₂₁H₁₆F₃N₇O

1900754-56-4

**zelatriazinum**

zelatriazin

2-(4-oxo-1,2,3-benzotriazin-3(4H)-yl)-N-((1S)-1-[4-(trifluoromethoxy)phenyl]ethyl)acetamide
G protein-coupled receptor 139 (GPR139) agonist

zélatriazine

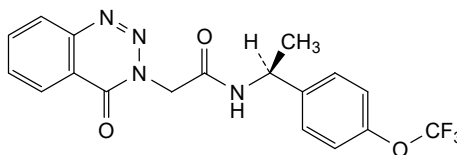
2-(4-oxo-1,2,3-benzotriazin-3(4H)-yl)-N-((1S)-1-[4-(trifluorométhoxy)phényl]éthyl)acétamide
agoniste du récepteur 139 couplé à la protéine G (GPR139)

zelatriazina

2-(4-oxo-1,2,3-benzotriazin-3(4H)-yl)-N-((1S)-1-[4-(trifluorometoxi)fenil]etil)acetamida
agonista del receptor 139 acoplado a proteína G (GPR139)

C₁₈H₁₅F₃N₄O₃

1929519-13-0

**zelecimentum #**

zeleciment

immunoglobulin Fab-G1kappa (VH-CH1_L-kappa), anti-[*Homo sapiens* TFRC (transferrin receptor, TfR1, TFR1, CD71)], monoclonal antibody;
 Fab-G1 VH-CH1 chain (1-227) [VH Musmus/Homsap (*Mus musculus* IGHV3-6*01 (84.5%) -(IGHD) -IGHJ2*01 (85.7%) L124>V (115)/*Homo sapiens* IGHV4-30-4*01 (82.8%) -(IGHD) -IGHJ4*01 (85.7%) L123>T (114), CDR-IMGT [9.7.12] (26-34.52-58.97-108)) (1-119) -*Homo sapiens* IGHG1*01 CH1-h (100%), G1m17 CH1 K120 (CH1 K120 (216) (120-217), hinge 1-10 (218-227)) (120-227)], (222-214')-disulfide with L-kappa light chain (1'-214') [V-KAPPA (*Homo sapiens* IGKV1-39*01 (85.3%) -IGKJ2*01 (100%), CDR-IMGT [6.3.9] (27-32.51-53.89-97)) (1'-107') -*Homo sapiens* IGKC*01 (100%), Km3, A45.1 (153), V101 (191) (108'-214')], produced in Chinese hamster ovary (CHO) cells, cell line CHO-K1, non-glycosylated
transferrin receptor binding protein

zéléciment immunoglobuline Fab-G1kappa (VH-CH1_L-kappa), anti-[*Homo sapiens* TFRC (récepteur de la transferrine, Tfr1, TFR1, CD71)], anticorps monoclonal;
chaîne Fab-G1 VH-CH1 (1-227) [VH Musmus/Homsap (*Mus musculus* IGHV3-6*01 (84.5%) -(IGHD) -IGHJ2*01 (85.7%) L124>V (115)/*Homo sapiens* IGHV4-30-4*01 (82.8%) -(IGHD) -IGHJ4*01 (85.7%) L123>T (114), CDR-IMGT [9.7.12] (26-34.52-58.97-108)) (1-119) -*Homo sapiens* IGHG1*01 CH1-h (100%), (CH1 G1m17 CH1 K120 (CH1 K120 (216) (120-217), charnière 1-10 (218-227)) (120-227)], (222-214')-disulfure avec la chaîne légère L-kappa (1'-214') [V-KAPPA (*Homo sapiens* IGKV1-39*01 (85.3%) -IGKJ2*01 (100%), CDR-IMGT [6.3.9] (27-32.51-53.89-97)) (1'-107') -*Homo sapiens* IGKC*01 (100%), Km3, A45.1 (153), V101 (191) (108'-214')], produit dans des cellules ovariennes de hamster chinois (CHO), lignée cellulaire CHO-K1, non-glycosylé
protéine de liaison du récepteur de la transferrine

zeleciment immunoglobulina Fab-G1kappa (VH-CH1_L-kappa), anti-[*Homo sapiens* TFRC (receptor de la transferrina, Tfr1, TFR1, CD71)], anticuerpo monoclonal;
cadena Fab-G1 VH-CH1 (1-227) [VH Musmus/Homsap (*Mus musculus* IGHV3-6*01 (84.5%) -(IGHD) -IGHJ2*01 (85.7%) L124>V (115)/*Homo sapiens* IGHV4-30-4*01 (82.8%) -(IGHD) -IGHJ4*01 (85.7%) L123>T (114), CDR-IMGT [9.7.12] (26-34.52-58.97-108)) (1-119) -*Homo sapiens* IGHG1*01 CH1-h (100%), (CH1 G1m17 CH1 K120 (CH1 K120 (216) (120-217), bisagra 1-10 (218-227)) (120-227)], (222-214')-disulfuro con la cadena ligera L-kappa (1'-214') [V-KAPPA (*Homo sapiens* IGKV1-39*01 (85.3%) -IGKJ2*01 (100%), CDR-IMGT [6.3.9] (27-32.51-53.89-97)) (1'-107') -*Homo sapiens* IGKC*01 (100%), Km3, A45.1 (153), V101 (191) (108'-214')], producido en las células ováricas de hamster chino (CHO), línea celular CHO-K1, no glicosilado
protéina de unión al receptor de la transferrina

2725863-34-1

Heavy chain / Chaîne lourde / Cadena pesada

```

QVQLQESGPG LVKPSQTLISL TCTVTGYSIT SGYYWNWIRQ PPGKLEWIG 50
YITFDGANNY NPSLKNRVS SRDTSKNQFS LKLSVTAED TATYYCTRSS 100
YDYDVLDYWG QGTTVTVSSA STKGPSVFPL APSSKSTSGG TAALGCLVKD 150
YFPEPVTWSW NSGALTSGVH TFPVAVLQSSG LYSLSVVTVV PSSSLGTQTY 200
ICNVNHKPSN TKVDKKEPEK SCDKTHT 227

```

Light chain / Chaîne légère / Cadena ligera

```

DIQMTQSPSS LSASVGDRTV ITCRASQDIS NFLNWWYQQKP GQPVKLLIYY 50
TSRLHSGVPS RFGSGSGTD FTLTISLQPF EDFATYYCQQ GHTLPYTFGQ 100
GTKLEIKRTV AAPSVFIFPP SDEQLKSGTA SVVCLLNFFY BREAKVQWQV 150
DNALQSGNSQ ESVTEQDSKD STYLSLSTLT LSKADYEKHK VYACEVTHQG 200
LSSPVTKSFN RGEK 214

```

Post-translational modifications

Disulfide bridges location / Position des ponts disulfure / Posiciones de los puentes disulfuro

Intra-H (C23-C104) 22-96 146-202

Intra-L (C23-C104) 23'-88' 134'-194'

Inter-H-L (h 5-CL 126) 222-214'

N-terminal glutaminyl cyclization / Cyclisation du glutaminyle N-terminal /

Ciclación del glutaminilo N-terminal

Q > pyroglutamyl (pE, 5-oxoprolyl) / pyroglutamyle (pE, 5-oxoprolyle) /

piroglutamilo (pE, 5-oxoprolylo)

H VH Q1: 1

2767191-74-0

Heavy chain / Chaîne lourde / Cadena pesada

QVQLQESGPG LVKPSQTL	SL TCTVTGYSIT	SGYYWNWIRQ	PPGKGLEWIG	50
YITFDGANNY NPSLKNR	VSI SRDTSKNQFS	LKLSVTAED	TATYYCTRSS	100
YDYDLDYDWG QGTTVT	VSSA STKGPSVFPL	APSSKSTSGG	TALGCLVKD	150
YFPEVTVSW NSGALTS	GVGH TFPAVLQSSG	LYSLSSVTVT	PSSSLGTQTY	200
ICNVNHPSPN TKVDK	KVEPK SCDKTH	T		227

Light chain / Chaîne légère / Cadena ligera

DIQMTQSPFS LSASV	GDRTVITCRASQD	IS NFLNWIYQK	QK GQPKLLIYY	50	
TSRLHSGVPS R	FGSGSGSTDT	FTLTISLSLQ	EDFATYYCQ	GHTLPTFGQ	100
GTKLEIKRVT	AAPSVFIFPP	SDEQLKSGTA	SVVCLLNFF	Y PREAKVQMKV	150
DNALQSGNSQ	ESVTEQDSKD	STYSLSSLT	LSKADYEK	HK VYACEVTHQ	200
LSSPVTKSPN	RGEC			214	

Post-translational modifications / Modifications post-traductionnelles / Modificaciones postraduccionales

Disulfide bridges location / Position des ponts disulfure / posiciones de los puentes disulfuro

Intra-H 22-96 146-202 22"-96" 146"-202"

Intra-L 23"-88" 134"-194" 23"-88" 134"-194"

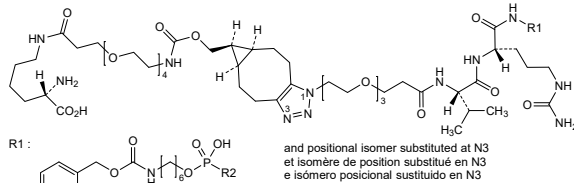
Inter-H-L 222-214" 222"-214"

N-terminal glutaminylation / Cyclisation du glutaminyle N-terminal / Ciclación del glutaminilo N-terminal 1,1"

Potential modified residues / résidus modifiés potentiels / restos modificados potenciales*

K

* (basivarsen:mAb ~ 2:1)



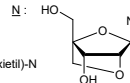
R2: $\text{---}[(3\text{'-}5\text{'})\text{(P-thio)}\text{(m}^{\text{C}}\text{C}_6\text{A-Gmoe-m}^{\text{C}}\text{Cmoe-dG-dC-dC-dA-dC-dC-dA-Gmoe-m}^{\text{C}}\text{Umoe-m}^{\text{C}}\text{C}_6\text{A})$

N : nucleoside / nucléoside / nucleósido

dN : 2'-deoxy-N / 2'-desoxy-N / 2'-desoxi-N

mⁿN : 5-methyl-N / 5-méthyl-N / 5-metil-N

Nmoe : 2'-O-(2-methoxyethyl)-N / 2'-O-(2-méthoxyéthyl)-N / 2'-O-(2-metoxietil)-N



zelecimentum rostdirsenum

zeleciment rostdirsen

immunoglobulin Fab-G1kappa (VH-CH1_L-kappa), anti-[*Homo sapiens* TFRC (transferrin receptor, Tfr1, TFR1, CD71)], monoclonal antibody, conjugated at lysine residues with *rostdirsen* groups;

Fab-G1 VH-CH1 chain (1-227) [VH Musmus/Homsap (*Mus musculus* IGHV3-6*01 (84.5%) -(IGHD) -IGHJ2*01 (85.7%) L124>V (115)/*Homo sapiens* IGHV4-30-4*01 (82.8%) -(IGHD) -IGHJ4*01 (85.7%) L123>T (114), CDR-IMGT [9.7.12] (26-34.52-58.97-108)] (1-119) -*Homo sapiens* IGHG1*01 CH1-h (100%), G1m17 CH1 K120 (CH1 K120 (216) (120-217), hinge 1-10 (218-227)) (120-217)], (222-214')-disulfide with L-kappa light chain (1'-214') [V-KAPPA (*Homo sapiens* IGKV1-39*01 (85.3%) -IGKJ2*01 (100%), CDR-IMGT [6.3.9] (27-32.51-53.89-97)) (1'-107') -*Homo sapiens* IGKC*01 (100%), Km3, A45.1 (153), V101 (191) (108'-214')], produced in Chinese hamster ovary (CHO) cells, cell line CHO-K1, non-glycosylated; substituted at N° of 1 to 3 L-lysine residues with 1-{{(5aRS,6SR,6aSR)-1-[(6S,9S)-6-[(4-[[[(4-[(4-[[*all-P-ambo*-2'¹-N-acetyl[2',3'-azanediyl-P,2',3'-trideoxy-P-(dimethylamino)-2',3'-seco][5'→2'-N)(GATCTTTACG GTAGAAGGAA CTACAACCTC-5'-O)](dimethylamino)phosphoryl]piperazin-1-yl)-6-[(2-amino-2-oxoethyl)(methyl)amino]-1,3,5-triazin-2-yl)oxy]hexyl]carbamoyl]oxy]methyl]phenyl]carbamoyl]-1-amino-

- 1,8,11-trioxa-9-(propan-2-yl)-14,17,20-trioxa-2,7,10-triazadocosan-22-yl]-1,4,5,5a,6,6a,7,8-octahydrocyclopropa[5,6]cycloocta[1,2-d][1,2,3]triazol-6-yl]-3-oxo-2,7,10,13,16-pentaoxa-4-azonadecan-19-oyl (*rostudirsén*) groups
promotion of functional dystrophin synthesis
- zéléciment rostudirsén immunoglobuline Fab-G1kappa (VH-CH1_L-kappa), anti-[*Homo sapiens* TFRC (récepteur de la transferrine, Tfr1, TFR1, CD71)], anticorps monoclonal; conjugué sur les résidus lysine avec des groupes *rostudirsén*;
chaîne Fab-G1 VH-CH1 (1-227) [VH Musmus/Homsap (*Mus musculus*IGHV3-6*01 (84.5%) -(IGHD) -IGHJ2*01 (85.7%) L124>V (115)/*Homo sapiens* IGHV4-30-4*01 (82.8%) -(IGHD) -IGHJ4*01 (85.7%) L123>T (114), CDR-IMGT [9.7.12] (26-34.52-58.97-108)) (1-119) -*Homo sapiens* IGHG1*01 CH1-h (100%), G1m17 CH1 K120 (CH1 K120 (216) (120-217), charnière 1-10 (218-227)) (120-217)], (222-214')-disulfure avec la chaîne légère L-kappa (1'-214') [V-KAPPA (*Homo sapiens* IGKV1-39*01 (85.3%) -IGKJ2*01 (100%), CDR-IMGT [6.3.9] (27-32.51-53.89-97)) (1'-107') -*Homo sapiens* IGKC*01 (100%), Km3, A45.1 (153), V101 (191) (108'-214')], produit dans des cellules ovariennes de hamster chinois (CHO), lignée cellulaire CHO-K1, non-glycosylé; substitué en N⁶ de 1 à 3 résidus L-lysine avec un groupe 1-[(5aRS,6SR,6aSR)-1-[(6S,9S)-6-[(4-[[[6-[[4-4-[[*todo-P-ambo-2*'-N-acetyl[2',3'-azanediy-P,2',3'-tridésoxy-P-(diméthylamino)-2',3'-séco](5'→2'-N)(GATCTTTACG GTAGAAGGAA CTACAACCTC-5'-O)](diméthylamino)phosphoryl]pipérazin-1-yl)-6-[(2-amino-2-oxoéthyl)(méthyl)amino]-1,3,5-triazin-2-yl)oxy]hexyl]carbamoil]oxy]méthyl]phényl]carbamoil]-1-amino-1,8,11-trioxa-9-(propan-2-yl)-14,17,20-trioxa-2,7,10-triazadocosan-22-yl]-1,4,5,5a,6,6a,7,8-octahydrocyclopropa[5,6]cycloocta[1,2-d][1,2,3]triazol-6-yl]-3-oxo-2,7,10,13,16-pentaoxa-4-azonadécan-19-oyl (*rostudirsén*)
stimulation de la synthèse de la dystrophine fonctionnelle
- zeleciment rostudirsén inmunoglobulina Fab-G1kappa (VH-CH1_L-kappa), anti-[*Homo sapiens* TFRC (receptor de la transferrina, Tfr1, TFR1, CD71)], anticuerpo monoclonal; conjugado en los residuos de lisina con grupos *rostudirsén*;
cadena Fab-G1 VH-CH1 (1-227) [VH Musmus/Homsap (*Mus musculus*IGHV3-6*01 (84.5%) -(IGHD) -IGHJ2*01 (85.7%) L124>V (115)/*Homo sapiens* IGHV4-30-4*01 (82.8%) -(IGHD) -IGHJ4*01 (85.7%) L123>T (114), CDR-IMGT [9.7.12] (26-34.52-58.97-108)) (1-119) -*Homo sapiens* IGHG1*01 CH1-h (100%), G1m17 CH1 K120 (CH1 K120 (216) (120-217), bisagra 1-10 (218-227)) (120-217)], (222-214')-disulfuro con la cadena ligera L-kappa (1'-214') [V-KAPPA (*Homo sapiens* IGKV1-39*01 (85.3%) -IGKJ2*01 (100%), CDR-IMGT [6.3.9] (27-32.51-53.89-97)) (1'-107') -*Homo sapiens* IGKC*01 (100%), Km3, A45.1 (153), V101 (191) (108'-214')], producido en las células ováricas de hámster chino (CHO), línea celular CHO-K1, no glicosilado; substituida en N⁶ de 1 a 3 L-residuos de lisina con grupo 1-[(5aRS,6SR,6aSR)-1-[(6S,9S)-6-[(4-[[[6-[[4-4-[[*todo-P-ambo-2*'-N-acetil[2',3'-azanediy-P,2',3'-tridésoxy-P-(diméthylamino)-2',3'-séco](5'→2'-N)(GATCTTTACGGTAGAAGGAACTACAACCTC-5'-O)](diméthylamino)fosforil]pipérazin-1-yl)-6-[(2-amino-2-oxoetil)(metil)amino]-1,3,5-triazin-2-yl)oxy]hexil]carbamoil]oxy]metil]fenil]carbamoil]-1-amino-1,8,11-trioxa-9-(propan-2-yl)-14,17,20-trioxa-2,7,10-triazadocosan-22-yl]-1,4,5,5a,6,6a,7,8-octahidrocioclopropa[5,6]cicloocta[1,2-d][1,2,3]triazol-6-yl]-3-oxo-2,7,10,13,16-pentaoxa-4-azonadécan-19-oyl (*rostudirsén*)
estimulación de la síntesis de la distrofina funcional

2725863-42-1

Heavy chain / Chaîne lourde / Cadena pesada

QVQLQESGPG LVKPSQTLSL TCTVTGYSIT SGYYWNWIRQ PPGKGLEWIG 50
 YITFDGANNY NPSLKNRVS I SRDTSKNQFS LKLSVTAED TATYYCTRSS 100
 YDYDVLVYWG QGTTVTVSSA STKGLPSVPL APSSKSTSGG TAALGGLVKD 150
 YFPEFVTVSW NSGALTSVGH TFFAVLQSSG LYSLSVVTV PSSSLGTQTY 200
 ICNVNHRKPSN TRVDRKVEPK SCDRTHT 227

Light chain / Chaîne légère / Cadena ligera

DIQMTQSPSS LSASVGDRTV ITCRASQDIS NFLNWKYQKPK GQPVKLLIYY 50
 TSLRHSQVPS RFSGSGSGTD FTLTISLQPF EDFATYYCQQ GHTLPYTRGQ 100
 GTKLEIKRTV AAPSVEIFEP SDEQLKSGTA SVVCLLNNFY PRAKVVQWKV 150
 DNALQSNSQ ESVTEQDSKD STYSLSLTIT LSKADYERHK YRACEVTHQG 200
 LSSPVTKSFN RGEC 214

Post-translational modifications / Modifications post-traductionnelles / Modificaciones postraduccionales

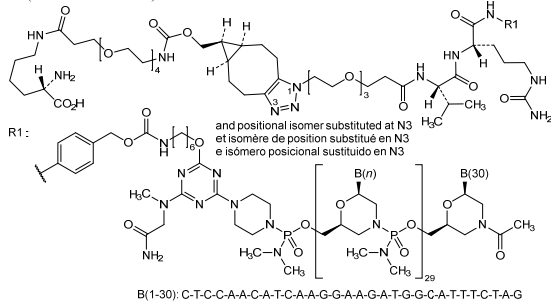
Disulfide bridges location / Position des ponts disulfure / posiciones de los puentes disulfuro

Intra-H 22-96 146-202 22"-96" 146"-202"
 Intra-L 23"-88" 134"-194" 23"-88" 134"-194"
 Inter-H-L 222"-214" 222"-214"

N-terminal glutaminylation / Cyclisation du glutaminyle N-terminal / Ciclación del glutaminilo N-terminal 1,1"

Potential modified residues / résidus modifiés potentiels / restos modificados potenciales*

K * (rostdisiren:Ab - 2:1)



zelenectidum
 zelenectide

$S^{3.1}, S^{3.5}, S^{3.15}$ -[(1,3,5-triazinane-1,3,5-triyl)tris(3-oxopropane-3,1-diyl)]-L-cysteinyl-L-prolyl-3-(naphthalen-1-yl)-L-alanyl-D- α -aspartyl-L-cysteinyl-L-methionyl- N^6 -carbamimidoyl-L-lysyl-L- α -aspartyl-L-tryptophyl-L-seryl-L-threonyl-L-prolyl-(4R)-4-hydroxy-L-prolyl-L-tryptophyl-L-cysteine
nectin-4-binding peptide

zélénectide

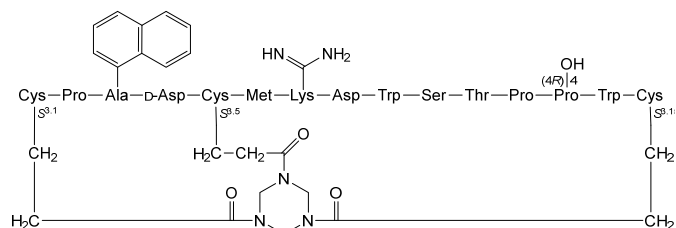
$S^{3.1}, S^{3.5}, S^{3.15}$ -[(1,3,5-triazinane-1,3,5-triyl)tris(3-oxopropane-3,1-diyl)]-L-cystéinyl-L-prolyl-3-(naphthalén-1-yl)-L-alanyl-D- α -aspartyl-L-cystéinyl-L-méthionyl- N^6 -carbamimidoyl-L-lysyl-L- α -aspartyl-L-tryptophyl-L-séryl-L-thréonyl-L-prolyl-(4R)-4-hydroxy-L-prolyl-L-tryptophyl-L-cystéine
peptide de liaison de la nectine 4

zelenectida

$S^{3.1}, S^{3.5}, S^{3.15}$ -[(1,3,5-triazinano-1,3,5-triil)tris(3-oxopropano-3,1-diil)]-L-cisteinil-L-proliil-3-(naftalen-1-il)-L-alanil-D- α -aspartil-L-cisteinil-L-metionil- N^6 -carbamimidoil-L-lisil-L- α -aspartil-L-triptofil-L-seril-L-treonil-L-proliil-(4R)-4-hidroxi-L-proliil-L-triptofil-L-cisteína
peptido de unión a la nectina 4

C₉₈H₁₂₉N₂₃O₂₆S₄

2407543-83-1

**zelenectidum pevedotinum**

zelenectide pevedotin

S^{3,12}, S^{3,16}, S^{3,26}-[(1,3,5-triazinane-1,3,5-triyl)tris(3-oxopropane-3,1-diyl)][N-(5-[[[(2S)-1-[[[(2S)-1-{4-[(5S,8S,11S,12R)-11-[(2S)-butan-2-yl]-12-(2-[[[(2S)-2-[(1R,2R)-3-[[[(1S,2R)-1-hydroxy-1-phenylpropan-2-yl]amino]-1-methoxy-2-methyl-3-oxopropyl]pyrrolidin-1-yl]-2-oxoethyl]-4,10-dimethyl-3,6,9-trioxo-5,8-di(propan-2-yl)-2,13-dioxo-4,7,10-triazatetradecan-1-yl]anilino]-5-(carbamoylamino)-1-oxopentan-2-yl]amino]-3-methyl-1-oxobutan-2-yl]amino]-5-oxopentanoyl)-β-alanyl-N-methylglycyl-N-methylglycyl-N-methylglycyl-N-methylglycyl-N-methylglycyl-N-methylglycyl-N-methylglycyl-N-methylglycyl-L-cysteinyl-L-prolyl-3-(naphthalen-1-yl)-L-alanyl-D-α-aspartyl-L-cysteinyl-L-methionyl-N⁶-carbamimidoyl-L-lysyl-L-α-aspartyl-L-tryptophyl-L-seryl-L-threonyl-L-prolyl-(4R)-4-hydroxy-L-prolyl-L-tryptophyl-L-cysteine]

antineoplastic

zélénectide pévédotine

S^{3,12}, S^{3,16}, S^{3,26}-[(1,3,5-triazinane-1,3,5-triyl)tris(3-oxopropane-3,1-diyl)][N-(5-[[[(2S)-1-[[[(2S)-1-{4-[(5S,8S,11S,12R)-11-[(2S)-butan-2-yl]-12-(2-[[[(2S)-2-[(1R,2R)-3-[[[(1S,2R)-1-hydroxy-1-phenylpropan-2-yl]amino]-1-méthoxy-2-méthyl-3-oxopropyl]pyrrolidin-1-yl]-2-oxoéthyl]-4,10-diméthyl-3,6,9-trioxo-5,8-di(propan-2-yl)-2,13-dioxo-4,7,10-triazatétradécan-1-yl]anilino]-5-(carbamoylamino)-1-oxopentan-2-yl]amino]-3-méthyl-1-oxobutan-2-yl]amino]-5-oxopentanoyl)-β-alanyl-N-méthylglycyl-N-méthylglycyl-N-méthylglycyl-N-méthylglycyl-N-méthylglycyl-N-méthylglycyl-N-méthylglycyl-L-cystéinyl-L-prolyl-3-(naphtalén-1-yl)-L-alanyl-D-α-aspartyl-L-cystéinyl-L-méthionyl-N⁶-carbamimidoyl-L-lysyl-L-α-aspartyl-L-tryptophyl-L-séryl-L-thréonyl-L-prolyl-(4R)-4-hydroxy-L-prolyl-L-tryptophyl-L-cystéine]

antinéoplasique

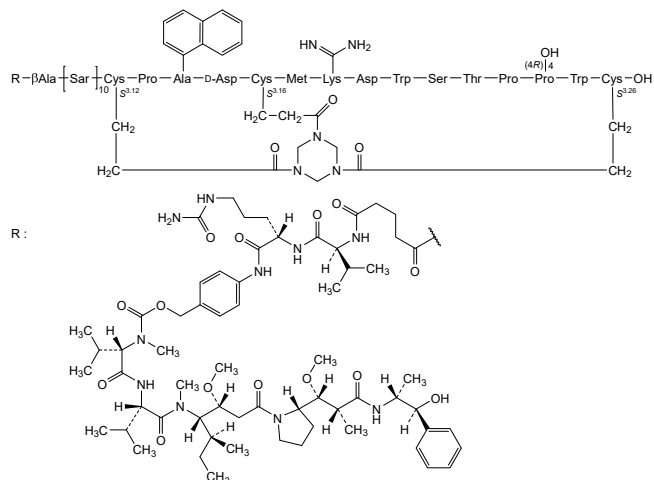
zelenectida pevedotina

S^{3,12}, S^{3,16}, S^{3,26}-[(1,3,5-triazinano-1,3,5-triil)tris(3-oxopropano-3,1-diiil)][N-(5-[[[(2S)-1-[[[(2S)-1-{4-[(5S,8S,11S,12R)-11-[(2S)-butan-2-il]-12-(2-[[[(2S)-2-[(1R,2R)-3-[[[(1S,2R)-1-hidroxi-1-fenilpropan-2-il]amino]-1-metoxi-2-metil-3-oxopropil]pirrolidin-1-il]-2-oxoetil]-4,10-dimetil-3,6,9-trioxo-5,8-di(propan-2-il)-2,13-dioxo-4,7,10-triazatetradécan-1-il]anilino]-5-(carbamoilamino)-1-oxopentan-2-il]amino]-3-metil-1-oxobutan-2-il]amino]-5-oxopentanoil)-β-alanil-N-metilglicil-N-metilglicil-N-metilglicil-N-metilglicil-N-metilglicil-N-metilglicil-N-metilglicil-L-cisteinil-L-proilil-3-(naftalen-1-il)-L-alanil-D-α-aspartil-L-cisteinil-L-metionil-N⁶-carbamimidoil-L-lisil-L-α-aspartil-L-triptofil-L-seril-L-treonil-L-proilil-(4R)-4-hidroxi-L-proilil-L-triptofil-L-cisteina]

antineoplásico

$C_{194}H_{282}N_{44}O_{51}S_4$

2407446-48-2

**zelicapavirum**

zelicapavir

(3*S*)-3-({5-[3-(morpholin-4-yl)-5-(trifluoromethyl)pyridin-2-yl]-1,3,4-oxadiazol-2-yl}amino)-5-phenyl-1,3-dihydro-2*H*-1,4-benzodiazepin-2-one
antiviral

zélicapavir

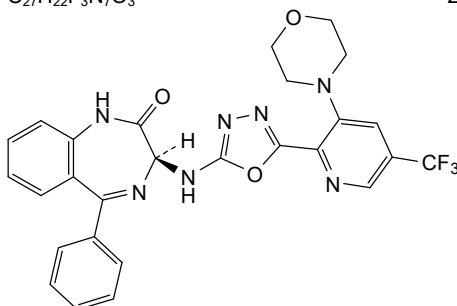
(3*S*)-3-({5-[3-(morpholin-4-yl)-5-(trifluorométhyl)pyridin-2-yl]-1,3,4-oxadiazol-2-yl}amino)-5-phényl-1,3-dihydro-2*H*-1,4-benzodiazépin-2-one
antiviral

zelicapavir

(3*S*)-5-fenil-3-({5-[3-(morfolin-4-il)-5-(trifluorometil)piridin-2-il]-1,3,4-oxadiazol-2-il}amino)-1,3-dihidro-2*H*-1,4-benzodiazepin-2-ona
antiviral

 $C_{27}H_{22}F_3N_7O_3$

2070852-76-3

**zevotrelvirum**

zevotrelvir

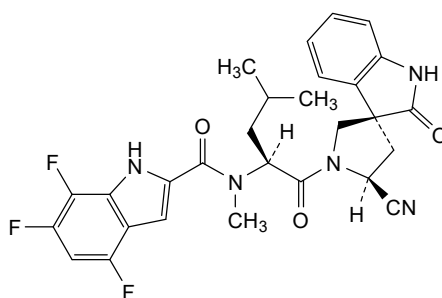
N-{(2*S*)-1-[(3*R*,5'*S*)-5'-cyano-2-oxo-1,2-dihydrospiro[indole-3,3'-pyrrolidin]-1'-yl]-4-methyl-1-oxopentan-2-yl}-4,6,7-trifluoro-*N*-methyl-1*H*-indole-2-carboxamide
antiviral

zévotrelvir *N*-((2*S*)-1-[(3*R*,5'*S*)-5'-cyano-2-oxo-1,2-dihydrospiro[indole-3,3'-pyrrolidin]-1'-yl]-4-méthyl-1-oxopentan-2-yl)-4,6,7-trifluoro-*N*-méthyl-1*H*-indole-2-carboxamide
antiviral

zevotrelvir *N*-((2*S*)-1-[(3*R*,5'*S*)-5'-ciano-2-oxo-1,2-dihidrospiro[indole-3,3'-pirrolidin]-1'-il]-4-metil-1-oxopentan-2-il)-4,6,7-trifluoro-*N*-metil-1*H*-indole-2-carboxamida
antiviral

$C_{28}H_{26}F_3N_5O_3$

2773516-53-1



zimislecelum
zimislecel

allogenic pancreatic islets derived from a human embryonic stem cell (ESC) line. The initial ESCs are positive for OCT4A (>70%) and stage-specific embryonic antigen-4 (SSEA4; >90%). The pancreatic islets are differentiated from the ESCs in five stages: (1) definitive endoderm induction, (2) gut tube formation, (3) early pancreatic progenitor induction, (4) late pancreatic progenitor induction, and (5) pancreatic endocrine induction. In stage 1 the pluripotent stem cell aggregates are cultured in MCDB-131 serum-free medium supplemented with activin A and 6-[[2-[[4-(2,4-dichlorophenyl)-5-(4-methyl-1*H*-imidazol-2-yl)pyrimidin-2-yl]amino]ethyl]amino]pyridine-3-carbonitrile (*laduviglusib*); in stage 2, the cell culture medium is exchanged with medium supplemented with keratinocyte growth factor (KGF); in stage 3 the medium is supplemented with KGF, (1*Ξ*)-*N*-(4-benzylpiperazin-1-yl)-1-(3,5-dimethyl-1-phenyl-1*H*-pyrazol-4-yl)methanimine (SANT-1), (2*E*,4*E*,6*E*,8*E*)-3,7-dimethyl-9-(2,6,6-trimethylcyclohexen-1-yl)nona-2,4,6,8-tetraenoic acid (*tretinoin*), phorbol 12,13-dibutyrate (PDBu), *N*-benzyl-2-[(pyrimidin-4-yl)amino]-1,3-thiazole-4-carboxamide (thiazovivin), 4-(6-{4-[(propan-2-yl)oxy]phenyl}pyrazolo[1,5-*a*]pyrimidin-3-yl)quinoline (DMH-1), and activin A; in stage 4 the medium is supplemented with KGF, SANT-1, *tretinoin*, PDBu, thiazovivin, and activin A; and in stage 5 the medium is supplemented with *N*-(cyclopropylmethyl)-2-[4-(4-methoxybenzoyl)piperidin-1-yl]-*N*-[[4-oxo-3,5,7,8-tetrahydro-4*H*-pyrano[4,3-*d*]pyrimidin-2-yl)methyl]acetamide (NVP-TNKS656), PDBu, SANT-1, betacellulin, (2*S*)-2-[2-(3,5-difluorophenyl)acetamido]-*N*-[(3*S*)-1-methyl-2-oxo-5-phenyl-2,3-dihydro-1*H*-1,4-benzodiazepin-3-yl]propanamide (γ -secretase inhibitor XXI), low-dose *naltrexone* (LDN), activin receptor-like kinase 5 (ALK5) inhibitor,

glucocorticoid (GC), thiazovivin, staurosporine, 3-deazaneplanocin A (DZNep), *trétinoïn*, and zinc sulfate.

At the end of stage 5 the islet-like aggregates are dissociated into a single cell suspension and cryopreserved. Thawed cells are subsequently reaggregated into islet cell clusters, removing single cells, and then washed before administration. The final substance consists of pancreatic islet β -cells (positive for NK6 homeobox 1 (NKX6.1+) and ISL LIM homeobox 1 (ISL1+)) that synthesize insulin, as well as non- β islet cells (α and δ cell type) and enterochromaffin (EC) cells. There are no detectable residual pluripotent stem cells (OCT 4+/LIN28+) *cell therapy (type 1 diabetes)*

zimislecel

îlots pancréatiques allogènes dérivés d'une lignée de cellules souches embryonnaires humaines (CSE). Les CSE initiales sont positives pour OCT4A (>70%) et l'antigène embryonnaire spécifique du stade 4 (SSEA4; >90%).

Les îlots pancréatiques sont différenciés à partir des CSE en cinq étapes: (1) induction de l'endoderme définitif, (2) formation du tube digestif, (3) induction des progéniteurs pancréatiques précoces, (4) induction des progéniteurs pancréatiques tardifs et (5) induction endocrine pancréatique. Au stade 1, les agrégats de cellules souches pluripotentes sont cultivés dans un milieu sans sérum MCDB 131 complété avec de l'actine A et du 6-[[2-[[4-(2,4-dichlorophényl)-5-(4-méthyl-1H-imidazol-2-yl)pyrimidine-2-yl]amino]éthyl]amino]pyridine-3-carbonitrile (*aduviglusib*); au stade 2, le milieu de culture cellulaire est remplacé par un milieu complété avec du facteur de croissance des kératinocytes (KGF); à l'étape 3, le milieu est complété avec du KGF, de la (1 Ξ)-N-(4-benzylpipérazin-1-yl)-1-(3,5-diméthyl-1-phényl-1H-pyrazol-4-yl)méthanimine (SANT-1), de l'acide (2E,4E,6E,8E)-3,7-diméthyl-9-(2,6,6-triméthylcyclohexène-1-yl)nona-2,4,6, 8-tétraénoïque (*trétinoïne*), le 12,13-dibutyrate de phorbol (PDBu), le N-benzyl-2-[(pyrimidin-4-yl)amino]-1,3-thiazole-4-carboxamide (thiazovivine), la 4-(6-{4-[(propan-2-yl)oxy]phényl}pyrazolo[1,5-a]pyrimidin-3-yl)quinoléine (DMH-1) et l'actine A; à l'étape 4, le milieu est complété avec du KGF, du SANT-1, de la *trétinoïne*, du PDBu, de la thiazovivine et de l'actine A; et au stade 5, le milieu est complété avec du N-(cyclopropylméthyl)-2-[4-(4-méthoxybenzoyl)pipéridin-1-yl]-N-[(4-oxo-3,5,7,8-tétrahydro-4H-pyran[4, 3-d]pyrimidine-2-yl)méthyl]acétamide (NVP-TNKS656), PDBu, SANT-1, bêta-celluline, (2S)-2-[2-(3,5-difluorophényl)acétamido]-N-[(3S)-1-méthyl-2-oxo-5-phényl-2,3-dihydro-1H-1,4-benzodiazépin-3-yl]propanamide (inhibiteur de la γ -sécrétase XXI), *naltrexone* à faible dose (LDN), de l'inhibiteur de l'actine de type récepteur de la kinase 5 (ALK5), de glucocorticoïde (GC), de la thiazovivine, de la staurosporine, de la 3-désazanéplanocine A (DZNep), de la *trétinoïne* et du sulfate de zinc.

À la fin de l'étape 5, les agrégats en forme d'îlots sont dissociés en une suspension cellulaire unique et cryopréservés. Les cellules décongelées sont ensuite réaggrégées en amas d'îlots cellulaires en éliminant les cellules individuelles, puis lavées avant d'être administrées. La substance finale est constituée de cellules β des îlots pancréatiques (positives pour l'homéobox 1 NK6 (NKX6.1+) et l'homéobox 1 ISL LIM (ISL1+)) qui synthétisent l'insuline, ainsi que de cellules d'îlots non- β (de type α et δ) et de cellules d'entérochromaffine (EC). Il n'y a pas de cellules souches pluripotentes résiduelles détectables (OCT 4+/LIN28+). *thérapie cellulaire (diabète sucré type 1)*

zimislecel

islotas pancreáticos alogénicos derivados de una línea de células madre embrionarias (ESC) humanas. Las ESCs iniciales son positivas para OCT4A (>70%) y para el antígeno embrionario específico de etapa-4 (SSEA4; >90%).

Los islotas pancreáticos se diferencian desde las ESCs en cinco etapas: (1) inducción del endodermo definitivo, (2) formación del tubo gástrico, (3) inducción del progenitor pancreático temprano, (4) inducción del progenitor pancreático tardío y (5) inducción del páncreas endocrino.

En la etapa 1 los agregados de células madre pluripotentes se cultivan en medio sin suero MCDB 131 suplementado con activina A y 6-[[2-[[4-(2,4-diclorofenil)-5-(4-metil-1*H*-imidazol-2-il)pirimidin-2-il]amino]etil]amino]piridina-3-carbonitrilo (*laduviglusib*); en la etapa 2, el medio de cultivo se intercambia por medio suplementado con factor de crecimiento de queratinocitos (KGF); en la etapa 3 el medio se suplementa con KGF, (1 Ξ)-*N*-(4-benzilpiperazin-1-il)-1-(3,5-dimetil-1-fenil-1*H*-pirazol-4-il)metanimina (SANT-1), ácido (2*E*,4*E*,6*E*,8*E*)-3,7-dimetil-9-(2,6,6-trimetilciclohexeno-1-il)nona-2,4,6,8-tetraenoico (*tretinoína*), forbol 12,13-dibutirato (PDBu), *N*-benzil-2-[[pirimidin-4-il]amino]-1,3-tiazol-4-carboxamida (tiazovivina), 4-(6-{4-[[propan-2-il]oxi]fenil]pirazolo[1,5-*a*]pirimidin-3-il)quinoleína (DMH-1) y activina A; en la etapa 4 el medio se suplementa con KGF, SANT-1, *tretinoína*, PDBu, tiazovivina y activina A; y en la etapa 5, el medio se suplementa con *N*-(ciclopropilmetil)-2-[4-(4-metoxibenzoil)piperidin-1-il]-*N*-[[4-oxo-3,5,7,8-tetrahidro-4*H*-pirano[4,3-*c'*]pirimidin-2-il]metil]acetamida (NVP-TNKS656), PDBu, SANT-1, betacelulina, (2*S*)-2-[2-(3,5-difluorofenil)acetamido]-*N*-[[3*S*]-1-metil-2-oxo-5-fenil-2,3-dihidro-1*H*-1,4-benzodiazepin-3-il]propanamida (inhibidor de γ -secretasa XXI), *naltrexona* en dosis baja (LDN), inhibidor de quinasa 5 similar al receptor de activina (ALK5), glucocorticoide (GC), tiazovivina, estaurosporina, 3-desazaneplanocina A (DZNep), *tretinoína* y sulfato de zinc.

Al final de la etapa 5, los agregados similares a islotes se disocian para obtener una suspensión de células individuales y se criopreservan. Las células descongeladas se vuelven a reagregar para formar agrupamientos de células de islote, eliminando las células aisladas y lavándolas después antes de su administración. La sustancia final consiste en células β de islote pancreático (positivas para NK6 homeobox 1 (NKX6.1+) e ISL LIM homeobox 1 (ISL1+)) que sintetizan insulina, así como células de islote no- β (células tipo α y δ) y células enterocromafines (EC). No hay células madre pluripotentes residuales detectables (OCT 4+/LIN28+).

terapia celular (diabetes mellitus tipo 1)

zotresiranum

zotresiran

[[2*S*,4*R*]-1-(1-[(2-acetamido-2-deoxy- β -D-galactopyranosyl)oxy]-16,16-bis{3-[[3-{5-[(2-acetamido-2-deoxy- β -D-galactopyranosyl)oxy]pentanamido}propyl]amino]-3-oxopropyl}-5,11,18-trioxa-14-oxa-6,10,17-triazanonacosan-29-oyl)-4-hydroxypyrrolidin-2-yl]methyl hydrogen
all-P-ambo-2'-O-methyl-P-thiouridylyl-(3' \rightarrow 5')-2'-*O-methyl-P-thiocytidylyl*-(3' \rightarrow 5')-2'-*O-methyladenylyl*-(3' \rightarrow 5')-2'-*O-methylguanylyl*-(3' \rightarrow 5')-2'-*O-methyladenylyl*-(3' \rightarrow 5')-2'-*O-methylguanylyl*-(3' \rightarrow 5')-2'-deoxy-2'-fluorouridylyl-(3' \rightarrow 5')-2'-*O-methyladenylyl*-(3' \rightarrow 5')-2'-deoxy-2'-fluorouridylyl-(3' \rightarrow 5')-2'-deoxy-2'-fluorouridylyl-(3' \rightarrow 5')-2'-deoxy-2'-fluoroadenylyl-(3' \rightarrow 5')-2'-*O-methyluridylyl*-(3' \rightarrow 5')-2'-*O-methylguanylyl*-(3' \rightarrow 5')-2'-*O-methylguanylyl*-(3' \rightarrow 5')-2'-*O-methyladenylyl*-(3' \rightarrow 5')-2'-*O-methyladenylyl*-(3' \rightarrow 5')-2'-*O-methylcytidylyl*-(3' \rightarrow 5')-2'-*O-methylguanylyl*-(3' \rightarrow 5')-2'-*O-methyladenylyl*-(3' \rightarrow 5')-2'-*O-methyladenylyl*-(3' \rightarrow 5')-2'-*O-methyl-3'-uridylyl* duplex with *all-P-ambo-2'-O-methyl-P-thioadenylyl*-(5' \rightarrow 3')-2'-*O-methyl-P-thioguanlylyl*-(5' \rightarrow 3')-2'-*O-methyladenylyl*-(5' \rightarrow 3')-2'-*O-methylguanylyl*-(5' \rightarrow 3')-2'-*O-methyluridylyl*-(5' \rightarrow 3')-2'-*O-methylcytidylyl*-(5' \rightarrow 3')-2'-*O-methyluridylyl*-(5' \rightarrow 3')-2'-deoxy-2'-fluorocytidylyl-(5' \rightarrow 3')-2'-*O-methyladenylyl*-(5' \rightarrow 3')-2'-deoxy-2'-fluorouridylyl-(5' \rightarrow 3')-2'-*O-methyladenylyl*-(5' \rightarrow 3')-2'-*O-methyladenylyl*-(5' \rightarrow 3')-2'-*O-methyluridylyl*-(5' \rightarrow 3')-2'-*O-methylcytidylyl*-(5' \rightarrow 3')-2'-*O-methylcytidylyl*-(5' \rightarrow 3')-2'-*O-methylguanylyl*-(5' \rightarrow 3')-2'-*O-methylcytidylyl*-(5' \rightarrow 3')-2'-*O-methyl-P-thiouridylyl*-(5' \rightarrow 3')-2'-deoxy-2'-fluoro-*P-thiocytidylyl*-(5' \rightarrow 3')-2'-*O-methyladenosine xanthine dehydrogenase synthesis reducer*

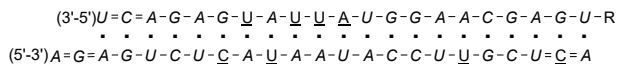
zotrésiran

[(2S,4R)-1-(1-[(2-acétamido-2-désoxy-β-D-galactopyranosyl)oxy]-16,16-bis{3-[(3-{5-[(2-acétamido-2-désoxy-β-D-galactopyranosyl)oxy]pentanamido}propyl)amino]-3-oxopropyl}-5,11,18-trioxo-14-oxa-6,10,17-triazanonacosan-29-oyl)-4-hydroxypyrrolidin-2-yl)méthyl hydrogéné tout-*P-ambo*-2'-O-méthyl-*P*-thiouridylyl-(3'→5')-2'-O-méthyl-*P*-thiocytidylyl-(3'→5')-2'-O-méthyladénylyl-(3'→5')-2'-O-méthylguanylyl-(3'→5')-2'-O-méthyladénylyl-(3'→5')-2'-O-méthylguanylyl-(3'→5')-2'-désoxy-2'-fluorouridylyl-(3'→5')-2'-O-méthyladénylyl-(3'→5')-2'-désoxy-2'-fluorouridylyl-(3'→5')-2'-désoxy-2'-fluorouridylyl-(3'→5')-2'-désoxy-2'-fluoroadénylyl-(3'→5')-2'-O-méthyluridylyl-(3'→5')-2'-O-méthylguanylyl-(3'→5')-2'-O-méthylguanylyl-(3'→5')-2'-O-méthyladénylyl-(3'→5')-2'-O-méthyladénylyl-(3'→5')-2'-O-méthylcytidylyl-(3'→5')-2'-O-méthylguanylyl-(3'→5')-2'-O-méthyladénylyl-(3'→5')-2'-O-méthylguanylyl-(3'→5')-2'-O-méthyl-3'-uridylylate duplex avec tout-*P-ambo*-2'-O-méthyl-*P*-thioadénylyl-(5'→3')-2'-O-méthyl-*P*-thioguanilyl-(5'→3')-2'-O-méthyladénylyl-(5'→3')-2'-O-méthylguanylyl-(5'→3')-2'-O-méthyluridylyl-(5'→3')-2'-O-méthylcytidylyl-(5'→3')-2'-O-méthyluridylyl-(5'→3')-2'-désoxy-2'-fluorocytidylyl-(5'→3')-2'-O-méthyladénylyl-(5'→3')-2'-désoxy-2'-fluorouridylyl-(5'→3')-2'-O-méthyladénylyl-(5'→3')-2'-O-méthyladénylyl-(5'→3')-2'-O-méthyluridylyl-(5'→3')-2'-O-méthyladénylyl-(5'→3')-2'-O-méthylcytidylyl-(5'→3')-2'-O-méthylcytidylyl-(5'→3')-2'-O-méthyluridylyl-(5'→3')-2'-désoxy-2'-fluorouridylyl-(5'→3')-2'-O-méthylguanylyl-(5'→3')-2'-O-méthylcytidylyl-(5'→3')-2'-O-méthyl-*P*-thiouridylyl-(5'→3')-2'-désoxy-2'-fluoro-*P*-thiocytidylyl-(5'→3')-2'-O-méthyladénosine réducteur de la synthèse de la xanthine-déshydrogénase

zotresiran

[(2S,4R)-1-(1-[(2-acetamido-2-desoxy-β-D-galactopiranosil)oxi]-16,16-bis{3-[(3-{5-[(2-acetamido-2-desoxy-β-D-galactopiranosil)oxi]pentanamido}propil)amino]-3-oxopropil}-5,11,18-trioxo-14-oxa-6,10,17-triazanonacosan-29-oil)-4-hidroxi-pirrolidin-2-il]metil hidrógeno todo-*P-ambo*-2'-O-metil-*P*-tiouridilil-(3'→5')-2'-O-metil-*P*-tiocitidilil-(3'→5')-2'-O-metiladenilil-(3'→5')-2'-O-metilguanilil-(3'→5')-2'-O-metiladenilil-(3'→5')-2'-O-metilguanilil-(3'→5')-2'-desoxi-2'-fluorouridilil-(3'→5')-2'-O-metiladenilil-(3'→5')-2'-desoxi-2'-fluorouridilil-(3'→5')-2'-desoxi-2'-fluoroadenilil-(3'→5')-2'-O-metiluridilil-(3'→5')-2'-O-metilguanilil-(3'→5')-2'-O-metilguanilil-(3'→5')-2'-O-metiladenilil-(3'→5')-2'-O-metiladenilil-(3'→5')-2'-O-metilcitidilil-(3'→5')-2'-O-metilguanilil-(3'→5')-2'-O-metiladenilil-(3'→5')-2'-O-metilguanilil-(3'→5')-2'-O-metil-3'-uridilato dúplex con todo-*P-ambo*-2'-O-metil-*P*-tioadenilil-(5'→3')-2'-O-metil-*P*-tioguanilil-(5'→3')-2'-O-metiladenilil-(5'→3')-2'-O-metilguanilil-(5'→3')-2'-O-metiluridilil-(5'→3')-2'-O-metilcitidilil-(5'→3')-2'-O-metiluridilil-(5'→3')-2'-desoxi-2'-fluorocitidilil-(5'→3')-2'-O-metiladenilil-(5'→3')-2'-desoxi-2'-fluorouridilil-(5'→3')-2'-O-metiladenilil-(5'→3')-2'-O-metiladenilil-(5'→3')-2'-O-metiluridilil-(5'→3')-2'-O-metiladenilil-(5'→3')-2'-O-metiluridilil-(5'→3')-2'-desoxi-2'-fluorouridilil-(5'→3')-2'-O-metilguanilil-(5'→3')-2'-O-metilcitidilil-(5'→3')-2'-O-metil-*P*-tiouridilil-(5'→3')-2'-desoxi-2'-fluoro-*P*-tiocitidilil-(5'→3')-2'-O-metiladenosina reductor de la síntesis de la xantina deshidrogenasa

2756821-85-7

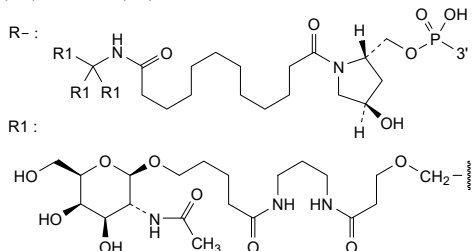


N : A,C,G,U

N : 2'-O-methyl-N / 2'-O-méthyl-N / 2'-O-metil-N

N : 2'-deoxy-2'-fluoro-N / 2'-désoxy-2'-fluoro-N / 2'-desoxi-2'-fluoro-N

- : -PO(OH)- =: -PO(SH)-

# Electronic structure available on MedNet: <https://extranet.who.int/soinn/># Structure électronique disponible sur MedNet: <https://extranet.who.int/soinn/># Estructura electrónica disponible en MedNet: <https://extranet.who.int/soinn/>

Proposed International Nonproprietary Names: List 129 – COVID-19 (special edition)

Comments on, or formal objections to, the proposed names may be forwarded by any person to the INN Programme of the World Health Organization within two weeks of the date of their publication on *WHO INN Programme website*, i.e., for **List 129 – COVID-19 (special edition) of Proposed INN not later than 14 July 2023, exceptionally for this special edition. Publication date: 30/06/2023**

Dénominations communes internationales proposées: Liste 129 - COVID-19 (édition spéciale)

Des observations ou des objections formelles à l'égard des dénominations proposées peuvent être adressées par toute personne au Programme des Dénominations communes internationales de l'Organisation mondiale de la Santé dans un délai de deux semaines à compter de la date de leur publication sur le *site Internet du Programme des DCI de l'OMS*, c'est à dire pour la **Liste 129 - COVID-19 (édition spéciale) de DCI Proposées le 14 juillet 2023 au plus tard, exceptionnellement pour cette édition spéciale. Date de publication: 30/06/2023**

Denominaciones Comunes Internacionales Propuestas: Lista 129 - COVID-19 (edición especial)

Cualquier persona puede dirigir observaciones u objeciones respecto de las denominaciones propuestas, al Programa de Comunes Internacionales de la Organización Mundial de la Salud, en un plazo de dos semanas, contados desde la fecha de su publicación en el *sitio web del Programa de las DCI de la OMS*, es decir, para la **Lista 129 - COVID-19 (edición especial) de DCI Propuestas el 14 de julio de 2023 a más tardar, excepcionalmente para esta edición especial. Fecha de publicación: 30/06/2023**

<i>Proposed INN</i> (Latin, English, French, Spanish)	<i>Chemical name or description: Action and use: Molecular formula, Chemical Abstracts Service (CAS) registry number: Graphic formula</i>
<i>DCI Proposée</i>	<i>Nom chimique ou description: Propriétés et indications: Formule brute, Numéro dans le registre du CAS: Formule développée</i>
<i>DCI Propuesta</i>	<i>Nombre químico o descripción: Acción y uso: Fórmula molecular, Número de registro del CAS: Fórmula desarrollada</i>

andusomeranum

andusomeran messenger RNA (mRNA), 5'-capped, encoding a full-length, codon-optimised pre-fusion stabilised conformation variant (K982P and V983P) of the SARS-CoV-2 (severe acute respiratory syndrome coronavirus 2) spike (S) glycoprotein (Omicron variant XBB.1.5; based upon GISAID: EPI_ISL_15948646) further optimized by two additional stop codons, flanked by an artificial 5' untranslated region (UTR) and a 3' UTR derived from the human alpha globin gene (HBA1) modified to contain an identification and ratio (IDR) sequence to enable identification and relative ratio determination of individual RNA components in a multivalent mRNA vaccine, and terminated by a 3' polyadenylation (polyA) tail; contains N¹-methylpseudouridine instead of uridine (*all-U>m¹Ψ*).
immunological agent for active immunization (anti-SARS-CoV-2)

andusomérán	<p>ARN messenger (ARNm), protégé d'une coiffe en 5', codant la séquence entière aux codons optimisés d'un variant de conformation stabilisée avant fusion (K982P et V983P) de la glycoprotéine de spicule (S) du SARS-CoV-2 (coronavirus 2 du syndrome respiratoire aigu sévère) (variant Omicron XBB.1.5; d'après GISAID: EPI_ISL_15948646) dont l'optimisation a été renforcée par l'addition de deux codons stop supplémentaires, flanquée d'une région non traduite (UTR) artificielle en 5' et d'une UTR en 3' dérivée du gène de l'alpha-globine humaine (HBA1) modifiée pour contenir une séquence d'identification et de ratio (IDR) afin de permettre l'identification et la détermination du ratio relatif de chaque composant d'ARN dans un vaccin ARNm multivalent, et terminée par une queue polyadénylation (polyA) en 3'; contient de la N¹-méthylpseudouridine en lieu de l'uridine (<i>tout-U>m¹Ψ</i>).</p> <p><i>agent immunologique pour immunisation active (anti-SARS-CoV-2)</i></p>
andusomerán	<p>ARN mensajero (ARNm), protegido en 5', que codifica, para la secuencia completa con codones optimizados, de una variante (K982P y V983P) estabilizada en la conformación pre-fusión de la glicoproteína de la espícula (S) del SARS-Cov-2 (coronavirus 2 del síndrome respiratorio agudo severo) (variante XBB.1.5 de Omicron; basado en GISAID: EPI_ISL_15948646), optimizada mediante dos codones de terminación adicionales, flanqueado por una región artificial no traducida (UTR) en 5' y una 3' UTR derivada del gen de la alfa globina humana (HBA1), modificada para que contenga una secuencia de identificación y ratio (IDR) para permitir la identificación y la determinación del ratio relativo de los componentes individuales de ARN en una vacuna de ARNm multivalente, y terminado por una cola poliadenilación (poliA) en 3'; contiene N¹-metilpseudouridina en lugar de uridina (<i>todo->m¹Ψ</i>).</p> <p><i>agente inmunológico para inmunización activa (anti-SARS-CoV-2)</i></p>
	2918977-08-7
pitozinameranum # pitozinameran	<p>messenger RNA (mRNA), 5'-capped, encoding a full-length, codon-optimised pre-fusion stabilised conformation variant (K982P and V983P) of the SARS-CoV-2 (severe acute respiratory syndrome coronavirus 2) spike (S) glycoprotein (Omicron sub-lineage XBB.1.16; based upon GISAID: EPI_ISL_16835403), flanked by 5' and 3' untranslated regions and a 3' polyadenylation (polyA) tail; contains N¹-methylpseudouridine instead of uridine (<i>all-U>m¹Ψ</i>).</p> <p><i>immunological agent for active immunization (anti-SARS-CoV-2)</i></p>

pitozinaméran

ARN messenger (ARNm), protégé d'une coiffe en 5', codant la séquence entière aux codons optimisés d'un variant à la conformation stabilisée avant fusion (K982P et V983P) de la glycoprotéine de spicule (S) du SARS-CoV-2 (coronavirus du syndrome respiratoire aigu sévère 2) (sous-lignée Omicron XBB.1.16; d'après GISAID: EPI_ISL_16835403), flanquée de régions non traduites en 5' et 3' et d'une queue polyadénylation (polyA) en 3'; contient de la N¹-méthylpseudouridine au lieu de l'uridine (*tout-U>m¹Ψ*).
agent immunologique pour immunisation active (anti-SARS-CoV-2)

pitozinamerán

ARN mensajero (ARNm), protegido en 5', que codifica, para la secuencia completa con codones optimizados, de una variante estabilizada en la conformación pre-fusión (K982P y V983P) de la glicoproteína de la espícula (S) del SARS-Cov-2 (coronavirus 2 del síndrome respiratorio agudo severo) (sublinaje XBB.1.16 de Omicron; basado en GISAID: EPI_ISL_16835403), flanqueado por regiones 5' y 3' no traducidas y una cola poliadenilación (poliA) en 3'; contiene N¹-metilpseudouridina en lugar de uridina (*todo-U>m¹Ψ*).
agente inmunológico para inmunización activa (anti-SARS-CoV-2)

2920299-36-9

raxtozinameranum #
raxtozinameran

messenger RNA (mRNA), 5'-capped, encoding a full-length, codon-optimised pre-fusion stabilised conformation variant (K982P and V983P) of the SARS-CoV-2 (severe acute respiratory syndrome coronavirus 2) spike (S) glycoprotein (Omicron sub-lineage XBB.1.5; based upon GISAID: EPI_ISL_17157779), flanked by 5' and 3' untranslated regions and a 3' polyadenylation (polyA) tail; contains N¹-methylpseudouridine instead of uridine (*all-U>m¹Ψ*).
immunological agent for active immunization (anti-SARS-CoV-2)

raxtozinaméran

ARN messenger (ARNm), protégé d'une coiffe en 5', codant la séquence entière aux codons optimisés d'un variant à la conformation stabilisée avant fusion (K982P et V983P) de la glycoprotéine de spicule (S) du SARS-CoV-2 (coronavirus du syndrome respiratoire aigu sévère 2) (sous-lignée Omicron XBB.1.5; d'après GISAID: EPI_ISL_17157779), flanquée de régions non traduites en 5' et 3' et d'une queue polyadénylation (polyA) en 3'; contient de la N¹-méthylpseudouridine au lieu de l'uridine (*tout-U>m¹Ψ*).
agent immunologique pour immunisation active (anti-SARS-CoV-2)

raxtozinamerán

ARN mensajero (ARNm), protegido en 5', que codifica, para la secuencia completa con codones optimizados, de una variante estabilizada en la conformación pre-fusión (K982P y V983P) de la glicoproteína de la espícula (S) del SARS-Cov-2 (coronavirus 2 del síndrome respiratorio agudo severo) (sublinaje XBB.1.5 de Omicron; basado en GISAID: EPI_ISL_17157779), flanqueado por regiones 5' y 3' no traducidas y una cola poliadenilación (poliA) en 3'; contiene N¹-metilpseudouridina en lugar de uridina (*todo-U>m¹Ψ*).

agente inmunológico para inmunización activa (anti-SARS-CoV-2)

2887554-49-4

tegrenmeranum #

tegrenmeran

messenger RNA (mRNA), 5'-capped, encoding the codon-optimized receptor binding domain (RBD) of the severe acute respiratory syndrome coronavirus 2 (SARS-CoV-2) spike (S) glycoprotein (Omicron sublineages B.1.1.529.4 (BA.4) and B.1.1.529.5 (BA.5); based upon GISAID: EPI_ISL_12607996), with a cysteine 233 to serine substitution, expressed as a fusion protein with the S glycoprotein signal peptide derived from SARS-CoV-2 Wuhan-Hu 1 strain (GenBank: MN908947.3), flanked by 5' and 3' untranslated regions (UTRs) derived from the human β-globin gene and a 3' polyadenylation (polyA) tail; contains 5-methyluridine instead of uridine (*all-U>5-Me-U*) and 5-methylcytidine instead of cytidine (*all-C>5-Me-C*).

immunological agent for active immunization (anti-SARS-CoV-2)

tégrenméran

ARN messenger (ARNm), protégé d'une coiffe en 5', codant le domaine de liaison au récepteur (RBD) aux codons optimisés de la glycoprotéine de spicule (S) du coronavirus 2 du syndrome respiratoire aigu sévère (SARS-CoV-2) (sous-lignes Omicron B.1.1.529.4 (BA.4) et B.1.1.529.5 (BA.5); d'après GISAID: EPI_ISL_12607996), avec substitution de la cystéine 233 par la sérine, exprimé sous la forme d'une protéine de fusion avec le peptide signal de la glycoprotéine S dérivée de la souche SARS-CoV-2 Wuhan-Hu 1 (GenBank: MN908947.3), flanquée des régions non traduites (UTR) en 5' et 3' dérivées du gène de la β-globine humaine et d'une queue de polyadénylation (polyA) en 3'; contient de la 5-méthyluridine en lieu de l'uridine (*tout-U>5-Me-U*) et de la 5-méthylcytidine en lieu de la cytidine (*tout-C>5-Me-C*).

agent immunologique pour immunisation active (anti-SARS-CoV-2)

tegrenmerán

ARN mensajero (ARNm), protegido en 5', que codifica, con codones optimizados, para el dominio de unión al receptor (RBD) de la glicoproteína de la espícula (S) del coronavirus 2 del síndrome respiratorio agudo severo (SARS-Cov-2) (sublinajes B.1.1.529.4 (BA.4) y B.1.1.529.5 (BA.5) de Omicron; basado en GISAID: EPI_ISL_12607996), con una sustitución de la cisteína 233 a serina, expresado como una proteína de fusión con el péptido señal de la glicoproteína S derivada de la cepa Wuhan-Hu 1 de SARS-Cov-2 (GenBank: MN908947.3), flanqueado por regiones 5' y 3' no traducidas (UTRs) derivadas del gen de la β-globina humana y una cola poliadenilación (poliA) en 3'; contiene 5-metiluridina en lugar de uridina (*todo-U*>5-Me-U) y 5-metilcitosina en lugar de citidina (*todo-C*>5-Me-C).

agente inmunológico para inmunización activa (anti-SARS-CoV-2)

2889466-36-6

upalsecovateinum #
upalsecovatein

severe acute respiratory syndrome coronavirus 2 (SARS-CoV-2) omicron lineage B.1.1.529.5 also known as BA.5 (GISAID: EPI_ISL_12097410) spike (S) glycoprotein (S glycoprotein) (1-1255), stable prefusion conformation variant (R⁶⁶⁴>Q, R⁶⁶⁵>Q, R⁶⁶⁷>Q, K⁹⁶⁸>P, V⁹⁶⁹>P), trimer, produced in *Spodoptera frugiperda* (Sf9) insect cells, glycoform alfa

immunological agent for active immunization (anti-SARS-CoV-2)

upalsécovatéine

glycoprotéine du spicule (S) (glycoprotéine S) du coronavirus 2 du syndrome respiratoire aigu sévère (SARS-CoV-2) lignée omicron B.1.1.529.5 également connue sous le nom de BA.5 (GISAID: EPI_ISL_12097410) (1-1255), variant de conformation stable par pré-fusion (R⁶⁶⁴>Q, R⁶⁶⁵>Q, R⁶⁶⁷>Q, K⁹⁶⁸>P, V⁹⁶⁹>P), trimère, produit dans des cellules d'insecte *Spodoptera frugiperda* (Sf9), glycoforme alfa

agent immunologique pour immunisation active (anti-SARS-CoV-2)

upalsecovateína

glicoproteína de espícula (S) (glicoproteína S) del coronavirus 2 del síndrome severo agudo respiratorio (SARS-CoV-2) linaje ómicron B.1.1.529.5 también conocido como BA.5 (GISAID: EPI_ISL_12097410) (1-1255), variante de conformación estable prefusión (R⁶⁶⁴>Q, R⁶⁶⁵>Q, R⁶⁶⁷>Q, K⁹⁶⁸>P, V⁹⁶⁹>P), trímero, producido en células de insectos *Spodoptera frugiperda* (Sf9), forma glicosilada alfa

agente inmunológico para inmunización activa (anti-SARS-CoV-2)

2918783-99-

Monomer sequence / Séquence du monomère / Secuencia del monómero			
QCVNLITRQ	SYTNSFTRGV	YYPDKVFRSS	VLHSTQDLFL PFFSNVTWFH 50
AISGNTGTR	FDNPVLPFD	GVYFASTEKS	NIIRGWIFGT TLDSKTQSL 100
IVNNATNVVI	KVCEFCFCND	PFLDVYYHKN	NKSWMESEFR VYSSANNCTF 150
EYVSQPFMD	LEGKQGNFKN	LREFFVKNID	GYFKIYSKHT PINLGRDLPQ 200
GFSALEPLVD	LPIGINITRF	QTLALHRSY	LTPGDSGSSGW TAGAAAYYG 250
YLQPRTFLLK	YNENGTITDA	VDCALDPLSE	TKCTLKSFTV EKGIIYQTSNF 300
RVQPTESIVR	FPNITNLCPF	DEVFNATRFA	SVYAWNRRKI SNCVADYSVL 350
YNFAFFFAFK	CYGVSPTKLN	DLCFNTVYAD	SFVIRGNEVS QIAPGQTGNI 400
ADYNYKLPDD	FTGCVIAWNS	NKLDSKVGGN	YNYRYRLFRK SNLKPFERDI 450
STEIYQAGNK	PCNGVAGVNC	YFPLQSYGFR	PTYGVGHQPY RVVVLFSFELL 500
HAPATVCGPK	KSTNLVKNKC	VNFNFNLGTG	TGVLTESNKK FLFPQQFGRD 550
IADTTDAVRD	PQTLIILDIT	PCSEGGVSVI	TPGTNTSNQV AVLYQGVNCT 600
EVPVAIHADQ	LTPTRVYST	GSNVFQTRAG	CLIGAEYVNN SYECDIPIGA 650
GICASYQQT	KSHQAGSVA	SQSI IAYTMS	LGAENSVAYS NNSIAIPTNF 700
TISVTEILP	VSMTRKTSVDC	TMYICGDSTE	CSNLLLQYGS FCTQLKRALT 750
GIAVEQDKNT	QEVFAQVKQI	YKTPPIKYFG	GFNFSQILPD PSKPSKRSFI 800
EDLLFNKVTL	ADAGFIKQYG	DCLGDI AARD	LICAQKFNGL TVLPLLLTDE 850
MIAQYTSALL	AGTITSWGTF	GAGAALQIPF	AMQMAYRFNG IGVTQNVLYE 900
NQKLIANQFN	SAIGKIQDSL	SSTASALGKL	QDVVNHNAQA LNTLVKQLSS 950
KFGAIISSVLN	DILSRLEPE	AEVQIDRLIT	GRLQSLQTYV TQQLIRAAEI 1000
RASANLAATK	MSECVLGQSK	RVDFCGKGYH	LMSFPPQSAPH GVVFLHVTVY 1050
PAQEKNFTTA	PAICHDGKAH	FPREGVFSN	GTHWFVTQRN FYEPIITTD 1100
NTFVSGNCDV	VIGIVNNTVY	DPLQPELDSF	KEELDKYFKN HTSPVDLGD 1150
ISGINASVVN	IQKEIDRLNE	VAKNLNESLI	DLQELGKYEQ YIKWPWYIWL 1200
GFIAGLIAIV	MVTIMLCCMT	SCCSCLKGCC	SCGSCCKFDE DDEPVLKGV 1250
KLHYT			1255

Mutation / Mutation / Mutación
 $R^{664} > Q, R^{665} > Q, R^{667} > Q, K^{968} > P, V^{969} > P$

Post-translational modifications

Disulfide location / Position des ponts disulfure / Posiciones de los puentes disulfuro
 Intra-chain: 2-118, 113-148, 273-283, 318-343, 361-414, 373-507, 462-470, 520-572, 599-631, 644-653, 720-742, 725-731, 822-833, 1014-1025, 1064-1108

N-glycosylation sites / Sites de N-glycosylation / Posiciones de N-glicosilación
 N45, N56, N104, N131, N147, N216, N264, N313, N325, N585, N598, N639, N691, N699, N783, N1056, N1080, N1116, N1140, N1155, N1176

O-glycosylation sites / Sites de O-glycosylation / Posiciones de O-glicosilación
 O-glycosylation is experimentally confirmed with uncertainty on precise Ser and Thr glycosylated residues

vinteso meranum #
 vinteso meran

messenger RNA (mRNA), 5'-capped, encoding a full-length, codon-optimised pre-fusion stabilised conformation variant (K982P and V983P) of the SARS-CoV-2 (severe acute respiratory syndrome coronavirus 2) spike (S) glycoprotein (Omicron variant XBB.1.16; based upon GISAID: EPI_ISL_16835403) further optimized by two additional stop codons, flanked by an artificial 5' untranslated region (UTR) and a 3' UTR derived from the human alpha globin gene (HBA1) modified to contain an identification and ratio (IDR) sequence to enable identification and relative ratio determination of individual RNA components in a multivalent mRNA vaccine, and terminated by a 3' polyadenylation (polyA) tail; contains N¹-methylpseudouridine instead of uridine (*all-U*>*m*¹Ψ).
immunological agent for active immunization (anti-SARS-CoV-2)

vintésoméran	ARN messenger (ARNm), protégé d'une coiffe en 5', codant la séquence entière aux codons optimisés d'un variant de conformation stabilisée avant fusion (K982P et V983P) de la glycoprotéine de spicule (S) du SARS-CoV-2 (coronavirus 2 du syndrome respiratoire aigu sévère) (variant Omicron XBB.1.16; d'après GISAID: EPI_ISL_16835403) dont l'optimisation a été renforcée par l'addition de deux codons stop supplémentaires, flanquée d'une région non traduite (UTR) artificielle en 5' et d'une UTR en 3' dérivée du gène de l'alpha-globine humaine (HBA1) modifiée pour contenir une séquence d'identification et de ratio (IDR) afin de permettre l'identification et la détermination du ratio relatif de chaque composant d'ARN dans un vaccin ARNm multivalent, et terminée par une queue polyadénylation (polyA) en 3'; contient de la N ¹ -méthylpseudouridine en lieu de l'uridine (<i>tout-U>m¹ψ</i>). <i>agent immunologique pour immunisation active (anti-SARS-CoV-2)</i>
vintesomerán	ARN mensajero (ARNm), protegido en 5', que codifica, para la secuencia completa con codones optimizados, de una variante (K982P y V983P) estabilizada en la conformación pre-fusión de la glicoproteína de la espícula (S) del SARS-Cov-2 (coronavirus 2 del síndrome respiratorio agudo severo) (variante XBB.1.16 de Omicron; basado en GISAID: EPI_ISL_16835403), optimizada mediante dos codones de terminación adicionales, flanqueado por una región artificial no traducida (UTR) en 5' y una 3' UTR derivada del gen de la alfa globina humana (HBA1), modificada para que contenga una secuencia de identificación y ratio (IDR) para permitir la identificación y la determinación del ratio relativo de los componentes individuales de ARN en una vacuna de ARNm multivalente, y terminado por una cola poliadenilación (poliA) en 3'; contiene N ¹ -metilpseudouridina en lugar de uridina (<i>todo->m¹ψ</i>). <i>agente inmunológico para inmunización activa (anti-SARS-CoV-2)</i>

2923391-66-4

- # Electronic structure available on MedNet: <https://extranet.who.int/soinn/>
 # Structure électronique disponible sur MedNet: <https://extranet.who.int/soinn/>
 # Estructura electrónica disponible en MedNet: <https://extranet.who.int/soinn/>

Please note that due to exceptional pandemic circumstances, this Proposed INN List is open for public consultation for a period of two weeks only (instead of four months) and the publication date to be retained is the date of web publication on the WHO INN website. The procedure "INN for Variant COVID-19 Vaccine Active Substances" can be found at <https://www.who.int/publications/i/item/inn-21-520>.

Veillez noter qu'en raison de circonstances pandémiques exceptionnelles, cette Liste de DCI Proposées est ouverte à la consultation publique pour une période de deux semaines seulement (au lieu de quatre mois) et la date de publication à retenir est la date de publication sur le site Internet du Programme des DCI de l'OMS. La procédure "INN for Variant COVID-19 Vaccine Active Substances" peut être trouvée à <https://www.who.int/publications/i/item/inn-21-520>.

Tenga en cuenta que debido a circunstancias excepcionales de la pandemia, esta Lista de DCI Propuestas está abierta a la consulta pública durante un período de sólo dos semanas (en lugar de cuatro meses) y la fecha de publicación que debe conservarse es la fecha de publicación en el sitio web del Programa de las DCI de la OMS. Se puede encontrar la procedura "INN for Variant COVID-19 Vaccine Active Substances" en nuestro sitio web <https://www.who.int/publications/i/item/inn-21-520>.

Proposed International Nonproprietary Names: List 129 – COVID-19 (special edition – ADDENDUM 1)

Comments on, or formal objections to, the proposed names may be forwarded by any person to the INN Programme of the World Health Organization within four months of the date of their publication in *WHO Drug Information*, i.e., for **List 129 – COVID-19 (special edition – ADDENDUM 1)**

Proposed INN not later than 3 December 2023. Publication date: 04.08.2023

Dénominations communes internationales proposées: Liste 129 – COVID-19 (édition spéciale – ADDENDUM 1)

Des observations ou des objections formelles à l'égard des dénominations proposées peuvent être adressées par toute personne au Programme des Dénominations communes internationales de l'Organisation mondiale de la Santé dans un délai de quatre mois à compter de la date de leur publication dans *WHO Drug Information*, c'est à dire pour la **Liste 129 – COVID-19 (édition spéciale – ADDENDUM 1) de DCI Proposées le 3 décembre 2023 au plus tard.**

Date de publication: 04.08.2023

Denominaciones Comunes Internacionales Propuestas: Lista 129 – COVID-19 (edición especial – ADDENDUM 1)

Cualquier persona puede dirigir observaciones u objeciones respecto de las denominaciones propuestas, al Programa de Denominaciones Comunes Internacionales de la Organización Mundial de la Salud, en un plazo de cuatro meses, contados desde la fecha de su publicación en *WHO Drug Information*, es decir, para la **Lista 129 – COVID-19 (edición especial – ADDENDUM 1) de DCI Propuestas el 3 de Diciembre de 2023 a más tardar.**

Fecha de publicación: 04.08.2023

<i>Proposed INN (Latin, English, French, Spanish)</i>	<i>Chemical name or description: Action and use: Molecular formula, Chemical Abstracts Service (CAS) registry number: Graphic formula</i>
<i>DCI Proposée</i>	<i>Nom chimique ou description: Propriétés et indications: Formule brute: Numéro dans le registre du CAS: Formule développée</i>
<i>DCI Propuesta</i>	<i>Nombre químico o descripción: Acción y uso: Fórmula molecular: Número de registro del CAS: Fórmula desarrollada</i>

atilotrelvirum

atilotrelvir

(1R,4S,6S)-N-((1S)-1-cyano-2-[(3S)-2-oxopyrrolidin-3-yl]ethyl)-5-[(2S)-3,3-dimethyl-2-(2,2,2-trifluoroacetamido)butanoyl]-5-azaspiro[bicyclo[2.2.1]heptane-2,1'-cyclopropane]-6-carboxamide
antiviral

atilotrelvir

(1R,4S,6S)-N-((1S)-1-cyano-2-[(3S)-2-oxopyrrolidin-3-yl]éthyl)-5-[(2S)-3,3-diméthyl-2-(2,2,2-trifluoroacétamido)butanoyl]-5-azaspiro[bicyclo[2.2.1]heptane-2,1'-cyclopropane]-6-carboxamide
antiviral

Proposed INN: List 129

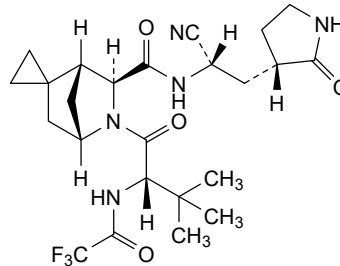
atilotelvir

WHO Drug Information, Vol. 37, No. 2, 2023

(1*R*,4*S*,6*S*)-*N*-{(1*S*)-1-ciano-2-[(3*S*)-2-oxopirrolidin-3-
il]etil}-5-[(2*S*)-3,3-diméthil-2-(2,2,2-
trifluoroacétamido)butanoil]-5-
azaespiro[biciclo[2.2.1]heptano-2,1'-ciclopropano]-6-
carboxamida
antiviral

C₂₄H₃₂F₃N₅O₄

2850365-55-6



canvirceptum #

canvircept

human angiotensin-converting enzyme 2 (ACE2, angiotensin-converting enzyme homolog, ACEH, ACE-related carboxypeptidase, metalloprotease MPROT15, EC: 3.4.17.23) soluble extracellular domain fragment (3-598, 1-596 in the current sequence), enzymatically inactive variant (H³⁵⁷>N³⁵⁵, H³⁶¹>N³⁵⁹), fused to human immunoglobulin G1 Fc fragment (h-CH2-CH3-CHS domains [*Homo sapiens* IGHG1*01 (hinge C⁶⁰¹>S (597-611), CH2 (612-721), CH3 P⁸²⁶>T (722-826), CHS (827-828))]), fused to human immunoglobulin M (IgM) C-terminal tail fragment (829-846), covalent pentamer of dimers, produced in Chinese hamster ovary (CHO) cells, glycoform alfa
angiotensin-converting enzyme 2 based decoy receptor, antiviral

canvircept

enzyme de conversion de l'angiotensine 2 humaine (ACE2, homologue de l'enzyme de conversion de l'angiotensine, ACEH, carboxypeptidase liée à l'ACE, métalloprotéase MPROT15, EC: 3.4.17. 23) fragment du domaine extracellulaire soluble (3-598, 1-596 dans la séquence actuelle), variant inactif sur le plan enzymatique (H³⁵⁷>N³⁵⁵, H³⁶¹>N³⁵⁹), fusionné au variant (C⁶⁰¹>S, P⁸²⁶>T) du fragment Fc de l'immunoglobuline G1 humaine (h-CH2-CH3-CHS domaines [*Homo sapiens* IGHG1*01 (charnière C⁶⁰¹>S (597-611), CH2 (612-721), CH3 P⁸²⁶>T (722-826), CHS (827-828))]), fusionné à un fragment de la queue en C-terminal de l'immunoglobuline M humaine (829-846), pentamère covalent de dimères, produit dans des cellules ovariennes de hamster chinois (CHO), glycoforme alfa
récepteur leurre basé sur l'enzyme de conversion de l'angiotensine 2, antiviral

canvircept

enzima convertidora de la angiotensina 2 humana (ACE2, homólogo de la enzima convertidora de la angiotensina, ACEH, carboxipeptidasa relacionada con ACE, metaloproteasa MPROT15, EC: 3.4.17.23) fragmento del dominio soluble extracelular (3-598, 1-596 en la secuencia actual), variante inactiva enzimáticamente (H³⁵⁷>N³⁵⁵, H³⁶¹>N³⁵⁹), fusionada al fragmento Fc de la inmunoglobulina G1 humana (h-CH2-CH3-CHS domains [*Homo sapiens* IGHG1*01 (bisagra C⁶⁰¹>S (597-611), CH2 (612-721), CH3 P⁸²⁶>T (722-826), CHS (827-828))]), variante (C⁶⁰¹>S, P⁸²⁶>T) fusionada al fragmento de cubierta C-terminal de la inmunoglobulina M human, pentámero covalente de dímeros, producido en células ováricas de hámster Chino (CHO), forma glicosilada alfa
receptor señuelo basado en la enzima convertidora de angiotensina 2, antiviral

2833647-10-0

Monomer sequence / Séquence du monomère / Secuencia del monómero

TIEEQAKTFL DKFNHEAEDL FYQSSLASWN YNTNITEENV QMNNAGDKW	50
SAFLKEQSTL AQMYPLQEIQ NLTVKLQLQA LQQNGSSVLS EDKSKRLNTI	100
LNTMSTIYST GKVCNPDNPQ ECLLLEPGLN EIMANSLDYN ERLWAMESWR	150
SEVGGQLRPL YEEYVVLKNE MARANHYEDY GDYWRGDYEV NGVDGYDYSR	200
GQLIEDVEHT FEEIKPLYEH LHAYVRAKLM NAYPSYISPI GCLPAHLLGD	250
MWGRFWTNLY SLTVPPGQKP NIDVTDAMVD QAWDAQIRFK EAEKFFVSVG	300
LPNMTQGFWE NSMLTDPGNV QKAVCHPTAW DLGKGDFRIL MCTKVMTDDF	350
LTAHNEMGNI QYDMAAQAQ FLLRNGANEG FHEAVGEIMS LSAATFKHLK	400
SIGLLSPDFQ EDNETEINFL LKQALTI VGT LPFTYMLEKW RRMVFKGEIP	450
KDQWMMKWE MKREIVGVVE VVPHDETYCD PASLFHVSND YSFIRYTRT	500
LYQFQFEAL CQAAKHEGPEL HKCDISNSTE AGQKLFNMLR LKSEPWTLA	550
LENVVGAKNM NVRPLLNYFE FLFTWLKQDN KNSFVWGSTD WSPYADPES	600
SDKTHTCFPC PAPELLGGPS VFLFPFKPKD TLMISRTFV TCVVVDVSH	650
DPEVKFNWY DGVEVHNKAT KPREEQYNST YRVVSVLTVL HQDWLNGKEY	700
KCVSNKALP APIERTISKA KGQPREPQVY TLPSPRDEL TKNQVSLTCLV	750
KGFYPSDIIV EWESNGQFEN NYKTTFPVLD SDGSFFLYSK LTVDKSRWQQ	800
GNVFSCSVME EALHNHYTQK SLSLSTGKPT LYNVSLVMSD TAGTCY	846

Mutation / Mutation / Mutación

¹Q^{S2}>del, H³⁵⁷>N³⁵⁵, H³⁶¹>N³⁵⁹, C⁶⁰¹>S, P⁸²⁶>T

Post-translational modifications

Disulfide location / Position des ponts disulfure / Posiciones de los puentes disulfuro

Intra-chain in each of the 10 ACE2 monomers: 114-122, 325-342, 511-523, 642-702, 748-806

Intra-chain within each of the five Fc dimers: 607-607, 607'-607', 610-610, 610'-610'

Inter-chain among the five IgM tail dimers: 845^m-845^m (1 ≤ m ≤ 5; 1 ≤ n ≤ 5; m ≠ n)

N-glycosylation sites / Sites de N-glycosylation / Posiciones de N-glicosilación

N34, N71, N84, N303, N413, N527, N678, N833 (in all 10 subunits of the pentamer of dimers)

Deamidation sites / Sites de désamidation / Posiciones de desamidación

98, 169, 175, 191, 375, 667, 696, 742, 765, 815 (in all 10 subunits of the pentamer of dimers)

deunirmatrelvirum

deunirmatrelvir

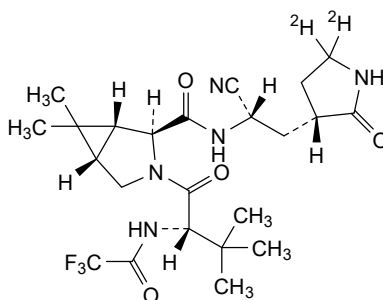
(1R,2S,5S)-N-((1S)-1-cyano-2-((3S)-2-oxo(5,5-²H₂)pyrrolidin-3-yl)ethyl)-3-((2S)-3,3-dimethyl-2-(2,2,2-trifluoroacetamido)butanoyl)-6,6-dimethyl-3-azabicyclo[3.1.0]hexane-2-carboxamide
antiviral

deunirmatrelvir

(1R,2S,5S)-N-((1S)-1-cyano-2-((3S)-2-oxo(5,5-²H₂)pyrrolidin-3-yl)éthyl)-3-((2S)-3,3-diméthyl-2-(2,2,2-trifluoroacétamido)butanoyl)-6,6-diméthyl-3-azabicyclo[3.1.0]hexane-2-carboxamide
antiviral

deunirmatrelvir

(1R,2S,5S)-N-((1S)-1-ciano-2-((3S)-2-oxo(5,5-²H₂)pirrolidin-3-il)etil)-3-((2S)-3,3-dimetil-2-(2,2,2-trifluoroacetamido)butanoil)-6,6-dimetil-3-azabicyclo[3.1.0]hexano-2-carboxamida
antiviral

**ibuzatrelvirum**

ibuzatrelvir

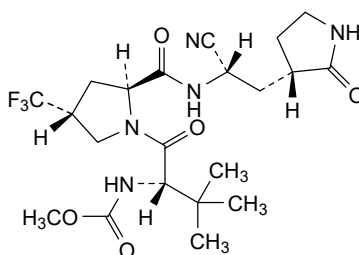
methyl {(2S)-1-[(2S,4R)-2-(((1S)-1-cyano-2-[(3S)-2-oxopyrrolidin-3-yl]éthyl)carbamoyl)-4-(trifluorométhyl)pyrrolidin-1-yl]-3,3-diméthyl-1-oxobutan-2-yl}carbamate
antiviral

ibuzatrelvir

{{(2S)-1-[(2S,4R)-2-(((1S)-1-cyano-2-[(3S)-2-oxopyrrolidin-3-yl]éthyl)carbamoyl)-4-(trifluorométhyl)pyrrolidin-1-yl]-3,3-diméthyl-1-oxobutan-2-yl}carbamate de méthyle
antiviral

ibuzatrelvir

{{(2S)-1-[(2S,4R)-2-(((1S)-1-ciano-2-[(3S)-2-oxopirrolidin-3-il]etil)carbamoiil)-4-(trifluorometil)pirrolidin-1-il]-3,3-dimetil-1-oxobutan-2-il}carbamato de metilo
antiviral

**olgotrelvirum**

olgotrelvir

(1*RS*,2*S*)-1-hydroxy-2-[(2*S*)-2-(1*H*-indole-2-carboxamido)-4-méthylpentanamido]-3-[(3*S*)-2-oxopyrrolidin-3-yl]propane-1-sulfonic acid
antiviral

olgotrelvir

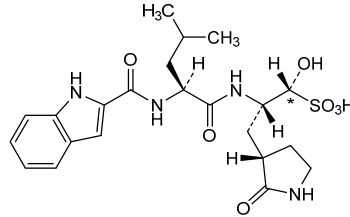
acide (1*RS*,2*S*)-1-hydroxy-2-[(2*S*)-2-(1*H*-indole-2-carboxamido)-4-méthylpentanamido]-3-[(3*S*)-2-oxopyrrolidin-3-yl]propane-1-sulfonique
antiviral

olgotrelvir

ácido (2S)-1-hidroxi-2-[(2S)-2-(1H-indol-2-carboxamido)-4-metilpentanamido]-3-[(3S)-2-oxopirrolidin-3-il]propano-1-sulfónico
antiviral

C₂₂H₃₀N₄O₇S

2763596-71-8



and epimer at C*
et l'épimère en C*
y el epímero en C*

pemivibartum #
pemivibart

immunoglobulin G1-lambda2, anti-[severe acute respiratory syndrome coronavirus 2 (SARS-CoV-2) spike (S) protein, receptor binding domain (RBD)], *Homo sapiens* monoclonal antibody;
gamma1 heavy chain *Homo sapiens* (1-454) [VH (*Homo sapiens* IGHV3-21*07 (88.8%) -(IGHD) -IGHJ4*01 (92.9%), CDR-IMGT [8.8.17] (26-33.51-58.97-113)) (1-124) -*Homo sapiens* IGHG1*03, G1m3, nG1m1 CH1 R120, CH3 E12, M14, G1v78 L107, A114 (CH1 R120 (221) (125-222), hinge 1-15 (223-237), CH2 (238-347), CH3 E12 (363), M14 (365), M107>L (435), N114>A (441) (348-452), CHS (453-454)) (125-454)], (227-217')-disulfide with lambda2 light chain *Homo sapiens* (1'-218') [V-LAMBDA (*Homo sapiens* IGLV1-40*01 (95.9%) -IGLJ1*01 (91.7%), CDR-IMGT [9.3.12] (26'-34'.52'-54'.91'-102')) (1'-112') -*Homo sapiens* IGLC2*01 (100%) (113'-218')]; dimer (233-233''':236-236'')-bisdisulfide, produced in Chinese hamster ovary (CHO) cells, cell line CHO-K1, glycoform alfa
antiviral

pémivibart

immunoglobuline G1-lambda2, anti-[domaine de liaison au récepteur (RBD) de la glycoprotéine spike (S) du coronavirus 2 du syndrome respiratoire aigu sévère (SARS-CoV-2)], anticorps monoclonal *Homo sapiens*; chaîne lourde gamma1 *Homo sapiens* (1-454) [VH (*Homo sapiens* IGHV3-21*07 (88.8%) -(IGHD) -IGHJ4*01 (92.9%), CDR-IMGT [8.8.17] (26-33.51-58.97-113)) (1-124) -*Homo sapiens* IGHG1*03, G1m3, nG1m1 CH1 R120, CH3 E12, M14, G1v78 L107, A114 (CH1 R120 (221) (125-222), charnière 1-15 (223-237), CH2 (238-347), CH3 E12 (363), M14 (365), M107>L (435), N114>A (441) (348-452), CHS (453-454)) (125-454)], (227-217')-disulfure avec la chaîne légère lambda2 *Homo sapiens* (1'-218') [V-LAMBDA (*Homo sapiens* IGLV1-40*01 (95.9%) -IGLJ1*01 (91.7%), CDR-IMGT [9.3.12] (26'-34'.52'-54'.91'-102')) (1'-112') -*Homo sapiens* IGLC2*01 (100%) (113'-218')]; dimère (233-233''':236-236'')-bisdisulfure, produit dans des cellules ovariennes de hamster chinois (CHO), lignée cellulaire CHO-K1, glycoforme alfa
antiviral

pemivibart

inmunoglobulina G1-lambda2, anti-[dominio de unión al receptor (RBD) de la glicoproteína de espícula (S) del coronavirus 2 del síndrome respiratorio agudo severo (SARS-CoV-2)], anticuerpo monoclonal *Homo sapiens*; cadena pesada gamma1 *Homo sapiens* (1-454) [VH (*Homo sapiens* IGHV3-21*07 (88.8%) -(IGHD) -IGHJ4*01 (92.9%), CDR-IMGT [8.8.17] (26-33.51-58.97-113)) (1-124) -*Homo sapiens* IGHG1*03, G1m3, nG1m1 CH1 R120, CH3 E12, M14, G1v78 L107, A114 (CH1 R120 (221) (125-222), bisagra 1-15 (223-237), CH2 (238-347), CH3 E12 (363), M14 (365), M107>L (435), N114>A (441) (348-452), CHS (453-454) (125-454)], (227-217')-disulfuro con la cadena ligera lambda2 *Homo sapiens* (1'-218') [V-LAMBDA (*Homo sapiens* IGLV1-40*01 (95.9%) -IGLJ1*01 (91.7%), CDR-IMGT [9.3.12] (26'-34'.52'-54'.91'-102'')] (1'-112') -*Homo sapiens* IGLC2*01 (100%) (113'-218'')]; dímero (233-233":236-236")-bisdisulfuro, producido en las células ováricas de hámster chino (CHO), línea celular CHO-K1, forma glicosilada alfa *antiviral*

2858673-18-2

Heavy chain / Chaîne lourde / Cadena pesada

EVQLVESGGG	LVKPGGSLRL	SCAASGFTFG	SYEMNWRQA	PGKLEWVSS	50
ISEDGYSTYY	PDSLKGRFTI	SRDSAKNSLY	LQMNSLRADD	TAVYYCARDF	100
GGDTAWAGTG	FTYWQQGTLV	TVSSASTKGP	SVFPLAPSSK	STSGGTAALG	150
CLVKDYFPEP	VTVSWNSGAL	TSGVHTFPAV	LQSSGLYSLS	SVVTVFSSSL	200
GTQTYICNVN	HKFSNTRKVDK	RVEPKSCDKT	HTCPPCPAPE	LLGGPSVFLF	250
PPKPKDTLMI	SRTPEVTCVV	VDVSHEDPEV	KFNWYVDGVE	VHNAKTKPRE	300
EQYNSTYRVV	SVLTVLHQDW	LNGKEYKCKV	SNKALPAPIE	KTISKAKGQP	350
REQQVYTLPP	SREEMTKNQV	SLTCLVKGFY	PSDIAVEWES	NGQPENNYKT	400
TPPVLDSDGS	FFLYSKLTVD	KSRWQQGNVF	SCSVLHEALH	AHYTQKSLSL	450
SPFK					454

Light chain / Chaîne légère / Cadena ligera

QSVLTQPPSV	SGAPGQRITI	CTGSSSNIG	AGYDVHWYQQ	LPGTAPAKLLI	50
YGSSSRNSGV	PDRFSGSKSG	TSASLAITGL	QAEDEADYYC	QSYDSSLVSL	100
YTFGTGTKVT	VLGQPKAAPS	VTLFPPSSEE	LQANKATLVC	LISDFYFGAV	150
TVANKADSP	VKAGVETTFP	SKQSNKYAA	SSYLSLTPEQ	MKSHRSYSCQ	200
VTHEGSTVEK	TVAPTECS				218

Post-translational modifications

Disulfide bridges location / Position des ponts disulfure / Posiciones de los puentes disulfuro

Intra-H (C23-C104)	22°-96°	151°-207°	268°-328°	374°-432°
	22°-96°	151°-207°	268°-328°	374°-432°

Intra-L (C23-C104)	22°-90°	140°-199°
	22°-90°	140°-199°

Inter-H-L (h 5-CL 126) 227°-217° 227°-217°

Inter-H-H (h 11, h 14) 233°-233° 236°-236°

N-terminal glutaminyl cyclization / Cyclisation du glutaminyle N-terminal / Ciclación del glutamínilo N-terminal

Q > pyroglutamyl (pE, 5-oxoprolil) / pyroglutamyle (pE, 5-oxoprolyle) / piroglutamilo (pE, 5-oxoprolilo)

L VL V-LAMBDA Q1: 1', 1''

N-glycosylation sites / Sites de N-glycosylation / Posiciones de N-glicosilación

H CH2 N84.4: 304, 304''

Fucosylated complex bi-antennary CHO-type glycans / glycanes de type CHO bi-antennaires complexes fucosylés / glicanos de tipo CHO biantenarios complejos fucosilados

C-terminal lysine clipping / Coupeure de la lysine C-terminale / Recorte de lisina C-terminal

H CHS K2: 454, 454''

rovunaptabinum

rovunaptabin

2'-deoxyguanylyl-(3'→5')-2'-deoxyguanylyl-(3'→5')-thymidylyl-(3'→5')-thymidylyl-(3'→5')-2'-deoxyguanylyl-(3'→5')-2'-deoxyguanylyl-(3'→5')-thymidylyl-(3'→5')-2'-deoxyguanylyl-(3'→5')-thymidylyl-(3'→5')-2'-deoxyguanylyl-(3'→5')-2'-deoxyguanylyl-(3'→5')-thymidylyl-(3'→5')-2'-deoxyguanylyl-(3'→5')-2'-deoxyguanosine
immunomodulator, β1-adrenoreceptor-autoantibodies neutralizing aptamer

rovunaptabine	2'-désoxyguanylyl-(3'→5')-2'-désoxyguanylyl-(3'→5')-thymidylyl-(3'→5')-thymidylyl-(3'→5')-2'-désoxyguanylyl-(3'→5')-2'-désoxyguanylyl-(3'→5')-thymidylyl-(3'→5')-2'-désoxyguanylyl-(3'→5')-2'-désoxyguanosine <i>immunomodulateur, aptmère neutralisant les autoanticorps antiadrénorecepteurs β1</i>
rovunaptabina	2'-desoxiguanilil-(3'→5')-2'-desoxiguanilil-(3'→5')-timidilil-(3'→5')-timidilil-(3'→5')-2'-desoxiguanilil-(3'→5')-2'-desoxiguanilil-(3'→5')-timidilil-(3'→5')-2'-desoxiguanilil-(3'→5')-2'-desoxiguanilil-(3'→5')-timidilil-(3'→5')-timidilil-(3'→5')-2'-desoxiguanosina <i>immunomodulador, aptámero neutralizante los autoanticuerpos antiadrenoreceptores β1</i>
	C ₁₅₀ H ₁₈₇ N ₅₇ O ₉₄ P ₁₄ 145563-68-4
	(3'-5')d(G-G-T-T-G-G-T-G-T-G-G-T-T-G-G)
	N : nucleoside / nucléoside / nucleósido dN : 2'-deoxy-N / 2'-désoxy-N / 2'-desoxi-N
talovirtidum talovirtide	L-valyl-L-α-aspartyl-L-leucylglycyl-L-α-aspartyl-L-isoleucyl-L-serylglycyl-L-isoleucyl-L-asparaginyll-L-alanyl-L-seryl-L-valyl-L-valyl-L-asparaginyll-L-isoleucyl-L-glutaminyll-L-lysyl-L-α-glutamyl-L-isoleucyl-L-α-aspartyl-L-arginyl-L-leucyl-L-asparaginyll-L-α-glutamyl-L-valyl-L-alanyl-L-lysyl-L-asparaginyll-L-leucyl-L-asparaginyll-L-α-glutamyl-L-seryl-L-leucyl-L-isoleucyl-L-α-aspartyl-L-leucyl-L-glutaminyll-L-α-glutamyl-L-leucylglycyl-L-serylglycyl-L-serylglycyl-S-{1-[(cholest-5-en-3β-yl)oxy]-1,16-dioxo-3,6,9,12-tetraoxa-15-azaheptadecan-17-yl}-L-cysteinamide <i>antiviral</i>
talovirtide	L-valyl-L-α-aspartyl-L-leucylglycyl-L-α-aspartyl-L-isoleucyl-L-sérylgylycyl-L-isoleucyl-L-asparaginyll-L-alanyl-L-séryl-L-valyl-L-valyl-L-asparaginyll-L-isoleucyl-L-glutaminyll-L-lysyl-L-α-glutamyl-L-isoleucyl-L-α-aspartyl-L-arginyl-L-leucyl-L-asparaginyll-L-α-glutamyl-L-valyl-L-alanyl-L-lysyl-L-asparaginyll-L-leucyl-L-asparaginyll-L-α-glutamyl-L-séryl-L-leucyl-L-isoleucyl-L-α-aspartyl-L-leucyl-L-glutaminyll-L-α-glutamyl-L-leucylglycyl-L-sérylgylycyl-L-sérylgylycyl-S-{1-[(cholest-5-én-3β-yl)oxy]-1,16-dioxo-3,6,9,12-tétraoxa-15-azaheptadécan-17-yl}-L-cystéinamide <i>antiviral</i>
talovirtida	L-valil-L-α-aspartil-L-leucilglycil-L-α-aspartil-L-isoleucil-L-serilglycil-L-isoleucil-L-asparaginil-L-alanil-L-seril-L-valil-L-valil-L-asparaginil-L-isoleucil-L-glutaminil-L-lisil-L-α-glutamil-L-isoleucil-L-α-aspartil-L-arginil-L-leucil-L-asparaginil-L-α-glutamil-L-valil-L-alanil-L-lisil-L-asparaginil-L-leucil-L-asparaginil-L-α-glutamil-L-seril-L-leucil-L-isoleucil-L-α-aspartil-L-leucil-L-glutaminil-L-α-glutamil-L-leucilglycil-L-serilglycil-L-serilglycil-S-{1-[(colest-5-en-3β-il)oxi]-1,16-dioxo-3,6,9,12-tetraoxa-15-azaheptadecan-17-il}-L-cisteinamida <i>antiviral</i>

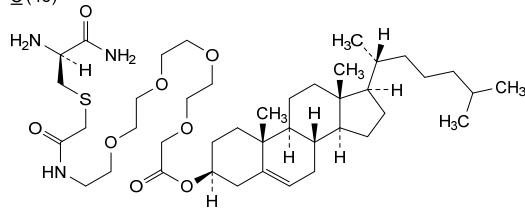
C₂₄₃H₄₁₀N₆₀O₈₁S

2868285-05-4

VDLGDISGIN ASVVNIQKEI DRLNEVAKNL NESLIDLQEL GSGSQ 46

Modified residues / Résidus modifiés / Restos modificados

C (46)



timcevibartum #
timcevibart

immunoglobulin G1-kappa, anti-[severe acute respiratory syndrome coronavirus 2 (SARS-CoV-2) spike (S) protein, receptor binding domain (RBD)], *Homo sapiens* monoclonal antibody;

gamma1 heavy chain *Homo sapiens* (1-445) [VH (*Homo sapiens* IGHV3-66*01 (96.9%) -(IGHD) -IGHJ3*02 (100%), CDR-IMGT [8.7.10] (26-33.51-57.96-105)) (1-116) -*Homo sapiens* IGHG1*01, G1m17,1 CH1 K120, CH3 D12, L14, G1v50-79 CH2 delE1.4, P1.3, V1.2, A1.A, G27, Q110, S115 (CH1 K120 (213) (117-214), hinge 1-15 (215-229), CH2 E1.4>del, L1.3>P (232), L1.2>V (233), G1.1>A (234), D27>G (263), A110>Q (325), A115>S (328) (230-338), CH3 D12 (354), L14 (356) (339-443), CHS (444-445)) (117-445)], (219-215')-disulfide with kappa light chain *Homo sapiens* (1'-215') [V-KAPPA (*Homo sapiens* IGKV1-9*01 (97.9%) -IGKJ3*01 (100%), CDR-IMGT [6.3.10] (27'-32'.50'-52'.89'-98'') (1'-108') -*Homo sapiens* IGKC*01 (100%), Km3, A45.1 (154'), V101 (192') (109'-215')]; dimer (225-225":228-228")-bisdisulfide, produced in Chinese hamster ovary (CHO) cells, derived from the cell line CHO-K1, glycoform alfa
antiviral

timcévibart

immunoglobuline G1-kappa, anti-[domaine de liaison au récepteur (RBD) de la glycoprotéine spike (S) du coronavirus 2 du syndrome respiratoire aigu sévère (SARS-CoV-2)], anticorps monoclonal *Homo sapiens*; chaîne lourde gamma1 *Homo sapiens* (1-445) [VH (*Homo sapiens* IGHV3-66*01 (96.9%) -(IGHD) -IGHJ3*02 (100%), CDR-IMGT [8.7.10] (26-33.51-57.96-105)) (1-116) -*Homo sapiens* IGHG1*01, G1m17,1 CH1 K120, CH3 D12, L14, G1v50-79 CH2 delE1.4, P1.3, V1.2, A1.1, G27, Q110, S115 (CH1 K120 (213) (117-214), charnière 1-15 (215-229), CH2 E1.4>del, L1.3>P (232), L1.2>V (233), G1.1>A (234), D27>G (263), A110>Q (325), A115>S (328) (230-338), CH3 D12 (354), L14 (356) (339-443), CHS (444-445)) (117-445)], (219-215')-disulfure avec la chaîne légère kappa *Homo sapiens* (1'-215') [V-KAPPA (*Homo sapiens* IGKV1-9*01 (97.9%) -IGKJ3*01 (100%), CDR-IMGT [6.3.10] (27'-32'.50'-52'.89'-98'') (1'-108') -*Homo sapiens* IGKC*01 (100%), Km3, A45.1 (154'), V101 (192') (109'-215')]; dimère (225-225":228-228")-bisdisulfure, produit dans des cellules ovariennes de hamster chinois (CHO), dérivant de la lignée cellulaire CHO-K1, glycoforme alfa
antiviral

timcevibart

inmunoglobulina G1-kappa, anti-[dominio de unión al receptor (RBD) de la glicoproteína de espícula (S) del coronavirus 2 del síndrome respiratorio agudo severo (SARS-CoV-2)], anticuerpo monoclonal *Homo sapiens*; cadena pesada gamma1 *Homo sapiens* (1-445) [VH (*Homo sapiens* IGHV3-66*01 (96.9%) -(IGHD) -IGHJ3*02 (100%), CDR-IMGT [8.7.10] (26-33.51-57.96-105))] (1-116) -*Homo sapiens* IGHG1*01, G1m17,1 CH1 K120, CH3 D12, L14, G1v50-79 CH2 delE1.4, P1.3, V1.2, A1.1, G27, Q110, S115 (CH1 K120 (213) (117-214), bisagra 1-15 (215-229), CH2 E1.4>del, L1.3>P (232), L1.2>V (233), G1.1>A (234), D27>G (263), A110>Q (325), A115>S (328) (230-338), CH3 D12 (354), L14 (356) (339-443), CHS (444-445)) (117-445)], (219-215')-disulfuro con la cadena ligera kappa *Homo sapiens* (1'-215') [V-KAPPA (*Homo sapiens* IGKV1-9*01 (97.9%) -IGKJ3*01 (100%), CDR-IMGT [6.3.10] (27'-32'.50'-52'.89'-98')) (1'-108') -*Homo sapiens* IGKC*01 (100%), Km3, A45.1 (154'), V101 (192') (109'-215')]; dímero (225-225''-228-228'')-bisdisulfuro, producido en las células ováricas de hámster chino (CHO), línea celular derivada de CHO-K1SV, forma glicosilada alfa
antiviral

2857862-27-0

Heavy chain / Chaîne lourde / Cadena pesada

```

QVQLVESGGG LVQPGGSLRL SCAASGLTVS SNYMSWVRQA PGKGLEWVSV 50
IYSGGSTIYA DSVKGRFTIS RDDSNTLYLQ QMNSLRAEDT AVYYCARDVA 100
DAFDIWGQGT MVTVSSASTK GPSVFLAPS SKSTSGGTAA LGCLVKDYFP 150
EPVTVSWNSG ALTSGVHTFP AVLQSSGLYS LSSVVTVPSS SLGTQTYICN 200
VNHKPSNTKV DKKVEPKSCD KHTCCPCPA PVVAGPSVFL FPPKPKDTLM 250
ISRTPEVTCV VVGVSHEDEPE VKFNWYVDGV EVHNAKTRPR EEQYNSTYRV 300
VSVLTVLHQD WLNKKEYKCK VSNKQLPSP EKTISKAKGQ PREPQVYTLF 350
PSRDELTKNQ VSLTCLVKG FYPDI AVEWE SNGQFENNYK TTPPVLDSDG 400
SFFLYSKLTV DKSRWQQGNV FSCSVMH EAL HNHYTQKSL S LSPGK 445

```

Light chain / Chaîne légère / Cadena ligera

```

DIVMTQSPSF LSASVGDRTV ITCRASQGIS SYLAWYQQKPK GKAPKLLIYA 50
ASTLQSGVPS FESGSGSGTE FTLTISSLQF EDFATYYCQQ LNSYPPTFG 100
PGTKVDIKRT VAAPSVFIFP PSDEQLKSGT ASVVCLLNNF YPREAKVQWK 150
VDNALQSGNS QESVTEQDSK DSTYLSSTL TLSKADYEKHK VYACEVTHQ 200
GLSSPVTKSF NRGEK 215

```

Post-translational modifications

Disulfide bridges location / Position des ponts disulfure / Posiciones de los puentes disulfuro

Intra-H (C23-C104) 22-95 143-199 259-319 365-423
22''-95'' 143''-199'' 259''-319'' 365''-423''

Intra-L (C23-C104) 23'-88' 135"-195"
23'''-88''' 135'''-195'''

Inter-H-L (h 5-CL 126) 219-215' 219''-215''
Inter-H-H (h 11, h 14) 225-225'' 228-228''

N-terminal glutaminyl cyclization / Cyclisation du glutaminyle N-terminal / Ciclación del glutaminilo N-terminal

Q > pyrroglutamyl (pE, 5-oxopropyl) / pyroglutamyle (pE, 5-oxopropyle) / piroglutamilo (pE, 5-oxopropilo)
H V H Q 1: 1, 1''

N-glycosylation sites / Sites de N-glycosylation / Posiciones de N-glicosilación
H CH2 N84.4: 295, 295''

Fucosylated complex bi-antennary CHO-type glycans / glycanes de type CHO bi-antennaires complexes fucosylés / glicanos de tipo CHO biantenarios complejos fucosilados

C-terminal lysine clipping / Coupure de la lysine C-terminale / Recorte de lisina C-terminal
H CHS K2: 443, 445''

tirfipiravirum
tirfipiravir

(4E)-2',3'-O-carbonyl-N⁴-hydroxycytidine 5'-(2-methylpropanoate)

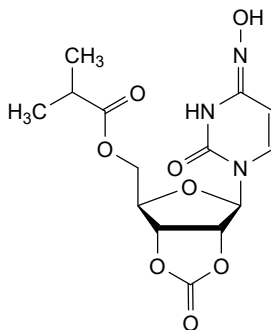
antiviral

tirfipiravir 5'-(2-méthylpropanoate) de (4 Ξ)-2',3'-O-carbonyl-*N*⁴-hydroxycytidine
antiviral

tirfipiravir 5'-(2-metilpropanoato) de (4 Ξ)-2',3'-O-carbonil-*N*⁴-hidroxicitidina
antiviral

C₁₄H₁₇N₃O₈

2759996-93-3



vecilmeranum #
vecilmeran

messenger RNA (mRNA), 5'-capped, encoding a codon-optimised receptor binding domain (RBD) of the severe acute respiratory syndrome coronavirus 2 (SARS-CoV-2) spike (S) glycoprotein (Omicron sub-lineages B.1.1.529.4 and B.1.1.529.5; also known as BA.4 and BA.5; based upon, GISAID: EPI_ISL_12431317) expressed as a fusion protein with a human immunoglobulin (Ig) ϵ -chain signal peptide, flanked by a 5' untranslated region (UTR) derived from *Xenopus laevis* β -globin gene (HBB) and a 3' UTR derived from the human α -globin gene (HBA1), and terminated by a 3' polyadenylation (polyA) tail
immunological agent for active immunization (anti-SARS-CoV-2)

vécilméran

ARN messenger (ARNm), protégé d'une coiffe en 5', codant un domaine de liaison au récepteur (RBD) aux codons optimisés de la glycoprotéine de spicule (S) du coronavirus 2 du syndrome respiratoire aigu sévère (SARS-CoV-2) (sous-lignées Omicron B.1.1.529.4 et B.1.1.529.5; également connu sous le nom de BA.4 et BA.5; d'après, GISAID: EPI_ISL_12431317) exprimée sous la forme d'une protéine de fusion avec un peptide signal de la chaîne ϵ d'une immunoglobuline (Ig) humaine, flanquée d'une région non traduite (UTR) en 5' dérivée du gène de la β -globine de *Xenopus laevis* (HBB) et d'une UTR en 3' dérivée du gène de l' α -globine humaine (HBA1), et terminée par une queue polyadénylation (polyA) en 3'
agent immunologique pour immunisation active (anti-SARS-CoV-2)

vecilmerán

ARN mensajero (ARNm), protegido en 5', que codifica, con codones optimizados, para el dominio de unión al receptor (RBD) de la glicoproteína de la espícula (S) del coronavirus 2 del síndrome respiratorio agudo severo (SARS-Cov-2) (sublinajes B.1.1.529.4 and B.1.1.529.5 de Omicron; también conocidos como BA.4 y BA.5; basado en GISAID: EPI_ISL_12431317), expresado como una proteína de fusión con el péptido señal de la cadena ϵ de

la inmunoglobulina (Ig) humana, flanqueado por una región 5' no traducida (UTR) derivada del gen de la β -globina (HBB) de *Xenopus laevis* y una 3' UTR derivada del gen de la α -globina (HBA1) humana y terminado con una cola poliadenilación (poliA)
agente inmunológico para inmunización activa (anti-SARS-CoV-2)

2854349-87-2

velucovacapum #

velucovacap

N-L-glycyl-split protein tag peptide (2-15) fused via the peptide linker ¹⁶GSGTAGGGSGS²⁶ to *Acinetobacter* phage AP205 coat protein fragment (Met¹>del, 2-131, 27-156 in the current sequence), produced in *Escherichia coli*, conjugated via isopeptide bond (formed by the reaction between N⁹ and K³² with associated loss of one amino group) to *N*-L-glycyl-catcher peptide fragment (2-114) derived from *Streptococcus dysgalactiae* fibronectin binding protein fused via peptide linker ¹¹⁵GSGS¹¹⁸ to severe acute respiratory syndrome coronavirus 2 (SARS-CoV-2) spike glycoprotein (S glycoprotein) receptor binding domain (RBD) fragment (GenBank ID: QIA20044.1; 306-578, 119-391 in the current sequence) fused via peptide linker ³⁹²GSGS³⁹⁵ to a ³⁹⁶EPEA³⁹⁹ C-terminal tag peptide, produced in *Drosophila melanogaster* S2 cells, glycoform alfa. The *Acinetobacter* phage AP205 coat protein-containing monomers self-assemble into a virus-like particle (VLP) consisting of 180 subunits of which approximately 61 surface exposed copies spontaneously conjugate with the RBD-containing recombinant fusion protein when mixed together
immunological agent for active immunization (anti-SARS-CoV2)

véluovacap

peptide *N*-L-glycyl-split servant de marquage protéique (2-15) fusionné via le peptide liant ¹⁶GSGTAGGGSGS²⁶ à un fragment de la protéine d'enveloppe d'*Acinetobacter* phage AP205 (Met¹>del, 2-131, 27-156 dans la séquence actuelle), produit chez *Escherichia coli*, conjugué par liaison isopeptidique (formée par la réaction entre N⁹ et K³² avec perte associée d'un groupe amine) à un fragment du peptide *N*-L-glycyl-catcher (2-114) dérivé de la protéine de liaison à la fibronectine de *Streptococcus dysgalactiae* fusionné via la liaison peptidique ¹¹⁵GSGS¹¹⁸ à un fragment de domaine de liaison au récepteur (RBD) de la glycoprotéine de spicule du coronavirus 2 du syndrome respiratoire aigu sévère (SARS-CoV-2) (identifiant GenBank: QIA20044.1; 306-578, 119-391 dans la séquence actuelle) fusionné via le peptide liant ³⁹²GSGS³⁹⁵ à un peptide de marquage en C-terminal ³⁹⁶EPEA³⁹⁹, produit dans les cellules S2 de *Drosophila melanogaster*, glycoforme alfa. Les monomères contenant la protéine d'enveloppe du phage *Acinetobacter* AP205 s'auto-assemblent en une particule de type virus (VLP) composée de 180 sous-unités dont environ 61 copies présentées à la surface se conjuguent spontanément avec la protéine de fusion recombinante contenant le RBD lorsqu'elles se mélangent
agent immunologique pour immunisation active (anti-SARS-CoV-2)

velucovacap

péptido de marca de proteína *N*-L-glicil-dividido (2-15) fusionado a través de enlace peptídico ¹⁶GSGTAGGGSGS²⁶ al fragmento de proteína de cubierta del fago *Acinetobacter* AP205 (Met¹>del, 2-131, 27-156 en la secuencia actual), producido en *Escherichia coli*, conjugado a través de un enlace isopéptido (formado por la reacción entre N⁹ y K³² con pérdida asociada a un grupo amino) a un fragmento peptídico *N*-L-glicil-receptor (2-114) derivado de

Streptococcus dysgalactiae proteína de unión a la fibronectina fusionada a través de enlace peptídico ¹¹⁵GSGS¹¹⁸ al fragmento del dominio de unión al receptor (RBD) de la proteína de espícula (glicoproteína S) del síndrome severo agudo respiratorio del coronavirus 2 (SARS-CoV-2) (GenBank ID: QIA20044.1; 306-578, 119-391 en la secuencia actual) fusionado a través de enlace peptídico ³⁹²GSGS³⁹⁵ a un ³⁹⁶EPEA³⁹⁹ péptido de marca de proteína C-terminal, producido en células *Drosophila melanogaster* S2, forma glicosilada alfa. Los monómeros que contienen la proteína de cubierta del fago *Acinetobacter* AP205 se autoensamblan en una partícula similar al virus (VLP) que consta de 180 subunidades, de las cuales aproximadamente 61 copias expuestas a la superficie se conjugan espontáneamente con la proteína de fusión recombinante que contiene RBD cuando se mezclan

agente inmunológico para inmunización activa (anti-SARS-CoV-2)

2856375-51-2

Sequence / Séquence / Secuencia

VLP-AP205 monomer

G N F L I V M V N D T T K V K G S G T A G S G S G S A N K P M Q P I T S T A N K I V N S D P T R L S	50
T T F S A S L L R Q R V K V G I A E L N N V S G Q Y V S V Y K R P A K P E G C A D A C V I M P N E	100
N Q S I R T V I S G S A E N L A T L K A E W E T H R K R N V D T L F A S G N A G L G F L D P T A I V	150
S S D T T A	156

SARS-CoV-2 RBD-antigen monomer

G I D T M S G L S G E T G Q S G N T T I E E D S T H V K F S K R D S N G K E L A G A M I E L R N L	50
S G T I Q S W S D G T V K D F Y L M P G T Y Q F V E T A A P E G Y E L A A P I T F T V Q D N G E	100
V I I Q R L R L T R G D V H I G S G S R V Q P T E S I V R F P N I T N L C F P F G E V F N A T R F A S V	150
Y A W N R K R I S N C V A D Y S V L Y N S A S F S T F K C Y G V S P T K L N D L C F T N V Y A D S F	200
V I R G D E V R Q I A P G Q T G K I A D Y N Y K L P D D F T G C V I A W N S N N L D S K V G G N Y N	250
Y L Y R L F R K S N L K P F E R D I S T E I Y Q A G S T P C N G V E G F N C Y F P L Q S Y G F Q P T	300
N G V G Y Q P Y R V V V L S F E L L H A P A T V C G P K S T N L V K N K C V N F N F N G L T G T G	350
V L T E S N K K F L P F Q Q F G R D I A D T T D A V R D P Q T L E I L D I T P C S G S G S E P E A	399

Mutation / Mutation / Mutación

Met¹ >Met²⁷del

Peptide linker / Peptide liant / Péptido de unión

VLP-AP205: ¹⁶G**S**G**T**A**G**G**G**S²⁶RBD-antigen: ¹¹⁵G**S**G**S**¹¹⁸ and ³⁹²G**S**G**S**³⁹⁵

Post-translational modifications

Disulfide bridges location / Position des ponts disulfure / Posiciones de los puentes disulfuro

Inter-chain VLP-AP205: 90^m-94ⁿ (m=1, ..., 180; n=1, ..., 180; m=n) (predicted)

Intra-chain RBD-antigen: 136-161, 179-232, 191-325, 280-288, 338-390 (predicted)

N-glycosylation sites / Sites de N-glycosylation / Posiciones de N-glicosilación

RBD-antigen: N17, N49, N131, N143

Gluconoylation sites / Sites de gluconoylation / Posiciones de gluconoilación

VLP-AP205: G1 (K13 and K63 to a minor extent)

Phosphogluconoylation sites

VLP-AP205: G1 (K13 and K63 to a minor extent)

Oxidation sites / Sites d'oxydation / Posiciones de oxidación

VLP-AP205: M31 RBD-antigen: M44

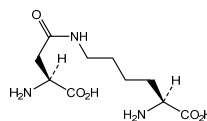
Deamidation sites / Sites de désamidation / Posiciones de desamidación

VLP-AP205: N9, N28, N70, N71

RBD-antigen: N160, N170, (N281/N287/Q293/N301)*, N344

*Deamidation can be in any of the listed amino acids

Amide bridge location / Position du pont amide / Posición del puente amido

VLP-AP205 D⁹-RBD-antigen K³² (VLP-AP205 N⁹-RBD-antigen norleucine³²) approximately 61 RBD-antigen monomers are conjugated per VLP, which itself is composed of 180 monomers of AP205

Names for chemical modifications of INN (substituent groups, counterions, adduct partners, etc.):

Many pharmaceutical substances for which an International Nonproprietary Name (INN) has been established are used as modified derivatives (salts, esters, protein-drug conjugates, solvates, etc.). The chemical modification (including counterions) involved may be of complex nature and it is then inconvenient to use its systematic chemical name. Consequently, shorter nonproprietary names for such modifications have been devised, and these are recommended for creating modified International Nonproprietary Names (INN).

Dénominations applicables aux modifications chimiques des DCI (groupes substituants, contre-ions, adduits, etc.) :

Certaines substances pour lesquelles une dénomination commune internationale proposée a été établie sont parfois utilisées comme dérivés modifiés (sels, esters, médicaments conjugués à des protéines, produits de solvatation, etc.). Les modifications chimiques (incluant les contre-ions) sont alors quelques fois si complexes qu'il est malcommode de les désigner conformément à la nomenclature chimique systématique. Des dénominations communes abrégées ont donc été formées ou choisies pour certaines d'entre elles et il est suggéré de les employer pour créer les dénominations communes internationales modifiées (DCIM).

Denominaciones aplicables a modificaciones químicas de las DCI (grupos sustituyentes, contraiones, aductos, etc.):

Muchas sustancias farmacéuticas para las cuales hay establecidas una denominación común internacional (DCI) pueden usarse como derivados modificados (sales, ésteres, medicamentos conjugados con proteínas, solvatos, etc.). Las modificaciones químicas (incluidos los contraiones) implicadas pueden ser de naturaleza compleja y por tanto es inapropiado utilizar su nombre químico sistemático. Como consecuencia, se han diseñado denominaciones abreviadas para estas modificaciones y se recomiendan para la creación de Denominaciones Comunes Internacionales modificadas (DCIM).

basivarsenum

basivarsen

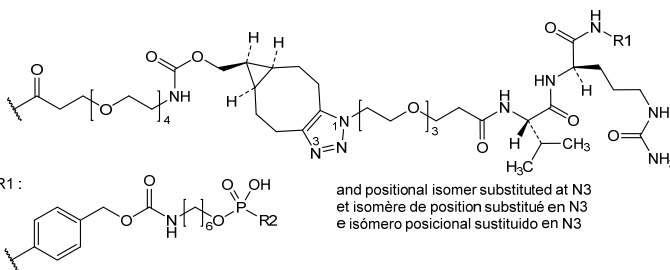
1-((5a*RS*,6*SR*,6a*SR*)-1-[(6*S*,9*S*)-1-amino-6-[[4-({(6-[[*all-P*-ambo-2'-O,4'-C-methylene-*P*-thioadenylyl-(5'→3')-5-methyl-2'-O,4'-C-methylene-*P*-thiocytidylyl-(5'→3')-2'-O-(2-methoxyethyl)-5-methyl-*P*-thiouridylyl-(5'→3')-2'-O-(2-methoxyethyl)-*P*-thioguanilyl-(5'→3')-2'-deoxy-*P*-thioadenylyl-(5'→3')-2'-deoxy-*P*-thiocytidylyl-(5'→3')-2'-deoxy-*P*-thiocytidylyl-(5'→3')-2'-deoxy-*P*-thioadenylyl-(5'→3')-2'-deoxy-*P*-thiocytidylyl-(5'→3')-2'-deoxy-*P*-thiocytidylyl-(5'→3')-2'-deoxy-*P*-thiocytidylyl-(5'→3')-2'-deoxy-*P*-thioguanilyl-(5'→3')-5-methyl-2'-O-(2-methoxyethyl)-*P*-thiocytidylyl-(5'→3')-2'-O-(2-methoxyethyl)-*P*-thioguanilyl-(5'→3')-2'-O,4'-C-methylene-*P*-thioadenylyl-(5'→3')-5-methyl-2'-O,4'-C-methylene-5'-cytidilyl]oxy]hexyl)carbamoyl]oxy)methyl]phenyl]carbamoyl}-1,8,11-trioxo-9-(propan-2-yl)-14,17,20-trioxa-2,7,10-triazadocosan-22-yl]-1,4,5,5a,6,6a,7,8-octahydrocyclopropa[5,6]cycloocta[1,2-d][1,2,3]triazol-6-yl]-3-oxo-2,7,10,13,16-pentaoxa-4-azanonadecan-19-oyl

basivarsen

1-((5a*RS*,6*SR*,6a*SR*)-1-[(6*S*,9*S*)-1-amino-6-[[4-({(6-[[*tout-P*-ambo-2'-O,4'-C-méthylène-*P*-thioadénylyl-(5'→3')-5-méthyl-2'-O,4'-C-méthylène-*P*-thiocytidylyl-(5'→3')-2'-O-(2-méthoxyéthyl)-5-méthyl-*P*-thiouridylyl-(5'→3')-2'-O-(2-méthoxyéthyl)-*P*-thioguanilyl-(5'→3')-2'-désoxy-*P*-thioadénylyl-(5'→3')-2'-désoxy-*P*-thiocytidylyl-(5'→3')-2'-désoxy-*P*-thiocytidylyl-(5'→3')-2'-désoxy-*P*-thiocytidylyl-(5'→3')-2'-désoxy-*P*-thioadénylyl-(5'→3')-2'-désoxy-*P*-thiocytidylyl-(5'→3')-2'-désoxy-*P*-thiocytidylyl-(5'→3')-2'-désoxy-*P*-thiocytidylyl-(5'→3')-2'-désoxy-*P*-thiocytidylyl-(5'→3')-2'-désoxy-*P*-thiocytidylyl-(5'→3')-2'-désoxy-*P*-thioguanilyl-(5'→3')-5-méthyl-2'-O-(2-méthoxyéthyl)-*P*-thiocytidylyl-(5'→3')-2'-O-(2-méthoxyéthyl)-*P*-thioguanilyl-(5'→3')-2'-O,4'-C-méthylène-*P*-thioadénylyl-(5'→3')-5-méthyl-2'-O,4'-C-méthylène-5'-cytidilyl]oxy]hexyl)carbamoyl]oxy)méthyl]phényl]carbamoyl}-1,8,11-trioxo-9-(propan-2-yl)-14,17,20-trioxa-2,7,10-triazadocosan-22-yl]-1,4,5,5a,6,6a,7,8-octahydrocyclopropa[5,6]cycloocta[1,2-d][1,2,3]triazol-6-yl]-3-oxo-2,7,10,13,16-pentaoxa-4-azanonadécan-19-oyl

basivarsén

1-((5*aRS*,6*SR*,6*aSR*)-1-((6*S*,9*S*)-1-amino-6-[[4-(((6-[[*todo-P-ambo-2'-O,4'-C*-metileno-*P*-tioadenilil-(5'→3')-5-metil-2'-O,4'-C-metileno-*P*-tiocitidilil-(5'→3')-2'-O-(2-metoxietil)-5-metil-*P*-tiouridilil-(5'→3')-2'-O-(2-metoxietil)-*P*-tioguanilil-(5'→3')-2'-deoxi-*P*-tioadenilil-(5'→3')-2'-deoxi-*P*-tiocitidilil-(5'→3')-2'-deoxi-*P*-tiocitidilil-(5'→3')-2'-deoxi-*P*-tioadenilil-(5'→3')-2'-deoxi-*P*-tiocitidilil-(5'→3')-2'-deoxi-*P*-tiocitidilil-(5'→3')-2'-deoxi-*P*-tiocitidilil-(5'→3')-2'-deoxi-*P*-tiocitidilil-(5'→3')-5-metil-2'-O-(2-metoxietil)-*P*-tiocitidilil-(5'→3')-2'-O-(2-metoxietil)-*P*-tioguanilil-(5'→3')-2'-O,4'-C-metileno-*P*-tioadenilil-(5'→3')-5-metil-2'-O,4'-C-metileno-5'-citidilil]oxy]hexil]carbamoyl]oxi]metil]fenil]carbamoyl]-1,8,11-trioxo-9-(propan-2-il)-14,17,20-trioxa-2,7,10-triazadocosan-22-il]-1,4,5,5*a*,6,6*a*,7,8-octahidrociclopropano[5,6]cicloocta[1,2-*d*][1,2,3]triazol-6-il]-3-oxo-2,7,10,13,16-pentaoxa-4-azanonadecan-19-oilo



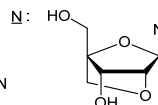
R2 : $\text{---}(3'-5')(P\text{-thio})(m^5C-A-Gmoe-m^5Cmoe-dG-dC-dC-dC-dA-dC-dC-dA-Gmoe-m^5Umoe-m^5C-A)$

N : nucleoside / nucléoside / nucleósido

dN : 2'-deoxy-N / 2'-désoxy-N / 2'-desoxi-N

m⁵N : 5-methyl-N / 5-méthyl-N / 5-metil-N

Nmoe : 2'-O-methoxyethyl-N / 2'-O-méthoxyéthyl-N / 2'-O-metoxietil-N



brenigitecanum

brenigitecan

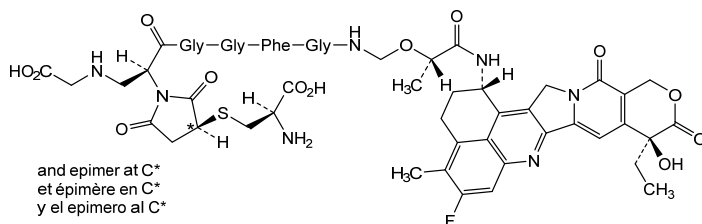
(3*RS*)-1-[(4*S*,13*S*,21*S*)-13-benzyl-1-carboxy-22-[[[(1*S*,9*S*)-9-éthyl-5-fluoro-9-hydroxy-4-méthyl-10,13-dioxo-2,3,9,10,13,15-hexahydro-1*H*,12*H*-benzo[*de*]pyrano[3',4':6,7]indolizino[1,2-*b*]quinolin-1-yl]amino]-21-méthyl-5,8,11,14,17,22-hexaoxo-20-oxa-2,6,9,12,15,18-hexaazadocosan-4-yl]-2,5-dioxopyrrolidin-3-yl

brenigitecan

(3*RS*)-1-[(4*S*,13*S*,21*S*)-13-benzyl-1-carboxy-22-[[[(1*S*,9*S*)-9-éthyl-5-fluoro-9-hydroxy-4-méthyl-10,13-dioxo-2,3,9,10,13,15-hexahydro-1*H*,12*H*-benzo[*de*]pyrano[3',4':6,7]indolizino[1,2-*b*]quinoléin-1-yl]amino]-21-méthyl-5,8,11,14,17,22-hexaoxo-20-oxa-2,6,9,12,15,18-hexaazadocosan-4-yl]-2,5-dioxopyrrolidin-3-yle

brenigitecán

(3*RS*)-1-[(4*S*,13*S*,21*S*)-13-bencil-1-carboxi-22-[[[(1*S*,9*S*)-9-etil-5-fluoro-9-hidroxi-4-metil-10,13-dioxo-2,3,9,10,13,15-hexahidro-1*H*,12*H*-benzo[*de*]pirano[3',4':6,7]indolizino[1,2-*b*]quinolein-1-il]amino]-21-metil-5,8,11,14,17,22-hexaoxo-20-oxa-2,6,9,12,15,18-hexaazadocosan-4-il]-2,5-dioxopirrolidin-3-ilo

**dasaroxetanum**

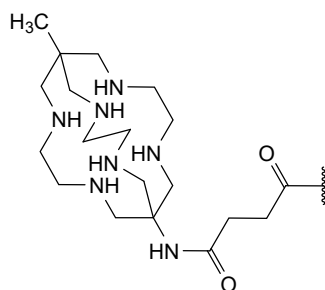
dasaroxetan

 $N^{2,1}$ -{5-[(8-methyl-3,6,10,13,16,19-hexaazabicyclo[6.6.6]icosan-1-yl)amino]-5-oxopentanoyl}

dasaroxétan

 $N^{2,1}$ -{5-[(8-méthyl-3,6,10,13,16,19-hexaazabicyclo[6.6.6]icosan-1-yl)amino]-5-oxopentanoyle}

dasaroxetán

 $N^{2,1}$ -{5-[(8-metil-3,6,10,13,16,19-hexaazabicyclo[6.6.6]icosan-1-il)amino]-5-oxopentanoilo}**elmanitinum**

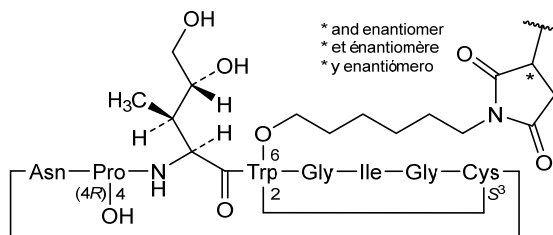
elmanitin

1-[6-({1,8-anhydro: $C^{2,4}$, $S^{3,8}$ -cyclo[L-asparaginyl-(4R)-4-hydroxy-L-prolyl-(4R)-4,5-dihydroxy-L-alloisoleucyl-L-tryptophylglycyl-L-isoleucylglycyl-L-cystein]- $C^{6,4}$ -yl)oxy)hexyl]2,5-dioxopyrrolidin-3-yl

elmanitine

1-[6-({1,8-anhydro: $C^{2,4}$, $S^{3,8}$ -cyclo[L-asparaginyl-(4R)-4-hydroxy-L-prolyl-(4R)-4,5-dihydroxy-L-alloisoleucyl-L-tryptophylglycyl-L-isoleucylglycyl-L-cystéin]- $C^{6,4}$ -yl)oxy)hexyl]2,5-dioxopyrrolidin-3-yle

elmanitina

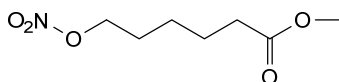
1-[6-({1,8-anhidro: $C^{2,4}$, $S^{3,8}$ -ciclo[L-asparaginil-(4R)-4-hidroxi-L-prolil-(4R)-4,5-dihidroxi-L-alloisoleucil-L-triptofilglicil-L-isoleucilglicil-L-cistein]- $C^{6,4}$ -il)oxi)hexil]2,5-dioxopirrolidin-3-ilo

grenodum

grenod 6-(nitrooxy)hexanoate

grénod 6-(nitrooxy)hexanoate

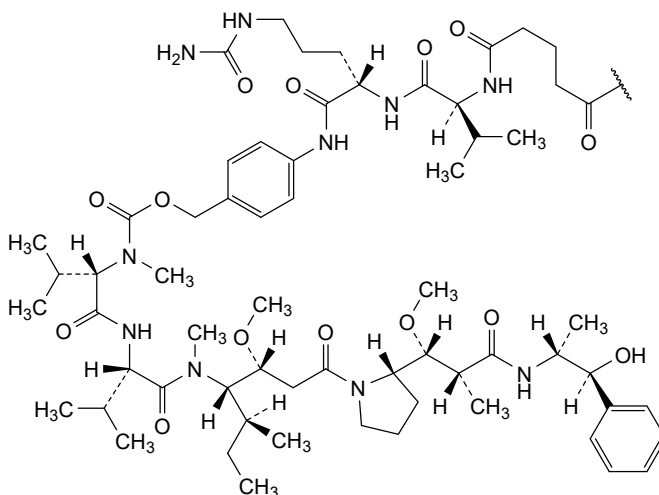
grenod 6-(nitrooxi)hexanoato

**pevedotinum**

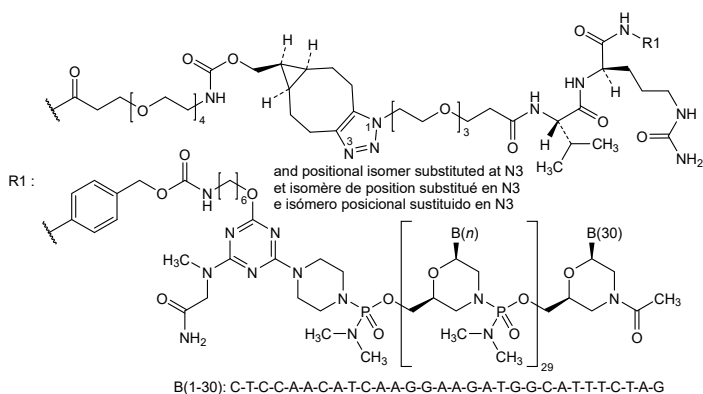
pevedotin 5-[[[(2S)-1-[[[(2S)-1-[4-[(5S,8S,11S,12R)-11-[(2S)-butan-2-yl]-12-(2-[(2S)-2-[(1R,2R)-3-[[[(1S,2R)-1-hydroxy-1-phenylpropan-2-yl]amino]-1-methoxy-2-methyl-3-oxopropyl]pyrrolidin-1-yl]-2-oxoethyl)-4,10-dimethyl-3,6,9-trioxo-5,8-di(propan-2-yl)-2,13-dioxo-4,7,10-triazatetradecan-1-yl]anilino)-5-(carbamoylamino)-1-oxopentan-2-yl]amino]-3-methyl-1-oxobutan-2-yl]amino]-5-oxopentanoyl

pévédotine 5-[[[(2S)-1-[[[(2S)-1-[4-[(5S,8S,11S,12R)-11-[(2S)-butan-2-yl]-12-(2-[(2S)-2-[(1R,2R)-3-[[[(1S,2R)-1-hydroxy-1-phénylpropan-2-yl]amino]-1-méthoxy-2-méthyl-3-oxopropyl]pyrrolidin-1-yl]-2-oxoéthyl)-4,10-diméthyl-3,6,9-trioxo-5,8-di(propan-2-yl)-2,13-dioxa-4,7,10-triazatétradécan-1-yl]anilino)-5-(carbamoylamino)-1-oxopentan-2-yl]amino]-3-méthyl-1-oxobutan-2-yl]amino]-5-oxopentanoyle

pevedotina 5-[[[(2S)-1-[[[(2S)-1-[4-[(5S,8S,11S,12R)-11-[(2S)-butan-2-il]-12-(2-[(2S)-2-[(1R,2R)-3-[[[(1S,2R)-1-hidroxi-1-fenilpropan-2-il]amino]-1-metoksi-2-metil-3-oxopropil]pirrolidin-1-il]-2-oxoetil)-4,10-dimetil-3,6,9-trioxo-5,8-di(propan-2-il)-2,13-dioxa-4,7,10-triazatetradecan-1-il]anilino)-5-(carbamoilamino)-1-oxopentan-2-il]amino]-3-metil-1-oxobutan-2-il]amino]-5-oxopentanoilo

**rostudirsenum**rostudirsen 1-[(5aRS,6SR,6aSR)-1-[(6S,9S)-6-[[4-[[[(6-[[4-4-[[all-P-ambo-2¹]-N-acetyl[2',3'-azanediyl-P,2',3'-trideoxy-P-(dimethylamino)-2',3'-seco]](5'→2'-N)(GATCTTTACG GTAGAAGGAA CTACAACCTC-5'-O)](dimethylamino)phosphoryl]piperazin-1-yl]-6-[(2-amino-2-oxoethyl)(methyl)amino]-1,3,5-triazin-2-

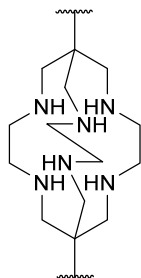
	yl)oxy]hexyl]carbamoyl)oxy)methyl]phenyl]carbamoyl]-1-amino-1,8,11-trioxo-9-(propan-2-yl)-14,17,20-trioxo-2,7,10-triazadocosan-22-yl]-1,4,5,5a,6,6a,7,8-octahydrocyclopropa[5,6]cycloocta[1,2-d][1,2,3]triazol-6-yl]-3-oxo-2,7,10,13,16-pentaoxa-4-azanonadecan-19-oyl
rostudirsén	1-((5a <i>RS</i> ,6 <i>SR</i> ,6a <i>SR</i>)-1-[(6 <i>S</i> ,9 <i>S</i>)-6-[(4-[[[6-[(4-{4-[[<i>tout-P-ambo-2</i> ¹ - <i>N</i> -acetyl[2',3'-azanediyl- <i>P</i> ,2',3'-tridésoxy- <i>P</i> -(diméthylamino)-2',3'-séco]](5'→2'- <i>N</i>)(GATCTTTACG GTAGAAGGAA CTACAACCTC-5'-O)](diméthylamino)phosphoryl]pipérazin-1-yl)-6-[(2-amino-2-oxoéthyl)(méthyl)amino]-1,3,5-triazin-2-yl)oxy]hexyl]carbamoyl)oxy)méthyl]phényl]carbamoyl]-1-amino-1,8,11-trioxo-9-(propan-2-yl)-14,17,20-trioxo-2,7,10-triazadocosan-22-yl]-1,4,5,5a,6,6a,7,8-octahydrocyclopropa[5,6]cycloocta[1,2- <i>d</i>][1,2,3]triazol-6-yl]-3-oxo-2,7,10,13,16-pentaoxa-4-azanonadécan-19-oyle
rostudirsén	1-((5a <i>RS</i> ,6 <i>SR</i> ,6a <i>SR</i>)-1-[(6 <i>S</i> ,9 <i>S</i>)-6-[(4-[[[6-[(4-{4-[[<i>todo-P-ambo-2</i> ¹ - <i>N</i> -acetyl[2',3'-azanedii- <i>P</i> ,2',3'-tridéoxi- <i>P</i> -(diméthilamino)-2',3'-seco]](5'→2'- <i>N</i>)(GATCTTTACGGTAGAAGGAAC TACAACCTC-5'-O)](diméthilamino)fosforil]pipérazin-1-il)-6-[(2-amino-2-oxoetil)(metil)amino]-1,3,5-triazin-2-il)oxi]hexil]carbamoi]oxi]metil]fenil]carbamoi]-1-amino-1,8,11-trioxo-9-(propan-2-il)-14,17,20-trioxo-2,7,10-triazadocosan-22-il]-1,4,5,5a,6,6a,7,8- octahidrociclopropa[5,6]cicloocta[1,2- <i>d</i>][1,2,3]triazol-6-il]-3-oxo-2,7,10,13,16-pentaoxa-4-azanonadecan-19-oilo

**tesaroxetanum**

tesaroxetan 3,6,10,13,16,19-hexaazabicyclo[6.6.6]icosane-1,8-diyl

tésaroxétan 3,6,10,13,16,19-hexaazabicyclo[6.6.6]icosane-1,8-diyle

tesaroxetán 3,6,10,13,16,19-hexaazabicyclo[6.6.6]icosano-1,8-diilo



tirumotecanum

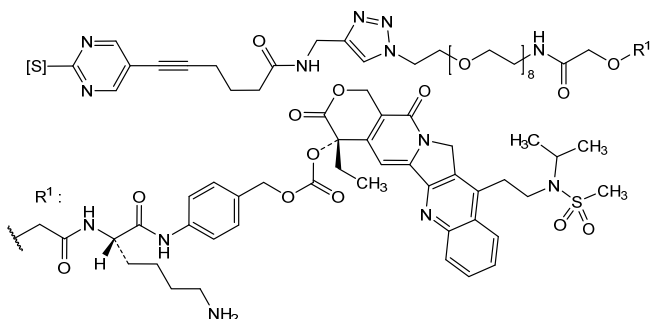
tirumotecan 5-(6-[[1-[(3*S*)-38-amino-34-[[4-[[[(4*S*)-4-ethyl-11-{2-[*N*-(propan-2-yl)methanesulfonamido]ethyl]-3,14-dioxo-3,4,12,14-tetrahydro-1*H*-pyrano[3',4':6,7]indolizino[1,2-*b*]quinolin-4-yl]oxy}carbonyl]oxy]methyl]phenyl]carbamoil]-28,32-dioxo-3,6,9,12,15,18,21,24,30-nonaoxa-27,33-diazaoctatriacontan-1-yl]-1*H*-1,2,3-triazol-4-yl)methyl]amino)-6-oxohex-1-yn-1-yl)pyrimidin-2-yl

tirumotécán

5-(6-[[1-[(3*S*)-38-amino-34-[[4-[[[(4*S*)-4-éthyl-11-{2-[*N*-(propan-2-yl)méthanesulfonamido]éthyl]-3,14-dioxo-3,4,12,14-tétrahydro-1*H*-pyrano[3',4':6,7]indolizino[1,2-*b*]quinolin-4-yl]oxy}carbonyl]oxy]méthyl]phényl]carbamoil]-28,32-dioxo-3,6,9,12,15,18,21,24,30-nonaoxa-27,33-diazaoctatriacontan-1-yl]-1*H*-1,2,3-triazol-4-yl)méthyl]amino)-6-oxohex-1-yn-1-yl)pyrimidin-2-yle

tirumotecán

5-(6-[[1-[(3*S*)-38-amino-34-[[4-[[[(4*S*)-4-etil-11-{2-[*N*-(propan-2-il)metanosulfonamido]etil]-3,14-dioxo-3,4,12,14-tetrahydro-1*H*-pirano[3',4':6,7]indolizino[1,2-*b*]quinolin-4-il]oxi}carbonil]oxi]metil]fenil]carbamoil]-28,32-dioxo-3,6,9,12,15,18,21,24,30-nonaoxa-27,33-diazaoctatriacontan-1-il]-1*H*-1,2,3-triazol-4-il)metil]amino)-6-oxohex-1-in-1-il)pirimidin-2-ilo



**AMENDMENTS TO PREVIOUS LISTS
MODIFICATIONS APPORTÉES AUX LISTES ANTÉRIEURES
MODIFICACIONES A LAS LISTAS ANTERIORES**

Proposed International Nonproprietary Names (Prop. INN): List 117
Dénominations communes internationales proposées (DCI Prop.): Liste 117
Denominaciones Comunes Internacionales Propuestas (DCI Prop.): Lista 117
(WHO Drug Information, Vol. 31, No. 2, 2017)

p.295 -297	loncastuximabum tesirinum	
	loncastuximab tesirine	<i>replace the chemical name and structure by the following ones</i>
	loncastuximab tésirine	<i>remplacer le nom chimique et la structure par les suivants</i>
	loncastuximab tesirina	<i>sustitúyase el nombre químico y la estructura por los siguientes</i>

immunoglobulin G1-kappa, anti-[*Homo sapiens* CD19 (B lymphocyte surface antigen B4, Leu-12)], chimeric monoclonal antibody conjugated to the pyrrolobenzodiazepine (PBD) dimer SCX;
 gamma1 heavy chain (1-449) [*Mus musculus* VH (IGHV1-69*02 (85.70%) -(IGHD) -IGHJ4*01) [8.8.13] (1-120) -*Homo sapiens* IGHG1*03v, G1m3>G1m17, nG1m1 (CH1 R120>K (217) (121-218), hinge (219-233), CH2 (234-343), CH3 E12 (359), M14 (361) (344-448), CHS K2>del (449)) (121-449)], (223-211')-disulfide with kappa light chain (1'-211') [*Mus musculus* V-KAPPA (IGKV4-70*01 (91.40%) -IGKJ1*01) [5.3.7] (1'-104') -*Homo sapiens* IGKC*01, Km3 A45.1 (150), V101 (188) (105'-211')]; dimer (229-229":232-232")-bisdisulfide; conjugated, on an average of 2 to 3 cysteines, to the pyrrolobenzodiazepine (PBD) dimer SCX, via a cleavable (valine-alanine dipeptide as cathepsine B cleavage site) maleimide type linker containing a spacer PEG (n=8)
 Pour the *tesirine* part, please refer to the prop.INN List 113, published in the *WHO Drug Information, Vol.29, No.2, 2015*.

immunoglobuline G1-kappa, anti-[*Homo sapiens* CD19 (antigène de surface B4 des lymphocytes B, Leu-12)], anticorps monoclonal chimérique conjugué au dimère de pyrrolobenzodiazépine (PDB) SCX;
 chaîne lourde gamma1 (1-449) [*Mus musculus* VH (IGHV1-69*02 (85.70%) - (IGHD) -IGHJ4*01) [8.8.13] (1-120) -*Homo sapiens* IGHG1*03v, G1m3>G1m17, nG1m1 (CH1 R120>K (217) (121-218), charnière (219-233), CH2 (234-343), CH3 E12 (359), M14 (361) (344-448), CHS K2>del (449)) (121-449)], (223-211')-disulfure avec la chaîne légère kappa (1'-211') [*Mus musculus* V-KAPPA (IGKV4-70*01 (91.40%) -IGKJ1*01) [5.3.7] (1'-104') -*Homo sapiens* IGKC*01, Km3(105'-211')]; dimère (229-229":232-232")-bisdisulfure; conjugué, sur 2 à 3 cystéines en moyenne, au dimère de pyrrolobenzodiazépine (PBD) SCX, via un linker clivable (dipeptide valine-alanine clivable par la cathepsine B) de type maléimide et comprenant un espaceur PEG (n=8)
 Pour la partie *tesirine*, veuillez-vous référer à la Liste 113 des DCI prop, publiée dans le *WHO Drug Information, Vol.29, No.2, 2015*.

immunoglobulina G1-kappa, anti-[*Homo sapiens* CD19 (antígeno de superficie B4 de los linfocitos B, Leu-12)], anticuerpo monoclonal quimérico conjugado con el dímero de pirrolobenzodiazepina (PDB) SCX;
 cadena pesada gamma1 (1-449) [*Mus musculus* VH (IGHV1-69*02 (85.70%) - (IGHD) -IGHJ4*01) [8.8.13] (1-120) -*Homo sapiens* IGHG1*03v, G1m3>G1m17, nG1m1 (CH1 R120>K (217) (121-218), bisagra (219-233), CH2 (234-343), CH3 E12 (359), M14 (361) (344-448), CHS K2>del (449)) (121-449)], (223-211')-disulfuro con la cadena ligera kappa (1'-211') [*Mus musculus* V-KAPPA (IGKV4-70*01 (91.40%) -IGKJ1*01) [5.3.7] (1'-104') -*Homo sapiens* IGKC*01, Km3(105'-211')]; dímero (229-229":232-232")-bisdisulfuro; conjugado, en una media de 2 a 3 cisteinil, con el dímero de pirrolobenzodiazepina (PBD) SCX, mediante un conector escindible (dipéptido valina-alanina escindible por la catepsina B) de tipo maléimida y comprende un espaciador PEG (n=8)
 Para la fracción *tesirina* se puede referir a la Lista 113 de DCI prop., publicada en el *WHO Drug Information, Vol.29, No.2, 2015*.

Heavy chain / Chaîne lourde / Cadena pesada

QVQLVQPGAE VVKPGASVKL SCKTSGYTF T SNWMHWVKQA PGQGLEWIGE 50
 IDPDSYTYN NQNFQGKAKL TVDKSTSTAY MEVSSLRSDD TAVYYCARGS 100
 NPYYYAMDYW GQGTSTVTVSS ASTKGPSVFP LAPSSKSTSG GTAALGCLVK 150
 DYFPEPVTVS WNSGALTSVGV HTFPAVLQSS GLYSLSSVVT VPSSSLGTQT 200
 YICNVNHKPS NTKVDKVKVEP KSCDKHTHCP PCPAPELLGG PSVFLFPPKP 250
 KDTLMISRTP EVTCVVDVDS HEDPEVKFNW YVDGVEVHNA KTKPREEQYN 300
 STYRVVSVLT VLGQDNLNGK EYKCKVSNKA LPAPIEKTIS KAKGQPREPQ 350
 VYTLPPSREE MTKNQVSLTC LVKGFYPSDI AVEWESNGQP ENNYKTTTPV 400
 LDSGGSFFLY SKLTVDKSRW QQGNVFCSV MHEALHNYT QKSLSLSPG 449

Light chain / Chaîne légère / Cadena ligera

EIVLTQSPAI MSASPGERV TMTCSASSGVN YMHYQQKPG TSPRRWIYDT 50
 SKLASGVPAR FSGSGSTSY SLTISSMEPE DAATYVCHQR GSYTFGGGTK 100
 LEIKRTVAAP SVFIFPPSDE QLKSGTASVV CLLNMFYPRE AKVQWKVDNA 150
 LQSGNSQESV TEQDSKDSY SLSSLTLSK ADYKHKVYA CEVTHQGLSS 200
 PVTKSFNRGE C 211

Post-translational modifications

Disulfide bridges location / Position des ponts disulfure / Posiciones de los puentes disulfuro

Intra-H (C23-C104) 22-96 147-203 264-324 370-428
 22"-96" 147"-203" 264"-324" 370"-428"

Intra-L (C23-C104) 23-87 131-191"
 23"-87" 131"-191"

Inter-H-L (h 5-CL 126) * 223-211" 223"-211"

Inter-H-H (h 11, h 14) * 229-229" 232-232"

*One, two or three of the inter-chain disulfide bridges are not present, an average of 2 to 3 cysteinyl being conjugated each via a thioether bond to a drug linker.

*Un, deux ou trois des ponts disulfures inter-chaînes ne sont pas présents, 2 à 3 cystéinyl en moyenne étant chacun conjugué via une liaison thioéther à un linker-principe actif.

*Fallan uno, dos o tres puentes disulfuro inter-catenarios, una media de 2 a 3 cisteinil conjugados con sendos enlaces tioéther, a conectores de principio activo.

N-glycosylation sites / Sites de N-glycosylation / Posiciones de N-glicosilación

H CH2 N84.4:

300, 300"

Fucosylated complex bi-antennary CHO-type glycans / glycanes de type CHO bi-antennaires complexes fucosylés / glicanos de tipo CHO biantennarios complejos fucosilados

p.537 **tarcoicimabum**
 -538 tarcoicimab
 tarcoicimab
 tarcoicimab

replace the description by the following one
remplacer la description par la suivante
sustitúyase la descripción por la siguiente

immunoglobulin G1-kappa, anti-[*Homo sapiens* VEGFA (vascular endothelial growth factor A, VEGF-A, VEGF)], humanized monoclonal antibody;
 gamma1 heavy chain humanized (1-453) [VH (*Homo sapiens* IGHV3-30*02 (75.8%) -(IGHD) -IGHJ4*01 (93.3%), CDR-IMGT [8.8.16] (26-33.51-58.97-112))] (1-123) -*Homo sapiens* IGHG1*03v, G1m3>G1m17, nG1m1, G1v14 CH2 A1.3, A1.2 (CH1 R120>K (220) (124-221), hinge 1-15 (222-236), CH2 L1.3>A (240), L1.2>A (241), G1>A (243) (237-346), CH3 E12 (362), M14 (364), L123>C (449) (347-451), CHS (452-453)) (124-453)], (226-214')-disulfide with kappa light chain humanized (1'-214') [V-KAPPA (*Homo sapiens* IGKV1-16*01 (87.4%) -IGKJ1*01 (100%), CDR-IMGT [6.3.9] (27-32.50-52.89-97))] (1'-107') -*Homo sapiens* IGKC*01 (100%), Km3 A45.1 (153), V101 (191) (108'-214')]; dimer (232-232":235-235")-bisdisulfide, produced in Chinese hamster ovary (CHO)-K1SV cell line lacking the glutamine synthetase gene (GS-KO), glycoform alfa

immunoglobuline G1-kappa, anti-[*Homo sapiens* VEGFA (facteur de croissance A de l'endothélium vasculaire, VEGF-A, VEGF)], anticorps monoclonal humanisé;
 chaîne lourde gamma1 humanisée (1-453) [VH (*Homo sapiens* IGHV3-30*02 (75.8%) -(IGHD) -IGHJ4*01 (93.3%), CDR-IMGT [8.8.16] (26-33.51-58.97-112))] (1-123) -*Homo sapiens* IGHG1*03v, G1m3>G1m17, nG1m1, G1v14 CH2 A1.3, A1.2 (CH1 R120>K (220) (124-221), charnière 1-15 (222-236), CH2 L1.3>A (240), L1.2>A (241),

G1>A (243) (237-346), CH3 E12 (362), M14 (364), L123>C (449) (347-451), CHS (452-453) (124-453)], (226-214')-disulfure avec la chaîne légère kappa humanisée (1'-214') [V-KAPPA (*Homo sapiens* IGKV1-16*01 (87.4%) -IGKJ1*01 (100%), CDR-IMGT [6.3.9] (27-32.50-52.89-97)) (1'-107') -*Homo sapiens* IGKC*01 (100%), Km3 A45.1 (153), V101 (191) (108'-214')]; dimère (232-232":235-235")-bisdisulfure, produit dans des cellules ovariennes de hamster chinois (CHO) lignée cellulaire CHO-K1SV ne présentant pas le gène de la glutamine synthétase (GS-KO), glycoforme alfa

immunoglobulina G1-kappa, anti-[*Homo sapiens* VEGFA (factor de crecimiento A del endotelio vascular, VEGF-A, VEGF)], anticuerpo monoclonal humanizado;

cadena pesada gamma1 humanizada (1-453) [VH (*Homo sapiens* IGHV3-30*02 (75.8%) -(IGHD) -IGHJ4*01 (93.3%), CDR-IMGT [8.8.16] (26-33.51-58.97-112)) (1-123) -*Homo sapiens* IGHG1*03v, G1m3>G1m17, nG1m1, G1v14 CH2 A1.3, A1.2 (CH1 R120>K (220) (124-221), bisagra 1-15 (222-236), CH2 L1.3>A (240), L1.2>A (241), G1>A (243) (237-346), CH3 E12 (362), M14 (364), L123>C (449) (347-451), CHS (452-453) (124-453)], (226-214')-disulfuro con la cadena ligera kappa humanizada (1'-214') [V-KAPPA (*Homo sapiens* IGKV1-16*01 (87.4%) -IGKJ1*01 (100%), CDR-IMGT [6.3.9] (27-32.50-52.89-97)) (1'-107') -*Homo sapiens* IGKC*01 (100%), Km3 A45.1 (153), V101 (191) (108'-214')]; dímero (232-232":235-235")-bisdisulfuro, producido en las células ováricas de hámster chino (CHO) línea celular CHO-K1SV en ausencia del gen glutamina sintetasa (GS-KO), forma glicosilada alfa

Proposed International Nonproprietary Names (Prop. INN): List 126

Dénominations communes internationales proposées (DCI Prop.): Liste 126

Denominaciones Comunes Internacionales Propuestas (DCI Prop.): Lista 126

(WHO Drug Information, Vol. 35, No. 4, 2021)

p.933 anivovetmabum

-935 anivovetmab *replace the description and structure by the following ones*
 anivovetmab *remplacer la description et la structure par les suivantes*
 anivovetmab *sustitúyase la descripción y la estructura por las siguientes*

immunoglobulin G2-kappa, anti-[canine (*Canis lupus familiaris*) parvovirus major capsid protein VP2]], chimeric monoclonal antibody; gamma2 heavy chain chimeric (1-457) [VH Ratnor/Canlupfam (*Rattus norvegicus* IGHV2-32*01 (92.8%) -(IGHD) -IGHJ3*01 (92.9%)/*Canis lupus familiaris* IGHV4-1*01 (60.2%) -(IGHD) -IGHJ5*01 (92.9%), CDR-IMGT [8.7.16] (26-33.51-57.96-111)) (1-122) -*Canis lupus familiaris* IGHG2*02 (100%) (CH1 (123-219), hinge 1-19 (220-238), CH2 (239-348), CH3 (349-455), CHS (456-457)) (123-457)], (137-213')-disulfide with kappa light chain chimeric (1'-217') [V-KAPPA Ratnor/Canlupfam (*Rattus norvegicus* IGKV6S10*01 (95.8%) -IGKJ5*01 (100%)/*Canis lupus familiaris* IGKV3-18*01 (65.6%) -IGKJ3*01 (83.3%), CDR-IMGT [6.3.9] (27-32.50-52.89-97)) (1'-107') -*Canis lupus familiaris* IGKC*01 (100%) (108'-217')]; dimer (234-234":237-237")-bisdisulfide, produced in Chinese hamster ovary (CHO) cells, cell line CHO-K1, glycoform alfa

immunoglobuline G2-kappa, anti-[protéine de capsid majeure VP2 du parvovirus canin (*Canis lupus familiaris*)], anticorps monoclonal chimérique;

chaîne lourde gamma2 chimérique (1-457) [VH Ratnor/Canlupfam (*Rattus norvegicus* IGHV2-32*01 (92.8%) -(IGHD) -IGHJ3*01 (92.9%)/*Canis lupus familiaris* IGHV4-1*01 (60.2%) -(IGHD) -IGHJ5*01

(92.9%), CDR-IMGT [8.7.16] (26-33.51-57.96-111)) (1-122) -*Canis lupus familiaris* IGHG2*02 (100%) (CH1 (123-219), charnière 1-19 (220-238), CH2 (239-348), CH3 (349-455), CHS (456-457)) (123-457)], (137-213)-disulfure avec la chaîne légère kappa chimérique (1'-217') [V-KAPPA Ratnor/Canlupfam (*Rattus norvegicus* IGKV6S10*01 (95.8%) -IGKJ5*01 (100%)/*Canis lupus familiaris* IGKV3-18*01 (65.6%) -IGKJ3*01 (83.3%), CDR-IMGT [6.3.9] (27-32.50-52.89-97)) (1'-107') -*Canis lupus familiaris* IGKC*01 (100%) (108'-217'))]; dimère (234-234":237-237")-bisdisulfure, produit dans des cellules ovariennes de hamster chinois (CHO), lignée cellulaire CHO-K1, glycoforme alfa

inmunoglobulina G2-kappa, anti-[proteína de cápsida mayor VP2 del parvovirus canino (*Canis lupus familiaris*)], anticuerpo monoclonal quimérico;

cadena pesada gamma2 quimérica (1-457) [VH Ratnor/Canlupfam (*Rattus norvegicus* IGHV2-32*01 (92.8%) -(IGHD) -IGHJ3*01 (92.9%)/*Canis lupus familiaris* IGHV4-1*01 (60.2%) -(IGHD) -IGHJ5*01 (92.9%), CDR-IMGT [8.7.16] (26-33.51-57.96-111)) (1-122) -*Canis lupus familiaris* IGHG2*02 (100%) (CH1 (123-219), bisagra 1-19 (220-238), CH2 (239-348), CH3 (349-455), CHS (456-457)) (123-457)], (137-213)-disulfuro con la cadena ligera kappa quimérica (1'-217') [V-KAPPA Ratnor/Canlupfam (*Rattus norvegicus* IGKV6S10*01 (95.8%) -IGKJ5*01 (100%)/*Canis lupus familiaris* IGKV3-18*01 (65.6%) -IGKJ3*01 (83.3%), CDR-IMGT [6.3.9] (27-32.50-52.89-97)) (1'-107') -*Canis lupus familiaris* IGKC*01 (100%) (108'-217'))]; dímero (234-234":237-237")-bisdisulfuro, producido en las células ováricas de hámster chino (CHO), línea celular CHO-K1, forma glicosilada alfa

Heavy chain:

```

QVQLKESGPG LVAPSQTLSL TCTVSGFSL S YHVVHWRQP PGKGLEWLVG 50
MWNDDGDTSYN LALNSRLSIS RDTSKSQVFF KMSSLQTEDT ATYYCARPEL 100
PGLTYGVWFF YWQQTLTVV SAASTTAPSV FPLAPSCGST SGTVALACL 150
VSGYFPEPVT VSWNSGSLTS GVHTFPSVLQ SSGLYSLSSM VTVPSRWPS 200
ETFTCNVAHP ASKTKVDKPV PKRENGRVR PPDCPKCPAP EMLGGPSVFI 250
FPPPKKDTLL IARTPEVTCV VVDLDPEDPE VQISWFVDGK QMQTAKTQPR 300
EEQFNQTYRV VSVLPIGHQD WLKGGQFTCK VNNKALPSPI ERTISKARGQ 350
AHQPSVYVLP PSREELSKNT VSLTCLIKDF FPPDIDVEWQ SNGQEPESK 400
YRTTTPQLDE DGSYFLYSKL SVDKSRWQRG DTFICAVMHE ALHNHYTQES 450
LSHSPGK 457

```

Light chain:

```

DIVMTQSPTS MSISVGDRVT MNCKASQNV D SNVDWYQQT GQSPKLLIYK 50
ASNRNTGVPD RFTGSGSGTD FTLTISNMQA EDLAVYYCMQ STSYPLTFGS 100
GTKLEIKRND AQPAVYLFQP SPDQLHTGSA SVVCLNLSFY PKDINVKWVK 150
DGVIQDTGIQ ESVTEQDKDS TYSLSSLTLM SSTEYLSHEL YSCEITHKSL 200
PSTLIKSFQR SECQRVD 227

```

Post-translational modifications

Disulfide bridges location

Intra-H (C23-C104)	22-95	149-205	269-329	375-435
	22"-95"	149"-205"	269"-329"	375"-435"
Intra-L (C23-C104)	23'-88'	134'-193'		
	23'''-88'''	134'''-193'''		
Inter-H-L (CH1 11-CL 126)	137-213'	137"-213"		
Inter-H-H (h 15, h 19)	234-234"	237-237"		

N-terminal glutaminyl cyclization

Q > pyroglutamyl (pE, 5-oxoprolyl)
H V H Q I: 1, 1"

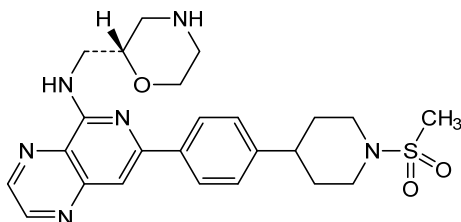
N-glycosylation sites

H CH2 N84.4: 305, 305"

Fucosylated complex bi-antennary CHO-type glycans

C-terminal lysine clipping

H CHS K2: 457, 457"

p.1086 **sovleplenibum**sovleplenib
sovléplénib
sovleplenib*replace the structure by the following one*
remplacer la structure par la suivante
sustitúyase la estructura por la siguientep.1088
-1090**tarcocimabum tedromerum #**tarcocimab tedromer
tarcocimab tédomère
tarcocimab tédromo*replace the description and structure by the following ones*
remplacer la description et la structure par les suivantes
sustitúyase la descripción y la estructura por las siguientes

immunoglobulin G1-kappa, anti-[*Homo sapiens* VEGFA (vascular endothelial growth factor A, VEGF-A, VEGF)], humanized monoclonal antibody, conjugated via a linker to a **nine-armed star polymer** with phosphorylcholine polymer end groups; gamma1 heavy chain humanized (1-453) [VH (*Homo sapiens* IGHV3-30*02 (75.8%) -(IGHD) -IGHJ4*01 (93.3%), CDR-IMGT [8.8.16] (26-33.51-58.97-112)) (1-123) -*Homo sapiens* IGHG1*03v, G1m3>G1m17, nG1m1, G1v14 CH2 A1.3, A1.2 (CH1 R120>K (220) (124-221), hinge 1-15 (222-236), CH2 L1.3>A (240), L1.2>A (241), G1>A (243) (237-346), CH3 E12 (362), M14 (364), L123>C (449) (347-451), CHS (452-453)) (124-453)], (226-214')-disulfide with kappa light chain humanized (1'-214') [V-KAPPA (*Homo sapiens* IGKV1-16*01 (87.4%) -IGKJ1*01 (100%), CDR-IMGT [6.3.9] (27-32.50-52.89-97)) (1'-107') -*Homo sapiens* IGKC*01 (100%), Km3 A45.1 (153), V101 (191) (108'-214')]; dimer (232-232":235-235")-bisdisulfide, produced in Chinese hamster ovary (CHO) cells, cell line CHO-K1SV lacking the glutamine synthetase (GS-KO) gene, glycoform alfa, substituted at an average of one S atom of cysteine residues 449 and 449" with the (3RS)-1-[1,1,1-tris({3-[2-(2,2,2-tris({(2-(α -(bromo / ethoxy / hydro / hydroxy)poly[1-(10,10-dimethyl-6-oxido-6-oxo-2,5,7-trioxa-10-aza-6 λ^5 -phosphaundecan-10-ium-1-oyl)-1-methylethane-1,2-diy]) ω -yl]-2-methylpropanoyl)oxy)methyl]ethoxy)acetamido]propanamido)methyl)-16,32-dioxo-3,6,9,12,19,22,25,28-octaoxa-15,31-diazatetratriacontan-34-yl]-2,5-dioxopyrrolidin-1-yl) (*tedromer*)

immunoglobuline G1-kappa, anti-[*Homo sapiens* VEGFA (facteur de croissance A de l'endothélium vasculaire, VEGF-A, VEGF)], anticorps monoclonal humanisé, conjugué via un linker à un **polymère en étoile à neuf branches** avec groupes terminaux de polymère phosphorylcholine; chaîne lourde gamma1 humanisée (1-453) [VH (*Homo sapiens* IGHV3-30*02 (75.8%) -(IGHD) -IGHJ4*01 (93.3%), CDR-IMGT [8.8.16] (26-33.51-58.97-112)) (1-123) -*Homo sapiens* IGHG1*03v, G1m3>G1m17, nG1m1, G1v14 CH2 A1.3, A1.2 (CH1 R120>K (220) (124-221), charnière 1-15 (222-236), CH2 L1.3>A (240), L1.2>A (241), G1>A (243) (237-346), CH3 E12 (362), M14 (364), L123>C (449) (347-451), CHS (452-453)) (124-453)], (226-214')-disulfure avec la chaîne légère kappa humanisée (1'-214') [V-KAPPA (*Homo sapiens* IGKV1-16*01 (87.4%) -IGKJ1*01 (100%), CDR-IMGT [6.3.9] (27-32.50-52.89-97)) (1'-107') -*Homo sapiens* IGKC*01 (100%), Km3 A45.1 (153), V101 (191) (108'-214')]; dimère (232-232":235-235")-bisdisulfure, produit dans des cellules ovariennes de hamster chinois (CHO), lignée cellulaire CHO-K1SV ne présentant pas le gène de la glutamine synthétase (GS-KO), glycoforme alfa, substitué à une moyenne d'un atome S des résidus cystéine 449 et 449" par le groupe (3RS)-1-[1,1,1-tris({3-[2-(2,2,2-tris({(2-(α -(bromo / éthoxy / hydro / hydroxy)poly[1-(10,10-diméthyl-6-oxido-6-oxo-2,5,7-trioxa-10-aza-6 λ^5 -phosphaundécane-10-ium-1-oyl)-1-méthyléthane-1,2-diy]) ω -yl]-2-

méthylpropanoyl)oxy]méthyl]éthoxy)acétamido]propanamido)méthyl]-16,32-dioxo-3,6,9,12,19,22,25,28-octaoxa-15,31-diazatétratriacontan-34-yl]-2,5-dioxopyrrolidin-1-yle (*tédromère*)

inmunoglobulina G1-kappa, anti-[*Homo sapiens* VEGFA (factor de crecimiento A del endotelio vascular, VEGF-A, VEGF)], anticuerpo monoclonal humanizado, conjugado a través de un enlace a un **polímero estrellado con nueve ramas** con grupos terminales de polímero fosforilcolina ;
 cadena pesada gamma1 humanizada (1-453) [VH (*Homo sapiens* IGHV3-30*02 (75.8%) -(IGHD) -IGHJ4*01 (93.3%), CDR-IMGT [8.8.16] (26-33.51-58.97-112)) (1-123) -*Homo sapiens* IGHG1*03v, G1m3>G1m17, nG1m1, G1v14 CH2 A1.3, A1.2 (CH1 R120>K (220) (124-221), bisagra 1-15 (222-236), CH2 L1.3>A (240), L1.2>A (241), G1>A (243) (237-346), CH3 E12 (362), M14 (364), L123>C (449) (347-451), CHS (452-453)) (124-453)], (226-214')-disulfuro con la cadena ligera kappa humanizada (1'-214') [V-KAPPA (*Homo sapiens* IGKV1-16*01 (87.4%) -IGKJ1*01 (100%), CDR-IMGT [6.3.9] (27-32.50-52.89-97)) (1'-107'') -*Homo sapiens* IGKC*01 (100%), Km3 A45.1 (153), V101 (191) (108'-214'')]; dímero (232-232'':235-235'')-bisulfuro, producido en las células ováricas de hámster chino (CHO), línea celular CHO-K1SV en ausencia del gen glutamina sintetasa (GS-KO), forma glicosilada alfa, sustituido en un promedio de un átomo de S de residuos de cisteína 449 y 449'' con el grupo (3RS)-1-[1,1,1-tris({3-[2-(2,2-tris[(2-(α-(bromo / etoxi / hidró / hidroxil)poli[1-(10,10-dimetil-6-oxido-6-oxo-2,5,7-trioxa-10-aza-6λ⁵-fosfundecan-10-io-1-oil)-1-metiletano-1,2-dil]-ω-il)-2-metilpropanoil)oxi]metil]etoxi)acetamido]propanamido]metil]-16,32-dioxo-3,6,9,12,19,22,25,28-octaoxa-15,31-diazatetraatriacontan-34-il]-2,5-dioxopirrolidin-1-ilo (*tédromo*)

Heavy chain / Chaîne lourde / Cadena pesada

EVQLVESGGG	LVQPFGSRLR	SCAASGYDFT	HYGMNWRQA	PGKLEWVGV	50
INTYGTGEPT	ADPKRRFTF	SLDTSKSTAY	LQMNSLRAED	TAVYYCAKYP	100
YYVGTSHWVF	DVWQGTLTVT	VSSASTKGPS	VFPLAPSSKS	TSGGTAALGC	150
LVKDYFPEPV	TVSNWNGALT	SGVHTFPAVL	QSSGLYLSLS	VVTVPSSSLG	200
TQTYICNVNH	KPSNTKVDKK	VEPKSCDKTH	TCPPCPAPEA	AGAPSVPLFP	250
PKPKDTLMIS	RTPEVTCVVV	DVSHEDPEVK	FNWYVDGVEV	HNAKTKPREE	300
QYNSTYRVVS	VLTVLHQDWL	NGKVEYCKVS	NKALPAPIEK	TISKAKGQPR	350
EPQVYTLPPS	REEMTKNQVS	LTCLVKGFYP	SDIAVEWESN	GQPENNYKTT	400
PPVLDSDGFS	FLYSKLTVDK	SRWQQGNVFS	CSVMHEALHN	HYTQKSLSCS	450
PGK					453

Light chain / Chaîne légère / Cadena ligera

DIQLTQSPSS	LSASVGRDVT	ITCSASQDIS	NYLNWYQQKP	GKAPKVLIIYF	50
TSSLHGVSPS	RFSGSGSGTD	FTLTISLQP	EDFATYYCQQ	YSTVPWTFGQ	100
GTKVEIKRVT	AAPSVFIIPP	SDEQLKSGTA	SVUCLLNIFY	PREAKVQMKV	150
DNALQSGNSG	ESVTEQDSKD	STYLSLSTLT	LSKADYEKHK	VYACEVTHQG	200
LSSPVTKSFN	RGEC				214

Post-translational modifications

Disulfide bridges location / Position des ponts disulfure / Posiciones de los puentes disulfuro

Intra-H (C23-C104)	22 ^o -96 ^o	150 ^o -206 ^o	267 ^o -327 ^o	373 ^o -431 ^o
	22 ^o -96 ^o	150 ^o -206 ^o	267 ^o -327 ^o	373 ^o -431 ^o

Intra-L (C23-C104)	23 ^o -88 ^o	134 ^o -194 ^o
	23 ^o -88 ^o	134 ^o -194 ^o

Inter-H-L (h 5-CL 126)	226-214''	226''-214''
------------------------	-----------	-------------

Inter-H-H (h 11, h 14)	232-232''	235-235''
------------------------	-----------	-----------

N-glycosylation sites / Sites de N-glycosylation / Posiciones de N-glicosilación

H CH2 N84.4: 303, 303''

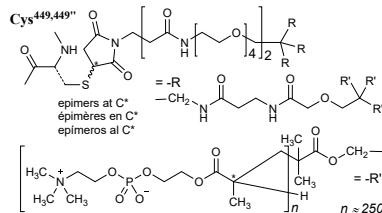
Fucosylated complex bi-antennary CHO-type glycans / glycanes de type CHO bi-antennaires complexes fucosylés / glicanos de tipo CHO biantenarijos complejos fucosilados

C-terminal lysine clipping / Coupure de la lysine C-terminale / Recorte de lisina C-terminal

H CHS K2: 453, 453''

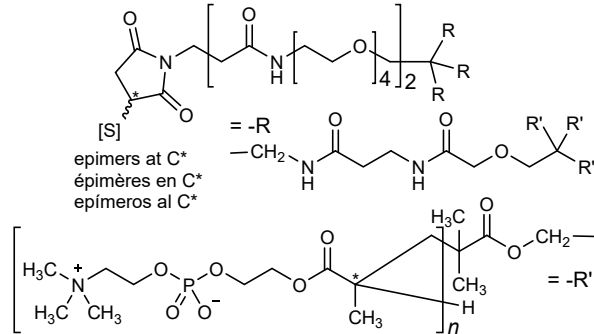
Conjugation sites / Sites de conjugation / Posiciones de conjugación:

H CH3 L123>C: 449, 449''



p.1126 **tedromerum**
tedromer
tédromère
tedrómero

replace the structure by the following one
remplacer la structure par la suivante
sustitúyase la estructura por la siguiente



Proposed International Nonproprietary Names (Prop. INN): List 127
Dénominations communes internationales proposées (DCI Prop.): Liste 127
Denominaciones Comunes Internacionales Propuestas (DCI Prop.): Lista 127
(WHO Drug Information, Vol. 36, No. 2, 2022)

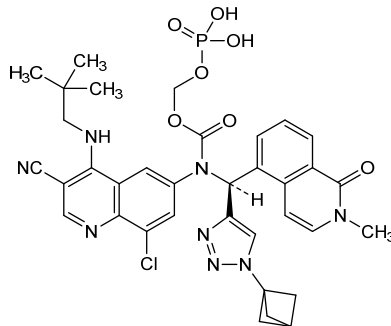
p.422
-423

delete/supprimer/suprimáse
manusiranum
manusiran
manusiran
manusirán

insert/insérer/insertese
divesiranum
divesiran
divésiran
divesirán

p.486 **tilpisertibum fosmecarbilum**
tilpisertib fosmecarbil
tilpisertib fosmécarbil
tilpisertib fosmecarbil

replace the structure by the following one
remplacer la structure par la suivante
sustitúyase la estructura por la siguiente



p.486 **tobemstomigum #**
 -488 tobemstomig
 tobemstomig
 tobemstomig

replace the description by the following one
remplacer la description par la suivante
sustitúyase la descripción por la siguiente

immunoglobulin G1-kappa with crossed domains, anti-[*Homo sapiens* PDCD1 (programmed cell death 1, PD1, PD-1, CD279)] and anti-[*Homo sapiens* LAG3 (lymphocyte activating 3, lymphocyte-activation 3, CD223)], humanized monoclonal antibody, bispecific;

gamma1 heavy chain with crossed V-kappa anti-PDCD1 (1-443) [V-KAPPA humanized (*Homo sapiens* IGKV4-1*01 (82.2%) -IGKJ1*01 (100%), CDR-IMGT [10.3.9] (27-36.54-56.93-101) (1-111) -2-mer biseryl linker (112-113) -*Homo sapiens* IGHG1*01, G1m17,1, G1v14-49 CH2 A1.3, A1.2, G114, G1v32 CH3 W22 (knob) (CH1 K120 (210) (114-211), hinge 1-15 (212-226), CH2 L1.3>A (230), L1.2>A (231), P114>G (325) (227- 336), CH3 D12 (352), L14 (354), S10>C (350), T22>W (362) (337- 441), CHS (442-443)) (112-443)], (216-227')-disulfide with kappa light chain with crossed VH anti-PDCD1 (1'-227') [VH humanized (*Homo sapiens* IGHV3-23*01 (90.6%) -(IGHD) -IGHJ5*01 (92.9%), CDR-IMGT [8.8.13] (26-33.51-58.97-109)) (1'-120') -*Homo sapiens* IGKC*01 (99.1%), R1.4>A (121), T1.3>S (122), Km3 A45.1 (166), V101 (204) (121'-227')]; gamma1 heavy chain anti-LAG3 (1"-451") [VH humanized (*Homo sapiens* IGHV3-23*01 (86.7%) -(IGHD) -IGHJ4*01 (100%), CDR-IMGT [8.8.14] (26-33.51-58.97-110)) (1"-121") -*Homo sapiens* IGHG1*01, G1m17,1, G1v14-49 CH2 A1.3, A1.2, G114, G1v33 CH3 S22, A24, V86 (hole) (CH1 K26>E (151), K119>E (217), K120 (218) (122"-219"), hinge 1-15 (220"-234"), CH2 L1.3>A (238), L1.2>A (239), P114>G (333) (235"-344"), CH3 D12 (360), L14 (362), Y5>C (353), T22>S (370), L24>A (372), Y86>V (411) (345"-449"), CHS (450"-451'") (122"-451'"), (224"-214'")-disulfide with kappa light chain anti-LAG3 (1'"-214'") [*Homo sapiens* V-KAPPA (IGKV1D-39*01 (96.8%) -IGKJ4*01 (100%), CDR-IMGT [6.3.9] (27-32.50-52.89-97) (1'"-107'") -*Homo sapiens* IGKC*01 (98.1%), E12>R (123), Q13>K (124) (108'"-214'")]; dimer (222-230'':225-233'':350-353'')-trisdissulfide, produced in Chinese hamster ovary (CHO) cells, derived from the cell line CHO-K1, glycoform alfa

immunoglobuline G1-kappa avec domaines croisés, anti-[*Homo sapiens* PDCD1 (protéine 1 de mort cellulaire programmée, PD-1, PD1, CD279)] and anti-[*Homo sapiens* LAG3 (activateur 3 des lymphocytes, lymphocyte-activation 3, CD223)], anticorps monoclonal humanisé, bispécifique;
 chaîne lourde gamma1 à V-kappa croisé anti-PDCD1 (1-443) [V-KAPPA humanisé (*Homo sapiens* IGKV4-1*01 (82.2%) -IGKJ1*01 (100%), CDR-IMGT [10.3.9] (27-36.54-56.93-101)) (1-111) -2-mer biséryl linker (112-113) -*Homo sapiens* IGHG1*01, G1m17,1, G1v14-49 CH2 A1.3, A1.2, G114, CH2 G1v32 CH3 W22 (knob) (CH1 K120 (210) (114-211), charnière 1-15 (212-226), CH2 L1.3>A (230), L1.2>A (231), P114>G (325) (227- 336), CH3 D12 (352), L14 (354), S10>C (350), T22>W (362)] (337- 441), CHS (442-443)) (112-443)], (216-227')-disulfure avec la chaîne légère kappa à VH croisé anti-PDCD1 (1'-227') [VH humanisé (*Homo sapiens* IGHV3-23*01 (90.6%) -(IGHD) -IGHJ5*01 (92.9%), CDR-IMGT [8.8.13] (26-33.51-58.97-109)) (1'-120') -*Homo sapiens* IGKC*01 (99.1%), R1.4>A (121), T1.3>S (122), Km3 A45.1 (166), V101 (204) (121'-227')]; chaîne lourde gamma1 anti-LAG3 (1"-451'") [VH humanisé (*Homo sapiens* IGHV3-23*01 (86.7%) -(IGHD) -IGHJ4*01 (100%), CDR-IMGT [8.8.14] (26-33.51-58.97-110)) (1"-121'") -*Homo sapiens*

IGHG1*01, G1m17,1, G1v14-49 CH2 A1.3, A1.2, G114, G1v33 CH3 S22, A24, V86 (hole) (CH1 K26>E (151), K119>E (217), K120 (218) (122"-219"), charnière 1-15 (220"-234"), CH2 L1.3>A (238), L1.2>A (239), P114>G (333) (235"-344"), CH3 D12 (360), L14 (362), Y5>C (353), T22>S (370), L24>A (372), Y86>V (411)] (345"-449"), CHS (450"-451") (122"-451"), (224"-214")-disulfure avec la chaîne légère kappa anti-LAG3 (1"-214") [*Homo sapiens* V-KAPPA (IGKV1D-39*01 (96.8%) -IGKJ4*01 (100%)), CDR-IMGT **[6.3.9]** (27-32.50-52.89-97) (1"-107") -*Homo sapiens* IGKC*01 (98.1%), E12>R (123), Q13>K (124) (108"-214")]; dimère (222-230":225-233":350-353")-trisdifure, produit dans des cellules ovariennes de hamster chinois (CHO), dérivant de la lignée cellulaire CHO-K1, glycoforme alfa

inmunoglobulina G1-kappa con dominios cruzados, anti- [*Homo sapiens* PD1 (proteína 1 de muerte celular programada, PD-1, PD1, CD279)] y anti- [*Homo sapiens* LAG3 (activador 3 de los linfocitos, linfocito-activación 3, CD223)], anticuerpo monoclonal humanizado, biespecífico; cadena pesada gamma1 con V-kappa cruzada anti-PD1 (1-443) [V-KAPPA humanizado (*Homo sapiens* IGKV4-1*01 (82.2%) -IGKJ1*01 (100%), CDR-IMGT [10.3.9] (27-36.54-56.93-101)] (1-111) -2-mer biserial linker (112-113) -*Homo sapiens* IGHG1*01, G1m17,1, G1v14-49 CH2 A1.3, A1.2, G114, CH2 G1v32 CH3 W22 (knob) (CH1 K120 (210) (114-211), bisagra 1-15 (212-226), CH2 L1.3>A (230), L1.2>A (231), P114>G (325) (227-336), CH3 D12 (352), L14 (354), S10>C (350), T22>W (362)] (337-441), CHS (442-443) (112-443)], (216-227")-disulfuro con la cadena ligera kappa con VH cruzado anti-PD1 (1'-227') [VH humanizado (*Homo sapiens* IGHV3-23*01 (90.6%) - (IGHD) -IGHJ5*01 (92.9%), CDR-IMGT [8.8.13] (26-33.51-58.97-109)) (1'-120') -*Homo sapiens* IGKC*01 (99.1%), R1.4>A (121), T1.3>S (122), Km3 A45.1 (166), V101 (204) (121'-227')]; cadena pesada gamma1 anti-LAG3 (1"-451") [VH humanizado (*Homo sapiens* IGHV3-23*01 (86.7%) - (IGHD) -IGHJ4*01 (100%), CDR-IMGT [8.8.14] (26-33.51-58.97-110)) (1"-121") -*Homo sapiens* IGHG1*01, G1m17,1, G1v14-49 CH2 A1.3, A1.2, G114, G1v33 CH3 S22, A24, V86 (hole) (CH1 K26>E (151), K119>E (217), K120 (218) (122"-219"), bisagra 1-15 (220"-234"), CH2 L1.3>A (238), L1.2>A (239), P114>G (333) (235"-344"), CH3 D12 (360), L14 (362), Y5>C (353), T22>S (370), L24>A (372), Y86>V (411)] (345"-449"), CHS (450"-451") (122"-451"), (224"-214")-disulfuro con la cadena ligera kappa anti-LAG3 (1"-214") [*Homo sapiens* V-KAPPA (IGKV1D-39*01 (96.8%) -IGKJ4*01 (100%)), CDR-IMGT **[6.3.9]** (27-32.50-52.89-97) (1"-107") -*Homo sapiens* IGKC*01 (98.1%), E12>R (123), Q13>K (124) (108"-214")]; dímero (222-230":225-233":350-353")-trisdifure, producido en las células ováricas de hámster chino (CHO), línea celular derivada de CHO-K1, forma glicosilada alfa

p.538 **zifibancimigum #**
-539 zifibancimig
zifibancimig
zifibancimig

replace the description by the following one
remplacer la description par la suivante
sustitúyase la descripción por la siguiente

immunoglobulin Fab G1-kappa, anti- [*Homo sapiens* ANGPT2 (angiopoietin 2, Ang2)] and anti- [*Homo sapiens* VEGFA (vascular endothelial growth factor A, VEGF-A, VEGF), monoclonal antibody, bispecific, biparatope monovalent; VH-(CH1-hinge) gamma1 heavy chain (1-223) [VH (*Homo sapiens* IGHV3-31*07

(74.0%) -(IGHD) -IGHJ4*01 (86.7%), CDR-IMGT [7.8.9] (26-32.50-57.96-104)) (1-115) -CH1-hinge (*Homo sapiens* IGHG1*01 (100%), G1m17 (CH1 K120 (212) (116-213), hinge 1-10 (214-223)) (116-223)), (218-214')-disulfide with kappa light chain (1'-214') [V-KAPPA (*Homo sapiens* IGKV1-5*01 (72.2%) -IGKJ4*01 (90.9%), CDR-IMGT [6.3.9] (27-32.50-52.89-97)) (1'-107') -*Homo sapiens* IGKC*01 (100%), Km3 A45.1 (153), V101 (191) (108'-214')]; bispecific, biparatope monovalent: anti-ANG2 paratope (VH CDR1 and CDR3, V-KAPPA CDR2) and anti-VEGFA paratope (V-KAPPA CDR1 and CDR3, VH CDR2), produced in Chinese hamster ovary (CHO) cells, cell line CHO-K1, non-glycosylated

immunoglobuline Fab G1-kappa, anti-[*Homo sapiens* VEGFA (facteur A de croissance de l'endothélium vasculaire humain) et *Homo sapiens* ANGPT2 (angiopoïétine 2, Ang2)], anticorps monoclonal, bispécifique, biparatope monovalent;
VH-(CH1-charnière) chaîne lourde gamma1 (1-223) [VH (*Homo sapiens* IGHV3-31*07 (74.0%) -(IGHD) -IGHJ4*01 (86.7%), CDR-IMGT [7.8.9] (26-32.50-57.96-104)) (1-115) -CH1-charnière (*Homo sapiens* IGHG1*01 (100%), G1m17 (CH1 K120 (212) (116-213), charnière 1-10 (214-223)) (116-223)), (218-214')-disulfure avec la chaîne légère kappa (1'-214') [V-KAPPA (*Homo sapiens* IGKV1-5*01 (72.2%) -IGKJ4*01 (90.9%), CDR-IMGT [6.3.9] (27-32.50-52.89-97)) (1'-107') -*Homo sapiens* IGKC*01 (100%), Km3 A45.1 (153), V101 (191) (108'-213')]; bispécifique, biparatope monovalent: anti-ANG2 paratope (VH CDR1 et CDR3, V-KAPPA CDR2) et anti-VEGFA paratope (V-KAPPA CDR1 et CDR3, VH CDR2), produit dans des cellules ovariennes de hamster chinois (CHO), lignée cellulaire CHO-K1, non-glycosylé

immunoglobulina Fab G1-kappa, anti-[*Homo sapiens* VEGFA (factor A de crecimiento del endotelio vascular humano) y *Homo sapiens* ANGPT2 (angiopoetina 2, Ang2)], anticuerpo monoclonal, biespecifico, biparatopo monovalente;
VH-(CH1-bisagra) cadena pesada gamma1 (1-223) [VH (*Homo sapiens* IGHV3-31*07 (74.0%) -(IGHD) -IGHJ4*01 (86.7%), CDR-IMGT [7.8.9] (26-32.50-57.96-104)) (1-115) -CH1-bisagra (*Homo sapiens* IGHG1*01 (100%), G1m17 (CH1 K120 (212) (116-213), bisagra 1-10 (214-223)) (116-223)), (218-214')-disulfuro com la cadena ligera kappa (1'-214') [V-KAPPA (*Homo sapiens* IGKV1-5*01 (72.2%) -IGKJ4*01 (90.9%), CDR-IMGT [6.3.9] (27-32.50-52.89-97)) (1'-107') -*Homo sapiens* IGKC*01 (100%), Km3 A45.1 (153), V101 (191) (108'-213')]; biespecifico, biparatopo monovalente: anti-ANG2 paratopo (VH CDR1 et CDR3, V-KAPPA CDR2) y anti-VEGFA paratopo (V-KAPPA CDR1 et CDR3, VH CDR2), producido en las células ováricas de hámster chino (CHO), línea celular CHO-K1, no glicosilado

Proposed International Nonproprietary Names (Prop. INN): List 128

Dénominations communes internationales proposées (DCI Prop.): Liste 128

Denominaciones Comunes Internacionales Propuestas (DCI Prop.): Lista 128

(WHO Drug Information, Vol. 36, No. 4, 2022)

p.982 flurimedrimerum (¹⁸F)

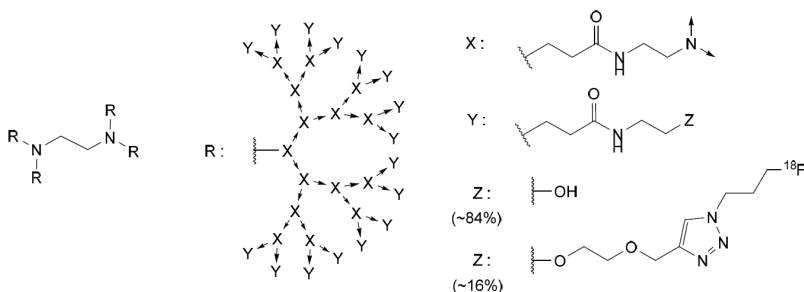
-983 flurimedrimer (¹⁸F) *replace the chemical name and structure by the following ones*
flurimédrimère (¹⁸F) *remplacer le nom chimique et la structure par les suivants*
flurimedrímero (¹⁸F) *sustitúyase el nombre químico y la estructura por los siguientes*

2-({1-[3-(¹⁸F)fluoropropyl]-1H-1,2,3-triazol-4-yl}methoxy)ethyl ether with about 16 % of hydroxyl end groups of α,α',α'',α'''-(ethane-1,2-diyldinitrilo)tetrakis(ω-hexadecakis{3-[(2-hydroxyethyl)amino]-3-oxopropyl}-dendro^{G4}-[(3-oxopropane-1,3-

diyl)azanediylethylènenitrilo]), **a** regular 4-dendron poly(amidoamine)-type dendrimer

éther 2-({1-[3-(¹⁸F)fluoropropil]-1*H*-1,2,3-triazol-4-yl)méthoxy}éthyl)éthyl) avec approximativement 16 % de groupes terminaux hydroxyles **d'**α,α',α'',α'''-(éthane-1,2-diyl)ditrinitro)tétrakis(ω-hexadécakis{3-[(2-hydroxyéthyl)amino]-3-oxopropil]-*dendro*^{G4}-[(3-oxopropane-1,3-diyl)azanediylethylènenitrilo]), **un** dendrimère régulier de type 4-dendron poly(amidoamine)

éter 2-({1-[3-(¹⁸F)fluoropropil]-1*H*-1,2,3-triazol-4-il)metoxi}etil)co con aproximadamente 16% de los grupos terminados hidroxilos de α,α',α'',α'''-(etano-1,2-diildinitrilo)tetrakis(ω-hexadecakis{3-[(2-hidroxi)amino]-3-oxopropil]-*dendro*^{G4}-[(3-oxopropano-1,3-diil)azanodiiletilenonitrilo]), **uno** dendrímero regular de tipo 4-dendron poly(amidoamina)



p.985

supprimer
ganféborole

insérer
ganféborole

p.1008

migoprotafibum

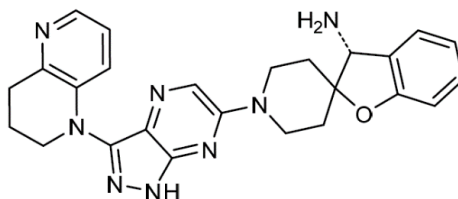
migoprotafib
migoprotafib
migoprotafib

replace the chemical name and structure by the following ones
remplacer le nom chimique et la structure par les suivants
sustitúyase el nombre químico y la estructura por los siguientes

(3*R*)-1'-[3-(3,4-dihydro-1,5-naphthyridin-1(2*H*)-yl)-1*H*-pyrazolo[3,4-*b*]pyrazin-6-yl]-3*H*-spiro[[1]benzofuran-2,4'-piperidin]-3-amine

(3*R*)-1'-[3-(3,4-dihydro-1,5-naphtyridin-1(2*H*)-yl)-1*H*-pyrazolo[3,4-*b*]pyrazin-6-yl]-3*H*-spiro[[1]benzofuran-2,4'-pipéridin]-3-amine

(3*R*)-1'-[3-(3,4-dihydro-1,5-naftiridin-1(2*H*)-il)-1*H*-pirazolo[3,4-*b*]pirazin-6-il]-3*H*-spiro[[1]benzofuran-2,4'-piperidin]-3-amina



p.1009 **monzosertibum**
monzosertib
monzosertib
monzosertib

replace the chemical name by the following one
remplacer le nom chimique par le suivant
sustitúyase el nombre químico por el siguiente

ethyl 5-[(Ξ)-(1*H*-pyrrolo[2,3-*b*]pyridin-3-yl)methylidene]-4-oxo-2-[[4-(2,2,2-trifluoroethyl)piperazin-1-yl]amino]-4,5-dihydrofuran-3-carboxylate

5-[(Ξ)-(1*H*-pyrrolo[2,3-*b*]pyridin-3-yl)méthylidène]-4-oxo-2-[[4-(2,2,2-trifluoroéthyl)pipérazin-1-yl]amino]-4,5-dihydrofurane-3-carboxylate d'éthyle

5-[(Ξ)-(1*H*-pirrolo[2,3-*b*]piridin-3-il)metilideno]-4-oxo-2-[[4-(2,2,2-trifluoroetil)piperazin-1-il]amino]-4,5-dihidrofuran-3-carboxilato de etilo

p.1044 **puxitatugum samrotecanum #**
puxitatug samrotecan
puxitatug samrotécán
puxitatug samrotécán

replace the structure by the following one
remplacer la structure par la suivante
sustitúyase la estructura por la siguiente

Heavy chain / Chaîne lourde / Cadena pesada
QVQLQIQGAG LLKPSSETLSEL ACTVYGGSPS GYYWNWIRQP PGKGLEWIGE 50
INHSGSTEVN PSLKSRVTIS VDTSKNQFSL KLSVTAADT AVYYCARVLY 100
NNWVDSGQCG TLTVTSSAST KGPSVFPLAP SSKSTSGGTA ALGCLVKDYF 150
PEPVTVSWNS GALTSGVHTF PAVLQSSGLY SLSSVTVTPS SSLGTQTYIC 200
NVNHHKFSMTK VDRKVEPFSK DKHTICPCFP APELLGGPSV FIFPPKPKDT 250
LMIERFPEYV CTVYVDSIED PEYFNWYVD GVEFVNHAKTK PREEQINQTY 300
RVVSVLTVLH QDWLNGKEYK CKVSNKALPA PIEKTSKAR GQPREPQVYT 350
LPPSRREEMTK NQVSLTCLVVK GFYPSDIAVE WESNGQPPENN YKTPPEVLDS 400
DGSFFLYSKL TVDKSRWQCG NVFSCSVMHE ALHNHYTQKS LLSLPGK 447

Light chain / Chaîne légère / Cadena ligera
DIQMTQSPSS LSASVGRVIT ITCRASQDIR NDVGWYQKRP GKAPKRLIYA 50
ASRLQSGVPS RFSGGSGGTE FTLTISLQF EDFATYYCLO HNSVPRTFGQ 100
GRYVEKRTV AAPSVEIFPP SDEQLKSGTA SVVCLLNIFY PREAKVQWKV 150
DNALQSGNSQ ESVTEQDSKD STYLSLSTLT LSKADVEKHK VYACEVTHQG 200
LSSPVTKSFN RGEK 214

Post-translational modifications

Disulfide bridges location / Position des ponts disulfure / Posiciones de los puentes disulfuro

Intra-H (C23-C104) 22-95 144-200 261-321 367-425
Intra-L (C23-C104) 22*-95* 144*-200* 261*-321* 367*-425*

Intra-L (h 5-CL 126)* 220-214* 220*-214*
Inter-H-H (h 11, h 14)* 226-226* 229-229*

*The inter-chain disulfide bridges are not present, the 8 cysteinyl being conjugated each via a thioether bond to a drug linker.

*Les ponts disulfures inter-chaînes ne sont pas présents, les 8 cystéinyl étant chacun conjugué via une liaison thioéther à un linker-principe actif.

*Los puentes disulfuro entre cadenas no están presentes, cada uno de los 8 cisteinil está conjugada a través de un enlace tioéter a un linker-principio activo.

N-terminal glutaminyl cyclization / Cyclisation du glutaminyle N-terminal / Ciclación del glutaminilo N-terminal

Q > pyroglutamyl (pE, 5-oxopropyl) / pyroglutamyle (pE, 5-oxopropyle) / piroglutamilo (pE, 5-oxopropilo)
H VH Q1: 1, 1"

N-glycosylation sites / Sites de N-glycosylation / Posiciones de N-glicosilación

H VH N57: 52, 52"

Deamidation, no glycosylation / déamidation, pas de glycosylation / desamidación, sin glicosilación

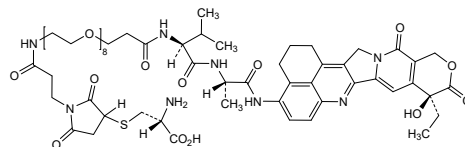
H CH2 N84,4: 297, 297"

Fucosylated complex bi-antennary CHO-type glycans / glycanes de type CHO bi-antennaires complexes fucosylés / glicanos de tipo CHO biantenarios complejos fucosilados

C-terminal lysine clipping / Coupure de la lysine C-terminale / Recorte de lisina C-terminal
H CHS K2: 447, 447"

Modified residues / Résidus modifiés / Restos modificados

⊂ (214*,214*,220,220*,226,226*,229,229*)



p.1045 *supprimer* *insérer*
rademikibart radémikibart

p.1072 **suvemcitugum**
suvemcitug *replace the structure by the following one*
suvemcitug *remplacer la structure par la suivante*
suvemcitug *sustitúyase la estructura por la siguiente*

Heavy chain / Chaîne lourde / Cadena pesada
EVQLVESGGG LVKPGGSLRL SCAASGFSFS NNDVMCWVRQ APGKGLEWIG 50
CIMTTDVVTE YANWAKSRFT VSRDSAKNSV YLQMNSLRAE DTAVYFCARD 100
SVGSPPLMSFD LWGPGTLVTV SSASTKGPSV FPLAPSSKST SGGTAALGCL 150
VKDYFPEPVT VSWNSGALTS GVHTFFPAVLQ SSGLYSLSSV VTPVSSSLGT 200
QTYICNVNHK PSNTKVDKVK EPKSCDKTHT CPPCPAPELL GGPSVFLFPP 250
KPKDTLMISR TPEVTCVVVD VSHEDPEVKF NWYVDGVEVH NAKTKPREEQ 300
YNSTYRVVSV LTVLHQDWLN GKEYCKVSN KALPAPIEKT ISKAKQPRE 350
PQVYTLPPSR DELTKNQVSL TCLVKGFYPS DIAVEWESNG QPENNYKTTT 400
PVLDSGDSFF LYSKLTVDKS RWQQGNVFC SVMHREALHNN YTKQSLSLSP 450
GK 452

Light chain / Chaîne légère / Cadena ligera
DIQMTQSPSS LSASVGRVIT INCQASQSIY NNNELSWYQQ KPGKPPKLLI 50
YRASTLASGV PSRFSGSGSG TDFLTISLL QPEDVATYIC GGYKSYSDNG 100
NGFGGGTVKE IKRTVAAPSV FIFPPSDEQL KSGTASVUCL LNNFYPREAK 150
VQWVKDVALQ SGNLSQESVTE QDSKDYSTYSL SSTLTLSKAD YEKHKVYACE 200
VTHQGLSSPV TKSFNREGC 219

Post-translational modifications

Disulfide bridges location / Position des ponts disulfure / Posiciones de los puentes disulfuro

Intra-H (C23-C104) 22-97 149-205 266-326 372-430
22"-97" 149"-205" 266"-326" 372"-430"

Additional intra-H C40-C55 36-51
36"-51"

Intra-L (C23-C104) 23'-90" 139"-199"
23"'-90"' 139"'-199'"

Inter-H-L (h 5-CL 126) 225-219" 225"-219"

Inter-H-H (h 11, h 14) 231-231" 234-234"

N-glycosylation sites / Sites de N-glycosylation / Posiciones de N-glicosilación
H CH2 N84.4: 302, 302"

Fucosylated complex bi-antennary CHO-type glycans / glycanes de type CHO bi-antennaires complexes fucosylés / glicanos de tipo CHO biantenarios complejos fucosilados

C-terminal lysine clipping / Coupure de la lysine C-terminale / Recorte de lisina C-terminal
H CHS K2: 452, 452"

p.1102 **vididencelum**
vididencel *replace the description by the following one*
vididencel *remplacer la description par la suivante*
vididencel *sustitúyase la descripción por la siguiente*

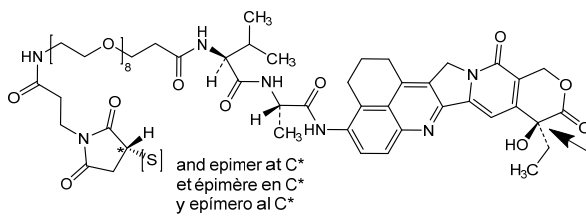
cell-cycle arrested dendritic cells (DCs) derived from the cell line DCOne, which originated from MUTZ-3 cells that arose from mononuclear blasts isolated from a patient with acute myelomonocytic leukaemia. The cells are initially grown in media containing granulocyte-macrophage colony-stimulating factor (GM-CSF), followed by differentiation in the presence of granulocyte-macrophage colony-stimulating factor (GM-CSF), tumour necrosis factor alpha (TNF- α), interleukin 4 (IL-4) and *mitoxantrone*. Finally, the cells are matured in the presence of media containing prostaglandin-E2 (PGE2), TNF- α , and IL-1 β . After cryopreservation the cells are irradiated to induce cell-cycle arrest. The final cell suspension contains >70% viable cells, of which >70% HLA-DR/DP/DQ-positive, >70% HLA-ABC-positive, >30% CD1a (DC differentiation marker)-positive, >30% CD83 (DC maturation marker)-positive, and which express co-

stimulatory molecules highly expressed by mature DCs, i.e., CD40 (>60%), CD80 (>50%) and CD86 (>70%). The preparation also stimulates T lymphocytes in a mixed lymphocyte reaction (MLR).

cellules dendritiques (CD) au cycle cellulaire arrêté, dérivées de la lignée cellulaire DCOne, qui provient de cellules MUTZ-3 issues de blastes mononucléaires isolés d'un patient atteint de leucémie myélomonocytaire aiguë. Les cellules sont initialement cultivées dans un milieu contenant le facteur de stimulation des colonies de granulocytes-macrophages (GM-CSF), puis elles sont différenciées en présence du facteur de stimulation des colonies de granulocytes-macrophages (GM-CSF), du facteur de nécrose tumorale alpha (TNF- α), de l'interleukine 4 (IL-4) et de la *mitoxantrone*. Enfin, les cellules sont maturées en présence d'un milieu contenant de la prostaglandine-E2 (PGE2), du TNF- α et de l'IL-1 β . Après la cryoconservation, les cellules sont irradiées pour induire un arrêt du cycle cellulaire. La suspension cellulaire finale contient >70% de cellules viables, dont >70% sont positives au HLA-DR/DP/DQ, > 70% positives au HLA-ABC, >30% positives au CD1a (marqueur de différenciation des CD), >30% positives au CD83 (marqueur de maturation des CD), et qui expriment des molécules de co-stimulation hautement exprimées par ces CD matures, par ex. CD40 (>60%), CD80 (>50%) et CD86 (>70%). La préparation stimule également les lymphocytes T dans une réaction lymphocytaire mixte (MLR).

células dendríticas (DCs) con el ciclo celular detenido derivadas de la línea celular DCOne, que se originaron a partir de células MUTZ-3 que a su vez surgieron de blastos mononucleares aislados de un paciente con leucemia mielomonocítica aguda. Las células se crecen inicialmente en medio que contiene factor estimulador de colonias de monocitos-macrófagos (GM-CSF), seguido de diferenciación en presencia de factor estimulador de colonias de monocitos-macrófagos (GM-CSF), factor de necrosis tumoral alfa (TNF- α), interleuquina 4 (IL-4) y *mitoxantrona*. Finalmente, las células se maduran en presencia de medio que contiene prostaglandina E2 (PGE2), TNF- α e IL-1 β . Después de la criopreservación, las células se someten a radiación para inducir la detención del ciclo celular. La suspensión celular final contiene >70% de células viables, donde >70% son positivas a HLA-DR/DP/DQ, > 70% positivas a HLA-ABC, >30% positivas a CD1a (marcador de diferenciación de DC), >30% positivas a CD83 (marcador de maduración de DC), y qui expresan moléculas de co-stimulación altamente expresadas por estas Dc maduras, por ej. CD40 (>60%), CD80 (>50%) y CD86 (>70%). La preparación también estimula a los linfocitos T en una reacción mixta de linfocitos (MLR)

- p.1110 **zenidololum**
zenidolol *replace the CAS registry number by the following one*
zénidolol *remplacer le numéro de registre du CAS par le suivant*
zenidolol *sustitúyase el número de registro del CAS por el siguiente*
- 72795-26-7
- p.1117 **samrotecanum #**
samrotecan *replace the structure by the following one*
samrotécan *remplacer la structure par la suivante*
samrotecán *sustitúyase la estructura por la siguiente*



ANNEX 1

PROCEDURE FOR THE SELECTION OF RECOMMENDED INTERNATIONAL NONPROPRIETARY NAMES FOR PHARMACEUTICAL SUBSTANCES¹

The following procedure shall be followed by the World Health Organization (hereinafter also referred to as "WHO") in the selection of recommended international nonproprietary names for pharmaceutical substances, in accordance with resolution WHA3.11 of the World Health Assembly, and in the substitution of such names.

Article 1 - Proposals for recommended international nonproprietary names and proposals for substitution of such names shall be submitted to WHO on the form provided therefore. The consideration of such proposals shall be subject to the payment of an administrative fee designed only to cover the corresponding costs of the Secretariat of WHO ("the Secretariat"). The amount of this fee shall be determined by the Secretariat and may, from time to time, be adjusted.

Article 2 - Such proposals shall be submitted by the Secretariat to the members of the Expert Advisory Panel on the International Pharmacopoeia and Pharmaceutical Preparations designated for this purpose, such designated members hereinafter referred to as "the INN Expert Group", for consideration in accordance with the "General principles for guidance in devising International Nonproprietary Names for Pharmaceutical Substances", annexed to this procedure². The name used by the person discovering or first developing and marketing a pharmaceutical substance shall be accepted, unless there are compelling reasons to the contrary.

Article 3 - Subsequent to the examination provided for in article 2, the Secretariat shall give notice that a proposed international nonproprietary name is being considered.

a) Such notice shall be given by publication in *WHO Drug Information*³ and by letter to Member States and to national and regional pharmacopoeia commissions or other bodies designated by Member States.

i) Notice shall also be sent to the person who submitted the proposal ("the original applicant") and other persons known to be concerned with a name under consideration.

b) Such notice shall:

i) set forth the name under consideration;

ii) identify the person who submitted the proposal for naming the substance, if so requested by such person;

iii) identify the substance for which a name is being considered;

iv) set forth the time within which comments and objections will be received and the person and place to whom they should be directed;

v) state the authority under which WHO is acting and refer to these rules of procedure.

c) In forwarding the notice, the Secretariat shall request that Member States take such steps as are necessary to prevent the acquisition of proprietary rights in the proposed name during the period it is under consideration by WHO.

Article 4 - Comments on the proposed name may be forwarded by any person to WHO within four months of the date of publication, under article 3, of the name in *WHO Drug Information*.

¹ See Annex 1 in WHO Technical Report Series, No. 581, 1975. The original text was adopted by the Executive Board in resolution EB15.R7 and amended in resolutions EB43.R9 and EB115.R4.

² See Annex 2.

³ Before 1987, lists of international nonproprietary names were published in the *Chronicle of the World Health Organization*.

Article 5 - A formal objection to a proposed name may be filed by any interested person within four months of the date of publication, under article 3, of the name in *WHO Drug Information*.

Such objection shall:

- i) identify the person objecting;
- ii) state his or her interest in the name;
- iii) set forth the reasons for his or her objection to the name proposed.

Article 6 - Where there is a formal objection under article 5, WHO may either reconsider the proposed name or use its good offices to attempt to obtain withdrawal of the objection. Without prejudice to the consideration by WHO of a substitute name or names, a name shall not be selected by WHO as a recommended international nonproprietary name while there exists a formal objection thereto filed under article 5 which has not been withdrawn.

Article 7 - Where no objection has been filed under article 5, or all objections previously filed have been withdrawn, the Secretariat shall give notice in accordance with subsection (a) of article 3 that the name has been selected by WHO as a recommended international nonproprietary name.

Article 8 - In forwarding a recommended international nonproprietary name to Member States under article 7, the Secretariat shall:

- a) request that it be recognized as the nonproprietary name for the substance; and
- b) request that Member States take such steps as are necessary to prevent the acquisition of proprietary rights in the name and to prohibit registration of the name as a trademark or trade name.

Article 9

a) In the extraordinary circumstance that a previously recommended international nonproprietary name gives rise to errors in medication, prescription or distribution, or a demonstrable risk thereof, because of similarity with another name in pharmaceutical and/or prescription practices, and it appears that such errors or potential errors cannot readily be resolved through other interventions than a possible substitution of a previously recommended international nonproprietary name, or in the event that a previously recommended international nonproprietary name differs substantially from the nonproprietary name approved in a significant number of Member States, or in other such extraordinary circumstances that justify a substitution of a recommended international nonproprietary name, proposals to that effect may be filed by any interested person. Such proposals shall be submitted on the form provided therefore and shall:

- i) identify the person making the proposal;
- ii) state his or her interest in the proposed substitution; and
- iii) set forth the reasons for the proposal; and
- iv) describe, and provide documentary evidence regarding the other interventions undertaken in an effort to resolve the situation, and the reasons why these other interventions were inadequate.

Such proposals may include a proposal for a new substitute international nonproprietary name, devised in accordance with the General principles, which takes into account the pharmaceutical substance for which the new substitute international nonproprietary name is being proposed.

The Secretariat shall forward a copy of the proposal, for consideration in accordance with the procedure described in subsection (b) below, to the INN Expert Group and the original applicant or its successor (if different from the person bringing the proposal for substitution and provided that the original applicant or its successor is known or can be found through diligent effort, including contacts with industry associations).

In addition, the Secretariat shall request comments on the proposal from:

- i) Member States and national and regional pharmacopoeia commissions or other bodies designated by Member States (by including a notice to that effect in the letter referred to in article 3(a), and
- ii) any other persons known to be concerned by the proposed substitution.

The request for comments shall:

- i) state the recommended international nonproprietary name that is being proposed for substitution (and the proposed substitute name, if provided);
- ii) identify the person who submitted the proposal for substitution (if so requested by such person);
- iii) identify the substance to which the proposed substitution relates and reasons put forward for substitution;
- iv) set forth the time within which comments will be received and the person and place to whom they should be directed; and
- v) state the authority under which WHO is acting and refer to these rules of procedure.

Comments on the proposed substitution may be forwarded by any person to WHO within four months of the date of the request for comments.

b) After the time period for comments referred to above has elapsed, the Secretariat shall forward any comments received to the INN Expert Group, the original applicant or its successor and the person bringing the proposal for substitution. If, after consideration of the proposal for substitution and the comments received, the INN Expert Group, the person bringing the proposal for substitution and the original applicant or its successor all agree that there is a need to substitute the previously recommended international nonproprietary name, the Secretariat shall submit the proposal for substitution to the INN Expert Group for further processing. Notwithstanding the foregoing, the original applicant or its successor shall not be entitled to withhold agreement to a proposal for substitution in the event the original applicant or its successor has no demonstrable continuing interest in the recommended international nonproprietary name proposed for substitution.

In the event that a proposal for substitution shall be submitted to the INN Expert Group for further processing, the INN Expert Group will select a new international nonproprietary name in accordance with the General principles referred to in article 2 and the procedure set forth in articles 3 to 8 inclusive. The notices to be given by the Secretariat under article 3 and article 7, respectively, including to the original applicant or its successor (if not the same as the person proposing the substitution, and provided that the original applicant or its successor is known or can be found through diligent effort, including contacts with industry associations), shall in such event indicate that the new name is a substitute for a previously recommended international nonproprietary name and that Member States may wish to make transitional arrangements in order to accommodate existing products that use the previously recommended international nonproprietary name on their label in accordance with national legislation.

If, after consideration of the proposal for substitution and the comments received in accordance with the procedure described above, the INN Expert Group, the original applicant or its successor and the person bringing the proposal for substitution do not agree that there are compelling reasons for substitution of a previously recommended international nonproprietary name, this name shall be retained (provided always that the original applicant or its successor shall not be entitled to withhold agreement to a proposal for substitution in the event that the original applicant or its successor has no demonstrable continuing interest in the recommended international nonproprietary name proposed to be substituted). In such an event, the Secretariat shall advise the person having proposed the substitution, as well as the original applicant or its

successor (if not the same as the person proposing the substitution, and provided that the original applicant or its successor is known or can be found through diligent effort, including contacts with industry associations), Member States, national and regional pharmacopoeia commissions, other bodies designated by Member States, and any other persons known to be concerned by the proposed substitution that, despite a proposal for substitution, it has been decided to retain the previously recommended international nonproprietary name (with a description of the reason(s) why the proposal for substitution was not considered sufficiently compelling).

ANNEX 2

GENERAL PRINCIPLES FOR GUIDANCE IN DEVISING INTERNATIONAL NONPROPRIETARY NAMES FOR PHARMACEUTICAL SUBSTANCES¹

1. International Nonproprietary Names (INN) should be distinctive in sound and spelling. They should not be inconveniently long and should not be liable to confusion with names in common use.

2. The INN for a substance belonging to a group of pharmacologically related substances should, where appropriate, show this relationship. Names that are likely to convey to a patient an anatomical, physiological, pathological or therapeutic suggestion should be avoided.

These primary principles are to be implemented by using the following secondary principles:

3. In devising the INN of the first substance in a new pharmacological group, consideration should be given to the possibility of devising suitable INN for related substances, belonging to the new group.

4. In devising INN for acids, one-word names are preferred; their salts should be named without modifying the acid name, e.g. "oxacillin" and "oxacillin sodium", "ibufenac" and "ibufenac sodium".

5. INN for substances which are used as salts should in general apply to the active base or the active acid. Names for different salts or esters of the same active substance should differ only in respect of the name of the inactive acid or the inactive base.

For quaternary ammonium substances, the cation and anion should be named appropriately as separate components of a quaternary substance and not in the amine-salt style.

6. The use of an isolated letter or number should be avoided; hyphenated construction is also undesirable.

7. To facilitate the translation and pronunciation of INN, "f" should be used instead of "ph", "t" instead of "th", "e" instead of "ae" or "oe", and "i" instead of "y"; the use of the letters "h" and "k" should be avoided.

8. Provided that the names suggested are in accordance with these principles, names proposed by the person discovering or first developing and marketing a pharmaceutical preparation, or names already officially in use in any country, should receive preferential consideration.

9. Group relationship in INN (see General principle 2) should if possible be shown by using a common stem. The following list contains examples of stems for groups of substances, particularly for new groups. There are many other stems in active use.² Where a stem is shown without any hyphens it may be used anywhere in the name.

¹ In its Twentieth report (WHO Technical Report Series, No. 581, 1975), the WHO Expert committee on Nonproprietary Names for Pharmaceutical Substances reviewed the general principles for devising, and the procedures for selecting, INN in the light of developments in pharmaceutical compounds in recent years. The most significant change has been the extension to the naming of synthetic chemical substances of the practice previously used for substances originating in or derived from natural products. This practice involves the use of a characteristic "stem" indicative of a common property of the members of a group. The reason for, and the implications of, the change are fully discussed.

The guiding principles were updated during the 13th consultation on nonproprietary names for pharmaceutical substances (Geneva, 27-29 April 1983) (PHARM S/NOM 928 13 May 1983, revised 18 August 1983).

² A more extensive listing of stems is contained in the working document WHO/EMP/RHT/TSN/2018.1 which is regularly updated and can be requested from the INN Programme, WHO, Geneva.

Latin	English	
-acum	-ac	anti-inflammatory agents, ibufenac derivatives
-adolum	-adol }	analgesics
-adol-	-adol-}	
-astum	-ast	
-astinum	-astine	antiasthmatic, antiallergic substances not acting primarily as antihistaminics
-azepamum	-azepam	antihistaminics
bol	bol	diazepam derivatives
-cain-	-cain-	steroids, anabolic
 		class I antiarrhythmics, procainamide and lidocaine derivatives
-cainum	-caine	local anaesthetics
cef-	cef-	antibiotics, cephalosporanic acid derivatives
-cillinum	-cillin	antibiotics, 6-aminopenicillanic acid derivatives
-conazolom	-conazole	systemic antifungal agents, miconazole derivatives
cort	cort	corticosteroids, except prednisolone derivatives
-coxibum	-coxib	selective cyclo-oxygenase inhibitors
-entanum	-entan	endothelin receptor antagonists
gab	gab	gabamimetic agents
gado-	gado-	diagnostic agents, gadolinium derivatives
-gatrnam	-gatrnam	thrombin inhibitors, antithrombotic agents
gest	gest	steroids, progestogens
gli	gli	antihyperglycaemics
io-	io-	iodine-containing contrast media
-metacinum	-metacin	anti-inflammatory, indometacin derivatives
-mycinum	-mycin	antibiotics, produced by <i>Streptomyces</i> strains
-nidazolom	-nidazole	antiprotozoal substances, metronidazole derivatives
-ololum	-olol	β-adrenoreceptor antagonists
-oxacinum	-oxacin	antibacterial agents, nalidixic acid derivatives
-platinum	-platin	antineoplastic agents, platinum derivatives
-poetinum	-poetin	erythropoietin type blood factors
-pril(at)um	-pril(at)	angiotensin-converting enzyme inhibitors
-profenum	-profen	anti-inflammatory substances, ibuprofen derivatives
prost	prost	prostaglandins
-relinum	-relin	pituitary hormone release-stimulating peptides
-sartanum	-sartan	angiotensin II receptor antagonists, antihypertensive (non-peptidic)
-vaptanum	-vaptan	vasopressin receptor antagonists
vin-	vin- }	vinca-type alkaloids
-vin-	-vin-}	

ANNEXE 1

PROCEDURE A SUIVRE EN VUE DU CHOIX DE DENOMINATIONS COMMUNES INTERNATIONALES RECOMMANDEES POUR LES SUBSTANCES PHARMACEUTIQUES¹

L'Organisation mondiale de la Santé (également désignée ci-après sous l'appellation « OMS ») observe la procédure exposée ci-dessous pour l'attribution de dénominations communes internationales recommandées pour les substances pharmaceutiques, conformément à la résolution WHA3.11 de l'Assemblée mondiale de la Santé, et pour le remplacement de telles dénominations.

Article 1 - Les propositions de dénominations communes internationales recommandées et les propositions de remplacement de telles dénominations sont soumises à l'OMS sur la formule prévue à cet effet. L'examen de telles propositions est soumis au paiement d'une taxe administrative destinée uniquement à couvrir les coûts correspondants assumés par le Secrétariat de l'OMS (« le Secrétariat »). Le montant de cette taxe est déterminé par le Secrétariat et peut être modifié de temps à autre.

¹ Voir annexe 1 dans OMS, Série de Rapports techniques, N° 581, 1975. Le texte original a été adopté par le Conseil exécutif dans sa résolution EB15.R7 et amendé dans ses résolutions EB43.R9 et EB115.R4.

Article 2 - Ces propositions sont soumises par le Secrétariat aux experts désignés à cette fin parmi les personnalités inscrites au Tableau d'experts de la Pharmacopée internationale et des Préparations pharmaceutiques, ci-après désignés sous l'appellation « le Groupe d'experts des DCI » ; elles sont examinées par les experts conformément aux « Directives générales pour la formation de dénominations communes internationales pour les substances pharmaceutiques » reproduites ci-après¹. La dénomination acceptée est la dénomination employée par la personne qui découvre ou qui, la première, fabrique et lance sur le marché une substance pharmaceutique, à moins que des raisons majeures n'obligent à s'écarter de cette règle.

Article 3 - Après l'examen prévu à l'article 2, le Secrétariat notifie qu'un projet de dénomination commune internationale est à l'étude.

a) Cette notification est faite par une insertion dans *WHO Drug Information*² et par l'envoi d'une lettre aux Etats Membres et aux commissions nationales et régionales de pharmacopée ou autres organismes désignés par les Etats Membres.

i) Notification est également faite à la personne qui a soumis la proposition (« le demandeur initial ») et à d'autres personnes portant à la dénomination mise à l'étude un intérêt notoire.

b) Cette notification contient les indications suivantes :

i) dénomination mise à l'étude;

ii) nom de l'auteur de la proposition tendant à attribuer une dénomination à la substance, si cette personne le demande ;

iii) définition de la substance dont la dénomination est mise à l'étude ;

iv) délai pendant lequel seront reçues les observations et les objections à l'égard de cette dénomination ; nom et adresse de la personne habilitée à recevoir ces observations et objections ;

v) mention des pouvoirs en vertu desquels agit l'OMS et référence au présent règlement.

c) En envoyant cette notification, le Secrétariat demande aux Etats Membres de prendre les mesures nécessaires pour prévenir l'acquisition de droits de propriété sur la dénomination proposée pendant la période au cours de laquelle cette dénomination est mise à l'étude par l'OMS.

Article 4 - Des observations sur la dénomination proposée peuvent être adressées à l'OMS par toute personne, dans les quatre mois qui suivent la date de publication de la dénomination dans *WHO Drug Information* (voir l'article 3).

Article 5 - Toute personne intéressée peut formuler une objection formelle contre la dénomination proposée dans les quatre mois qui suivent la date de publication de la dénomination dans *WHO Drug Information* (voir l'article 3).

Cette objection doit s'accompagner des indications suivantes :

i) nom de l'auteur de l'objection ;

ii) intérêt qu'il ou elle porte à la dénomination en cause ;

iii) raisons motivant l'objection contre la dénomination proposée.

Article 6 - Lorsqu'une objection formelle est formulée en vertu de l'article 5, l'OMS peut soit soumettre la dénomination proposée à un nouvel examen, soit intervenir pour tenter d'obtenir le retrait de l'objection. Sans préjudice de l'examen par l'OMS d'une ou de plusieurs appellations de

¹ Voir annexe 2.

² Avant 1987, les listes de dénominations communes internationales étaient publiées dans la *Chronique de l'Organisation mondiale de la Santé*.

remplacement, l'OMS n'adopte pas d'appellation comme dénomination commune internationale recommandée tant qu'une objection formelle présentée conformément à l'article 5 n'est pas levée.

Article 7 - Lorsqu'il n'est formulé aucune objection en vertu de l'article 5, ou que toutes les objections présentées ont été levées, le Secrétariat fait une notification conformément aux dispositions du paragraphe a) de l'article 3, en indiquant que la dénomination a été choisie par l'OMS en tant que dénomination commune internationale recommandée.

Article 8 - En communiquant aux Etats Membres, conformément à l'article 7, une dénomination commune internationale recommandée, le Secrétariat :

- a) demande que cette dénomination soit reconnue comme dénomination commune de la substance considérée ; et
- b) demande aux Etats Membres de prendre les mesures nécessaires pour prévenir l'acquisition de droits de propriété sur cette dénomination et interdire le dépôt de cette dénomination comme marque ou appellation commerciale.

Article 9 -

a) Dans le cas exceptionnel où une dénomination commune internationale déjà recommandée donne lieu à des erreurs de médication, de prescription ou de distribution ou en comporte un risque démontrable, en raison d'une similitude avec une autre appellation dans la pratique pharmaceutique et/ou de prescription, et où il apparaît que ces erreurs ou ces risques d'erreur ne peuvent être facilement évités par d'autres interventions que le remplacement éventuel d'une dénomination commune internationale déjà recommandée, ou dans le cas où une dénomination commune internationale déjà recommandée diffère sensiblement de la dénomination commune approuvée dans un nombre important d'Etats Membres, ou dans d'autres circonstances exceptionnelles qui justifient le remplacement d'une dénomination commune internationale recommandée, toute personne intéressée peut formuler une proposition dans ce sens. Cette proposition est présentée sur la formule prévue à cet effet et doit s'accompagner des indications suivantes :

- i) nom de l'auteur de la proposition ;
- ii) intérêt qu'il ou elle porte au remplacement proposé ;
- iii) raisons motivant la proposition ; et
- iv) description, faits à l'appui, des autres interventions entreprises pour tenter de régler le problème et exposé des raisons pour lesquelles ces interventions ont échoué.

Les propositions peuvent comprendre une proposition de nouvelle dénomination commune internationale de remplacement, établie conformément aux Directives générales, compte tenu de la substance pharmaceutique pour laquelle la nouvelle dénomination commune internationale de remplacement est proposée.

Le Secrétariat transmet une copie de la proposition pour examen, conformément à la procédure exposée plus loin au paragraphe b), au Groupe d'experts des DCI et au demandeur initial ou à son successeur (s'il s'agit d'une personne différente de celle qui a formulé la proposition de remplacement et pour autant que le demandeur initial ou son successeur soit connu ou puisse être retrouvé moyennant des efforts diligents, notamment des contacts avec les associations industrielles).

De plus, le Secrétariat demande aux entités et personnes ci-après de formuler des observations sur la proposition :

- i) les Etats Membres et les commissions nationales et régionales de pharmacopée ou d'autres organismes désignés par les Etats Membres (en insérant une note à cet effet dans la lettre mentionnée à l'article 3.a), et
- ii) toutes autres personnes portant au remplacement proposé un intérêt notoire.

La demande d'observations contient les indications suivantes :

i) dénomination commune internationale recommandée pour laquelle un remplacement est proposé (et la dénomination de remplacement proposée, si elle est fournie) ;

ii) nom de l'auteur de la proposition de remplacement (si cette personne le demande) ;

iii) définition de la substance faisant l'objet du remplacement proposé et raisons avancées pour le remplacement ;

iv) délai pendant lequel seront reçus les commentaires et nom et adresse de la personne habilitée à recevoir ces commentaires ; et

v) mention des pouvoirs en vertu desquels agit l'OMS et référence au présent règlement.

Des observations sur la proposition de remplacement peuvent être communiquées par toute personne à l'OMS dans les quatre mois qui suivent la date de la demande d'observations.

b) Une fois échu le délai prévu ci-dessus pour la communication d'observations, le Secrétariat transmet les observations reçues au Groupe d'experts des DCI, au demandeur initial ou à son successeur et à l'auteur de la proposition de remplacement. Si, après avoir examiné la proposition de remplacement et les observations reçues, le Groupe d'experts des DCI, l'auteur de la proposition de remplacement et le demandeur initial ou son successeur reconnaissent tous qu'il est nécessaire de remplacer la dénomination commune internationale déjà recommandée, le Secrétariat soumet la proposition de remplacement au Groupe d'experts des DCI pour qu'il y donne suite.

Nonobstant ce qui précède, le demandeur initial ou son successeur n'est pas habilité à refuser son accord à une proposition de remplacement au cas où il ne peut être démontré qu'il porte un intérêt durable à la dénomination commune internationale recommandée qu'il est proposé de remplacer.

Dans le cas où une proposition de remplacement est soumise au Groupe d'experts des DCI pour qu'il y donne suite, le Groupe choisit une nouvelle dénomination commune internationale conformément aux Directives générales mentionnées à l'article 2 et selon la procédure décrite dans les articles 3 à 8 inclus. La notification faite par le Secrétariat en vertu de l'article 3 et de l'article 7, respectivement, y compris au demandeur initial ou à son successeur (si ce n'est pas la même personne que celle qui a proposé le remplacement et pour autant que le demandeur initial ou son successeur soit connu ou puisse être retrouvé moyennant des efforts diligents, notamment des contacts avec les associations industrielles), doit dans un tel cas indiquer que la nouvelle dénomination remplace une dénomination commune internationale déjà recommandée et que les Etats Membres peuvent souhaiter prendre des mesures transitoires pour les produits existants qui utilisent la dénomination commune internationale déjà recommandée sur leur étiquette conformément à la législation nationale.

Si, après examen de la proposition de remplacement et des observations communiquées conformément à la procédure exposée plus haut, le Groupe d'experts des DCI, le demandeur initial ou son successeur et l'auteur de la proposition de remplacement ne s'accordent pas sur le fait qu'il y a des raisons impératives de remplacer une dénomination commune internationale déjà recommandée, cette dernière est conservée (étant entendu toujours que le demandeur initial ou son successeur n'est pas habilité à refuser son accord à une proposition de remplacement au cas où il ne peut être démontré qu'il porte un intérêt durable à la dénomination commune internationale recommandée qu'il est proposé de remplacer). Dans un tel cas, le Secrétariat informe l'auteur de la proposition de remplacement, ainsi que le demandeur initial ou son successeur (s'il s'agit d'une personne différente de celle qui a formulé la proposition de remplacement et pour autant que le demandeur initial ou son successeur soit connu ou puisse être retrouvé moyennant des efforts diligents, notamment des contacts avec les associations industrielles), les Etats Membres, les commissions nationales et régionales de pharmacopée, les autres organismes désignés par les Etats Membres et toutes autres personnes portant un intérêt notoire au remplacement proposé que, malgré une proposition de remplacement, il a été décidé de conserver la dénomination commune internationale déjà recommandée (avec une brève description de la ou des raisons pour lesquelles la proposition de remplacement n'a pas été jugée suffisamment impérative).

ANNEXE 2

DIRECTIVES GENERALES POUR LA FORMATION DE DENOMINATIONS COMMUNES INTERNATIONALES APPLICABLES AUX SUBSTANCES PHARMACEUTIQUES¹

1. Les dénominations communes internationales (DCI) devront se distinguer les unes des autres par leur consonance et leur orthographe. Elles ne devront pas être d'une longueur excessive, ni prêter à confusion avec des appellations déjà couramment employées.
 2. La DCI de chaque substance devra, si possible, indiquer sa parenté pharmacologique. Les dénominations susceptibles d'évoquer pour les malades des considérations anatomiques, physiologiques, pathologiques ou thérapeutiques devront être évitées dans la mesure du possible.
- Outre ces deux principes fondamentaux, on respectera les principes secondaires suivants :*
3. Lorsqu'on formera la DCI de la première substance d'un nouveau groupe pharmacologique, on tiendra compte de la possibilité de former ultérieurement d'autres DCI appropriées pour les substances apparentées du même groupe.
 4. Pour former des DCI des acides, on utilisera de préférence un seul mot. Leurs sels devront être désignés par un terme qui ne modifie pas le nom de l'acide d'origine : par exemple «oxacilline» et «oxacilline sodique», «ibufénac» et «ibufénac sodique».
 5. Les DCI pour les substances utilisées sous forme de sels devront en général s'appliquer à la base active (ou à l'acide actif). Les dénominations pour différents sels ou esters d'une même substance active ne différeront que par le nom de l'acide inactif (ou de la base inactif). En ce qui concerne les substances à base d'ammonium quaternaire, la dénomination s'appliquera de façon appropriée au cation et à l'anion en tant qu'éléments distincts d'une substance quaternaire. On évitera de choisir une désignation évoquant un sel aminé.
 6. On évitera d'ajouter une lettre ou un chiffre isolé ; en outre, on renoncera de préférence au trait d'union.
 7. Pour simplifier la traduction et la prononciation des DCI, la lettre « f » sera utilisée à la place de « ph », « t » à la place de « th », « e » à la place de « ae » ou « oe », et « i » à la place de « y » ; l'usage des lettres « h » et « k » sera aussi évité.
 8. On retiendra de préférence, pour autant qu'elles respectent les principes énoncés ici, les dénominations proposées par les personnes qui ont découvert ou qui, les premières, ont fabriqué et lancé sur le marché les préparations pharmaceutiques considérées, ou les dénominations déjà officiellement adoptées par un pays.
 9. La parenté entre substances d'un même groupe (voir Directive générale 2) sera si possible indiquée dans les DCI par l'emploi de segments-clés communs. La liste ci-après contient des exemples de segments-clés pour des groupes de substances, surtout pour des groupes récents. Il y a beaucoup d'autres segments-clés en utilisation active.² Les segments-clés indiqués sans trait d'union pourront être insérés n'importe où dans une dénomination.

¹ Dans son vingtième rapport (OMS, Série de Rapports techniques, N° 581, 1975), le Comité OMS d'experts des Dénominations communes pour les Substances pharmaceutiques a examiné les directives générales pour la formation des dénominations communes internationales et la procédure à suivre en vue de leur choix, compte tenu de l'évolution du secteur pharmaceutique au cours des dernières années. La modification la plus importante a été l'extension aux substances de synthèse de la pratique normalement suivie pour désigner les substances tirées ou dérivées de produits naturels. Cette pratique consiste à employer des syllabes communes ou groupes de syllabes communes (segments-clés) qui sont caractéristiques et indiquent une propriété commune aux membres du groupe de substances pour lequel ces segments-clés ont été retenus. Les raisons et les conséquences de cette modification ont fait l'objet de discussions approfondies.

Les directives ont été mises à jour lors de la treizième consultation sur les dénominations communes pour les substances pharmaceutiques (Genève, 27-29 avril 1983) (PHARM S/NOM 928, 13 mai 1983, révision en date du 18 août 1983).

² Une liste plus complète de segments-clés est contenue dans le document de travail WHO/EMP/RHT/TSN/2018.1 qui est régulièrement mis à jour et qui peut être demandé auprès du programme des DCI, OMS, Genève

Latin	Français	
-acum	-ac	substances anti-inflammatoires du groupe de l'ibufénac analgésiques
-adolom	-adol }	
-adol-	-adol- }	
-astum	-ast	antiasthmatiques, antiallergiques n'agissant pas principalement en tant qu'antihistaminiques
-astinum	-astine	antihistaminiques
-azepamum	-azépam	substances du groupe du diazépam
bol	bol	stéroïdes anabolisants
-cain-	-caïn-	antiarythmiques de classe I, dérivés du procaïnamide et de la lidocaïne
-cainum	-caïne	anesthésiques locaux
cef-	céf-	antibiotiques, dérivés de l'acide céphalosporanique
-cillinum	-cilline	antibiotiques, dérivés de l'acide 6-aminopénicillanique
-conazolom	-conazole	agents antifongiques systémiques du groupe du miconazole
cort	cort	corticostéroïdes, autres que les dérivés de la prednisolone
-coxibum	-coxib	inhibiteurs sélectifs de la cyclo-oxygénase
-entanum	-entan	antagonistes du récepteur de l'endothéline
gab	gab	gabamimétiques
gado-	gado-	agents diagnostiques, dérivés du gadolinium
-gatronum	-gatron	antithrombines, antithrombotiques
gest	gest	stéroïdes progestogènes
gli	gli	antihyperglycémiants
io-	io-	produits de contraste iodés
-metacinum	-métacine	substances anti-inflammatoires du groupe de l'indométacine
-mycinum	-mycine	antibiotiques produits par des souches de <i>Streptomyces</i>
-nidazolom	-nidazole	substances antiprotozoaires du groupe du métronidazole
-ololum	-olol	antagonistes des récepteurs β -adrénergiques
-oxacinum	-oxacine	substances antibactériennes du groupe de l'acide nalidixique
-platinum	-platine	antinéoplasiques, dérivés du platine
-poetinum	-poétine	facteurs sanguins de type érythropoïétine
-pril(at)um	-pril(ate)	inhibiteurs de l'enzyme de conversion de l'angiotensine
-profenum	-profène	substances anti-inflammatoires du groupe de l'ibuprofène
prost	prost	prostaglandines
-relinum	-réline	peptides stimulant la libération d'hormones hypophysaires
-sartanum	-sartan	antagonistes d'un récepteur de l'angiotensine II, antihypertenseurs (non peptidiques)
-vaptanum	-vaptan	antagonistes du récepteur de la vasopressine
vin-	vin- }	alcaloïdes du type vinca
-vin-	-vin- }	

ANEXO 1

**PROCEDIMIENTO DE SELECCIÓN DE DENOMINACIONES
COMUNES INTERNACIONALES RECOMENDADAS PARA
SUSTANCIAS FARMACÉUTICAS¹**

La Organización Mundial de la Salud (OMS) seguirá el procedimiento que se expone a continuación tanto para seleccionar denominaciones comunes internacionales recomendadas para las sustancias farmacéuticas, de conformidad con lo dispuesto en la resolución WHA3.11, como para sustituir esas denominaciones.

Artículo 1 - Las propuestas de denominaciones comunes internacionales recomendadas y las propuestas de sustitución de esas denominaciones se presentarán a la OMS en los formularios que se proporcionen a estos efectos. El estudio de estas propuestas estará sujeto al pago de una tasa destinada a sufragar los costos de administración que ello suponga para la Secretaría de la OMS («la Secretaría»). La Secretaría establecerá la cuantía de esa tasa y podrá ajustarla periódicamente.

Artículo 2 - Estas propuestas serán sometidas por la Secretaría a los miembros del Cuadro de Expertos en Farmacopea Internacional y Preparaciones Farmacéuticas encargados de su estudio, en adelante designados como «el Grupo de Expertos en DCI», para que las examinen de conformidad con los «Principios generales de orientación para formar denominaciones comunes internacionales para sustancias farmacéuticas», anexos a este procedimiento.² A menos que haya poderosas razones en contra, la denominación aceptada será la empleada por la persona que haya descubierto o fabricado y comercializado por primera vez esa sustancia farmacéutica.

Artículo 3 - Tras el examen al que se refiere el artículo 2, la Secretaría notificará que está en estudio un proyecto de denominación internacional.

a) Esa notificación se hará mediante una publicación en *Información Farmacéutica OMS*³ y el envío de una carta a los Estados Miembros y a las comisiones nacionales y regionales de las farmacopeas u otros organismos designados por los Estados Miembros.

i) La notificación será enviada también a la persona que haya presentado la propuesta («el solicitante inicial») y a otras personas que tengan un interés especial en una denominación objeto de estudio.

b) En esa notificación se incluirán los siguientes datos:

i) la denominación sometida a estudio;

ii) la identidad de la persona que ha presentado la propuesta de denominación de la sustancia, si lo pide esa persona;

iii) la identidad de la sustancia cuya denominación está en estudio;

iv) el plazo fijado para recibir observaciones y objeciones, así como el nombre y la dirección de la persona a quien deban dirigirse; y

v) los poderes conferidos para el caso a la OMS y una referencia al presente procedimiento.

¹ Véase el anexo 1 en OMS, Serie de Informes Técnicos, Nº 581, 1975. El texto vigente fue adoptado por el Consejo Ejecutivo en su resolución EB15.R7 y modificado en las resoluciones EB43.R9 y EB115.R4..

² Véase el anexo 2.

³ Hasta 1987 las listas de DCI se publicaban en la *Crónica de la Organización Mundial de la Salud*.

c) Al enviar esa notificación, la Secretaría solicitará de los Estados Miembros la adopción de todas las medidas necesarias para impedir la adquisición de derechos de patente sobre la denominación propuesta, durante el periodo en que la OMS la tenga en estudio.

Artículo 4 - Toda persona puede formular a la OMS observaciones sobre la denominación propuesta dentro de los cuatro meses siguientes a su publicación en *Información Farmacéutica OMS*, conforme a lo dispuesto en el artículo 3.

Artículo 5 - Toda persona interesada puede presentar una objeción formal a una denominación propuesta dentro de los cuatro meses siguientes a su publicación en *Información Farmacéutica OMS*, conforme a lo dispuesto en el artículo 3.

Esa objeción deberá acompañarse de los siguientes datos:

- i) la identidad de la persona que formula la objeción;
- ii) las causas que motivan su interés por la denominación; y
- iii) las causas que motivan su objeción a la denominación propuesta.

Artículo 6 - Cuando se haya presentado una objeción formal en la forma prevista en el artículo 5, la OMS podrá reconsiderar el nombre propuesto o utilizar sus buenos oficios para intentar lograr que se retire la objeción. La OMS no seleccionará como denominación común internacional una denominación a la que se haya hecho una objeción formal, presentada según lo previsto en el artículo 5, que no haya sido retirada, todo ello sin perjuicio de que la Organización examine otra denominación o denominaciones sustitutivas.

Artículo 7 - Cuando no se haya formulado ninguna objeción en la forma prevista en el artículo 5, o cuando todas las objeciones presentadas hayan sido retiradas, la Secretaría notificará, conforme a lo dispuesto en el párrafo a) del artículo 3, que la denominación ha sido seleccionada por la OMS como denominación común internacional recomendada.

Artículo 8 - Al comunicar a los Estados Miembros una denominación común internacional, conforme a lo previsto en el artículo 7, la Secretaría:

a) solicitará que esta denominación sea reconocida como denominación común para la sustancia de que se trate; y

b) solicitará a los Estados Miembros que adopten todas las medidas necesarias para impedir la adquisición de derechos de patente sobre la denominación, y prohíban que sea registrada como marca de fábrica o como nombre comercial.

Artículo 9

a) En el caso excepcional de que, debido a su semejanza con otra denominación utilizada en las prácticas farmacéuticas y/o de prescripción, una denominación común internacional recomendada anteriormente ocasione errores de medicación, prescripción o distribución, o suponga un riesgo manifiesto de que esto ocurra, y parezca que tales errores o potenciales errores no sean fácilmente subsanables con otras medidas que no sean la posible sustitución de esa denominación común internacional recomendada anteriormente; en el caso de que una denominación común internacional recomendada anteriormente difiera considerablemente de la denominación común aprobada en un número importante de Estados Miembros, o en otras circunstancias excepcionales que justifiquen el cambio de una denominación común internacional recomendada, cualquier persona interesada puede presentar propuestas en este sentido. Esas propuestas se presentarán en los formularios que se proporcionen a estos efectos e incluirán los siguientes datos:

- i) la identidad de la persona que presenta la propuesta;
- ii) las causas que motivan su interés en la sustitución propuesta;
- iii) las causas que motivan la propuesta; y

iv) una descripción, acompañada de pruebas documentales, de las otras medidas que se hayan adoptado con el fin de resolver la situación y de los motivos por los cuales dichas medidas no han sido suficientes.

Entre esas propuestas podrá figurar una relativa a una nueva denominación común internacional sustitutiva, formulada con arreglo a los Principios generales y que tenga en cuenta la sustancia farmacéutica para la que se proponga la nueva denominación común internacional sustitutiva.

La Secretaría enviará al Grupo de Expertos en DCI y al solicitante inicial o a su sucesor (en el caso de que sea una persona diferente de la que ha presentado la propuesta de sustitución y siempre que el solicitante inicial o su sucesor sean conocidos o puedan ser encontrados mediante esfuerzos diligentes, como el contacto con las asociaciones industriales) una copia de la propuesta, para que sea examinada de conformidad con el procedimiento descrito en el párrafo *b) infra*.

Además, la Secretaría solicitará observaciones sobre la propuesta:

i) a los Estados Miembros y a las comisiones nacionales y regionales de las farmacopeas u otros organismos designados por los Estados Miembros (ello se hará incluyendo una notificación a tal efecto en la carta a la que se refiere el párrafo *a)* del artículo 3), y

ii) a cualquier persona que tenga un interés especial en la sustitución propuesta.

Al solicitar que se formulen estas observaciones se facilitarán los siguientes datos:

i) la denominación común internacional recomendada que se propone sustituir (y la denominación sustitutiva propuesta, si se ha facilitado);

ii) la identidad de la persona que ha presentado la propuesta de sustitución (si lo pide esa persona);

iii) la identidad de la sustancia a la que se refiere la sustitución propuesta y las razones para presentar la propuesta de sustitución;

iv) el plazo fijado para recibir observaciones, así como el nombre y la dirección de la persona a quien deban dirigirse; y

v) los poderes conferidos para el caso a la OMS y una referencia al presente procedimiento.

Toda persona puede formular a la OMS observaciones sobre la sustitución propuesta dentro de los cuatro meses siguientes a la fecha en que se realizó la solicitud de observaciones.

b) Una vez agotado el mencionado plazo para la formulación de observaciones, la Secretaría enviará todos los comentarios recibidos al Grupo de Expertos en DCI, al solicitante inicial o a su sucesor, y a la persona que haya presentado la propuesta de sustitución. Si después de examinar la propuesta de sustitución y las observaciones recibidas, el Grupo de Expertos en DCI, la persona que haya presentado la propuesta de sustitución y el solicitante inicial, o su sucesor, están de acuerdo en la necesidad de sustituir la denominación común internacional recomendada anteriormente, la Secretaría remitirá la propuesta de sustitución al Grupo de Expertos en DCI para que la tramite.

No obstante lo anterior, el solicitante inicial o su sucesor no tendrán derecho a impedir el acuerdo sobre una propuesta de sustitución en el caso de que hayan dejado de tener un interés demostrable en la denominación común internacional cuya sustitución se propone.

En caso de que la propuesta de sustitución sea presentada al Grupo de Expertos en DCI para que la tramite, este grupo seleccionará una nueva denominación común internacional de conformidad con los Principios generales a los que se refiere el artículo 2 y al procedimiento establecido en los artículos 3 a 8 inclusive. En ese caso, en las notificaciones que la Secretaría ha de enviar con arreglo a los artículos 3 y 7, respectivamente, incluida la notificación al solicitante

inicial o a su sucesor (en el caso de que no sea la misma persona que propuso la sustitución y siempre que el solicitante inicial o su sucesor sean conocidos o puedan ser encontrados mediante esfuerzos diligentes, como el contacto con las asociaciones industriales), se indicará que la nueva denominación sustituye a una denominación común internacional recomendada anteriormente y que los Estados Miembros podrán, si lo estiman oportuno, adoptar disposiciones transitorias aplicables a los productos existentes en cuya etiqueta se utilice, con arreglo a la legislación nacional, la denominación común internacional recomendada anteriormente que se haya sustituido.

En caso de que, después de haber estudiado la propuesta de sustitución y los comentarios recibidos de conformidad con el procedimiento descrito anteriormente, el Grupo de Expertos en DCI, el solicitante inicial o su sucesor y la persona que haya presentado la propuesta de sustitución no lleguen a un acuerdo sobre la existencia de razones poderosas para sustituir una denominación común internacional recomendada anteriormente, esta denominación se mantendrá (siempre en el entendimiento de que el solicitante inicial o su sucesor no tendrán derecho a impedir el acuerdo sobre una propuesta de sustitución en el caso de que hayan dejado de tener un interés demostrable en la denominación común internacional cuya sustitución se propone). En ese caso, la Secretaría comunicará a la persona que haya propuesto la sustitución, así como al solicitante inicial o a su sucesor (en el caso de que no sea la misma persona que propuso la sustitución y siempre que el solicitante inicial o su sucesor sean conocidos o puedan ser encontrados mediante esfuerzos diligentes, como el contacto con las asociaciones industriales), a los Estados Miembros, a las comisiones nacionales y regionales de las farmacopeas o a otros organismos designados por los Estados Miembros y a cualquier otra persona que tenga interés en la sustitución propuesta, que, pese a la presentación de una propuesta de sustitución, se ha decidido mantener la denominación común internacional recomendada anteriormente (con una descripción de la o las razones por las que se ha considerado que la propuesta de sustitución no estaba respaldada por razones suficientemente poderosas).

ANEXO 2

PRINCIPIOS GENERALES DE ORIENTACIÓN PARA FORMAR DENOMINACIONES COMUNES INTERNACIONALES PARA SUSTANCIAS FARMACÉUTICAS¹

1. Las denominaciones comunes internacionales (DCI) deberán diferenciarse tanto fonética como ortográficamente. No deberán ser incómodamente largas, ni dar lugar a confusión con denominaciones de uso común.

2. La DCI de una sustancia que pertenezca a un grupo de sustancias farmacológicamente emparentadas deberá mostrar apropiadamente este parentesco. Deberán evitarse las denominaciones que puedan tener connotaciones anatómicas, fisiológicas, patológicas o terapéuticas para el paciente.

Estos principios primarios se pondrán en práctica utilizando los siguientes principios secundarios:

3. Al idear la DCI de la primera sustancia de un nuevo grupo farmacológico, deberá tenerse en cuenta la posibilidad de poder formar DCI convenientes para las sustancias emparentadas que se agreguen al nuevo grupo.

4. Al idear DCI para ácidos, se preferirán las de una sola palabra; sus sales deberán denominarse sin modificar el nombre del ácido: p. ej. «oxacilina» y «oxacilina sódica», «ibufenaco» y «ibufenaco sódico».

¹ En su 20º informe (OMS, Serie de Informes Técnicos, Nº 581, 1975), el Comité de Expertos de la OMS en Denominaciones Comunes para las Sustancias Farmacéuticas revisó los Principios generales para formar denominaciones comunes internacionales (DCI), y su procedimiento de selección, a la luz de las novedades registradas en los últimos años en materia de compuestos farmacéuticos. El cambio más importante había consistido en hacer extensivo a la denominación de sustancias químicas sintéticas el método utilizado hasta entonces para las sustancias originadas en productos naturales o derivadas de éstos. Dicho método conlleva la utilización de una «partícula» característica que indica una propiedad común a los miembros de un grupo. En el citado informe se examinan en detalle las razones y consecuencias de este cambio.

Los Principios generales de orientación se actualizaron durante la 13ª consulta sobre denominaciones comunes para sustancias farmacéuticas (Ginebra, 27 a 29 de abril de 1983) (PHARM S/NOM 928, 13 de mayo de 1983, revisado el 18 de agosto de 1983).

5. Las DCI para las sustancias que se usan en forma de sal deberán en general aplicarse a la base activa o al ácido activo. Las denominaciones para diferentes sales o ésteres de la misma sustancia activa solamente deberán diferir en el nombre del ácido o de la base inactivos. En los compuestos de amonio cuaternario, el catión y el anión deberán denominarse adecuadamente por separado, como componentes independientes de una sustancia cuaternaria y no como sales de una amina.
6. Deberá evitarse el empleo de letras o números aislados; también es indeseable el empleo de guiones.
7. Para facilitar la traducción y la pronunciación, se emplearán de preferencia las letras «f» en lugar de «ph», «t» en lugar de «th», «e» en lugar de «ae» u «oe», e «i» en lugar de «y»; se deberá evitar el empleo de las letras «h» y «k».
8. Siempre que las denominaciones propuestas estén de acuerdo con estos principios, recibirán una consideración preferente las denominaciones propuestas por la persona que haya descubierto las sustancias, o que fabrique y comercialice por primera vez una sustancia farmacéutica, así como las denominaciones ya adoptadas oficialmente en cualquier país.
9. El parentesco entre sustancias del mismo grupo se pondrá de manifiesto en las DCI (véase el Principio 2) utilizando una partícula común. En la lista que figura a continuación se indican ejemplos de partículas para grupos de sustancias, en particular para grupos nuevos. Existen muchas otras partículas que se usan habitualmente.¹ Cuando una partícula aparece sin guión alguno, puede utilizarse en cualquier lugar de la palabra.

Latin	Español	
-acum	-aco	antiinflamatorios derivados del ibufenaco
-adolum	-adol)	analgésicos
-adol-	-adol-)	
-astum	-ast	antiasmáticos, sustancias antialérgicas cuya acción principal no es la antihistamínica
-astinum	-astina	antihistamínicos
-azepamum	-azepam	derivados del diazepam
bol	bol	esteroides anabolizantes
-cain-	-caína-	antiarrítmicos de clase I, derivados de procainamida y lidocaína
-cainum	-caína-	anestésicos locales
cef-	cef-	antibióticos, derivados del ácido cefalosporánico
-cillinum	-cilina	antibióticos derivados del ácido 6-aminopenicilánico
-conazolium	-conazol	antifúngicos sistémicos derivados del miconazol
cort	cort	corticosteroides, excepto derivados de prednisolona
-coxibum	-coxib	inhibidores selectivos de ciclooxigenasa
-entanum	-entán	antagonistas del receptor de endotelina
gab	gab	gabamiméticos
gado-	gado-	agentes para diagnóstico derivados de gadolinio
-gartranum	-gatrán	inhibidores de la trombina antitrombóticos
gest	gest	esteroides progestágenos
gli	gli	hipoglucemiantes, antihiperglucémicos
io-	io-	medios de contraste iodados
-metacinum	-metacina	antiinflamatorios derivados de indometacina
-mycinum	-micina	antibióticos producidos por cepas de <i>Streptomyces</i>
-nidazolium	-nidazol	antiprotozoarios derivados de metronidazol
-ololum	-olol	antagonistas de receptores β -adrenérgicos

¹ En el documento de trabajo WHO/EMP/RHT/TSN/2018.1, que se actualiza periódicamente y puede solicitarse al Programa sobre Denominaciones Comunes Internacionales, OMS, Ginebra, figura una lista más amplia de partículas.

<i>-oxacinum</i>	<i>-oxacino</i>	antibacterianos derivados del ácido nalidíxico
<i>-platinum</i>	<i>-platino</i>	antineoplásicos derivados del platino
<i>-poetinum</i>	<i>-poetina</i>	factores sanguíneos similares a la eritropoyetina
<i>-pril(at)um</i>	<i>-pril(at)</i>	inhibidores de la enzima convertora de laangiotensina
<i>-profenum</i>	<i>-profeno</i>	antiinflamatorios derivados del ibuprofeno
<i>prost</i>	<i>prost</i>	prostaglandinas
<i>-relinum</i>	<i>-relina</i>	péptidos estimulantes de la liberación de hormonas hipofisarias
<i>-sartanum</i>	<i>-sartán</i>	antihipertensivos (no peptídicos) antagonistas del
<i>-vaptanum</i>	<i>-vaptán</i>	antagonistas del receptor de vasopresina
<i>vin-</i>	<i>vin-</i>)	alcaloides de la vinca
<i>-vin-</i>	<i>-vin-</i>)	